

Երևանի Պետական Համալսարան

ԲԱԼՅԱՆ ՄԻՆԱՍ ԿԱՐԱՊԵՏԻ

**ՈՒՆՏԳԵԼՅԱՆ ԴԻՏՐԱԿՏՎԱԾ ԱԼ ԻՔՍՅԻՆ ԴԱՇՏԵՐԻ, ԴԻՆԱՄԻԿԱԿԱՆ
ԿՈՐԵՐԵՆՏ ՅՈՒՈԳՐԱՑԻ ԱՅԻ ԵՎ ԻՆՏԵՐՏԵՐԱԶԱՓՈՒ ԹՅԱՆ
ՏԵՍՈՒ ԹՅՈՒՆ**

**Ա. 04.07 – «Կոնդենսացված վիճակի ֆիզիկա»
մասնագիտությամբ**

**Ֆիզիկամաթեմատիկական գիտությունների դոկտորի
գիտական աստիճանի հայ ցման արեւախոսությամբ ուն**

Երևան 2017

ԲՈՎԱՆԴԱԿՈՒ ԹՅՈՒՆ

ՆԵՐԱՃՈՒ ԹՅՈՒՆ.....	4
....	
ՄԱՍ 1. ԴԻՆԱՄԻԿԱԿԱՆ ԴԻՏՐԱԿՑԻԱՅԻ ՀԻՄՆԱԿԱՆ ՀԱՎԱՍԱՐՈՒ ՄՆԵՐԸ	
<i>ԳԼՈՒԽ1. ԴԻՏՐԱԿՑԻԱՅԻ ԴԻՆԱՄԻԿԱԿԱՆ ՏԵՍՈՒԹՅԱՆ ՀԱՎԱՍԱՐՈՒ ՄՆԵՐԸ</i>	
1. 1. Լայ նույ թների երկրորդ կարգի ածանցյալների դերը դիսամիկական դիֆրակցիայի հավասարումներում.....	20
1. 2. Լաուէյ ան դիֆրակցիայի տեսության ունը և այ նույ թների երկրորդ կարգի ածանցյալների հաշվառմամբ.....	24
1. 3. Տեղայ նորեն հարթ, երկչ ափսարամիտության ամբ փնջի և Լաուէ-դիֆրակցիա.....	34
1.4. Բրեգյ ան դիֆրակցիայի տեսության ունը և այ նույ թների երկրորդ կարգի ածանցյալների հաշվառմամբ.....	37
1.5. Գնդայ ին ռենտգենյ ան ալ իքի բրեգյ ան դիֆրակցիան ալ իքայ ին ճակատի երկչ ափկորում ան հաշվառմամբ.....	46
<i>ԳԼՈՒԽ2. ԴԻՆԱՄԻԿԱԿԱՆ ՏԵՍՈՒԹՅԱՆ ԷՅԿՈՆԱԼԻ ՀԱՎԱՍԱՐՈՒՄ</i>	
2. 1. Լայ նույ թների տեղափոխման հավասարումներն էյ կոնալ այ ին մոտավորություն ամբ.....	55
.....	
2. 2. Էյ կոնալ այ ին մոտավորություն ունը ընկնող ալ իքի ճակատի երկչ ափկորում ան հաշվառմամբ.....	61
.....	
2.3. Մուսքի և էլքի ոչ հարթ մակերևույթներով բյ ուրեղով ռենտգենյ ան փնջի կիզակետման էյ կոնալ ի տեսության ունը Լաուէի համաչ ափդեաքում.....	64
2.4. Ոչ հարթ մուսքի մակերևույթով բյ ուրեղով ռենտգենյ ան փնջի կիզակետման էյ կոնալ ի տեսության ունը Բրեգի համաչ ափ դեաքում.....	72
<i>ԳԼՈՒԽ3. ԵՐՐՈՐԴ ԿԱՐԳԻ ՈՉ ԳԾԱՅԻՆ ԴԻՆԱՄԻԿԱԿԱՆ ԴԻՏՐԱԿՑԻԱՅԻ ՏԵՍՈՒԹՅՈՒՆ</i>	
3.1. Տակագիի երրորդ կարգի ոչ գծայ ին հավասարումներ.....	87
3. 2. Ռենտգենյ ան հարթ ալ իքայ ին դիֆրակտայ ին երևույթները երրորդ կարգի ոչ գծայ նույթ ամբ բյ ուրեղում: Լաուէի դեաք.....	104

մուտքի պայմանների առաջացման տեսական
բացատրությունը.....
.....236

8.3. Էլեկտրոնամադրադիտակային ցանցային շերտերի
մեկնաբանումը.....243

ԵԶՐԱԿԱՑՈՒԹՅՈՒՆ ԱՏԵՆԱԿՈՍՈՒԹՅԱՆ ԵՐԿՐՈՐԴ
ՄԱԽ.....248

ՉԱՎԵԼՎԱԾ. Էյկոնալը և հետազոտող մուտքի ոչ հարթ
մակերևույթով
բյուրեղում.....
.....252

ԳՐԱԿԱՆՈՒԹՅՈՒՆ.....
253

ՆԵՐԱՆՈՒԹՅՈՒՆ

Ժամանակակից դիֆրակտային մեթոդներով բյուրեղային և ոչ բյուրեղային նյութերի կառուցվածքի հետազոտությունը, ինչպես նաև տրված պարամետրերով (մենե-րանգություն, կոլիմացիա և այլն) ռենտգենյան փնջերի ստացումը և կիրառումն էապես կախված են կարճալիքային ճառագայթման և նյութի հետդրափոխազդեցության մասին մեր ունեցած գիտելիքներից:

Ռենտգենյան ճառագայթման դինամիկական տեսության հիմքերը շարադրված են [1–3] աշխատանքներում և մի շարք մենագրություններում ու ակնարկային հոդված-ներում [4–9]: Այդ տեսությունները զարգացվել են անվերջ ճակատով, հարթ մեներանգալիքի համար: Ճոճման կորի կիսալայնության և անդրադարձման գործակիցների համար այս տեսությունները տալիս են փորձի հետ համընկնող արդյունքներ: Սակայն ճոճանակային երևույթի փորձարարական արդյունքները հակասում էին տեսական կանխատեսումներին [10]: Այդ հակասությունները վերացվեցին Կատոյի գնդալիքային տեսությունում [11–14], որը հաշվի է առնում սովորական փորձի պայմաններում ընկնող ալիքի ալիքային ճակատի տարամիտությունը, որի հետևանքով գրգռվում է ամբողջ դիսպերսային մակերևույթը, և որի տարբեր ճյուղերին պատկանող և նույն ուղղությամբ Պոյնտինգի վեկտոր ունեցող հարթալիքային հարմոնիկների ինտերֆերենցի հետևանքով ձևավորվում են հիպերբոլական ճոճանակային ինտերֆերենցային գծեր: Ներկայում, օգտագործելով երրորդ սերնդի ռենտգենյան սինքրոտրոնային աղբյուրներ, հնարավոր է ձևավորել հարթ-զուգահեռ կոհերենտ փնջեր և սեպաձև բյուրեղից գրանցել հարթալիքային տեսությանը համապատասխանող հավասարահեռ հաստատուն հաստության գծեր [15]:

Գնդալիքային տեսության հետագա զարգացումը՝ Աֆանասև-Կոնի տեսությունը, հաշվի է առնում նաև աղբյուր-բյուրեղ հեռավորությունը [16]: Այս դեպքում դիտվող նոր երևույթներից են ալիքի կիզակետումը և անոմալ ճոճանակային գծերը: Ալիքի վարքի առանձնահատկությունները բյուրեղի ներսում ուսումնասիրվել են [17,18] աշխատանք-ներում: Այս դեպքում հայտնաբերվել է նաև ալիքի կիզակետման երևույթը բյուրեղի ներսում և կապ է

հաստատվել բյուրեղից հետո, վակուումում տարածվող ալիքի կիզակետման երևույթի հետ: Գնդային ալիքի դինամիկական դիֆրակցիան անհամաչափ երկրաչափության պայմաններում, ինչպես նաև համապատասխան թվային մեթոդի զարգացումը տրվել է [19]-ում: Բրեգի երկրաչափության դեպքում գնդային ալիքի դի-նամիկական տեսությունը զարգացվել է [20,21], գնդային ալիքների բազմալիքային դի-նամիկական դիֆրակցիան ուսուեսասիրվել է [22–25], իսկ բազմալիքային դիֆրակցիայի պայմաններում գնդային ալիքի դինամիկական դիֆրակտային կիզակետումը կատարյալ բյուրեղում՝ [26] աշխատանքներում:

Անհրաժեշտություն էր առաջացել դինամիկական դիֆրակցիայի պայմաններում հաշվի առնել նաև բյուրեղների անկատարելությունը: [27] աշխատանքում Փենինգը և Փոլդերը Լաուեի հարթալիքային տեսության փոքր-ինչ ձևափոխված տարբերակով զարգացրել են թույլ դեֆորմացված բյուրեղներում դինամիկական դիֆրակցիայի տեսությունը, իսկ [28]-ում տրվել է դինամիկական դիֆրակցիայի Կատոյի երկրաչափական օպտիկայի տեսությունը սահուն փոփոխվող դեֆորմացիաներով բյուրեղների համար, սակայն արագ փոփոխվող դեֆորմացիաներով բյուրեղների դեպքում, երբ իմաստագրվում են «բլոխյան ալիք», «դիսպերսային մակերևույթ» հասկացությունները, տեղի են ունենում միջճյուղային ցրումներ, այս տեսությունները կիրառելի չեն:

Կամայական ալիքային ճակատով ալիքների դինամիկական դիֆրակցիայի ալիքային տեսությունը դեֆորմացված բյուրեղներում զարգացվել է [29,30] աշխատանքներում, որոնցում ստացված Տակագիի հավասարումներն ի գործ են նկարագրել դինամիկական դիֆրակցիան՝ հաշվի առնելով ինչպես դեֆորմացիան, այնպես էլ ընկնող ալիքի անհամասեռությունը: Այս հավասարումները երկալիքային դեպքում հանգում են առանձին լայնույթների համար գրված երկրորդ կարգի մասնական ածանցյալներով հիպերբոլական տիպի հավասարումների, որոնց ընդհանուր լուծումը բյուրեղում կարելի է արտահայտել ըստ մակերևույթի ընկնող ալիքի լայնույթի և Ռիմանի ֆունկցիայի փաթույթի տեսքով: Միաժամանակ, նույն լուծումները կարելի է արտահայտել համապատասխան Գրինի ֆունկցիայի օգնությամբ, որն

արտահայտվում է Ռիմանի ֆունկցիայով և համապատասխան ընդհանրացված ֆունկցիաներով [31]: Գրին-Ռիմանի ֆունկցիաները ճշգրիտ որոշվել են կատարյալ բյուրեղում [32,33,8,9,30], կատարյալ բյուրեղում Բրեգի երկրաչափության դեպքում [34,35] և համասեռ ճկված բյուրեղում [36–42]: Գրին-Ռիմանի ֆունկցիան համասեռ ճկված բյուրեղում Բրեգի երկրաչափության դեպքում կառուցվել է [43,44] աշխատանքներում, իսկ Տակագիի հավասարումների էյկոնալի տեսությունը զարգացվել է [45]-ում: Բնականաբար, էյկոնալի տեսության մեջ ստացված հետազոտությունը համընկնում են Կատոյի երկրաչափական տեսության մեջ ստացված հետազոտության հետ: Էյկոնալի տեսությունը սկզբունքորեն հնարավորություն է տալիս նաև գտնել ու ինչպես էյկոնալը, այնպես էլ լայնույթներն էյկոնալի տեսության ասիմպտոտական մոտավորության կամայական կարգում: Յետագայում էյկոնալի տեսությունը զարգացվել և կիրառվել է [46,47] աշխատանքներում և շարադրվել նաև [8,9] մենագրություններում: Այս տեսությունը, սակայն, ալիքների լայնույթների որոշման համար հանգում է ձևական արտահայտությունների, որոնք դժվար է անմիջականորեն կիրառել: Բանն այն է, որ էյկոնալի տեսությունը զարգացվել է՝ հիմնվելով ալիքների լայնույթների համար գրված հավասարումների համակարգի վրա, որը լայնույթների որոշման համար հանգեցվում է մատրիցական տեսքի արտահայտությունների: Չի բացառվում, որ անցնելով առանձին լայնույթների համար գրված հավասարումների և դրանց նկատմամբ կիրառելով էյկոնալի մոտավորությունը՝ հնարավոր է ասիմպտոտական վերլուծության կամայական կարգում լայնույթների համար ստանալ ավելի կոնկրետ արտահայտություններ: Այս ենթադրությունը բխում է այն փաստից, որ առանձին լայնույթների համար գրված հավասարումները երկրորդ կարգի մասնակի ածանցյալներով հիպերբոլական տիպի հավասարումներ են և ձևականորեն նման են ալիքային հավասարմանը: Ալիքային հավասարման համար էյկոնալի տեսությունը հնարավորություն է տալիս ասիմպտոտիկական վերլուծության կամայական կարգում գտնել ու լայնույթները [48]:

Շատ դեպքերում, երբ հնարավոր չէ գտնել Տակագիի հավասարումների ճշգրիտ լուծումներ, զարգացվել է թվային

մեթոդ, որն օգտագործում է կեսքայլային ալգորիթմի հայտնի եղանակը [49,50,9]: Նշենք, որ [51]-ում օգտագործվել է այդ եղանակի փոփոխական քայլով տարբերակը: Սակարևոր հանգամանք է, քանի որ ներքոլրեղային դիֆրակտոլ ալիքների փոփոխման արագությանը տարբեր է Բորմանի եռանկյան տարբեր տեղամասերում, ինչպես նաև արատների (օրինակ՝ դիսլոկացիայի) միջուկից տարբեր հեռավորությունների դեպքում: Օգտագործելով կեսքայլային ալգորիթմը բյուրեղային և վակուումային տիրույթներով համակարգերում՝ [52]-ում մշակվել է Տակագիի հավասարումների թվային ինտեգրման եղանակ՝ առանց օգտվելու դիտարկվող համակարգի ներքին «վակուում-բյուրեղ» սահմանների վրա ալիքային դաշտի անընդհատության պայմաններից, որը որպես օրինակ կիրառվել է վերջավոր բյուրեղներում ռենտգենյան ալիքների դիֆրակցիայի խնդրում:

Վիճակագրորեն բաշխված փոքր չափերով արատների ռենտգենյան ուսումնասիրությունը բյուրեղներում, երբ դրանց չափն ավելի փոքր է, քան ուսումնասիրող եղանակի զգայնությանը, հնարավոր է միայն դիֆրակտային պարամետրերի միջինացված արժեքների չափումով: Միջինացումը կատարվում է ըստ արատների բոլոր հնարավոր պատահական բաշխումների: Ուժեղ դեֆորմացված բյուրեղներում կիրառվում է դիֆուզային ցրման կինեմատիկական տեսությունը [53]: Դեֆորմացված բյուրեղներում զարգացվում է համապատասխան դինամիկական տեսություն: Կոհերենտ մոտավորություններ, երբ արատների չափերը շատ փոքր են էքստինկցիոն երկարությունից, խնդիրը հանգում է բյուրեղային մատրիցում կոհերենտ ալիքների տարածման դիֆրակցիայի հավասարման արտածմանը և համապատասխան լուծումների ուսումնասիրմանը [54]: [55,56] աշխատանքներում դիֆերենցիալ հավասարումներ են ստացվել վիճակագրորեն բաշխված արատների վրա դիֆուզային ցրված ալիքների համար: Բրեգի երկ-րաչափության դեպքում, ելակետ ընդունելով Տակագիի հավասարումները, ստացվել են դիֆուզային ցրված ալիքների ոչ կոհերենտ դինամիկական դիֆրակցիայի փոխադարձ կոհերենտության ֆունկցիայի հավասարումներ [57,58]: Չարգացվել է ընդհանուր տեսություն [59], որտեղ Տակագիի հավասարումների հիման վրա ստացվել են Դայսոնի հավասարումներ պատահականորեն բաշխված

արատներ պարունակող բյուրեղում կոհերենտ դինամիկական դիֆրակցիայի համար, մինչդեռ արատների վրա դիֆուզ ցր-ված ոչ կոհերենտ ալիքների փոխադարձ կոհերենտության ֆունկցիայի համար ստաց-վել են Բեթե-Սոլպիտերի հավասարումներ: Յետագայում դրանք ընդհանրացվել են՝ հաշվի առնելով լայնույթների՝ ըստ դիֆրակցիայի հարթությանն ուղղահայաց ուղ-ղությամբ կոորդինատի երկրորդ կարգի ածանցյալները [60]:

Երբ ալիքն ընկնում է մուտքի մակերևույթի նկատմամբ փոքր (անկյունային ռո-պեի կարգի) սահքի անկյան տակ, կամ դիֆրակտված ալիքները դուրս են գալիս ելքի մակերևույթի նկատմամբ փոքր սահքի անկյան տակ, ապա վերը նշված տեսու-թյունները կիրառելի չեն: Նմանատիպ իրավիճակ կարող է առաջանալ խիստ անհամապատասխան դիֆրակցիայի կամ ոչ կոմպլանար դիֆրակցիայի պայմաններում: Այս դեպքերում անհրաժեշտ է հաշվի առնել մակերևույթից հայելային անդրադարձած ալիք-ները: Յամպատասխան տեսությունները մանրամասն շարադրված են [9] մենագրությունում: Ըստ դիֆրակցիայի երկրաչափության՝ զանազանում են հետևյալ դեպքերը. անկման սահքի փոքր անկյուն, Լաուեի երկրաչափության [61,62] կամ Բրեգի երկրաչափության [63,64], փոքր սահքի անկյան տակ դուրս եկող փունջ, Լաուեի [65–67] կամ Բրեգի երկրաչափության [68–70], ոչ կոմպլանար դիֆրակցիա լրիվ հայելային անդրադարձման պայմաններում [71,72]: Մեկ այլ տեսություն հայելային ալիքների հաշվառմամբ զարգացվել է [73] աշխատանքում, հիմք ընդունելով Վ.Յամ-բարձումյանի ինվարիանտության սկզբունքը [74]՝ ձևափոխված կոհերենտ ալիքների դիֆրակցիայի դեպքի համար: Բացի այդ, Տակագիի հավասարումներն ընդհանրացվել են ոչ կոմպլանար դիֆրակցիայի համար [75], երբ հաշվի են առնվում մուտքի մակերևույթից անդրադարձած հայելային ալիքները: Վերլուծվել են գնդային և հարթ ալիքի դիֆրակցիայի դեպքերը: Ընկնող հարթ ալիքի դեպքում [76–78] աշխատանքներում ուսումնասիրվել է ռենտգենյան ալիքների դիֆրակցիան հայելային անդրադարձած ալիքների և մակերևույթային անդրաձայնի առկայությամբ:

Եթե Բրեգի անկյունը մոտ է $\pi/2$ -ի, ապա սովորական հարթալիքային տեսու-թյունն անմիջականորեն կիրառելի չէ: Այս

դեպքում կարևոր է դառնում դիսպերսային մակերևույթի չորրորդ կարգի մակերևույթ լինելու հանգամանքը հաշվի առնելը, մինչ-դեռ սովորական հարթալիքային տեսության շրջանակներում բավարար է դիսպերսային մակերևույթը որպես երկրորդ կարգի մակերևույթ դիտարկելու մոտավորությունը [79–81]: Կոսինուսարդային բևեռացելիության մոդելի շրջանակներում այս դեպքը տեսականորեն ուսումնասիրվել է [82–84] աշխատանքներում, իսկ բազմալիքային դինամիկական դիֆրակցիան $\pi/2$ -ի մոտ Բրեգի անկյան դեպքում՝ [85]-ում:

Առանձին հետաքրքրություն են ներկայացնում այն տեսությունները, որոնք նկարագրում են ռենտգենյան ալիքների դինամիկական դիֆրակցիան բյուրեղում անդրաձայնային տատանումների առկայությամբ [86,87–89]: Անդրաձայնային տատանումների ազդեցությամբ դեֆորմացված բյուրեղներում դինամիկական դիֆրակցիայի առանձնահատկությունները և անցման ուղղությունից դեպի դիֆրակցիայի ուղղությունը էներգիայի լրիվ արտամղման երևույթն ուսումնասիրվել են նաև [90–92] աշխատանքներում: Ցածր հաճախության անդրաձայնային տատանումներով մոդուլված բյուրեղներում դինամիկական դիֆրակցիան հետազոտվել է [93], իսկ մակերևույթային անդրաձայնով մոդուլված բյուրեղներում դիֆրակցիան՝ [94] աշխատանքներում: Ավելի ընդհանուր ձևակերպմամբ կարելի է ասել, որ դիտարկվում է դինամիկական դիֆրակցիան պարբերական դեֆորմացիոն դաշտով բյուրեղում՝ այսպես կոչված գերցանցում [95,96]: Չարգացվել է դինամիկական դիֆրակցիայի տեսություն կամայական տեսակի միաչափ գերցանցերում [97] և այդ տեսության հիման վրա ստացված են արտահայտություններ տարբեր գերցանցերի մոդելների կառուցվածքային գործոնների համար [98]: [99] աշխատանքում նշված տեսության հիման վրա ուսումնասիրվել է ընկնող գնդային ալիքի դինամիկական կիզակետման երևույթը գերցանցերում: Չարգացվել է նաև դինամիկական դիֆրակցիայի տեսություն կատարյալ և դեֆորմացված գերցանցերում [100]: Յետազոտվել է վիճակագրորեն բաշխված միկրոարատներով գերցանցերում (բազմաշերտ և գրադիենտային բյուրեղներում) ռենտգենյան ալիքների դիֆրակցիան [101]: Գերցանցերում դինամիկական դիֆրակցիայի

տեսությունը զարգացվել է խիստ անհամաչափ երկրաչափություններ դիֆրակցիայի դեպքում մուտքի և ելքի մակերևույթներից հայելային անդրադարձած ալիքների առկայությամբ [73], օգտագործելով Վ. Յամբարձումյանի ինվարիանտության սկզբունքը [74]: Գերցանցերում դինամիկական դիֆրակցիայի տեսությունը է զարգացվել նաև [102]-ում:

Վերը նշված բոլոր տեսություններում (բացի [60] և [75] աշխատանքներից) ընկ-նող ալիքի անհամասեռությունը հաշվի է առնվում դիֆրակցիայի հարթության մեջ: Բայց որոշ դեպքերում կարևոր է ընկնող ալիքի ճակատի կորության հաշվառումը դիֆրակցիայի հարթության մեջ և դրան ուղղահայաց ուղղությամբ: Ընկնող լայն տարամիտված փնջի դիֆրակցիայի տեսությունը Լաուեի երկրաչափության դեպքում զարգացվել է [103] և ապա [104] աշխատանքներում: Խնդիրն, ըստ էության, հանգել է մուտքի մակերևույթին ճիշտ Բրեգի պայմանին բավարարող բոլոր ճառագայթները գտնելուն՝ դիֆրակցիայի հարթության մեջ բյուրեղի հաստության վերահաշվառմամբ լուծելով դինամիկական դիֆրակցիայի խնդիրը: Դիֆրակցիայի յուրաքանչյուր այդպիսի հարթության մեջ կարելի է գրել համապատասխան Տակագիի հավասարումները և դրանք ինտեգրել դիֆրակցիայի տրված հարթության մեջ [104]: Նման խնդիր լուծվել է նաև Բրեգի երկրաչափության պայմաններում [105]:

Սակայն կա այս խնդրի նաև մեկ այլ դրվածք, երբ կարելի է դիտարկել Բրեգի պայմանին բավարարող մեկ ուղղություն՝ հաշվի առնելով ընկնող ալիքի տարամիտությունը նաև դիֆրակցիայի հարթությանն ուղղահայաց ուղղությամբ և այդ ուղղությամբ լայնույթների երկրորդ կարգի ածանցյալները: Այս դեպքում նույնպես, համապատասխան Գրինի ֆունկցիայի օգնությամբ, կարելի է լայնույթները ներկայացնել ըստ մուտքի մակերևույթի փաթույթի տեսքով: Յամբարձումյանի էյկոնալի տեսությունը հնարավորություն է տալիս գտնելու լուծումները դանդաղ փոփոխվող լայնույթների համար: Էյկոնալի տեսությունն այս դեպքում հնարավորություն է ընձեռում ուսումնասիրելու ռենտգենյան փնջերի կիզակետումը փորված (ոչ հարթ մակերևույթով) բյուրեղներով: Այս կարգի կիզակետում փորձնականորեն

Ուսումնասիրվել է ինչպես Բրեզիլ, այնպես էլ Լատին երկրաչափությունների դեպքերում [106–112] աշխատանքներում, որոնցում զարգացվել է նաև տեսությունը՝ հիմնված սովորական հարթալիքային տեսության վրա: Նման կիզակետումը կարևոր է ինչպես երրորդ սերնդի ռենտգենյան սինքրոտրոնային ճառագայթման, այնպես էլ ազատ էլեկտրոնային լազերների ռենտգենյան ճառագայթման կիզակետման համար:

Չարգացվել են նաև ռենտգենյան դինամիկական դիֆրակցիայի քվանտամեխանիկական [113–115], դաշտի քվանտային [116–120], ինչպես նաև բազմալիքային քվանտային տեսություններ [121]:

Երրորդ սերնդի սինքրոտրոնային ճառագայթումը և ազատ էլեկտրոնային լազերների առաջած ռենտգենյան փնջերը բավականաչափ ուժգին են, ուստի կարևոր են դառնում նյութի և ճառագայթման նաև ոչ գծային փոխազդեցության և՛ տեսական և՛ փորձարարական հետազոտությունները: Դիտարկվել է երկրորդ հարմոնիկի գծային երկալիքային դիֆրակցիան [122], որի ընթացքում առաջացած երկու բրեզյան ալիքների հակադարձ ազդեցությունն ընկնող ալիքի լայնության վրա անտեսվում է: Ուսումնասիրվել է ուժգին հարթ ռենտգենյան ալիքի կինեմատիկական բրեզյան դիֆրակցիան երկրորդ կարգի ոչ գծային բյուրեղում, երբ սկզբնական ռենտգենյան քվանտը պարամետրական փոխարկմամբ տրոհվում է ավելի ցածր հաճախության ռենտգենյան քվանտի և անդրամանուշակագույն ճառագայթման քվանտի [123,124]: Ուսումնասիրվել է նաև ուժ-գին ռենտգենյան ճառագայթման ուղիղ անցումը բյուրեղում երրորդ կարգի ոչ գծայինության պայմաններում [125]: Կատարվել են նաև նյութի և ռենտգենյան ճառագայթման այլ տեսակի ոչ գծային փոխազդեցությունների (երկֆոտոնային կլանում, ճառագայթային քայքայում և այլն) ուսումնասիրություններ [126–128]:

Ռենտգենյան ազատ էլեկտրոնային լազերներն առաքում են կարճ՝ 0,1–0,2 Ֆվ տևողությամբ իմպուլսներ, որոնք լիովին տարածական կոհերենտ են: Իմպուլսների միջև ժամանակային միջակայքը 0,3–0,5 Ֆվ է: Մի կրակոցի ժամանակ առաքվում են միմյանց հետ ոչ կոհերենտ, 100–200 Ֆվ ընդհանուր տևողությամբ այդպիսի կարճ իմպուլսներ [129]: Այսպիսով՝ կարևոր է դառնում ռենտգենյան

իմպուլսների տարածման և դիֆրակցիայի գծային և ոչ գծային ժամանակային հավասարումների ստացումը և կի-րառությունը: Գծային ժամանակային դինամիկական դիֆրակցիայի Տակագիի հավասարումները կատարյալ և դեֆորմացված բյուրեղներում առաջին անգամ ստացվել են [130,131]-ում: Ժամանակային հավասարման լուծումները Գրինի ֆունկցիայի և ընկ-նող ալիքի լայնության փաթույթի տեսքով Լաուեի և Բրեգի երկրաչափության պայմաններում, ընդհանուր դեպքում դեֆորմացված բյուրեղում, ստացվել են Լապլասի ձևափոխության կիրառմամբ [130]: Մասնավորապես, [130]-ում բացահայտ տեսքով ներկայացված են լուծումները կատարյալ և համասեռ ճկված բյուրեղների համար, որոնց Գրինի ֆունկցիան հայտնի է: Ընկնող հարթ ալիքի համար լուծումները վերլուծվել են Լաուեի և Բրեգի երկրաչափության դեպքերում [131]: Երրորդ սերնդի ռենտգենյան սին-քրոտրոնային աղբյուրների և ռենտգենյան ազատ էլեկտրոնային լազերների ճառագայթման տարածման և դիֆրակցիայի ուսումնասիրության հետ կապված՝ կատարվել են գծային ժամանակային դիֆրակցիայի ուսումնասիրություններ. [129, 132–141]-ում, դիտարկվել են ընկնող իմպուլսների՝ ժամանակից Դիրակի δ ֆունկցիայի և Գաուսի օրենքներով կախման դեպքերը: Ուսումնասիրվել է նաև ռենտգենյան իմպուլսի տարածումը վակուումում [129,142]: Բյուրեղի տաքացումն ազատ էլեկտրոնային լազերի բազմաթիվ կրակոցների ընթացքում առաքված իմպուլսների գծային դիֆրակցիայի պայմաններում ուսումնասիրվել է [139]-ում: Քանի որ ոչ գծային ժամանակային դիֆրակցիան ուսումնասիրված չէ, ապա հրատապ է դառնում ոչ գծային ժամանակային դինամիկական դիֆրակցիայի հավասարումների արտածումը և դրանց լուծումների ուսումնասիրությունը վերը նշված և հետաքրքրություններ կայացնող դեպքերում:

Դինամիկական տեսության շրջանակներում առանձնակի ուշադրություն է հատկացվել ներբյուրեղային դաշտերի ժամանակային (երկայնական) և տարածական (լայնական) կոհերենտության հատկությունների ուսումնասիրմանը [15,129–132, 142–148]:

Բացի դիֆրակցիայի ընդհանուր հավասարումների

ընդհանրացումից, կարևոր են նաև այն տեսական հետազոտությունները, որոնք ընդլայնում են տարբեր ռենտգենաօպտիկական համակարգերի տեսության շրջանակները:

Կարևոր ռենտգենաօպտիկական համակարգեր են ռենտգենյան երկթիթեղ և եռաթիթեղ ինտերֆերաչափերը, որոնց օգնությամբ հնարավոր է կատարել բյուրեղային ցանցի կառուցվածքային աղավաղումների ուսումնասիրությունները [149–153]: Երկթիթեղ ինտերֆերաչափի առանձնահատկություններն ուսումնասիրվել են [154]-ում: [155]-ում առաջարկվել և ուսումնասիրվել է Յարթ-Միլնի երկբյուրեղ համակարգը [150], որը բաղկացած է միմյանցից հեռու, սեպածև և հարթ գուգահեռ թիթեղներից և օգտագործվում է բյուրեղային արատների հետևանքով առաջացած ճոճանակային շերտերի ձևի և տեղի փոփոխություններն ուսումնասիրելիս [156–158]: Գիտական և կիրառական մեծ հետաքրքրություն են ներկայացնում ռենտգենյան եռաթիթեղ ինտերֆերաչափերը [149] և «կոշտ» ռենտգենյան ինտերֆերաչափը [159], որն ապահովում է ինտերֆերաչափի կատարյալ երկրաչափություն: Տակագիի հավասարումների զարգացումը հնարավորություն է տվել կառուցել ու ռենտգենյան ինտերֆերաչափ տեսություն՝ նեղ ճակատով ընկնող ալիքի համար [160,161]: Մուարի գծերի առաջացման տեսությունը զարգացվել է [162-165]-ում, կատարվել է իրական բյուրեղներում տարբեր արատներից առաջացած մուարի և ճոճանակային գծերի դասակարգում և ուսումնասիրություն [153]: Ինտերֆերաչափերի և ինտերֆերաչափության վերաբերյալ ամփոփիչ տեղեկություններ են ներկայացված [166]-ում: Նշենք, որ ուսումնասիրվել են ռենտգենյան երկթիթեղ [18,167] և եռաթիթեղ [167] համակարգերում դինամիկական դիֆրակցիան՝ հաշվի առնելով միջև և համակարգ կետային աղբյուրի հեռավորությունը և դիտման կետի հեռավորությունը: Ներկայումս առաջարկվել են նոր տեսակի ինտերֆերաչափեր [148,168–172]: Բյուրեղական արատների՝ եռաթիթեղ ռենտգենյան ինտերֆերաչափով կատարված ուսումնասիրություններում նկատվել է, որ ինտերֆերաչափի տարբեր թիթեղներում առկա արատները տարբեր կերպ են ազդում ինտերֆերենցային պատկերի վրա [173,174]: Սակայն ռենտգենյան ինտերֆերաչափում մուարի գծերի առաջացման մեխանիզմի

բացատրությունը սահմանափակվում է ինտերֆերաչափի թիթեղների տարբեր տեղամասերում համասեռ դեֆորմացիաների դիտարկմամբ, իսկ այլ բարդ դեպքերում կամ անմիջականորեն կիրառվում է օպտիկական նմանակությունը (անալոգիան) [154–156,158,175], առանց հիմնավորելու դրա կիրառման հնարավորությունը, կամ էլ մուարի գծերի առաջացումը չի բացատրվում: Մուարի գծերի առաջացման մեխանիզմի բացատրության բարդությունն այն է, որ, ի տարբերություն էլեկտրոնային դիֆրակցիայի ռենտգենյան տիրույթի հաճախությունների համար Բրեգի անկյունները մեծ են, որի հետևանքով դիֆրակտվող ալիքների լայնույթները դիֆրակցիայի հարթության մեջ էապես կախված են երկու կոորդինատից: Այսպիսով՝ կարևորվում է ռենտգենյան ինտերֆերաչափում մուարի գծերի առաջացման մեխանիզմի տեսության հետ-տագագարգացումը:

Նշենք նաև, որ [176]-ում առաջարկված և տեսականորեն ուսումնասիրված է բյուրեղում թույլ դեֆորմացիաների որոշման դինամիկական դիֆրակտային ռենտգենյան շերտագրային եղանակ:

Ռենտգենյան ալիքները նյութով անցնելիս այն չեն քայքայում, որի շնորհիվ լայն կիրառություն են գտել ոչ բյուրեղային նյութերի կառուցվածքային անհամասեռությունների որոշման բնագավառում: Նյութի կառուցվածքի ուսումնասիրությունը հիմնված է նմուշում ռենտգենյան ալիքների կլանման և բեկման երևույթների վրա: Բավարկանաչափ ուժեղ կլանող նմուշներում արդյունավետ է դիտարկել պատկերի ցայտուկ-նությունը, որն ստացվում է նմուշում տարածվող ալիքի անհամասեռ կլանման հետևանքով [177–179]: Թույլ կլանող (օրինակ՝ կենսաբանական) նյութերում բեկումը գերակշռում է կլանումը, և ավելի կարևորվում է բեկման երևույթը: Այս դեպքում նյութի ներքին կառուցվածքի վերաբերյալ տեղեկությունը պարունակվում է դրա միջով անցած ալիքի փուլում, ուստի ստացված պատկերի ցայտուկ-նությունը կոչվում է փուլային ցայտուկ-նություն, իսկ ուսումնասիրության եղանակները՝ փուլային ցայտուկ-նության եղանակ-ներ: Չարգացվել են փուլային ցայտուկ-նության ինտերֆերաչափային և ոչ ինտերֆերաչափային եղանակներ:

Փուլային ցայտուկ-նության ինտերֆերաչափային եղանակում

[180,181] ուսումնասիրվող առարկան դրվում է ռենտգենյան եռաթիթեղ ինտերֆերաչափի բազուկներից մեկում: Առարկայական ալիքն ինտերֆերում է ինտերֆերաչափի մյուս բազուկով տարածվող ալիքի հետ: [182,183]-ում զարգացվել է համապատասխան գնդալիքային տե-սուլթյուն: Ստացված ինտերֆերենցային պատկերի վրա ուժգնության բաշխումից վերականգնվում է առարկայի խտության բաշխումը:

Փուլային ցայտունության ոչ ինտերֆերաչափային եղանակները կարելի է բաժանել երկու հիմնական խմբի: Դրանցից մեկում օգտագործվում է բյուրեղում առարկայական ալիքի բրեգման դիֆրակցիան: Դիֆրակտված ալիքի ուժգնության արտահայտության մեջ առկա է առարկայական ալիքի փուլի աճանցային, որը համեմատական է առարկայի առկայության հետևանքով Բրեգի ճշգրիտ անկյունից առարկայական ալիքի տարածման ուղղության տեղային շեղման անկյանը: Այս եղանակն առաջարկվել է [184–186]-ում, իսկ համապատասխան տեսությունը՝ [187,188]-ում: Փուլային ցայտունության եղանակի տեսությունն ընկնող գնդային ալիքի կիզակետման առկայությամբ տրված է [189]-ում: [190]-ում առաջարկվել և տեսականորեն ուսումնասիրվել է փուլային ցայտունության մեկայլ՝ ռենտգենաչերտագրական եղանակ:

Ոչ բյուրեղական նյութերի կառուցվածքային անհամասեռությունների ուսումնասիրության նշանակալի առաջընթաց կարելի է համարել միկրոկիզակետային փուլային ցայտունության եղանակը [179,191], երբ առարկան լուսավորվում է շուրջ 5 մկմ չափե-րով աղբյուրի առաքած քվադրմենտերանգ գնդային ալիքով: Աղբյուրի փոքր չափերի հետևանքով ընկնող ալիքն ունի տարածական բարձր աստիճանի կոհերենտություն: Կատարվել է նաև ռենտգենյան ճառագայթման լաբորատոր աղբյուրներով կենսաբանական առարկաների միկրոշերտագրային հետազոտություն [192]: Առարկաների ներ-քին կառուցվածքի ուսումնասիրման ռենտգենյան փուլային ցայտունության նոր եղանակ է առաջադրվել և տեսականորեն հետազոտվել [193]-ում, որտեղ օգտագործվել է երեք գոտիական թիթեղներից բաղկացած ռենտգենյան ինտերֆերաչափ, որի բազուկներից մեկում տեղադրվել է հետազոտվող առարկան: Այս եղանակը գուճակցում է առարկայի խոշորացված պատկերի ստացումը

(որպես գոտիական թիթեղով առարկայի խոշորացված պատկերի ստացման հետևանք) տարածական և ժամանակային կոհերենտության նկատմամբ ցածր պահանջներով:

Առարկաների ներքին կառուցվածքի ուսումնասիրության մեկ այլ եղանակ է ռենտգենյան հոլոգրաֆիան: [194]-ում ուսումնասիրվել են ռենտգենյան հոլոգրաֆիա-կան սխեմաներ և նշվել է, որ ռենտգենյան հոլոգրաֆիան կարելի է զարգացնել բրեգ-յան դիֆրակցիայի հիմքի վրա: Արդեն առաջադրվել են այդպիսի տարբեր սխեմաներ. հոլոգրաֆիական սխեմաներ ռենտգենյան բյուրեղագիտության ունում [195–197], ա-տոմական լուծուճակության հոլոգրաֆիա [198], ռենտգենյան ֆլյուորեսցենտային հոլոգրաֆիական սխեմաներ [199], խճանկարային բյուրեղների ռենտգենյան հոլոգրաֆիա [200], ռենտգենյան դիֆուզային ցրման հոլոգրաֆիա [201], դիֆրակտային ցանցերի վրա դիֆրակցիայի օգտագործմամբ ռենտգենյան հոլոգրաֆիա [202]:

Էլեկտրամագնիսական ալիքների տեսանելի տիրույթի օպտիկայում օգտագործվում են տարբեր հոլոգրաֆիական սխեմաներ. ֆրենելյան՝ առանցքային (Գաբորի) և ոչ առանցքային հոլոգրաֆիա, ֆուրիե-հոլոգրաֆիա, ինտերֆերաչափական հոլոգրաֆիա [203,204], որոնք այժմ ներկայացված են ռենտգենյան հաճախության տիրույթում (բոլոր ռենտգենյան հոլոգրաֆիական եղանակներում վերականգնումը կարելի է իրականացնել կամ տեսանելի տիրույթի լույսով, կամ թվային եղանակով):

Ռենտգենյան ոչ կոհերենտ ինտերֆերաչափական հոլոգրաֆիան առաջարկվել և տեսականորեն ուսումնասիրվել է [205–207]-ում: Եղանակի էությունը ռենտգենյան հոլոգրամ գրանցելու համար ռենտգենյան եռաթիթեղ կամ քառաթիթեղ ինտերֆերաչափի օգտագործումն է: Ենթադրվում է, որ ուսումնասիրվող առարկան տեղադրված է ինտերֆերաչափի բազուկներից մեկում, իսկ մյուս բազուկով տարածվող ալիքը կատարում է հենային ալիքի դեր: Երրորդ կամ չորրորդ թիթեղից դուրս եկած փնջերում ձևավորված և գրանցված ինտերֆերենցային պատկերն առարկայի ռենտգենյան հոլոգրամն է: [208]-ում առաջարկվել է բյուրեղին մոտ կետային աղբյուրի պատկերի վերականգնման եղանակ, որի դեպքում

Ենթադրվում է, որ հարթ-գուգահեռ թիթեղում իրականանում է Լ առեյան համաչափ երկրաչափություն ամբերկալիքային դիֆրակցիա: Ցույց է տրվել, որ թիթեղի ելքի մակերևույթին դիսպերսային մակերևույթի երկու ճյուղերի դաշտերի ինտերֆերենցից առաջացած դիֆրակտային պատկերը գրանցելուց և տեսանելի տիրույթի Լ ույսով Լ ուսավորելուց հետո կարելի է վերականգնել կետային ռենտգենյան աղբյուրի պատկերը:

Երրորդ սերնդի սինքրոտրոնային աղբյուրների առկայության պայմաններում առաջարկվել են առանց բրեգյան անդրադարձման կիրառման ռենտգենյան հոլոգրաֆիական եղանակներ՝ առանցքային (Գաբորի) հոլոգրաֆիա [209-213] և ֆուրիե-հոլոգրաֆիա [212-214], որոնք հնարավոր է իրականացնել նաև ռենտգենյան ազատ էլեկտրոնային Լ ազերներով և որոնցում ռենտգենյան կետային աղբյուրի ձևավորման կամ պատկերի ստացման նպատակով օգտագործվել է ռենտգենյան գոտիական թիթեղ: [214]-ում հետազոտվել են նանոբյուրեղներ, որոնց ձևի, խտության և դեֆորմացաների որոշման կինեմատիկական բրեգյան 3D-ֆուրիե-հոլոգրաֆիական եղանակ է առաջարկվել [215]-ում: Այս եղանակում օգտագործվում է նանոբյուրեղ և մեկ այլ՝ հենային բյուրեղ, որն ունի նանոբյուրեղի անդրադարձնող հարթույունների միջհարթույուն-նային հեռավորությանը շատ մոտ միջհարթույունային հեռավորություն, այնպես որ հնարավոր է իրականացնել միաժամանակյա բրեգյան կինեմատիկական դիֆրակցիա այդ երկու բյուրեղներից և որպես հոլոգրամ գրանցել առաջացած կինեմատիկական բրեգյան պիքսերի ինտերֆերենցային պատկերի ուժգնությունը: Ռենտգենյան հոլոգրաֆիայի մասին ամփոփիչ տվյալներ են ներկայացված [216]-ում:

Այսպիսով՝ կարելի է փաստել, որ ինչպես դինամիկական դիֆրակցիայի ընդ-հանուր տեսության մեջ, այնպես էլ բյուրեղային արատների և առարկաների ներքին կառուցվածքի ուսումնասիրության ինտերֆերաչափական և հոլոգրաֆիական եղանակ-ներում կան դեռևս չլուծված սկզբունքային տեսական հարցեր:

Պաշտպանության ներկայացվող հիմնական դրույթները

1. Բյուրեղներում դիֆրակցիայի հարթույանն ուղղահայաց

ուղղությամբ տարամետ փնջերի դինամիկական դիֆրակցիայի տեսությունն ընդլայնում է դինամիկական դիֆրակցիայի ընդհանուր տեսությունը և անհրաժեշտ է փորձարարական համապատասխան պայմաններում կանխատեսումների և փորձի արդյունքների ճշգրիտուժ համարժեք մեկնաբանման համար:

2. Գրինի ֆունկցիայի կառուցումն ընկնող կամայական տիպի ռենտգենյան ալիքի դեպքում հնարավորություն է տալիս բյուրեղում դիֆրակտվող ալիքների լայնության արտահայտելու Գրինի ֆունկցիայի և մակերևույթին ընկնող ալիքի լայնության՝ ըստմուտքի մակերևույթի փաթույթի տեսքով:

3. Չարգացված տեսության հիման վրա Լաուէի և Բրեգի երկրաչափությունների դեպքերում դինամիկական դիֆրակցիայի ուսումնասիրությունները բացահայտում են լայնության կախումները դիֆրակցիայի հարթության մեջ և դիֆրակցիայի հարթությանն ուղղահայաց ուղղությամբ Բրեգի անկյունային շեղումներից և դրանից հետևող դինամիկական դիֆրակցիայի նոր առանձնահատկություններ:

4. Չարգացված տեսությամբ հնարավոր է ստանալ դինամիկական դիֆրակցիային մասնակցող փնջերի տարածական և ժամանակային կոհերենտության ճշգրիտ գնահատականներ՝ հաշվի առնելով աղբյուրի չափերը դիֆրակցիայի հարթության մեջ ու դիֆրակցիայի հարթությանն ուղղահայաց ուղղությամբ, ինչպես նաև ընկնող փնջի ալիքային ճակատի երկչափկորությունը:

5. Չարգացված տեսությունը հնարավորություն է տալիս կառուցելու Լաուէի և Բրեգի երկրաչափություններին համապատասխանող ճոճման կորերը՝ կախված ընկնող ալիքի՝ դիֆրակցիայի հարթության մեջ և դիֆրակցիայի հարթությանն ուղղահայաց ուղղություններով Բրեգի անկյունից շեղումից:

6. Եյկոնալի զարգացված տեսությունը ճշգրիտ է նկարագրում դանդաղ փոփոխվող դաշտերի տարածման հետազօտերն ու հնարավորություն է տալիս ասիմպտոտական վերլուծության տարբեր կարգերում Լաուէի ու Բրեգի երկրաչափության դեպքերում որոշելու դիֆրակտվող ալիքների լայնությունները և երկչափ փորվածքով մակերևույթ ունեցող բյուրեղով իրականացվող կիզակետման կիզակետի չափերը, կիզակետային հեռավորությունը և

կիզակետի շուրջ նուժգնությամբ բաշխումը:

7. Տակագիտի հավասարումների էյկոնալի տեսության տեղափոխման հավասարումները հնարավորություն են տալիս ասիմպտոտական վերլուծության կամայական կարգում դաշտի լայնության արտահայտելու ըստ հետագծի ինտեգրալի տեսքով, և ուսումնասիրելու դինամիկական դիֆրակցիան դանդաղ փոփոխվող դեֆորմացիաներով բյուրեղներում:

8. Ոչ գծային հավասարումների համար ճշգրիտ լուծումները Լաուեի երկրա-չափությամբ հարթալիքային դեպքում հանգեցնում են ոչ գծային ճոճանակային երևույթի և ոչ գծային էքստինկցիոն երկարության:

9. Լաուեի դեպքում ոչ գծային հավասարումների լուծումից հետևում է նոր ճոճա-նակային երևույթ՝ անդրադարձման և անցման գործակիցների պարբերական կախումն ընկնող ալիքի ուժգնությունից:

10. Ոչ գծային դինամիկական դիֆրակցիայի նկարագրության համար զարգացված թվային եղանակի հիման վրա հնարավոր է կառուցել ճոճման կորերը Լաուեի երկ-րաչափության դեպքում և ապացուցել, որ ընկնող ալիքի ուժգնության աճի հետ այդ կո-րերը տեղաշարժվում են դեպի փոքրանկյունային տիրույթ:

11. Չարգացված տեսությամբ բացահայտվել է, որ ոչ գծային դիֆրակցիայի դեպքում նույնպես տեղի ունի Բորմանի երևույթը: Նեղ փնջի ոչ գծային դիֆրակցիայի դեպքում հաստ բյուրեղում թվային հաշվարկով հայտնաբերվել են անցնող և դիֆրակտված ալիքների պիկերի՝ Բորմանի երևույթով և ոչ գծայնությամբ պայմանավորված տեղա-շարժման տարբերությունները գծային դիֆրակցիայի դեպքի համեմատ:

12. Բրեգի երկրաչափության դեպքում ոչ գծային տեսության ճշգրիտ լուծումներից, ինչպես նաև թվային հաշվարկներերով, հնարավոր է որոշել լրիվ անդրադարձման տի-րույթի չափերը, դրա կենտրոնի դիրքը և սահմանները՝ կախված ընկնող ալիքի ուժգնությունից: Ընկնող ալիքի ուժգնության մեծացմանը զուգընթաց լրիվ անդրադարձ-ման տիրույթի մեծանկյունային սահմանը և կենտրոնը շեղվում են դեպի փոքրանկյուն-նային տիրույթ, լրիվ անդրադարձման տիրույթի փոքր անկյունային

սահմանը կախված չէ ընկնող ալիքի ուժգնությամբ, իսկ ընկնող ալիքի ուժգնության որոշակի սահմանային արժեքից մեծ արժեքների համար լրիվ անդրադարձման տիրույթ գոյություն չունի:

13. Չարգացված տեսությամբ հնարավոր է որոշել երկու ճեղքի վրա դիսամիկական դիֆրակցիայի գծերի (դիսամիկական դիֆրակտային Յունգի գծեր) տեսքը, պար-բերությունը, ուժգնության բաշխումը: Դիֆրակցիայի այս սխեման նաև դիսամիկական դիֆրակտային Ռելեյի և Մայքելսոնի աստղային ինտերֆերաչափերի սխեմա է և կարող է հիմք ծառայել դիսամիկական դիֆրակտային ֆուրիե-հոլոգրաֆիայի համար:

14. Առաջարկված ռենտգենյան դիսամիկական դիֆրակտային միաբյուրեղային և ինտերֆերաչափական հոլոգրաֆիական սխեմաները հնարավորություն են տալիս գրանցելու առարկայի հոլոգրամը և լույսի միջոցով այն լուսավորելով կամ թվային եղանակով վերականգնելու առարկայի պատկերը:

15. Հաստ կլանող բյուրեղի ելքի մակերևույթին ստացված ուժգնության պատկերը կոմպլեքս անցման գործակցի ֆուրիե-պատկերն է կամ ֆրաունհոֆերի ու ֆրենելի՝ օպտիկայից հայտնի բաշխումների նմանակը:

16. Տեսականորեն հաստատվել է մուարի պատկերների առաջացման մեջ ինտերֆերաչափի տարբեր թիթեղների ներդրումների տարբերությունը: Հայելային թիթեղը փուլերի տարբերության մեջ ներդրում է տալիս մյուս թիթեղների նկատմամբ տեղաշարժով և դեֆորմացիաներով, մինչդեռ ճեղքիչ և վերլուծիչ թիթեղները վերադրվող ալիքների փուլերի տարբերության մեջ ներդրում են տալիս միայն տեղաշարժի վեկտորներով:

17. Էլեկտրոնամանրադիտակային մուարի պատկերները երկու վերադրվող ցանցերի սահմանի տեղաշարժի վեկտորների տարբերության հաստատուն արժեքների գծերն են: Էլեկտրոնամանրադիտակային փուլային ցայտունության պատկերները ոչ միայն կատարյալ, այլ նաև սահուն փոփոխվող դեֆորմացիաներով հաստ բյուրեղի ելքի մակերևույթի վրա առմական հարթությունների պրոյեկցիայի ուղիղ պատկերն են:

Ատենախոսու թյ ու ն ու մ բանաձևերը և նկարները համարակալ ված են ըստ գլ ու խների՝ թվագույ գերով: Յուրաքանչյուր թվագույ գի առաջին թիվը գլ խի համարն է, իսկ երկրորդն՝ այդ գլ խում բանաձևի, նկարի հերթական համարը: Ատենախոսու թյ ան հիմ-նական արդյ ու ն ք ն երը հրատարակված են [252-282] աշխատանքներում:

Մաս 1. ԴԻՆԱՄԻԿԱԿԱՆ ԴՖՏՐԱԿՑԻԱՅԻ ՅԻՄՆԱԿԱՆ ՀԱՎԱՍԱՐՈՒՄՆԵՐԸ

ԳԼՈՒԽ 1. ԴՖՏՐԱԿՑԻԱՅԻ ԴԻՆԱՄԻԿԱԿԱՆ ՏԵՍՈՒԹՅԱՆ ՀԱՎԱՍԱՐՈՒՄՆԵՐԸ

§1.1. *Լայնույթների երկրորդ կարգի ածանցյալների դերը դինամիկական դիֆրակցիայի հավասարումներում*

Երկալիքային դինամիկական դիֆրակցիայի հավասարումները երկչափ են՝ դրանցում մասնակցում են լայնույթների ածանցյալներն ըստ դիֆրակցիայի հարթու-թյան մեջ կոորդինատների [30]: Սակայն դինամիկական դիֆրակցիայի որոշ խնդիր-ներ լուծելիս անհրաժեշտ է այդ հավասարումներում հաշվի առնել լայնույթների երկ-րորդ կարգի ածանցյալներն ըստ դիֆրակցիայի հարթու-թյանն ուղղահայաց կոորդինատի (սովորաբար՝ y կոորդինատը): Այսպես, օրինակ, երկառանցք ճկված բյուրեղով փնջի երկչափ կիզակետման խնդրում, երբ բյուրեղում ատոմի՝ հավասարակշռության դիրքից շեղման վեկտորը կախված է նաև y կոորդինատից, քննարկվել է ըստ այդ կոորդինատի ածանցյալների անտեսման հարցը [217,218]: Երկրորդ կարգի ածանցյալները հաշվի են առնվել ոչ կոմպլեքս դիֆրակցիայի պայմաններում հայելա-յին ալիքների առկայության մեկնության փնջերի դինամիկական դիֆրակցիայի խնդրում [75]: Նշենք, որ լայնույթների y կոորդինատից կախման հաշվառումը կարևոր է՝ երկչափ, ոչ հարթ մուտքի և ելքի մակերևույթներով բյուրեղով ռենտգենյան փնջի կի-զակետման հետազոտության ներքո:

Ստորև որոշվել է Գրինի ուշացող ֆունկցիան կատարյալ բյուրեղում, երբ դինամիկական դիֆրակցիայի հավասարումներում հաշվի են առնվում լայնույթների երկրորդ կարգի ածանցյալներն ըստ դիֆրակցիայի հարթու-թյանն ուղղահայաց ուղղության y կոորդինատի: Օգտագործելով ստացված Գրինի ֆունկցիան՝ լայնույթների լուծումները ներկայացվել են ըստ բյուրեղի մակերևույթի փաթույթի տեսքով, որը հնարավորություն է տալիս նկարագրել ու դինամիկական դիֆրակցիան և՛ հարթ, և՛ երկչափ կորության մուտքի ու ելքի մակերևույթներով կատարյալ բյուրեղում: Անհրաժեշտ է նշել, որ ենթադրվում է Բրեգի պայմանին բավարարող մեկ ուղղություն, երբ ընկնող ալիքն ունի

տարամիտությունները երկու փոխուղղահայաց հարթություններում, ի տարբերություն ընկ-նող լայն տարամիտող փնջի դեպքի [75], երբ առկա են Բրեգի պայմանին բավարարող բոլոր ուղղությունները:

§1.1.1. Չիմնական բանաձևեր

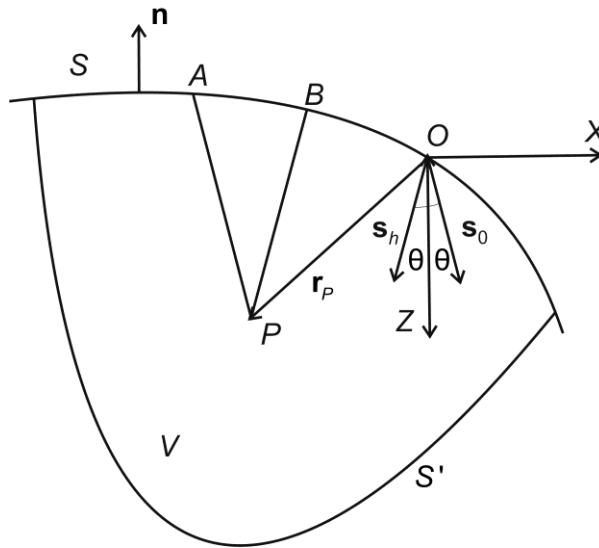
Դիֆրակցիայի հարթության ուղղահայաց y կոորդինատի լայնությաների երկրորդ կարգի ածանցյալների հաշվառմամբ, կատարյալ բյուրեղում երկալիքային դիսամի-կական դիֆրակցիայի պայմաններում անցած և դիֆրակտված ալիքների E_0 , E_h լայնությաները բավարարում են հետևյալ հավասարումներին [75, 217].

$$\begin{aligned} \frac{\partial^2 E_0}{\partial y^2} + 2ik \frac{\partial E_0}{\partial s_0} + k^2 \chi_h^- E_h C &= 0, \\ \frac{\partial^2 E_h}{\partial y^2} + 2ik \frac{\partial E_h}{\partial s_h} + k^2 \chi_h^+ E_0 C &= 0, \end{aligned} \tag{1.1}$$

որտեղ $k=2\pi/\lambda$ ալիքային թիվն է, s_0 , s_h ՝ կոորդինատներն ըստ անցած և դիֆրակտված ալիքների տարածման ուղղությունների, համապատասխանաբար, χ_h^- , χ_h^+ ՝ բյուրեղի բևեռացվելիության ֆուրիե-բաղադրիչները են \mathbf{h} և $-\mathbf{h}$ անդրադարձումների համար, σ -բևեռացման համար $C = 1$, իսկ π -բևեռացման համար՝ $C = \cos 2\theta$, θ -ն Բրեգի անկյունն է: Չետագայում պարզության համար բևեռացման C գործակիցը բաց է թողնվում: (1.1) համակարգից անցնելով հավասարումների առանձին լայնությաների համար, ստանում ենք

$$\frac{\partial^4 E_{0,h}}{\partial y^4} + 2ik \left(\frac{\partial}{\partial s_0} + \frac{\partial}{\partial s_h} \right) \frac{\partial^2 E_{0,h}}{\partial y^2} - 4k^2 \frac{\partial^2 E_{0,h}}{\partial s_0 \partial s_h} - k^4 \chi_h^- \chi_h^+ E_{0,h} = 0: \tag{1.2}$$

z կոորդինատային առանցքն ուղղենք անդրադարձնող հարթությունների երկայնքով դեպի բյուրեղի խորքը, իսկ x կոորդինատային առանցքը՝ հակազուգահեռ \mathbf{h} անդրադարձման վեկտորին: Անցած և դիֆրակտված ալիքների տարածման ուղղությունների s_0 , s_h միավոր վեկտորներն OZ առանցքի ուղղության հետ կազմում են θ անկյունն (նկ.1.1): Ըստ s_0 -ի և s_h -ի ածանցյալները կարելի է արտահայտել ըստ x -ի և z -ի ածանցյալների միջոցով: Անցած և դիֆրակտված ալիքների լայնությաների հավասարումներն ունեն նույն տեսքը, ուստի համապատասխան Գրինի ֆունկցիաները կբավարարեն նույն հավասարմանը՝



Նկ.1.1. Ինտեգրման V ծավալի և այն պարփակող $S+S'$ մակերևույթի հատույթը $y=y_p$ հարթությամբ: Տույց են տրված կոորդինատների O սկզբնակետը և դիֆրակցիայի հարթության մեջ կոորդինատական առանցքները, անցած և դիֆրակտված ալիքների ուղղությունների \mathbf{s}_0 և \mathbf{s}_h միավոր վեկտորները, դիտման P կետը և նրա \mathbf{r}_p շառավիղ-վեկտորը, $(z_p - z)\operatorname{tg}\theta - (x_p - x) = \text{const}$ և $(z_p - z)\operatorname{tg}\theta + (x_p - x) = \text{const}$ հարթությունների AP և BP հատույթները նկարի հարթության հետ և ինտեգրման մակերևույթի կամայական կետում \mathbf{n} արտաքին նորմալը:

$$\frac{\partial^4 G}{\partial y^4} - 4ik \cos\theta \frac{\partial^3 G}{\partial z \partial y^2} - 4k^2 \left(\cos^2 \theta \frac{\partial^2 G}{\partial z^2} - \sin^2 \theta \frac{\partial^2 G}{\partial x^2} \right) - k^4 \chi_h \chi_{\bar{h}} G = -\delta(\mathbf{r} - \mathbf{r}_p), \quad (1.3)$$

որտեղ δ -ն Դիրակի դելտա-ֆունկցիան է, \mathbf{r}_p -ն՝ բյուրեղի ներսի դիտման P կետի շառավիղ-վեկտորը (նկ. 1.1), \mathbf{r} -ը՝ (1.3) հավասարման մեջ մտնող ընթացիկ կետի շառավիղ-վեկտորը: Ուշացող Գրինի ֆունկցիան որոշվում է ըստ x և y կոորդինատների ֆուրիե-ձևափոխության եղանակով [219], այնուհետև գտնվում է ըստ z -ի ստացված անհամասեռ, սովորական ածանցյալներով դիֆերենցիալ հավասարման ուշացող մասնակի լուծումը [31]: Կատարելով լուծման հակադարձ ֆուրիե-ձևափոխություն, կստանանք Գրինի ուշացող ֆունկցիան

$$G(\mathbf{r}_p - \mathbf{r}) = \frac{\exp\left(-i\frac{\pi}{4}\right)}{8\pi k^2 \sin 2\theta} \sqrt{\frac{2\pi k \cos\theta}{z_p - z}} \exp\left[ik \frac{(y_p - y)^2}{2(z_p - z)}\right] \times \int_0^\infty \sigma \sqrt{(z_p - z)^2 \operatorname{tg}^2 \theta - (x_p - x)^2} H(z_p - z) H[(z_p - z)\operatorname{tg}\theta - |x_p - x|], \quad (1.4)$$

որտեղ \int_0^∞ -ն Բեսելի առաջին սերի գրոկարգի ֆունկցիան է, $H(x)$ -ը

$$\text{Յեվիսայ դի (միավոր թռիչքի) ֆունկցիան է, } \sigma = k (\chi_p \chi_p^-)^{1/2} / 2 \sin \theta: \quad (1.2)$$

հավասարումից լայնույթները գտնելու նպատակով անցնենք x, y, z փոփոխականներին, բյուրեղի ներսում առանձնացնենք P դիտման կետն ընդգրկող V ծավալ: Ծավալի մակերևույթը կազմված է բյուրեղի մակե-րևույթի S տեղամասից և բյուրեղի ներքին S' տեղամասից (նկ.1.1): V ծավալում են $(z_p - z) \operatorname{tg} \theta - (x_p - x) = \text{const}$ և

$$(z_p - z) \operatorname{tg} \theta + (x_p - x) = \text{const} \quad \text{հարթությունները:} \quad (1.2)\text{-ը բազմապատկելով}$$

Գրինի ֆունկցիայով, իսկ (1.3)-ը՝ համապատասխան լայնույթով, հանելով երկրորդ հավասարումն առաջինից, ինտեգրելով ըստ ընտրված ծավալի և կիրառելով Գաուսի բանաձևը [48], կստանանք՝

$$\begin{aligned} E_{0,h}(\mathbf{r}_p) = & \iint \left(G \frac{\partial^3 E_{0,h}}{\partial y^3} - E_{0,h} \frac{\partial^3 G}{\partial y^3} + \frac{\partial E_{0,h}}{\partial y} \frac{\partial^2 G}{\partial y^2} - \frac{\partial G}{\partial y} \frac{\partial^2 E_{0,h}}{\partial y^2} \right) dS_y + \\ & + 4ik \cos \theta \iint \left(G \frac{\partial^2 E_{0,h}}{\partial z \partial y} + E_{0,h} \frac{\partial^2 G}{\partial z \partial y} - \frac{\partial}{\partial z} \left(G \frac{\partial E_{0,h}}{\partial y} \right) \right) dS_y + 4ik \cos \theta \iint G \frac{\partial^2 E_{0,h}}{\partial y^2} dS_z - \quad (1.5) \\ & - 4k^2 \cos^2 \theta \iint \left(G \frac{\partial E_{0,h}}{\partial z} - E_{0,h} \frac{\partial G}{\partial z} \right) dS_z + 4k^2 \sin^2 \theta \iint \left(G \frac{\partial E_{0,h}}{\partial x} - E_{0,h} \frac{\partial G}{\partial x} \right) dS_x, \end{aligned}$$

որտեղ dS_x -ը, dS_y -ը և dS_z -ը մակերևույթի dS տարրի բաղադրիչներն են կոորդինատային առանցքների վրա: Ինտեգրումը կատարվում է ըստ $S + S'$ փակ մակերևույթի: Գրինի ֆունկցիայի արտահայտության մեջ մտնող Յեվիսայ դի ֆունկցիաները հնարավորություն են տալիս ինտեգրումը կատարելու միայն S մակերևույթով, ավելի ճիշտ՝ S մակերևույթի AB տեղամասով, որն ընկած է S մակերևույթի և $(z_p - z) \operatorname{tg} \theta + (x_p - x) = \text{const}$ և $(z_p - z) \operatorname{tg} \theta - (x_p - x) = \text{const}$ հարթությունների հետ երկու հատումների միջև: Նկատի ունենալով Յեվիսայ դի ֆունկցիայի առկայությունը՝ (1.5)-ը կարելի է ներկայացնել ըստ S մակերևույթի ինտեգրալի միջոցով.

$$\begin{aligned} E_{0,h}(\mathbf{r}_p) = & \int_S \left(G \frac{\partial^3 E_{0,h}}{\partial y^3} - E_{0,h} \frac{\partial^3 G}{\partial y^3} + \frac{\partial E_{0,h}}{\partial y} \frac{\partial^2 G}{\partial y^2} - \frac{\partial G}{\partial y} \frac{\partial^2 E_{0,h}}{\partial y^2} \right) dS_y + \\ & + 4ik \cos \theta \int_S \left(G \frac{\partial^2 E_{0,h}}{\partial z \partial y} + E_{0,h} \frac{\partial^2 G}{\partial z \partial y} - \frac{\partial}{\partial z} \left(G \frac{\partial E_{0,h}}{\partial y} \right) \right) dS_y + 4ik \cos \theta \int_S G \frac{\partial^2 E_{0,h}}{\partial y^2} dS_z - \quad (1.6) \\ & - 4k^2 \cos^2 \theta \int_S \left(G \frac{\partial E_{0,h}}{\partial z} - E_{0,h} \frac{\partial G}{\partial z} \right) dS_z + 4k^2 \sin^2 \theta \int_S \left(G \frac{\partial E_{0,h}}{\partial x} - E_{0,h} \frac{\partial G}{\partial x} \right) dS_x : \end{aligned}$$

(1.6) քանակի հետագա օգտագործման տեսակետից նպատակահարմար է գնահատել նրանում առկա գումարելիները: Գնահատելու համար ընդունենք, ինչպես

այդ հետևում է (1.1)-ից, որ $\partial E_{0,h}/\partial y \sim k\chi_h^{1/2} E_{0,h}$, $\partial^2 E_{0,h}/\partial y^2 \sim k\partial E_{0,h}/\partial z \sim k\partial E_{0,h}/\partial x \sim k^2\chi_h E_{0,h}$, նույն կերպ (1.3)-ից՝ $\partial G_{0,h}/\partial y \sim k\chi_h^{1/2} G_{0,h}$, $\partial^2 G_{0,h}/\partial y^2 \sim k\partial G_{0,h}/\partial z \sim k\partial G_{0,h}/\partial x \sim k^2\chi_h G_{0,h}$: Օգտվելով այս գնահատականներից, հեշտ է ցույց տալ, որ (1.6)-ի առաջին և երկրորդ ինտեգրալների (ըստ dS_y -ի) ենթաինտեգրալ արտահայտությունը $k^3\chi_h^{3/2}GE_{0,h}$ կարգի է, մնացած ինտեգրալների ենթաինտեգրալ արտահայտությունները՝ $k^3\chi_h GE_{0,h}$ -ի կարգի: Քանի որ $|\chi_h| \sim 10^{-5} - 10^{-6}$ -ի կարգի է, ապա (1.6)-ում կարելի է արհամարհել ըստ dS_y -ի ինտեգրալները, որից հետո կստանանք.

$$E_{0,h}(z_p) = 4ik \cos\theta \int_s G \frac{\partial^2 E_{0,h}}{\partial y^2} dS_z - 4k^2 \cos^2\theta \int_s \left(G \frac{\partial E_{0,h}}{\partial z} - E_{0,h} \frac{\partial G}{\partial z} \right) dS_z + 4k^2 \sin^2\theta \int_s \left(G \frac{\partial E_{0,h}}{\partial x} - E_{0,h} \frac{\partial G}{\partial x} \right) dS_x : \quad (1.7)$$

Ինչպես երևում է (1.7)-ից, բյուրեղի ներսում լուծումը կհամընկնի ստանդարտ դինամիկական դիֆրակցիայի տեսության հայտնի արտահայտության հետ [8,9], եթե առաջին ինտեգրալի արտահայտության մեջ արհամարհենք լայնության երկրորդ կարգի ածանցյալն ըստ y -ի, իսկ մնացած երկու ինտեգրալներում ինտեգրումը կատարենք ըստ ստացիոնար փուլի եղանակի [48], որպես ստացիոնար կետ ընտրելով Գրինի ֆունկցիայի արտահայտության մեջ $\exp[ik(y_p - y)^2 / 2(z_p - z)]$ ֆունկցիայի ստացիոնար $y_{st} = y_p$ կետը: (1.7) ներկայացումը կարելի է օգտագործել և՛ Լաուեի, և՛ Բրեգի երկրաչափության անհամաչափ դինամիկական դիֆրակցիայի նկարագրության նպատակով, մուտքի և ելքի հարթ և ոչ հարթ մակերևույթներով բյուրեղներում: Այն կարելի է նաև օգտագործել դիֆրակտային պատկերի ստացման համար անհրաժեշտ փնջի տարածական և ժամանակային կոհերենտության աստիճանը գնահատելիս:

§1.2. Լաուեյան դիֆրակցիայի տեսությունը լայնության երկրորդ կարգի ածանցյալների հաշվառմամբ

Իր սկզբնական տարբերակում ռենտգենյան ալիքների դինամիկական դիֆրակցիայի տեսությունը զարգացվել է ընկնող մեներանգ հարթ ալիքի համար, որտեղ «աղբյուր-բյուրեղ» հեռավորությունը (հավասար անվերջի) և փնջի տարամիտությունը (հավասար գրոյի) սևեռված են [8,9]: Կատոն զարգացրել է գնդային ալիքի դինամիկական դիֆրակցիայի տեսություն բյուրեղին մոտ կետային աղբյուրի համար, որտեղ հաշվի է առնվում ընկնող փնջի տարամիտությունը դիֆրակցիայի հարթության մեջ [11–14]: Այդ տեսության մեջ «աղբյուր-բյուրեղ» հեռավորությունը վերցվում է հավասար գրոյի, որից հետևում է նոր տեսակի ճոճանակային շերտերի՝ բյուրեղի մակերևույթին տեղադրված կետային աղբյուրի ճոճանակային շերտերի հասկացությունը: Յետագայում զարգացվել է Աֆանասև-Կոնի գնդային ալիքի դինամիկական դիֆրակցիայի տեսությունը [16,17,19], որը հաշվի է առնում ոչ միայն ընկնող փնջի տարամիտությունը դիֆրակցիայի հարթության մեջ, այլ նաև «աղբյուր-բյուրեղ» հեռավորության փոփոխությունը: Լաուեի երկրաչափության դեպքում բյուրեղի ներսում և բյուրեղից դուրս՝ վակուումում հայտնաբերվել է ռենտգենյան գնդային ալիքի դինամիկական դիֆրակտային կիզակետումը: [146]-ում ուսումնասիրվել է Լաուեի համաչափ երկրաչափամբ այսպես կոչված տեղային հարթ ալիքի դիֆրակցիան, երբ բյուրեղն ընկնող ճառագայթ-ման ֆրաունհոֆերյան գոտում է: Այս դեպքում ելքի մակերևույթին ուժգնության կախումը դիֆրակցիայի հարթության մեջ ըստ մակերևույթի երկայնքի կոորդինատի ունի նույն տեսքը, ինչ անդրադարձման գործակիցը Բրեգի ճշգրիտ անկյունից շեղման պարամետրից:

Ստորև, (1.7) արտահայտության հիման վրա ուսումնասիրվել է երկրորդ կարգի ածանցյալների ազդեցությունը Լաուեի երկրաչափամբ կատարյալ բյուրեղում երկ-ալիքային դինամիկական դիֆրակցիայի վրա, ինչպես նաև դիֆրակտային պատկերի վրա փնջի տարածական և ժամանակային կոհերենտության աստիճանի ազդեցությունը: Հաշվի են առնվել ինչպես փնջի տարամիտությունը դիֆրակցիայի հարթության մեջ և նրան ուղղահայաց ուղղությամբ, այնպես էլ «աղբյուր-բյուրեղ» հեռավորությունը: Տրված են նաև ռենտգենյան իմպուլսի

Ժամանակային դինամիկական դիֆրակցիայի հավասարումները, որոնցում հաշվի է առնվել ընկնող իմպուլսի տարամիտությունը երկու փոխողղահայաց հարթություններում:

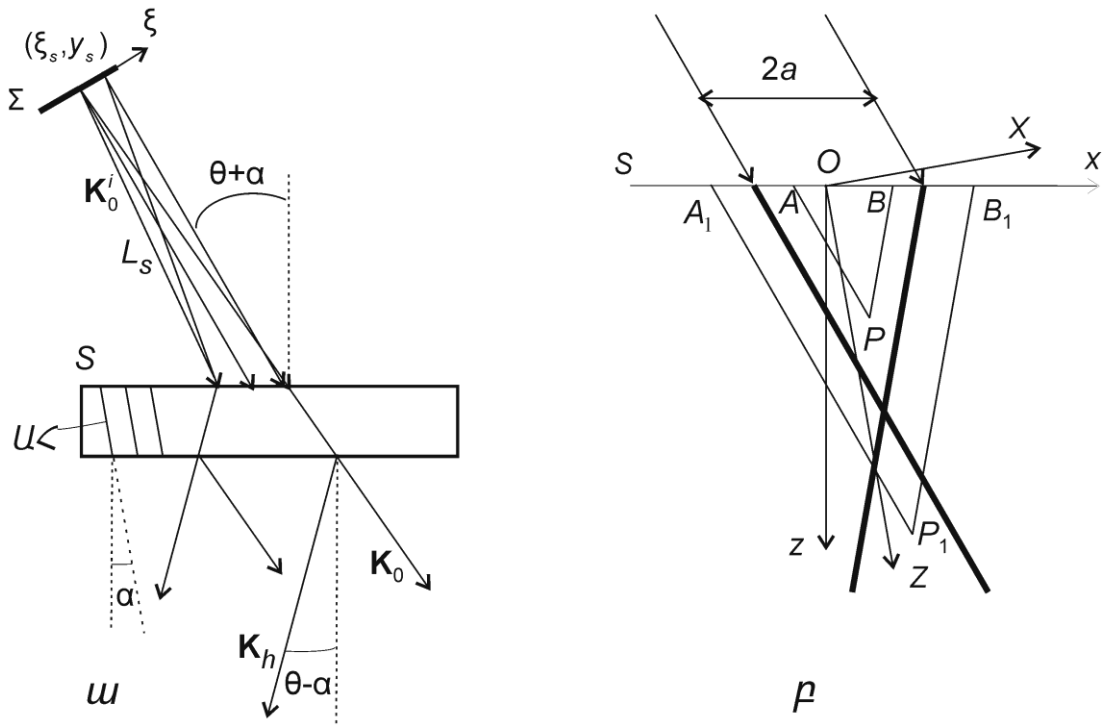
§1.2.1. Հիմնական բանաձևեր

Դիտարկենք երկալիքային համաչափ Լատե դիֆրակցիան մուտքի ու ելքի հարթ մակերևույթներով կատարյալ բյուրեղում: Ներմուծենք երկու կոորդինատային համակարգեր: Դրանցից մեկը՝ OXYZ-ը, սկենենք անդրադարձնող հարթություններին, իսկ մյուսը՝ Oxyz-ը՝ բյուրեղի մակերևույթին (սկ.1.2. ա,բ), ընդ որում, OZ-ն ուղղենք անդրադարձնող հարթությունների երկայնքով՝ դեպի բյուրեղի խորքը, OX-ը՝ հակազուգահեռ դիֆրակցիայի հվեկտորին, իսկ Oy-ը՝ ուղղահայաց դիֆրակցիայի հարթությանը (սկարի հարթությունը) ըստաջ կոորդինատային համակարգի կանոնի:

Կատարյալ բյուրեղում, երկալիքային դինամիկական դիֆրակցիայի պայմաններում, անցած և դիֆրակտված ալիքների E_0 և E_h լայնույթները կարելի է ներկայացնել

$$E_{0,h}(\mathbf{r}) = 4ik \cos\theta \int_s G \frac{\partial^2 E_{0,h}}{\partial y'^2} dS_z - 4k^2 \cos^2 \theta \int_s \left(G \frac{\partial E_{0,h}}{\partial z'} - E_{0,h} \frac{\partial G}{\partial z'} \right) dS_z +$$

$$+ 4k^2 \sin^2 \theta \int_s \left(G \frac{\partial E_{0,h}}{\partial x'} - E_{0,h} \frac{\partial G}{\partial x'} \right) dS_x \tag{1.8}$$



Նկ.1.2.ա. Դիֆրակցիայի ընդհանուր սխեման. ցույց են տրված՝ Σ չափերով ռենտգենյան աղբյուրը, ξ առանցքը, աղբյուրի ξ_s, γ_s կետի կոորդինատները, κ_0^i , ընկնող ալիքի կրող ալիքային վեկտորը, L_s ՝ «աղբյուր-բյուրեղ» միջին հեռավորությունը, աղբյուրի $(0, \gamma_s)$ և (ξ_s, γ_s) կետերից դուրս եկող ճառագայթները, S ՝ բյուրեղի մակերևույթը, ԱՅ՝ անդրադարձնող հարթությունները, կետագծերով՝ մակերևույթի ուղղահայացները, անդրադարձնող հարթությունների շարունակությունները և համապատասխան անկյունները, $\mathbf{K}_0(\mathbf{K}_h)$ ՝ անցած (դիֆրակտված) ալիքի ալիքային վեկտոր: p . Ox, Oz և OX, OZ կոորդինատային առանցքներ (Oy առանցքն ուղղահայաց է նկարի հարթությանը), $2a$ ՝ փնջի լայնությունն, մուգ գծերով ցույց են տրված փնջի եզրերով անցնող $Z \operatorname{tg} \theta + X = \text{const}$, $Z \operatorname{tg} \theta - X = \text{const}$ բևեռագրիչները, P -ն և P_1 -ը դիտման կետերն են այդ բևեռագրիչների հատման կետից վերև և ներքև ընկած տիրույթներում, AB -ն և A_1B_1 -ը P և P_1 դիտման կետերով անցնող բևեռագրիչների և մուտքի մակերևույթի հատման կետերի միջև ընկած մուտքի մակերևույթի տիրույթներ:

արտահայտությամբ, որտեղ $r(X, y, Z)$ -ը դիտման կետի շառավիղ-վեկտորն է, $r'(X, y, Z)$ -ը՝ ինտեգրման մակերևույթի ընթացիկ կետի շառավիղ-վեկտորը: Կատարված նշանակումներից հետո (1.4)-ով տրվող Գրինի ֆունկցիան՝

$$G(\mathbf{r} - \mathbf{r}') = \frac{\exp\left(-i\frac{\pi}{4}\right)}{8\pi k^2 \sin 2\theta} \sqrt{\frac{2\pi k \cos \theta}{Z - Z'}} \exp\left(ik \frac{(y - y')^2 \cos \theta}{2(Z - Z')}\right) \times \int_0^{\infty} \sqrt{(Z - Z')^2 \operatorname{tg}^2 \theta - (X - X')^2} H(Z - Z') H((Z - Z') \operatorname{tg} \theta - |X - X'|), \quad (1.9)$$

որտեղ (X, Z) և (x, z) կոորդինատները կապված են

$$\begin{aligned} X &= x \cos \alpha - z \sin \alpha, \\ Z &= x \sin \alpha + z \cos \alpha \end{aligned} \quad (1.10)$$

պտույտի ձևափոխությամբ, իսկ α -ն բյուրեղի մուտքի մակերևույթի ներքին նորմալի և անդրադարձնող հարթությունների կազմած անկյունն է (նկ.1.2.ա):

Ուսումնասիրենք միայն դիֆրակտված ալիքի վարքը: Բյուրեղի մուտքի մակերևույթին L առեղի երկրաչափության սովորական պայմաններին [8,9] անհրաժեշտ է ավելացնել ըստ y -ի երկրորդ կարգի ածանցյալի վրա դրվող պայմանը՝

$$\frac{\partial E_h}{\partial y} = 0 \Rightarrow \frac{\partial^2 E_h}{\partial y^2} = 0: \quad (1.11)$$

Ենթադրենք՝ աղբյուրն արձակում է քվադրիմենտրանգ ալիք, որի ուժգնության առավելագույն արժեքին համապատասխանող ալիքի երկարությունը λ_m է: Աղբյուրն ունի չափեր, ընդ որում դիֆրակցիայի հարթության մեջ աղբյուրի կամայական կետի կոորդինատը ξ_s է (նկ.1.2.ա, ξ առանցքը դիֆրակցիայի հարթության և աղբյուրի հարթության մեջ է), իսկ դիֆրակցիայի հարթության ուղղահայաց ուղղությունը կոորդինատը՝ y_s : Աղբյուրի կամայական (ξ_s, y_s) կետ առաքում է գնդային ալիք: Դիցուք՝ աղբյուրի $(0,0)$ կենտրոնական կետի հեռավորությունը բյուրեղից L_s է, ընդ որում $\mathbf{\kappa}_0^i$ կրող ալիքային վեկտորն ուղղված է աղբյուրի $(0,0)$ կետից՝ ուղղահայաց աղբյուրին: Տարբեր ալիքի երկարությունների համար $|\mathbf{\kappa}_0^i| = k = 2\pi/\lambda$ տարբեր է, բայց բոլոր $\mathbf{\kappa}_0^i$ ալիքային վեկտորներն ունեն նույն ուղղությունը: Անհրաժեշտ է ընկնող ալիքի փուլը վերածել թեյլորի շարքի ըստ $1/L_s$ մեծության, պահելով վերլուծության չորրորդ աստիճանը ներառյալ, քանի որ դինամիկական դիֆրակցիայի հավասարումներում թողնվել են ըստ y -ի երկրորդ կարգի ածանցյալները: (ξ_s, y_s) կետից առաքված ալիքը կունենա

$$\frac{E_0^i}{L_s} \exp \left[i \Phi^i + \mathbf{\kappa}_0^i \cdot \mathbf{r}^i \right] \quad (1.12)$$

տեսքը, ընդ որում

$$\Phi^i = k \frac{[(x' \gamma_0 - \xi_s)^2 + (y' - y_s)^2]}{2L_s} - k \frac{x' \sin \theta + \alpha}{2} \frac{(y' - y_s)^2}{L_s^2} - k \frac{(y' - y_s)^4}{8L_s^3}, \quad (1.13)$$

որտեղ $\gamma_0 = \cos \theta + \alpha$. Յաշվի առնելով (1.12)-ը և այն, որ բյուրեղում անցած և դիֆրակտված ալիքների կրող ալիքային վեկտորներն ընտրվել են այնպես, որ տրված ալիքի երկարության համար բավարարում են Բրեգի ճշգրիտ պայմանին, ինչպես նաև բեկումը, լայնույթների անընդհատության պայմանը, կարող ենք որոշել անցած ալիքի լայնույթը բյուրեղի մուտքի մակերևույթին՝

$$E_0 = \frac{E_0^i}{L_s} \exp \left[i \left(\Phi^i + k \Delta \theta x' \gamma_0 - k \frac{\chi_0 x' \gamma_h (1-b)}{2 \sin 2\theta} \right) \right], \quad (1.14)$$

որտեղ $\gamma_h = \cos \theta - \alpha$, $b = \gamma_0 \gamma_h$ -ն անհամաչափության (ասիմետրիկության) գործակիցն է, χ_0 -ն՝ բյուրեղի բևեռացվելիության գրոյական ֆուրիե-բաղադրիչը, $\Delta \theta(\lambda) = \theta^i - \theta(\lambda)$ ՝ Բրեգի ճշգրիտ անկյուննից շեղումը, իսկ θ^i -ն՝ κ_0^i -ի սահքի անկյունն անդրադարձ-նող հարթությունների նկատմամբ: Օգտագործելով Բրեգի օրենքը, դժվար է տեսնել, որ

$$\Delta \theta(\lambda) = \theta^i - \theta(\lambda_m) - \frac{\lambda - \lambda_m}{\lambda} \operatorname{tg} \theta = \Delta \theta(\lambda_m) - \frac{\Delta \lambda}{\lambda} \operatorname{tg} \theta: \quad (1.15)$$

Յաշվի առնելով $dS_z = -dx'dy' = -\cos \alpha dx'dy'$, $dS_x = dz'dy' = \sin \alpha dx'dy'$ արտահայտությունները և օգտագործելով ստանդարտ սահմանային պայմանները Լաուեի երկրաչափության համար, ինչպես նաև ավելացնելով (1.11) սահմանային պայմանը, (1.8) բա-նաձևից հանգում ենք հետևյալ արտահայտությանը՝

$$E_h(\mathbf{r}) = 2ik\chi_h\gamma_0 \int_s k^2 G(\mathbf{r}; x', y') E_0(x', y') dx' dy': \quad (1.16)$$

(1.16)-ն ըստ y' -ի ինտեգրելիս հաշվի առնենք, որ Գրինի ֆունկցիայի (1.9) արտահայտությունը պարունակում է արագ փոփոխվող էքսպոնենտ, որն ունի $y'_{st} = y$ ստացիո-նար կետ: Փոփոխմյուն անդամները վերածելով շարքի այդ ստացիոնար կետի շուրջը՝ ներառյալ գծային անդամներն ըստ $(y' - y_{st})$ -ի, ապա կատարելով ինտեգրում անվերջ սահմաններում, (1.16)-ից կստանանք՝

$$E'_h(\mathbf{r}; \xi_s, y_s, \Delta\lambda) = A \exp(i\Phi_0(\mathbf{r}; \xi_s, y_s, \Delta\lambda)) \times \int_{-1}^1 J_0 \left(\frac{\sigma \sqrt{Y_0 Y_h}}{\cos \theta} \sqrt{l^2 - x^2} \right) \exp(i\Phi(\mathbf{r}; \xi_s, y_s, \Delta\lambda)) dx, \quad (1.17)$$

ընդ որում

$$E'_h(\mathbf{r}; \xi_s, y_s) = E_h(\mathbf{r}; \xi_s, y_s) \exp\left(ik \frac{\chi_0 z}{2 \cos \theta}\right), \quad (1.17a)$$

$$l = \frac{\sin 2\theta}{2Y_0 Y_h} z, \quad A = ik \frac{\chi_h Y_0}{2 \sin 2\theta} \frac{E_0^i}{L_s}, \quad (1.17b)$$

$$\begin{aligned} \Phi_0(x, y, z) = & kzY_0 \left(\frac{\chi_0(1+b)}{4b \cos^2 \theta} \left(1 + \frac{(1-b)^2}{4b \sin^2 \theta} \right) - \frac{\Delta\theta(1-b^2)}{2b \sin 2\theta} \right) + kY_0 \Delta\theta x + \\ & + \frac{k}{2L_s} \left(Y_0 x - \frac{zY_h(1-b^2)}{2 \sin 2\theta} - \xi_s \right)^2 + \frac{k(y-y_s)^2}{2L_s} - \frac{k(y-y_s)^2}{2L_s^2} \left(x \sin \theta + \alpha \right) + \frac{zY_h(1+b)^2}{4 \cos^2 \theta} - \\ & - \frac{k(y-y_s)^4}{8L_s^3}, \end{aligned} \quad (1.18)$$

իսկ

$$\Phi(\mathbf{r}) = \beta x + \frac{1}{2L_s} kx^2 Y_0^2, \quad (1.19)$$

$$\beta = \frac{kY_0}{2 \sin 2\theta} \left(2 \sin 2\theta \Delta\theta - \frac{\chi_0(1-b)}{b} \right) + \frac{kY_0}{L_s} \left(xY_0 - \frac{zY_h(1-b^2)}{2 \sin 2\theta} - \xi_s - \frac{\tan \theta (y-y_s)^2}{2L_s} \right): \quad (1.20)$$

Ինչպես երևում է (1.20) բանաձևից, ստանդարտ տեսության համեմատ Բրեգի անկյուննից շեղման պարամետրի արտահայտության մեջ առկա է էապես նոր կախում y կոորդինատից, որն, ինչպես և սպասվում էր, քառակուսային է, և որի հետևանքով առաջանում են լայնույթի և փնջի տարածական կոհերենտության կախումներն y կոորդինատից:

§1.2.2. Տարածական և ժամանակային կոհերենտություն

Ռենտգենյան օպտիկայում բազմաթիվ աշխատանքներ են նվիրված տարածական և ժամանակային կոհերենտության ուսումնասիրմանը [130,131,143-148]:

Տարածական կոհերենտության ուսումնասիրման համար տարածական աղբյուրը տրոհում են անսահման կետային աղբյուրների և գումարելով անսահման կետային աղբյուրների առաքած ուժգնությունն ըստ այդ աղբյուրների կոորդինատների՝ հետագո-

տում են դիֆրակտային պատկերի ուժգնության բաշխման վրա աղբյուրի չափերի ազդեցությունը:

Ժամանակային կոհերենտության ուսումնասիրման համար օգտվում են ռենտգենյան իմպուլսի դիֆրակցիայի ժամանակային հավասարումից, կամ էլ ընկնող փնջի լայնությամբ վերածում են ֆուրիե-ինտեգրալի ըստ հաճախության ներքին և ամեն հաճախության համար որոշելով դիֆրակտված դաշտի ուժգնությունը՝ դրանք ինտեգրում են ըստ հաճախության ներքին (կամ ալիքի երկարությունների): Այս պարագրաֆում ստացվել է լայնությի՝ y կոորդինատից կախման նորոչ տրիվիալ արտահայտություն, որը հնարավորություն է տալիս քննարկելու տարածական և ժամանակային կոհերենտության հարցերը՝ կախված նաև այդ կոորդինատից: Հետագոտությունը կատարենք [146]-ի նմանությամբ:

Նախ՝ անդրադառնանք տարածական կոհերենտության հարցին: Սնեռենք ալիքի երկարությունը և դիտարկենք դիֆրակտված դաշտի ուժգնությունը տրված կետային աղբյուրի համար: Կհամարենք, որ աղբյուրի չափերն ըստ ξ -ի փոխվում են $(-a_h, a_h)$, իսկ ըստ y -ի՝ $(-a_y, a_y)$ սահմաններում: (1.17) արտահայտության մոդուլի քառակուսին ըստ աղբյուրի կոորդինատների ինտեգրելիս, ուժգնության արտահայտության մեջ կառաջանա հետևյալ տեսքի փոխադարձ ուժգնության ֆունկցիան՝

$$I_h(x', x'') = \int_{-a_h}^{a_h} \int_{-a_y}^{a_y} |E_0^i(\xi_s, y_s, \Delta\lambda)|^2 \exp \left[i \frac{kV_0}{L_s} (x'' - x') \left(\xi_s + \operatorname{tg} \theta \frac{(y - y_s)^2}{2L_s} \right) \right] d\xi_s dy_s: \quad (1.21)$$

Եթե տրվի $|E_0^i(\xi_s, y_s, \Delta\lambda)|^2$ ուժգնության որոշակի բաշխում ըստ աղբյուրի կոորդինատների (սովորաբար տրվում է Գաուսի բաշխում, բայց կարելի է օգտագործել նաև համասեռ բաշխում), ապա կարելի է (1.21)-ում կատարել ինտեգրում, իսկ ապա ինտեգրելով ըստ x' -ի և x'' -ի՝ ուժգնության համար գտնել վերջնական արտահայտություն: Այդ դեպքում, ըստ աղբյուրի չափերի ինտեգրումը կհանգեցնի դիֆրակտային պատկերի աղավաղման մինչև դրա լրիվ վերացումը՝ կախված աղբյուրի չափերից և բյուրեղում դիտման կետի կոորդինատից: Բայց կարելի է անմիջականորեն (1.21)-ից գնահատել աղբյուրի այն չափերը, որոնք չեն ազդում դիֆրակտային պատկերի ուժգնության բաշխման վրա: Նախ նկատենք, որ ըստ y_s -ի ինտեգրելիս կարելի է

$\exp[ik\gamma_0(x'' - x')\text{tg}\theta y_s^2/2L_s^2]$ անդամը համարել ավելի դանդաղ փոփոխվող, քան փուլում ըստ y_s -ի գծային անդամ պարունակող բազմապատկիչը, քանի որ a_y -ի առավելագույն արժեքը 100մկմ-ի կարգի է, L_s -ը կարելի է համարել մետրի կարգի, $(x'' - x')$ -ի առավելագույն արժեքը՝ 2/ի կարգի: Փուլում թողնելով գլխավոր՝ ըստ y_s -ի գծային անդամը, փոխադարձ ուժգնությունը կարելի է գրել հետևյալ տեսքով՝

$$I_{hs}(x', x'') = \int_{-a_h}^{a_h} \int_{-a_y}^{a_y} |E_0^i(\xi_s, y_s, \Delta\lambda)|^2 \exp\left[i\frac{k\gamma_0}{L_s}(x'' - x')\left(\xi_s - \text{tg}\theta \frac{yy_s}{L_s}\right)\right] d\xi_s dy_s: \quad (1.22)$$

Փորձում ընկնող փունջն ունի վերջավոր չափեր: Դիֆրակցիայի հարթության մեջ փնջի չափը բյուրեղի մուտքի մակերևույթին նշանակենք $2a$ -ով: Այդ դեպքում $x_{\max} = \max(x'' - x')$ -ը, ըստ (1.17)-ի, հավասար կլինի $\min(2l, 2a)$ (այստեղ՝ z ի քննարկվում կիսաստվերի տիրույթը, որտեղ x_{\max} -ն ավելի փոքր է): Նշանակենք նաև $|y|_{\max}$ -ով դիտման կետի y կոորդինատի առավելագույն արժեքը: (1.22)-ի համաձայն՝ հստակ դիֆրակտային պատկեր ստանալու համար բավարար է, որպեսզի

$$\frac{k\gamma_0}{L_s} x_{\max} a_h < \pi, \quad k\gamma_0 x_{\max} \text{tg}\theta \frac{|y|_{\max} a_y}{L_s^2} < \pi, \quad (1.23)$$

որոնք ալիքի երկարությունների լեզվով համարժեք են

$$2a_h \gamma_0 x_{\max} < \lambda L_s, \quad 2a_y \gamma_0 \text{tg}\theta x_{\max} |y|_{\max} < \lambda L_s^2 \quad (1.24)$$

պայմաններին: Այսպիսով՝ (1.24)-ից հետևում է փնջի լրիվ կտրվածքով հստակ դիֆրակտային պատկեր ստանալու բավարար պայմանը՝

$$x_{\max} < \min\left(\frac{\lambda L_s}{2a_h \gamma_0}, \frac{\lambda L_s^2}{2a_y \gamma_0 \text{tg}\theta |y|_{\max}}\right): \quad (1.25)$$

Ճեղքի եզրերով անցնող բնութագրիչների հատման կետում ընկած գագաթով, շրջված Բորմանի եռանկյան տիրույթում (նկ. 1.2.բ) բաց է ամբողջ ալիքային ճակատը, և $x_{\max} = 2l$: Այդ դեպքում (1.24)-ից և /-ի սահմանումից հետևում է (տես 1.17), որ

$$z < \min\left(\frac{\lambda L_s \gamma_h}{2a_h \sin 2\theta}, \frac{\lambda L_s^2 \gamma_h}{2a_y \text{tg}\theta |y|_{\max} \sin 2\theta}\right): \quad (1.26)$$

Ճեղքի եզրերով անցնող բնութագրիչների հատման կետում ընկած գագաթով Բորմանի եռանկյան տիրույթում $x_{\max} = 2a$: Այդ

տիրույթում (1.24)-ից ստանում ենք հետևյալ պայմանը՝

$$2a < m \operatorname{in} \left(\frac{\lambda L_s}{2a_n \gamma_0}, \frac{\lambda L_s^2}{2a_y \gamma_0 \operatorname{tg} \theta |y|_{m \max}} \right): \quad (1.27)$$

Կատյի դեպքի իրականացման պայմաններում բյուրեղի մակերևույթին մոտ դրվում է նեղ ճեղք, որը չափերն այնպիսին են, որ փնջի կտրվածքով դիտվում են այս դեպքին համապատասխանող հիպերբոլական տեսքի ճոճանակային շերտերը: Կարելի է նույնիսկ ճեղք չօգտագործել, քանի որ աղբյուրը բյուրեղին մոտեցնելիս բյուրեղի մակերևույթի անդրադարձման տիրույթը նեղանում է և խաղում նեղ ճեղքի դեր: Յարթ-ալիքային ճոճանակային շերտեր ստանալու համար, բացի (1.24) պայմանը բավարարելուց, անհրաժեշտ է նաև կոլիմացնել փունջը, հակառակ դեպքում ընկնող ալիքի տարբեր հարթալիքային բաղադրիչները կիստերֆերեն և հարթալիքային ճոճանակային գծեր չեն ստացվի:

Այժմ քննարկենք ժամանակային կոհերենտության հարցը: Ընկնող ալիքը սովորաբար քվադրմենտերանգ է: Ըստ ալիքի երկարության ներքին դիֆրակտված դաշտի ու ժգնության ինտեգրումը կհանգեցնի հետևյալ տեսքի փոխադարձ ու ժգնության ֆունկցիայի՝

$$I_n(x', x'') = \int_{-\Delta\lambda_1}^{\Delta\lambda_1} |E_0^i(\xi_s, y_s, \Delta\lambda)|^2 \exp \left[ik\gamma_0 \operatorname{tg} \theta (x'' - x') \frac{\Delta\lambda}{\lambda} \right] d\Delta\lambda, \quad (1.28)$$

որտեղ $\Delta\lambda_1$ -ն ընկնող ալիքի սպեկտրային լայնությունն է: (1.27)-ում ենթադրվում է, որ ընկնող ալիքի ճառագայթման սպեկտրում ու ժգնության առավելագույն արժեքին համապատասխանում է λ_m ալիքի երկարությունը և որի համար, առանց ընդհանրությունը խախտելու, կարելի է համարել, որ $2 \sin 2\theta \Delta\theta(\lambda_m) = -|\chi_{01}|(1 - b)/b$: Քանի որ $x'_{m \max} = m \operatorname{ax}(x'' - x') = m \operatorname{in}(2l, 2a)$, ապա (1.27)-ից, ինչպես և տարածական կոհերենտության դեպքում, ճեղքի եզրերով անցնող բնութագրիչների հատման կետից վեր տիրույթում ստանում ենք դիֆրակտային պատկերի չաղավաղման հետևյալ բավարար պայմանը՝

$$z < \frac{\lambda^2}{2\Delta\lambda_1} \frac{\gamma_h}{\sin 2\theta \operatorname{tg} \theta}, \quad (1.29)$$

իսկ ներքևի տիրույթում՝

$$2a < \frac{\lambda^2}{2\Delta\lambda_1} \frac{1}{\gamma_0 \operatorname{tg}\theta}, \quad (1.30)$$

որտեղ $\lambda^2/2\Delta\lambda_1$ -ն ընկնող փնջի երկայնական կոհերենտության երկարությունն է:

Քննարկվող հարցերի շրջանակներում հետազոտենք անհամաչափ դիֆրակցիայից հետո ընկնող ալիքի պարամետրերի փոփոխությունները: Ներմուծենք նոր փոփոխական՝

$$\xi_h = (x - x_c) \cos \theta - \alpha + (z - T) \sin \theta - \alpha, \quad \text{որտեղ} \quad x_c = z\gamma_h (1 - b^2) / 2\gamma_0 \sin 2\theta \quad \text{փնջի}$$

կենտրոնի x կոորդինատն է բյուրեղի ելքի մակերևույթին, T -ն բյուրեղի հաստությունն է: ξ_h -ն ունի դիֆրակցիայի հարթության մեջ դիֆրակտված ալիքի տարածման ուղղությունն ուղղահայաց փնջի լայնքով փոփոխվող կոորդինատի իմաստ: Բյուրեղի ելքի մակերևույթին $x - x_c = \xi_h / \gamma_h$: Արտահայտելով $x - x_c$ -ն ξ_h -ով և տեղադրելով դիֆրակտված ալիքի փուլի (1.18) արտահայտության մեջ, այն համեմատելով ընկնող ալիքի փուլի (1.13) արտահայտության հետ, որում բյուրեղի մուտքի մակերևույթին $x\gamma_0 = \xi$ (նկ.1.2.ա), կարելի է անել հետևյալ եզրակացությունները: Դիֆրակտված փնջում Բրեգի անկյուններից $\Delta\theta$ շեղումը փոխարինվում է $b\Delta\theta$ -ով: Յետևաբար՝ $\Delta\lambda/\lambda$ -ն փոխարինվում է $b\Delta\lambda/\lambda$ -ով: Բացի այդ, աղբյուրի L_s հեռավորությունը փոխարինվում է L_s / b^2 արդյունքաբար հեռավորությամբ, իսկ դիֆրակցիայի հարթության մեջ աղբյուրի ξ_s չափերը փոխարինվում են ξ_s / b -ով: Այստեղից հետևում է, որ դիֆրակցիայի հարթության մեջ փնջի ξ_s / L_s տարամիտությունը փոխարինվում է $b\xi_s / L_s$ -ով: Այսպիսով, եթե $b < 1$, ապա դիֆրակտված փնջի մեներանգությունը և դիֆրակցիայի հարթության մեջ կոլիմացվածությունն ավելի են լավանում:

Այժմ դիտարկենք դինամիկական դիֆրակցիայի Տակագիի գծային ժամանակային հավասարումները՝ հաշվի առնելով ընկնող իմպուլսի դաշտի լարվածություն տարամիտությունը նաև դիֆրակցիայի հարթությանն ուղղահայաց ուղղությամբ:

Տակագիի ժամանակային գծային դինամիկական դիֆրակցիայի հավասարումներում [130,131] ավելացնելով լայնույթների՝ ըստ դիֆրակցիայի հարթությանն ուղղահայաց ուղղության երկրորդ կարգի ածանցյալները, կստանանք.

$$\begin{aligned} \frac{\partial^2 \tilde{E}_0}{\partial Y^2} + 2ik_m \frac{\partial \tilde{E}_0}{\partial S_0} + 2ik_m \frac{\partial \tilde{E}_0}{\partial T} + k_m^2 \chi_0 \tilde{E}_0 + k_m^2 C \chi_h \tilde{E}_h &= 0, \\ \frac{\partial^2 \tilde{E}_h}{\partial Y^2} + 2ik_m \frac{\partial \tilde{E}_h}{\partial S_h} + 2ik_m \frac{\partial \tilde{E}_h}{\partial T} + k_m^2 \chi_0 \tilde{E}_h + k_m^2 C \chi_h \tilde{E}_0 &= 0, \end{aligned} \quad (1.31)$$

որտեղ \tilde{E}_0 -ն և \tilde{E}_h -ն անցած և դիֆրակտված ալիքների՝ ժամանակից կախված լայնույթ-ներն են, $T = ct$, c -ն լույսի արագությունն է վակուումում, t -ն՝ ժամանակը, $k_m = 2\pi/\lambda_m$: Կարելի է պնդել, որ (1.17) լուծումը դիֆրակտված դաշտի (1.31) հավասարման լուծման հաճախյին ֆունկցիաներն է: Ավելի ստույգ, (1.31)-ի լուծման և մեներանգ բաղադրիչի լայնույթի միջև կահետևյալ կապը՝

$$\tilde{E}_h(\mathbf{r}, t; \xi_s, Y_s) = \int_{-\infty}^{\infty} E_h'(\mathbf{r}; \Delta\omega, \xi_s, Y_s) \exp\left[i(\mathbf{K}_h - \mathbf{K}_{hm})\mathbf{r} - t\Delta\omega\right] d\Delta\omega, \quad (1.32)$$

որը հետևում է ռենտգենյան իմպուլսի էլեկտրական դաշտի լարվածության մեջ առավելագույն ու ժգնությանը համապատասխանող ω_m միջին հաճախության և միջին \mathbf{K}_{hm} ալիքային վեկտորն առանձնացնելուց: Դրան համապատասխան, $\Delta\omega = \omega - \omega_m$, \mathbf{K}_{hm} -ն ω_m հաճախությանը համապատասխանող և Բրեգի ճշգրիտ պայմանին բավարարող ալիքային վեկտորն է, իսկ \mathbf{K}_h -ը՝ ω հաճախությանը համապատասխանող և Բրեգի ճշգրիտ պայմանին բավարարող դիֆրակտված դաշտի ալիքային վեկտորը: Եթե E_h -ը տրվի (1.8) կամ (1.16) բանաձևով, ապա ընկնող կամայական ռենտգենյան իմպուլսի համար կարելի է գրել ավելի ընդհանուր արտահայտություն, քան (1.32)-ը՝

$$\tilde{E}_h(\mathbf{r}, t) = \int_{-\infty}^{\infty} E_h(\mathbf{r}, \Delta\omega) \exp\left[i\left(k \frac{\chi_0 Z}{2 \cos\theta} + \mathbf{K}_h - \mathbf{K}_{hm}\right)\mathbf{r} - t\Delta\omega\right] d\Delta\omega: \quad (1.33)$$

§1.3. Տեղայնորեն հարթ, երկչափ տարամիտություն ամբ փնջի լատե-դիֆրակցիա

Դինամիկական դիֆրակտված ռենտգենյան հարթ ալիքի ու ժգնությունը բյուրեղի ելքի մակերևույթին կախված է ընկնող ալիքի՝ Բրեգի պայմանից շեղման պարամետրից: Այդ կախումն անվանում են ճոճման կոր [8,9]: Ինչպես ցույց է տրված [146]–ում, ճոճման կորը հեռու գտնվող կետային աղբյուրից առաքած ալիքի դիֆրակցիայի հետևանքով բյուրեղի ելքի մակերևույթին ու ժգնության բաշխումն է ըստ կոորդինատի: Նշված աշխատանքում,

ինչպես ընդունված է ստանդարտ դինամիկական տեսությունում, ընկնող ալիքը համարվում է գլանային: Այս պարագրաֆում Լաուեի համաչափ երկրաչափության դեպքում քնարկվում է ճոճման կորի ստացումը, օգտագործելով տեղայնորեն հարթ ալիքի գաղափարը, երբ հաշվի է առնվում ընկնող ալիքի ճակատի երկչափ կորությունը:

§1.3.1. ճոճման կորն ընկնող ալիքի ճակատի երկչափ կորության հաշվառմամբ

Օգտվենք (1.17) բանաձևից Լաուեի համաչափ երկրաչափության դեպքում, երբ $\alpha=0$, $\gamma_0=\gamma_h$: Անցումը տեղայնորեն հարթ ալիքի կատարվում է (1.19)-ում ըստ x' -ի քառակուսային անդամի անտեսմամբ: Այս մոտավորությունը հիմնավորված է, եթե [146]

$$T \ll \frac{(\Delta L_s)^{1/2}}{\sin \theta} : \tag{1.34}$$

Ենթադրվում է, որ §1.2.2-ում ստացված ժամանակային և տարածական կոհերենտության պահանջները բավարարված են: (1.19)-ում քառակուսային անդամն անտեսելուց հետո (1.17) լայնույթը համեմատական կլինի կետային աղբյուրի ֆունկցիայի ֆուրիե-պատկերին, իսկ դրամոդուլի քառակուսին, մի կողմից, դիֆրակտված դաշտի ուժգնությունն է բյուրեղի ելքի մակերևույթին, իսկ մյուս կողմից՝ $R(\Delta\theta) = R(\Delta\theta_1 + \Delta\theta_2)$ ճոճման կորը, որը կախված է Բրեգի ճշգրիտ անկյուններից դիֆրակցիայի հարթության մեջ $\Delta\theta_1 = x \cos \theta / L_s$ և դիֆրակցիայի հարթությանն ուղղահայաց ուղղությունում $\Delta\theta_2 = -\tan \theta y^2 / 2L_s^2$ շեղման անկյունների գումարից՝

$$\Delta\theta = \Delta\theta_1 + \Delta\theta_2 = \frac{x \cos \theta}{L_s} - \tan \theta \frac{y^2}{2L_s^2} : \tag{1.35}$$

Օգտագործելով աղյուսակային ինտեգրալ՝ տեղայնորեն հարթ ալիքի մոտավորությամբ (1.17)-ից կստանանք՝

$$E'_h(\mathbf{r}) = \dot{X}_h \exp[i\Phi_0(\mathbf{r})] \frac{\sin\left(\frac{kT\Gamma}{2 \cos \theta}\right)}{\Gamma}, \tag{1.36}$$

որտեղ

$$\Gamma = (\chi_h \chi_{\bar{h}} + \Delta\theta^2 \sin^2 2\theta)^{1/2}, \tag{1.37}$$

ընդ որում ընկնող ալիքի լայնույթը նորմավորված է մեկի:

Որպես օրինակ դիտարկենք Si(220) անդրադարձումը, $\lambda=0,71 \text{ \AA}$

(17,46 կԷՎ), Էքստինկցիոն երկարությունը՝ $\Lambda=36,6$ մկմ, $T=1,5\Lambda\approx 55$ մկմ, $L_s=2$ մ, σ -բևեռացում: Բևեռացվելիությունն ֆոնրիե-բաղադրիչների արժեքներն ինչպես այս, այնպես էլ անտեսախոսության հետագա օրինակներում տրված են աղյուսակ 1,2-ում: Տեղային հարթալիքի մոտավորության կիրառման (1.34) գնահատականն այս օրինակում՝ $T_{m\max}=65$ մկմ: Եթե (1.36)-ում անտեսենք կախումն y -ից, կստանանք ստանդարտ դինամիկական տեսության արդյունքը գլանային ալիքի համար:

Աղյուսակ 1. Si բուրեղի (hkl) անդրադարձումների անտեսախոսությունում օգտագործված բևեռացվելիությունների իրական մասի ֆոնրիե-գործակիցների արժեքները՝ $|\chi_{hr}| \cdot 10^6$ [8]:

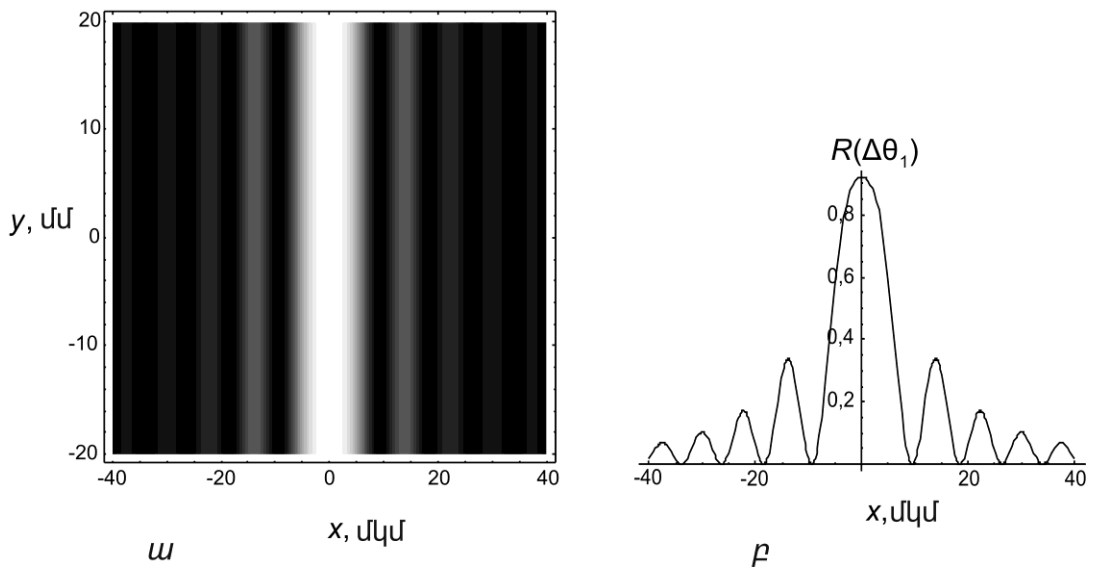
hkl \ λ (Å)	000	111	220	444
0,71	3,162	1,698	1,901	
1,54	15,07			4,575

Աղյուսակ 2. Si բուրեղի (hkl) անդրադարձումների անտեսախոսությունում օգտագործված բևեռացվելիությունների կեղծ մասի ֆոնրիե-գործակիցների արժեքները՝ $\chi_{hi} \cdot 10^7$ [8]:

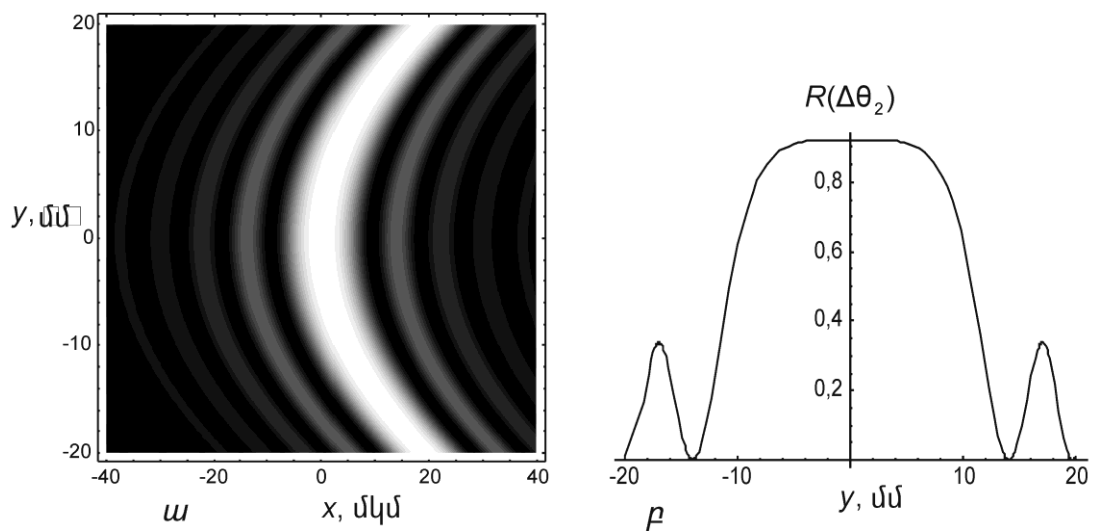
hkl \ λ (Å)	000	111	220	444
0,71(17,46կԷՎ)	0,165	0,115	0,159	
1,54(8,1կԷՎ)	3,523			2,812

Ըստ (1.36)-ի մոդուլի քառակուսու հաշվարկը հանգեցնում է ստանդարտ տեսության տեղագրին [146], որը տրված է նկ.1.3. ա-ում (ավելի բաց տեղամասը համապատասխանում է ավելի մեծ ուժգնության): Նկ.1.3.բ-ում տրված է համապատասխան ուժգնության բաշխումը տեղագրի վրա, այսինքն՝ ճոճման կորն ըստ ստանդարտ դինամիկական տեսության (տես նաև [146]): Եթե (1.35)-ում թողնենք ըստ y -ի կախումը, այսինքն՝ հաշվի առնենք ընկնող ալիքի ալիքային ճակատի երկչափ կորու-թյունը, ապա կստանանք նկ.1.4. ա-ում

Ներկայացված տեղագիրը, որի վրա ուժգնությունների բաշխումը ճոճման կորն է՝ կախված տրված Բրեգի ճշգրիտ ուղղություններից երկու անկյունային շեղումներից: Նկ.1.4.բ-ում տրված է նկ.1.4.ա-ի համապատասխանող կորը $x=0$ գծի վրա: Նկ.1.4.ա-ի տեղագիրը հեշտ է հասկանալ, եթե հաշվի առնենք, որ (1.36) և (1.37) բանաձևերի համաձայն հաստատուն ուժգնությունները պարաբոլներ են՝ $x \cos \theta - y^2 \operatorname{tg} \theta / 2L_s = \text{const}$:



Նկ.1.3.ա. Չափարկային տեղագիր տեղային հարթալիքային մոտավորությամբ. բ. ճոճման կորը տեղային հարթալիքային մոտավորությամբ ուժգնությունների բաշխումն է տեղագրի վրա (ստանդարտ դիսկրետիզացիայի տեսությամբ):



Նկ.1.4.ա. Չափարկային տեղագիր տեղային հարթալիքային մոտավորությամբ և ընկնող ալիքի ճակատի երկչափ կորության հաշվառմամբ. բ. ճոճման կորն $x=0$ գծի վրա:

**§1.4. Բրեզյան երկրաչափական դիֆրակցիայի տեսությունը
լայնույթների երկրորդ կարգի ածանցյալների հաշվառմամբ**

Ստորև դաշտի լայնույթի (1.7) ներկայացումը կօգտագործենք հարթ մակերևույթով կատարյալ բյուրեղում բրեզյան երկրաչափական դեպում դինամիկական դիֆրակցիայի նկարագրության և տարածական ու ժամանակային կոհերենտության գնահատումների համար՝ հաշվի առնելով ընկնող և իքի և իքային ճակատի երկչափ կորույթումը և «աղբյուր-բյուրեղ» հեռավորությունը:

§1.4.1. Հիմնական բանաձևեր

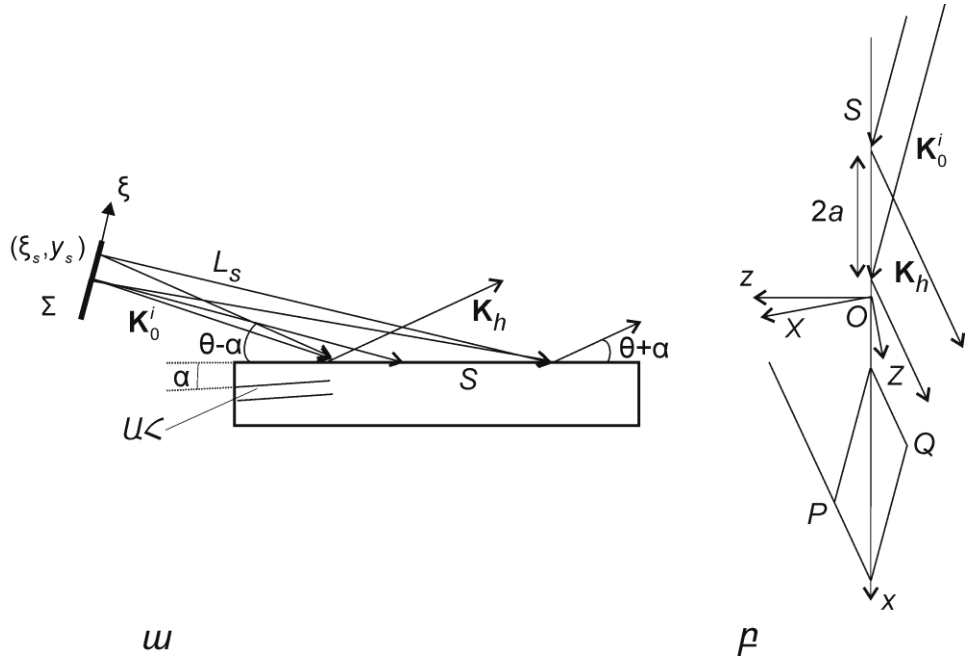
Դիտարկենք անհամաչափ բրեզյան երկրաչափական դինամիկական դիֆրակցիա հարթ մակերևույթով կատարյալ բյուրեղում: Անդրադարձնող հարթությունները բյուրեղի մուտքի մակերևույթի հետ կազմում են α անկյուն: Ներմուծենք երկու կորորդի-նատային համակարգեր: Դրանցից մեկը՝ $OXYZ$ -ը, կապենք անդրադարձնող հարթության հետ, իսկ մյուսը՝ $Oxyz$ -ը՝ բյուրեղի մակերևույթի հետ (նկ.1.5.ա,բ), ընդ որում, OZ -ն ուղղված է անդրադարձնող հարթության ներկայնքով և անցած ու անդրադարձած և իքների տարածման ուղղությունների միջև է, իսկ OX -ը հակազուգահեռ է դիֆրակցիայի վեկտորին, OY առանցքն ուղղահայաց է դիֆրակցիայի հարթությանը $OXYZ$ աջ համակարգի կանոնով: (X,Z) և (x,z) կորորդիները կապված են պտույտի ձևափոխության համար՝

$$\begin{aligned} X &= x \sin \alpha + z \cos \alpha, \\ Z &= x \cos \alpha - z \sin \alpha: \end{aligned} \tag{1.38}$$

Անցած և անդրադարձած և իքների լայնույթների համար կօգտվենք (1.8) ներկայացում-մից: Գրինի ուշացող ֆունկցիան տրվում է (1.9)-ով: Գրինի ֆունկցիայի արտահայտության մեջ Յեվիսայ դիֆունկցիայի առկայության հետևանքով ինտեգրումը փաստորեն կատարվում է մուտքի S մակերևույթի այն տեղամասով, որն ընկած է այդ մակերևույթի և (X,Z) կետով անցնող $Z \tan \theta - X = Z' \tan \theta - X'$ և $Z \tan \theta + X = Z' \tan \theta + X'$ բնութագրիչների երկու հատումների միջև (նկ.1.5.բ): (1.8)-ի վերջին երկու ինտեգրալներում հետագա շարադրանքի համար հարմար է անցում կատարել O_s, y_s, S_0 կորորդիներատային համակարգին: Դրա համար նկատենք, որ այդ

ի նտեգրալ ներս ստացվել են ըստ $dx'dy'dz'$ ծավալի տարրի ի նտեգրման և Գաուսի բանաձևի կիրառմամբ: Ծավալի այդ տարրը կանցնի ծավալի $\sin 2\theta ds'_0 ds'_h dy'$ տարրին: Վերջին երկու ի նտեգրալ ներում կիրառելով Գաուսի բանաձևը նոր փոփոխականներով, (1.8)-ի փոխարեն կստանանք՝

$$E_{0,h}(\mathbf{r}) = 4ik \cos \theta \int_s G \frac{\partial^2 E_{0,h}}{\partial Y^2} dS_z - 4k^2 \sin 2\theta \left(\int_s G \frac{\partial E_{0,h}}{\partial S'_0} ds'_0 dy' + \int_s E_{0,h} \frac{\partial G}{\partial S'_h} ds'_h dy' \right): \quad (1.39)$$



Նկ.1.5.ա Դիֆրակցիայի ընդհանուր սխեման: Ցույց են տրված. Σ ՝ ռեֆլեկտորի աղբյուր, ξ առանցքը, աղբյուրի (ξ_s, y_s) կետի կոորդինատները, \mathbf{K}'_0 ՝ ընկնող ալիքի միջին ալիքային վեկտորը, L_s ՝ «աղբյուր-բյուրեղ» միջին հեռավորությունը. աղբյուրի $(0, y_s)$ և (ξ_s, y_s) կետերից դուրս եկող ճառագայթները, S ՝ բյուրեղի մակերևույթ, U ՝ անդրադարձնող հարթությունները. համապատասխան անկյունները, \mathbf{K}_h ՝ դիֆրակտված ալիքի ալիքային վեկտորը. բ. Ox, Oz և OX, OZ կոորդինատային առանցքները (Oy առանցքն ուղղահայաց է նկարի հարթությանը), $2a$ ՝ փնջի լայնությունը, P ՝ բյուրեղի ներսի դիտման կետ. ցույց են տրված P կետով անցնող բնութագրիչները, բյուրեղից դուրս Q ժամանակ կետը:

Բրեգի դեպքում հարմար է ընտրել այնպիսի Գրինի ֆունկցիա, որը կամայական $r(X, y, Z)$ կետի դեպքում մակերևույթի $r'(X', y', Z')$ կետերի համար գրո է [34]: Դրա համար անհրաժեշտ է (1.9) Գրինի ֆունկցիային գումարել (1.3) Գրինի ֆունկցիայի համասեռ հավասարման լուծում (այնպիսի գումարը նույնպես պահանջվող խնդրի Գրինի ֆունկցիա է), այնպես, որ ստացված Գրինի ֆունկցիան մակերևույթի վրա հավասարվի գրո-յի:

Բյուրեղից դուրս վերցնենք որևէ Q կետ (նկ.1.5բ): Այդ

դեպքում $G_1 = G(\mathbf{r}_0 - \mathbf{r}')$ -ը կլինի Գրինի ֆունկցիայի հավասարմանը համապատասխանող (1.3) համասեռ հավասարման լուծում: Յետևելով [34]-ին՝ Չլետի կոորդինատներն ընտրենք հետևյալ պայմաններից.

$$s_{0z} = \frac{Y_h}{Y_0} s_h, s_{hz} = \frac{Y_0}{Y_h} s_0, Y_0 = Y, \quad (1.40)$$

որտեղ s_0 -ն, s_h -ը և y -ը դիտման կետի կոորդինատներն են, $\gamma_0 = \sin(\theta - \alpha)$, $\gamma_h = \sin(\theta + \alpha)$: Եթե որպես Գրինի ֆունկցիա ընտրենք $\tilde{G} = G(\mathbf{r} - \mathbf{r}') - G_1(\mathbf{r}_0 - \mathbf{r}')$ արտահայտությունը, ապա $\tilde{G} = 0$, երբ \mathbf{r}' -ը և \mathbf{r} -ը պատկանում են բյուրեղի մակերևույթին: Կառուցենք այնպիսի Գրինի ֆունկցիա, որը հավասարվի զրոյի նաև ծավալին պատկանող \mathbf{r} -երի համար (այդ թվում՝ նաև մակերևույթին), երբ \mathbf{r}' -ը պատկանում է մակերևույթին: Գրինի ֆունկցիայի հավասարման ֆունկցիոնալ ձևափոխության միջոցով կարելի է ապացուցել, որ այնպիսի հատկություններ օժտված է \tilde{G} Գրինի ֆունկցիան, որը տրվում է հետևյալ արտահայտությամբ.

$$\begin{aligned} \tilde{G}(\mathbf{r}, \mathbf{r}') = & \frac{\exp\left(-i\frac{\pi}{4}\right)}{8\pi k^2 \sin 2\theta} \sqrt{\frac{2\pi k \cos\theta}{Z - Z'}} \exp\left[ik \frac{(y - y')^2 \cos\theta}{2(Z - Z')}\right] \times \\ & \times \left\{ J_0\left(\sigma\sqrt{(Z - Z')^2 \tan^2\theta - (X - X')^2}\right) H(Z - Z') H[(Z - Z')\tan\theta - |X - X'|] - \right. \\ & \left. - J_0\left(\sigma\sqrt{(Z_0 - Z')^2 \tan^2\theta - (X_0 - X')^2}\right) H(Z_0 - Z') H[(Z_0 - Z')\tan\theta - |X_0 - X'|] \right\}, \end{aligned} \quad (1.41)$$

որտեղ X_0 -ն, Z_0 -ն Չլետի կոորդինատներն են, որոնք որոշվում են (1.40)-ից: Եթե օգտվենք Գրինի ֆունկցիայի (1.41) բանաձևից և նկատի ունենանք, որ մակերևույթին այն զրո է, ապա լայնույթների համար (1.39)-ի փոխարեն կունենանք.

$$E_{0,h}(\mathbf{r}) = -4k^2 \sin 2\theta \int_S E_{0,h} \frac{\partial \tilde{G}}{\partial S'_h} ds'_h dy': \quad (1.42)$$

Վերջին բանաձևը կարելի է բերել ավելի հարմար տեսքի, եթե հաշվի առնենք, որ մակերևույթին Գրինի ֆունկցիան հավասարվում է զրոյի, քանի որ մակերևույթին զրոյի է հավասարվում

$$\begin{aligned} \tilde{G}(\mathbf{r}, \mathbf{r}') = & \left\{ J_0\left(\sigma\sqrt{(Z - Z')^2 \tan^2\theta - (X - X')^2}\right) H(Z - Z') H[(Z - Z')\tan\theta - |X - X'|] - \right. \\ & \left. - J_0\left(\sigma\sqrt{(Z_0 - Z')^2 \tan^2\theta - (X_0 - X')^2}\right) H(Z_0 - Z') H[(Z_0 - Z')\tan\theta - |X_0 - X'|] \right\} \end{aligned} \quad (1.43)$$

ֆունկցիան: Կատարելով

$$U(\mathbf{r}, \mathbf{r}') = \frac{\exp\left(-i\frac{\pi}{4}\right)}{8\pi k^2 \sin 2\theta} \sqrt{\frac{2\pi k \cos\theta}{Z - Z'}} \exp\left[ik \frac{(y - y')^2 \cos\theta}{2(Z - Z')}\right] \quad (1.44)$$

Այս անակոճմը, (1.42)-ից կատարանք.

$$E_{0,h}(\mathbf{r}) = -4k^2 \sin 2\theta \int_s E_{0,h} U \frac{\partial \tilde{G}}{\partial s'_h} ds'_h dy' \quad (1.45)$$

(1.45) բանաձևը տարբերվում է ստանդարտ տեսություն համապատասխան բանաձևից [34] նրանով, որ ինտեգրալի տակ մտնում է U ֆունկցիան, և ինտեգրումը կատարվում է ոչ միայն ըստ s'_h -ի, այլ նաև ըստ y' -ի: Եթե ըստ y' -ի ինտեգրումը կատարենք ստացիոնար փուլի եղանակով, որպես ստացիոնար կետ վերցնելով $y'_{st} = y(U$ ֆունկցիայի ստացիոնար կետը), ապա (1.44)-ից հետևում է ստանդարտ տեսության արտահայտությունը [34]:

Որոշենք անցած ալիքի լայնությունը: Տեղադրելով (1.43)-ը (1.44)-ի մեջ՝ անցած ալիքի լայնությունի համար ստանում ենք.

$$E_0(\mathbf{r}) = 4k^2 \sin 2\theta \int_{-\infty}^{+\infty} E_0 \left(\frac{s_h}{b}, y', s_h \right) U \left(s_0, y, s_h; \frac{s_h}{b}, y', s_h \right) dy' - \\ - 4k^2 \sin\theta (\gamma_0 s_0 - \gamma_h s_h) \sigma \int_s E_0 U \frac{J_1(\varrho \sin\theta \sigma \Omega)}{\Omega} H(s_0 - s'_0) H(s_h - s'_h) dx' dy', \quad (1.46)$$

որտեղ J_1 -ը Բեսելի առաջին սերի առաջին կարգի ֆունկցիան է, $\Omega = (s_0 - \gamma_h x' / \sin 2\theta)^{1/2} (s_h - \gamma_0 x' / \sin 2\theta)^{1/2}$: (1.46)-ում հաշվի է առնվել, որ մակերևույթի կետերի համար $ds'_0 = \gamma_h dx' / \sin 2\theta$ և $ds'_h = \gamma_0 dx' / \sin 2\theta$: Դիֆրակտված ալիքի լայնությունը գտնելու համար, ինչպես և ստանդարտ տեսությունում [34], օգտվենք երկրորդ կարգի ածանցյալները հաշվի առնող դիսամիկական դիֆրակցիայի հավասարումների (1.1) համակարգից և դրանցից առաջինից դիֆրակտված դաշտի լայնությունն արտահայտենք անցած ալիքի լայնությամբ: Այնուհետև, օգտվելով անցած ալիքի լայնությամբ (1.46) արտահայտությունից և կատարելով համապատասխան հաշվարկներ, դիֆրակտված դաշտի լայնությունի համար ստանում ենք.

$$E_h(\mathbf{r}) = 4k^2 \sqrt{\frac{\chi_h}{\chi_h s}} \int_s E_0 U \left(\gamma_h \frac{J_1(\varrho \sin\theta \sigma \Omega)}{\Omega} \frac{s_h \sin 2\theta - \gamma_0 x'}{s_0 \sin 2\theta - \gamma_h x'} + \sigma \sin\theta \times \right. \\ \left. \times \left(\gamma_0 - \gamma_h \frac{s_h \sin 2\theta - \gamma_0 x'}{s_0 \sin 2\theta - \gamma_h x'} \right) J_0(\varrho \sin\theta \sigma \Omega) \right) H(s_0 \sin 2\theta - \gamma_h x') H(s_h \sin 2\theta - \gamma_0 x') dx' dy' \quad (1.47)$$

Օգտվելով (1.47)-ից՝ դժվար է որոշել դիֆրակտված դաշտի լայնության բյուրեղի մուտքի մակերևույթին ($z=0$).

$$E_h(\mathbf{r}) = 4ik^2 \sqrt{\frac{X_h}{X_h^-}} \sqrt{\frac{Y_0}{Y_h}} \sin 2\theta \int_s E_0 U \frac{J_1(\tilde{\sigma}(x-x'))}{x-x'} H(x-x') dx' dy', \quad (1.48)$$

որտեղ $\tilde{\sigma} = \sigma \sqrt{Y_0 Y_h} / \cos \theta$:

§1.4.2 .Վերջավոր չափերով քվազիմեներանգ աղբյուր

Կհամարենք, որ վերջավոր չափերով աղբյուրն առաքում է ռենտգենյան քվազի-մեներանգ ճառագայթում, որի ուժգնության առավելագույն արժեքին համապատասխանում է λ_m ալիքի երկարություն: Ենթադրենք՝ դիֆրակցիայի հարթության մեջ աղբյուրի կամայական կետի կոորդինատներն են (ξ_s, y_s) (նկ.1.5.ա): Ամեն մի այդպիսի կետ առաքում է գնդային ալիք: Կհամարենք, որ աղբյուրի կենտրոնական $(0,0)$ կետի հեռավորությունը բյուրեղից L_s է, ընդ որում, $(0,0)$ կետից դուրս եկող և աղբյուրին ուղղահայաց \mathbf{k}_0^i ալիքային վեկտորը կհամարենք ընկնող ալիքի կրող ալիքային վեկտոր: Տարբեր երկարությամբ ալիքների համար կրող ալիքային վեկտորների երկարությունները տարբեր են՝ $|\mathbf{k}_0^i| = k = 2\pi / \lambda$, բայց դրանք բոլոր ալիքների համար ունեն նույն ուղղությունը: Աղբյուրի (ξ_s, y_s) կոորդինատներով կետի առաքած ալիքը տրվում է (1.12) բանաձևով, իսկ Φ^i փոփոխվում՝

$$\Phi^i = k \left[\frac{(x' Y_0 - \xi_s)^2 + (y' - y_s)^2}{2L_s} \right] - k \frac{x' \cos \theta - \alpha}{2} \frac{(y' - y_s)^2}{L_s^2} - k \frac{(y' - y_s)^4}{8L_s^3}: \quad (1.49)$$

Բյուրեղում անցած և դիֆրակտված ալիքների կրող ալիքների ալիքային վեկտորներն ըստ ընտրության բավարարում են Բրեգի ճշգրիտ պայմանին, ուստի հաշվի առնելով (1.12)-ը, ինչպես նաև բեկումը, մուտքի մակերևույթի վրա անընդհատության պայմանից կստանանք անցած ալիքի լայնության բյուրեղի մուտքի մակերևույթին՝

$$E_0 = \frac{E_0^i}{L_s} \exp \left[i \left(\Phi^i - k \Delta \theta Y_0 x' - k \frac{X_0 x' Y_h (1+b)}{2 \sin 2\theta} \right) \right], \quad (1.50)$$

որտեղ $\Delta \theta(\lambda) = \theta^i - \theta(\lambda)$ շեղումն է Բրեգի ճշգրիտ անկյունից տվյալ ալիքի երկարության համար և տրվում է (1.15)-ով, իսկ θ^i -ն՝

κ_0^i ալ ի քայ ի ն վեկտորի սահքի անկյունն անդրադարձնող հարթու թյ ու ն ների նկատմամբ: Ըստ y' -ի (1.48)-ում ինտեգրել ի ս հաշվի առ-նենք, որ, (1.44)-ի համաձայն՝ U Ֆունկցիան պարունակում է արագ փոփոխվող էքսպո-նենտ, որի ստացիոնար կետն է $y'_{st} = y$: Վերլուծելով փուլի մյուս անդամները ստացիո-նար կետի շուրջը՝ ներառյալ գծային անդամներն ըստ $y'-y_{st}$ -ի, և ըստ y' -ի կատարելով ինտեգրում անվերջ սահմաններով, (1.48)-ից բյուրեղի ելքի մակերևույթին դիֆրակտված դաշտի լայնույթի համար հանգում ենք հետևյալ արտահայտու թյ անը՝

$$E'_h(\mathbf{r}; \xi_s, y_s, \Delta\lambda) = A \exp[\Phi_0(\mathbf{r}; \xi_s, y_s, \Delta\lambda)] \int_{-\infty}^{+\infty} \frac{J_1(\tilde{\sigma}x')}{x'} \exp[\Phi(x', y; \xi_s, y_s, \Delta\lambda)] H(x') dx', \quad (1.51)$$

ընդ որում

$$E'_h(\mathbf{r}; \xi_s, y_s, \Delta\lambda) = E_h(\mathbf{r}; \xi_s, y_s, \Delta\lambda) \exp\left[ik \frac{\chi_0 z}{2 \cos \theta}\right], \quad (1.51a)$$

$$A = i \frac{E_0^i}{L_s} \sqrt{\frac{\chi_h}{\chi_s}} \sqrt{\frac{Y_0}{Y_h}}, \quad (1.51b)$$

$$\Phi_0 = k \left(\frac{(y - y_s)^2}{2L_s} - \frac{(y - y_s)^4}{8L_s^3} - \frac{x \cos \theta - \alpha}{2L_s^2} (y - y_s)^2 - \Delta\theta Y_0 x + \frac{(x Y_0 - \xi_s)^2}{2L_s} \right), \quad (1.52)$$

$$\Phi = k \left\{ \frac{x^2 Y_0^2}{2L_s} + \frac{\chi_0 x' Y_h (1+b)}{2 \sin 2\theta} + \Delta\theta Y_0 x' - \frac{(y - y_s)^2}{2L_s^2} x' Y_0 \tan \theta - x' Y_0 \frac{x Y_0 - \xi_s}{L_s} \right\}: \quad (1.53)$$

Ինչպես երևում է (1.51) բանաձևից, ստանդարտ տեսու թյ ան [34] համեմատ Φ -ի (1.53) արտահայտու թյ ան մեջ առկա է էապես նոր կախում y կոորդինատից, որն, ինչպես և սպասվում էր, քառակուսային է, և որի հետևանքով առաջանում են լայնույթի և փնջի տարածական կոհերենտու թյ ան կախումներն y կոորդինատից:

Քննարկենք տարածական և ժամանակային կոհերենտու թյ ան պահանջները՝ հաշվի առնելով լայնույթների կախումները նաև y կոորդինատից:

Սնեռենք ալ ի քի երկարու թյ ու նը և դիտարկենք աղբյ ու թի որևէ կետի առաքած և դիֆրակտված ալ ի քի ու ժգնու թյ ու նը: Կհամարենք, որ աղբյ ու թի չափերն ըստ ξ -ի փոխվում են $(-a_h, a_h)$ սահմաններում, իսկ ըստ y -ի՝ $(-a_y, a_y)$ սահմաններում: (1.51)-ի մոդուլի քառակուսին ըստ աղբյ ու թի կոորդինատների ինտեգրելուց հետո կստանանք

հետևյալ տեսքի փոխադարձ ուժգնության ֆունկցիա՝

$$I_h(x', x'') = \int_{-a_h}^{a_h} \int_{-a_y}^{a_y} |E_0^i(\xi_s, y_s, \Delta\lambda)|^2 \exp\left[-i \frac{kY_0}{L_s} (x'' - x') \left(-\xi_s + \operatorname{tg}\theta \frac{(y - y_s)^2}{2L_s}\right)\right] d\xi_s dy_s: \quad (1.54)$$

(1.54) արտահայտությունը գնահատենք աղբյուրի այն չափերը, որոնք չեն ազդում դիֆրակտային պատկերի ուժգնության բաշխման վրա: Ինչպես և Լաուենի դեպքում, $\exp\left[-i kY_0 (x'' - x') \operatorname{tg}\theta y_s^2 / 2L_s^2\right]$ անդամը կարելի է համարել դանդաղ փոփոխվող փուլում ըստ y_s -ի գծային անդամ պարունակող բազմապատկիչի համեմատությամբ, ուստի փուլում թողնելով միայն ըստ y_s -ի գծային անդամ պարունակող բազմապատկիչը, փոխադարձ ուժգնության ֆունկցիան կարելի է ներկայացնել հետևյալ տեսքով՝

$$I_{hs}(x', x'') = \int_{-a_h}^{a_h} \int_{-a_y}^{a_y} |E_0^i(\xi_s, y_s, \Delta\lambda)|^2 \exp\left[-i \frac{kY_0}{L_s} (x'' - x') \left(\xi_s + \operatorname{tg}\theta \frac{y y_s}{L_s}\right)\right] d\xi_s dy_s: \quad (1.55)$$

$x_{m \max} = \max(x'' - x')$ -ի առավելագույն արժեքով որոշվում է աղբյուրի չափերի ազդեցությունը դիֆրակտային պատկերի ուժգնության բաշխման վրա: Ընկնող փնջի չափը մուտքի մակերևույթին նշանակենք $2a$ -ով (նկ.1.5.բ), իսկ դիտման կետի առավելագույն արժեքն ըստ y -ի՝ $|y|_{\max}$ -ով: (1.55)-ի համաձայն՝ աղբյուրի չափերը չեն ազդի դիֆրակտային պատկերի ուժգնության բաշխման վրա, եթե

$$\frac{kY_0}{L_s} x_{m \max} a_h < \pi, \quad kY_0 x_{m \max} \operatorname{tg}\theta \frac{|y|_{m \max} a_y}{L_s} < \pi, \quad (1.56)$$

որոնք պիքի երկարությունների լեզվով համարժեք է

$$2a_h Y_0 x_{m \max} < \lambda L_s, \quad 2a_y Y_0 \operatorname{tg}\theta x_{m \max} |y|_{m \max} < \lambda L_s^2 \quad (1.57)$$

պայմաններին: Այստեղից հետևում է, որ

$$x_{m \max} < m \operatorname{in} \left(\frac{\lambda L_s}{2a_h Y_0}, \frac{\lambda L_s^2}{2a_y Y_0 \operatorname{tg}\theta |y|_{m \max}} \right): \quad (1.58)$$

Եթե փունջը նեղ է, այսինքն՝ $2a \leq 3,8 / \tilde{\sigma}_r$, որտեղ $\tilde{\sigma}_r = \operatorname{Re} \tilde{\sigma}$, իսկ $3,8$ -ը $J_1(\tilde{\sigma}_r x')$ -ի առաջին գրուն է, ապա $x_{m \max} = 2a$: Այս դեպքում (1.58)-ից հետևում է, որ

$$2a < m \operatorname{in} \left(\frac{\lambda L_s}{2a_h Y_0}, \frac{\lambda L_s^2}{2a_y Y_0 \operatorname{tg}\theta |y|_{m \max}} \right): \quad (1.59)$$

Կատոյի դեպքին համապատասխանող պայմաններում բյուրեղի մակերևույթին մոտ տեղադրվում է նեղ ճեղք, որն ունի այնպիսի լայնություն, որ փնջի կտրվածքով տեղի ունի (1.60) պայմանը, և դիտվում են Բրեգի դեպքի ճոճանակային շերտերը [35]:

Լայն ճեղքի դեպքում $2a > 3,8 / \tilde{\sigma}_r$ և, հետևաբար, $x_{m \max} = 3,8 / \tilde{\sigma}_r$, քանի որ $J_1(\tilde{\sigma}_r x) / x$ ՝ ֆունկցիան ինտեգրման ժամանակ կտրող ֆունկցիայի դեր է խաղում, և ինտեգրման արդյունարար տիրույթի չափերը որոշվում են $J_1(\tilde{\sigma}_r x)$ ֆունկցիայի առաջին գրոյով: Այս դեպքում (1.59)-ից հետևում է, որ

$$\frac{3,8}{\tilde{\sigma}_r} < m \ln \left(\frac{\lambda L_s}{2a_h \gamma_0}, \frac{\lambda L_s^2}{2a_y \gamma_0 \operatorname{tg} \theta |y|_{m \max}} \right); \quad (1.60)$$

Աղբյուրը բյուրեղին մոտեցնելիս (1.51)-ում կարևոր են դառնում $\exp[\Phi(x, x', y; \xi_s, \gamma_s, \Delta \lambda)]$ ֆունկցիայի տատանումները, և արդյունարար չափերը որոշվում են այդ ֆունկցիայի ստացիոնար կետի շուրջն առաջին ֆրենելյան գոտու չափերով: Այս դեպքում $x_{m \max} = 2(\lambda L_s)^{1/2} / \gamma_0$, ուստի (1.58)-ից հետևում է

$$\frac{2\sqrt{\lambda L_s}}{\gamma_0} < m \ln \left(\frac{\lambda L_s}{2a_h \gamma_0}, \frac{\lambda L_s^2}{2a_y \gamma_0 \operatorname{tg} \theta |y|_{m \max}} \right) \quad (1.61)$$

պայմանը:

Այժմ քննարկենք ընկնող ճառագայթման ոչ մեներանգության ադեցությունը դիֆրակտային պատկերի ուժգնության բաշխման վրա: Ըստ ալիքի երկարությունների դիֆրակտված փնջի ուժգնության ինտեգրումը հանգեցնում է հետևյալ փոխարձակ ուժգնության ֆունկցիային.

$$I_h(x', x'') = \int_{-\Delta \lambda_1}^{\Delta \lambda_1} |E_0^i(\xi_s, \gamma_s, \Delta \lambda)|^2 \exp \left[ik \gamma_0 \operatorname{tg} \theta (x'' - x') \frac{\Delta \lambda}{\lambda} \right] d\Delta \lambda, \quad (1.62)$$

որտեղ $\Delta \lambda_1$ -ով տրվում է ընկնող ճառագայթման սպեկտրային լայնությունը: (1.62)-ում, առանց ընդհանրությունը խախտելու, ենթադրվում է, որ $2 \sin 2\theta \Delta \theta (\lambda_m) = |\chi_{0r}| (1+b) / b$: Այսպիսով, (1.62)-ից ստանում ենք հետևյալ բավարար պայմանը.

$$x_{m \max} < \frac{\lambda^2}{2\Delta \lambda_1 \gamma_0 \operatorname{tg} \theta}, \quad (1.63)$$

որտեղից նեղ ճեղքի դեպքում ստանում ենք

$$2a < \frac{\lambda^2}{2\Delta\lambda_1} \frac{1}{\gamma_0 \operatorname{tg}\theta} : \quad (1.64)$$

Լայն ճեղքի դեպքում (1.63)-ը հանգեցնում է

$$\frac{3,8}{\tilde{\sigma}_r} < \frac{\lambda^2}{2\Delta\lambda_1} \frac{1}{\gamma_0 \operatorname{tg}\theta}, \quad (1.65)$$

իսկ բյուրեղին մոտաբյուրի դեպքում՝

$$\frac{2\sqrt{\lambda L_s}}{\gamma_0} < \frac{\lambda^2}{2\Delta\lambda_1} \frac{1}{\gamma_0 \operatorname{tg}\theta} \quad (1.66)$$

պայմաններին: Գրված առնչություններում $\lambda^2/2\Delta\lambda_1$ մեծությունը բյուրեղի վրա ընկնող ճառագայթման երկայնական կոհերենտության երկարությունն է:

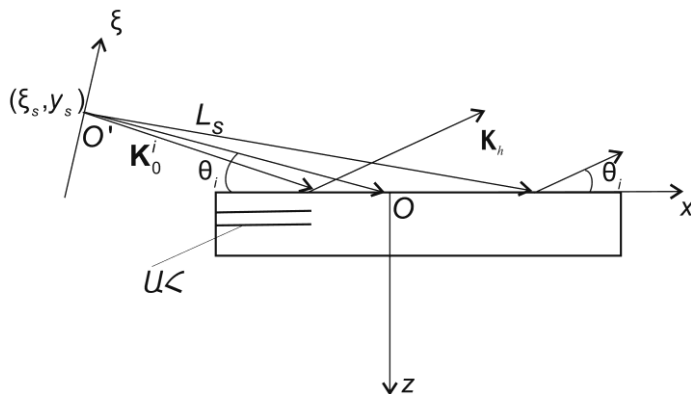
Քննարկվող հարցերի շրջանակում ուսումնասիրենք նաև ընկնող ալիքի պարամետրերի փոփոխությունները Բրեգի անհամաչափ անդրադարձումից հետո: Ընկնող ալիքի փուլի (1.49) արտահայտությունում $\xi_0 = x\gamma_0$ (x' -ի փոխարեն գրում ենք x) փոփոխականն ունի դիֆրակցիայի հարթության մեջ ընկնող փնջի տարածման ուղղությունն ուղղահայաց ըստ փնջի լայնքի փոփոխվող կոորդինատի իմաստ, նույն կերպ մուտքի մակերևույթին $\xi_n = x\gamma_n$ փոփոխականն ունի դիֆրակցիայի հարթության մեջ անդրադարձած փնջի տարածման ուղղությունն ուղղահայաց ըստ այդ փնջի լայնքի փոփոխվող կոորդինատի իմաստ: x -ն արտահայտելով ξ_n -ով և տեղադրելով դիֆրակցիայի դաշտի լայնության փուլի (1.52) արտահայտության մեջ, կարելի է անել հետևյալ եզրակացությունները: Ընկնող կենտրոնական ճառագայթի $\Delta\theta$ շեղումը Բրեգի ճշգրիտ ուղղությունից անդրադարձած փնջում փոխարինվում է $b\Delta\theta$ -ով, հետևաբար $\Delta\lambda/\lambda$ -ն փոխարինվում է $b\Delta\lambda/\lambda$ -ով, աղբյուրի L_s հեռավորությունը դիֆրակցիայի հարթության մեջ փոխարինվում է L_s/b^2 -ով, իսկ աղբյուրի ξ_s կոորդինատը փոխարինվում է ξ_s/b -ով: Այստեղից հետևում է, որ դիֆրակցիայի հարթության մեջ ընկնող փնջի՝ աղբյուրի չափերով պայմանավորված ξ_s/L_s տարամիտությունը փոխարինվում է $b\xi_s/L_s$ -ով: Այսպիսով, եթե $b < 1$, ապա դիֆրակցիայի փնջում բարելավվում են

մեներանգությունը և կոլիմացիան:

§1.5. Գնդային ռենտգենյան ալիքի բրեգյան դիֆրակցիան ալիքային ճակատի երկչափկորություն հաշվառմամբ

Գնդային ռենտգենյան ալիքի բրեգյան դիֆրակցիայի ուսումնասիրության կարևոր պարամետր է «աղբյուր-բյուրեղ» հեռավորությունը: Ընդունված է տարբերակել «աղբյուր-բյուրեղ» հեռավորության երեք դեպք. բյուրեղին մոտաղբյուր, միջին հեռավորությամբ աղբյուր և մեծ հեռավորությամբ աղբյուր: Առաջին դեպքում ընկնող ալիքի ֆրենելի առաջին գոտու չափերն ավելի փոքր են, քան կետային աղբյուրի ֆունկցիայի փոփոխման բնութագրական չափը, երկրորդ դեպքում՝ նույն կարգի են, իսկ երրորդ դեպքում՝ ֆրենելյան գոտու չափերը շատ ավելի մեծ են, քան կետային աղբյուրի ֆունկցիայի փոփոխման բնութագրական չափը: Մոտաղբյուրի դեպքը ստանդարտ տեսությունների շրջանակներում ուսումնասիրվել է [34]-ում: Միջին հեռավորության դեպքն ուսումնասիրվել է [21]-ում: Յեռու աղբյուրի համար կարելի է կիրառել տեղայնորեն հարթ ալիքի հասկացությունը: Այդ մոտեցումը Լաուեի երկրաչափության դեպքում կիրառվել է [146]-ում, իսկ Բրեգի երկրաչափության դեպքում՝ [220]-ում: Նշված աշխատանքներում սակայն հաշվի չի առնվել ընկնող ալիքի ճակատի երկչափկորությունը:

Ստորև ուսումնասիրվում է ռենտգենյան գնդային ալիքի համաչափ բրեգյան երկրաչափությամբ դինամիկական դիֆրակցիան՝ կախված «աղբյուր-բյուրեղ» հեռավորությունից, երբ հաշվի է առնվում ընկնող ալիքի ալիքային ճակատի երկչափկորությունը:



Նկ.1.6. Ռենտգենյան գնդային ալիքի բրեգյան դիֆրակցիայի ընդհանուր սխեման դիֆրակցիայի հարթության մեջ: Աղբյուրի O' առանցքն ուղղահայաց է դիֆրակցիայի հարթության մեջ ընկնող ալիքի կենտրոնական ճառագայթին, (ξ_s, γ_s) ՝ աղբյուրի որևէ կետի

կոորդինատներ, κ_0^i ՝ ընկնող ալիքի միջին ալիքային վեկտոր, L_s ՝ «աղբյուր-բյուրեղ» միջին հեռավորություն, U_3 ՝ բյուրեղի մոլեկուլային մակերևույթին զուգահեռ անդրադարձնող հարթություններ, K_h ՝ անդրադարձած ալիքի ալիքային վեկտոր, θ_i ՝ կենտրոնական ճառագայթի սահքի անկյունն անդրադարձնող հարթությունների նկատմամբ, Ox, Oz կոորդինատական առանցքներն ընկած են դիֆրակցիայի հարթության մեջ, Oy առանցքն ուղղահայաց է դիֆրակցիայի հարթությանը:

§1.5.1. Հիմնական բանաձևեր

(1.51) բանաձևի համաձայն՝ կիսասանվերջ, հարթ մակերևույթով բյուրեղի մոլեկուլային մակերևույթին համաչափ բրեզյան անդրադարձման դեպքում անդրադարձած ալիքի լայնություն ունի հետևյալ տեսքը՝

$$E_h'(\mathbf{r}) = A \exp[i\Phi_0(\mathbf{r})] \int_0^{+\infty} \frac{J_1(\sigma x')}{x'} \exp[i\Phi(x', y)] dx', \quad (1.67)$$

որտեղ

$$\Phi_0 = k \left(\frac{x^2 \sin^2 \theta}{2L_s} - x \sin \theta \Delta \theta - \frac{x \cos \theta y^2}{2L_s^2} + \frac{y^2}{2L_s} - \frac{y^4}{8L_s^3} \right), \quad (1.68)$$

$$\Phi = \frac{kx^2 \sin^2 \theta}{2L_s} + \beta(x, y)x', \quad (1.69)$$

$$\beta(x, y) = k \sin \theta \left(\frac{X_0}{\sin 2\theta} + \Delta \theta - \frac{x \sin \theta}{L_s} - \frac{y^2 \operatorname{tg} \theta}{2L_s^2} \right), \quad (1.70)$$

$\sigma = k(\chi_h \chi_h^i)^{1/2} / 2 \cos \theta$, աղբյուրի կոորդինատները՝ $\xi_s = \eta_s = 0$, $\Delta \theta = \theta_i - \theta$, θ_i -ն ընկնող կենտրոնական ճառագայթի կազմած սահքի անկյունն է անդրադարձնող հարթությունների հետ (նկ.1.6), $A = i(E_0^i / L_s)(\chi_h / \chi_h^i)^{1/2}$, E_0^i -ն ընկնող ալիքի հաստատուն լայնություն է: Բրեզի անկյուննից շեղման β պարամետրը կախված է x և y կոորդինատներից: Ինչպես երևում է (1.70)-ից, β -ի հաստատուն արժեքները որոշվում են $\eta(x, y) = x + y^2 / 2L_s \cos \theta$ փոփոխականով և ընկած են $\eta(x, y) = \text{const}$ պարաբոլների վրա: Դա հեշտությամբ կարելի է բացատրել այն հանգամանքով, որ Բրեզի համաչափ երկրաչափության դեպքում կետային աղբյուրից բյուրեղի վրա ընկնող գնդային ալիքի համար Բրեզի ճշգրիտ պայմանին բավարարող ճառագայթների՝ բյուրեղի

մակերևույթի հետ հատման կետերը ընկած են $L_s \cos \theta$ շառավղով և բյուրեղի մակերևույթի վրա կետային աղբյուրի պո-յեկցիա հանդիսացող կետով կենտրոնով շրջանագծի վրա: Քանի որ դիֆրակցիան ու-սու մնասիրվում է անմիջապես կենտրոնական ճառագայթի և բյուրեղի մուտքի մակերևույթի հատման (0,0,0) կետի շրջակայքում, ապա այդ տիրույթում շրջանագիծը մո-տարկվում է համապատասխան պարաբոլով:

(1.68) բանաձևում ըստ x' -ի ինտեգրալի մեջ հիմնական ներդրումը տալիս է գրոյի և $J_1(\text{Re} \sigma x')$ ֆունկցիայի առաջին գրոյի միջև տիրույթը՝ $0 \leq x' \leq 3,8 / \text{Re} \sigma$: Ներմուծենք

$$D = \frac{(\lambda L_s)^{1/2}}{\sin \theta} : \left(\frac{\text{Re} \sigma}{3,8} \right) \quad (1.71)$$

պարամետրը, որն ունի ֆրենելի առաջին գոտու և փնջի տարածական բացվածքի հարաբերության իմաստ, այսինքն՝ դիֆրակցիայի ալիքային պարամետրի (հետագայում՝ պարզապես դիֆրակցիայի պարամետր) օպտիկական նմանակն է [48]:

§1.5.2. Ուժգնության բաշխման կախումն «աղբյուր-բյուրեղ» հեռավորության նից

Նախ քննարկենք բյուրեղին մոտ աղբյուրի դեպքը: (1.71)-ի համաձայն՝ բյուրեղին մոտ աղբյուրի համար $D \ll 1$: Ինչպես երևում է (1.67)–(1.69) բանաձևերից, այս դեպքում (1.67)-ում ըստ x' -ի քառակուսային փուլով էքսպոնենտն ինտեգրման $0 \leq x' \leq 3,8 / \text{Re} \sigma$ արդյունարար տիրույթում արագ տատանվող է: Ինտեգրալի հաշվարկից հետևում է լայնության արտահայտությանը՝

$$E_h'(x, y, z = 0) = B \exp [i\psi(x, y)] \exp \left[-\frac{\mu \eta(x, y)}{2 \cos \theta} \right] \frac{J_1(\sigma \eta(x, y))}{\sigma \eta(x, y)} H(\eta(x, y)), \quad (1.72)$$

որտեղ

$$B = A \sigma \exp \left(i \frac{\pi}{4} \right) \sqrt{\frac{2\pi L_s}{k \sin^2 \theta}}, \quad (1.73)$$

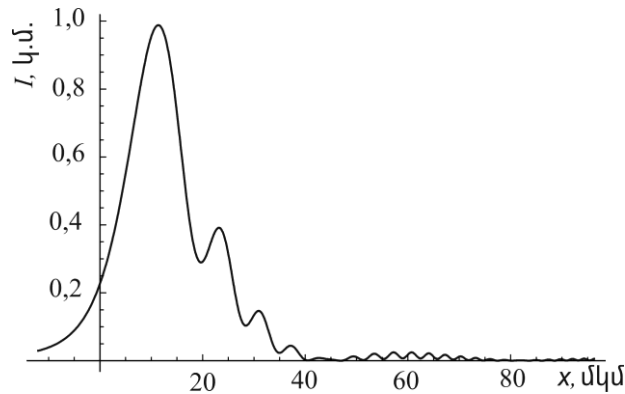
$$\psi(x, y) = k \left(\frac{\chi_{0r}}{2 \cos \theta} \eta(x, y) + \frac{y^2}{2L_s} + \Delta \theta \frac{y^2 \tan \theta}{2L_s} - \frac{xy^2}{2L_s^2 \cos \theta} - \frac{y^4}{8L_s^3 \cos^2 \theta} \right), \quad (1.74)$$

$\mu = k \chi_{0i}$ -ն՝ բյուրեղի գծային կլանման գործակիցն է, χ_{0r} -ը և χ_{0i} -ն՝ x -ի

իրական և կենդծ մասի գրոյական կարգի Φ ուրիե-գործակիցները: Ինչպես երևում է (1.72)-ից, ուժգնութեան հաստատուն արժեքներն ընկած են $\eta(x, y) = \text{const}$ պարաբոլների վրա: Եթե դիտման կետերի կոորդինատները սահմանափակ են $|\sigma|y^2 / (2L_s \cos\theta) \ll 1$ պայմանով, ապա ուժգնութեան համար կստանանք ստանդարտ դիսամիկական տեսութեամբ որոշվող արտահայտությունը [34]:

Բյուրեղի մուտքի մակերևույթին անդրադարձման տիրույթի $\eta(x, y)$ -ի չափերը $\sim 3,8 / \text{Re}\sigma$ -ի կարգի են: Գնահատենք անդրադարձման տիրույթի չափերն $x=0$ և $y=0$ գծերի վրա և համեմատենք միմյանց հետ: Որպես օրինակ դիտարկենք Si(220) անդրադարձումը, $\lambda = 0,71 \text{ \AA}$ (17,46 կԷՎ), $L_s = 0,1 \text{ մ}$, σ -բևեռացում, $\theta \sim 10,63^\circ$, $\text{Re}\sigma \sim 8,58 \cdot 10^4 \text{ մ}^{-1}$, $\Delta\theta = -\text{Re}\chi_0 / \sin 2\theta$: (1.72)-ի համաձայն $D \approx 0,3$, ուստի կարելի է կիրառել բյուրեղին մոտադրյալի մոտավորությունը: Ինչպես ասվել է, անդրադարձման տիրույթի տարածական չափերը որոշվում են $\eta(x, y) \sim 3,8 / \text{Re}\sigma$ պայմանից, որից $y=0$ գծի վրա անդրադարձման տիրույթի չափի համար ստանում ենք $|x| \sim 3,8 / \text{Re}\sigma \approx 44 \text{ մկմ}$ գնահատականը: Նույն կերպ $x=0$ գծի վրա անդրադարձման տիրույթի չափի համար ստանում ենք $2|y| \sim 2(3,8 \cdot 2L_s \cos\theta / \text{Re}\sigma)^{1/2} \sim 5,9 \text{ մմ}$: Ինչպես և պետք էր սպասել, $x=0$ գծի վրա՝ դիֆրակցիայի հարթությանն ուղղահայաց ուղղությամբ, անդրադարձման տիրույթի չափերը երկու կարգով գերազանցում են դիֆրակցիայի հարթության մեջ անդրադարձման տիրույթի չափերը $y=0$ գծի վրա: (1.72)-ի համաձայն՝ ուժգնութեան բաշխումն $y=0$ գծի վրա համապատասխանում է ստանդարտ դիսամիկական տեսությունից հայտնի ուժգնութեան բաշխմանը [8,9]: (1.67) բանաձևի հիման վրա արված ուժգնութեան բաշխման թվային հաշվարկի արդյունքը պատկերված նկ.1.7-ում: Ինչպես երևում է նկարից, անդրադարձման տիրույթի չափերը համապատասխանում են վերը բերված գնահատականին, չնայած ինտեգրալում կետային ադրյալի Φ ունկցիայի մտցրած լրացուցիչ փուլի հետևանքով ուժգնութեան առավելագույն արժեքը փոքր-ինչ շեղված է $x=0$ կետից և հասնելի է դարձել $x=11,5 \text{ մկմ}$ կետում: Յաշվի առնելով այդ հանգամանքը՝ նկ.1.8-ում ըստ y -ի թվային հաշվարկով ստացված ուժգնութեան բաշխումը բերված է ոչ թե $x=0$ այլ $x=11,5 \text{ մկմ}$ գծի

վրա: Նկ.1.8.բ-ում համեմատության



Նկ. 1.7. Դիֆրակցիայի հարթության մեջ, անդրադարձած ալիքի ու ժգնության բաշխումը $y=0$ գծի վրա. բյուրեղին մոտադրյունը՝ $L_s = 0,1$ մ (թվային հաշվարկ)

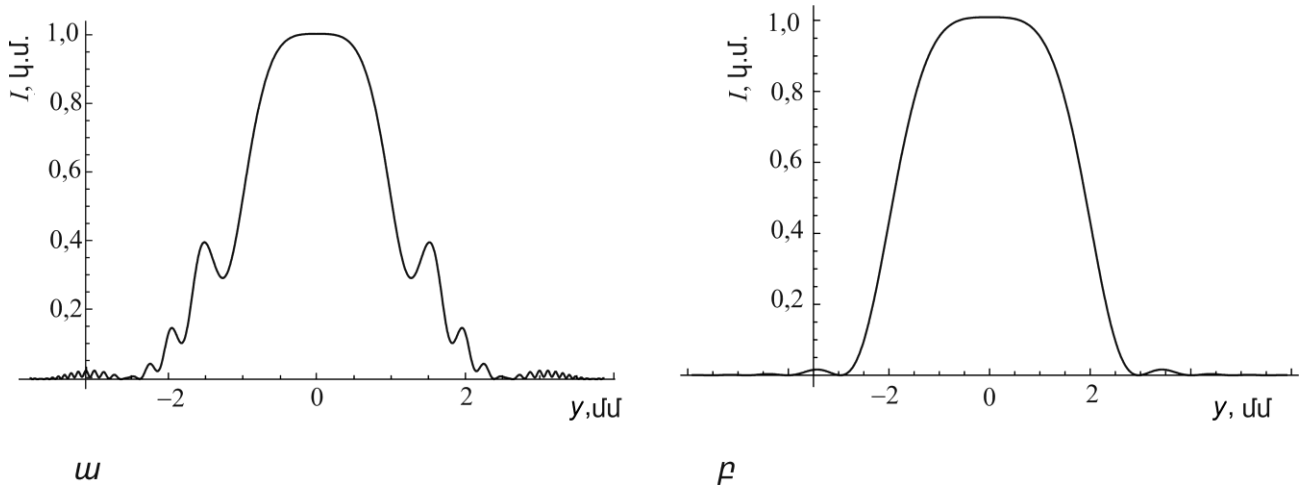
համար բերված է ուժգնության բաշխման կորը $x=0$ գծի վրա համաձայն (1.72) մոտավոր բանաձևի: Ինչպես երևում է այդ նկարներից, մոտավոր բանաձևը համարժեք է նկարագրում ուժգնության վարքը դիտարկվող դեպքում:

Անդրադարձման տիրույթի չափերը համապատասխանում են վերը բերված գնահատականին: Ուժգնության վարքն անդրադարձման ամբողջ տիրույթում ներկայացնելու համար նկ.1.9-ում բերված է (1.72) մոտավոր բանաձևի հիման վրա ստացված հաշվարկային տեղագիրը: Ակնհայտ է, որ ուժգնության հաստատուն արժեքներն ընկած են $\eta(x,y) = \text{const}$ պարաբոլների վրա:

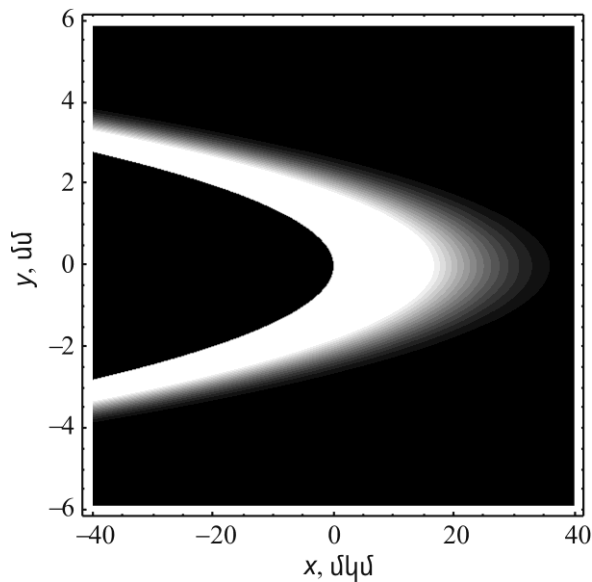
Այժմ քննարկենք բյուրեղից միջին հեռավորությամբ աղբյուրի դեպքը, երբ $D \sim 1$, և բյուրեղն աղբյուրից առաքված ճառագայթման Ֆրենելի գոտում է: Այս դեպքում ուժ-գնության բաշխումը կարելի է որոշել միայն թվային հաշվարկով: Կարևոր է իմանալ, թե քանի Ֆրենելի գոտի է պարունակվում $3,8 / \text{Re}\sigma$ աղբյուրն արար չափերով ինտեգրման տիրույթում:

Բյուրեղից մեծ հեռավորությամբ աղբյուրի դեպքում $D \gg 1$ և (1.67)-ում, ընդին-տեգրալ ֆունկցիայում կարելի է անտեսել փուլի (1.69) բանաձևում ըստ x' -ի քառակուսային անդամը, որը բյուրեղի՝ ճառագայթման ֆրաունհոֆերյան գոտում լինելու պայմանն է: Լաուեի դեպքում այդ մոտավորությունն անվանել ենք տեղային հարթ ալիքի մոտավորություն: Քառակուսային փուլն անտեսելուց հետո (1.67) լայնույթը համեմատական կլինի կետային աղբյուրի

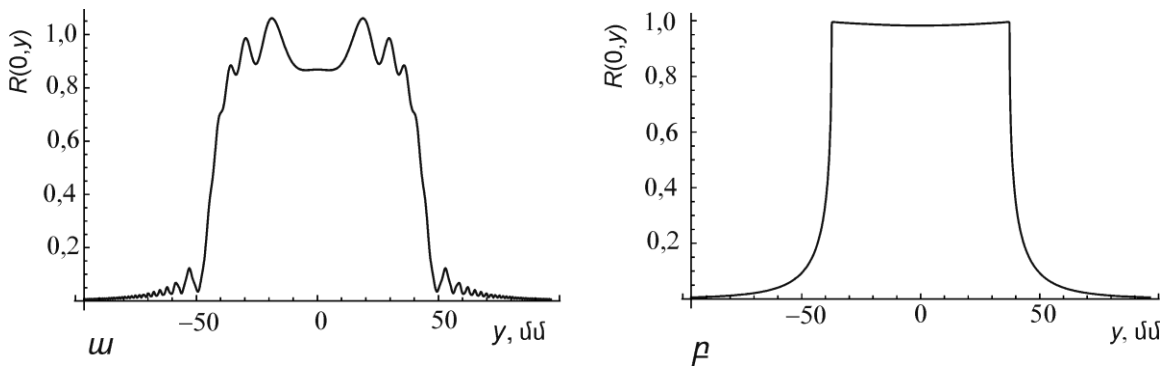
$J_1(\sigma x)/x'$ ֆունկցիայի ֆունդե-պատերին, իսկ դրա մոդուլի քառակուսին, մի կողմից, անդրադարձած ալիքի ուժգնության բաշխումն է մուտքի մակերևույթին և, մյուս կողմից, համեմատական է անդրադարձման գործակցին, որի կախումը Բրեգի անկյունից շեղումից տալիս է ճոճման կորը:



Նկ.1.8. ω Անդրադարձած ալիքի ուժգնության բաշխումը բյուրեղի մուտքի մակերևույթին $x = 0$ գծի վրա (թվային հաշվարկ). ρ . նույնն ըստ (1.72) բանաձևի. բյուրեղին մոտադրյունը՝ $L_s = 0,1$ մ



Նկ.1.9 Անդրադարձած ալիքի (1.72) մոտավոր բանաձևով ստացված հաշվարկային տեղագիրը. բյուրեղին մոտադրյունը՝ $L_s = 0,1$ մ:



Նկ.1.10. ω ճոճման կորը $x=0$ գծի վրա (թվային հաշվարկ) ρ . Նույնը ըստ (1.76) մոտավոր բանաձևի. հեռու աղբյուր՝ $L_s=5\mu$:

Անդրադարձման գործակիցը՝ $R(\Delta\theta) = R(\Delta\theta_1+\Delta\theta_2)$ -ը, կախված է դիֆրակցիայի հարթության մեջ Բրեգի անկյունից $\Delta\theta_1(x) = x_0 / \sin 2\theta + \Delta\theta - x \sin \theta / L_s$ շեղումից՝ (x_0 -ն կոմպլեքս մեծություն է, ուստի $\Delta\theta_1$ -ը ավելի ճիշտ կլինի անվանել պարամետր) և դիֆրակցիայի հարթության ուղղահայաց ուղղությամբ Բրեգի անկյունից $\Delta\theta_2(y) = -\tan \theta \frac{y^2}{2L_s^2}$ շեղումից՝

$$\Delta\theta(x,y) = \Delta\theta_1(x) + \Delta\theta_2(y) = \frac{x_0}{\sin 2\theta} + \Delta\theta - \frac{x \sin \theta}{L_s} - \tan \theta \frac{y^2}{2L_s^2}, \quad (1.75)$$

ընդ որում, $\beta(x,y) = k \sin \theta \Delta\theta(x,y)$: Օգտագործելով աղյուսակային ինտեգրալ [220]՝ տեղյակորեն հարթալիքի մոտավորությամբ ւայնույթի համար (1.67)-ից կստանանք՝

$$E'_h(\mathbf{r}) = \frac{E_0^i}{L_s} \Gamma(x,y) \exp[i\Phi_0(\mathbf{r}) + \pi], \quad (1.76)$$

որտեղ

$$\Gamma(x,y) = \sqrt{\frac{X_h}{X_h^2}} \frac{\sigma}{\beta(x,y) + [\beta^2(x,y) - \sigma^2]^{1/2}}: \quad (1.77)$$

Որպես օրինակ դիտարկենք Si(220) անդրադարձումը. $\lambda = 0,71 \text{ \AA}$, $L_s = 5 \mu$, σ -բևեռացում, $\Delta\theta = -\text{Re } x_0 / \sin 2\theta$, դիֆրակցիայի պարամետրը՝ $D \approx 2,3$: Եթե $\beta(x,y)$ -ի (1.75) արտահայտության մեջ անտեսվի y -ից կախումը, ապա կստացվեն ստանդարտ դինամիկական տեսության արտահայտությունները գլանային ալիքային ճակատով ալիքի համար [8,9]: Իսկ եթե այն հաշվի առնվի, այսինքն՝ ընկնող ալիքի ալիքային ճակատի երկչափ կորությունը, ապա կստանանք

դիֆրակցիայի հարթության մեջ և դիֆրակցիայի հարթությանն ուղղահայաց ուղղություններով Բրեգի անկյուննից շեղում-ներից կախված ճոճման կորը:

(1.76) և (1.77) բանաձևերի համաձայն՝ նկատելի ուժգնությամբ անդրադառնում են այն ալիքներն, որոնց համար $x/L_s \sim |\chi_h|$, իսկ դիֆրակցիայի հարթությանն ուղղահայաց ուղղությամբ անդրադառնում են այն ալիքներն, որոնց համար $y/L_s \sim |\chi_h|^{1/2}$: Քանի որ ռենտգենյան ճառագայթների համար $|\chi_h| \sim 10^{-5} - 10^{-6}$, ապա դիֆրակցիայի հարթությանն ուղղահայաց ուղղությամբ ճոճման կորը մի քանի կարգով ավելի էլայն է, քան դիֆրակցիայի հարթության մեջ:

Նկ. 1.10.ա- ում ցույց է տրված (1.67) ճշգրիտ բանաձևից թվային հաշվարկով ստացված ճոճման կորը՝ այսինքն՝ $R(0, y)$ անդրադարձման գործակիցը $x=0$ գծի վրա, իսկ նկ. 1.10.բ-ում նույն կորը՝ ստացված (1.76) մոտավոր բանաձևով: Ինչպես երևում է նկարներից, մոտավոր և ճշգրիտ բանաձևերով ստացված կորերի միջև կա բավարար համընկնում, չնայած $D \gg 1$ պայմանի փոխարեն $D \approx 2,3$:

Նկատելք, որ հաստատուն ուժգնության պարաբոլները գագաթում ունեն այնքան մեծ շառավիղ $L_s \cos \theta \approx 5$ մ, որ նկ. 1.9-ում ցույց տրված սահմաններում այդ կորությունը զգալի չէ և ժապավենած և փունջը հավասարաչափ կանդրադառնա այդ սահմաններից:

Ինչպես երևում է 1.10.բ-ից, անդրադարձման գործակիցը լրիվ անդրադարձման տիրույթի եզրերում փոքր-ինչ մեծ է, քան կենտրոնում: Ավելի ճշգրիտ, եզրերում այդ արժեքը 0,995 է, իսկ կենտրոնում՝ 0,9849, որը կլանման հետևանք է: Բրեգի անկյուննից շեղման պարամետրի՝ x -ից գծային կախման հետևանքով ճոճման կորի լրիվ անդրադարձման տիրույթի մի եզրում անդրադարձման գործակիցն ունի ավելի մեծ արժեք, քան կենտրոնում, իսկ մյուս եզրում՝ ավելի փոքր, քան կենտրոնում, այսինքն՝ դիֆրակցիայի հարթության մեջ անդրադարձման կորը կլանման պատճառով անհամաչափ է, փաստ, որը հայտնի է ստանդարտ դինամիկական տեսությունում [8,9]: Բայց քանի որ դիֆրակցիայի հարթությանն ուղղահայաց ուղղությամբ Բրեգի պայմանից շեղման պարամետրը քառակուսային է ըստ y -ի, ապա ճոճման կորի լրիվ անդրադարձման

տիրույթի եզրերը կլանման հետևանքով հավասարապես ավելի մեծ արժեք ունեն, քան կենտրոնում:

Թվային հաշվարկն ըստ ճշգրիտ բանաձևի (նկ.1.10.ա) նույնպես հաստատում է, որ եզրերում ճոճման կորն ընդունում է ավելի մեծ արժեքներ, քան կենտրոնում: Բայց սա ավելի շուտ դիֆրակտային երևույթ է, քան կլանման հետևանք: Այս պնդումն ստուգվել է՝ ենթադրելով, որ բյուրեղը չի կլանում: Նկ.1.10.ա-ում կորը չի փոխվում, մինչդեռ 1.10.բ-ում կորի կենտրոնում և եզրերում արժեքները հավասարվում են:

ԳԼՈՒԽ 2. ԴԻՆԱՄԻԿԱԿԱՆ ՏԵՍՈՒԹՅԱՆ ԷՅԿՈՆԱԼ Ի ՅԱՎԱՍԱՐՈՒՄԸ

§2.1. *Լայնույթների տեղափոխման հավասարումներն էյկոնալ ային մոտավորությունում*

Տակագիի հավասարումների էյկոնալ ային մոտավորությունը [8,9,28,45–47] հնարավորություն է տալիս որոշելու լայնույթներն ու էյկոնալը և կառուցելու դինամիկական դիֆրակտային խնդրի լուծումը դանդաղ փոփոխվող դեֆորմացիաներ պարունակող բյուրեղում: Տակագիի հավասարումներից [29] ստացվել է էյկոնալի հավասարումը և տեղափոխման հավասարումներ՝ լայնույթների համար: Սակայն լայնույթների ասիմպտոտական շարքի բարձր կարգի անդամների համար տեղափոխման հավասարումները գրվում են մատրիցական տեսքով, որը դժվարացնում է դրանց անմիջական կիրառումը: Հիմնականում քննարկվում է գրոյական մոտավորությունում լայնույթների տեղափոխությունը բյուրեղում:

Ստորև քննարկվում է դինամիկական դիֆրակցիայի էյկոնալ ային մոտավորությունը դինամիկական դիֆրակցիայի հավասարումների համակարգից անցնելով անցած և դիֆրակտված ալիքների լայնույթների համար գրված երկրորդ կարգի մաս-նակի ածանցյալներով դիֆերենցիալ հավասարումներին: Դա հնարավորություն է տալիս լայնույթների ասիմպտոտական վերլուծության շարքի բոլոր անդամների համար տեղափոխման հավասարումները գրելու բացահայտ տեսքով, իսկ այդ հավասարումները գումարելուց հետո ստանալու տեղափոխման հավասարում ամբողջ լայնույթի համար:

§2.1.1. *Տակագիի հավասարումների էյկոնալ ային մոտավորության հիմնական բանաձևեր*

Դինամիկական երկալիքային դիֆրակցիայի պայմաններում, երբ բյուրեղում առկա են երկու՝ 0 և h դիֆրակցիայի վեկտորներին համապատասխանող դինամիկորեն փոխազդող ալիքներ, էյկոնալ ային մոտավորությունում դաշտը բյուրեղում ներկայացվում է հետևյալ տեսքով

$$E = \left(E_0 \exp(\mathbf{K}_0 \mathbf{r}) + E_h \exp[i(\mathbf{K}_h \mathbf{r} - \mathbf{h} \mathbf{u})] \right) \exp \left[i \left(\Phi + k\chi_0 \frac{z}{2 \cos \theta} \right) \right], \quad (2.1)$$

որտեղ E_0 -ն, E_h -ը դանդաղ փոփոխվող լայնույթներն են, \mathbf{K}_0 -ն և

$\mathbf{k}_h = \mathbf{k}_0 + \mathbf{h}$ -ը՝ Բրեգի $\mathbf{k}_0^2 = \mathbf{k}_h^2 = k^2 = (\varrho \pi / \lambda)^2$ ճշգրիտ պայմանին բավարարող ալիքային վեկտորներն անցած և դիֆրակտված ալիքների համար, α -ն կատարյալ բյուրեղում առումի շեղման վեկտորն է, Φ -ն՝ էյկոնալը, Oz առանցքն ուղղված է անդրադարձնող հարթության նսնե-րով, իսկ Ox առանցքն ուղղահայաց է անդրադարձնող հարթության նսների և հակազուգահեռ է դիֆրակցիայի \mathbf{h} վեկտորին: Տակագիի հավասարումներում անցնելով անցած և դիֆրակտված ալիքների լայնությաների հավասարումներին [29] և օգտվելով (2.1)-ից, կստանանք՝

$$\begin{aligned} \frac{\partial^2 E_0}{\partial s_0 \partial s_h} + i \frac{\partial E_0}{\partial s_h} P_0 + i \frac{\partial E_0}{\partial s_0} P_h + \mathcal{E}_0 \frac{\partial P_0}{\partial s_h} + (\sigma^2 - P_0 P_h) E_0 &= 0, \\ \frac{\partial^2 E_h}{\partial s_0 \partial s_h} + i \frac{\partial E_h}{\partial s_h} P_0 + i \frac{\partial E_h}{\partial s_0} P_h + \mathcal{E}_h \frac{\partial P_h}{\partial s_0} + (\sigma^2 - P_0 P_h) E_h &= 0, \end{aligned} \quad (2.2)$$

որտեղ $P_0 = \partial \Phi / \partial s_0$, $P_h = \partial \Phi / \partial s_h + k \alpha / 2$. $\alpha = -\varrho / k) \partial \mathbf{h} / \partial s_h$ -ը Բրեգի պայմանից տեղային շեղման պարամետրն է, $\sigma^2 = k^2 \chi_h \chi_h^- C^2 / 4$, σ -բևեռացման համար $C = 1$, π -բևեռացման համար $C = \cos 2\theta$: (2.2)-ում մեծ պարամետրի դեր է խաղում σ^2 -ն: Յամարելով, որ դեֆորմացիաները բավականաչափ դանդաղ են՝ $(k/2) |\partial \alpha / \partial s_0| = \partial^2 \mathbf{h} / \partial s_0 \partial s_h \ll |\sigma^2|$ և բաժանելով (2.2) հավասարումները $|\sigma|^2$ -ով, կհանգենք մի համակարգի, որի հավասարումների առաջին անդամները $|\sigma|^{-2}$ -ի, հաջորդող երեք անդամները՝ $|\sigma|^{-1}$ -ի, իսկ վերջին անդամը՝ $|\sigma|^0$ -ի կարգի են, ուստի որոնելի լայնությաները կփնտրենք

$$E_{0,h} = \sum_{n=0}^{\infty} E_{0,h}^{(n)} : \quad (2.3)$$

ասիմպտոտական շարքի տեսքով: (2.3)-ը տեղադրելով (2.2)-ում և նույն կարգի անդամները հավասարեցնելով զրոյի, հանգում ենք էյկոնալի հավասարմանը՝

$$P_0 P_h - \sigma^2 = 0, \quad (2.4)$$

լայնությաների զրոյական մոտավորության համար՝

$$\begin{aligned} \frac{\partial E_0^{(0)}}{\partial s_0} P_h + \frac{\partial E_0^{(0)}}{\partial s_h} P_0 + E_0^{(0)} \frac{\partial P_0}{\partial s_h} &= 0, \\ \frac{\partial E_h^{(0)}}{\partial s_0} P_h + \frac{\partial E_h^{(0)}}{\partial s_h} P_0 + E_h^{(0)} \frac{\partial P_h}{\partial s_0} &= 0 \end{aligned} \quad (2.5)$$

հավասարումներին, իսկ ասիմպտոտական վերլուծության բարձր կարգի անդամների համար՝

$$\begin{aligned} i \frac{\partial E_0^{(n)}}{\partial s_0} P_h + i \frac{\partial E_0^{(n)}}{\partial s_h} P_0 + \mathbb{E}_0^{(n)} \frac{\partial P_0}{\partial s_h} + \frac{\partial^2 E_0^{(n-1)}}{\partial s_0 \partial s_h} &= 0, \\ i \frac{\partial E_h^{(n)}}{\partial s_0} P_h + i \frac{\partial E_h^{(n)}}{\partial s_h} P_0 + \mathbb{E}_h^{(n)} \frac{\partial P_h}{\partial s_0} + \frac{\partial^2 E_h^{(n-1)}}{\partial s_0 \partial s_h} &= 0 \end{aligned}, \quad n = 1, 2, \dots \quad (2.6)$$

հավասարումներին: Եյ կոնալի (2.4) հավասարումը հնարավորություն է տալիս որոշելու Եյ կոնալը՝ անկախ լայնույթներից: Եյ կոնալի հավասարման բնութագրական համակարգն ունի

$$\begin{aligned} \frac{ds_0}{ds} &= P_h, \quad \frac{ds_h}{ds} = P_0, \\ \frac{dp_0}{ds} &= -P_0 \frac{k}{2} \frac{\partial \alpha}{\partial s_0}, \quad \frac{dp_h}{ds} = -P_0 \frac{k}{2} \frac{\partial \alpha}{\partial s_h}, \\ \frac{d\Phi}{ds} &= \sigma^2 + p_0 p_h, \end{aligned} \quad (2.7)$$

տեսքը [221], որտեղ $p_0 = P_0, p_h = \partial \Phi / \partial s_h$: Ըստ (2.7)-ի հետագծերը որոշելուց հետո, որոշակի եղանակով որոշվում է Եյ կոնալը [221]:

§2.1.2. $E_0^{(0)}$ -ի և $E_h^{(0)}$ -ի տեղափոխման հավասարումները

Օգտագործելով (2.7) հետագծի հավասարումները, ինչպես նաև (2.5)-ը, հետագծերի երկայնքով գրոյական մոտավորության լայնույթների համար ստանում ենք հետևյալ տեղափոխման հավասարումները.

$$\begin{aligned} \frac{dE_0^{(0)}}{ds} &= \frac{\partial E_0^{(0)}}{\partial s_0} \frac{ds_0}{ds} + \frac{\partial E_0^{(0)}}{\partial s_h} \frac{ds_h}{ds} = -E_0^{(0)} \frac{\partial^2 \Phi}{\partial s_0 \partial s_h}, \\ \frac{dE_h^{(0)}}{ds} &= \frac{\partial E_h^{(0)}}{\partial s_0} \frac{ds_0}{ds} + \frac{\partial E_h^{(0)}}{\partial s_h} \frac{ds_h}{ds} = -E_h^{(0)} \frac{\partial}{\partial s_0} \left(\frac{\partial \Phi}{\partial s_h} + k \frac{\alpha}{2} \right): \end{aligned} \quad (2.8)$$

(2.8)-ն ինտեգրելով հետագծի երկայնքով, կստանանք.

$$\begin{aligned} E_0^{(0)}(s) &= E_0^{(0)}(0) \exp \left(- \int_0^s \frac{\partial^2 \Phi}{\partial s_0 \partial s_h} ds' \right), \\ E_h^{(0)}(s) &= E_h^{(0)}(0) \exp \left[- \int_0^s \frac{\partial}{\partial s_0} \left(\frac{\partial \Phi}{\partial s_h} + k \frac{\alpha}{2} \right) ds' \right]: \end{aligned} \quad (2.9)$$

(2.9) հավասարումները նման են օպտիկայի համապատասխան հավասարումներին [48], դրանցում ϵ ապա ասիանի փոխարեն գրված են $\partial^2 \Phi / \partial s_0 \partial s_h$ և $\partial(\partial \Phi / \partial s_h + k\alpha / 2) / \partial s_0$ մեծությունները: (2.9)-ից կարելի է եզրակացնել, որ ϵ այնույն ժամանակ ունեն եզակիությունն այն կետերում, որտեղ $\partial^2 \Phi / \partial s_0 \partial s_h = -\infty$ կամ $\partial(\partial \Phi / \partial s_h + k\alpha / 2) / \partial s_0 = -\infty$ [48]: Ինչպես հայտնի է, այդ կետերի երկրաչափական տեղը կազմում է կառուստիկա [48]:

Նշենք, որ ելնելով (2.5)-ից, կարելի է ստանալ հավասարումներ որոշակի պահ-պանվող մեծության համար: Իրոք, (2.5)-ի համաձայն

$$\begin{aligned} \sigma^2 \frac{\partial E_0^{(0)2}}{\partial s_0} + \frac{\partial}{\partial s_h} \left(E_0^{(0)} \frac{\partial \Phi}{\partial s_0} \right) &= 0, \\ \sigma^2 \frac{\partial E_h^{(0)2}}{\partial s_h} + \frac{\partial}{\partial s_0} \left[E_h^{(0)} \left(\frac{\partial \Phi}{\partial s_h} + k \frac{\alpha}{2} \right) \right] &= 0 : \end{aligned} \quad (2.10)$$

(2.10) հավասարումները՝ գրված (x, z) փոփոխականներով, ունեն Պոյնտինգի վեկտորի դիվերգենցիայի գրոյի հավասարումները հայտնի տեսքը [8,28].

$$\begin{aligned} \cos \theta \frac{\partial}{\partial z} \left[\left(\sigma^2 + \left(\frac{\partial \Phi}{\partial s_0} \right)^2 \right) E_0^{(0)2} \right] + \sin \theta \frac{\partial}{\partial x} \left[\left(\sigma^2 - \left(\frac{\partial \Phi}{\partial s_0} \right)^2 \right) E_0^{(0)2} \right] &= 0, \\ \cos \theta \frac{\partial}{\partial z} \left[\left(\sigma^2 + \left(\frac{\partial \Phi}{\partial s_h} + \frac{k\alpha}{2} \right)^2 \right) E_h^{(0)2} \right] + \sin \theta \frac{\partial}{\partial x} \left[\left(\left(\frac{\partial \Phi}{\partial s_h} + \frac{k\alpha}{2} \right)^2 - \sigma^2 \right) E_h^{(0)2} \right] &= 0 : \end{aligned} \quad (2.11)$$

Չկլանող բյուրեղում (2.11) հավասարումից հետևում է ճառագայթների խողովակի երկայնքով էներգիայի հոսքի պահպանումը:

§2.1.3. $E_{0,h}^{(n)}$ -ի տեղափոխման հավասարումները

Անցնենք ϵ այնույն ժամանակ ասիմպտոտական վերլուծության շարքի բարձր կարգի անդամների (2.6) հավասարումների ինտեգրմանը: Նորից օգտագործելով հետագծերի (2.7) հավասարումները, (2.6)-ը կարելի է ներկայացնել հետևյալ տեսքով.

$$\begin{aligned} i \frac{dE_0^{(n)}}{ds} + \mathcal{E}_0^{(n)} \frac{\partial^2 \Phi}{\partial s_0 \partial s_h} &= - \frac{\partial^2 E_0^{(n-1)}}{\partial s_0 \partial s_h}, \\ i \frac{dE_h^{(n)}}{ds} + \mathcal{E}_h^{(n)} \frac{\partial}{\partial s_0} \left(\frac{\partial \Phi}{\partial s_h} + \frac{k\alpha}{2} \right) &= - \frac{\partial^2 E_h^{(n-1)}}{\partial s_0 \partial s_h}, \end{aligned} \quad (2.12)$$

ընդ որում, $n = 1, 2, \dots$, իսկ լայնույթները բավարարում են գրոյական սահմանային պայմանների: (2.12) հավասարումներում նշանակելով

$$\begin{aligned} E_0^{(n)} &= E_0^{(n)'} \exp\left(-\int_0^s \frac{\partial^2 \Phi}{\partial s_0 \partial s_h} ds'\right), \\ E_h^{(n)} &= E_h^{(n)'} \exp\left[-\int_0^s \frac{\partial}{\partial s_0} \left(\frac{\partial \Phi}{\partial s_h} + \frac{k\alpha}{2}\right) ds'\right], \end{aligned} \quad (2.13)$$

և օգտագործելով (2.9)-ը, կստանանք՝

$$\frac{dE_{0,h}^{(n)'}}{ds} = i \frac{E_{0,h}^{(0)}(0)}{E_{0,h}^{(0)}(s)} \frac{\partial^2 E_{0,h}^{(n-1)}}{\partial s_0 \partial s_h} : \quad (2.14)$$

Ինտեգրելով (2.14)-ը և արդյունքը տեղադրելով (2.13)-ի մեջ, կստանանք՝

$$E_{0,h}^{(n)}(s) = \mathcal{H}_{0,h}^{(0)}(s) \int_0^s \frac{1}{E_{0,h}^{(0)}(s')} \frac{\partial^2 E_{0,h}^{(n-1)}(s')}{\partial s_0 \partial s_h} ds' : \quad (2.15)$$

Գումարելով (2.15)-ն ըստ n -ի 1-ից մինչև ∞ , ստանում ենք ինտեգրալ հավասարում լրիվ լայնույթների համար.

$$E_{0,h}(s) = E_{0,h}^{(0)}(s) + \mathcal{H}_{0,h}^{(0)}(s) \int_0^s \frac{1}{E_{0,h}^{(0)}(s')} \frac{\partial^2 E_{0,h}(s')}{\partial s_0 \partial s_h} ds' : \quad (2.16)$$

Այս ինտեգրալ հավասարումներն ըստ s -ի ածանցելու միջոցով հանգում ենք լրիվ լայնույթների որոշման համար դիֆերենցիալ հավասարումներին.

$$\frac{d}{ds} \frac{E_{0,h}(s)}{E_{0,h}^{(0)}(s)} = \frac{i}{E_{0,h}^{(0)}(s)} \frac{\partial^2 E_{0,h}}{\partial s_0 \partial s_h} : \quad (2.17)$$

(2.9), (2.15) և (2.16) լուծումները, (2.17) հավասարումը նման են օպտիկայի համապատասխան հավասարումներին [48]: Լապլասիանի դերն այստեղ կատարում է $\partial^2 / \partial s_0 \partial s_h = \cos^2 \theta \partial^2 / \partial z^2 - \sin^2 \theta \partial^2 / \partial x^2$ օպերատորը, բացի այդ, յուրաքանչյուր դաշտի համար ունենք երկու հավասարում՝ դիսպերսային մակերևույթի ամեն ճյուղին համապատասխան:

Եթե կատարյալ բյուրեղի համար օգտագործենք Բորմանի եռանկյան կենտրոնա-կան տեղամասի ճառագայթները կամ բյուրեղը լինի թույլ դեֆորմացված, ապա էյկոնալը Լաուեի համաչափ դեպքում կարելի է վերցնել

$$\Phi = \pm \sigma \frac{z}{\cos \theta} \quad (2.18)$$

տեսքով: Այս դեպքում (2.7)-ից հետևում է, որ $dz = \pm 2\sigma \cos \theta ds$, իսկ (2.9)-ից՝ որ $E_{0,h}^{(0)}(s) = E_{0,h}^{(0)}(0)$, այսինքն՝ լայնույթները հետագծերի երկայնքով հաստատուն են: Քանի որ լայնույթները դանդաղ են փոփոխվում հետագծերի երկայնքով (ուստի նաև ըստ z -ի), ապա (2.17)-ում՝ աջ մասերում, կարելի է թողնել միայն ածանցյալներն ըստ x -ի՝ ան-տեսելով ըստ z -ի երկրորդ կարգի ածանցյալները, որից հետո (2.17)-ը կընդունի հետևյալ տեսքը.

$$\pm \frac{2i\sigma}{\cos \theta} \frac{\partial E_{0,h}}{\partial z} = \operatorname{tg}^2 \theta \frac{\partial^2 E_{0,h}}{\partial x^2}, \quad (2.19)$$

որը համարժեք է վակուումում ալիքի տարածման հայտնի դիֆրակցիայի պարաբոլ ա-կան հավասարմանը:

Ընդհանուր դեպքում (x, z) կամ (s_0, s_h) փոփոխականներից կարելի է անցնել (s, τ) կորագիծ կոորդինատական համակարգի կոորդինատներին՝ ճառագայթների տարածման և դրան ուղղահայաց ուղղությամբ: Աջ մասերում նորից կարելի է անտեսել ըստ s -ի ածանցյալները, ընդ որում, կոորդինատային համակարգը կարելի է ընտրել այնպես, որ հավասարումներում չմասնակցեն $\partial^2 / \partial s \partial \tau$ խառն ածանցյալները: Կարելի է ստուգել, որ այդպիսի պայմանը համարժեք է

$$\frac{\partial x}{\partial s} \frac{\partial x}{\partial \tau} - \operatorname{tg}^2 \theta \frac{\partial z}{\partial s} \frac{\partial z}{\partial \tau} = 0, \quad (2.20)$$

պայմանին, կամ (s_0, s_h) կոորդինատներով՝

$$\frac{\partial s_0}{\partial \tau} \frac{\partial s_h}{\partial s} + \frac{\partial s_0}{\partial s} \frac{\partial s_h}{\partial \tau} = 0: \quad (2.21)$$

(2.20)-ը (s, τ) կորագիծ կոորդինատային համակարգի օրթոգոնալ ության պայմանն է (x, z) պսևդոէվկլիդյան տարածությունում: Նկատենք, որ էվկլիդյան տարածությունում (2.20)-ի ձախ մասում պետք է վերցվեր "+" նշանը, որը կհամապատասխաներ տարածություն էվկլիդյան լինելուն: Օպտիկայում (2.17)-ի աջ մասում մասնակցում է լայնասի-անը, այսինքն՝ երկրորդ կարգի ածանցյալների գումարը, իսկ բյուրեղի դեպքում (2.17)-ի աջ մասում երկրորդ կարգի ածանցյալների

տարբերություններն է, որը համապատասխանում է տարածության պսևդոէվկլիդեսյանությանը: (2.20) կամ (2.21) պայմանով որոշվում են τ փոփոխականի, ալիքի հետագծերին ուղղահայաց, փոփոխման գծերը, ինչպես նաև τ փոփոխականը: (x, z) -ը կամ (s_0, s_h) -ը արտահայտելով (s, τ) -ով, (2.17)-ում ըստ (2.20)-ի (կամ ըստ (2.21)-ի) անցնելով օրթոգոնալ կոորդինատների, իսկ (2.17)-ի աջ մասում անտեսելով ըստ s -ի երկրորդ կարգի ածանցյալները, հանգում ենք լայնույթների պարաբոլակալիան հավասարմանն ընդհանուր դեպքում.

$$\frac{\partial E_{0,h}(s, \tau)}{\partial s E_{0,h}^{(0)}(s, \tau)} = \frac{i}{E_{0,h}^{(0)}(s, \tau)} \left(\frac{\partial \tau}{\partial s_0} \frac{\partial \tau}{\partial s_h} \frac{\partial^2 E_{0,h}}{\partial \tau^2} + \frac{\partial^2 \tau}{\partial s_0 \partial s_h} \frac{\partial E_{0,h}}{\partial \tau} + \frac{\partial^2 s}{\partial s_0 \partial s_h} \frac{\partial E_{0,h}}{\partial s} \right), \quad (2.22)$$

որտեղ

$$\begin{aligned} \partial^2 \tau / \partial s_0 \partial s_h &= \partial s / \partial s_h \partial / \partial s (\partial \tau / \partial s_0) + \partial \tau / \partial s_h \partial / \partial \tau (\partial \tau / \partial s_0), \\ \partial^2 s / \partial s_0 \partial s_h &= \partial s / \partial s_h \partial / \partial s (\partial s / \partial s_0) + \partial \tau / \partial s_h \partial / \partial \tau (\partial s / \partial s_0): \end{aligned}$$

§2.2. Էյկոնալային մոտավորությունը ընկնող ալիքի ճակատի երկչափ կորություն և հաշվառմամբ

Դինամիկական դիֆրակցիայի հավասարումների էյկոնալային մոտավորությունը տալիս է խնդրի լուծումը՝ կախված դիֆրակցիայի հարթության մեջ դիտման կետի կոորդինատներից: Սակայն, եթե հաշվի առնենք ընկնող ալիքի ճակատի երկչափ կորությունը, ապա դինամիկական դիֆրակցիայի հավասարումներում անհրաժեշտ է հաշվի առնել նաև դիֆրակցիայի հարթությանն ուղղահայաց ուղղությունամբ՝ ըստ y կոորդինատի լայնույթների երկրորդ կարգի ածանցյալները: Ուստի էյկոնալի հավասարումը նույնպես կախված կլինի այդ կոորդինատից:

Ստորև էյկոնալի հավասարումն ստացվել է դինամիկական դիֆրակցիայի հավասարումներից, որոնցում թողնվել են լայնույթների երկրորդ կարգի ածանցյալներն ըստ y -ի: Գտնվել է լրիվ ինտեգրալը, որը հնարավորություն է տալիս կառուցել ու տրված սահմանային պայմաններին բավարարող լուծումը բյուրեղում և գտնել ու հետագծերը: Ուսումնասիրվել է նաև վակուումում, բյուրեղից դուրս ալիքի տարածման էյկոնալի հավասարումը և գտնվել է լրիվ ինտեգրալը:

§2.2. 1. Էյկոնալի հավասարումը բյուրեղում

Դեֆորմացված բյուրեղում, երբ դինամիկական դիֆրակցիայի

հավասարումներում հաշվի են առնվում լայնույթների երկրորդ կարգի ածանցյալները դիֆրակցիայի հարթությանն ուղղահայաց ուղղությամբ, անցած և դիֆրակտված ալիքների լայնույթ-ներն ընդհանուր դեպքում բավարարում են հետևյալ հավասարումներին՝

$$\begin{aligned} \frac{\partial^2 \tilde{E}_0}{\partial Y^2} + 2ik \frac{\partial \tilde{E}_0}{\partial S_0} + k^2 \chi_h^- \tilde{E}_h C \exp(i\mathbf{h}\mathbf{u}) &= 0, \\ \frac{\partial^2 \tilde{E}_h}{\partial Y^2} + 2ik \frac{\partial \tilde{E}_h}{\partial S_h} + k^2 \chi_h^+ \tilde{E}_0 C \exp(-i\mathbf{h}\mathbf{u}) &= 0 : \end{aligned} \quad (2.23)$$

Դիտարկենք դիֆրակցիան կատարյալ բյուրեղում, այսինքն, երբ $\mathbf{u} = 0$: (2.23)-ում անցնելով յուրաքանչյուր լայնույթի համար հավասարումներին, կստանանք (հետագայում պարզության համար C բևեռացման գործակիցը բաց է թողնվում, որը կարելի է վերականգնել, պատասխանում փոխարինելով $\chi_{h,\bar{h}} \rightarrow C\chi_{h,\bar{h}}$)

$$\frac{\partial^4 \tilde{E}_{0,h}}{\partial Y^4} + 2ik \left(\frac{\partial}{\partial S_0} + \frac{\partial}{\partial S_h} \right) \frac{\partial^2 \tilde{E}_{0,h}}{\partial Y^2} - 4k^2 \frac{\partial^2 \tilde{E}_{0,h}}{\partial S_0 \partial S_h} - k^4 \chi_h^+ \chi_h^- \tilde{E}_{0,h} = 0 : \quad (2.24)$$

Եյկոնալային մոտավորությամբ լայնույթները փնտրենք հետևյալ տեսքով՝

$$\tilde{E}_{0,h} = E_{0,h} \exp(i\Phi), \quad (2.25)$$

որտեղ Φ -ն Եյկոնալն է, իսկ E_0 -ն և E_h -ը՝ դանդաղ փոփոխվող լայնույթները: (2.25)-ը տեղադրելով (2.24)-ի մեջ, ստանում ենք.

$$\left(\frac{\partial \Phi}{\partial Y} \right)^4 + 4k \cos \theta \frac{\partial \Phi}{\partial Z} \left(\frac{\partial \Phi}{\partial Y} \right)^2 + 4k^2 \left[\left(\frac{\partial \Phi}{\partial Z} \right)^2 \cos^2 \theta - \left(\frac{\partial \Phi}{\partial X} \right)^2 \sin^2 \theta \right] - k^4 \chi_h^+ \chi_h^- = 0 : \quad (2.26)$$

Լրիվ ինտեգրալը, այսինքն՝ երեք կամայական հաստատուններից կախված (2.26)-ի լուծումը գտնելու նպատակով, Եյկոնալը փնտրենք փոփոխականների բաժանման եղանակով, այն է՝

$$\Phi = \Phi_1(x) + \Phi_2(y) + \Phi_3(z) \quad (2.27)$$

տեսքով: (2.27)-ը տեղադրելով (2.26)-ի մեջ, կստանանք՝

$$\Phi = C_1 x + C_2 y \pm z \frac{\sqrt{C_1^2 \sin^2 \theta + \sigma^2}}{\cos \theta} - C_2^2 \frac{z}{2k \cos \theta} + C_3, \quad (2.28)$$

որտեղ C_1 -ը, C_2 -ը և C_3 -ը կամայական հաստատուններ են, $\sigma = k\sqrt{\chi_h^+ \chi_h^-} / 2$, "+" և "-" նշանները վերաբերվում են թույլ և ուժեղ կլանվող ճյուղերին: Ունենալով լրիվ ինտեգրալը՝ որոշակի եղանակով գտնվում են տրված սահմանային պայմաններին բավարարող

Եյկոնաւ ը և հետագծերը [221]: Յիշեցնենք այդ եղանակի
 Էոլթյունը: Դիցուք՝ բյուրեղի մուտքի մակերևոյթը տրված է
 պարամետրերն՝

$$x = x(t_1, t_2), y = y(t_1, t_2), z = z(t_1, t_2), \quad (2.29)$$

իսկ Եյկոնաւ ը մուտքի մակերևոյթին տրված է $\Phi_0(t_1, t_2)$
 ֆունկցիայով (ընկնող ալիքի Եյկոնաւ ը): Կազմում ենք հետևյալ
 համակարգը՝

$$\begin{aligned} \Phi_0(t_1, t_2) &= \Phi(x(t_1, t_2), y(t_1, t_2), z(t_1, t_2)), \\ \Phi_{0t_1} &= \Phi_{t_1}, \\ \Phi_{0t_2} &= \Phi_{t_2}, \end{aligned} \quad (2.30)$$

որտեղ Եյկոնաւ ի t_1 և t_2 ցուցիչները նշանակում են ածանցում ըստ
 այդ փոփոխական-ների: Առաջին հավասարումը համարժեք է մուտքի
 մակերևոյթին ընկնող ալիքի և բյուրեղական ալիքների
 Եյկոնաւ ների անընդհատութեանը, իսկ մյուս երկու հավասարում-
 ները համարժեք են տեղային ալիքային վեկտորի՝ մուտքի
 մակերևոյթի նկատմամբ շոշափող բաղադրիչի անընդհատութեանը:
 (2.30)-ից C_1, C_2, C_3 հաստատուններն որպէս ֆունկցիաներ արտահայտում
 ենք t_1 և t_2 պարամետրերով: Այդ ֆունկցիաները տեղադրելով (2.28)-ի
 մեջ, ստանում ենք այսպէս կոչված ընդհանուր ինտեգրալը, որը կախ-
 ված է երկու պարամետրից: Յետագծերն ստանում ենք՝ կազմելով
 հետևյալ համակարգը

$$\begin{aligned} \Phi_{t_1}(x, y, z, C_1(t_1, t_2), C_2(t_1, t_2), C_3(t_1, t_2)) &= 0, \\ \Phi_{t_2}(x, y, z, C_1(t_1, t_2), C_2(t_1, t_2), C_3(t_1, t_2)) &= 0: \end{aligned} \quad (2.31)$$

Ամեն մի սկզբնական (t_1, t_2) գոյգին համապատասխանում է որոշակի
 հետագիծ, որը դուրս է գալիս մուտքի մակերևոյթի
 $\{x(t_1, t_2), y(t_1, t_2), z(t_1, t_2)\}$ կետից և անցնում է բյուրեղի $\{x, y, z\}$ կետով:
 (2.31)-ից (t_1, t_2) -ը արտահայտելով x, y, z -ով և տեղադրելով
 $\Phi(x, y, z, C_1(t_1, t_2), C_2(t_1, t_2), C_3(t_1, t_2))$ ընդհանուր ինտեգրալի
 արտահայտութեան մեջ, գտնում ենք (2.26) հավասարման տրված
 սահմանային պայմաններին բավարարող լուծումը:

§2.2. 2. Եյկոնաւ ի հավասարումը վակուումում

Դիտարկենք դիֆրակտված ալիքի հետագա տարածումը

բյուրեղից դուրս, վակուումում: Լաուեի երկրաչափական դեպքում դիֆրակտված ալիքն ունի $\tilde{E}_h \exp(\mathbf{k}_h \cdot \mathbf{r})$ տեսքը: \tilde{E}_h Լայնույթը բավարարում է դիֆրակցիայի պարաբոլական հավասարմանը [48]

$$\frac{1}{\cos^2 \theta} \frac{\partial^2 \tilde{E}_h}{\partial x^2} + \frac{\partial^2 \tilde{E}_h}{\partial y^2} + 2ik \left(\frac{\partial \tilde{E}_h}{\partial z} \cos \theta - \frac{\partial \tilde{E}_h}{\partial x} \sin \theta \right) = 0 : \quad (2.32)$$

\tilde{E}_h -ը ներկայացնենք $E_h \exp(i\Phi)$ տեսքով և տեղադրենք (2.32)-ի մեջ: Արդյունքում կստանանք էյկոնալի հավասարումը վակուումում`

$$\frac{1}{\cos^2 \theta} \left(\frac{\partial \Phi}{\partial x} \right)^2 + \left(\frac{\partial \Phi}{\partial y} \right)^2 + 2k \left(\frac{\partial \Phi}{\partial z} \cos \theta - \frac{\partial \Phi}{\partial x} \sin \theta \right) = 0 : \quad (2.33)$$

Օգտվելով փոփոխականների բաժանման եղանակից՝ գտնում ենք (2.33)-ի ընդհանուր ինտեգրալը`

$$\Phi = C_1(x + z \tan \theta) + C_2 y - \frac{C_1^2 z}{2k \cos^3 \theta} - \frac{C_2^2 z}{2k \cos \theta} + C_3 , \quad (2.34)$$

որը կախված է C_1, C_2, C_3 կամայական հաստատուններից: Այնուհետև, օգտվելով (2.28)-(2.31)-ից, գտնում ենք տրված սահմանային պայմաններին բավարարող (2.33) հավասարման լուծումը և հետագծերը:

§2.3. Մուտքի և ելքի ոչ հարթ մակերևույթներով բյուրեղով ռենտգենյան փնջի կիզակետման էյկոնալի տեսությանը Լաուեի համաչափ դեպքում

Ռենտգենյան փնջի կիզակետման եղանակներից մեկը բրեգյան դիֆրակցիայի օգտագործումն է: Եթե բյուրեղը զերծ է արտաքին ազդեցություններից (ճկում, ջերմաստիճանային գրադիենտ), ապա Լաուեի համաչափ երկրաչափական դեպքում բյուրեղում և բյուրեղից դուրս՝ վակուումում, ռենտգենյան փնջի կիզակետումը դիֆրակցիայի հարթության մեջ (հորիզոնական կիզակետում) կարելի է իրականացնել հարթ մուտքի և ելքի մակերևույթներով բյուրեղով [16,17,19]: Միաժամանակ, որպեսզի իրականացվի կիզակետում դիֆրակցիայի հարթությանն ուղղահայաց ուղղությամբ (սագիտալ կիզակետում), անհրաժեշտ է, որպեսզի մուտքի կամ (և) ելքի մակերևույթը լինի ոչ հարթ: [106]-ում դիտարկվել է փնջի սագիտալ կիզակետումը Բրեգի երկրաչափական դեպքում, ենթադրելով, որ բյուրեղի մուտքի մակերևույթը գլանային պարաբոլարդ է, որի առանցքն ընկած է դիֆրակցիայի

հարթության մեջ: [112]-ում ուսումնասիրվել է Լաուենի երկրաչափությանը սագիտալ կիզակետում այն դեպքում, երբ բյուրեղի ելքի մակերևույթը դիֆրակցիայի հարթության մեջ ընկած առանցքով գլանային պարաբոլ-արդի է:

Ստորև ուսումնասիրվել է փնջի կիզակետումը բյուրեղի ներսում և վակուումում Լաուենի համաչափ դեպքում: Մուտքի և ելքի մակերևույթներն ունեն պարաբոլարդի տեսք՝ ընդհանուր դեպքում գագաթում միմյանց ոչ հավասար կորության շառավիղներով:

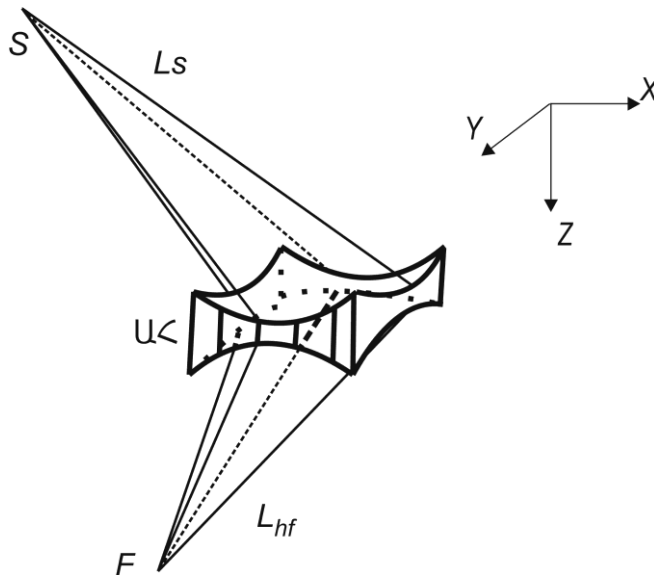
§2.3. 1. Ալիքային ճակատի երկչափ կորության ամբողջական փնջի կիզակետումը բյուրեղում

Դիցուք՝ բյուրեղից L_s հեռավորությամբ կետային աղբյուրից մուտքի և ելքի ոչ հարթ մակերևույթներով բյուրեղի վրա ընկնում է մեներանգ գնդային ալիք: Բյուրեղի անդրադարձնող հարթություններն ուղղահայաց են մուտքի մակերևույթին (Լաուենի համաչափ դեպք, նկ. 2.1): Բյուրեղի մուտքի մակերևույթն ունի գագաթում R_{x1}, R_{y1} կորության շառավիղներով պարաբոլարդի տեսք, որը տրվում է հետևյալ հավասարումով

$$z_0 = \frac{x_0^2}{2R_{x1}} + \frac{y_0^2}{2R_{y1}}, \quad (2.35)$$

որտեղ x_0, y_0, z_0 -ն բյուրեղի մուտքի մակերևույթի կամայական կետի կոորդինատներն են:

Ուսումնասիրենք թույլ կլանվող ճյուղի կիզակետումը §2.2-ում ներկայացված էյկո-նալի տեսությամբ, օգտվելով լրիվ ինտեգրալի (2.28) արտահայտությունից:



Նկ. 2.1. Կիզակետման սխեման մուտքի և ելքի ոչ հարթ մակերևույթներով բյուրեղով: Ցույց է տրված միայն բյուրեղի լուսավորված տիրույթը: S ` ռենտգենյան ալիքների կետային աղբյուր, L_s ` «աղբյուր-բյուրեղ» հեռավորությունը, L_{hf} ` «բյուրեղ-կիզակետ» հեռավորությունը, F ` կիզակետ, $U<$ ` անդ-րադարձնող հարթություններ. կոորդինատների սկզբնակետը բյուրեղի մուտքի մակերևույթին է:

Մեր նպատակն է՝ գտնել բյուրեղի մուտքի մակերևույթին սահմանային պայմաններին բավարարող էյկոնալը և հետագծերը: Դիտարկենք անմիջականորեն պարաբոլարդի գագաթի մոտ ընկած ճառագայթները՝ որոնց համար $|x_0 / R_{x1}| \ll 1, |y_0 / R_{y1}| \ll 1$: Այդ դեպքում $|C_1| \ll |\sigma|$, և (2.28)-ում կարելի է օգտվել հետևյալ մոտավորությունից՝

$$\sqrt{C_1^2 \sin^2 \theta + \sigma^2} \approx \sigma \left(1 + \frac{C_1^2}{2\sigma^2} \sin^2 \theta \right): \quad (2.36)$$

Ընկնող ալիքի էյկոնալն ունի հետևյալ տեսքը՝

$$\Phi^i = \frac{kx_0^2 \cos^2 \theta}{2L_s} + \frac{ky_0^2}{2L_s}: \quad (2.37)$$

Փուլի անընդհատության պայմանի համաձայն՝ բյուրեղային դաշտի Φ_0 էյկոնալը մուտքի մակերևույթին բավարարում է հետևյալ հավասարությանը

$$\Phi_0 + \frac{kx_0 z_0}{2 \cos \theta} = \Phi^i: \quad (2.38)$$

Օգտվելով §2.2-ում ներկայացված (2.28)-(2.31) եղանակից, գտնում ենք սահմանային պայմաններին բավարարող էյկոնալը և հետագծերը

(տես Յավելված 1): (2.36) մոտավորության իրականացման պայմաններում հետագծերը տրվում են

$$\begin{aligned} x - x_0 \left(1 - \frac{z}{z_{x1}} \right) &= 0, \\ y - y_0 \left(1 - \frac{z}{z_{y1}} \right) &= 0, \end{aligned} \quad (2.39)$$

հավասարումներով, իսկ էյկոնալը՝

$$\Phi = \frac{\sigma z}{\cos \theta} - \frac{\sigma \cos \theta}{2 \sin^2 \theta} \frac{x^2}{z - z_{x1}} + \frac{k \cos \theta y^2}{2(z - z_{y1})} \quad (2.40)$$

բանաձևով, որտեղ z_{x1} -ը և z_{y1} -ը տրվում են հետևյալ առնչություններով.

$$\begin{aligned} \frac{1}{z_{x1}} &= \frac{\sin^2 \theta}{\sigma \cos \theta} \left[\frac{k \cos^2 \theta}{L_s} - \left(\frac{k \chi_0}{2} + \sigma \right) \frac{1}{R_{x1} \cos \theta} \right], \\ \frac{1}{z_{y1}} &= -\frac{1}{k \cos \theta} \left[\frac{k}{L_s} - \left(\frac{k \chi_0}{2} + \sigma \right) \frac{1}{R_{y1} \cos \theta} \right]: \end{aligned} \quad (2.41)$$

Հետագծերը որոշելիս բյուրեղի բևեռացվելիությունը և z_{x1}, z_{y1} -ը իրական են: Կլանող բյուրեղի դեպքին անցնելու համար անհրաժեշտ է (2.40) լուծումն անալիտիկ շարունակել բևեռացվելիության կոմպլեքս արժեքների համար և (2.39)-ում և (2.40)-ում z_{x1} -ը, z_{y1} -ը կոմպլեքս են: Ինչպես երևում է (2.39)-ից, երբ $z = z_{x1}$, (x, z) հարթության մեջ բոլոր հետագծերն անցնում են $x = 0$ կետով: Դա նշանակում է, որ $(0, z_{x1})$ կետում (x, z) հարթության մեջ տեղի ունի կիզակետում՝ անկախ y -ից: Ճիշտ նույն կերպ, երբ $z = z_{y1}$, (y, z) հարթության մեջ տեղի ունի կիզակետում $(0, z_{y1})$ կետում՝ անկախ x -ից: (2.41) առնչությունները կարելի է ներկայացնել ավելի ընդունված տեսքով՝

$$\frac{1}{z_{x1}} - \frac{\Gamma}{L_s} = \frac{1}{F_{x1}}, \quad \frac{1}{z_{y1}} + \frac{1}{L_s \cos \theta} = \frac{1}{F_{y1}}, \quad (2.42)$$

որտեղ $\Gamma = \sin \theta \sin 2\theta / |\chi_{hr}|$, $F_{x1} = R_{x1} \cot^2 \theta |\chi_{hr}| / (|\chi_{0r}| - |\chi_{hr}|)$, $F_{y1} = -2R_{y1} \cos^2 \theta / (|\chi_{0r}| - |\chi_{hr}|)$: Երբ $F_{x1} \rightarrow \infty$, այսինքն, երբ բյուրեղի մուտքի մակերևույթը (x, z) հարթության մեջ հարթ է, ստացվում է

բյուրեղի ներսում գնդային ալիքի դիսամիկական կիզակետման խորության հայտնի արտահայտությունը [17]: Յարթ ալիքը ($L_s \rightarrow \infty$), երբ $R_{x1} > 0$ (ուռուցիկ մակերևույթ), (x, z) հարթության մեջ կիզակետվում է F_{x1} խորությունում, իսկ (y, z) հարթությունում՝ F_{y1} խորությունում, ընդ որում, անհրաժեշտ է, որ $R_{y1} < 0$ (գոգավոր մակերևույթ): Ինչպես երևում է (2.39)-ից, կետային կիզակետման պայմանը կախված է L_s հեռավորությունից: Որպեսզի հարթ ալիքը հավաքվի կետում, պետք է տեղի ունենա

$$|R_{y1}| = \frac{R_{x1} |X_{hr}|}{2 \sin^2 \theta} \quad (2.43)$$

պայմանը: Ըստ (2.42)-ի, սագիտալ կիզակետման պայմանը բավական «կոշտ» է և պահանջում է Բրեգի մեծ անկյուններ ($\pi/2$ -ին մոտ) և կորության փոքր $|R_{y1}|$ շառավիղ:

Եյկոնալի (2.40) արտահայտությունից երևում է, որ z_{x1} կամ z_{y1} խորություններն անցնելուց հետո ալիքային ճակատը փոխում է կորության նշանը: Բյուրեղը համարելով կլանող և դիտման կետը վերցնելով z_{x1} կամ z_{y1} խորությունում, լայնության համար ստանում ենք գաուսյան բաշխում: Կիզակետի շուրջը, հորիզոնական հարթության մեջ, այդ բաշխումն ունի $\exp(-x^2/a_x)$ տեսքը, որտեղ

$$a_x = \frac{4R_{x1} \cos \theta (|X_{hi}| |X_{0r}| - |X_{0i}| |X_{hr}|)}{k |X_{hr}| (|X_{0r}| - |X_{hr}|)^2} \quad (2.44)$$

(2.44) արտահայտությունը, առանց ընդհանրությունը խախտելու, բերված է կենտրոնահամաչափ բյուրեղի համար, ընդ որում $X_{0i}, X_{hi} > 0$, իսկ $X_{0r}, X_{hr} < 0$: Սագիտալ կիզակետման համար, նույն կերպ, ստանում ենք $\exp(-y^2/a_y)$, որտեղ

$$a_y = \frac{4|R_{y1}| \cos \theta (X_{0i} - X_{hi})}{k (|X_{0r}| - |X_{hr}|)^2} \quad (2.45)$$

Այս բաշխումներից դժվար է գնահատել հորիզոնական և սագիտալ կիզակետի չափերը՝

$$\Delta x_f \sim 2\sqrt{\frac{a_x}{2}}, \quad \Delta y_f \sim 2\sqrt{\frac{a_y}{2}} : \quad (2.46)$$

Գնահատենք ուժգնություն անը կիզակետում: Էներգիայի հոսքի պահպանման օրենքի համաձայն՝

$$I_h(z_{x1})\Delta x_f = I_h(0)\Delta x_0, \quad I_h(z_{y1})\Delta y_f = I_h(0)\Delta y_0, \quad (2.47)$$

որտեղ $I_h(0)$ -ն թույլ կլանվող ճյուղի ուժգնությունն է մուտքի մակերևույթին, Δx_0 -ն՝ բյուրեղի մակերևույթի լուսավորված տիրույթի չափն է ըստ x-ի, Δy_0 -ն՝ ըստ y-ի:

Դիտարկենք հարթ ալիքի կիզակետման կոնկրետ օրինակ՝ $\lambda = 1,54 \text{ \AA}$ ալիքի երկարությամբ ճառագայթման $\text{Si}(444)\text{CuK}\alpha$ անդրադարձում, երբ $R_{x1} = 2 \text{ մմ}$: Այս դեպքում (2.42) կիզակետման խորությունը $z_{x1} = 34 \text{ մկմ}$, կիզակետի չափը՝ $\Delta x_f = 20 \text{ մկմ}$, ընդ որում, դիֆրակտային կլանումն այդ խորությունում՝ $\exp[-\mu z_{x1}(1 - \chi_{hi} / \chi_{0i}) / \cos\theta] = 0,6$, որտեղ՝ գծային կլանման գործակիցը՝ $\mu = k\chi_{0i}$: Եթե մուտքի մակերևույթի լուսավորված տիրույթի չափը համարենք 1 մմ , ապա ըստ (2.47)-ի, կլանման հաշվառմամբ, ուժգնություն անի արժեքի համար կստանանք 20: Միաժամանակ, նույնիսկ եթե $R_{y1} = -100 \text{ մկմ}$, նույն անդրադարձման համար ստանում ենք $z_{y1} = 71 \text{ մմ}$, ինչը բյուրեղում հասանելի է: Բյուրեղում սագիտալ կիզակետման համար անհրաժեշտ է երեք կարգով փոքրացնել $R_{y1} \cos^2 \theta$ -ն:

§2.3.2. Ալիքային ճակատի երկչափ կորություն անստատիստիկ կիզակետումը վակուումում

Ուսումնասիրենք դիֆրակտված ալիքի կիզակետումը վակուումում՝ բյուրեղից դուրս գալուց հետո: Վակուումում էյկոնալի հավասարման լրիվ ինտեգրալը տրվում է (2.34) արտահայտությամբ: Բյուրեղի ելքի մակերևույթն R_{x2}, R_{y2} կորություն շառավիղներով պարաբոլարդ է, որի հավասարումը՝

$$z_e = T + \frac{x_e^2}{2R_{x2}} + \frac{y_e^2}{2R_{y2}}, \quad (2.48)$$

որտեղ T -ն բյուրեղի հաստությունն է պարաբոլոիդի գագաթում: (2.40)-ի համաձայն՝ բյուրեղի ելքի մակերևույթին էյկոնալն ունի հետևյալ տեսքը՝

$$\Phi_e = \frac{\sigma z_e}{\cos\theta} - \frac{\sigma \cos\theta}{2 \sin^2\theta} \frac{x_e^2}{T - z_{fx1}} + \frac{k \cos\theta y_e^2}{2(T - z_{fy1})} + \frac{k\chi_0 z_e}{2 \cos\theta}: \quad (2.49)$$

Հայտարարում տեղադրվել է $z_e \approx T$, քանի որ դիտարկվում են պարաբոլարդի առանցքին մոտ ճառագայթներ: Օգտագործելով (2.49)-ը որպես բյուրեղի ելքի մակերևույթին փուլի արժեքի սահմանային պայման և օգտվելով (2.34) վակուումային լրիվ ինտեգրալի արտահայտությունից, հանգում ենք հետագծերի հետևյալ հավասարումներին.

$$\begin{aligned} \xi - x_e \cos\theta \left(1 - \frac{z - T}{z_{fx2} - T} \right) &= 0, \\ y - y_e \left(1 - \frac{z - T}{z_{fy2} - T} \right) &= 0, \end{aligned} \quad (2.50)$$

որտեղ $\xi = x \cos\theta + (z - T) \sin\theta$ կոորդինատը փոփոխվում է դիֆրակտված փնջի լայնական հատույթում, իսկ

$$\begin{aligned} \frac{1}{z_{fx2} - T} &= \frac{1}{k \cos^3\theta} \left[\frac{\sigma \cos\theta}{\sin^2\theta (T - z_{fx1})} - \left(\frac{k\chi_0}{2} + \sigma \right) \frac{1}{R_{x2} \cos\theta} \right], \\ \frac{1}{z_{fy2} - T} &= -\frac{1}{k \cos\theta} \left[\frac{k \cos\theta}{(T - z_{fy1})} - \left(\frac{k\chi_0}{2} + \sigma \right) \frac{1}{R_{y2} \cos\theta} \right]: \end{aligned} \quad (2.51)$$

էյկոնալի համար ստանում ենք՝

$$\Phi = \left(\frac{k\chi_0}{2} + \sigma \right) \frac{T}{\cos\theta} + \frac{k\xi^2}{2(L_h - L_{hfx})} + \frac{ky^2}{2(L_h - L_{hfy})}: \quad (2.52)$$

(2.52)-ում ներմուծվել են $L_h = (z - T) / \cos\theta$, $L_{hfx} = (z_{fx2} - T) / \cos\theta$ և $L_{hfy} = (z_{fy2} - T) / \cos\theta$ հեռավորությունները: Կլանող բյուրեղի դեպքում L_{hfx} -ը և L_{hfy} -ը կոմպլեքս են: Չկլանող բյուրեղի դեպքում (2.51) արտահայտությունից այդ հեռավորությունները տրվում են

$$\begin{aligned} \frac{1}{L_{hfx}} &= \frac{1}{F_{x2}} + \frac{1}{\Gamma(T - z_{fx1})}, \\ \frac{1}{L_{hfy}} &= \frac{1}{F_{y2}} - \frac{\cos\theta}{T - z_{fy1}} \end{aligned} \quad (2.53)$$

բանաձևերով, որտեղ

$$F_{x2} = \frac{2R_{x2} \cos^3 \theta}{|X_{0r}| - |X_{hr}|}, \quad (2.54)$$

$$F_{y2} = \frac{2R_{y2} \cos \theta}{|X_{0r}| - |X_{hr}|} :$$

Ավելի մանրամասն ուսումնասիրենք միայն մուտքի և կամ միայն ելքի հարթ մակերևույթով բյուրեղի դեպքը:

Մուտքի հարթ մակերևույթով բյուրեղի դեպքում ($|R_{x1}|, |R_{y1}| \rightarrow \infty$), (2.42) և (2.53) բանաձևերից հետևում է, որ

$$\frac{1}{L_{hf_x}} - \frac{1}{\Gamma T - L_s} = \frac{1}{F_{x2}}, \quad (2.55)$$

$$\frac{1}{L_{hf_y}} + \frac{\cos \theta}{T + L_s \cos \theta} = \frac{1}{F_{y2}} :$$

(2.54) և (2.55)-ից հետևում է, որ կետային կիզակետման $L_{hf_x} = L_{hf_y}$ պայմանը կախված է L_s -ից: Եթե բավարարվում է բարակ ոսպնյակի պայմանը՝ $\max(\Gamma / \cos \theta, \Gamma T) \ll L_s$, ապա (2.55)-ն ընդունում է բարակ ոսպնյակի բանաձևի ստանդարտ տեսքը՝

$$\frac{1}{L_{hf_x}} + \frac{1}{L_s} = \frac{1}{F_{x2}}, \quad (2.56)$$

$$\frac{1}{L_{hf_y}} + \frac{1}{L_s} = \frac{1}{F_{y2}} :$$

Այս դեպքում կետային կիզակետման պայմանը կախված չէ L_s -ից և ունի հետևյալ տեսքը՝

$$R_{y2} = R_{x2} \cos^2 \theta : \quad (2.57)$$

(2.56)-ի համաձայն՝ հարթ ալիքի կիզակետման դեպքում F_{x2} և F_{y2} հեռավորությունները տարբեր են, ընդ որում, անկախ բյուրեղի հաստությունից, կետային կիզակետման պայմանը տրվում է (2.57)-ով: Նկատենք, որ մուտքի և ելքի հարթ մակերևույթներով բյուրեղի դեպքում (2.55)-ի առաջին հավասարումն անցնում է գնդային ալիքի՝ վակուումում դիսամիկական դիֆրակտային կիզակետման հայտնի արտահայտությանը [16]:

Կլանող բյուրեղի դեպքում վակուումային էյկոնալի (2.52) արտահայտությունից կիզակետի չափերի համար կստանանք՝

$$\Delta \xi_f \sim 2\sqrt{\frac{a_\xi^e}{2}}, \quad \Delta y_f \sim 2\sqrt{\frac{a_y^e}{2}}, \quad (2.58)$$

որտեղ

$$a_\xi = \frac{2R_{x2} \cos^3 \theta (x_{0i} - x_{hi})}{k(|x_{0r}| - |x_{hr}|)^2}, \quad a_y = \frac{2R_{y2} \cos \theta (x_{0i} - x_{hi})}{k(|x_{0r}| - |x_{hr}|)^2} : \quad (2.59)$$

Որպես օրինակ քննարկենք §2.3.1-ում դիտարկված դեպքը. ելքի մակերևույթին $R_{x2} = 2$ մմ, $T = 100$ մկմ, և $\Gamma T \approx 8$ մ, ուստի բարակ ոսպնյակի պայմանն իրականանում է, եթե $L_s \gg 8$ մ: Հարթ ալիքի դեպքում (2.54)-ից ստանում ենք $L_{hf} = 2,7$ մ, $\Delta \xi_f = 1$ մկմ, իսկ կիզակետում ուժգնության աճի համար, հաշվի առնելով նաև դիֆրակտային $\exp[-\mu T(1 - x_{hi}/x_{0i})/\cos\theta] = 0,2$ կլանումը՝ 45: L_{hf} հեռավորությունը կարելի է կրճատել մինչև 38 սմ, եթե օգտագործենք անդրադարձում, որի համար $\cos\theta \sim 0,1$ (այս օրինակում $\cos\theta \sim 0,193$): Բայց կանան այդ հեռավորությունը կրճատելու մեկ այլ եղանակ [220,222,223]: Դրա համար անհրաժեշտ է բյուրեղից դուրս եկած փունջը ենթարկել ևս մեկ բրեգյան անդրադարձման $b > 1$ անհամաչափության գործակցով մեկ այլ բյուրեղով: Այդ դեպքում, ինչպես ցույց է տրվել §1.4.2-ում, կիզակետային հեռավորությունը՝ $F_{x2}/b^2 = 27$ սմ, երբ $b = 3$: Եթե $R_{y2} = 100$ մկմ, ապա սագիտալ կիզակետումն իրականանում է 3,7 մ հեռավորությունում, կիզակետի չափը 1մկմ է: Եթե կիզակետող տիրույթի չափը համարենք 100 մկմ, կիզակետում ուժգնության աճը հավասար է 20: Սագիտալ կիզակետային հեռավորությունը մետրի կարգի դարձնելու համար (y, z) հարթության մեջ նույնպես կարելի է կիրառել $b > 1$ անհամաչափության գործակցով բրեգյան անդրադարձում:

Անհամաչափ անդրադարձման ազդեցությունը ոչ հարթ մակերևույթով բյուրեղով դիֆրակցիայի հարթության մեջ կիզակետման վրա առանձին ուսումնասիրությունն է պահանջում: Ոչ հարթ մակերևույթով բյուրեղով սագիտալ կիզակետման վրա անհամաչափության ազդեցությունն ուսումնասիրված է [112]-ում:

Այժմ դիտարկենք մուտքի ոչ հարթ և ելքի հարթ մակերևույթներով բյուրեղ ($|R_{x2}|, |R_{y2}| \rightarrow \infty$): Այս դեպքում (2.53)-ից

գտնում ենք

$$L_{h\bar{x}} = \Gamma(T - z_{\bar{x}1}), \quad L_{h\bar{y}} = -\frac{T - z_{\bar{y}1}}{\cos\theta} : \quad (2.60)$$

Հարկ է նշել, որ երկրորդ հավասարումը կարելի է ներկայացնել նաև $z_{\bar{y}2} = z_{\bar{y}1}$ տեսքով: (2.60)-ից հետևում է, որ հորիզոնական հարթության մեջ կիզակետում հնարավոր է u' դրական, u' բացասական $z_{\bar{x}1}$ -ի համար, ընդ որում, բացասական $z_{\bar{x}1}$ -ի համար հորիզոնական կիզակետում հնարավոր է բոլոր L_s հեռավորությունների և T հաստությունների դեպքում, երբ կարելի է (x, z) հարթությունում վերցնել $u' R_{x1} < 0$ (գոգավոր մակերևույթ) և $R_{x1} > 0$ (ուռուցիկ մակերևույթ): (2.60)-ից հետևում է, որ ավելի փոքր կիզակետային հեռավորությունն ստացվում է $R_{x1} > 0$ դեպքում: Եթե $R_{x1} = 2$ մմ, դիտարկված օրինակում անդրադարձման պայմաններում տեղադրելով $T = 50$ մկմ, ստանում ենք՝ $L_{h\bar{x}} = 1,3$ մ:

$R_{x1} > 0$ դեպքում (2.52) էյկոնալի արտահայտությունից հետևում է կլանող բյուրեղով հորիզոնական կիզակետման կիզակետի չափը՝

$$\Delta \xi_f \sim 2 \sqrt{\frac{\Gamma}{k} \left[T \frac{\chi_{hi}}{|\chi_{hr}|} - \frac{R_{x1} \cos^2 \theta |\chi_{hr}| (\chi_{0i} - \chi_{hi})}{(|\chi_{0r}| - |\chi_{hr}|)^2} \right]} : \quad (2.61)$$

Դիտարկվող օրինակում $\Delta \xi_f \sim 5$ մկմ, իսկ կիզակետում ուժգնության աճը՝ ~ 20 :

§2.4 Ոչ հարթ մուտքի մակերևույթով բյուրեղով ռենտգենյան փնջի կիզակետման էյկոնալի տեսությունը Բրեգի համաչափ դեպքում

Բրեգյան երկրաչափության դեպքում ռենտգենյան փնջի սագիտալ կիզակետումը ոչ հարթ մակերևույթով բյուրեղով ուսումնասիրվել է [106,107,111] իսկ հորիզոնական կիզակետումը՝ [108,110] աշխատանքներում: Կիրառվել է ստանդարտ հարթալիքային դինամիկական տեսությունը, և ստացվել կիզակետային հեռավորության արտահայտություններ: Այլ կարևոր պարամետրերի որոշման համար, ինչպիսիք են կիզակետի չափերը, ուժգնության աճը կիզակետում և ուժգնության բաշխումը կիզակետի շուրջը, պահանջվում է կիրառել անհամասեռ փնջերի դինամիկական տեսությունն ընկնող ալիքի ճակատի երկչափ կորության

հաշվառմամբ: Այս խնդրում չի կարելի դիֆրակցիայի հարթությանն ուղղահայաց կոորդինատը դիտել որպես պարամետր:

Առաջին գլխում ուսումնասիրված դինամիկական դիֆրակտային հավասարումները, որոնք նկարագրում են դինամիկական դիֆրակցիան նաև դիֆրակցիայի հարթությանն ուղղահայաց ուղղությամբ, բավականաչափ բարդ են: Կիզակետման հիմնական նպատակը կետային աղբյուրի պատկերի ձևավորումն է (վերջավոր չափերի առարկան կարելի է բաժանել առանձին լուսարձակող կետերի): Քանի որ կետային աղբյուրն առաքում է գնդային ալիք, որը կիզակետող համակարգի վրա ընկնելիս ձևավորում է երկրորդային գնդային ալիքներ, ապա խնդիրը նպատակահարմար է ապես հեշտել լուծել էյկոնալային մոտավորությամբ:

Ստորև, §2.2-ում զարգացված էյկոնալի տեսությամբ ուսումնասիրվել է ռենտգենյան փնջի կիզակետումը ոչ հարթ մակերևույթով բյուրեղով բրեգյան երկրաչափության դեպքում: Նախապես քննարկենք §2.2-ում տրված էյկոնալի տեսության հիմնական բանաձևերը՝ ձևափոխված Բրեգի երկրաչափության համար:

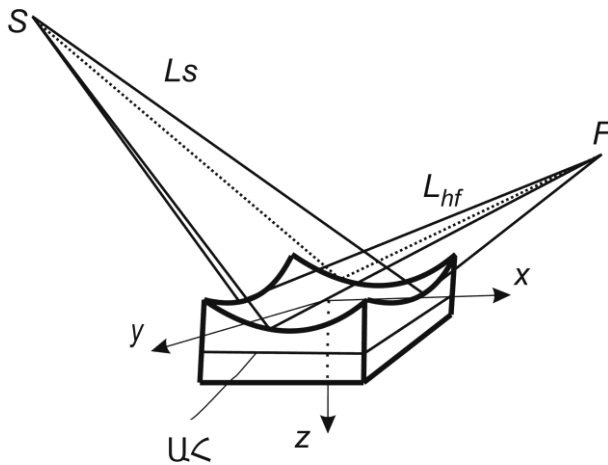
§2.4. 1. *Էյկոնալը և հետազդերը Բրեգի երկրաչափության դեպքում*

Բրեգի երկրաչափության դեպքում Oz առանցքն ընտրենք ուղղահայաց բյուրեղի մուտքի մակերևույթին և ուղղված դեպի բյուրեղի խորքը, իսկ Ox առանցքն ուղղենք բյուրեղի մակերևույթով՝ դիֆրակցիայի հարթության մեջ (նկ.2.2): Այս կոորդինատների և անցած ու դիֆրակտված ալիքների ուղղությունների կոորդինատների միջև կապերը տրվում են հետևյալ

$$s_0 = \frac{1}{2} \left(\frac{x}{\cos\theta} + \frac{z}{\sin\theta} \right), \tag{2.62}$$

$$s_h = \frac{1}{2} \left(\frac{x}{\cos\theta} - \frac{z}{\sin\theta} \right)$$

առնչություններով: Նկ.2.2-ում պատկերված է բրեգյան երկրաչափությամբ և պարաբոլա-կան մուտքի մակերևույթով կատարյալ բյուրեղ: Անդրադարձնող հարթությունները հարթ են և գուգահեռ մուտքի մակերևույթին (համաչափ դեպք), ցույց են տրված նաև ընկած և անդրադարձած ճառագայթները:



Նկ.2.2. Պարաբոլական մուտքի մակերևույթով բյուրեղով ռենտգենյան ճառագայթների կիզակետման սխեման Բրեգի երկրաչափության դեպքում. S ` ռենտգենյան ճառագայթների աղբյուր, F ` կետային կիզակետ, ԱՀ` անդրադարձնող հարթությու ններ, L_s ` «աղբյուր-բյուրեղ» հեռավորությունը, L_{hf} ` «բյուրեղ-կիզակետ» հեռավորությունը:

Բյուրեղում էյկոնալի (2.26) հավասարումը նոր փոփոխականներով ներկայացնենք

$$\left(\Phi_y^2 + 2k \cos\theta \Phi_x\right)^2 - 4k^2 \Phi_z^2 \sin^2 \theta - k^4 \chi_h \chi_h^- = 0, \quad (2.63)$$

տեսքով, որտեղ էյկոնալի ցուցիչները նշանակում են մասնակի ածանցումը ստ համապատասխան փոփոխականի: (2.25) և (1.1) բանաձևերից անդրադարձած և անցած պիքների դանդաղ փոփոխվող լայնության միջև գրոյական մոտավորությամբ կստանանք հետևյալ առնչությունը`

$$E_h = \frac{2E_0}{k\chi_h^-} \left(\frac{1}{2k} \Phi_y^2 + \cos\theta \Phi_x + \sin\theta \Phi_z \right): \quad (2.64)$$

Բրեգի երկրաչափության դեպքում էյկոնալի (2.33) հավասարումը վակուումում նույնպես կարելի է ներկայացնել

$$\frac{1}{\sin^2 \theta} \Phi_x^{(e)2} + \Phi_y^{(e)2} + 2k \left(\cos\theta \Phi_x^{(e)} - \sin\theta \Phi_z^{(e)} \right) = 0 \quad (2.65)$$

տեսքով, որտեղ վակուումային էյկոնալը նշված է “e” ցուցիչով: էյկոնալի (2.63) և (2.65) հավասարումների լրիվ ինտեգրալները կարելի է գտնել փոփոխականների բաժանման եղանակով (տես (2.27) բանաձև): Բյուրեղում լրիվ ինտեգրալի համար կատրկուլում ծում`

$$\Phi^{(\pm)} = \pm z \sqrt{\frac{A_1^{(\pm)2} \cos^2 \theta - \sigma^2}{\sin \theta}} + A_2^{(\pm)} y + A_1^{(\pm)} x - A_2^{(\pm)2} \frac{x}{2k \cos \theta} + A_3^{(\pm)}, \quad (2.66)$$

իսկ վակուումային լրիվ ինտեգրալի համար ստանում ենք՝

$$\Phi^{(e)} = C_1(x + z \cot \theta) + C_2 y + C_1^2 \frac{z}{2k \sin^3 \theta} + C_2^2 \frac{z}{2k \sin \theta} + C_3, \quad (2.67)$$

որտեղ $\sigma = k\sqrt{\chi_h \chi_{\bar{h}}} / 2$, իսկ $A_i, C_i (i=1,2,3)$ գործակիցները կամայական հաստատուններ են:

Դիտարկենք սահմանային պայմանները Բրեգի երկրաչափական դեպքում: Ընկնող ալիքը կարելի է ներկայացնել $E_0^{(i)} \exp[i(\Phi^{(i)} + \mathbf{K}_0^{(i)} \mathbf{r})]$ տեսքով, որտեղ $E_0^{(i)}$ -ն դանդաղ փոփոխվող լայնույթն է, $\Phi^{(i)}$ -ն՝ ալիքի էյկոնալը, $\mathbf{K}_0^{(i)}$ -ն՝ ալիքային վեկտորը, \mathbf{r} -ը՝ դիտման կետի շառավիղ վեկտորը: Բրեգի դեպքում բյուրեղի մուտքի մակերևույթին տեղի ունեն

$$E_0^{(i)} \exp[i(\Phi^{(i)} + \mathbf{K}_0^{(i)} \mathbf{r}_0)] = [E_{01} \exp(i\Phi^{(1)}) + E_{02} \exp(i\Phi^{(2)})] \exp\left[i\left(\mathbf{K}_0 \mathbf{r}_0 + k \frac{\chi_0 \chi_0}{2 \cos \theta}\right)\right] \quad (2.68)$$

սահմանային պայմանները, որտեղ \mathbf{r}_0 -ն մուտքի մակերևույթի կամայական կետի շառավիղ վեկտորն է: $\Phi^{(1)}$ -ն ու $\Phi^{(2)}$ -ը և E_{01} -ը և E_{02} -ը (2.63) էյկոնալի հավասարման երկու լուծումներին համապատասխանող էյկոնալները և լայնույթներն են: E_{01} -ը և E_{02} -ն ավելի դանդաղ են փոփոխվում, քան էքսպոնենտները, ուստի [48]

$$E_0^{(i)} = E_{01} + E_{02}, \quad (2.69)$$

$$\Phi^{(i)} + (\mathbf{K}_0^{(i)} - \mathbf{K}_0) \mathbf{r}_0 = \Phi^{(1)} + k \frac{\chi_0 \chi_0}{2 \cos \theta} = \Phi^{(2)} + k \frac{\chi_0 \chi_0}{2 \cos \theta}: \quad (2.70)$$

Դիֆրակտված դաշտը մուտքի մակերևույթի վրա բավարարում է

$$E_{h1} + E_{h2} = E_n^{(e)}, \quad (2.71)$$

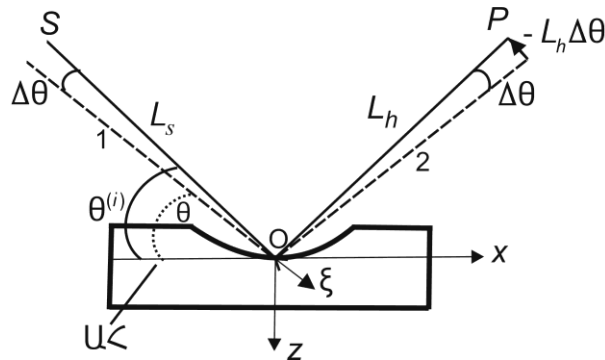
$$\Phi^{(i)} + (\mathbf{K}_0^{(i)} - \mathbf{K}_0) \mathbf{r}_0 = \Phi^{(1)} + k \frac{\chi_0 \chi_0}{2 \cos \theta} = \Phi^{(2)} + k \frac{\chi_0 \chi_0}{2 \cos \theta} = \Phi^{(e)}$$

սահմանային պայմաններին:

§2.4.2. Էյկոնալի հավասարման լուծումը և լայնույթները բյուրեղում

Բյուրեղի մուտքի մակերևույթն ունի պարաբոլոիդի տեսք՝ գագաթում $R_{x,y}$ կորույթյան շառավիղներով և տրվում է հետևյալ հավասարումով (նկ.2.2)՝

$$z_0 = \frac{x_0^2}{2R_x} + \frac{y_0^2}{2R_y} \quad (2.72)$$



Նկ.2.3. Անդրադարձման սխեման (x, z) հարթության մեջ. SO ՝ կենտրոնական ընկնող ճառագայթ, OP ՝ կենտրոնական անդրադարձած ճառագայթ, $\theta^{(i)}$ ՝ SO ճառագայթի և անդրադարձնող ԱՅ հարթությունների կազմած սահքի անկյունը. OP անդրադարձած ճառագայթի և անդրադարձնող հարթությունների միջև սահքի անկյունը նույնպես $\theta^{(i)}$ է, 1 և 2՝ ընկնող և անդրադարձած փնջի Բրեգի ճշգրիտ ուղղություններին զուգահեռ գծեր, $\Delta\theta = \theta^{(i)} - \theta$, $O\xi$ ՝ 2 գծին ուղղահայաց ξ կոորդինատի առանցքը, $-L_h\Delta\theta$ -ն L_h հեռավորությամբ P կետի ξ կոորդինատն է:

Դիտարկենք ռեֆլեկտիվ ճառագայթների S կետային աղբյուր, որի հեռավորությունը պարաբոլարդի գագաթից (կոորդինատային համակարգի սկզբնակետ) L_s է (նկ.2.3): SO -ն պարաբոլարդի գագաթում ընկնող կենտրոնական ճառագայթն է: SO -ի և անդրադարձնող հարթությունների միջև սահքի անկյունը $\theta^{(i)}$ է, աղբյուրի շառավիղ-վեկտորը՝ \mathbf{r}_s ՝ $x_s = -L_s \cos\theta^{(i)}$, $y_s = 0$ և $z_s = -L_s \sin\theta^{(i)}$ կոորդինատներով: Կենտրոնական ընկնող ճառագայթի շեղումը Բրեգի ճշգրիտ անկյունից՝ $\Delta\theta = \theta^{(i)} - \theta$ (նկ.2.3): Կետային աղբյուրն առաքում է $\exp(ik|\mathbf{r}-\mathbf{r}_s|)/|\mathbf{r}-\mathbf{r}_s|$ գնդային ալիք, որտեղ \mathbf{r} -ը դիտման կետի շառավիղ-վեկտորն է: Չայտարարում մեծ ճշտությամբ կարելի է վերցնել $|\mathbf{r}-\mathbf{r}_s| \approx L_s$: Բյուրեղի մուտքի մակերևույթի կետերի համար $\mathbf{r} = \mathbf{r}_0$: Էքսպանսիոնի արգումենտը վերածենք Թեյլորի շարքի՝ պահելով քառակուսային անդամները ներառյալ՝

$$\begin{aligned}
k|\mathbf{r}_0 - \mathbf{r}_s| &= k\sqrt{(x_0 - x_s)^2 + (y_0 - y_s)^2 + (z_0 - z_s)^2} \approx \\
&\approx k\left(L_s + x_0 \cos\theta^i + z_0 \sin\theta^i + \frac{x_0^2 \sin^2\theta + y_0^2 + z_0^2 \cos^2\theta}{2L_s}\right) = \\
&= kL_s + \mathbf{K}_0^{(i)} \mathbf{r}_0 + \frac{k}{2L_s} (x_0^2 \sin^2\theta + y_0^2 + z_0^2 \cos^2\theta) :
\end{aligned} \tag{2.73}$$

(2.73)-ի համաձայն՝ $E_0^{(i)} = \exp(ikL_s) / L_s, \Phi^{(i)} = k(x_0^2 \sin^2\theta + y_0^2 + z_0^2 \cos^2\theta) / 2L_s$, կրող $\mathbf{K}_0^{(i)}$ ալիքային վեկտորն ունի $K_{0x}^{(i)} = k \cos\theta^{(i)}, K_{0y}^{(i)} = 0, K_{0z}^{(i)} = k \sin\theta^{(i)}$ բաղադրիչները, իսկ քառակուսային անդամներում $\theta^{(i)} \approx \theta$, քանի որ $\Delta\theta$ -ն մի քանի անկյունային վայրկյանի կարգի է: \mathbf{K}_0 -ն ունի $K_{0x} = k \cos\theta, K_{0y} = 0, K_{0z} = k \sin\theta$ բաղադրիչները: (2.72) և (2.73)-ի համաձայն՝

$$\Phi^{(i)} = k \frac{x_0^2 \sin^2\theta}{2L_s} \left[1 + \left(\frac{x_0}{2R_x \tan\theta} \right)^2 + \frac{y_0^2}{4R_x R_y \tan^2\theta} \right] + k \frac{y_0^2}{2L_s} \left[1 + \left(\frac{y_0 \cos\theta}{2R_y} \right)^2 + \frac{x_0^2 \cos^2\theta}{4R_x R_y \tan^2\theta} \right] : \tag{2.74}$$

Պարաբոլարդի գագաթին անմիջականորեն մոտ տիրույթում՝ $|x_0 / R_{x,y}| < 1, |y_0 / R_{x,y}| < 1$, ուստի բավականաչափ մեծ L_s -երի, մասնավորապես հարթ ալիքի դեպքում, (2.74)-ից հետևում է, որ

$$\Phi^{(i)} \approx \frac{k}{2L_s} x_0^2 \sin^2\theta + \frac{k}{2L_s} y_0^2, \tag{2.75}$$

ուստի (2.30) անընդհատությամբ անպայմաններն ընդունում են հետևյալ տեսքը.

$$\begin{aligned}
-\sigma_0 x_0 + k \cos\theta \Delta\theta z_0 + k \frac{x_0^2 \sin^2\theta}{2L_s} + k \frac{y_0^2}{2L_s} &= \\
= \pm \frac{z_0}{\sin\theta} \sqrt{A_1^{(\pm)2} \cos^2\theta - \sigma^2} + A_1^{(\pm)} x_0 - A_2^{(\pm)2} \frac{x_0}{2k \cos\theta} + A_2^{(\pm)} y_0 + A_3^{(\pm)}, & \\
Q_1 x_0 - \sigma_0 &= \pm \frac{x_0}{R_x \sin\theta} \sqrt{A_1^{(\pm)2} \cos^2\theta - \sigma^2} + A_1^{(\pm)} - \frac{A_2^{(\pm)2}}{2k \cos\theta}, & \\
Q_2 y_0 &= \pm \frac{y_0}{R_y \sin\theta} \sqrt{A_1^{(\pm)2} \cos^2\theta - \sigma^2} + A_2^{(\pm)}, &
\end{aligned} \tag{2.76}$$

որտեղ

$$\begin{aligned}\sigma_0 &= k \sin \theta \left(\Delta \theta + \frac{X_0}{\sin 2\theta} \right), \\ Q_1 &= k \sin \theta \left(\frac{\sin \theta}{L_s} + \frac{\Delta \theta}{R_x \operatorname{tg} \theta} \right), \\ Q_2 &= k \left(\frac{1}{L_s} + \frac{\cos \theta \Delta \theta}{R_y} \right): \end{aligned} \quad (2.77)$$

(2.76)-ի երրորդ հավասարման մեջ A_2 -ը գծայնորեն է կախված Y_0 -ից, հետևաբար՝ (2.76)-ի մյուս հավասարումներում $A_2^2 \sim Y^2$ անդամները կարելի է անտեսել: Այս պարզեցումից հետո (2.76)-ից ստանում ենք հետևյալ լուծումները՝

$$\begin{aligned} A_1^{(\pm)} &= \frac{Q_1 X_0 - \sigma_0 \mp \frac{X_0}{R_x \operatorname{tg} \theta} \sqrt{(Q_1 X_0 - \sigma_0)^2 \cos^2 \theta - \sigma^2} \left(1 - \frac{X_0^2}{R_x^2 \operatorname{tg}^2 \theta} \right)}{\cos \theta \left(1 - \frac{X_0^2}{R_x^2 \operatorname{tg}^2 \theta} \right)}, \\ A_2^{(\pm)} &= -Q_{\pm}^{(Y)} Y_0, \quad A_3^{(\pm)} = \frac{Q_{\pm}^{(X)} X_0^2}{2} + \frac{Q_{\pm}^{(Y)} Y_0^2}{2}, \end{aligned} \quad (2.78)$$

որտեղ

$$\begin{aligned} Q_{\pm}^{(X)} &= \left(\pm \frac{\sqrt{A_1^{(\pm)2} \cos^2 \theta - \sigma^2}}{R_x \sin \theta} - Q_1 \right), \\ Q_{\pm}^{(Y)} &= \left(\pm \frac{\sqrt{A_1^{(\pm)2} \cos^2 \theta - \sigma^2}}{R_x \sin \theta} - Q_2 \right): \end{aligned} \quad (2.79)$$

(2.78) և (2.66) բանաձևերից որոշվում է ընդհանուր ինտեգրալը, իսկ հետագծերն ստացվում են (2.31) համակարգից ($t_1 = x_0, t_2 = y_0$).

$$\begin{aligned} \pm \frac{A_1^{(\pm)} \cos^2 \theta A_{1X_0}^{(\pm)}}{\sin \theta \sqrt{A_1^{(\pm)2} \cos^2 \theta - \sigma^2}} \left[z - \frac{X_0}{R_x} \left(x - \frac{X_0}{2} \right) - \frac{Y_0}{R_y} \left(y - \frac{Y_0}{2} \right) \right] + Q_{\pm}^{(X)} (x_0 - x) = 0, \\ Q_{\pm}^{(Y)} (Y_0 - y) = 0: \end{aligned} \quad (2.80)$$

(2.80)-ի երկրորդ հավասարումից հետևում է, որ $y_0 = y$: Բյուրեղի մուտքի մակերևույթի մոտ՝ $z \approx x^2 / (2R_x) + y^2 / (2R_y) = z_0(x, y)$, (2.80)-ի առաջին հավասարումից ստացվում է $x_0 \approx x$: Տեղադրելով ստացված x_0 -ն և y_0 -ն $\Phi^{(\pm)}(x, y, z, A_1^{(\pm)}(x_0, y_0), A_2^{(\pm)}(x_0, y_0), A_3^{(\pm)}(x_0, y_0))$ ընդհանուր ինտեգրալի արտահայտության մեջ՝ ստանում ենք էյկոնալը մուտքի մակերևույթամերձ կետերում:

$$\Phi^{(1,2)} = \pm \frac{\sqrt{A_1^{(\pm)2} \cos^2 \theta - \sigma^2}}{\sin \theta} (z - z_0(x, y)) + \frac{Q_1 x^2}{2} + \frac{Q_2 y^2}{2} - \sigma_0 x, \quad (2.81)$$

որտեղ “1” ցուցիչը համապատասխանում է (2.80)-ի աջ մասում “+”, իսկ “2”-ը՝ “-” նշանին: Օգտագործելով (2.81)-ը և (2.64)-ը (անտեսելով Φ_y^2 -ն)՝ գտնում ենք դիֆրակտ-ված դաշտի լայնույթը մուտքի մակերևույթին:

$$E_{h(1,2)} = \frac{2E_0^{(1,2)}}{k\chi_r} (A_1^{(\pm)} \cos \theta \pm \sqrt{A_1^{(\pm)2} \cos^2 \theta - \sigma^2}): \quad (2.82)$$

(2.76)-ի երկրորդ և (2.78)-ի առաջին հավասարումներից՝

$$\begin{aligned} \pm \sqrt{A_1^{(\pm)2} \cos^2 \theta - \sigma^2} = \\ = \frac{-Q_1 x - \sigma_0) \cos \theta \frac{x}{R_x \tan \theta} \pm \sqrt{(Q_1 x - \sigma_0)^2 \cos^2 \theta - \sigma^2 \left(1 - \frac{x^2}{R_x^2 \tan^2 \theta}\right)}}{1 - \frac{x^2}{R_x^2 \tan^2 \theta}}: \end{aligned} \quad (2.83)$$

Ինչպես երևում է (2.83) և (2.81) բանաձևերից, այնտեղ, որտեղ (2.83)-ի աջ մասի արմատատակ արտահայտությունն ունի բացասական իրական մաս, պետք է վերցնել միայն արմատից առաջ “+” նշանով լուծումը: Չարթ մուտքի մակերևույթով բյուրեղի համար այս լուծումը համապատասխանում է լրիվ անդրադարձման տիրույթին: Ստորև այս տիրույթը կանվանենք “անդրադարձման” տիրույթ, որտեղ, (2.83)-ի համաձայն՝

$$(Q_1 x - \sigma_{0r})^2 \cos^2 \theta < \sigma_r^2 \left(1 - \frac{x^2}{R_x^2 \tan^2 \theta}\right), \quad (2.84)$$

իսկ σ_{0r} -ը և σ_r -ը մեծությունների իրական մասերն են: Նկատի ունենալով σ_0 -ի սահմանումը (տես (2.77)), կարելի է վերցնել $\sigma_{0r} = 0$ և $\Delta \theta = |\chi_{0r}| / \sin 2\theta$: Չարթ մուտքի մակերևույթով բյուրեղի համար սահմանափակում է ընկնող կենտրոնական SO ճառագայթի անդրադարձման տիրույթի կենտրոնին (նկ.2.3): (2.84)-ից՝

$$|x| < \frac{\sigma_r}{\sqrt{Q_1^2 \cos^2 \theta + \frac{\sigma_r^2}{R_x^2 \tan^2 \theta}}} \equiv a_x: \quad (2.85)$$

Երբ $|R_x| \rightarrow \infty$ (հարթ մուտքի մակերևույթով բյուրեղ),

$$a_x \sin \theta = \frac{L_s |\chi_{hr}|}{\sin 2\theta}, \quad (2.86)$$

իսկ ընկնող հարթալիքի դեպքում՝ ($L_s \rightarrow \infty$)

$$a_x = |R_x| \operatorname{tg} \theta \frac{|\chi_{hr}|}{\sqrt{|\chi_{0r}|^2 + |\chi_{hr}|^2}}: \quad (2.87)$$

Առանց խախտելու ընդհանրությունը՝ դիտարկենք գոգավոր մակերևույթի դեպքը՝ $R_{xy} < 0$: Անդրադարձման $-a_x \leq x \leq a_x$ տիրույթում $\Phi = \Phi^{(1)}$, $E_{01} = E_0^{(1)}$, $E_{02} = 0$, E_{h1} -ը տրվում է (2.82)-ով և $E_{h2} = 0$: Եթե $a_x \leq x \leq |R_x| \operatorname{tg} \theta$ և $Q_1 < 0$ (մասնավորապես՝ ընկնող հարթալիքի դեպքում), ապա պետք է վերցնել այդ նույն լուծումը, քանի որ համապատասխան լայնույթի բացարձակ արժեքը նվազում է (տես ստորև (2.87)):
 $-|R_x| \operatorname{tg} \theta \leq x \leq -a_x$ տիրույթում $\Phi = \Phi^{(2)}$, $E_{02} = E_0^{(2)}$, $E_{01} = 0$, E_{h2} -ը տրվում է (2.82)-ով և $E_{h1} = 0$: Եթե $Q_1 > 0$, ապա անդրադարձման և $-|R_x| \operatorname{tg} \theta \leq x \leq -a_x$ տիրույթներում $\Phi = \Phi^{(1)}$, իսկ $a_x \leq x \leq |R_x| \operatorname{tg} \theta$ տիրույթում, $\Phi = \Phi^{(2)}$:
 $x = -|R_x| \operatorname{tg} \theta$ կետում ընկնող ալիքի կենտրոնական ճառագայթի տարածման ուղղությունը գրեթե զուգահեռ է մուտքի մակերևույթին, և պետք է հաշվի առնել մակերևույթից հայելային անդրադարձած ալիքները: Վերը ներկայացված տեսությունը այս կետում կիրառելի է: $x < -|R_x| \operatorname{tg} \theta$ տիրույթում իրականանում է խառը՝ Լաուե-Բրեգի դեպքը: $x = |R_x| \operatorname{tg} \theta$ կետում անդրադարձած ալիքի կենտրոնական ճառագայթի տարածման ուղղությունը համարյա զուգահեռ է մուտքի մակերևույթին, և վերը ներկայացված տեսությունն այս կետում նույնպես կիրառելի է: $x > |R_x| \operatorname{tg} \theta$ տիրույթում իրականանում է խառը Բրեգ-Լաուեի դեպքը:

Այսպիսով՝ $Q_1 < 0$ դեպքում և $-a_x \leq x < |R_x| \operatorname{tg} \theta$ տիրույթում

$$E_h = E_{h1} = \frac{2E_0^{(1)}}{k\chi_h \left(1 + \frac{x}{R_x \operatorname{tg} \theta}\right)} \left[Q_1 x - \sigma_0 \right) \cos \theta + \sqrt{Q_1 x - \sigma_0)^2 \cos^2 \theta - \sigma^2 \left(1 - \frac{x^2}{R_x^2 \operatorname{tg}^2 \theta}\right)} \right], \quad (2.88)$$

իսկ $-|R_x| \operatorname{tg} \theta < x \leq -a_x$ տիրույթում

$$E_h = E_{h2} = \frac{2E_0^{(i)}}{k\chi_h \left(1 + \frac{x}{R_x \tan\theta}\right)} \left[(Q_1 x - \sigma_0) \cos\theta - \sqrt{(Q_1 x - \sigma_0)^2 \cos^2\theta - \sigma^2 \left(1 - \frac{x^2}{R_x^2 \tan^2\theta}\right)} \right]; \quad (2.89)$$

Եթե $Q_1 > 0$, (2.88)-ում պետք է վերցնել $E_h = E_{h2}$, իսկ (2.89)-ում՝ $E_h = E_{h1}$:
Կարելի է հաշվել համապատասխան անդրադարձման գործակիցը՝

$$R(x) = \left| \frac{E_h(x)}{E_0^{(i)}} \right|^2 \frac{\sin\theta + \alpha(x)}{\sin\theta - \alpha(x)}, \quad (2.90)$$

որտեղ $\tan\alpha(x) = x/R_x$:

§2.4.3 Կիզակետումը վակուումում և կիզակետային հեռավորությանը

(2.81)-ի համաձայն, բյուրեղի մուտքի մակերևույթին ($z = z_0(x, y)$)

$$\Phi^{(i,2)} = \frac{Q_1 x^2}{2} + \frac{Q_2 y^2}{2} - \sigma_0 x, \quad (2.91)$$

իսկ (2.71)-ի համաձայն՝ բյուրեղի մուտքի մակերևույթին

$$\Phi^e(x, y) \equiv \Phi^e(x, y, z = z_0(x, y)) = \frac{Q_1 x^2}{2} + \frac{Q_2 y^2}{2} - kx \sin\theta \Delta\theta: \quad (2.92)$$

Օգտագործելով Յուլյգենս-Ֆրենելի սկզբունքը կորմակերևույթի համար [220]՝ վակուում-մում, անդրադարձած դաշտի \tilde{E}_h^e լայնությանը դիտման (x, y, z) կետում կարելի է ներկայացնել հետևյալ մոտավոր բանաձևով՝

$$\tilde{E}_h^e = -\frac{ik \sin\theta}{2\pi L_h} \int_{-a_x}^{a_x} dx' \int_{-|R_y|}^{|R_y|} dy' E_{h1}(x') \exp \left\{ i \left[k \frac{(\xi - \xi')^2 + (y - y')^2}{2L_h} + \Phi^e(x', y') \right] \right\}, \quad (2.93)$$

որտեղ $L_h = -z / \sin\theta > 0$ պարամետրը «բյուրեղ-դիտման կետ» հեռավորությանն է անդրադարձած փնջի կետտրոնական ճառագայթի ուղղությանը, x' -ը և y' -ը մուտքի մակերևույթի կամայական կետի կոորդինատներն են, $\xi' = x' \sin\theta + z_0(x', y') \cos\theta$, դիֆրակցիայի հարթության մեջ ըստ անդրադարձած փնջի լայնքի կոորդինատը՝ $\xi = x \sin\theta + z \cos\theta$ (սկ.2.3),: $\xi = 0$ գիծը գուգահեռ է անդրադարձած փնջի ճշգրիտ Բրեգի ուղղությանը, $\xi = -L_h \Delta\theta$ գիծն անդրադարձած փնջի կետտրոնական ճառագայթն է (սկ.2.3): Ենթափնտեզրալ արտահայտության փոփոխում $k\xi'^2 / 2L_h$ անդամը քառակուսային

անդամների ճշտությամբ կարելի է փոխարինել $kx'^2 \sin^2 \theta / 2L_h$ -ով,
 $\xi = -L_h \Delta \theta$, ուստի միավորելով $-k\xi z_0(x', y') \cos \theta / L_h$ և $Q_1 x'^2 / 2 + Q_2 y'^2 / 2$
 անդամները, (2.93)-ը կարելի է ներկայացնել

$$\tilde{E}_h^e = -\frac{ik \sin \theta}{2\pi L_h} \int_{-a_x}^{a_x} dx' \int_{-|R_y|}^{|R_y|} dy' E_{h1}(x') \exp [i\Omega(\xi, \xi'', y, y')] \quad (2.94)$$

տեսքով որտեղ $\xi'' = x' \sin \theta$,

$$\begin{aligned} \Omega(\xi, \xi'', y, y') &= k \frac{(\xi - \xi'')^2}{2L_h} + k \frac{(y - y')^2}{2L_h} + \Phi_0^{(e)}(\xi'', y'), \\ \Phi_0^{(e)}(\xi'', y') &= kA \frac{\xi''^2}{2 \sin \theta} + kB \frac{y'^2}{2} - k\xi'' \Delta \theta, \\ A &= \frac{\sin \theta}{L_s} + \frac{2 \operatorname{ctg} \theta \Delta \theta}{R_x}, \quad B = \frac{1}{L_s} + \frac{2 \cos \theta \Delta \theta}{R_y} : \end{aligned} \quad (2.95)$$

Ստացիոնար փուլի եղանակի [48] համաձայն՝ հետագծերն ստացվում են ենթափնտե-գրալ արտահայտության փուլն ըստ ինտեգրման փոփոխականների ածանցելով և գրո-յի հավասարեցնելով.

$$\begin{aligned} \xi'' \left(\frac{\sin \theta}{L_h} + A \right) - \left(\frac{\xi}{L_h} + \Delta \theta \right) \sin \theta &= 0, \\ y' \left(\frac{1}{L_h} + B \right) - \frac{y}{L_h} &= 0 : \end{aligned} \quad (2.96)$$

Ինչպես երևում է (2.96)-ից, հետագծերն ուղիղ գծեր են, որոնք (ξ, L_h) հարթության մեջ հատվում են (ξ_f, L_{hfx}) կետում (հորիզոնական կիզկետում), իսկ (y, L_h) հարթության մեջ՝ (y_f, L_{hy}) կետում (սափիտալ կիզակետում): Կիզակետերի կոորդինատները բավարարում են

$$\frac{1}{L_s} + \frac{1}{L_{hfx}} = \frac{1}{F_x}, \quad \xi_f = -L_{hfx} \Delta \theta, \quad (2.97)$$

և

$$\frac{1}{L_s} + \frac{1}{L_{hy}} = \frac{1}{F_y}, \quad y_f = 0 : \quad (2.98)$$

առնչություններին, որոնցում առկա կիզակետային հեռավորությունները տրվում են

$$F_x = -\frac{R_x \sin \theta}{2 \operatorname{ctg} \theta \Delta \theta}, \quad F_y = -\frac{R_y}{2 \cos \theta \Delta \theta} \quad (2.99)$$

բանաձևերով: Քանի որ պարաբոլարդի գագաթում անդրադարձման

տիրույթում $\Delta\theta > 0$ (SO կենտրոնական ճառագայթի համար՝ նկ.2.3), ապա երկու ուղղությամբ կիզակետման համար անհրաժեշտ է, որ $R_{xy} < 0$, այսինքն՝ պարաբոլոիդը պետք է ունենա գոգավոր տեսք: Յարթ մակերևույթով բյուրեղի դեպքում անդրադարձման տիրույթի կենտրոնում $\Delta\theta = |\chi_{0r}| / \sin 2\theta$ (տես (2.84)) [8,9], ուստի

$$F'_x = -\frac{R_x \sin^3 \theta}{|\chi_{0r}|}, \quad F'_y = -\frac{R_y \sin \theta}{|\chi_{0r}|} : \quad (2.100)$$

Այս արդյունքը համընկնում է ստանդարտ հարթալիքային դիսմիկական տեսությամբ ստացված արդյունքի հետ [107,110]: (2.99)-ից հետևում է, որ կետային կիզակետման համար անհրաժեշտ է, որպեսզի

$$R_y = R_x \sin^2 \theta : \quad (2.101)$$

Ուսումնասիրենք կիզակետի չափերը և ուժգնության բաշխումը կետային կիզակետման դեպքում: (2.94)-ից. $L_{hf} = L_{hx} = L_{hy}$ դեպքում ուժգնության արտահայտությունը՝

$$I_h^{(e)} = |\tilde{E}_h^{(e)}|^2 = \left(\frac{S}{\lambda L_{hf}} \frac{\sin P_\xi}{P_\xi} \frac{\sin P_y}{P_y} \right)^2 |\bar{E}_{h1}|^2, \quad (2.102)$$

որտեղ $S = 4a_x |R_x| \sin^3 \theta$ -ն անդրադարձած փնջին ուղղահայաց ինտեգրման տիրույթի մակերեսն է, $P_\xi = ka_x \sin \theta (\Delta\theta + \xi/L_{hf})$, $P_y = k|R_y|y/L_{hf}$, \bar{E}_{h1} -ն անդրադարձման տիրույթում անդրադարձած փնջի լայնության միջին արժեքն է բյուրեղի մուտքի մակերևույթին, և $|\bar{E}_{h1}|^2 \approx 1$: (2.102)-ով կարելի է գնահատել ուժգնության առավելագույն արժեքը կիզակետում.

$$I_{\max} = \left(\frac{S}{\lambda L_{hf}} \right)^2 |\bar{E}_{h1}|^2 : \quad (2.103)$$

Օգտվելով (2.102)-ից՝ կարելի է գնահատել O_ξ և O_y ուղղություններով կիզակետի $\Delta\xi_f$ և Δy_f չափերը: Մասնավորապես ընկնող հարթալիքի դեպքում

$$\Delta\xi_f = \frac{\lambda F}{a_x \sin \theta} = \frac{2\lambda}{\Delta\varphi_x} \quad (2.104)$$

և

$$\Delta y_f = \frac{\lambda F}{|R_y|} = \frac{2\lambda}{\Delta \phi_y}, \quad (2.105)$$

որտեղ $F_x = F_y \equiv F$ -ն ընդհանուր կիզակետային հեռավորությունն է, երբ բավարարվում է (2.100) առնչությունը (կետային կիզակետում),

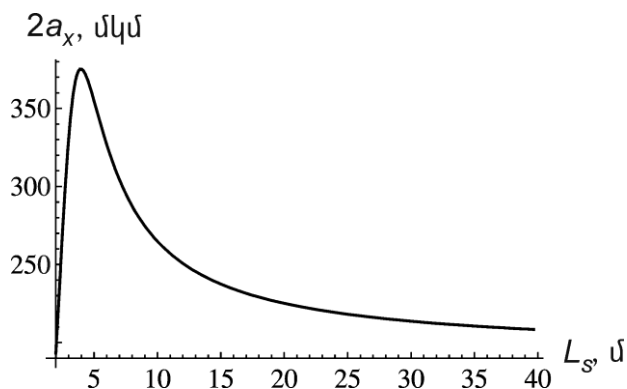
$$\Delta \phi_x = 2a_x \sin \theta / F \approx \sqrt{2} 2|x_{hr}| / \sin 2\theta \quad (\text{ենթադրելով } |x_{0r}| \approx |x_{hr}|) \quad \text{և}$$

$$\Delta \phi_y = 2|R_y| / F \approx 2 \cos \theta 2|x_{hr}| / \sin 2\theta \quad \text{անկյունները } (x, z) \quad \text{և } (y, z)$$

հարթություններում պարաբոլարդի անդրադարձնող տիրույթի դիտակետային անկյուններն են, որոնք մոտավորապես համեմատական են հարթ մուտքի մակե-րևույթով բյուրեղի դինամիկական դիֆրակտային անդրադարձման կորի լայնությանը: (2.102) և (2.103) բանաձևերից հետևում է կոր հայելու բանաձևը [224], եթե $\Delta \phi_x$ և $\Delta \phi_y$ անկյունները փոխարինենք լրիվ հայելային անդրադարձման տիրույթի անկյունային $\sqrt{|x_{0r}|/2}$ չափերով, որը մի քանի կարգով գերազանցում է դինամիկական դիֆրակտային անդրադարձման տիրույթի անկյունային չափերը: Այսպիսով՝ կոր հայելու դեպքում կիզակետի չափերը փոքր են:

Բայց հայելիներն օգտագործվում են փափուկ ռենտգենյան ճառագայթման կիզակետման համար, որը կարող է ունենալ նկատելիորեն մեծ ալիքի երկարություն:

Որպես օրինակ դիտարկենք Si(20) անդրադարձումը, $\lambda = 0,71 \text{ \AA}$, ընկնող հարթ ալիք, σ -բևեռացում, $|R_x| = 1 \text{ մմ}$, $|R_y| = |R_x| \sin^2 \theta = 34 \text{ մկմ}$ (կետային կիզակետում), $\Delta \theta = |x_{0r}| / \sin 2\theta$. (2.98)-ի համաձայն՝ $F_x = F_y = 1,98 \text{ մ}$: Նկ.2.4-ում պատկերված է անդրադարձման տիրույթի $2a_x(L_s)$ մեծության գրաֆիկը (տես բանաձև (2.85)):

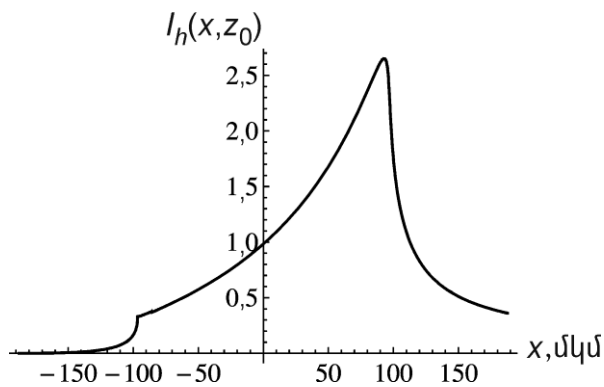


Նկ.2.4. Անդրադարձման տիրույթի մեծության կախումը L_s -ից:

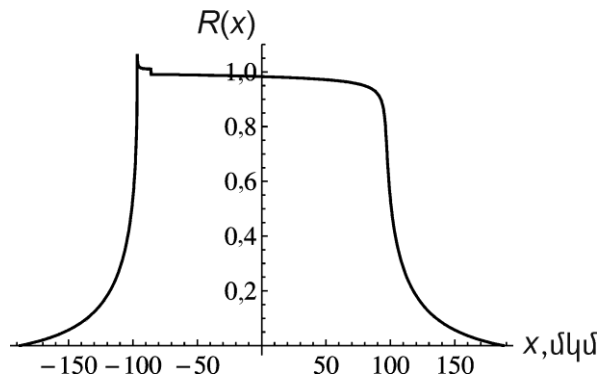
Անդրադարձման տիրույթն առավելագույն է՝
 $2a_x (QF_x) = 2|R_x| \operatorname{tg} \theta = 375$ մկմ, երբ $L_s = 2F$: (2.85)-ի համաձայն՝

$2a_x (L_s \rightarrow \infty) = 2a_x (F) = 193$ մկմ: Ուժգնության՝ $I_h(x) = |E_h(x)|^2 / |E_0^{(h)}|^2$ բաշխումը մուտքի մակերևույթին, $-|R_x| \operatorname{tg} \theta < x < |R_x| \operatorname{tg} \theta$ տիրույթում, պատկերված է

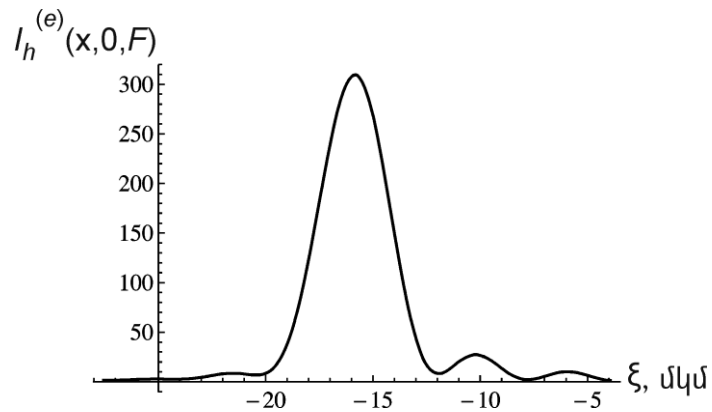
Նկ.2.5-ում: Անդրադարձման տիրույթում $-96,7 \leq x \leq 96,7$ (մկմ) ուժգնությունն աճում է և ունի առավելագույն արժեք $x = a_x = 96,7$ մկմ կետում: Ուժգնության վարքն էապես տարբերվում է հարթ մուտքի մակերևույթով բյուրեղի դեպքում ուժգնության վարքից: Չնայած դրան, անդրադարձման $R(x)$ գործակիցը (տես (2.90)) դրսևորում է նույն վարքը, (նկ.2.6) ինչ որ մուտքի հարթ մակերևույթով բյուրեղի դեպքում, և տարբերվում է ուժգնության վարքից: Ուժգնության և անդրադարձման գործակցի վարքերի տարբերությունն այս դեպքում պայմանավորված է պարաբոլոիդի գագաթի երկու կողմերում երկրաչափորեն անհամաչափ անդրադարձումներով, մինչդեռ կոր հայելու դեպքում անդրադարձումը երկրաչափորեն համաչափ է անդրադարձման ողջ տիրույթում: Կոր հայելու համար անդրադարձման գործակիցը և ուժգնությունն ունեն նույն վարքը: Անդրադարձման գործակցի վարքը ցույց է տալիս, որ անդրադարձած հոսքն ավելի փոքր է, քան ընկնող ալիքինը՝ հաշվի առնելով կլանումը, մինչդեռ ուժգնությունը կարող է գերազանցել ընկնող ալիքի ուժգնությունը (նկ.2.5): Սակայն ինչպես դիտարկվող, այնպես էլ կոր հայելու դեպքում կլանումը հանգեցնում է անդրադարձման



Նկ.2.5. Անդրադարձած ալիքի ուժգնությունը մուտքի մակերևույթին

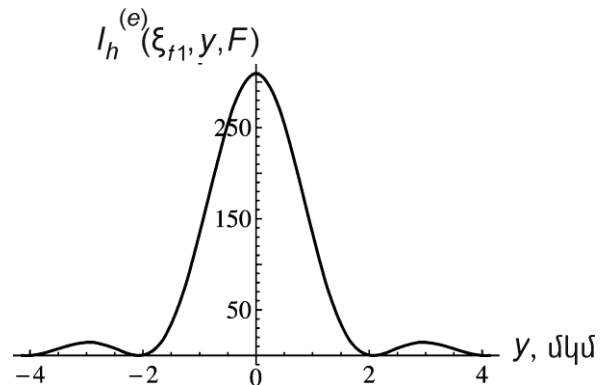


Նկ.2.6. Անդրադարձած ալիքի անդրադարձման գործակիցը



Նկ.2.7. Կիզակետային հարթության մեջ կիզակետի շուրջը
 ուժգնության բաշխման կախումը ξ -ից, $y = y_f = 0, L_h = F$

կորի անհամաչափության: Նկ.2.7-ում պատկերված է (2.94) բանաձևի հիման վրա թվային եղանակով հաշվարկված $I_h^{(e)}(\xi, 0, F)$ ուժգնության բաշխումը $y = 0$ հարթության մեջ: Ինչպես երևում է նկարից, ուժգնությունն ունի առավելագույն արժեք $\xi = \xi_{f1} = -15,8$ մկմ կետում, որը փոքր ինչ տարբերվում է (2.97)-ում որոշված $\xi_f = -17,3$ մկմ արժեքից: Այս տարբերությունը հետևանք է մուտքի մակերևույթին ալիքի փուլի առկայության:



Նկ.2.8. Կիզակետային հարթության մեջ ($\xi = \xi_{f1}, L_h = F$) անդրադարձած
 ալիքի ուժգնության բաշխման կախումը y -ից

$\xi < \xi_{f1}$ տիրույթում ուժգնությունը փոքր է, քան $\xi > \xi_{f1}$ տիրույթում: Սա համընկ-նում է մուտքի մակերևույթին ուժգնության վարքի հետ (նկ.2.5): Նկ.2.8-ում պատկերված է F հեռավորության համար թվային հաշվարկով ստացված $I_r^{(e)}(\xi_{f1}, Y, F)$ ուժգնության կախումն y -ից $\xi = \xi_{f1}$ կիզակետային հարթության մեջ պատկերված է: Նկ.2.7 և նկ.2.8-ի համեմատությունից ակնհայտ է, որ ուժգնության վարքը կիզակետի շուրջը համընկնում է տեսական կանխատեսման՝ (2.102) բանաձևի հետ: Այդ նույն նկարներում կիզակետի չափերը նույնպես համընկնում են (2.104) և (2.105) բանաձևերով տրված տեսական գնահատումների հետ՝ $\Delta \xi_f \approx 8$ մկմ և $\Delta Y_f \approx 4$ մկմ: (2.103)-ի համաձայն, ուժգնության առավելագույն արժեքը՝ $I_{\max} \approx 10^3$, գերազանցում է թվային հաշվարկով ստացված $I_{\max} \approx 309$ արժեքը, սակայն նույն կարգի է (տես նկ.2.7 և նկ.2.8):

ԳԼՈՒԽ 3. ԵՐՐՈՐԴ ԿԱՐԳԻ ՈՋ ԳԾԱՅԻՆ ԴԻՆԱՄԻԿԱԿԱՆ ԴԻՖՐԱԿՑԻԱՅԻ ՏԵՍՈՒԹՅՈՒՆԸ

§3.1. Տակագիի երրորդ կարգի ոչ գծային հավասարումները

Մեծ ուժգնություն ունեցող սինքրոտրոնային աղբյուրների և ռենտգենյան ազատ էլեկտրոնային լազերների կիրառությունները հրատապ են դարձնում ռենտգենյան ոչ գծային դիֆրակցիայի և նյութի հետ ռենտգենյան ճառագայթման փոխազդեցության ոչ գծային երևույթների տեսական և փորձարարական հետազոտությունները: Ռենտգենյան գծային դինամիկական դիֆրակցիան նկարագրվում է Տակագիի հավասարումներով [30]: Սկսելով մեներանգ բաղադրիչի ալիքային հավասարումից և գծային բևեռացվելիությանն ավելացնելով ոչ գծային մաս՝ կարելի է ստանալ Տակագիի ոչ գծային հավասարումները: Կատարյալ բյուրեղում երկալիքային դիֆրակցիայի պայմաններում գրգռված երկրորդ հարմոնիկի գծային դինամիկական դիֆրակցիան առանց բախումների սառը ալազմայի մոդելի շրջանակներում ուսումնասիրվել է [122]-ում՝ առանց առաջացած երկու բրեգյան ալիքների՝ ընկնող ալիքի վրա հետադարձ ազդեցության հաշվառման: [123,124]-ում, ռենտգենյան սկզբնական ֆոտոնի պարամետրա-կան ներքև-փոխակերպման (down-conversion) պայմաններում, երբ այն տրոհվում է ավելի ցածր հաճախային ռենտգենյան և անդրամանուշակագույն ճառագայթման ֆո-տոնների, ուսումնասիրվել է հարթ ալիքի կինեմատիկական դիֆրակցիան երկրորդ կարգի ոչ գծայնությամբ բյուրեղում: [125]-ում, սառը ալազմայի մոդելի շրջանակներում ուսումնասիրվել է ուժգին ռենտգենյան փնջի ուղիղ անցումն երրորդ կարգի ոչ գծայնությամբ բյուրեղով: Ուսումնասիրվել են նաև ռենտգենյան այլ ոչ գծային երևույթներ՝ երկֆոտոնային կլանում, ճառագայթային վնասվածք և այլն [126–128]:

Ընկնող ալիքի փոքր ուժգնությամբ դաշտում նյութի էլեկտրոնները կատարում են ներդաշնակ տատանակներ, սակայն ուժգնության մեծացմանը զուգընթաց էլեկտրոնների տատանումներում ի հայտ է գալիս տատանումների ոչ գծայնությունը: Քանի դեռ ընկնող ալիքի ուժգնությունը փոքր է

կրիտիկականից, որի դեպքում ոչ գծային բևեռաց-վելիության ներդրումը ցրման մեջ հավասարվում է գծային բևեռացվելիության մասի ներդրմանը, կիրառելի է գրգռումների տեսությունը, օպտիկայում հայտնի ոչ գծային մոդելը [225] կարելի է օգտագործել նաև ռենտգենյան հաճախությունների տիրույթում: Պետք է նշել, որ ոչ գծային երևույթներ կարելի է դիտել նաև փոքր ուժգնության փնջերի դեպքում, եթե հաշվի առնվի ոչ գծային ազդեցության կուտակման երևույթը, երբ բյուրեղում պիքն անցնում է բավական մեծ ճանապարհ [226]: Ինչպես և գծային դեպքում, բյուրեղը մեծ ճշտությամբ կարելի է համարել իզոտրոպ միջավայր, որի ոչ գծային բևեռացվելիության արտահայտությունն ունի պարզ տեսք: Նշենք, որ օպտիկական մոդելի շրջանակներում կենտրոնահամաչափ բյուրեղներում, մասնավորապես իզոտրոպ միջավայրերում, երկրորդ կարգի ոչ գծային բևեռացվելիությունը բացակայում է (այս պնդումը ճիշտ է սառը պլազմայի մոդելում [122]): Ոչ կենտրոնահամաչափ բյուրեղներում երկրորդ հարմոնիկի գրգռումն էական է փուլային համաձայնեցման որոշակի պայմաններում: Եթե այդ պայմանները բավարարված չեն, որն էլ ենթադրվում է հետագայում, ապա երկրորդ կարգի ոչ գծային բևեռացվելիությունը կարելի է անտեսել և, այսպիսով, գործ ունենալ միայն երրորդ կարգի ոչ գծային բևեռացվելիության հետ: Սառը պլազմայի մոդելը, ըստ երևույթին, վերաբերվում է փոքր ատոմական կարգաթվով ատոմներով միջավայրերին, երբ ճառագայթումը հիմնականում ցրվում է արտաքին, միջուկի հետ թույլ կապված էլեկտրոնների վրա, մինչդեռ միջին ատոմական կարգաթվով և ծանր ատոմներով միջավայրերում ցրումը հիմնականում տեղի է ունենում միջուկի հետ ամուր կապված ներքին թաղանթի էլեկտրոնների վրա [227]: Բացի այդ, սառը պլազմայի մոդելն իմաստ ունի օգտագործել շատ մեծ ուժգնությամբ ճառագայթման դեպքում, երբ ոչ գծային բևեռացվելիության ներդրումը ցրման մեջ հավասարվում է գծային բևեռացվելիության ներդրմանը: Ստորև, հաշվի առնելով ներքին թաղանթի կապված էլեկտրոնների վրա ցրումը և օգտագործելով նյութի և ճառագայթման երրորդ կարգի ոչ գծային փոխազդեցության օպտիկայում հայտնի մոդելը՝ ստացվել են Տակագիի երրորդ կարգի ոչ գծային հավասարումները: Տեսակա-

Նորեն ուսումնասիրվել է մեներանգ ալիքի երրորդ կարգի ոչ գծային դինամիկական դիֆրակցիան բյուրեղում:

§3.1. 1. Երրորդ կարգի ոչ գծային բևեռացվել իռլոթյ ու նը բյ ուրեղում

Դիտարկենք ռենտգենյան ճառագայթման դինամիկական դիֆրակցիան երրորդ կարգի ոչ գծայնությամբ, ոչ մագնիսական, մեկուսիչ իզոտրոպ բյուրեղում: Ռենտգեն-յան ճառագայթումը հիմնականում ցրվում է ատոմի ներքին թաղանթների կապված էլեկտրոնների վրա, ուստի արժեքական էլեկտրոններով պայմանավորված ցրումն անտեսվում է [7]: Կապված էլեկտրոնի ոչ գծային շարժումը կարելի է ուսումնասիրել դասականորեն կամ քվանտային մեխանիկայի շրջանակներում, նկատի ունենալով, որ էլեկտրոնին հավասարակշռության դիրք վերադարձնող ուժն ունի ոչ գծային բաղադրիչ [225]: Ընկնող ճառագայթման հաճախությունն ավելի մեծ է, քան միջավայրի էլեկտրոն-ների առավելագույն ռեզոնանսային հաճախությունը: Ոչ գծային դեպքում էլեկտրական դաշտի $\tilde{\mathbf{E}}(\mathbf{r}, t)$ լարվածությունը և $\tilde{\mathbf{P}}(\mathbf{r}, t)$ բևեռացումը կարելի է ներկայացնել հետևյալ արտահայտություններով [225]

$$\begin{aligned}\tilde{\mathbf{E}}(\mathbf{r}, t) &= \sum_q \tilde{\mathbf{E}}(\mathbf{r}, \omega_q) \exp(-i\omega_q t), \\ \tilde{\mathbf{P}}(\mathbf{r}, t) &= \sum_q \tilde{\mathbf{P}}(\mathbf{r}, \omega_q) \exp(-i\omega_q t),\end{aligned}\tag{3.1}$$

որտեղ \mathbf{r} -ը դիտման կետի շառավիղ-վեկտորն է, ω_q -երը՝ բոլոր հնարավոր հաճախությունները: Քանի որ դաշտերն իրական են, ապա $\tilde{\mathbf{E}}(\mathbf{r}, \omega_q) = \tilde{\mathbf{E}}^*(\mathbf{r}, -\omega_q)$ և $\tilde{\mathbf{P}}(\mathbf{r}, \omega_q) = \tilde{\mathbf{P}}^*(\mathbf{r}, -\omega_q)$: Էլեկտրական դաշտի լարվածությունը բավարարում է ալիքային հավասարմանը [225].

$$\text{rot rot } \tilde{\mathbf{E}} + \frac{1}{c^2} \frac{\partial^2 \tilde{\mathbf{E}}}{\partial t^2} = -\frac{1}{\epsilon_0 c^2} \frac{\partial^2 \tilde{\mathbf{P}}}{\partial t^2},\tag{3.2}$$

որտեղ c -ն լույսի արագությունն է, $\epsilon_0 = 8,85 \cdot 10^{-12}$ Ֆ/մ-ը՝ դիէլեկտրիկական հաստատունը: (3.2)-ին պետք է ավելացնել նաև $\tilde{\mathbf{D}} = \epsilon_0 \tilde{\mathbf{E}} + \tilde{\mathbf{P}}$ ինդուկցիայի հավասարումը.

$$d\tilde{\mathbf{D}} = 0:\tag{3.3}$$

Չարմար է բյուրեղի բևեռացումը ներկայացնել հետևյալ տեսքով՝

$$\tilde{\mathbf{P}}(\mathbf{r}, \omega_q) = \tilde{\mathbf{P}}^{(l)}(\mathbf{r}, \omega_q) + \tilde{\mathbf{P}}^{NL}(\mathbf{r}, \omega_q),\tag{3.4}$$

որտեղ $\tilde{\mathbf{P}}^{(1)}(\mathbf{r}, \omega_q) = \varepsilon_0 \chi^{(1)}(\mathbf{r}, \omega_q) \tilde{\mathbf{E}}(\mathbf{r}, \omega_q)$ -ը գծային բևեռացումն է, $\chi^{(1)}(\omega, \mathbf{r})$ -ը՝ բևեռացվել-ի իուլթյան գծային մասը, (իզոտրոպ միջավայրում այն սկալյար է), $\tilde{\mathbf{P}}^{NL}(\mathbf{r}, \omega_q)$ -ը՝ բևեռացման ոչ գծային մասը: Տեղադրելով (3.1), (3.2) և (3.4) բանաձևերից հետևում է ալիքային հավասարում յուրաքանչյուր մեներանգ բաղադրիչի համար.

$$\text{rot rot } \tilde{\mathbf{E}}(\mathbf{r}, \omega_q) - \frac{\omega_q^2}{c^2} (1 + \chi^{(1)}(\mathbf{r}, \omega_q)) \tilde{\mathbf{E}}(\mathbf{r}, \omega_q) = \frac{\omega_q^2}{\varepsilon_0 c^2} \tilde{\mathbf{P}}^{NL}(\mathbf{r}, \omega_q): \quad (3.5)$$

Երրորդ կարգի ոչ գծային բևեռացվել-ի իուլթյունը նկարագրող չորրորդ կարգի $\chi_{ijkl}^{(3)}(\omega_q, \omega_m, \omega_n, \omega_p, \mathbf{r})$ թենզորը ներմուծվում է հետևյալ առնչությամբ [225]՝

$$\tilde{P}_i^{(3)}(\mathbf{r}, \omega_q) = \varepsilon_0 \sum_{(mnp)} \chi_{ijkl}^{(3)}(\omega_q, \omega_m, \omega_n, \omega_p, \mathbf{r}) \tilde{E}_j(\mathbf{r}, \omega_m) \tilde{E}_k(\mathbf{r}, \omega_n) \tilde{E}_l(\mathbf{r}, \omega_p), \quad (3.6)$$

որտեղ գումարումը կատարվում է ըստ բոլոր $\omega_m, \omega_n, \omega_p$ հաճախությունների, այնպես որ $\omega_q = \omega_m + \omega_n + \omega_p$, ինչպես նաև ըստ բոլոր կրկնվող (համր) $j, k, l = 1, 2, 3$ ցուցիչների: Եթե առնվազն երկու հաճախություններ տարբեր են, ապա (3.6)-ի աջ մասում յուրաքանչյուր գումարելի համապատասխանում է հաճախությունների խառնման ինչ-որ պրոցեսի: Եթե երեք հաճախությունները նույնն են և ունեն նույն նշանը, ապա համապատասխան գումարելին նկարագրում է երրորդ հարմոնիկի գրգռումը: Իսկ եթե երեք հաճախությունները նույնն են, բայց դրանցից մեկը բացասական է, ապա համապատասխան ω_q -ն նույնն է՝ և դրական է: (3.6)-ում այդպիսի գումարելին նկարագրում է $\omega_q = \omega$ հաճախությամբ ալիքի տարածումը ինքնամակածված բեկման ցուցիչով ոչ գծային միջավայրում: Այս պրոցեսը նկարագրվում է $\chi_{ijkl}^{(3)}(\omega; \omega, \omega, -\omega, \mathbf{r})$ անդամով: Այս ոչ գծային բևեռացվել-ի իուլթյան թենզորն ընդհանուր դեպքում ունի 81 բաղադրիչ, ընդ որում իզոտրոպ միջավայրում զրոյից տարբեր են 21 բաղադրիչներ, որոնցից երկուսն անկախ են, իսկ մյուս բաղադրիչները կարելի է արտահայտել դրանց միջոցով՝

$$\chi_{ijkl}^{(3)}(\omega; \omega, \omega, -\omega, \mathbf{r}) = \chi_{1122}^{(3)}(\omega; \omega, \omega, -\omega, \mathbf{r}) (\delta_{ij} \delta_{kl} + \delta_{ik} \delta_{jl}) + \chi_{1221}^{(3)}(\omega; \omega, \omega, -\omega, \mathbf{r}) \delta_{il} \delta_{jk}, \quad (3.7)$$

որտեղ δ_{ik} -ն Կրոնեկերի դելտա-սիմվոլն է, (3.7)-ի համաձայն՝ [225]

$$\tilde{P}_i^{(3)}(\mathbf{r}, \omega) = 3\varepsilon_0 \chi_{ijk}^{(3)}(\omega, \omega, \omega, -\omega, \mathbf{r}) \tilde{E}_j(\mathbf{r}, \omega) \tilde{E}_k(\mathbf{r}, \omega) \tilde{E}_l^*(\mathbf{r}, \omega) \quad (3.8)$$

Օգտագործելով (3.7)-ը և (3.8)-ը՝ ստանում ենք.

$$\tilde{\mathbf{P}}^{(3)} = \varepsilon_0 \tilde{\mathbf{A}} \tilde{\mathbf{E}} \tilde{\mathbf{E}} \tilde{\mathbf{E}}^* + \varepsilon_0 \tilde{\mathbf{B}} \tilde{\mathbf{E}}^* \tilde{\mathbf{E}} \tilde{\mathbf{E}}, \quad (3.9)$$

որտեղ $A = 3\chi_{1122}^{(3)} + 3\chi_{1221}^{(3)}$, $B = 3\chi_{1221}^{(3)}$: Ըստ բևեռացվելիության դասական տեսության՝ [225] $\chi_{1122}^{(3)} = \chi_{1221}^{(3)}$ և $A = 6\chi_{1122}^{(3)}$: Երբ ընկնող ճառագայթման հաճախությունը մեծ է միջավայրի էլեկտրոնների ռեզոնանսային հաճախություններից, դասական տեսությունը հանգեցնում է հետևյալ արտահայտություններին.

$$\chi^{(4)}(\omega, \mathbf{r}) = -n(\mathbf{r}) \frac{e^2}{\varepsilon_0 m \omega^2}, \quad \chi_{ijk}^{(3)}(\omega, \omega, \omega, -\omega, \mathbf{r}) = \frac{1}{3} \chi^{(3)}(\omega, \mathbf{r}) (\delta_{ij} \delta_{kl} + \delta_{ik} \delta_{jl} + \delta_{il} \delta_{jk}), \quad (3.10)$$

$$\chi^{(3)}(\omega, \mathbf{r}) = n(\mathbf{r}) e^4 b / (\varepsilon_0 m^3 \omega^8) > 0,$$

որտեղ $n(\mathbf{r})$ -ն էլեկտրոնների կոնցենտրացիան է, e -ն՝ էլեկտրոնի լիցքը, m -ը՝ զանգվածը, b -ն երկու թաքանակյալ հաստատուն է, որին համեմատական է էլեկտրոնին հավասարակշռության դիրք վերադարձնող ուժի երրորդ կարգի ոչ գծային բաղադրիչը: (3.10) բանաձևի համաձայն՝ երրորդ կարգի ոչ գծային բևեռացվելիությունը դրական է: Բևեռացվելիության քվանտամեխանիկական տեսության համաձայն, երկֆոտոնային պրոցեսների հետևանքով $\chi_{1122}^{(3)} \neq \chi_{1221}^{(3)}$:

Գնահատենք երրորդ կարգի ոչ գծային բևեռացվելիության արժեքը քվանտամեխանիկորեն: Ճառագայթման դաշտում էլեկտրոնի համիլտոնիանի խտորումը՝

$$H' = H'_1 + H'_2 = \frac{\hbar e}{m} \tilde{\mathbf{A}} \nabla + \frac{e^2}{2m} \tilde{\mathbf{A}}^2, \quad (3.11)$$

որտեղ $\tilde{\mathbf{A}}$ -ն ճառագայթման դաշտի վեկտոր-պոտենցիալն է: Երրորդ կարգի ոչ գծային բևեռացվելիությունը հաշվարկելիս, կանտեսենք H'_2 անդամով պայմանավորված փոքր ներդրումը:

Հայտնի է, որ ճառագայթման դաշտում էլեկտրոնի հոսանքի խտության օպերատորը տրվում է [228, 229]

$$\hat{\mathbf{j}}(\mathbf{r}, \mathbf{r}_e) = \frac{e}{2m} \hat{\mathbf{p}}_e \delta(\mathbf{r} - \mathbf{r}_e) + \delta(\mathbf{r} - \mathbf{r}_e) \hat{\mathbf{p}}_e - \frac{e^2}{m} \tilde{\mathbf{A}}(\mathbf{r}_e, t) \delta(\mathbf{r} - \mathbf{r}_e) \quad (3.12)$$

առնչությունամբ, որտեղ $\hat{\mathbf{p}}_e = -\hbar \nabla_e$ -ն իմպուլսի օպերատորն է, \mathbf{r}_e -ն՝ էլեկտրոնի կոորդինատի օպերատորը, $\delta(\mathbf{r} - \mathbf{r}_e)$ -ն՝ Դիրակի դելտա-

Ֆուլկերիան: Եթե էլեկտրոնի ψ ալիքային ֆուլկերիան ներկայացնենք ըստ խտորման համիլտոնիանի աստիճանների ասիմպտոտական շարքով՝ $\psi = \psi^{(0)} + \psi^{(1)} + \dots$, ապա քվանտամեխանիկական միջինացված հոսանքի խտության արտահայտությունում կառաջանան ըստ այդ խտորման գծային, քառակուսային, խորանարդային և ավելի բարձր կարգի անդամներ:

Դիտարկենք խորանարդային անդամները: Հոսանքի խտության խորանարդային ուղղման համար ունենք՝

$$\langle \mathbf{j}^{(3)}(\mathbf{r}) \rangle = \langle \psi^{(0)} | \hat{\mathbf{j}} | \psi^{(3)} \rangle + \langle \psi^{(3)} | \hat{\mathbf{j}} | \psi^{(0)} \rangle + \langle \psi^{(1)} | \hat{\mathbf{j}} | \psi^{(2)} \rangle + \langle \psi^{(2)} | \hat{\mathbf{j}} | \psi^{(1)} \rangle + \dots, \quad (3.13)$$

որտեղ բազմակետերը նշանակում են ըստ խտորման այլ խորանարդային անդամներ: Սովորաբար, ինչպես օպտիկայում [225], այնպես էլ ռենտգենյան հաճախությունների տիրույթում [7], կիրառվում է երկբևեռ մոտավորությունը, և էլեկտրոնի խտորման համիլտոնիանը ներկայացվում է $H' = -\hat{\mathbf{p}} \tilde{\mathbf{E}}$ տեսքով, որտեղ $\hat{\mathbf{p}} = e\mathbf{r}_e$ -ն էլեկտրոնի երկ-բևեռ մոմենտի օպերատորն է [225]: Այդ դեպքում երկբևեռ մոմենտի քվանտամեխանիկական միջինի խորանարդային ուղղումը՝

$$\langle \mathbf{p}^{(3)} \rangle = \langle \psi^{(0)} | \hat{\mathbf{p}} | \psi^{(3)} \rangle + \langle \psi^{(3)} | \hat{\mathbf{p}} | \psi^{(0)} \rangle + \langle \psi^{(1)} | \hat{\mathbf{p}} | \psi^{(2)} \rangle + \langle \psi^{(2)} | \hat{\mathbf{p}} | \psi^{(1)} \rangle: \quad (3.14)$$

Միավոր ծավալի երկբևեռ մոմենտը (3.14)-ի և էլեկտրոնների կոնցենտրացիայի արտադրյալն է: Օպտիկական տիրույթում մանրամասն հաշվարկ արված է [225]-ում, որտեղ ստացված ընդհանուր բանաձևի հիման վրա ([225]-ի (4.3.12)-(4.3.14) բանաձևերը) իզոտրոպ միջավայրի համար գնահատվել է երրորդ կարգի ոչ գծային բևեռացվելիության արժեքը, երբ ճառագայթային դաշտի հաճախությունը փոքր է միջավայրի էլեկտրոնների բևեռագրական ω_0 ռեզոնանսային հաճախությունից.

$$\chi^{(3)} = \frac{8n(\mathbf{r})e^4 a^4}{\epsilon_0 \hbar^3 \omega_0^3}, \quad (3.15)$$

որտեղ a -ն ատոմի բևեռագրական չափն է: Եթե [225]-ում $\chi_{1122}^{(3)}$ -ի (4.3.14) բանաձևում թողնվի միայն միաֆոտոնային պրոցեսների անդամը ((4.3.14)-ի երկրորդ գումարելին) և նկատի առնվի, որ ռենտգենյան ալիքի հաճախությունը սովորաբար ավելի մեծ է, քան էլեկտրոնների ռեզոնանսային հաճախությունը (նշված բանաձևում

նեգոնանսային հաճախություններն այս մոտավորությամբ անտեսվել են), ապահաշվի առնելով նաև (3.10)-ը, կստանանք՝

$$\chi^{(3)} \approx \frac{n(\mathbf{r})e^4 a^4}{\varepsilon_0 \hbar^3 \omega^3}, \quad (3.16)$$

և $\chi_{122}^{(3)} = \chi_{1221}^{(3)} \equiv \chi^{(3)} / 3$, $A = 2\chi^{(3)}$, $B = A / 2$: (3.16)-ով ω_0 -ի փոխարեն մասնակցում է նենտգենյան ալիքի հաճախությունը: Համեմատելով (3.16) և (3.10) բանաձևերը, b հաստատունին կարելի է որոշակի արժեք վերագրել:

Ընդունելով, որ $n(\mathbf{r}) \approx 10^{28} - 10^{30} \text{ մ}^{-3}$ և $\omega \approx 10^{19} \text{ վ}^{-1}$, (3.16)-ից կստանանք հետևյալ գնահատականը՝ $\chi^{(3)}(\omega, \mathbf{r}) \approx 10^{-31} - 10^{-33} \text{ մ}^2/\text{վ}^2$, մինչդեռ [227]-ով $Z < 10$ կարգաթվով տարրերի համար ստացված է $\chi^{(3)} \approx 2 \cdot 10^{-40} \text{ մ}^2/\text{վ}^2$ գնահատականը, որը 7-9 կարգով ավելի փոքր է, քան ստացված գնահատականը: [227]-ով եզրակացվել է, որ կապված էլեկտրոնների վրա երրորդ կարգի ոչ գծային ցրումն էական չէ, սակայն բերված գնահատականը ցույց է տալիս, որ այդ ցրումը կարող է էական լինել:

Նշանակենք $|\chi^{(1)}| / \chi^{(3)} = E_{cr}^2 = I_{cr}$, որտեղ, E_{cr} -ն արտաքին էլեկտրական դաշտի լարվածության այն արժեքն է, որի դեպքում երրորդ կարգի ոչ գծային բևեռացվելիություններ դրոման մեջ հավասարվում է գծային բևեռացվելիության ներդրմանը, իսկ I_{cr} -ը համապատասխան ուժգնությունն է: (3.10)-ի և (3.16)-ի համաձայն՝

$$E_{cr} = \left(\frac{\hbar^3 \omega}{m e^2 a^4} \right)^{1/2} \approx 1,2 \cdot 10^{13} \text{ վ/մ}: \quad (3.17)$$

Գնահատենք ընկնող ալիքի համապատասխան պիկային հզորությունը՝ $P^{(i)} = |S^{(i)}| \sigma_0$, որտեղ $|S^{(i)}|$ -ին Պոյնտինգի վեկտորի՝ ըստ ժամանակի միջինացված մո-դուլն է, σ_0 -ն՝ ընկնող փնջի կտրվածքի մակերեսը: Հիմք ընդունելով (3.16)-ը և դրանից ստացվող $\chi^{(3)}(\omega, \mathbf{r}) \approx 10^{-31} \text{ մ}^2/\text{վ}^2$ գնահատականը՝ կստանանք՝ $|S^{(i)}| \approx 0,5 \varepsilon_0 c E_{cr}^2 \approx 2 \cdot 10^{23} \text{ վտ/մ}^2$: Եթե ընկնող ալիքը դիֆրակցիայի հարթության մեջ ունի 100 մկմ, իսկ դրան ուղղահայաց ուղղությունամբ՝ 10 նմ գծային չափեր, ապա $\sigma_0 = 10^{-12} \text{ մ}^2$ $P^{(i)} \approx 100 \text{ Գվտ}$, որն ըստ [227]-ի, հասանելի է նենտգենյան ազատ էլեկտրոնային լազերով:

Նշենք, որ բերված գնահատականը համապատասխանում է խտորումների տեսության կիրառելիության վերին սահմանին, իսկ ոչ գծային երևույթներ կարող են դիտվել արդեն 10–100 անգամ փոքր ուժգնությունների դեպքում: Այս պատճառով ոչ գծային դիֆրակցիան նկարագրելիս անհրաժեշտություն է կա անմիջապես օգտագործել սառը պլազմայի մոդելը, որն իմաստ ունի կրիտիկականին շատ մոտ կամ այն գերազանցող ուժգնությունների համար: Ընկնող ճառագայթման ուժգնությունն աստիճանաբար մեծացնելիս և՛ գծային և՛ ոչ գծային բևեռացվելիությունները ձևավորվում են ներքին թաղանթների կապված էլեկտրոնների վրա ցրումով, որը կրիտիկականից ցածր ուժգնությունների համար կարելի է նկարագրել օպտիկայում հայտնի մոդելով:

Ներմուծենք նաև

$$\eta^{(3)} = A(\epsilon) + B(\epsilon) \quad (3.18)$$

մեծությունը, ընդ որում, դասական տեսության շրջանակներում $\eta^{(3)} = 3\chi^{(3)}$:

§3.1.2. Ալիքային վեկտորի կամ փուլային անհամապատասխանություն

Կատարյալ բյուրեղում գծային և ոչ գծային բևեռացվելիությունները կոորդի-նատներից եռաչափ պարբերական ֆունկցիաներ են, ուստի դրանք կարելի է վերածել ֆուրիե-շարքի ըստ հակադարձ ցանցի վեկտորների [7–9]:

Նախ քննարկենք միալիքային դեպքում երրորդ հարմոնիկի ուղիղ անցումը միջավայրով և ցույց տանք, որ երրորդ հարմոնիկի և հիմնական հաճախության ալիքի դիսպերսիայի տարբերությամբ պայմանավորված փուլային անհամապատասխանության հետևանքով լայնույթը փոքր է և կարելի է անտեսել, եթե այդ անհամապատասխանությունը վերացնելու նպատակով ձեռնարկված չեն հատուկ միջոցներ:

Միալիքային դեպքում ω_q հաճախությամբ ալիքային դաշտը բյուրեղում կարելի է ներկայացնել

$$\tilde{\mathbf{E}}(\mathbf{r}, \omega_q) = \tilde{\mathbf{E}}_0(\mathbf{r}, \omega_q) \exp[i\mathbf{k}_0(\omega_q)\mathbf{r}] \quad (3.19)$$

տեսքով, որտեղ $\tilde{\mathbf{E}}_0(\mathbf{r}, \omega_q)$ -ն դանդաղ փոփոխվող լայնույթն է,

$k_0^2(\omega_q) = (\omega_q^2 / c^2) (1 + \chi_0^{(1)}(\omega_q))$, $\chi_0^{(1)}(\omega_q)$ -ն գծային բևեռացվելիության ֆուրիե-

վերլուծության գրոյական բաղադրիչն է: Եթե ընկնող ալիքի հաճախությունը ω է գրգռվում է նաև 3ω հաճախականությամբ երրորդ հարմոնիկը: Այս արոցեսը կապված է $\chi_{ijk0}^{(3)}(\beta\omega, \omega, \omega)$ բևեռացվելիության թենզորի հետ, որի 0 ցուցիչը նշանակում է երրորդ կարգի ոչ գծային բևեռացվելիության ֆունկցիոնալ վերլուծության գրոյական բաղադրիչ: Ինչպես նշվել է, իզոտրոպ միջավայրում բևեռացվելիության թենզորն ունի գրոյից տարբեր 21 բաղադրիչներ, որոնցից երեքն անկախ են, իսկ մյուսներն արտահայտվում են դրանց միջոցով՝

$$\chi_{ijk1}^{(3)} = \chi_{1122}^{(3)} \delta_{ij} \delta_{kl} + \chi_{1212}^{(3)} \delta_{ik} \delta_{jl} + \chi_{1221}^{(3)} \delta_{il} \delta_{jk} : \quad (3.20)$$

Իզոտրոպ միջավայրում $\chi_{1122}^{(3)}(\beta\omega, \omega, \omega, \mathbf{x}) = \chi_{1212}^{(3)}(\beta\omega, \omega, \omega, \mathbf{x}) = \chi_{1221}^{(3)}(\beta\omega, \omega, \omega, \mathbf{x})$, ուստի

$$\chi_{ijk1}^{(3)}(\beta\omega, \omega, \omega, \mathbf{x}) = \chi_{1122}^{(3)}(\beta\omega, \omega, \omega, \mathbf{x}) (\delta_{ij} \delta_{kl} + \delta_{ik} \delta_{jl} + \delta_{il} \delta_{jk}) : \quad (3.21)$$

Ենթադրենք՝ ընկնող ալիքի տարածման ուղղությունն ուղղահայաց է մուտքի մակերևույթին և տվյալ դեպքում համընկնում է z ուղղության հետ: Առաջին մոտավորությամբ երրորդ հարմոնիկի լայնության հետադարձ ազդեցությունն ընկնող ալիքի լայնության վրա կարելի է անտեսել: Այդ դեպքում, հաշվի առնելով, որ լայնությաները դանդաղ են փոխվում և (3.5)-ում պահելով միայն առաջին անցյալները, երրորդ հարմոնիկի լայնության համար կստանանք հետևյալ տարածման հավասարումները.

$$2i \frac{d\tilde{E}_{0i}}{dz}(\beta\omega) = -k(\beta\omega) \chi_{ijk0}^{(3)}(\beta\omega, \omega, \omega) \tilde{E}_{0j}(\omega) \tilde{E}_{0k}(\omega) \tilde{E}_{0l}(\omega) \exp[i(3k(\omega) - k(\beta\omega))z], \quad (3.22)$$

որտեղ $k^2(\beta\omega) \approx (\beta\omega)^2 / c^2$: Եթե բյուրեղական թիթեղն ունի L հաստություն, ապա (3.22)-ի ինտեգրումը հանգեցնում է հետևյալ արդյունքին.

$$\tilde{E}_{0i}(\beta\omega) = ik(\beta\omega) \chi_{ijk0}^{(3)}(\beta\omega, \omega, \omega) \tilde{E}_{0j}(\omega) \tilde{E}_{0k}(\omega) \tilde{E}_{0l}(\omega) \frac{\exp(i\Delta kL) - 1}{2\Delta k}, \quad (3.23)$$

որտեղ $\Delta k = 3k(\omega) - k(\beta\omega)$ -ն փոլլային կամ ալիքային վեկտորի անհամապատասխանության ունեն է: Ուժգնության համար կստանանք

$$I_{0i}(\beta\omega) = |\tilde{E}_{0i}(\beta\omega)|^2 = \left(\frac{Lk(\beta\omega)}{2} \right)^2 \left| \chi_{ijk0}^{(3)}(\beta\omega, \omega, \omega) \tilde{E}_{0j}(\omega) \tilde{E}_{0k}(\omega) \tilde{E}_{0l}(\omega) \right|^2 \left(\frac{2}{L\Delta k} \sin\left(\frac{L\Delta k}{2} \right) \right)^2 : \quad (3.24)$$

Քանի որ $\Delta k \approx 3k(\omega) \left| \chi_0^{(1)}(\omega) \right| / 2$, ապա (3.24)-ից հետևում է, որ երրորդ

հարմոնիկի ուժգնությունը փոքր է և այն գործնականում վերանում է, երբ $L > 2 / \Delta k \approx 4 / (3k |X_0^{(0)}|) \approx 10$ մկմ, քանի որ $k \approx 10^8 - 10^9$ սմ⁻¹ և $|X_0^{(0)}| \approx 10^{-5} - 10^{-6}$: Այսպիսով՝ գլխավոր ոչ գծային պրոցեսը, որի համար փուլային անհամապատասխանությունը զրո է, ω հիմնական հաճախությամբ ալիքի տարածումն է ինքնամակածված բեկման ցուցիչով միջավայրում: Այսպրոցեսին, ինչպես արդեն ասվել է, համապատասխանում է ոչ գծային բևեռացվելիության $\chi_{jkl}^{(3)}(\omega, \omega, -\omega, \mathbf{r})$ թենզորը:

§3.1.3. Տակագիի երրորդ կարգի ոչ գծային հավասարումների արտածումը

Այժմ դիտարկենք ω հաճախությամբ ալիքի դինամիկական դիֆրակցիան երրորդ կարգի ոչ գծայնությամբ բյուրեղում: $A(\mathbf{r})$ -ը և $B(\mathbf{r})$ -ը կատարյալ բյուրեղում կոորդինատներից եռաչափ պարբերական ֆունկցիաներ են, ուստի լայնության երկարությունները քվադրատիկ ալիքների տեսքով [30]

$$\mathbf{A} = \sum_{\mathbf{g}} \mathbf{A}_{\mathbf{g}} \exp(i\mathbf{g}\mathbf{r}), \quad \mathbf{B} = \sum_{\mathbf{g}} \mathbf{B}_{\mathbf{g}} \exp(i\mathbf{g}\mathbf{r}), \quad \tilde{\mathbf{E}} = \sum_{\mathbf{g}} \tilde{\mathbf{E}}_{\mathbf{g}} \exp(\mathbf{K}_{\mathbf{g}}\mathbf{r}), \quad (3.25)$$

որտեղ \mathbf{g} -ն հակադարձ ցանցի վեկտոր է, $\mathbf{K}_{\mathbf{g}} = \mathbf{K}_0 + \mathbf{g}$ -ն՝ անցած ալիքի կրող ալիքային վեկտորը, և $|\mathbf{K}_0| = k$: Ցանցի հաստատունի կարգի երկարությամբ տիրույթում $\tilde{\mathbf{E}}_{\mathbf{g}}$ լայնության դանդաղ փոփոխվող ֆունկցիաներ են, մինչդեռ էքսպոնենտները միկրոս-կոպական մեծություններ են և փոփոխվում են արագ: (3.5)-ը գրենք հետևյալ տեսքով՝

$$\Delta \tilde{\mathbf{E}} - \text{grad div} \tilde{\mathbf{E}} + k^2 \left(\tilde{\mathbf{E}} + \frac{\tilde{\mathbf{P}}}{\epsilon_0} \right) = 0: \quad (3.26)$$

(3.25)-ը տեղադրենք (3.26)-ի մեջ և կրկնենք գծային տեսության Տակագիի հավասարումներն արտածելիս արված մոտավորությունները [30]. (3.26)-ի առաջին անդամում լայնության երկրորդ կարգի ածանցյալներն անտեսվում են, իսկ երկրորդ անդամում հաշվի է առնվում ռենտգենյան բևեռացվելիության $10^{-5} - 10^{-6}$ -ի կարգի լինելու հետևանքով $\text{div} \tilde{\mathbf{E}}$ -ի փոքրությունը (էլեկտրական դաշտը գրեթե լայնական է, տես (3.3)-ը), ուստի

անտեսվում են լայնույթների բոլոր կարգի ածանցյալները և ածանցվում են միայն արագ փոփոխվող էքսպոնենտները: Նշված մոտավորությունների արդյունքում հանգում ենք Տակագիի երրորդ կարգի ոչ գծային հավասարումների հետևյալ անվերջ համակարգին.

$$2i\mathbf{k}_g \nabla \tilde{\mathbf{E}}_g + k^2 \tilde{\mathbf{E}}_g - \mathbf{K}_g^2 \tilde{\mathbf{E}}_{g[g]} + \mathbf{K}_g^2 \left(\sum_{g'} \chi_{g-g}^{(1)} \tilde{\mathbf{E}}_{g'} + \sum_{g'} A_{g-g} \mathbf{Q}_{1g'} + \sum_{g'} B_{g-g} \mathbf{Q}_{2g'} \right) = 0, \quad (3.27)$$

որտեղ

$$\mathbf{Q}_{1g'} = \sum_{g_1, g_2} \tilde{\mathbf{E}}_{g'+g_1-g_2} \tilde{\mathbf{E}}_{g_1}^* \tilde{\mathbf{E}}_{g_2}, \quad \mathbf{Q}_{2g'} = \sum_{g_1, g_2} \tilde{\mathbf{E}}_{g'-g_1+g_2} \tilde{\mathbf{E}}_{g_1} \tilde{\mathbf{E}}_{g_2}^*, \quad (3.28)$$

ընդ որում, $\tilde{\mathbf{E}}_{g[g]}$ -ն նշանակում է $\tilde{\mathbf{E}}_g$ -ի՝ \mathbf{k}_g -ին ուղղահայաց բաղադրիչ և

հավասար է $[\mathbf{K}_g \mathbf{E}_g \mathbf{K}_g] / \mathbf{K}_g^2$ -ի: Կլանող բյուրեղում

բևեռացվելիությունները կոմպլեքս են, որոնց կեղծ մասով որոշվում է կլանումը: Դեֆորմացված բյուրեղի դեպքում (3.27)-ում պետք է կատարել հետևյալ փոխարինումը

$\chi_g^{(1)}, A_g, B_g \Rightarrow \chi_g^{(1)} \exp(-ig\mathbf{u}), A_g \exp(-ig\mathbf{u}), B_g \exp(-ig\mathbf{u})$, որտեղ $\mathbf{u}(\mathbf{r})$ -ը կատարյալ

բյուրեղում հավասարակշռության դիրքից ատոմի շեղման վեկտորն է [30]: Այդ կերպ կստացվեն երրորդ կարգի ոչ գծային Տակագիի հավասարումները դեֆորմացված բյուրեղում:

Դիտարկենք երկալիքային մոտավորությունը, երբ բյուրեղում առկա են հակադարձ ցանցի 0 և \mathbf{h} վեկտորներին համապատասխանող ալիքները: Այս դեպքում Տակագիի ոչ գծային հավասարումներում հարմար է անցնող ալիքի կրող \mathbf{k}_0 վեկտորն ընտրել ուղղված անդրադարձնող հարթությունների նկատմամբ ճիշտ Բրեգի անկյան տակ.

որպես հետևանք՝ $|\mathbf{k}_0| = |\mathbf{k}_h| = k$: Երկալիքային դիֆրակցիայի

հավասարումները կարելի է պարզեցնել՝ ներմուծելով

$\mathbf{E}_{0,h} = \tilde{\mathbf{E}}_{0,h} \exp(-ik\chi_0^{(1)} z / 2 \cos\theta)$ լայնույթները, որտեղ θ -ն Բրեգի անկյունն է,

Oz -ն ուղղված է անդրադարձնող հարթություններով, իսկ Ox -ը հակազուգահեռ է դիֆրակցիայի \mathbf{h} վեկտորին: Այս ընտրությամբ

հավասարումներում կրճատվում են $\mathbf{K}_{0,h}^2 \chi_0^{(1)}$ պարունակող անդամները:

Տակագիի ոչ գծային (3.27) հավասարումներն ընդունում են հետևյալ տեսքը՝

$$\begin{aligned}
& \frac{2i}{k} \frac{\partial \mathbf{E}_0}{\partial s_0} + (A_0 |\mathbf{E}_0|^2 + |\mathbf{E}_h|^2) + A_h \mathbf{E}_h \mathbf{E}_0^* + A_h \mathbf{E}_0 \mathbf{E}_h^* \mathbf{E}_0 \exp\left(-\frac{\mu z}{\cos\theta}\right) + \\
& + (B_0 \mathbf{E}_0 \mathbf{E}_0) + 2B_h \mathbf{E}_h \mathbf{E}_0 + B_{2h} \mathbf{E}_h \mathbf{E}_h \mathbf{E}_0^* \exp\left(-\frac{\mu z}{\cos\theta}\right) + \\
& + \left[\chi_h^{(0)} + (A_0 \mathbf{E}_0 \mathbf{E}_h^*) + A_h (|\mathbf{E}_0|^2 + |\mathbf{E}_h|^2) + A_{2h} \mathbf{E}_h \mathbf{E}_0^* \right] \exp\left(-\frac{\mu z}{\cos\theta}\right) \mathbf{E}_h + \\
& + (2B_0 \mathbf{E}_h \mathbf{E}_0) + B_h \mathbf{E}_0 \mathbf{E}_0 + B_h \mathbf{E}_h \mathbf{E}_h \mathbf{E}_h^* \exp\left(-\frac{\mu z}{\cos\theta}\right) = 0, \tag{3.29} \\
& \frac{2i}{k} \frac{\partial \mathbf{E}_h}{\partial s_h} + (A_0 |\mathbf{E}_0|^2 + |\mathbf{E}_h|^2) + A_h \mathbf{E}_0 \mathbf{E}_h^* + A_h \mathbf{E}_h \mathbf{E}_0^* \mathbf{E}_h \exp\left(-\frac{\mu z}{\cos\theta}\right) + \\
& + (B_0 \mathbf{E}_h \mathbf{E}_h) + 2B_h \mathbf{E}_h \mathbf{E}_0 + B_{2h} \mathbf{E}_0 \mathbf{E}_0 \mathbf{E}_h^* \exp\left(-\frac{\mu z}{\cos\theta}\right) + \\
& + \left[\chi_h^{(0)} + (A_0 \mathbf{E}_h \mathbf{E}_0^*) + A_h (|\mathbf{E}_0|^2 + |\mathbf{E}_h|^2) + A_{2h} \mathbf{E}_0 \mathbf{E}_h^* \right] \exp\left(-\frac{\mu z}{\cos\theta}\right) \mathbf{E}_0 + \\
& + (2B_0 \mathbf{E}_h \mathbf{E}_0) + B_h \mathbf{E}_0 \mathbf{E}_0 + B_h \mathbf{E}_h \mathbf{E}_h \mathbf{E}_h^* \exp\left(-\frac{\mu z}{\cos\theta}\right) = 0,
\end{aligned}$$

որտեղ $\mu = k\chi_{0i}^{(0)}$ -ն բյուրեղի գծային կլանման գործակիցն է: Չկլանող բյուրեղի բևեռացվելի ության իրական լինելու պայմանից կամայական σ -ի համար հետևում են $\chi_\sigma^* = \chi_\sigma, A_\sigma^* = A_\sigma, B_\sigma^* = B_\sigma$ առնչությունները: Նկատի ունենալով այս հանգամանքը և (3.29)-ի առաջին և երկրորդ հավասարումները բազմապատկելով $\mathbf{E}_0^*, \mathbf{E}_h^*$ -ով և գումարելով ստացված չորս հավասարումները, չկլանող բյուրեղում ($\mu = 0$) կհանգենք հետևյալ հավասարմանը՝

$$\frac{\partial |\mathbf{E}_0|^2}{\partial s_0} + \frac{\partial |\mathbf{E}_h|^2}{\partial s_h} = 0: \tag{3.30}$$

(3.30) հավասարումը տեղի ունի նաև գծային տեսությունում և արտահայտում է չկլանող բյուրեղում էներգիայի հոսքի պահպանման օրենքը: Ներմուծենք բևեռացման միավոր վեկտորներ՝ \mathbf{e}_σ -ն՝ ուղղված Oy առանցքով, $\mathbf{e}_{0\pi} = [s_0 \mathbf{e}_\sigma]$ և $\mathbf{e}_{h\pi} = [s_h \mathbf{e}_\sigma]$, որտեղ s_0 -ն և s_h -ը միավոր վեկտորներ են անցած և դիֆրակտված ալիքների տարածման ուղղություններով:

Եթե ընկնող ալիքն ունի σ - և π - բևեռացման բաղադրիչներ, ապա, ինչպես հետևում է (3.29)-ից, ոչ գծային անդամների առկայության հետևանքով այդ բաղադրիչները կապված են մեկ

միասնական հավասարումների համակարգով (այսինքն՝ տարածվում են միմյանց հետփոխազդելով), և դրանց տարածման հավասարումները չեն բաժանվում: Իսկ եթե ընկնող և փնջում է միայն σ -կամ միայն π -բևեռացում, ապա (3.29)-ից հետևում է, որ առաջին դեպքում բյուրեղում կբացակայի π -, իսկ երկրորդ դեպքում՝ σ -բևեռացումը, քանի որ սահմանային պայմանների համաձայն առաջին դեպքում մուտքի մակերևույթին զրո է անցնող և փնջի π -բաղադրիչի լայնույթը և այդ դեպքում (3.29) հավասարումների համակարգը բյուրեղի ներսում ունի զրոյական լուծում π -բևեռացման համար: Նույն կերպ, երկրորդ դեպքում, բյուրեղի ներսում զրո են σ -բաղադրիչի լայնույթները:

Այսպիսով՝ ընկնող σ -բևեռացման և փնջի դեպքում (3.29) Տակագիի ոչ գծային հավասարումների համակարգն ունի հետևյալ տեսքը՝

$$\begin{aligned} & \frac{2i}{k} \frac{\partial E_0}{\partial s_0} + \eta_0^{(3)} (|E_0|^2 + |E_h|^2) + \eta_h^{(3)} E_0 E_h^* + \eta_h^{(3)} E_0^* E_h E_0 \exp\left(-\frac{\mu z}{\cos\theta}\right) + \\ & + \left[\chi_h^{(1)} + \eta_0^{(3)} E_0 E_h^* + \eta_h^{(3)} (|E_0|^2 + |E_h|^2) + \eta_{2h}^{(3)} E_0^* E_h \right] \exp\left(-\frac{\mu z}{\cos\theta}\right) E_h = 0, \\ & \frac{2i}{k} \frac{\partial E_h}{\partial s_h} + \eta_0^{(3)} (|E_0|^2 + |E_h|^2) + \eta_h^{(3)} E_0 E_h^* + \eta_h^{(3)} E_0^* E_h E_h \exp\left(-\frac{\mu z}{\cos\theta}\right) + \\ & + \left[\chi_h^{(1)} + \eta_0^{(3)} E_0^* E_h + \eta_h^{(3)} (|E_0|^2 + |E_h|^2) + \eta_{2h}^{(3)} E_0 E_h^* \right] \exp\left(-\frac{\mu z}{\cos\theta}\right) E_0 = 0 : \end{aligned} \quad (3.31)$$

Ընկնող π -բևեռացված և փնջի դեպքում (3.29)-ի առաջին հավասարումը բազմապատկենք $\mathbf{e}_{0\pi}$ -ով, իսկ երկրորդը՝ $\mathbf{e}_{h\pi}$ -ով: Արդյունքում π -բևեռացման համար կստանանք հետևյալ հավասարումները՝

$$\begin{aligned}
& \frac{2i}{k} \frac{\partial E_0}{\partial S_0} + \eta_0^{(3)} (|E_0|^2 + |E_h|^2) - B_0 \sin^2 2\theta |E_h|^2 + \eta_h^{(3)} \cos 2\theta (E_0 E_h^*) + \\
& + \eta_h^{(3)} \cos 2\theta (E_h E_0^*) E_0 \exp\left(-\frac{\mu z}{\cos \theta}\right) + \left[\chi_h^{(1)} + \eta_0^{(3)} \cos 2\theta (E_0 E_h^*) + \eta_h^{(3)} (|E_0|^2 + |E_h|^2) + \right. \\
& \left. \eta_{2h}^{(3)} \cos 2\theta + B_{2h} \operatorname{tg} 2\theta \sin 2\theta (E_h E_0^*) \right] \exp\left(-\frac{\mu z}{\cos \theta}\right) E_h \cos 2\theta = 0, \\
& \frac{2i}{k} \frac{\partial E_h}{\partial S_h} + \eta_0^{(3)} (|E_0|^2 + |E_h|^2) - B_0 \sin^2 2\theta |E_0|^2 + \eta_h^{(3)} \cos 2\theta (E_0 E_h^*) + \\
& + \eta_h^{(3)} \cos 2\theta (E_h E_0^*) E_h \exp\left(-\frac{\mu z}{\cos \theta}\right) + \left[\chi_h^{(1)} + \eta_0^{(3)} \cos 2\theta (E_h E_0^*) + \eta_h^{(3)} (|E_0|^2 + |E_h|^2) + \right. \\
& \left. + \eta_{2h}^{(3)} \cos 2\theta + B_{2h} \operatorname{tg} 2\theta \sin 2\theta (E_0 E_h^*) \right] \exp\left(-\frac{\mu z}{\cos \theta}\right) E_0 \cos 2\theta = 0 :
\end{aligned} \tag{3.32}$$

Բևեռացվել ի ու թյան դասական տեսու թյան շրջանակներում,
 $B_{0,2h,2h} = \eta_{0,2h,2h}^{(3)} / 3$ ըստ (3.18)-ի:

Ինչպես երևում է (3.31) և (3.32) հավասարումներից, ոչ գծային դեպքում գծային դեպքի հաստատուն բևեռացվել ի ու թյան ֆուրիե-բաղադրիչների փոխարեն մասնակցում են արդյունարար բևեռացվել ի ու թյան գործակիցներ, որոնք մոդուլված են անցած և դիֆրակտված ալիքների լայնույթներով, այնպես որ դիսամիկական դիֆրակցիան ընթանում է ինքնամակաձված բևեռացվել ի ու թյան գործակիցներով միջավայրում: Դիսամիկական դիֆրակցիայի (3.31) և (3.32) հավասարումները կարող են օգտագործվել կամայական տեսքի ընկնող ալիքի դեպքում և՛ կատարյալ և՛ դեֆորմացված բյուրեղներում դիֆրակցիային մասնակցող ալիքների լայնույթները վերլուծական ու թվային եղանակներով որոշելու նպատակով:

§3.1. 4. Ընկնող հարթ ալիք: Լաուեի համաչափ դեպք

Դիտարկենք ընկնող հարթ σ -բևեռացված ալիքի դիֆրակցիան կատարյալ բյուրեղում Լաուեի համաչափ երկրաչափության դեպքում (անդրադարձնող հարթու-թյուններն ուղղահայաց են մուտքի մակերևույթին): Ներմուծենք O_{xyz} աջ ուղղանկյուն կոորդինատային համակարգ, որի Oz առանցքն ուղղահայաց է մուտքի մակերևույթին և ուղղված է դեպի բյուրեղի խորքը, Ox առանցքն ընկած է դիֆրակցիայի հարթության մեջ և հակադրագահեռ է դիֆրակցիայի վեկտորին, իսկ Oy առանցքն ուղղահայաց է

դիֆրակցիայի հարթությանը: Բյուրեղի $z=0$ մուտքի մակերևույթին ընկնող ալիքի էլեկտրական դաշտի արվածությունը կարելի է ներկայացնել հետևյալ տեսքով՝

$$E^{(i)}(x,0) = E_0^{(i)} \exp(ik \sin\theta^{(i)} x), \quad (3.33)$$

որտեղ $E_0^{(i)}$ -ն հաստատուն էլայնության է, $\theta^{(i)}$ -ն՝ ընկնող ալիքի տարածման և անդրադարձնող հարթության ներքին միջև կազմված անկյունը: Եթե ընկնող ալիքի՝ Բրեգի անկյուննից շեղումը նշանակենք $\Delta\theta = \theta^{(i)} - \theta$, ապա (3.31)-ի լուծումը կարելի է ներկայացնել հետևյալ

$$E_{0,h} = F_{0,h}(z) \exp(ipx) \quad (3.34)$$

տեսքով, որտեղ p պարամետրը որոշվում է սահմանային պայմաններից, որոնք ինչ-պես և գծային տեսությունում $z=0$ մուտքի մակերևույթին ունեն

$$E_0(x,0) = E_0^{(i)} \exp(ik \cos\theta \Delta\theta x), \quad E_h(x,0) = 0 : \quad (3.35)$$

տեսքը: (3.33)–(3.35)-ից հետևում է, որ

$$F_0(0) = E_0^{(i)}, \quad F_h(0) = 0, \quad p = k \cos\theta \Delta\theta : \quad (3.36)$$

(3.34)-ը տեղադրելով (3.31)-ի մեջ՝ դիֆրակցիայի հավասարումները կարելի է ներկայացնել հետևյալ համակարգով՝

$$\begin{aligned} 2ik \cos\theta \frac{dF_0}{dz} - 2kp \sin\theta F_0 + k^2 \left[\eta_0^{(3)} (|F_0|^2 + |F_h|^2) + \eta_h^{(3)} F_0 F_h^* + \eta_h^{(3)} F_0^* F_h \right] F_0 \exp\left(-\frac{\mu z}{\cos\theta}\right) + \\ + k^2 \left[\chi_h^{(i)} + (\eta_0^{(3)} F_0 F_h^* + \eta_h^{(3)} (|F_0|^2 + |F_h|^2) + \eta_{2h}^{(3)} F_0^* F_h) \exp\left(-\frac{\mu z}{\cos\theta}\right) \right] F_h = 0, \\ 2ik \cos\theta \frac{dF_h}{dz} + 2kp \sin\theta F_h + k^2 \left[\eta_0^{(3)} (|F_0|^2 + |F_h|^2) + \eta_h^{(3)} F_0 F_h^* + \eta_h^{(3)} F_0^* F_h \right] F_h \exp\left(-\frac{\mu z}{\cos\theta}\right) + \\ + k^2 \left[\chi_h^{(i)} + (\eta_0^{(3)} F_0^* F_h + \eta_h^{(3)} (|F_0|^2 + |F_h|^2) + \eta_{2h}^{(3)} F_0 F_h^*) \exp\left(-\frac{\mu z}{\cos\theta}\right) \right] F_0 = 0 \end{aligned} \quad (3.37)$$

իսկ չկլանող բյուրեղում էներգիայի հոսքի պահպանման (3.30) օրենքից հետևում է, որ

$$|F_0(z)|^2 + |F_h(z)|^2 = \text{const} = |E_0^{(i)}|^2 = I, \quad (3.38)$$

որտեղ I -ն ընկնող ալիքի ուժգնությունն է, ընդ որում, հաստատունի արժեքը որոշվել է (3.36) սահմանային պայմանից: (3.37)-ի առաջին և երկրորդ հավասարումները բազմապատկելով dF_0^*/dz -ով և dF_h^*/dz -ով, իսկ կոմպլեքս համալուծ համակարգի առաջին և երկրորդ հավասարումները՝ dF_0/dz -ով և dF_h/dz -ով, և գումարելով ստացված

չորս հավասարումները, հանգում ենք չկլանող բյուրեղում երկրորդ շարժման ին-տեգրալ ին.

$$p \sin \theta \frac{|F_h|^2 - |F_0|^2}{k} + \operatorname{Re}[\chi_h^{(1)} F_0 F_h^*] + \frac{\eta_0^{(3)}}{2} |F_0|^2 |F_h|^2 + \operatorname{Re}[\eta_h^{(3)} F_0 F_h^*] + \frac{1}{2} \operatorname{Re}[\eta_{2h}^{(3)} F_0^2 F_h^{*2}] = \operatorname{const} = -\frac{\mathcal{D} \sin \theta}{k} : \quad (3.39)$$

Հավասարումների (3.37) համակարգը կարող է օգտագործվել և՛ հարթալիքային ճշգրիտ լուծումների որոնման, և՛ լայնույթները թվային եղանակով որոշելու նպատակով:

§3.1.5. Օրինակի քննարկում

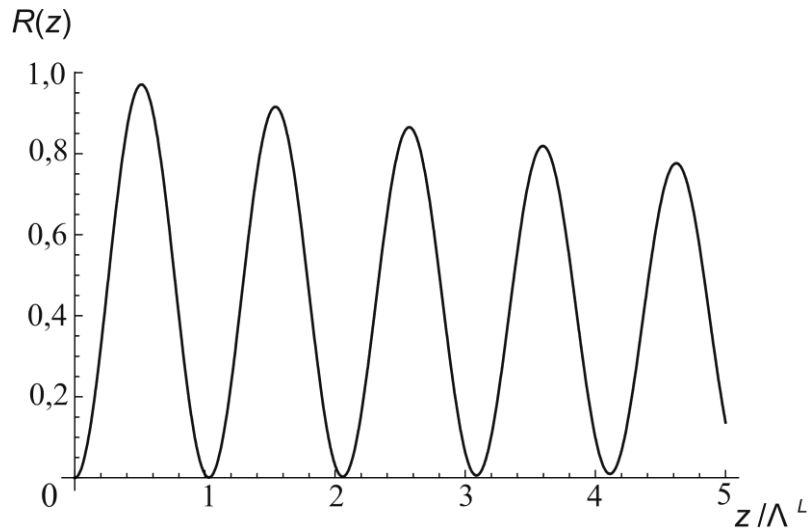
Դիտարկենք Si(220) անդրադարձումը Լատեի համաչափ դեպքում, երբ ընկնող σ -բևեռացմամբ ալիքի երկարությունը՝ $\lambda = 0,71\text{Å}$ է, իսկ գծային տեսության էքստինկցիոն երկարությունը՝ $\Lambda^L = \lambda \cos \theta / |\chi_{hr}^{(1)}| = 36,6$ մկմ: Հիմնվելով (3.9), (3.10), (3.16) և (3.17) բանաձևերի վրա՝ երրորդ կարգի բևեռացվել իության իրական մասի ֆուրիե-գործակցի համար վերցնենք $\chi_{0r,hr,2hr}^{(3)} = -\chi_{0r,hr,2hr}^{(1)} / E_{cr}^2$, իսկ կեղծ մասի ֆուրիե-գործակցի համար՝ $\chi_{0i,hi,2hi}^{(3)} = 0,01 \chi_{0r,hr,2hr}^{(3)}$: Վերջինիս արժեքը վերցվում է այնպես, որ կեղծ և իրական մասերի ֆուրիե-գործակիցների հարաբերությունը մոտավորապես հավասար լինի գծային բևեռացվել իության նույն մեծությունների հարաբերությանը: Եթե այս արժեք-ները տեղադրենք (3.31) և (3.37) համակարգերի հավասարումների մեջ, ապա լայնույթ-ները կնորմավորվեն $E_{cr} / \sqrt{3}$ -ով, իսկ ուժգնությունները՝ $I_{cr} / 3$ -ով: Այդ նույն մեծություններով կնորմավորվեն ընկնող ալիքի $E_0^{(i)}$ լայնույթն և I ուժգնությունը: (3.37) համակարգն ինտեգրենք թվային եղանակով ճիշտ Բրեգի անկյան տակ ընկնող հարթալիքի համար, երբ $I = 0,03$ ($I_{cr} / 3$ -ի միավորով): Կարելի է կիրառել սովորական դիֆերենցիալ հավասարումների համակարգի թվային եղանակով ինտեգրման անհրաժեշտ ճշտությունն ապահովող կամայական եղանակ: Նկ.3.1-ում պատկերված է $T = 5\Lambda^L$ հաստությամբ բյուրեղի անդրադարձման

$$R(z) = \frac{\exp\left(-\frac{k\chi_{0i}^{(1)}}{\cos\theta} z\right) |E_h(z)|^2}{|E_0^{(i)}|^2} = \frac{\exp\left(-\frac{k\chi_{0i}^{(1)}}{\cos\theta} z\right) I_h(z)}{I} \quad (3.40)$$

գործակցի՝ z -ից կախման գրաֆիկը, որը հաշվարկվել է թվային եղանակով: Ինչպես և գծային դեպքում, դաշտն ունի տատանողական բնույթ և համապատասխան ոչ գծային էքստինկցիոն երկարություն: Չաստության վերցված արժեքի դեպքում, գծային տեսու-թյամբ ուժգնությունը ելքի մակերևույթին կլիներ զրո (մինիմում), բայց ոչ գծային և գծային էքստինկցիոն երկարությունների տարբերության հետևանքով այն ելքի մակերևույթին զրո չէ: Նկար 3.1-ից երևում է, որ ոչ գծային էքստինկցիոն երկարությունը մեծ է գծայինից: Դա բացատրվում է արդյունարար բևեռացվելիության գործակցի նվազմամբ, քանի որ ըստ (3.10)-ի՝ բևեռացվելիության գծային և ոչ գծային մասերն ունեն հակառակ նշաններ: Դա երևում է նաև (3.37) համակարգից, որտեղ $\chi_{hr}^{(1)}$ -ը և $\eta_{hr}^{(3)}$ -ը տարբեր նշաններ ունեն:

Թվային հաշվարկներից նաև բխում է, որ ոչ գծային էքստինկցիոն երկարության տարբերությունը գծայինից կարող է նկատելի լինել մինչև անգամ ուժգնության 0,01 արժեքի դեպքում, քանի որ բյուրեղի հաստությունը մեծացնելիս այդ տարբերությունը հետզհետե կուտակվում է: Այսպիսով, հարթալիքային ոչ գծային ճոճանակային երևույթը դիտելու համար բավարար են կրիտիկականից երկու կարգով փոքր ուժգնություններ:

Բյուրեղի վրա σ -բևեռացված անհամասեռ ալիք ընկնելու դեպքում հարկավոր է թվային եղանակով ինտեգրել (3.31) համակարգը: Այդ նպատակով օգտվենք Տակագիի

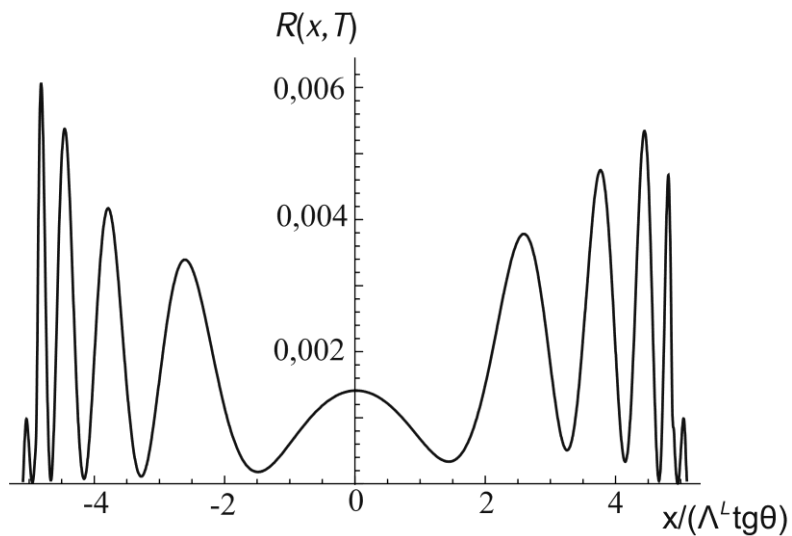


Նկ.3.1. Անդրադարձման գործակցի ճոճանակային տատանումները երրորդ կարգի ոչ գծայնությամբ բյուրեղում: Մաքսիմումների արժեքները նվազում են կլանման հետևանքով (թվային հաշվարկ):

գծային հավասարումների թվային ինտեգրման հայտնի կեսքայլային եղանակից [49, 50]: Ինչպես հետևում է (3.31)-ից, բևեռացելիության գործակիցների լայնույթներով մոդուլված լինելու պատճառով, այդ եղանակը ուղղակիորեն կիրառելի չէ: Սակայն կարելի է եղանակն ընդհանրացնել՝ որևէ շերտի ելքին հաշվարկի ամեն քայլում օգտվելով այդ շերտի մուտքին արդեն նախորդ քայլում հաշվված լայնույթների արժեքներից: Այս եղանակը ստորև կանվանենք ձևափոխված կեսքայլային եղանակ: Այդպիսի թվային հաշվարկի հիման վրա ստացված դիֆրակտված ալիքի ուժգնության x -ից կախված

$$R(x,T) = \frac{\exp\left(-\frac{k\chi_{0i}^{(i)}}{\cos\theta}T\right) |E_h(x,T)|^2}{|E_0^{(i)}|^2} = \frac{\exp\left(-\frac{k\chi_{0i}^{(i)}}{\cos\theta}T\right) I_h(x,T)}{I} \quad (3.41)$$

բաշխումը բյուրեղի $z=T$ ելքի մակերևույթին ցույց է տրված Նկ.3.2-ում: Դիֆրակցիայի պարամետրերը նույնն են, ինչ նախորդ դեպքում, բայց բյուրեղի մակերևույթին մոտ դրված աղբյուրի համար (Կատոյի դեպք [13, 14]), իսկ $I=0,1$:



Նկ.3.2. Բյուրեղի ելքի մակերևույթին կետային աղբյուրի ստեղծած ուժգնության բաշխումը երրորդ կարգի ոչ գծայնության դեպքում (թվային հաշվարկ):

Գծային տեսությունում այդ կախումը համաչափ է ըստ x -ի: Ինչպես երևում է նկ.3.2-ից, ոչ գծային դեպքում այդ կախումը ձեռք է բերում անհամաչափություն, որը բացատրվում է ոչ գծային դեպքում Բրեգի անկյուննից տարբեր նշանի, բայց նույն մոդուլով շեղումով ճառագայթների անդրադարձման ունակության տարբերությամբ, մինչդեռ գծային դեպքում այդպիսի ճառագայթների անդրադարձման ունակությունը շեղման նշանից կախված չէ: Ինչպես ցույց են տալիս հաշվարկները, այդ անհամաչափությունն արդեն նկատելի է ընկնող փնջի ուժգնության 0,03 արժեքի դեպքում: Յետևաբար՝ կետային աղբյուրի դեպքում ոչ գծային դինամիկական դիֆրակտային երևույթները կարող են դիտվել ընկնող փնջի՝ ուժգնությունների կրիտիկականից երկու կարգով փոքր արժեքների դեպքում:

§3.2. Ռենտգենյան հարթալիքային դիֆրակտային երևույթները երրորդ կարգի ոչ գծայնությամբ բյուրեղում: Լաուեի դեպք

Ստորև, հիմնվելով §3.1-ում ստացված Տակագիի երրորդ կարգի ոչ գծային հավասարումների վրա, Լաուեի համաչափ երկրաչափության դեպքում տեսականորեն ուսումնասիրվել են հարթալիքային երրորդ կարգի ոչ գծային դինամիկական դիֆրակտային երևույթները: Դիֆրակցիայի որոշակի պայմանների համար ստացվել է խնդրի ճշգրիտ լուծումը, իսկ ընդհանուր դեպքում ներկայացվել են թվային հաշվարկների արդյունքները:

§3.2. 1. Ճշգրիտ լուծում

2h արգելված անդրադարձման դեպքում հարթ ալիքի դիֆրակցիան նկարագրող (3.37) համակարգը չկլանող բյուրեղում ունի ճշգրիտ լուծում, երբ ալիքն ընկնում է ճշգրիտ Բրեգի անկյան տակ: Այդ հավասարման լուծումները ներկայացնենք կոմպլեքս տեսքով.

$$F_{0,h}(z) = \rho_{0,h}(z) \exp [i\varphi_{0,h}(z)], \quad (3.42)$$

իսկ շարժման (3.38) և (3.39) ինտեգրալները՝ հետևյալ տեսքով.

$$\begin{aligned} \rho_0(z)^2 + \rho_h(z)^2 &= I, \\ \left| \chi_h^{(1)} \right| \cos(\gamma + \delta_h^{(1)}) + \frac{\mathcal{I} \chi_0^{(3)} \sin 2\psi}{4} + I \left| \eta_h^{(3)} \right| \cos(\gamma + \delta_h^{(3)}) &= 0 : \end{aligned} \quad (3.43)$$

(3.43)-ի երկրորդ հավասարման մեջ, (3.43)-ի առաջին հավասարման համաձայն, ներմուծվել է $\psi(z)$ ֆունկցիան, այնպես որ

$$\rho_0(z) = \sqrt{I} \cos \psi(z), \quad \rho_h(z) = \sqrt{I} \sin \psi(z) : \quad (3.44)$$

(3.43)-ում $\delta_h^{(1)}$ -ը և $\delta_h^{(3)}$ -ը $\chi_h^{(1)}$ -ի և $\eta_h^{(3)}$ -ի համապատասխան փուլերն են, իսկ

$$\gamma(z) = \varphi_0(z) - \varphi_h(z) : \quad (3.45)$$

ինչպես արդեն նշվել է §3.1-ում ((3.10) բանաձև), $\eta^{(3)}$ -ը π փուլով շեղված է $\chi^{(1)}$ -ի նկատմամբ, նշանակում է՝ $\eta_0^{(3)} > 0$, $\delta_h^{(3)} = \delta_h^{(1)} + \pi$: (3.36) սահմանային պայմաններից և շարժման ինտեգրալների (3.43) արտահայտության ներքին հետևում է, որ

$$\psi(0) = 0, \quad \cos(\gamma(0) + \delta_h^{(1)}) = 0 \Rightarrow \gamma(0) + \delta_h^{(1)} = \pi/2 : \quad (3.46)$$

(3.42)-ը, (3.44)-ը և (3.45)-ը տեղադրելով (3.37)-ի մեջ, դիֆրակցիայի հավասարումները կարող ենք ներկայացնել

$$\begin{aligned} \frac{d\gamma}{dz} + \frac{kI}{4 \cos \theta} \eta_0^{(3)} \cos 2\psi &= 0, \\ \frac{d\psi}{dz} + \frac{k}{2 \cos \theta} \left(\left| \chi_h^{(1)} \right| - \left| \eta_h^{(3)} \right| I \right) \sin(\gamma + \delta_h^{(1)}) &= 0 \end{aligned} \quad (3.47)$$

համակարգի տեսքով, իսկ շարժման ինտեգրալները՝

$$\rho_0(z)^2 + \rho_h(z)^2 = I, \quad q \cos(\gamma + \delta_h^{(1)}) + \sin 2\psi = 0, \quad (3.48)$$

հավասարումներով, որոնցից վերջինում $q = 4 \left(\left| \chi_h^{(1)} \right| - \left| \eta_h^{(3)} \right| I \right) / \mathcal{I} \chi_0^{(3)}$:

Բևեռացվել ինքնակիրառված մոդելի օգտագործումը հիմնավորված է, եթե $\left| \chi_h^{(1)} \right| \geq \left| \eta_h^{(3)} \right| I$ և $\left| \chi_0^{(3)} \right| \geq \eta_0^{(3)} I$, այսինքն, երբ $q \geq 0$:

(3.48)-ի երկրորդ և (3.47)-ի առաջին հավասարումներից հետևում է

$$\frac{\alpha Y}{dz} + \frac{kI}{4 \cos \theta} n_0^{(3)} \sqrt{1 - 16 \left(\left| \chi_h^{(a)} \right| - \left| n_h^{(3)} \right| I \right)^2 \cos^2 (\gamma + \delta_h^{(a)}) / (n_0^{(3)})^2} = 0 \quad (3.49)$$

հավասարումը γ -ի համար, որի (3.46) սահմանային պայմաններին բավարարող լուծումը արտահայտվում է էլիպտական ֆունկցիաներով [230].

$$\cos(\gamma + \delta_h^{(a)}) = \begin{cases} \frac{1}{q} \operatorname{sn} \left(\frac{2\pi z}{\Lambda}, \frac{1}{q} \right), & q \geq 1 \\ \operatorname{sn} \left(\frac{2\pi z}{\Lambda_0}, q \right), & 0 \leq q \leq 1 \end{cases} \quad (3.50)$$

$\operatorname{sn}(\gamma, a)$ -ն Յակոբիի սինուս-էլիպտական ֆունկցիան է,

$$\Lambda = \frac{\Lambda^L}{1 - I_1}, \quad \Lambda_0 = \frac{\Lambda^L}{\alpha I_1}, \quad \Lambda^L = \frac{\lambda \cos \theta}{\left| \chi_h^{(a)} \right|}, \quad (3.51)$$

Λ^L -ը գծային տեսության էքստրեմալներն են [8,9],
 $\alpha = \left| \chi_0^{(a)} \right| / 4 \left| \chi_h^{(a)} \right|$,

$$I_1 = \frac{3I}{I_{cr}}, \quad I_{cr} = 3 \frac{\left| \chi_h^{(a)} \right|}{\left| n_h^{(3)} \right|} = 3 \frac{\left| \chi_0^{(a)} \right|}{\left| n_0^{(3)} \right|}, \quad (3.52)$$

որտեղ կրիտիկական ուժգնությունը՝ $I_{cr} = E_{cr}^2$ (տես (3.17)): Սահմանման համաձայն՝ $q = (1 - I_1) / \alpha I_1$, և $I_1 \leq 1$, քանի որ $q \geq 0$: $q \geq 1$ տիրույթին համապատասխանում է ուժգնությունների $0 \leq I_1 \leq 1 / (1 + \alpha)$ տիրույթը, իսկ $0 \leq q \leq 1$ տիրույթին՝ $1 / (1 + \alpha) \leq I_1 \leq 1$ տիրույթը: Անհրաժեշտ է նշել, որ (3.47)-ի երկրորդ հավասարման գծային բևեռացվելիությունը վերանորմավորվում է՝ $\left| \chi_h^{(a)} \right| \Rightarrow \left| \chi_h^{(a)} \right| - \left| n_h^{(3)} \right| I$ և առաջանում է արդյունաբար ինքնամակածված և ընկնող ալիքի ուժգնություններից կախված բևեռացվելիություն: Երբ $I = I_{cr} / 3$, $I_1 = 1$, արդյունաբար բևեռացվելիությունը հավասարվում է զրոյի, և չկլանող բյուրեղում ցրումը դիֆրակցիայի ուղղությամբ բացակայում է: Ըստ q -ի սահմանման՝ $I_1 = 1 / (1 + \alpha)$ արժեքի դեպքում $q = 1$ և արդյունաբար ցրումը դիֆրակցիայի ուղղությամբ հավասարվում է անցման ուղղությամբ ոչ գծային ցրմանը (տես (3.47)): Բյուրեղի ներսում դաշտի վարքն էապես փոխվում է: Ներմուծելով

$$I_{\text{ts}} = \frac{1}{1 + \alpha} \quad (3.53)$$

պարամետրը և օգտագործելով (3.44), (3.48) և (3.50) առնչությունները, ստանում ենք.

$$\rho_0 = \begin{cases} \sqrt{\frac{I}{2}} \left(1 + \operatorname{cn} \left(\frac{2\pi z}{\Lambda^L} (1 - I_1), \frac{\alpha I_1}{(1 - I_1)} \right) \right)^{1/2}, & 0 \leq I_1 \leq I_{\text{ts}}, \\ \sqrt{\frac{I}{2}} \left(1 + \operatorname{dn} \left(\frac{2\pi z \alpha I_1}{\Lambda^L}, \frac{(1 - I_1)}{\alpha I_1} \right) \right)^{1/2}, & I_{\text{ts}} \leq I_1 \leq 1, \end{cases} \quad (3.54)$$

և

$$\rho_h = \begin{cases} -\sqrt{\frac{I}{2}} \left(1 - \operatorname{cn} \left(\frac{2\pi z}{\Lambda^L} (1 - I_1), \frac{\alpha I_1}{(1 - I_1)} \right) \right)^{1/2}, & 0 \leq I_1 \leq I_{\text{ts}}, \\ -\sqrt{\frac{I}{2}} \left(1 - \operatorname{dn} \left(\frac{2\pi z \alpha I_1}{\Lambda^L}, \frac{(1 - I_1)}{\alpha I_1} \right) \right)^{1/2}, & I_{\text{ts}} \leq I_1 \leq 1, \end{cases} \quad (3.55)$$

որտեղ $\operatorname{dn}(y, a) = \sqrt{1 - a^2 \operatorname{sn}^2(y, a)}$ -ն Յակոբիի dn -էլիպտական ֆունկցիան է, իսկ $\operatorname{cn}(y, a)$ -ն Յակոբիի կոսինուս-էլիպտական ֆունկցիան:

§3.2.2. Ոչ գծային ճոճամակային երևույթ

(3.54) և (3.55) լուծումներից հետևում է, որ, ինչպես և գծային տեսությամբ, բյուրեղում անցած և դիֆրակտված ալիքները պարբերաբար փոխանակվում են էներգիաներով: Յակոբիի սինուս-և կոսինուս-ֆունկցիաների պարբերությունը $4K$ է, իսկ Յակոբիի dn ֆունկցիայինը՝ $2K$, որտեղ K -ն առաջին սեռի լրիվ էլիպտական ֆունկցիան է [230]: Իր առաջին արգումենտի $(2n + 1)K$ արժեքների դեպքում Յակոբիի կոսինուս-ֆունկցիան հավասարվում է զրոյի, $4nK$ արժեքների դեպքում՝ 1-ի, $(2n + 1)2K$ արժեքների դեպքում՝ -1-ի ($n = 0, 1, 2, \dots$): Անցած և դիֆրակտված ալիքների ուժգնությունները՝ $I_0 = \rho_0^2$ և $I_h = \rho_h^2$: Ըստ սահմանման՝ անցման գործակիցը՝

$$T(z, I_1) = \frac{I_0}{I_1} = \begin{cases} \frac{1}{2} \left(1 + \operatorname{cn} \left(\frac{2\pi z}{\Lambda^L} (1 - I_1), \frac{\alpha I_1}{(1 - I_1)} \right) \right), & 0 \leq I_1 \leq I_{\text{ts}}, \\ \frac{1}{2} \left(1 + \operatorname{dn} \left(\frac{2\pi z \alpha I_1}{\Lambda^L}, \frac{(1 - I_1)}{\alpha I_1} \right) \right), & I_{\text{ts}} \leq I_1 \leq 1, \end{cases} \quad (3.56)$$

իսկ անդրադարձման գործակիցը՝

$$R(z, I_1) = \frac{I_1}{I_1} = \begin{cases} \frac{1}{2} \left(1 - \operatorname{cn} \left(\frac{2\pi z}{\Lambda^L} (1 - I_1), \frac{\alpha I_1}{(1 - I_1)} \right) \right), & 0 \leq I_1 \leq I_{1ts}, \\ \frac{1}{2} \left(1 - \operatorname{dn} \left(\frac{2\pi z \alpha I_1}{\Lambda^L}, \frac{(1 - I_1)}{\alpha I_1} \right) \right), & I_{1ts} \leq I_1 \leq 1: \end{cases} \quad (3.57)$$

Երբ $q \geq 1$, այսինքն, երբ $0 \leq I_1 \leq 1/(1+\alpha)$, (3.57) առնչություն համաձայն անդրադարձման գործակիցն ընդունում է իր առաջին առավելագույն արժեքը, երբ $2\pi z/\Lambda = 2K(1/q)$, այսինքն՝ $z = \Lambda^{NL}/2 = \Lambda K(1/q)/\pi$ խորությունում: Այդ նույն խորությունում (3.56)-ից հետևում է, որ անցման գործակիցը գրո է: Յետևաբար՝ ներմուծված ոչ գծային էքստրակցիոն երկարությունը կորոշվի

$$\Lambda^{NL} = \frac{2\Lambda}{\pi} K\left(\frac{1}{q}\right) = \frac{2\Lambda^L}{\pi(1-I_1)} K\left(\frac{\alpha I_1}{(1-I_1)}\right) \quad (3.58)$$

առնչությամբ: Գծային տեսությունում $q \rightarrow \infty$ ($I_1 \rightarrow 0$), $K(0) = \pi/2$, և դիֆրակտված ալիքի ուժգնության առաջին առավելագույն արժեքն ստացվում է $z = \Lambda^L/2$ խորությունում: Այսպիսով՝ ոչ գծային էքստրակցիոն երկարությունը, ի տարբերություն գծայինի, կախված է ընկնող ալիքի ուժգնությունից և ձգտում է գծային տեսության էքստրակցիոն երկարության արժեքին ընկնող ալիքի փոքր ուժգնությունների դեպքում: $1/q$ -ն, այսինքն՝ ընկնող ալիքի ուժգնության արժեքը մեծացնելիս, Λ -ն և $K(1/q)$ -ն աճում են, այնպես որ (3.58) ոչ գծային էքստրակցիոն երկարությունն աճում է: Երբ $q = 1$, այսինքն՝ $I_1 = 1/(1+\alpha)$, $K(1) = \infty$, $\Lambda^{NL} = \infty$ և $\operatorname{cn}(2\pi z/\Lambda, 1) = 1/\operatorname{ch}(2\pi z/\Lambda)$: Այդ դեպքում անցնող ալիքի ուժգնությունը, սկսելով $z=0$ -ում I արժեքից, մոնոտոն նվազելով՝ ձգտում է $I/2$ -ի երբ $z \rightarrow \infty$, իսկ դիֆրակտվածինը՝ $z=0$ -ում 0 արժեքից մոնոտոն աճելով՝ ձգտում է $I/2$ -ի երբ $z \rightarrow \infty$:

Նմանատիպվերլուծությունից հետևում է, որ

$$\Lambda^{NL} = \frac{2\Lambda_0 K(q)}{2\pi} = \frac{2\Lambda^L K\left(\frac{1-I_1}{\alpha I_1}\right)}{2\pi \alpha I_1} \quad (3.59)$$

մեծությունը ոչ գծային էքստրակցիոն երկարությունն է $0 \leq q \leq 1$ տիրույթում: $I_1 = 1/(1+\alpha)$ արժեքի դեպքում $\Lambda^{NL} = \infty$: Սկսած $I_1 = 1/(1+\alpha)$

արժեքից, ուժգնությունը մեծացնելիս Λ_0 -ն և $K(Q)$ -ն նվազում են, այնպես որ ոչ գծային (3.59) էքստրեմալությունը նվազում է՝ ուժգնության $I_1=1$ արժեքի դեպքում հասնելով է իր նվազագույն՝ $\Lambda^L/2\alpha$ արժեքին :

§3.2.3. Ոչ գծային ճոճանակային երևույթի նոր տեսակ

Գծային տեսությունում բյուրեղի հաստության սկզբնական արժեքի դեպքում անցման և անդրադարձման գործակիցները հաստատուն են և կախված չեն ընկնող ալիքի ուժգնությունից: Սկզբնական հաստությամբ ոչ գծային բյուրեղում այդ գործակիցներն ընկնող ալիքի ուժգնության պարբերական ֆունկցիաներ են: Դա հետևում է (3.56) և (3.57) բանաձևերից, որոնցում առկա Յակոբիի էլիպտիկական ֆունկցիաները պարբերական են ըստ առաջին արգումենտի և մոնոտոն՝ ըստ երկրորդի, ուստի ուժգնությունների $0 \leq I_1 \leq I_{1s}$ տիրույթում, անցման գործակիցն ունի մաքսիմում, երբ

$$I_n = 1 - \frac{2nK\left(\frac{\alpha I_n}{1-I_n}\right)\Lambda^L}{\pi z}, \tag{3.60}$$

իսկ անդրադարձման գործակիցն ունի մաքսիմում, երբ

$$I_n = 1 - \frac{\left(n + \frac{1}{2}\right)2K\left(\frac{\alpha I_n}{1-I_n}\right)\Lambda^L}{\pi z}, \tag{3.61}$$

որտեղ n -ն այնպիսի ամբողջ թիվ է, որ (3.60)-ի և (3.61)-ի աջ մասերը դրական են: Պարբերությունները ֆունկցիա են դիտման կետի խորությունից և ուժգնությունից: Եթե K ֆունկցիայի արգումենտը զրո է, ապա $K(0) = \pi/2$, ուստի (3.60) և (3.61) բանաձևերից հետևում է, որ ուժգնության փոքր արժեքների դեպքում երկու գործակիցների պարբերությունները տրվում են նույն՝

$$\Lambda_I^{NL} \approx \frac{\Lambda^L}{z} \tag{3.62}$$

առնչությամբ, որի համաձայն՝ z -ը մեծացնելիս պարբերությունը նվազում է: Նշանակում է՝ ոչ գծային երևույթներ կարելի է դիտել նաև փոքր ուժգնությունների դեպքում, եթե բյուրեղը բավականաչափ հաստ է: Մեծ՝ $1/(1+\alpha) \leq I_1 \leq 1$ ուժգնությունների

տիրույթում (3.56)-ի և (3.57) բանաձևերից հետևում է, որ անցման գործակցի մաքսիմումները որոշվում են

$$I_n = \frac{nK \left(\frac{1-I_n}{\alpha I_n} \right) \Lambda^L}{\pi z \alpha}, \quad (3.63)$$

իսկ անդրադարձման գործակցի մաքսիմումները՝

$$I_n = \frac{\left(n + \frac{1}{2} \right) K \left(\frac{1-I_n}{\alpha I_n} \right) \Lambda^L}{\pi z \alpha} \quad (3.64)$$

պայմաններից ($n = 0, 1, 2, \dots$): Ուժգնության $I_1 \approx 1/(1+\alpha)$ արժեքների դեպքում լրիվ էլիպտական ֆունկցիայի արգումենտը մոտ է 1-ի, իսկ ֆունկցիան ձգտում է անվերջության: Ուժգնության մեծացմանը զուգընթաց պարբերությունն աճում է, իսկ բյուրեղի հաստությունը մեծացնելիս՝ նվազում: Երբ $I_1=1$, լրիվ էլիպտական ֆունկցիայի արգումենտը գրո է, իսկ արժեքը՝ $\pi/2$ և երկու գործակիցների պարբերությունն այդ տիրույթում որոշվում է միևնույն արտահայտությամբ՝

$$\Lambda_I^{NL} \approx \frac{\Lambda^L}{2z\alpha}: \quad (3.65)$$

§3.2. 4. Թվային հաշվարկ և օրինակի քննարկում

Ոչ գծային դիֆրակցիայի վրա Բրեգի անկյուններից շեղման և կլանման ազդեցությունն ուսումնասիրելու համար կատարենք թվային հաշվարկ: Կլանման ազդեցությունն ուսումնասիրելիս դինամիկական դիֆրակցիայի պայմաններում ուժգնության կլանումը համեմատում են միալիքային դեպքում ուղիղ անցած ալիքի կլանման հետ: Պետք է հաշվի առնել նաև, որ կլանող բյուրեղում (3.39) շարժման ինտեգրալները չեն պահպանվում:

Լուծենք (3.37) հավասարումները միալիքային դեպքում՝ $F_h(z)=0$: Բազմապատկելով (3.37)-ի առաջին հավասարումը F_0^* -ով, իսկ այդ հավասարման կոմպլեքս համալուծը՝ F_0 -ով և ստացված առաջին հավասարումից հանելով երկրորդ ստացված հավասարումը՝ կստանանք ալիքի տարածման ընթացքում ուժգնության փոփոխման հավասարումը՝

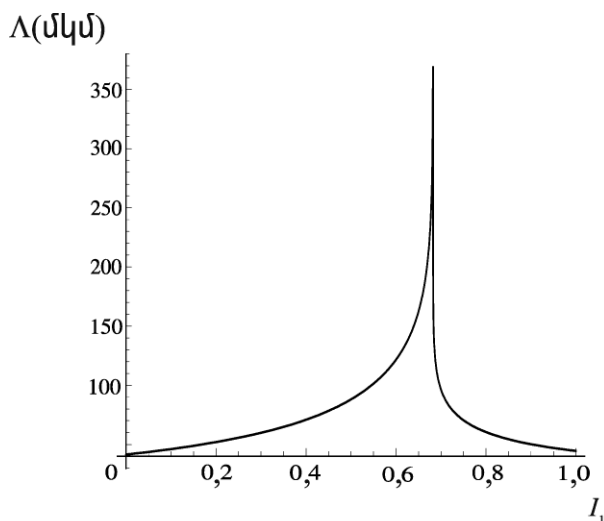
$$\frac{d|F_0|^2}{dz} = -2\pi\beta^{(1)}\varepsilon_0^{(3)} \exp(-\mu'z)|F_0|^4, \quad (3.66)$$

որտեղ $\beta^{(1)} = |\chi_{0z}^{(1)}| / |\chi_{hz}^{(1)}| = 4\alpha$, $\varepsilon_0^{(3)} = \eta_{0i}^{(3)} / \eta_{0z}^{(3)}$, ընդ որում l այնույնները նորմավորված են $\sqrt{I_{cr}/3}$ -ով, ուժգնությունները՝ $I_{cr}/3$ -ով, z խորությունը՝ գծային էքստինկցիոն Λ^L երկարությամբ, իսկ $\mu' = 2\pi\chi_{0i}^{(1)} / |\chi_{hz}^{(1)}| = \mu\Lambda^L$: Լուծելով (3.66) հավասարումը՝ կլանող միջավայրում միալիքային դեպի անցման գործակցի համար կստանանք.

$$T_0(z, I_1) = \frac{|F_0(z, I_1)|^2}{I_1} \exp(-\mu'z) = \frac{\mu'}{\mu' + 2\pi\beta^{(1)}\varepsilon_0^{(3)} I_1 [1 - \exp(-\mu'z)]} \exp(-\mu'z): \quad (3.67)$$

(3.66)-ից հետևում է, որ ոչ գծային միալիքային դեպքում նվազումն ըստ խորության ավելի արագ է, քան գծային դեպքում (էքստենցիալ նվազում):

1. Թվային հաշվարկները կատարենք նախ բարակ բյուրեղի դեպքում, երբ կլանումը փոքր է, և թվային հաշվարկի արդյունքներն հնարավոր է համեմատել ստացված ճշգրիտ լուծումների հետ: Հայտնի են դեպքեր, երբ 2κ անդրադարձումն արգելված է: Կենտրոնա համաչափ բյուրեղի համար (111), (311), (331), (333) անդրադարձումներին համապատասխանող երկրորդ կարգի (222), (622), (662), (666) անդրադարձումներն արգելված են, և այս անդրադարձումների համար ճիշտ Բրեգի տակ ընկնող ալիքի դեպքում չկլանող բյուրեղում ճշգրիտ լուծումը հայտնի է: Որպես օրինակ դիտարկենք



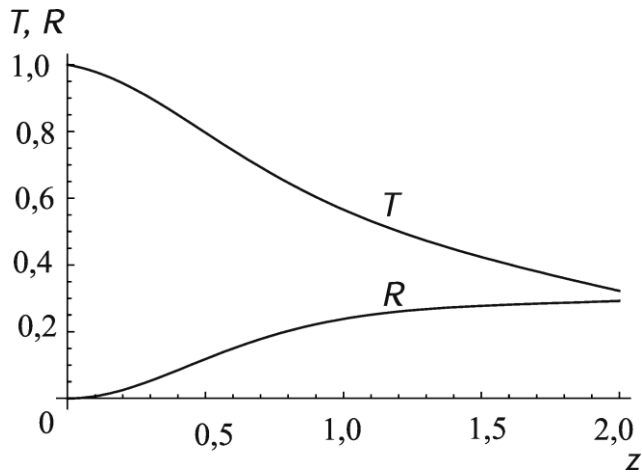
Նկ.3.3. Երրորդ կարգի ոչ գծային էքստինկցիոն երկարության

կախումն ընկնող ալիքի ու ժգնությունից

Si(111) անդրադարձումը, երբ ալիքի երկարությունը՝ $\lambda = 0,71\text{Å}$, և ընդունենք, որ $\varepsilon_0^{(3)} = 0,01$, որը մոտավորապես հավասար է գծային դեպքի նույն մեծությանը: $z = 2$ խորության համար $\mu'z = 0,12$, և ուստի կարելի է թվային հաշվարկից ստացված արդյունքը համեմատել ճշգրիտ ստացված լուծման հետ:

Նկ.3.3-ում պատկերված է ոչ գծային էքստինկցիոն երկարության (3.58) և (3.59) արտահայտությունների հիման վրա ստացված երրորդ կարգի ոչ գծային էքստինկցիոն երկարության կախումն ընկնող ալիքի ու ժգնությունից: Նկ.3.1-ում $I_1 = 0,03$ դեպքի և Si(220) անդրադարձման համար թվային հաշվարկով ստացվել ցույց է տրվել ոչ գծային ճոճանակային երևույթն անդրադարձման գործակիցի համար, որի վարքը համապատասխանում է ճշգրիտ լուծման արդյունքին, այսինքն՝ դիտվում են էքստինկցիոն տատանումներ, որոնց պարբերությունը մեծ է գծային տեսության էքստինկցիոն երկարությունից:

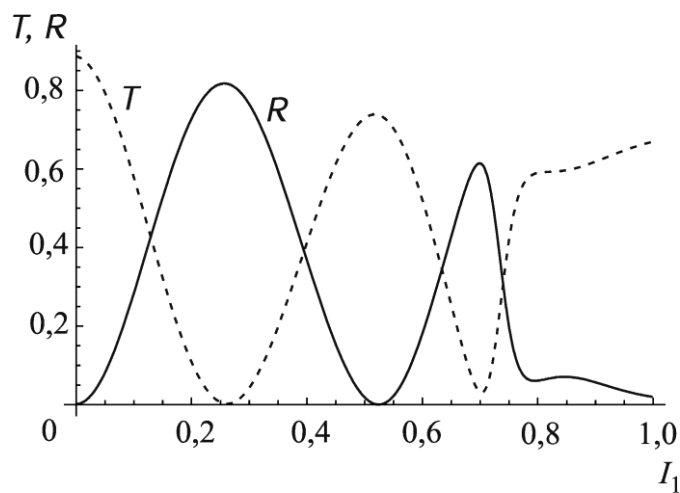
Նկ.3.4-ում պատկերված են երրորդ կարգի ոչ գծային անցման և անդրադարձման գործակիցների՝ թվային հաշվարկի հիման վրա ստացված կախումները խորությունից, երբ ալիքն ընկնում է ճիշտ Բրեգի անկյան տակ, և $I_1 = 1,13I_{1rs} = 0,76$: Նկարից երևում է, որ էքստինկցիոն տատանումները բացակայում են, անցման գործակիցը մոնոտոն նվազում է, իսկ անդրադարձման գործակիցը՝ մոնոտոն աճում, ընդ որում դրանց արժեքները մոտենում են մի արժեքի, որը ճշգրիտ



Նկ.3.4. Երրորդ կարգի ոչ գծային անցման (T) և անդրադարձման (R) գործակիցների կախումները խորուշյունից ընկնող ալիքի ուժգնության անցումային արժեքի համար (թվային հաշվարկ)

լուծման համաձայն պետք է լիներ 0,5: Սակայն կլանման հետևանքով նախ՝ էքստինկցիոն տատանումները բացակայում են ոչ թե $I_1 = I_{1ts}$ արժեքի, այլ՝ $I_1 = 1,13I_{1ts}$ դեպքում և, բացի այդ, անդրադարձման գործակից ընդհանուր հաստատված արժեքը փոքր է 0,5-ից:

Նկ.3.5-ում պատկերված են ոչ գծային անցման և անդրադարձման գործակիցների կախումներն ընկնող ալիքի ուժգնության ունից $\Delta\theta = 0$ և բյուրեղի սկեռված $z = 2$ հաստության դեպքում: Դրանք պարբերական վարք ունեն, մինչդեռ գծային դեպքում հաստատուն են: Ընկնող ալիքի՝ անցումային I_{1ts} -ին մոտ ուժգնության ունից մեծ ար-

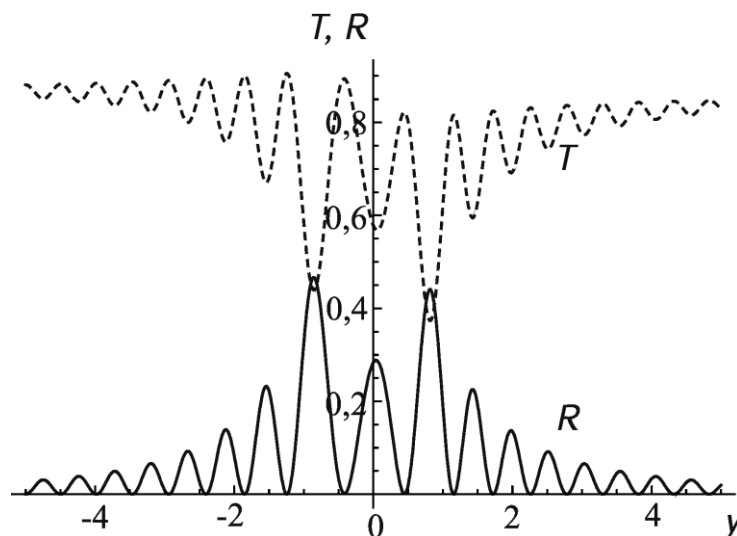


Նկ.3.5. Բարակ բյուրեղի ոչ գծային անցման (կետագիծ) և անդրադարձման (հոծ գիծ) գործակիցների կախումներն ընկնող ալիքի ուժգնության ունից (թվային հաշվարկ) ժեքների համար անդրադարձած ալիքի ուժգնության ունը ձգտում է

գրոյի, և մնում է մի-այն անցած ալիքը: Այսպիսով՝ թվային հաշվարկի արդյունքը համընկնում է տեսական կանխատեսման հետ:

Նկ.3.6-ում պատկերված են անցման և անդրադարձման գործակիցների կախումները Բրեգի անկյունից շեղման $y = \Delta\theta \sin 2\theta / |\chi_{zz}^{(1)}|$ պարամետրից, երբ $I_1 = 0,1$ և $z = 2$: Տվյալ դեպքում $y = 1$ արժեքին համապատասխանում է $\Delta\theta = 1,56^\circ$ շեղման անկյուն: Ինչպես երևում է նկարից, ի տարբերություն գծային դեպքի, անդրադարձման ճոճման կորը ոչ գծային դեպքում անհամաչափ է, և երկու կորերն էլ շեղված են դեպի դրական y -ները: $y = 0$ կետի շուրջը մինիմումի փոխարեն անդրադարձման կորի վրա ուժգնությամբ նկատելիորեն աճում է ոչ գծային էքստրեմալներ երկարության՝ գծայինից տարբերվելու հետևանքով: Ինչպես ցույց են տալիս հաշվարկները, ուժգնության հետագա մեծացմանը զուգընթաց կորերը տեղաշարժվում են բացասական y -ների տիրույթ, և դիտվում է երկու կորերի կիսալայնությունների նվազում:

2. Դիտարկենք $\text{Si}(20)$ անդրադարձման և նույն ալիքի երկարության դեպքում հաստ կլանող բյուրեղ, ենթադրելով, որ $\epsilon_0^{(3)} = 0,01$, $z = 74$, $\mu'z = 4$: Նկ.3.7-ում պատկերված է անցման գործակիցի կախումը խորությունից, երբ $I_1 = 0,1$ և $\Delta\theta = 0$: Չամեմատության համար պատկերված է նաև (3.67) անցման գործակիցը միալիքային դեպքում: Սկսած ինչ-որ հաստությունից, կլանումը դինամիկական դիֆրակցիայի պայմաններում



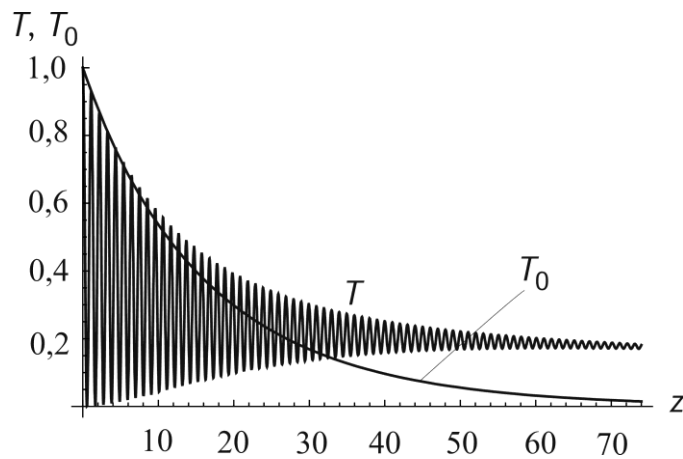
Նկ.3.6. Բարակ բյուրեղի ոչ գծային ճոճման կորերն անցած (կետագիծ) և դիֆրակտված (հոծ գիծ) ալիքների համար (թվային

հաշվարկ)

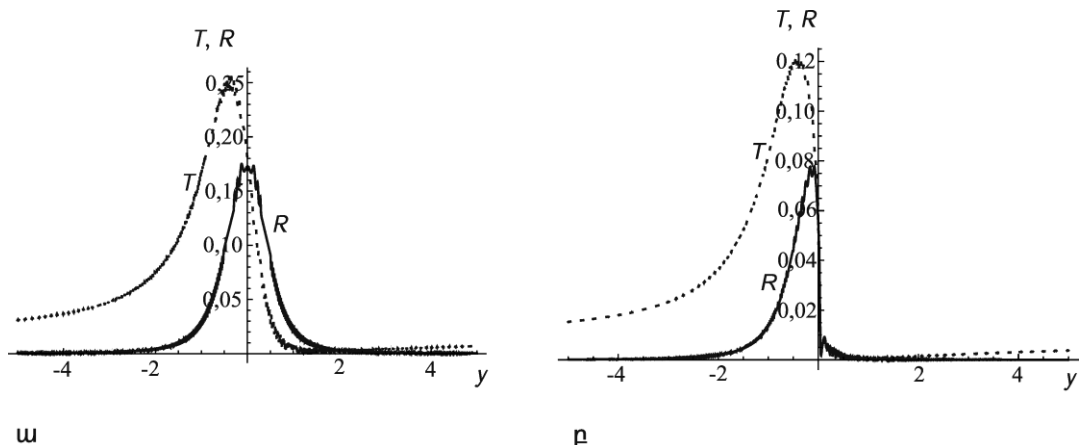
ավելի փոքր է, քան միալիքային դեպքում, այսինքն՝ ոչ գծային դեպքում էլ տեղի ունի Բորմանի երևույթը:

Նկ.3.8. առում պատկերված են անցած և անդրադարձած ալիքների ճոճման կորերը $I_1=0,1$ արժեքի համար: Դիտարկվող անդրադարձման համար $y=1$ արժեքին համապատասխանում է $\Delta\theta=1,08''$ շեղման անկյուն: Ինչպես երևում է նկ.3.8. աից, Բորմանի երևույթի հետևանքով անդրադառնում են Բրեգի պայմանին մոտ շեղման պարամետրերով ալիքները: Համեմատած գծային տեսությամբ հետայդ արժեքը շեղված է դեպի բացասական y -ների կողմը: Առավելագույն արժեքները նվազում են: Ի տարբերություն գծային դեպքի, անդրադարձման կորը ոչ գծային դեպքում անհամաչափ է, իսկ անցման կորը, ինչպես և գծային դեպքում, անհամաչափ է: Անցման կորի անհամաչափությունը ոչ գծային դեպքում նույնպես խոսում է Բորմանի երևույթի առկայության մասին [8,9]:

Անդրադարձման կորի կիսալայնությունը ընկնող ալիքի ուժգնության աճին գուգընթաց նվազում է: Ե՛վ անցած, և՛ անդրադարձած ալիքների համար դիտվում է այդ մեծության էական նվազում: Նշված օրինաչափությունները $I_1=0,7$ արժեքի համար ցույց են տրված նկ.3.8.բ-ում, որից ակնհայտ է, որ կորերի կիսալայնությունները գրեթե կրկնակի նվազել են, և անդրադառնում են միայն բացասական y -ներով ալիքները: Ե՛վ բարակ, և՛ հաստ կլանող բյուրեղի դեպքում այս օրինաչափությունները բացատրվում են, Բրեգի անկյունից շեղման պարամետրի վերանորմավորմամբ՝ ոչ գծային միջավայ -



Նկ.3.7. Հաստկլ անող բյուրեղում ոչ գծային դինամիկական դիֆուզիայի անցման գործակցի (T) և միալիքային ոչ գծային անցման գործակցի (T_0) կախումները խորու թյունից (թվային հաշվարկ):



Նկ.3.8. Հաստկլ անող բյուրեղի ոչ գծային ճոճման կորերն անցած (կետագիծ) և դիֆուզիված (հոծ գիծ) ալիքների համար ընկնող ալիքի ու ժգնության ω $I_1 = 0,1$, ρ $I_1 = 0,7$ արժեքների համար (թվային հաշվարկ)

րում ալիքը տարածվում և դիֆուզիվում է ինքնամակածված Բրեգի անկյունից շեղման պարամետրով միջավայրում: Սակարելի է նաև բացատրել, համարելով որ ալիքը տարածվում է ինքնամակածված, ալիքի ու ժգնության ունից կախված բևեռացվել իր թյամբ միջավայրում:

§3.3. Ռենտգենյան հարթալիքային դիֆուզիայի երևույթները երրորդ կարգի ոչ գծային ռեզոնանսի բրեգի դեպք

Ստորև, Տակագիի երրորդ կարգի ոչ գծային (3.31) և (3.37) հավասարումների օգնությամբ տեսականորեն ուսումնասիրվել է ընկնող σ -բևեռացմամբ մեներանգ հարթ ալիքի Բրեգի երկրաչափությամբ երրորդ կարգի ոչ գծային դինամիկական դիֆուզիան կատարյալ բյուրեղում:

§3.3. 1. Վերլուծական դիտարկում

Ել եկտրական դաշտի վարվածությունը մուտքի $z=0$ մակերևույթին տրվում է (3.33) արտահայտությամբ $\sin\theta^{(i)} \rightarrow \cos\theta^{(i)}$: Լայնությունը բյուրեղի ներսում փնտրենք (3.34) տեսքով: Սահմանային պայմանները մուտքի $z=0$ և ելքի $z=T$ ելքի մակերևույթներին ունեն նույն տեսքը, ինչ գծային դիֆրակցիայի դեպքում [8,9].

$$E_0(x,0) = E_0^{(i)} \exp(-ik \sin\theta \Delta\theta x), \quad E_h(x,T) = 0 : \quad (3.68)$$

(3.33), (3.34) և (3.68) առնչություններից հետևում է, որ

$$F_0(0) = E_0^{(i)}, \quad F_h(T) = 0, \quad p = -k \sin\theta \left(\Delta\theta + \frac{\chi_0^{(i)}}{\sin 2\theta} \right) : \quad (3.69)$$

(3.34)-ը տեղադրելով (3.31)-ում՝ Բրեգի դեպքի համար կստանանք.

$$\begin{aligned} & 2ik \sin\theta \frac{dF_0}{dz} - 2kp \cos\theta F_0 + k^2 \left[\eta_0^{(3)} (|F_0|^2 + |F_h|^2) + \eta_h^{(3)} F_0 F_h^* + \eta_h^{(3)*} F_0^* F_h \right] F_0 + \\ & + k^2 \left[\chi_h^{(i)} + \eta_0^{(3)} F_0 F_h^* + \eta_h^{(3)} (|F_0|^2 + |F_h|^2) + \eta_{2h}^{(3)} F_0^* F_h \right] F_h = 0, \\ & -2ik \sin\theta \frac{dF_h}{dz} - 2kp \cos\theta F_h + k^2 \left[\eta_0^{(3)} (|F_0|^2 + |F_h|^2) + \eta_h^{(3)} F_0 F_h^* + \eta_h^{(3)*} F_0^* F_h \right] F_h + \\ & + k^2 \left[\chi_h^{(i)} + \eta_0^{(3)} F_0^* F_h + \eta_h^{(3)} (|F_0|^2 + |F_h|^2) + \eta_{2h}^{(3)} F_0 F_h^* \right] F_0 = 0 : \end{aligned} \quad (3.70)$$

Չկլանող բյուրեղում $\chi_h^* = \chi_h, \eta_{h,2h}^* = \eta_{h,2h}$, ուստի այս դեպքում նույնպես կարելի է գտնել շարժման երկու ինտեգրալ: Դրանցից առաջինն ստացվում է, երբ (3.70) հավասարումները բազմապատկում ենք F_0^* -ով և F_h^* -ով, իսկ (3.70)-ի կոմպլեքս համալուծ հավասարումները՝ $-F_0$ -ով և $-F_h$ -ով և ստացված հավասարումները՝ գումարում: Երկրորդ շարժման ինտեգրալն ստացվում է, երբ (3.70) հավասարումները բազմապատկում ենք dF_0^*/dz -ով և dF_h^*/dz -ով, իսկ (3.70)-ի կոմպլեքս համալուծ հավասարումները՝ dF_0/dz -ով և dF_h/dz -ով և ստացված հավասարումները՝ գումարում: Ստացված երկու շարժման ինտեգրալներն ունեն հետևյալ տեսքը՝

$$\begin{aligned} & |F_0(z)|^2 - |F_h(z)|^2 = \text{const} = C_1, \\ & -2kpI \cos\theta + 2k^2 \text{Re}[\chi_h^{(i)} F_0 F_h^*] + k^2 \frac{\eta_0^{(3)}}{2} (I^2 + 2|F_0|^2 |F_h|^2) + 2k^2 \text{Re}[\eta_h^{(3)} F_0 F_h^*] + \\ & + k^2 \text{Re}[\eta_{2h}^{(3)} F_0^2 F_h^{*2}] = \text{const} = C_2, \end{aligned} \quad (3.71)$$

որտեղ $I = |E_0|^2 + |E_h|^2$: Բրեգի երրորդ կարգի ոչ գծային դիֆրակցիան ուսումնասիրենք վերլուծական եղանակով՝ օգտվելով (3.70) հավասարումներից և (3.71) շարժման ինտեգրալներից: Լուծումը փնտրենք (3.42) կոմպլեքս տեսքով: (3.42)-ը տեղադրելով (3.70)-ում և անջատելով իրական ու կեղծ մասերը, կստանանք.

$$\begin{aligned}
 & 2k \sin \theta \frac{d\varphi_0}{dz} + 2kp \cos \theta - k^2 \eta_0^{(3)} (\rho_0^2 + 2\rho_h^2) + 2k^2 \rho_h \rho_0 |\eta_h^{(3)}| \cos(\gamma + \delta_h^{(1)}) - \\
 & \quad - k^2 \left(|\chi_h^{(1)}| - |\eta_h^{(3)}| \right) \mathcal{I} \cos(\gamma + \delta_h^{(1)}) \frac{\rho_h}{\rho_0} + k^2 |\eta_{2h}^{(3)}| \rho_h^2 \cos 2\gamma + \delta_{2h}^{(1)} = 0, \\
 & 2k \sin \theta \frac{d\rho_0}{dz} - k^2 \rho_h \left(|\chi_h^{(1)}| - |\eta_h^{(3)}| \right) \mathcal{I} \sin(\gamma + \delta_h^{(1)}) + k^2 |\eta_{2h}^{(3)}| \rho_0 \rho_h^2 \sin 2\gamma + \delta_{2h}^{(1)} = 0, \\
 & 2k \sin \theta \frac{d\varphi_h}{dz} - 2kp \cos \theta + k^2 \eta_0^{(3)} (2\rho_0^2 + \rho_h^2) - 2k^2 |\eta_h^{(3)}| \rho_0 \rho_h \cos(\gamma + \delta_h^{(1)}) + \\
 & \quad + k^2 \left(|\chi_h^{(1)}| - |\eta_h^{(3)}| \right) \mathcal{I} \cos(\gamma + \delta_h^{(1)}) \frac{\rho_0}{\rho_h} - k^2 |\eta_{2h}^{(3)}| \rho_0^2 \cos 2\gamma + \delta_{2h}^{(1)} = 0, \\
 & 2k \sin \theta \frac{d\rho_h}{dz} - k^2 \rho_0 \left(|\chi_h^{(1)}| - |\eta_h^{(3)}| \right) \mathcal{I} \sin(\gamma + \delta_h^{(1)}) + k^2 |\eta_{2h}^{(3)}| \rho_0^2 \rho_h \sin 2\gamma + \delta_{2h}^{(1)} = 0,
 \end{aligned} \tag{3.72}$$

որտեղ $\gamma(z) = \varphi_0(z) - \varphi_h(z)$, իսկ $\delta_h^{(1)}$ -ը և $\delta_{2h}^{(1)}$ -ը $\chi_h^{(1)}$ -ի և $\chi_{2h}^{(1)}$ -ի փոփոխություններն են: (3.72)-ում հաշվի է առնվել, որ $\eta_h^{(3)}$ -ի և $\eta_{2h}^{(3)}$ -ի փոփոխությունը $\chi_h^{(1)}$ -ի և $\chi_{2h}^{(1)}$ -ի փոփոխության կատարյալ շեղված են π -ով: (3.34)-ը տեղադրելով (3.71) շարժման ինտեգրալների մեջ՝ դրանք կարելի է ներկայացնել

$$\begin{aligned}
 & \rho_0^2 - \rho_h^2 = C_1, \\
 & -2kp \cos \theta I + 2k^2 \left(|\chi_h^{(1)}| - \mathcal{I} |\eta_h^{(3)}| \right) \rho_0 \rho_h \cos(\gamma + \delta_h^{(1)}) + k^2 \frac{\eta_0^{(3)}}{2} (I^2 + 2\rho_0^2 \rho_h^2) - \\
 & \quad - k^2 |\eta_{2h}^{(3)}| \rho_0^2 \rho_h^2 \cos 2\gamma + \delta_{2h}^{(1)} = C_2
 \end{aligned} \tag{3.73}$$

առնչ ու թյ ու ներքով: (3.69) սահմանային պայմաններից հետևում է, որ

$$\begin{aligned}
 & 0 \leq C_1 < I^{(i)} = |E_0^{(i)}|^2, \\
 & C_2 = -2pk \cos \theta C_1 + k^2 \frac{\eta_0^{(3)}}{2} C_1^2 :
 \end{aligned} \tag{3.74}$$

Յետագա վերլուծական դիտարկումը հնարավոր է արգելված շեղանդարաձման դեպքում, երբ (3.73)-ի և (3.74)-ի երկրորդ հավասարումներից հանգում ենք

$$\cos(\gamma + \delta_h^{(1)}) = \frac{(4p \cos \theta - 3k \rho_0^2 \eta_0^{(3)}) \rho_h}{2k \left(|\chi_h^{(1)}| - \mathcal{I} |\eta_h^{(3)}| \right) \rho_0} \tag{3.75}$$

առնչ ու թյ անը, որտեղից

$$\begin{aligned} \sin(\gamma + \delta_h^{(1)}) &= \pm \sqrt{1 - \cos^2(\gamma + \delta_h^{(1)})} = \\ &= \pm \frac{\sqrt{4k^2 \left(|\chi_h^{(1)}| - \eta_h^{(3)} \right)^2 \rho_0^2 - \left(4p \cos\theta - 3k\rho_0^2 \eta_0^{(3)} \right)^2 \rho_h^2}}{2k \left(|\chi_h^{(1)}| - \eta_h^{(3)} \right) \rho_0} : \end{aligned} \quad (3.76)$$

(3.76)-ը տեղադրելով (3.72)-ի մեջ, կստանանք՝

$$\begin{aligned} 4 \sin\theta \frac{d\rho_0}{dz} \mp \frac{\rho_h}{\rho_0} \sqrt{4k^2 \left(|\chi_h^{(1)}| - \eta_h^{(3)} \right)^2 \rho_0^2 - \left(4p \cos\theta - 3k\rho_0^2 \eta_0^{(3)} \right)^2 \rho_h^2} &= 0, \\ 4 \sin\theta \frac{d\rho_h}{dz} \mp \sqrt{4k^2 \left(|\chi_h^{(1)}| - \eta_h^{(3)} \right)^2 \rho_0^2 - \left(4p \cos\theta - 3k\rho_0^2 \eta_0^{(3)} \right)^2 \rho_h^2} &= 0, \end{aligned} \quad (3.77)$$

որտեղից օգտագործելով շարժման (3.73) ինտեգրալներից առաջինը՝ կստանանք առանձին հավասարումներ ρ_0 -ի և ρ_h -ի համար.

$$\begin{aligned} 4 \sin\theta \rho_0 \frac{d\rho_0}{dz} \mp \sqrt{\rho_0^2 - C_1} \times \\ \times \sqrt{4k^2 \left(|\chi_h^{(1)}| - \rho_0^2 - C_1 \right) \eta_h^{(3)} \right)^2 \rho_0^2 - \left(4p \cos\theta - 3k\rho_0^2 \eta_0^{(3)} \right)^2 (\rho_0^2 - C_1)} &= 0, \\ 4 \sin\theta \frac{d\rho_h}{dz} \mp \\ \mp \sqrt{4k^2 \left(|\chi_h^{(1)}| - \rho_h^2 + C_1 \right) \eta_h^{(3)} \right)^2 (\rho_h^2 + C_1) - \left(4p \cos\theta - 3k(\rho_h^2 + C_1) \eta_0^{(3)} \right)^2 \rho_h^2} &= 0 : \end{aligned} \quad (3.78)$$

(3.78) հավասարումների լուծումները կարելի է արտահայտել էլիպտական ֆունկցիաներով, բայց դրա համար անհրաժեշտ է իմանալ (3.78)-ում արմատատակ արտահայտությունների արմատների վերլուծական տեսքերը, որը դժվարացնում է խնդրի հետագա վերլուծական քննարկումը: Սակայն վերլուծական քննարկումը հնարավոր է լրիվ անդրադարձման տիրույթում, երբ շարժման առաջին ինտեգրալը՝ $C_1 = 0$, և (3.74)-ից հետևում է, որ $C_2 = 0$: Բացի այդ, (3.78)-ի երկու հավասարումները դառնում են նույնական: Դրանք ρ_0 -ով և ρ_h -ով բազմապատկելուց հետո բերվում են հետևյալ տեսքի.

$$2 \sin\theta \frac{d\rho_{0,h}^2}{dz} + \rho_{0,h}^2 \sqrt{4k^2 \left(|\chi_h^{(1)}| - 2\rho_{0,h}^2 \eta_h^{(3)} \right)^2 - \left(4p \cos\theta - 3k\rho_{0,h}^2 \eta_0^{(3)} \right)^2} = 0 : \quad (3.79)$$

“+” նշանի ընտրությունը հետևանք է այն պայմանի, որ լրիվ անդրադարձման տիրույթում լայնությունները պետք է խորությունը մեծացնելիս նվազեն: Իրական լուծում կստացվի, եթե արմատատակ արտահայտությունը լինի դրական: Այս պահանջը համատեղելի է մուտքի և ելքի մակերևույթներին սահմանային պայմանների հետ, եթե

$$4|p| \cos\theta < 2k|\chi_h^{(1)}|, \quad (3.80)$$

$$\left(2k|\chi_h^{(1)}| - 4p \cos\theta + 3\eta_0^{(3)} - 4|\eta_h^{(3)}|\right)kI^{(2)} \left(2k|\chi_h^{(1)}| + 4p \cos\theta - 3\eta_0^{(3)} + 4|\eta_h^{(3)}|\right)kI^{(2)} > 0 :$$

(3.80) առաջին առնչությունն ից հետևում է, որ $2k|\chi_h^{(1)}| \pm 4p \cos\theta$, որը լրիվ անդրադարձման պայմանն է ըստ գծային տեսության: Եթե $3\eta_0^{(3)} > 4|\eta_h^{(3)}|$, որը սովորաբար տեղի ունի, ապա (3.80)-ից հետևում է լրիվ անդրադարձման պայմանը՝

$$-2k|\chi_h^{(1)}| + k(3\eta_0^{(3)} + 4|\eta_h^{(3)}|)I^{(2)} < 4p \cos\theta < 2k|\chi_h^{(1)}| : \quad (3.81)$$

Այս պայմանից բխում է, որ լրիվ անդրադարձման տիրույթի կենտրոնը ոչ թե $p = 0$ -ն է, ինչպես գծային տեսությունում, այլ

$$p_c = \frac{k(3\eta_0^{(3)} + 4|\eta_h^{(3)}|)I^{(2)}}{8 \cos\theta} \quad (3.82)$$

մեծությունը, որը ֆունկցիա է ընկնող ալիքի ուժգնությունից: (3.81)-ի համաձայն՝ լրիվ անդրադարձման տիրույթի լայնությունը որոշվում է.

$$\Delta p = \frac{4k|\chi_h^{(1)}| - k(3\eta_0^{(3)} + 4|\eta_h^{(3)}|)I^{(2)}}{4 \cos\theta} \quad (3.83)$$

առնչությամբ, որն ավելի փոքր է, քան գծային տեսությունում և կախված է ընկնող ալիքի ուժգնությունից: Ոչ գծային դեպքում անդրադարձման տիրույթի լայնությունը՝ $\Delta p = 0$, ուժգնության $I_{\max}^{(i)}$ արժեքի դեպքում, որը որոշվում է $4|\chi_h^{(1)}| = (3\eta_0^{(3)} + 4|\eta_h^{(3)}|)I_{\max}^{(2)}$ առնչությունից: Եթե $4|\chi_h^{(1)}| < (3\eta_0^{(3)} + 4|\eta_h^{(3)}|)I^{(2)}$, ապա $I^{(i)} > I_{\max}^{(i)}$, և այդ ուժգնությունների համար լրիվ անդրադարձման տիրույթը բացակայում է:

Ներմուծենք Բրեգի պայմանից շեղման $y = \sin 2\theta (\Delta\theta + \chi_0^{(1)} / \sin 2\theta) / |\chi_h^{(1)}|$ պարամետրը (չկլանող բյուրեղի դեպքում այն իրական է): Օգտագործելով p -ի (3.69) սահմանումը (3.81)–(3.83) առնչություններից դժվար չէ որոշել լրիվ անդրադարձման պայմանը, լրիվ անդրադարձման տիրույթի կենտրոնը և տիրույթի լայնությունը՝ արտահայտված y -ով.

$$-1 < y < 1 - \frac{(\beta\eta_0^{(3)} + 4|\eta_h^{(3)}|)I^{(i)}}{2|\chi_h^{(1)}|}, y_c = -\frac{(\beta\eta_0^{(3)} + 4|\eta_h^{(3)}|)I^{(i)}}{4|\chi_h^{(1)}|}, \quad (3.84)$$

$$\Delta y = 2 - \frac{(\beta\eta_0^{(3)} + 4|\eta_h^{(3)}|)I^{(i)}}{2|\chi_h^{(1)}|} :$$

(3.84)-ից հետևում է, որ անդրադարձման տիրույթի $y_{\min} = -1$ եզրը նույնն է, ինչ գծային տեսությունում և կախված չէ ընկնող ալիքի ուժգնությունից: Անդրադարձման տիրույթի մյուս՝ $y_{\max} = 1 - (\beta\eta_0^{(3)} + 4|\eta_h^{(3)}|)I^{(i)} / 2|\chi_h^{(1)}|$ եզրն ընկնող ալիքի ուժգնության մոնոտոն նվազող գծային ֆունկցիա է, իսկ y_c կենտրոնը շեղված է դեպի բացասական y -ները, այսինքն՝ փոքր անկյունների տիրույթ: Լրիվ անդրադարձման տիրույթի $\Delta y = y_{\max} - y_{\min}$ և այնուհանդերձ ավելի փոքր է, քան գծային տեսությունում և ուժգնության մեծացմանը զուգընթաց նվազում է: Ուժգնության $I^{(i)} > I_{\max}^{(i)}$ արժեքների դեպքում, ինչպես արդեն նշվել է, ոչ գծային տեսությամբ ևրիվ անդրադարձման տիրույթը բացակայում է:

Ճոճման կորի այս առանձնահատկությունները կարելի է բացատրել և այնուհանդերձ փոփոխման (3.78) հավասարումների հիման վրա, որոնցում p շեղման պարամետրի փոխարեն մասնակցում է ինքնամակածված արդյունարար շեղման $p_{\text{eff}} = p - 3k\rho_0^2\eta_0^{(3)} / 4 \cos\theta$ պարամետրը, իսկ $\chi_h^{(1)}$ -ը փոխարինվում է ինքնամակածվածով՝ $\chi_{h\text{eff}} = |\chi_h^{(1)} - 2\rho_0^2\eta_h^{(3)}|$: Սանշանակում է, որ ալիքի տարածման ընթացքում, կախված ուժգնությունից, փոխվում է Բրեգի պայմանից շեղման պարամետրը: “-” նշանն առաջանում է երրորդ կարգի ոչ գծային և գծային բևեռացվելիությունների հակադիր նշաններից (գծային և ոչ գծային բևեռացվելիությունների փոփոխության անհամապատասխանություն): Ինչպես հետևում է p -ի (3.69) սահմանումից, $\Delta\theta$ անկյունային շեղումը փոխարինվում է արդյունարար շեղումով՝ $\Delta\theta_{\text{eff}} = \Delta\theta + 3\rho_0^2\eta_0^{(3)} / 2 \sin 2\theta$: Այսպիսով՝ դրական $(\Delta\theta + \chi_{0r}^{(1)} / \sin 2\theta)$ -ների դեպքում (դրական y_r -երի համար), արդյունարար շեղման պարամետրն աճում է, և փնջի անդրադարձումը թուլանում է, մինչդեռ բացասական $(\Delta\theta + \chi_{0r}^{(1)} / \sin 2\theta)$ -ների դեպքում

արդյուն-նարար շեղման պարամետրի բացարձակ արժեքը կարող է նվազել՝ առանց փնջի անդրադարձման թուլացման: $\chi_{h,eff}$ -ի արտահայտությունն ից հետևում է, որ ուժգնության աճը հանգեցնում է դիֆրակցիայի ուղղությամբ ցրման նվազման: Այս առանձնահատկությունները կարելի է բացատրել՝ դիտարկելով հաստատուն $\Delta\theta$, բայց ինքնամակածած արդյուն-նարար $\chi_{0,eff} = \chi_0^{(4)} + 3\rho_0^2 \eta_0^{(3)}/2$ և $\chi_{h,eff} = |\chi_h^{(4)} - 2\rho_{0,h}^2 \eta_h^{(3)}|$: Ի դեպ, $\chi_{h,eff} = 0$ երբ $|\chi_h^{(4)}| = 2\rho_{0,h}^2 |\eta_h^{(3)}|$:

(3.79) տարածման հավասարումը լուծենք անդրադարձած ալիքի համար լրիվ անդրադարձման տիրույթում: Դժվար չէ տեսնել, որ

$$\int \frac{d\rho_{0,h}^2}{\rho_{0,h}^2 \sqrt{a\rho_h^4 + b\rho_{0,h}^2 + c_1}} = -\frac{z}{2 \sin \theta} + \text{const}, \quad (3.85)$$

որտեղ

$$a = k^2 (16|\eta_h^{(3)}|^2 - 9\eta_0^{(3)2}), b = -4k^2 |\chi_h^{(4)}| (3y\eta_0^{(3)} + 4|\eta_h^{(3)}|), \quad c_1 = 4k^2 |\chi_h^{(4)}|^2 (1 - y^2): \quad (3.86)$$

(3.84)-ի առաջին պայմանի համաձայն՝ $c_1 > 0$: Օգտագործելով աղյուսակային ինտեգրալ [231], (3.85)-ից ստանում ենք.

$$\ln \frac{2c_1 + b\rho_h^2 + 2\sqrt{c_1(a\rho_h^4 + b\rho_h^2 + c_1)}}{c_3\rho_h^2} = \frac{\sqrt{c_1}z}{2 \sin \theta}, \quad (3.87)$$

որտեղ c_3 -ը հաստատուն է: Ինչպես երևում է (3.87)-ից, լրիվ անդրադարձման տիրույթում այդպիսի լուծում հնարավոր է միայն կիսաանվերջ բյուրեղի համար, քանի որ $\rho_h^2 = 0$, երբ $z = T$: Մուտքի մակերևույթի վրա $\rho_h^2(0) = I^{(i)}$ սահմանային պայմանից և (3.87)-ից որոշվում $c_3 = \left| 2c_1 + bI^{(i)} + 2\sqrt{c_1(aI^{(i)2} + bI^{(i)} + c_1)} \right| / I^{(i)}$ հաստատունը, հետևյալ լուծումը.

$$\rho_h^2 = \pm \frac{4c_3 c_1 \exp\left(\frac{\sqrt{c_1}z}{2 \sin \theta}\right)}{\left(\pm c_3 \exp\left(\frac{\sqrt{c_1}z}{2 \sin \theta}\right) - b\right)^2 - 4c_1 a}: \quad (3.88)$$

$3\eta_0^{(3)} > 4|\eta_h^{(3)}|$ առնչությունն ից և a մեծության սահմանումից (տես (3.86)) հետևում է, որ $a < 0$: Հետևաբար՝ (3.88)-ում պետք է վերցնել “+”

նշանը, և այդ դեպքում

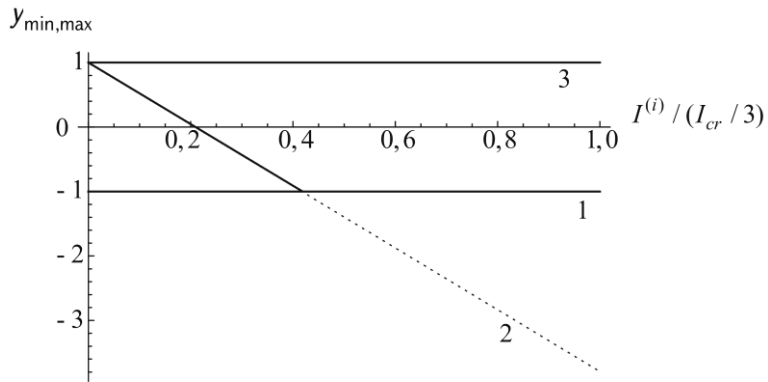
$$\rho_h^2 = \frac{4C_3 c_1 \exp\left(-\frac{z}{\tau}\right)}{\left(C_3 - b \exp\left(-\frac{z}{\tau}\right)\right)^2 - 4ac_1 \exp\left(-\frac{2z}{\tau}\right)}, \quad (3.89)$$

որտեղ $\tau = 2 \sin \theta / \sqrt{c_1}$ մեծությունը համընկնում է գծային տեսության էքստինկցիոն երկարության հետ [8,9]: Ինչպես երևում է ստացված արտահայտությունից, երբ $z/\tau \gg 1$, անդրադարձած ալիքի ուժգնությունը ձգտում է զրոյի էքստրենսլի օրենքով՝

$$\rho_h^2 = \frac{4c_1}{C_3} \exp\left(-\frac{z}{\tau}\right): \quad (3.90)$$

Քանի որ $c_1 = 0$, ապա (3.73)-ից բխում է, որ $\rho_0^2(z)$ կախումը տրվում է նույն՝ (3.89) բանաձևով: Նշենք, որ c_1 -ը նույնն է և՛ գծային, և՛ ոչ գծային տեսություններում, և բացի այդ, գծային տեսությունում $a = b = 0$, որը տեղադրելով (3.89)-ի մեջ՝ կստանանք ρ_h^2 -ով՝ գծային տեսությունից հայտնի արտահայտությունը [8, 9]: Նկ.3.9-ում պատկերված են լրիվ անդրադարձման տիրույթի ձախ՝ $Y_{m \text{ in}}(1)$ և աջ՝ $Y_{m \text{ ax}}(2)$ սահմանների կախումներն ընկնող ալիքի ուժգնությունից՝ համաձայն ոչ գծային տեսության (տես (3.84)): (3) ուղիղ լրիվ անդրադարձման տիրույթի աջ եզրն է գծային տեսությունում, մինչդեռ լրիվ անդրադարձման տիրույթի գծային և ոչ գծային տեսությունների ձախ եզրերը համընկնում են և կախված չեն ընկնող ալիքի ուժգնությունից: Բևեռացվելիության ոչ գծային մասի համար օգտագործվել են $\eta_0^{(3)} = 3|\chi_0^{(3)}|/I_{cr}$, $\eta_h^{(3)} = 3|\chi_h^{(3)}|/I_{cr}$

առնչությունները: Նշենք, որ Si(111) անդրադարձման համար Si(222) անդրադարձումն արգելված է, իսկ ճառագայթման ալիքի երկարությունը՝ $\lambda = 0,71 \text{ \AA}$ է: Ինչպես արդեն նշվել է, $Y_{m \text{ in}} = -1$ ձախ եզրը նույնն է և՛ գծային, և՛ ոչ գծային տեսություններում և կախված չէ ընկնող ալիքի ուժգնությունից: Գծային տեսության մեջ աջ եզրը նույնպես կախված չէ ուժգնությունից, բայց ոչ գծային տեսությունում ուժգնության մեծացմանը



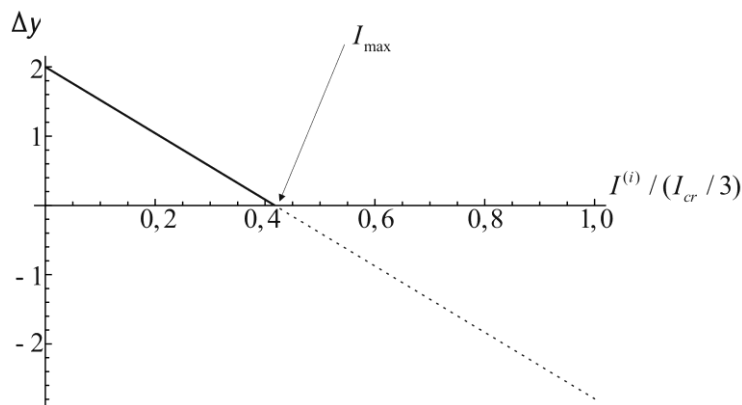
Նկ.3.9. Գծային և ոչ գծային դինամիկական դիֆրակցիայի տեսություններում լրիվ անդրադարձման տիրույթի ձախ (y_{\min}) և աջ (y_{\max}) սահմանների կախումներն ընկնող ալիքի $I^{(i)}$ ու ժգնություննից (չկլանող բյուրեղ). 2 կորի կետագծված տեղամասը համապատասխանում է այն ուժգնություններին, որոնց համար լրիվ անդրադարձման տիրույթ գոյություն է ունի:

գու գընթաց այն գծայնորեն նվազում է:

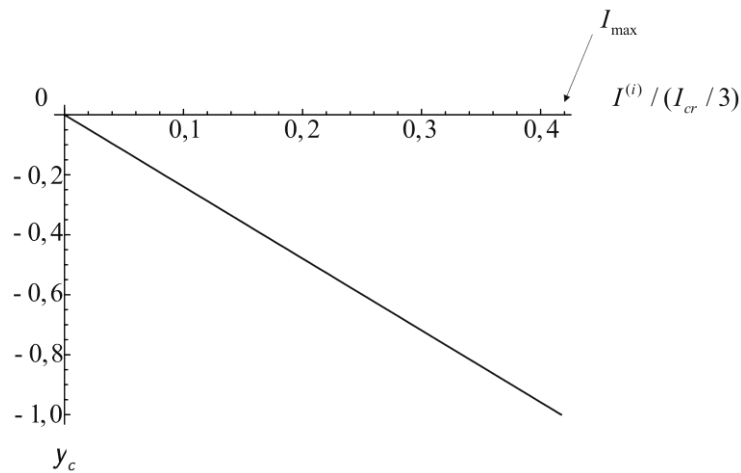
Ուժգնության $I^{(i)} = I_{\max}^{(i)} \approx 0,42$ արժեքի դեպքում ոչ գծային տեսությամբ լրիվ անդրադարձման տիրույթի աջ և ձախ եզրերը համընկնում են, լրիվ անդրադարձման տիրույթի լայնությունը դառնում է զրո, և $I^{(i)} > I_{\max}^{(i)}$ ուժգնությունների համար լրիվ անդրադարձման տիրույթ գոյություն է ունի:

Նկ.3.10-ում պատկերված է լրիվ անդրադարձման տիրույթի լայնության կախումն ընկնող ալիքի ուժգնություննից՝ համաձայն (3.84)-ի: Լայնությունը բացասական է $I^{(i)} > I_{\max}^{(i)}$ արժեքների դեպքում և զրո է, երբ $I^{(i)} = I_{\max}^{(i)}$:

Նկ.3.11-ում պատկերված է լրիվ անդրադարձման տիրույթի կենտրոնի կախումն ընկնող ալիքի ուժգնություննից $0 < I^{(i)} \leq I_{\max}^{(i)}$ տիրույթում:

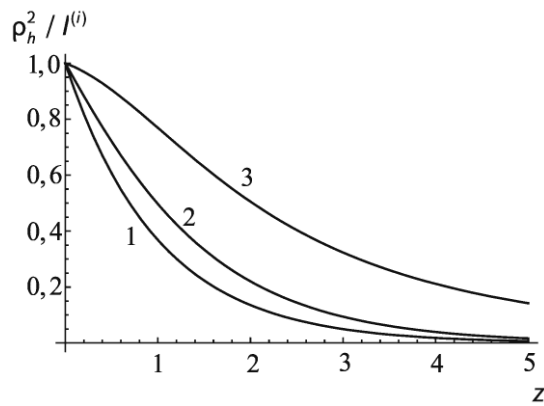


Նկ.3.10. Ոչ գծային տեսություն և չկլանող բյուրեղում անդրադարձման տիրույթի Δy և այնուհետև կախումն ընկնող ալիքի $I^{(i)}$ ուժգնությունից: Կորի կետագծված տեղամասը համապատասխանում է այն ուժգնություններին, որոնց համար լրիվ անդրադարձման տիրույթ գոյություն չունի:



Նկ.3.11. Ոչ գծային տեսությունում չկլանող բյուրեղի լրիվ անդրադարձման տիրույթի կենտրոնի կախումն ընկնող ալիքի ուժգնությունից

Նկ.3.12-ում պատկերված է $\rho_h^2 / I^{(i)}$ -ի կախումը z -ից երբ $I^{(i)} = 0,2$ (2 կոր) և $I^{(i)} = 0,4$ (3 կոր) և նույն կախումն ըստ գծային տեսության (1 կորը): Կորերից յուրաքանչյուրը կառուցվել է համապատասխան y_c -ի համար՝ $y_c(0,2) = -0,48$, $y_c(0,4) = -0,96$ և գծային տեսությունում $y_c = 0$: Խորությունը տրված է $\tau_0 = \sin\theta / k |x_h^{(i)}|$ միավորով, որը գծային տեսության էքստինկցիոն խորությունն է լրիվ անդրադարձման տիրույթի կենտրոնում [8,9]: Ոչ գծային դեպքում մեծ խորությունների համար էքստինկցիոն խորության արժեքը՝ $\tau(-0,48) / \tau_0 = 1,14$, երբ $I^{(i)} = 0,2$ և $\tau(-0,96) / \tau_0 = 3,57$, երբ $I^{(i)} = 0,4$, իսկ $\tau_0 = 0,75$ մկմ:



Նկ.3.12. Չկլանող բյուրեղում անդրադարձած ալիքի $\rho_h^2 / I^{(i)}$ -ի կախումը խորությունից գծային տեսությամբ (1 կոր) և ոչ գծային տեսությամբ (2 կոր՝ $I^{(i)} = 0,2$ և 3 կոր՝ $I^{(i)} = 0,4$):

§3.3. 2. Թվային հաշվարկի արդյունքները

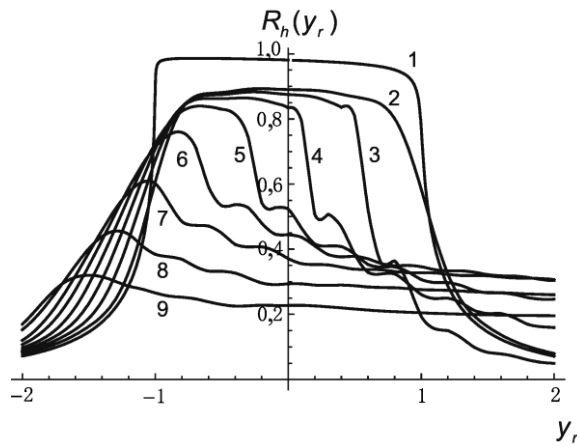
Չնայած վերլուծական դիտարկումը հնարավոր է դիֆրակցիայի որոշակի պայմանների դեպքում, այնուամենայնիվ, այդ միջոցով ուսումնասիրվել են ոչ գծային դիֆրակցիայի հիմնական առանձնահատկությունները: Ընդհանուր դեպքում անհրաժեշտ է կատարել թվային հաշվարկ: Ճոճման կորերն ստանալու համար (3.70) կամ (3.77) հավասարումները կարելի էրլուծել «կրակոցի» եղանակով [232], որպես եզրային պայմաններով խնդիր: Բայց թվային հաշվարկներից հետևում է, որ նշված եղանակը (3.70) և կամ (3.77) հավասարումների դեպքում չի բերում անհրաժեշտ լուծման: Ոչ գծային դեպքում ավելի նպատակահարմար է թվային եղանակով գտնել Տակագիի երրորդ կարգի ոչ գծային (3.31) հավասարումների լուծումները, որի համար անհրաժեշտ է դիտարկել տարածականորեն սահմանափակ ալիք՝ ալիքային փունջ: Ինչպես ցույց են տալիս թվային հաշվարկները, Տակագիի գծային հավասարումների թվային ինտեգրման միջոցով ճոճման կորի ստացման համար անհրաժեշտ է հաշվարկները կատարել դիֆրակցիայի հարթության մեջ մուտքի մակերևույթին զուգահեռ ուղղու-թյամբ ավելի քան քսան գծային էքստրեմալներով երկարությամբ չափերով փնջի դեպքում: Սա հետևանքն է այն բանի, որ սահմանափակ չափերով փնջում առկա են եզրային դիֆրակտային երևույթներ, որոնց ազդեցությունն էական չէ մեծ չափերով փնջի դեպքում: $-2 \leq y_r \leq 2$ ($y_r = \text{Re } y$) տիրույթում ոչ գծային ճոճման կորը 40 կետով կառուցելու համար համակարգչային մեծ ժամանակ է պահանջվում: Այդ պատճառով ստորև բերվել են թվային հաշվարկի արդյունքները մուտքի

մակերևույթի երկարու-թյամբ 5 գծային էքստինկցիոն երկարու-թյամբ փնջի դեպքում: Յամբմատու-թյան համար ներկայացվել են նաև գծային հարթալիքային տեսու-թյան ճոճման կորը [8,9] և թվային հաշվարկով գծային տեսու-թյամբ ստացված ճոճման կորը 5 գծային էքստինկցիոն երկարու-թյամբ չափով փնջի դեպքում: Ինչպես նշվել է §3.1.5-ում, Տակագիի երրորդ կարգի ոչ գծային հավասարումները կարելի է ինտեգրել ձևափոխված կեսքայ-լային եղանակով: Քանի որ դիտարկվում է վերջավոր չափերով փունջ, ապա ճոճման կորն ստացվում է տարածական ինտեգրալ անդրադարձման

$$R_h(y_r) = \frac{1}{2a_1 I} \int_{-a_1}^{a_1} \exp\left(-\frac{\mu' x}{\cos\theta}\right) I_h(x, 0, y_r) dx \quad (3.91)$$

գործակցի y_r -ից կախումից, որտեղ $\mu' = \mu \lambda^L$, $\mu = k \chi_{0i}^{(1)}$ -ն բյուրեղի գծային կլանման գործակիցն է, $y_r = \sin 2\theta (\Delta\theta + \chi_{0r}^{(1)} / \sin 2\theta) / |\chi_n^{(1)}|$, $I_h(x, 0, y_r) = |E_h(x, 0, y_r)|^2$, $2a_1$ -ը՝ բյուրեղի մուտքի մակերևույթի երկայնքով փնջի չափը, որը, ինչպես և x կոորդինատը, տրված է գծային էքստինկցիոն երկարու-թյան միավորով: Ոչ գծային բևեռացվելիության ֆունկցիոն-գործակիցների արժեքների համար օգտվել ենք $\eta_{0r}^{(3)} = 3|\chi_{0r}^{(1)}| / I_{cr}$ և $\eta_{hr}^{(3)} = 3|\chi_{hr}^{(1)}| / I_{cr}$ առնչություններից, իսկ կեղծ մասի ֆունկցիոն-գործակիցները որոշվել են $\eta_{0,hi}^{(3)} / \eta_{0,hr}^{(3)} = 0,01$ հարաբերությունից, որը համապատասխան գծային մեծու-թյունների հարաբերության կարգի է:

Նկ.3.13-ում պատկերված են կիսանվերջ կլանող բյուրեղի դեպքում (3.91) անդ-



Նկ.3.13. Կլանող բյուրեղի $R_h(y_r)$ ճոճման կորերն ընկնող ալիքի 0,1 քայլով փոփոխվող ուժգնության $I^{(0)} = 0,1-0,7$ արժեքների համար (3-9 կորերը համապատասխանաբար): Ընկնող փնջի չափը դիֆրակցիայի հարթության մեջ 5 գծային էքստինկցիոն երկարություն է: Պատկերված են նաև նույն չափի փնջի դեպքում գծային տեսության ճոճման 2 կորը և գծային հարթ ալիքային տեսության 1 ճոճման կորը (թվային հաշվարկ ըստ (3.89) բանաձևի):

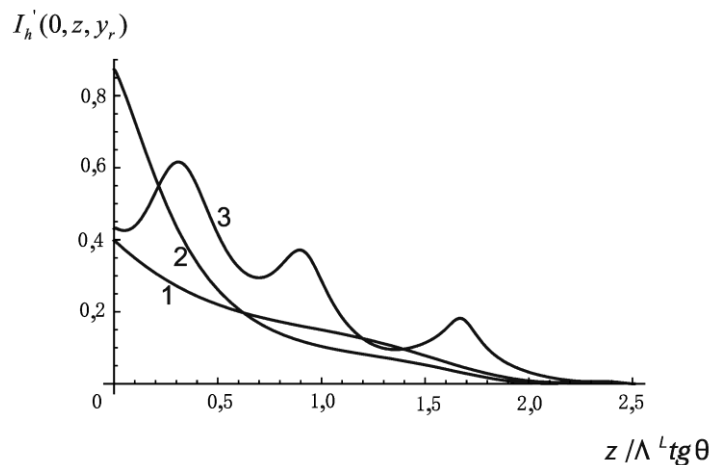
րադարձման գործակցի թվային հաշվարկի հիման վրա ստացված 3-9 ճոճման կորերը ընկնող փնջի 0,1 քայլով փոխվող 0,1-0,7 ուժգնությունների դեպքում ալիքի նույն երկարության և նույն անդրադարձման համար, ինչ վերլուծական քննարկման դեպքում: Նկարում 1-ը գծային հարթ ալիքային տեսության ճոճման կորն է [8,9], 2-ը՝ հինգ գծային էքստինկցիոն երկարությամբ չափով փնջի համար թվային հաշվարկով ստացված ճոճման կորը: Ոչ գծային ճոճման կորի վարքը համընկնում է վերլուծական քննարկմամբ ստացված, (3.84)-ով նկարագրվող վարքի հետ: Ուժգնության մեծացմանը զուգընթաց լրիվ անդրադարձման տիրույթները շեղվում են դեպի բացասական y_r -երը, և դրանց լայնությունը փոքրանում է: Ուժգնության 0,42-ից մեծ արժեքների դեպքում լրիվ անդրադարձման տիրույթ գոյություն չունի: ճոճման կորերի առավելագույն ուժգնության արժեքներն ընկնող ալիքի ուժգնության մեծացմանը զուգընթաց նվազում են: Կարելի է ենթադրել, որ երբ գոյություն ունի լրիվ անդրադարձման տիրույթ, այն փնջի սահմանափակության հետևանք է: Ինչպես երևում է նկ.3.14-ից, ճոճման կորերի փեշերն անդրադարձման տիրույթի կենտրոնի տարբեր կողմերում տարբեր վարք ունեն: Գծային դեպքում դրանք ունեն համարյա նույն վարքը (կլանումը

փոքր է): Դրական y_r -երի կողմի փեշը, որպես հետևանք ոչ գծային արդյունարար բևեռացվելի ուժային վարքի, ավելի զգայուն է ոչ գծային ուժային և փնջի չափերի նկատմամբ:

Նկ.3.14-ում պատկերված են անդրադարձած փնջի կենտրոնում

$$I'_h(0, z, y_r) = \frac{I_h(0, z, y_r)}{I^i} \quad (3.92)$$

ուժգնության կախումները խորությունից ընկնող ալիքի ուժգնության $I^i=0,4$ արժեքի և $y_r = -1,5$ (1 կոր), $y_r = y_c(0,4) = -0,959$ (2 կոր) և $y_r = y_c(0,4) = -0,959$ (3 կոր) արժեքների դեպքում: Խորությունը տրված է $\Lambda^L \text{tg}\theta$ միավորով: Ինչպես երևում է նկարից, $y_c(0,4)$ արժեքի դեպքում ուժգնության վարքը, կախված խորությունից, համ-



Նկ.3.14. Կլանող բյուրեղում անդրադարձած ալիքի ուժգնության կախումը z խորությունից y_r -ի տարբեր արժեքների համար. $y_r = -1,5$ (1 կոր), $y_r = y_c(0,4) = -0,959$ (2 կոր), $y_r = 1,5$ (3 կոր):

ընկնում է վերլուծական դիտարկմամբ ստացված վարքի հետ (նկ. 3.13): $y_r = -1,5$ -ի դեպքում ուժգնության վարքը մոտ է անդրադարձման տիրույթի կենտրոնում վարքին, իսկ $y_r = 1,5$ -ի դեպքում, ոչ գծային ուժային հետևանքով կորն այլ վարք ունի:

Si(220) անդրադարձման (որի դեպքում Si(440) անդրադարձումն արգելված չէ) և նույն ալիքի երկարության համար արված համապատասխան թվային հաշվարկներն էապես չեն տարբերվում վերլուծական դիտարկմամբ ստացված արդյունքներից: Պետք է նշել, որ ուժգնությունները $I_{cr}/3$ -ի միավորով անչափացնելու

հետևանքով օրինակ-ներում օգտագործվող ուժգնությունների արժեքները փոքր են կրիտիկականից, ուստի ներքին թաղանթների կապված էլեկտրոնների համար կիրառելի է խտորումների տեսությունը, հետևաբար՝ բյուրեղի ջերմային և ճառագայթային քայքայումը կարելի է անտեսել:

ԳԼ ՈՒ ԽԿ. ՌԵՆՏԳԵՆՅԱՆ ՄԵՆԵՐԱՆԳ ՓՆՁԻ ԵՎ ԻՄՊՈՒԼՍԻ ԵՐՐՈՐԴ ԿԱՐԳԻ ՈՉ ԳՃԱՅԻՆ ԴԻՆԱՄԻԿԱԿԱՆ ԴԻՖՐԱԿՑԻԱ

§4.1. Ռենտգենյան մեներանգ փնջի երրորդ կարգի ոչ գծային դիֆրակցիան բյուրեղում

Երրորդ գլխում ուսումնասիրված հարթալիքային դինամիկական դիֆրակցիան երրորդ կարգի ոչ գծայինությամբ բյուրեղում միշտ է, որ համապատասխանում է փորձարարական պայմաններին կամ այն նպատակներին, որոնց իրականացման համար կատարվում են փորձերը: Շատ դեպքերում ընկնող ալիքը սահմանափակված է ճեղքերով կամ ունի այլ բնույթի անհամասեռություններ, ուստի, ինչպես և գծային դեպքում, կարևոր է ռենտգենյան մեներանգ σ -բևեռացված փնջի ոչ գծային Լաուեի համաչափ երկրաչափությամբ դինամիկական դիֆրակցիայի ուսումնասիրությունը:

σ -բևեռացման դեպքում Տակագիի երրորդ կարգի ոչ գծային հավասարումների (3.31) համակարգը գրենք անչափ կոորդինատներով, որը հարմար է հետագայում թվային հաշվարկներ կատարելիս: Բևեռացվելիությունների ֆուրիե-գործակիցները ներկայացնենք կոմպլեքս բևեռացվելիության

$$\eta_{0,h,2h}^{(3)} = \eta_{0r,hr,2hr}^{(3)} + i\eta_{0,ih,2hi}^{(3)}, \quad \chi_{-hr,-2hr}^{(1)} = \chi_{hr,2hr}^{(1)*}, \quad \chi_{-hi,-2hi}^{(1)} = \chi_{hi,2hi}^{(1)*}, \quad \eta_{-hr,-2hr}^{(3)} = \eta_{hr,2hr}^{(3)*}, \quad \eta_{-hi,-2hi}^{(3)} = \eta_{hi,2hi}^{(3)*},$$

ֆուրիե-գործակիցների գումարի տեսքով: Կրիտիկական Էլեկտրական դաշտի լարվածության (3.17) սահմանումից հետևում է, որ

$$\eta_{0r,hr,2hr}^{(3)} = -\frac{3\chi_{0r,hr,2hr}^{(1)}}{I_{cr}}: \quad (4.1)$$

(3.31) հավասարումների համակարգը բաժանելով $|\chi^{(1)}_{hl}|$ -ի և օգտվելով (4.1) առնչություններից՝ կհանգենք երրորդ կարգի ոչ գծային հավասարումներին՝ գրված անչափ կոորդինատներով.

$$\begin{aligned} & \frac{i}{\pi} \frac{\partial E_0}{\partial s_0} + (\alpha_0^{(3)} I + \alpha_h^{(3)} E_0 E_h^* + \alpha_h^{(3)} E_0^* E_h) \exp\left(-\frac{\mu' z}{\cos\theta}\right) E_0 + \\ & \left[\beta_h^{(1)} + (\alpha_0^{(3)} E_0 E_h^* + \alpha_h^{(3)} I + \alpha_{2h}^{(3)} E_0^* E_h) \exp\left(-\frac{\mu' z}{\cos\theta}\right) \right] E_h = 0, \\ & \frac{i}{\pi} \frac{\partial E_h}{\partial s_h} + (\alpha_0^{(3)} I + \alpha_h^{(3)} E_0 E_h^* + \alpha_h^{(3)} E_0^* E_h) \exp\left(-\frac{\mu' z}{\cos\theta}\right) E_h + \\ & \left[\beta_h^{(1)} + (\alpha_0^{(3)} E_0^* E_h + \alpha_h^{(3)} I + \alpha_{2h}^{(3)} E_0 E_h^*) \exp\left(-\frac{\mu' z}{\cos\theta}\right) \right] E_0 = 0, \end{aligned} \quad (4.2)$$

որտեղ s_0 -ն և s_h -ը չափայնությամբ մեծությունների հետ կապված են $s_{0,h} = s_{0,h}(\xi \text{ ափ.}) |\chi^{(1)}_{hl}| / \lambda$ առնչությամբ, $\alpha_{0,h,2h}^{(3)} = \eta_{0,h,2h}^{(3)} / |\eta^{(3)}_{hl}|$, $\beta_{h,-h}^{(1)} = \chi^{(1)}_{h,-h} / |\chi^{(1)}_{hl}|$, (4.2)-ում և (3.31)-ում լայնությունները կապված են

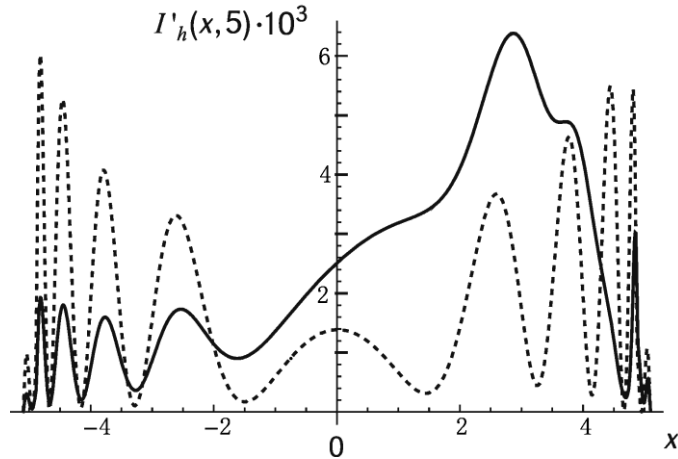
$E_{0,r}=E_{0,h}(\xi \text{ ափ.})/(I_{cr}/3)^{1/2}$ առնչություններով, իսկ ուժգնություններն արտահայտված են $I_{cr}/3$ -ի միավորներով: Յուրաքանչյուր մասնավոր դեպքում $\alpha^{(3)}_r$ -ի արժեքը կարելի է հաշվել՝ օգտվելով (4.1)-ից և ունենալով գծային բևեռացվելիության ֆունկցիոնալ-գործակիցների արժեքները, իսկ $\alpha^{(3)}_i$ -ի արժեքը պետք է վերցնել փորձից: Քանի որ այդ արժեքները ռենտգենյան հաճախությունների համար չափված չեն, ապա դրանք կարելի է հաշվել, համարելով, որ $\eta^{(3)}_r/\eta^{(3)}_i$ հարաբերությունն ունի նույն կարգը, ինչ որ համապատասխան գծային մեծություններին՝ $|X^{(1)}_r|/|X^{(1)}_i|$ -ը նույն անդրադարձման դեպքում: Ուղղանկյուն կոորդինատային համակարգի անչափ կոորդինատներն արտահայտվում են $z=z(\xi \text{ ափ.})/\Lambda^L$ և $x=x(\xi \text{ ափ.})/\Lambda^L \text{tg}\theta$ առնչություններով, և $\mu=\mu\Lambda^L$: (4.2)-ի թվային ինտեգրումը կատարենք արդեն նախորդ գլխում օգտագործված ձևափոխված կեսքայլային եղանակից:

Ինչպես հայտնի է [233], գծային տեսությունում փունջը համարվում է նեղ, եթե մուտքի մակերևույթի վրա դիֆրակցիայի հարթության մեջ փնջի լայնական կտրվածքի $2a$ չափը բավարարում է $2a \ll 2\Lambda^L \text{tg}\theta / \pi$ անհավասարությանը: Այդ դեպքում իրականացվում է բյուրեղի մակերևույթին մոտ կետային աղբյուրի՝ Կատոյի գնդային ալիքի դիֆրակցիայի դեպքը [11,12]: (4.2)-ի համաձայն՝ բնութագրիչները գծային և ոչ գծային դեպքում նույնն են, ուստի նույնն են բյուրեղի ներսում դինամիկական դիֆրակցիայի տիրույթները, որտեղ ալիքային դաշտը տարբեր է գրոյից [233]: Մասնավորապես, Կատոյի գնդային ալիքի դիֆրակցիայի դեպքում ալիքային դաշտը գոյություն ունի կետային աղբյուրի վրա «հենված» գազաթով Բորմանի եռանկյան ներսում: Ոչ գծային դիֆրակցիայի դեպքում գիտական հետաքրքրություն է ներկայացնում անցած և դիֆրակտված ալիքների՝ ընկնող ալիքի I^i ուժգնությամբ նորմավորված

$$I'_0(x,z) = \exp\left(-\frac{\mu'z}{\cos\theta}\right) \frac{|E_0|^2}{I^i} = \frac{I_0(x,z)}{I^i}, \quad I'_h(x,z) = \exp\left(-\frac{\mu'z}{\cos\theta}\right) \frac{|E_h|^2}{I^i} = \frac{I_h(x,z)}{I^i} \quad (4.3)$$

ուժգնությունների ուսումնասիրությունը, կախված և՛ բյուրեղում դիտման կետի խորությունից, և՛ ընկնող ալիքի ուժգնությունից: Նշենք նաև, որ ընկնող անհամասեռ փնջի դեպքում, անհրաժեշտ է ներմուծել ինտեգրալ (տարածական) անցման

և անդրադարձման $T(z)$ և $R(z)$ գործակիցները, որոնք որոշվում են



Նկ.4.1. Դիֆրակտված դաշտի ուժգնության բաշխումը $z=5$ հաստությամբ բյուրեղի ելքի մակերևույթին: Ընկնող ալիքի ուժգնությունը՝ $I^i=0,1$ (կետագիծ) և $I^i=0,5$ (հոծ գիծ) (թվային հաշվարկ):

$$T(z) = \frac{\int_{x_{\min}}^{x_{\max}} I_0(x, z) dx}{\int_{-a}^a I^i(x) dx}, \quad R(z) = \frac{\int_{x_{\min}}^{x_{\max}} I_h(x, z) dx}{\int_{-a}^a I^i(x) dx} \quad (4.4)$$

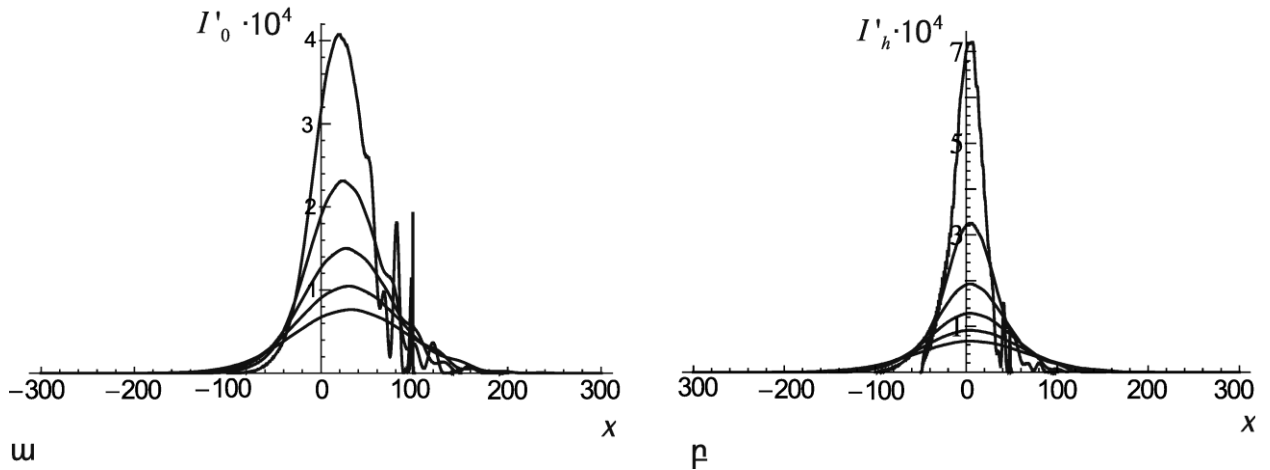
ամսչ ուժգնություններով, որտեղ x_{\min} -ը և x_{\max} -ը ելքի մակերևույթի այն տիրույթի եզրային կոորդինատներն են, որտեղ ալիքային դաշտը տարբերվում է զրոյից, և Կատոյի դեպքում $x_{\min} = -z$ և $x_{\max} = z$:

Որպես օրինակ դիտարկենք Si(220) անդրադարձումը, երբ բյուրեղի վրա ընկնող ճառագայթման ալիքի երկարությունը՝ $\lambda=0,71 \text{ \AA}$ (17,46կԷՎ), Լաուեի համաչափ երկրաչափություն, σ -բևեռացում, գծային էքստինկցիոն երկարությունը՝ $\Lambda^z=36,6$ մկմ, ընկնող ալիքի շեղումը Բրեգի ճշգրիտ ուղղությունից՝ $\Delta\theta=0$, $a=0,1/\pi$:

Երրորդ կարգի ոչ գծային բևեռացվելիության իրական մասի ֆուրիե-գործակիցների արժեքների որոշման համար օգտվենք (4.1)-ից, բևեռացվելիության կեղծ մասի ֆուրիե-գործակիցները որոշենք $\eta^{(3)}_{0i,hi,2hr}=0,01\eta^{(3)}_{0r,hr,2hr}$ ամսչ ուժգնությունից: Թվային հաշվարկները կատարելիս օգտվենք անչափ տեսքի բերված (4.2) ոչ գծային դինամիկական դիֆրակցիայի հավասարումներից՝ կիրառելով ձևափոխված կեսքայլային եղանակը:

Անդրադարձման թվային հաշվարկների արդյունքներին: Նկ.4.1-ում պատկերված է դիֆրակտված ալիքի $I'_h(x, z)$ ուժգնության բաշխումն ըստ x -ի $z=5$ հաստությամբ բյուրեղի և ընկնող ալիքի

ուժգնություն $I^i = 0,1$ (կետագիծ) և $I^i = 0,5$ (հոծ գիծ) արժեք-



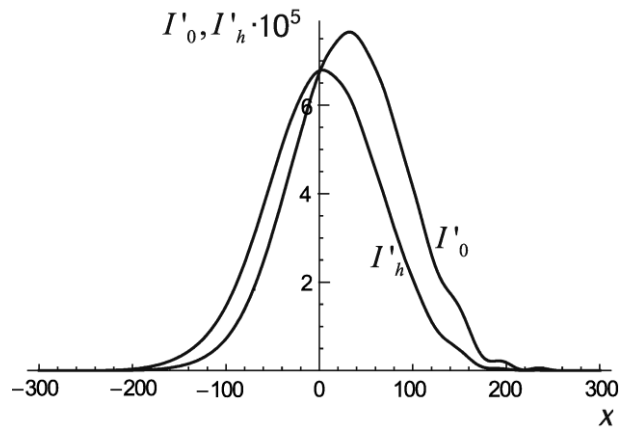
Նկ.4.2. $I^i=0,5$ դեպքում u անցած ալիքի ուժգնության բաշխումը հաստ կլանող բյուրեղի ելքի մակերևույթին $\Delta z=50$ քայլով $z=100$ -ից մինչև $z=300$ փոխվող հաստությունների համար. p . դիֆրակտված ալիքի ուժգնության բաշխումը հաստ կլանող բյուրեղի ելքի մակերևույթին $\Delta z=50$ քայլով $z=50$ -ից մինչև $z=300$ փոխվող հաստությունների համար:

Ների դեպքում, երբ $\mu z = 0,27$: Ակնհայտ է որ ոչ գծային դեպքում ուժգնության բաշխումը համաչափ չէ ըստ x -ի, ընդ որում, ուժգնությունը մեծացնելիս տատանում-ներն $x > 0$ տիրույթում գործնականորեն վերանում են, որը, հավանաբար, պայմանավորված է դիֆրակցիային մասնակցող մոդերից մեկի ավելի վատ անդրադարձումով: $I^i = 0,5$ դեպքում նշված տիրույթում դիտվում է մեկ գլխավոր մաքսիմում, որի կոորդինատը նույնն է, ինչ գծային և $I^i = 0,1$ ոչ գծային դեպքերում, իսկ մաքսիմումի արժեքն ավելի մեծ է: Նշենք, որ այս դեպքում նույնպես դիտվում են երկու թույլ մաքսիմումներ $x > 0$ տիրույթում:

Բացասական x -երի տիրույթում մաքսիմումների կոորդինատները գծային դեպքի համեմատությամբ շեղված չեն, սակայն դրանց արժեքներն ավելի փոքր են, քան գծային դեպքում և ուժգնությունը մեծացնելիս փոքրանում են: Թվարկված յուրահատկությունները վկայում են, որ մոդերից մեկը վատ անդրադառնում դրական x -երի տիրույթում, իսկ բացասական x -երի տիրույթում երկու մոդերն էլ վատ են անդրադառնում: Չափարկները ցույց են տալիս, որ և $I^i = 0,1$ արժեքի դեպքում դիտման կետի խորությունը մեծացնելիս դրական x -երի տիրույթում նույնպես մնում է մեկ մաքսիմում, որն անցած ալիքի համար շեղվում է դրական x -երի, իսկ

դիֆրակտված ալիքի համար՝ բացասական x -երի ուղղությամբ:

Նկ.4.2-ում պատկերված են անցած և դիֆրակտված ալիքների՝ z -ի մեծ արժեք-



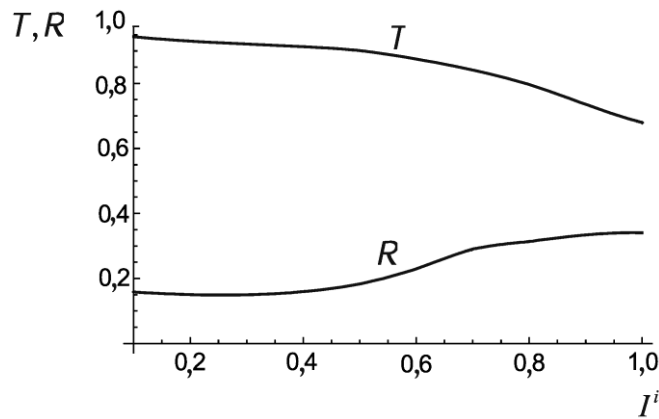
Նկ.4.3. $I^i = 0,5$ դեպքում անցած և դիֆրակտված ալիքների ուժգնությունների բաշխումների համեմատությունը $z=300$ հաստությամբ կլանող բյուրեղի ելքի մակերևույթին

ների համար այդ բաշխումները $I^i = 0,5$ դեպքում: Նկ.4.2-ում խորությունը $\Delta z=50$ քայլով փոխվում է $z=100$ -ից մինչև $z=300$, ընդ որում, համապատասխան μz -ը փոխվում է 5,5-ից մինչև 16,4, իսկ նկ.4.2-ում խորությունը նույն քայլով փոխվում է $z=50$ -ից մինչև $z=300$: Հաստությունը մեծացնելու զուգընթաց մաքսիմումի արժեքները փոքրանում են, ուստի կորերը համարակալված չեն:

Նկ.4.3-ում համարված են անցած և դիֆրակտված ալիքների ուժգնությունների բաշխումները $z \approx 300$ խորության համար: Նշենք, որ գծային տեսությունում դիֆրակտված ալիքի ուժգնության բաշխումը մեծ խորությունների համար ունի $x=0$ կենտրոնով գաուսիանի տեսք, իսկ անցած ալիքի մաքսիմումը, խորությունը մեծացնելիս, տեղաշարժվում է դեպի բացասական x -երի տիրույթը, և սահմանում դրա կոորդինատը ձգտում է $x=0$ -ի: Այսպիսով՝ Բորմանի երևույթը ոչ գծային դեպքում իրեն այլ կերպ է դրսևորում, քանի որ մրցակցում է ոչ գծային փոխազդեցության հետ:

Գծային տեսությունում անցման և անդրադարձման (4.4) գործակիցները կախված չեն ընկնող ալիքի ուժգնություններից: Նկ.4.4-ում պատկերված են այդ գործակիցների կախումներն ընկնող ալիքի ուժգնություններից $z=5$ դեպքում: Անցման գործակիցն ուժգնության մեծացմանը զուգընթաց նվազում է համարյա երկու

անգամ, իսկ անդրադարձման գործակիցը՝ համարյա նույնքան անգամ աճում:



Նկ.4.4. $z=5$ հաստությամբ բյուրեղի դեպքում անցման (T) և անդրադարձման (R) գործակիցների կախումներն ընկնող ալիքի ու ժգնություներից

§4.2. Ժամանակային գծային և երրորդ կարգի ոչ գծային ռենտգենյան դիսամիկական դիֆրակցիա

§4.2.1. Տակագիի երրորդ կարգի ժամանակային ոչ գծային հավասարումները

Ներկայումս խիստ կարևորվում են ինչպես հզոր ռենտգենյան սինքրոտրոնային աղբյուրների և ռենտգենյան լազերների առաքած ճառագայթման ոչ մեներանգ ալիքների ոչ գծային երևույթների, այնպես էլ ռենտգենյան իմպուլսների ժամանակային կախումով պայմանավորված գծային և ոչ գծային երևույթների ուսումնասիրությունները:

Ռենտգենյան մեներանգ ալիքների գծային դիսամիկական դիֆրակցիան բյուրեղներում, ինչպես արդեն նշվել է, նկարագրվում է Տակագիի հավասարումներով [29,30]: Ժամանակային ռենտգենյան գծային դիսամիկական դիֆրակցիան նկարագրվում է Տակագիի ժամանակային հավասարումներով, որոնք կատարյալ և դեֆորմացված բյուրեղների համար առաջին անգամ ստացվել են [130,131]-ում: [130]-ում ժամանակային հավասարումների Լապլասի ձևափոխության օգնությամբ համապատասխան լուծումները կատարյալ և դեֆորմացված բյուրեղներում ներկայացվել են Գրինի ֆունկցիայի միջոցով: Մասնավորապես, կատարյալ և համասեռ

ճկված բյուրեղում լուծումները ներկայացվել են բացահայտ տեսքով, քանի որ այդ դեպքերի համար հայտնի են համապատասխան գրիսի ֆունկցիաների վերլուծական տեսքերը: [131]-ում ստացված լուծման հիման վրա ուսումնասիրվել է ընկնող անվերջ, հարթ ճակատով ռենտգենյան ալիքային ցուգի գծային, ժամանակային դինամիկական դիֆրակցիան կատարյալ բյուրեղում Լաուեի և Բրեգի երկրաչափական դեպքերում:

Նոր սերնդի ռենտգենյան սինքրոտրոնային աղբյուրների և ռենտգենյան լազերների առաջած ռենտգենյան իմպուլսների ժամանակային գծային դինամիկական դիֆրակցիան բյուրեղներում ուսումնասիրվել է [132-141]-ում: Ուսումնասիրվել են ժամանակային ընկնող δ-ֆունկցիայի և գաուսյան իմպուլսի դեպքերը:

Ռենտգենյան ազատել եկտրոնային լազերներն առաքում են 100-200Ֆվ տևողությամբ իմպուլսների խմբեր [129]: Իմպուլսների ժամանակային հաջորդականությունը խմբում անկանոն է՝ յուրաքանչյուր իմպուլսի (ենթաիմպուլսի) լայնության ունի ժամանակային գաուսյան վարք, և որոնց սկզբնական փուլերը և լայնություններն իմպուլսից-իմպուլս փոփոխվում են պատահական օրենքով: Յուրաքանչյուր իմպուլս տարածակա-նորեն լրիվ կոհերենտ է, ունի 0,1-0,2Ֆվ տևողություն և մյուս իմպուլսից բաժանված է 0,3-0,5Ֆվ ժամանակային միջակայքերով:

Ստորև դիտարկվել է առանձին իմպուլսի ժամանակային դիֆրակցիան բյուրեղում, երբ բյուրեղի ջերմային [139] և ճառագայթային քայքայումը [128] կարելի է անտեսել:

Արտածվել են Տակագիի երրորդ կարգի ոչ գծային, ժամանակային հավասարումները: Բյուրեղը համարվում է իզոտրոպ: Եվ՝ գծային, և՛ ոչ գծային դեպքերի համար առաջարկվել է այդ հավասարումների լուծման նոր եղանակ, և ներկայացվել են ժամանակային դիֆրակցիայի հավասարումների լուծումները: Դիտարկվել են անվերջ կարծ տևողությամբ և գաուսյան իմպուլսի դեպքերը, և ենթադրվել է, որ ընկնող իմպուլսի ալիքային ճակատը, ի տարբերություն այլ աշխատանքների, դիֆրակցիայի հարթության մեջ սահմանափակ է: Թվային հաշվարկի օգնությամբ երրորդ կարգի ոչ գծային ժամանակային դիֆրակցիայի խնդրի լուծումները համեմատվել են գծային դիֆրակցիայի լուծումների հետ:

Ընդհանուր դեպքում ընկնող ալիքը համարվում է կենտրոնական՝ $\omega_0 > 0$ հաճախության ալիքային փաթեթ, ուստի (3.2)-ում էլեկտրական դաշտի լարվածությունը և բևեռացումը կարելի է ներկայացնել հետևյալ բանաձևերով՝

$$\begin{aligned}\tilde{\mathbf{E}}(\mathbf{r}, t) &= \frac{1}{2\pi} \int_{-\infty}^{\infty} \tilde{\mathbf{E}}(\mathbf{r}, \omega) \exp(-i\omega t) d\omega, \\ \tilde{\mathbf{P}}^{(4,3)}(\mathbf{r}, t) &= \frac{1}{2\pi} \int_{-\infty}^{\infty} \tilde{\mathbf{P}}^{(4,3)}(\mathbf{r}, \omega) \exp(-i\omega t) d\omega : \end{aligned} \quad (4.5)$$

Դաշտերի և բևեռացումների իրական լինելու պայմանից հետևում են $\tilde{\mathbf{E}}(\mathbf{r}, \omega) = \tilde{\mathbf{E}}^*(\mathbf{r}, -\omega)$ և $\tilde{\mathbf{P}}^{(4,3)}(\mathbf{r}, \omega) = \tilde{\mathbf{P}}^{(4,3)*}(\mathbf{r}, -\omega)$ առնչությունները: (3.5) հավասարումից և (4.5) բանաձևից հետևում է $\tilde{\mathbf{E}}(\mathbf{r}, \omega)$ -ի տարածման հավասարումը՝

$$\text{rot rot } \tilde{\mathbf{E}}(\mathbf{r}, \omega) - k(\omega)^2 [1 + \chi^{(1)}(\mathbf{r}, \omega)] \tilde{\mathbf{E}}(\mathbf{r}, \omega) = \frac{k(\omega)^2}{\epsilon_0} \tilde{\mathbf{P}}^{(3)}(\mathbf{r}, \omega), \quad (4.6)$$

որտեղ $k(\omega)^2 = \omega^2 / c^2$: Մյուս կողմից, երկալիքային դիֆրակցիայի դեպքում, (3.25)-ի համաձայն՝

$$\tilde{\mathbf{E}}(\mathbf{r}, t) = \tilde{\mathbf{E}}_0(\mathbf{r}, t) \exp[i(\mathbf{K}_0(\omega_0)\mathbf{r} - \omega_0 t)] + \tilde{\mathbf{E}}_h(\mathbf{r}, t) \exp[i(\mathbf{K}_h(\omega_0)\mathbf{r} - \omega_0 t)] + \text{կ.հ.}, \quad (4.7)$$

որտեղ $\tilde{\mathbf{E}}_0(\mathbf{r}, t)$ -ն և $\tilde{\mathbf{E}}_h(\mathbf{r}, t)$ -ն անցած և դիֆրակտված ալիքների՝ ըստ կոորդինատի և ժամանակի դանդաղ փոփոխվող լայնույթներն են, որոնց ֆուրիե-պատկերները՝

$$\mathbf{E}_0(\mathbf{r}, \omega) = \int_{-\infty}^{\infty} \tilde{\mathbf{E}}_0(\mathbf{r}, t) \exp(i\omega t) dt, \quad (4.8)$$

$$\mathbf{E}_h(\mathbf{r}, \omega) = \int_{-\infty}^{\infty} \tilde{\mathbf{E}}_h(\mathbf{r}, t) \exp(i\omega t) dt: \quad (4.9)$$

(4.7)-ի հակադարձ ֆուրիե-ձևափոխությամբ, $\omega > 0$ հաճախությունների համար կստանանք՝

$$\begin{aligned}\tilde{\mathbf{E}}(\mathbf{r}, \omega) &= \mathbf{E}_0(\mathbf{r}, \omega - \omega_0) \exp(i\mathbf{K}_0\mathbf{r}) + \mathbf{E}_0^*(\mathbf{r}, -\omega - \omega_0) \exp(i\mathbf{K}_0\mathbf{r}) + \\ &+ \mathbf{E}_h(\mathbf{r}, \omega - \omega_0) \exp(i\mathbf{K}_h\mathbf{r}) + \mathbf{E}_h^*(\mathbf{r}, -\omega - \omega_0) \exp(i\mathbf{K}_h\mathbf{r}) \approx \\ &\approx \mathbf{E}_0(\mathbf{r}, \omega - \omega_0) \exp(i\mathbf{K}_0\mathbf{r}) + \mathbf{E}_h(\mathbf{r}, \omega - \omega_0) \exp(i\mathbf{K}_h\mathbf{r}), \end{aligned} \quad (4.10)$$

որտեղ արված մոտավորությունը՝ այն է՝ $\omega + \omega_0$ հաճախությամբ անդամների անտեսումը հիմնավորված է, քանի որ, ենթադրության համաձայն, լայնույթները ժամանակից կախված դանդաղ փոփոխվող

Ֆուսկցիաներ են և չեն կարող ունենալ բարձր կարգի հարմոնիկներ [225]: $\tilde{\mathbf{E}}(\mathbf{r}, \omega) = \tilde{\mathbf{E}}^*(\mathbf{r}, -\omega)$ առնչ ությ ունից և (4.10)-ից հետևում է, որ $\omega < 0$ հաճախությ ունների համար $\tilde{\mathbf{E}}(\mathbf{r}, \omega) \approx \mathbf{E}_0^*(\mathbf{r}, -\omega - \omega_0) e^{-i\mathbf{k}_0 \cdot \mathbf{r}} + \mathbf{E}_h^*(\mathbf{r}, -\omega - \omega_0) e^{-i\mathbf{k}_h \cdot \mathbf{r}}$: (4.5)-ի համաձայն՝

$$\tilde{\mathbf{P}}^{(3)}(\mathbf{r}, \omega) = \int_{-\infty}^{\infty} \tilde{\mathbf{P}}^{(3)}(\mathbf{r}, t) \exp(i\omega t) dt: \quad (4.11)$$

Մյուս կողմից,

$$\tilde{\mathbf{P}}^{(3)}(\mathbf{r}, t) = \varepsilon_0 \int_{-\infty}^{\infty} \mathbf{K}^{(3)}(\tau_1, \tau_2, \tau_3) \tilde{\mathbf{E}}(\mathbf{r}, t - \tau_1) \tilde{\mathbf{E}}(\mathbf{r}, t - \tau_2) \tilde{\mathbf{E}}(\mathbf{r}, t - \tau_3) d\tau_1 d\tau_2 d\tau_3, \quad (4.12)$$

որտեղ $\mathbf{K}^{(3)}$ -ը երրորդ կարգի ոչ գծային արձագանքի ֆուսկցիան է և չորրորդ կարգի թենզոր է [225, 234]: (4.5), (4.11) և (4.12) առնչ ությ ուններից

$$\tilde{\mathbf{P}}^{(3)}(\mathbf{r}, \omega) = \frac{\varepsilon_0}{(2\pi)^2} \int_{-\infty}^{\infty} \chi^{(3)}(\omega; \omega_1, \omega_2, \omega - \omega_1 - \omega_2, \mathbf{r}) \tilde{\mathbf{E}}(\mathbf{r}, \omega_1) \tilde{\mathbf{E}}(\mathbf{r}, \omega_2) \tilde{\mathbf{E}}(\mathbf{r}, \omega - \omega_1 - \omega_2) d\omega_1 d\omega_2, \quad (4.13)$$

որտեղ բևեռացվել ի ության թենզորը՝

$$\chi^{(3)}(\omega; \omega_1, \omega_2, \omega - \omega_1 - \omega_2, \mathbf{r}) = \int_{-\infty}^{\infty} \mathbf{K}^{(3)}(\tau_1, \tau_2, \tau_3, \mathbf{r}) \exp(i\omega \tau_1) \exp(i\omega \tau_2) \exp[i(\omega - \omega_1 - \omega_2)\tau_3] d\tau_1 d\tau_2 d\tau_3: \quad (4.14)$$

Բրեզի պայմանի մոտակայքում, (4.6)-ում, կտեղադրենք $k(\omega)^2 \chi^{(3)}(\mathbf{r}, \omega) \approx k(\omega_0)^2 \chi^{(3)}(\mathbf{r}, \omega_0)$, իսկ աջ մասում՝ $k(\omega) \approx k(\omega_0)$: Մյուս կողմից, (4.13) ինտեգրալում հիմնական ներդրում տալիս են $\omega_1 = \omega_0, \omega_2 = \omega_0; \omega_1 = -\omega_0, \omega_2 = \omega_0$; և $\omega_1 = \omega_0, \omega_2 = -\omega_0$ հաճախությ ունների զույգերի շրջակայքերին համապատասխանող Δ_1, Δ_2 և Δ_3 տիրույթները, այնպես որ

$$\begin{aligned} \tilde{P}_i^{(3)}(\mathbf{r}, \omega) &= \frac{\varepsilon_0}{(2\pi)^2} \left(\int_{\Delta_1} \chi_{ijk}^{(3)}(\omega; \omega_1, \omega_2, \omega - \omega_1 - \omega_2, \mathbf{r}) \tilde{E}_j(\mathbf{r}, \omega_1) \tilde{E}_k(\mathbf{r}, \omega_2) \tilde{E}_l(\mathbf{r}, \omega - \omega_1 - \omega_2) d\omega_1 d\omega_2 + \right. \\ &+ \int_{\Delta_2} \chi_{ijk}^{(3)}(\omega; \omega_1, \omega_2, \omega - \omega_1 - \omega_2, \mathbf{r}) \tilde{E}_j(\mathbf{r}, \omega_1) \tilde{E}_k(\mathbf{r}, \omega_2) \tilde{E}_l(\mathbf{r}, \omega - \omega_1 - \omega_2) d\omega_1 d\omega_2 + \\ &+ \left. \int_{\Delta_3} \chi_{ijk}^{(3)}(\omega; \omega_1, \omega_2, \omega - \omega_1 - \omega_2, \mathbf{r}) \tilde{E}_j(\mathbf{r}, \omega_1) \tilde{E}_k(\mathbf{r}, \omega_2) \tilde{E}_l(\mathbf{r}, \omega - \omega_1 - \omega_2) d\omega_1 d\omega_2 \right): \quad (4.15) \end{aligned}$$

Այդ կետերի շրջակայքերում բևեռացվել ի ությ ունները կարելի է դուրս բերել ինտեգրալի նշանի տակից, հետևաբար՝

$$\begin{aligned} \tilde{P}_i^{(3)}(\mathbf{r}, \omega) \approx & \frac{\epsilon_0}{(2\pi)^2} \left(\chi_{jkl}^{(3)}(\omega_0, \omega_0, \omega_0, -\omega_0, \mathbf{r}) \int_{\Delta_1} \tilde{E}_j(\mathbf{r}, \omega_1) \tilde{E}_k(\mathbf{r}, \omega_2) \tilde{E}_l(\mathbf{r}, \omega - \omega_1 - \omega_2) d\omega_1 d\omega_2 + \right. \\ & + \chi_{jkl}^{(3)}(\omega_0, \omega_0, -\omega_0, \omega_0, \mathbf{r}) \int_{\Delta_2} \tilde{E}_j(\mathbf{r}, \omega_1) \tilde{E}_k(\mathbf{r}, \omega_2) \tilde{E}_l(\mathbf{r}, \omega - \omega_1 - \omega_2) d\omega_1 d\omega_2 + \\ & \left. + \chi_{jkl}^{(3)}(\omega_0, -\omega_0, \omega_0, \omega_0, \mathbf{r}) \int_{\Delta_3} \tilde{E}_j(\mathbf{r}, \omega_1) \tilde{E}_k(\mathbf{r}, \omega_2) \tilde{E}_l(\mathbf{r}, \omega - \omega_1 - \omega_2) d\omega_1 d\omega_2 \right) : \end{aligned} \quad (4.16)$$

Բևեռացվել ի ության ներքին վերադասավորման համաչափ ության հատկ ության համաձայն`

$$\chi_{jkl}^{(3)}(\omega_0, \omega_0, \omega_0, -\omega_0, \mathbf{r}) = \chi_{jlk}^{(3)}(\omega_0, \omega_0, -\omega_0, \omega_0, \mathbf{r}) = \chi_{ilkj}^{(3)}(\omega_0, -\omega_0, \omega_0, \omega_0, \mathbf{r}) \quad [225]:$$

Օգտագործելով այս համաչափ ությունը և (4.16)-ի երկրորդ անդամում փոխարինելով $k \rightarrow l$, իսկ երրորդ անդամում $j \rightarrow k$ համընդհանրելով, (4.16)-ից կստանանք`

$$\begin{aligned} \tilde{P}_i^{(3)}(\mathbf{r}, \omega) \approx & \frac{\epsilon_0}{(2\pi)^2} \chi_{jkl}^{(3)}(\omega_0, \omega_0, \omega_0, -\omega_0, \mathbf{r}) \left(\int_{\Delta_1} \tilde{E}_j(\mathbf{r}, \omega_1) \tilde{E}_k(\mathbf{r}, \omega_2) \tilde{E}_l(\mathbf{r}, \omega - \omega_1 - \omega_2) d\omega_1 d\omega_2 + \right. \\ & \left. + \int_{\Delta_2} \tilde{E}_j(\mathbf{r}, \omega_1) \tilde{E}_l(\mathbf{r}, \omega_2) \tilde{E}_k(\mathbf{r}, \omega - \omega_1 - \omega_2) d\omega_1 d\omega_2 + \int_{\Delta_3} \tilde{E}_l(\mathbf{r}, \omega_1) \tilde{E}_k(\mathbf{r}, \omega_2) \tilde{E}_j(\mathbf{r}, \omega - \omega_1 - \omega_2) d\omega_1 d\omega_2 \right) : \end{aligned} \quad (4.17)$$

Անհրաժեշտ է նշել, որ $\omega - \omega_1 - \omega_2$ -ը բացասական է Δ_1 տիրույթում, և դրական` $\Delta_{2,3}$ տիրույթներում: (4.6)-ի ձախ մասում $k(\omega)^2 \approx [2(\omega - \omega_0)\omega_0 + \omega_0^2]/c^2$: Նշված մոտավորությունը ներկայացված է (4.6)-ը կընդունի հետևյալ տեսքը.

$$\text{rot rot } \tilde{\mathbf{E}}(\mathbf{r}, \omega) - \frac{2(\omega - \omega_0)\omega_0}{c^2} \tilde{\mathbf{E}}(\mathbf{r}, \omega) - k(\omega_0)^2 [1 + \chi^{(1)}(\mathbf{r}, \omega_0)] \tilde{\mathbf{E}}(\mathbf{r}, \omega) = \frac{k(\omega_0)^2}{\epsilon_0} \tilde{\mathbf{P}}^{(3)}(\mathbf{r}, \omega) : \quad (4.18)$$

(4.18)-ը բազմապատկելով $e^{-i(\omega - \omega_0)t} / 2\pi$ -ով, օգտվելով (4.10)-ից և (4.18)-ի ձախ մասում կատարելով ինտեգրումը ստանում $\omega = \omega_0$ համախոս ության $(-\infty, \infty)$ սահմաններում, կստանանք.

$$\begin{aligned} \text{rot rot } \mathbf{E}(\mathbf{r}, t) - k(\omega_0)^2 [1 + \chi^{(1)}(\mathbf{r}, \omega_0)] \mathbf{E}(\mathbf{r}, t) - 2k(\omega_0) \frac{\partial \mathbf{E}(\mathbf{r}, t)}{c \partial t} = \\ = \frac{k(\omega_0)^2}{2\pi \epsilon_0} \int_{-\infty}^{\infty} \mathbf{P}^{(3)}(\mathbf{r}, \omega) \exp[i(\omega - \omega_0)t] d(\omega - \omega_0), \end{aligned} \quad (4.19)$$

որտեղ

$$\mathbf{E}(\mathbf{r}, t) = \tilde{\mathbf{E}}_0(\mathbf{r}, t) \exp(i\mathbf{K}_0 \mathbf{r}) + \tilde{\mathbf{E}}_h(\mathbf{r}, t) \exp(i\mathbf{K}_h \mathbf{r}) : \quad (4.20)$$

Օգտվելով (4.10), (4.17) բանաձևերից և կատարելով ինտեգրումը (4.19)-ի

աջ մասում ըստ $\omega - \omega_0$, $\pm\omega_1 - \omega_0$ և $\pm\omega_2 - \omega_0$ փոփոխականների (“+” նշանը վերցվում է դրական, իսկ “-” նշանը՝ բացասական հաճախությունների համար, տես (4.10)) $(-\infty, \infty)$ սահմաններում, կարելի է ցույց տալ, որ (4.17)-ի աջ մասում երեք գումարելիներն իրար հավասար են, ուստի՝

$$\frac{1}{2\pi} \int_{-\infty}^{\infty} P_i^{(3)}(\mathbf{r}, \omega) \exp[-i(\omega - \omega_0)t] d(\omega - \omega_0) = 3\varepsilon_0 \chi_{\text{իշխ}l}^{(3)}(\omega_0; \omega_0, \omega_0, -\omega_0, \mathbf{r}) E_j(\mathbf{r}, t) E_k(\mathbf{r}, t) E_l^*(\mathbf{r}, t): \quad (4.21)$$

(4.19), (4.21)-ի, (3.7)-ի և (3.8) առնչություններից հետևում է, որ

$$\text{rot rot } \mathbf{E}(\mathbf{r}, t) - k(\omega_0)^2 [1 + \chi^{(1)}(\mathbf{r}, \omega_0)] \mathbf{E}(\mathbf{r}, t) - 2ik(\omega_0) \frac{\partial \mathbf{E}(\mathbf{r}, t)}{c \partial t} = \frac{k(\omega_0)^2}{\varepsilon_0} \mathbf{P}^{(3)}(\mathbf{r}, \omega_0, t), \quad (4.22)$$

որտեղ

$$\mathbf{P}^{(3)}(\mathbf{r}, \omega_0, t) = \varepsilon_0 A(\mathbf{r}, \omega_0) \mathbf{E} \mathbf{E} \mathbf{E}^* + \varepsilon_0 B(\mathbf{r}, \omega_0) \mathbf{E}^* \mathbf{E} \mathbf{E}: \quad (4.23)$$

Օգտվելով (4.22)-ից և կրկնելով Տակագիի երրորդ կարգի ոչ գծային (3.29) հավասարումների արտածումը, σ -բևեռացման համար կստանանք.

$$\begin{aligned} & \frac{2i \partial \tilde{E}_0}{k \partial s_0} + \frac{2i \partial \tilde{E}_0}{k c \partial t} + \chi_0^{(1)} \tilde{E}_0 + \left[\eta_0^{(3)} \left(|\tilde{E}_0|^2 + |\tilde{E}_h|^2 \right) + \eta_h^{(3)} \tilde{E}_0 \tilde{E}_h^* + \eta_{\bar{h}}^{(3)} \tilde{E}_0^* \tilde{E}_h \right] \tilde{E}_0 + \\ & + \left[\chi_{\bar{h}}^{(1)} + \eta_0^{(3)} \tilde{E}_0 \tilde{E}_h^* + \eta_{\bar{h}}^{(3)} \left(|\tilde{E}_0|^2 + |\tilde{E}_h|^2 \right) + \eta_{2\bar{h}}^{(3)} \tilde{E}_0^* \tilde{E}_h \right] \tilde{E}_h = 0, \\ & \frac{2i \partial \tilde{E}_h}{k \partial s_h} + \frac{2i \partial \tilde{E}_h}{k c \partial t} + \chi_0^{(1)} \tilde{E}_h + \left[\eta_0^{(3)} \left(|\tilde{E}_0|^2 + |\tilde{E}_h|^2 \right) + \eta_h^{(3)} \tilde{E}_0 \tilde{E}_h^* + \eta_{\bar{h}}^{(3)} \tilde{E}_0^* \tilde{E}_h \right] \tilde{E}_h + \\ & + \left[\chi_h^{(1)} + \eta_0^{(3)} \tilde{E}_0^* \tilde{E}_h + \eta_h^{(3)} \left(|\tilde{E}_0|^2 + |\tilde{E}_h|^2 \right) + \eta_{2h}^{(3)} \tilde{E}_0 \tilde{E}_h^* \right] \tilde{E}_0 = 0, \end{aligned} \quad (4.24)$$

որտեղ $k \equiv k(\omega_0)$, $\eta^{(3)} = A(\mathbf{r}, \omega_0) + B(\mathbf{r}, \omega_0)$, $\chi^{(1)} \equiv \chi^{(1)}(\mathbf{r}, \omega_0)$:

Օգտակար է այս հավասարումների նաև մեկ այլ ներկայացում: Նշանակելով $E'_{0,h} = \tilde{E}_{0,h} \exp(-ik\chi_0^{(1)} z / 2 \cos\theta)$ և տեղադրելով (4.24)-ի մեջ, կստանանք՝

$$\begin{aligned} & \frac{2i \partial E'_0}{k \partial s_0} + \frac{2i \partial E'_0}{k c \partial t} + \left[\eta_0^{(3)} \left(|E'_0|^2 + |E'_h|^2 \right) + \eta_h^{(3)} E'_0 E'_h{}^* + \eta_{\bar{h}}^{(3)} E'_0{}^* E'_h \right] \exp\left(-\frac{\mu z}{\cos\theta}\right) E'_0 + \\ & + \left[\chi_{\bar{h}}^{(1)} + \left(\eta_0^{(3)} E'_0 E'_h{}^* + \eta_{\bar{h}}^{(3)} \left(|E'_0|^2 + |E'_h|^2 \right) + \eta_{2\bar{h}}^{(3)} E'_0{}^* E'_h \right) \exp\left(-\frac{\mu z}{\cos\theta}\right) \right] E'_h = 0, \\ & \frac{2i \partial E'_h}{k \partial s_h} + \frac{2i \partial E'_h}{k c \partial t} + \left[\eta_0^{(3)} \left(|E'_0|^2 + |E'_h|^2 \right) + \eta_h^{(3)} E'_0 E'_h{}^* + \eta_{\bar{h}}^{(3)} E'_0{}^* E'_h \right] \exp\left(-\frac{\mu z}{\cos\theta}\right) E'_h + \\ & + \left[\chi_h^{(1)} + \left(\eta_0^{(3)} E'_0{}^* E'_h + \eta_h^{(3)} \left(|E'_0|^2 + |E'_h|^2 \right) + \eta_{2h}^{(3)} E'_0 E'_h{}^* \right) \exp\left(-\frac{\mu z}{\cos\theta}\right) \right] E'_0 = 0: \end{aligned} \quad (4.25)$$

Եթե (4.25)-ում տեղադրվի $\eta^{(3)} = 0$, կստացվեն Տակագիի ժամանակային գծային հավասարումները:

Ներմուծենք ուշացման ժամանակը՝ $\tau = t - z/c \cos\theta = t - (s_0 + s_h)/c$
 [225]: Եթե լայնույթները դիտարկենք որպես ֆունկցիա (x, z, τ) -ից կամ (s_0, s_h, τ) -ից, այսինքն՝ $E'_{0,h}(x, z, t) \equiv E'_{0,h}(s_0, s_h, t) = E_{0,hs}(x, z, \tau) \equiv E_{0,hs}(s_0, s_h, \tau)$, և կատարենք

$$\frac{\partial E'_{0,h}}{\partial s_0} = \frac{\partial E_{0,hs}}{\partial s_0} + \frac{\partial E_{0,hs}}{\partial \tau} \frac{\partial \tau}{\partial s_0} = \frac{\partial E_{0,hs}}{\partial s_0} - \frac{\partial E_{0,hs}}{c \partial \tau}$$

ածանցումները, ապա (4.25)-ը կբերվի Տակագիի երրորդ կարգի ոչ գծային ստացիոնար հավասարումներին, որտեղ τ -ն սկենդած պարամետր է՝

$$\begin{aligned} & \frac{2i}{k} \frac{\partial E_{0s}}{\partial s_0} + \left[\eta_0^{(3)} (|E_{0s}|^2 + |E_{hs}|^2) + \eta_h^{(3)} E_{0s} E_{hs}^* + \eta_h^{(3)} E_{0s}^* E_{hs} \right] \exp\left(-\frac{\mu z}{\cos\theta}\right) E_{0s} + \\ & + \left[\chi_h^{(1)} + \left(\eta_0^{(3)} E_{0s} E_{hs}^* + \eta_h^{(3)} (|E_{0s}|^2 + |E_{hs}|^2) + \eta_{2h}^{(3)} E_{0s}^* E_{hs} \right) \exp\left(-\frac{\mu z}{\cos\theta}\right) \right] E_{hs} = 0, \\ & \frac{2i}{k} \frac{\partial E_{hs}}{\partial s_h} + \left[\eta_0^{(3)} (|E_{0s}|^2 + |E_{hs}|^2) + \eta_h^{(3)} E_{0s} E_{hs}^* + \eta_h^{(3)} E_{0s}^* E_{hs} \right] \exp\left(-\frac{\mu z}{\cos\theta}\right) E_{hs} + \\ & + \left[\chi_h^{(1)} + \left(\eta_0^{(3)} E_{0s}^* E_{hs} + \eta_h^{(3)} (|E_{0s}|^2 + |E_{hs}|^2) + \eta_{2h}^{(3)} E_{0s} E_{hs}^* \right) \exp\left(-\frac{\mu z}{\cos\theta}\right) \right] E_{0s} = 0 : \end{aligned} \quad (4.26)$$

(4.26) համակարգը հնարավոր է լուծել, օգտագործելով մեներանգալիքների համար արդեն կիրառված ձևափոխված կեսքայլային եղանակը: Նշենք, որ եթե փորձենք լուծել երրորդ կարգի ոչ գծային (4.24) հավասարումները ֆունրիե-ձևափոխության եղանակով, ապա կգանք (4.18) ինտեգրադիֆերենցիալ հավասարումներին, որոնք շատ դժվար է լուծել թե՛ վերլուծական, և թե՛ թվային եղանակով: Այսպիսով, (4.24) ժամանակային հավասարումները (4.26) ստացիոնար հավասարումներին հանգեցնելը դրանք լուծելու կարճ ճանապարհ է և՛ գծային, և՛ ոչ գծային դեպքում:

Նշենք, որ (4.24) ժամանակային հավասարումները կարելի է ձևակերպել և ընդհանրացնել դեֆորմացված բյուրեղների համար, ներառյալ այն դեպքը, երբ դեֆորմացիաները կախված են ժամանակից, և ապա անցում կատարել համապատասխան ստացիոնար հավասարումներին:

§4.2.2. Տակագիի ժամանակային գծային հավասարումների լուծումը

Սովորաբար (4.25)-ին համապատասխանող, ժամանակային գծային

հավասարումները լուծվում են ըստ ժամանակի Լապլասի կամ ֆուրիե-ձևափոխության մեթոդներով [130,132]: Ստացված հավասարումների լուծումները Գրինի ֆունկցիաներով գտնելուց հետո, այդ լուծումների Լապլասի կամ ֆուրիե-ձևափոխությունների միջոցով գտնվում են ժամանակային հավասարումների լուծումները:

Ստորև առաջարկվել է Տակագիի ժամանակային գծային հավասարումների լուծման նոր եղանակ, առանց Լապլասի կամ ֆուրիե-ձևափոխության օգտագործման և անցնելով ստացիոնար (4.26) հավասարումներին: (4.26)-ին համապատասխանող գծային հավասարումների տեսքն է՝

$$\frac{2i}{k} \frac{\partial E_{0s}}{\partial s_0} + \chi_n^{(1)} E_{hs} = 0, \quad \frac{2i}{k} \frac{\partial E_{hs}}{\partial s_h} + \chi_n^{(1)} E_{0s} = 0 : \quad (4.27)$$

Վերջինները Տակագիի գծային ստացիոնար հավասարումներն են, որոնցում լայնույթները կախված են նաև սկեռված τ պարամետրից:

Առանց խախտելու ընդհանրությունը, պարզության համար դիտարկենք Լաուեի համաչափ երկրաչափության և σ -բևեռացման դեպքը: Գրինի ֆունկցիաների եղանակով կարելի է անմիջապես գրել (4.27)-ի դիֆրակտված դաշտի լայնույթի լուծումը [30,8,9]՝

$$E_{hs}(x, z, \tau) = \int_{-\infty}^{+\infty} G(x-x', z) E_{0s}(x', 0, \tau) dx', \quad (4.28)$$

որտեղ Գրինի ֆունկցիան՝

$$G(x, z) = \frac{ik\chi_n^{(1)}}{4 \sin \theta} J_0 \left(\frac{\pi c t g \theta}{\Lambda} \sqrt{z^2 t g^2 \theta - x^2} \right) H(z t g \theta - |x|), \quad (4.29)$$

$\Lambda = \lambda \cos \theta / \sqrt{\chi_n^{(1)} \chi_n^{(1)'}}$, իսկ $\Lambda_r = \text{Re} \Lambda = \lambda \cos \theta / |\chi_{nr}^{(1)}|$ -ն է քստիկցիոն երկարությունն է: Ենթահետքալ արտահայտությունում անհրաժեշտ է որոշել $E_{0s}(x', 0, \tau)$ -ն: Քանի որ τ -ն սկեռված է, ապա $\tau = t - z/c \cos \theta = t_0$, որտեղ t_0 -ն մուտքի մակերևույթին այն ժամանակն է, որը համապատասխանում է բյուրեղի ներսում z խորությունում դիտման t ժամանակին: Յամաձայն սահմանման՝ $E'_0(x, 0, t_0) = E_{0s}(x, 0, \tau)$: Մյուս կողմից, ընկնող ալիքն ունի

$$E_0^{(i)}(x, t) = E_0(x) F_0 \left(t - \frac{x}{c} \sin \theta \right) \exp(iK_0^{(i)} x), \quad (4.30)$$

տեսքը [129]՝ որտեղ $K_{0x}^{(i)} = k \sin \theta + \Delta\theta$, $\Delta\theta$ -ն Բրեգի ճշգրիտ անկյունն է շեղումն է, ինչպես նաև ենթադրվել է, որ իմպուլսի կենտրոնը $t=0$ պահին հատում է բյուրեղի մուտքի մակերևույթը: Օգտագործելով (4.30)-ը՝ մուտքի մակերևույթին դաշտի անընդհատության պայմանից կստանանք՝

$$E_0(x)F_0\left(t - \frac{x}{c} \sin \theta\right) \exp(ik \cos \theta \Delta\theta x) = E_{0s}(x, 0, \tau): \quad (4.31)$$

(4.31) և (4.28) արտահայտություններից կստանանք՝

$$E_{hs}(x, z, \tau) = \int_{-\infty}^{+\infty} G(x - x', z) \exp(ik \cos \theta \Delta\theta x') E_0(x') F_0\left(\tau - \frac{x'}{c} \sin \theta\right) dx', \quad (4.32)$$

որտեղից՝

$$\tilde{E}_h(x, z, t) = \exp\left(ik \frac{\chi_0^{(i)} z}{2 \cos \theta}\right) \int_{-\infty}^{+\infty} G(x - x', z) \exp(ik \cos \theta \Delta\theta x') E_0(x') F_0\left(t - \frac{z}{c \cos \theta} - \frac{x' \sin \theta}{c}\right) dx': \quad (4.33)$$

(4.33)-ը (4.24)-ի գծային դեպքի լուծումն է դիֆրակտված դաշտի համար:

Ենթադրենք՝ ընկնող իմպուլսը ժամանակից կախված է գառնայան օրենքով [129], ընկնող ալիքի ճակատը հարթ է, դիֆրակցիայի հարթության մեջ ալիքը տարածականորեն սահմանափակված է և բյուրեղի մուտքի մակերևույթին նրա չափը $(-a, a)$ տիրույթում է, այսինքն՝ (4.31)-ում

$$E_0(x) = E_{0i} [H(x+a) - H(x-a)], \quad F_0(t) = \exp\left(-\frac{t^2}{\tau_0^2}\right), \quad (4.34)$$

որտեղ E_{0i} -ն ընկնող իմպուլսի հաստատուն լայնության է, $I_i = |E_{0i}|^2$ -ն՝ ուժգնության խտությունը, $H(x)$ -ը՝ միավոր թռիչքի ֆունկցիան: Ստորև կուսումնասիրենք դիֆրակցիայի հարթության մեջ տարածականորեն սահմանափակված ալիքային ճակատով իմպուլսի ժամանակային դիֆրակցիան: (4.34) և (4.33) առնչություններից կստանանք՝

$$\tilde{E}_h(x, z, t) = \exp\left(ik \frac{\chi_0^{(i)} z}{2 \cos \theta}\right) \int_{a_{\min}}^{a_{\max}} G(x - x', z) \exp(ik \cos \theta \Delta\theta x') \exp\left[-\frac{(x' - x_t)^2 \sin^2 \theta}{c^2 \tau_0^2}\right] dx', \quad (4.35)$$

որտեղ $a_{\min} = \max[-a, x - z \tan \theta]$, $a_{\max} = \min[a, x + z \tan \theta]$,

$$x_t = \tau / \sin \theta = c(t - z / c \cos \theta) / \sin \theta:$$

Ընկնող իմպուլսի կարևոր դեպքերից է գերկարճ ($\tau_0 \rightarrow 0$)

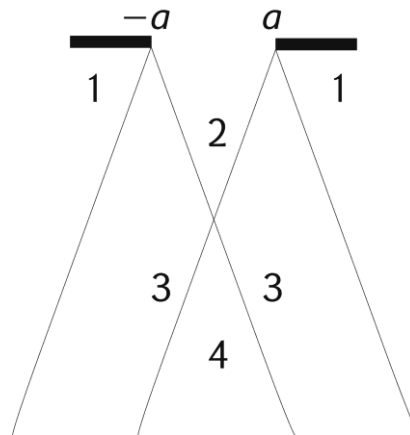
իմպուլսի դեպքը [132], որը համարժեք է $E_0(t) = \delta(t)$ դեպքին, որտեղ $\delta(t)$ -ն Դիրակի դելտա-ֆունկցիան է: (4.35)-ը հանգեցնում է հետևյալ ռեզուլտին (G ֆունկցիան կարելի է դուրս բերել ինտեգրալի նշանի տակից $x' = x_t$ կետում):

$$\tilde{E}_h(x, z, t) = \sqrt{\pi} c \frac{\tau_0}{\sin \theta} \exp\left(ik \frac{X_0^{(0)} z}{2 \cos \theta}\right) G(x - x_t, z) \exp(ik \cos \theta \Delta \theta x_t) E_0(x_t): \quad (4.36)$$

Քանի որ $E_0(x_t) = E_{0i}(H(x_t + a) - H(x_t - a))$, դաշտը գրոհ է այնպիսի ժամանակների համար, որ $-a < x_t < a$, այսինքն՝ $-a \sin \theta / c < \tau < a \sin \theta / c$ և սկեռված z -ի համար դաշտը գոյություն ունի $-a \sin \theta / c + z / c \cos \theta < t < a \sin \theta / c + z / c \cos \theta$ ժամանակի պահերի համար: Քանի որ $z > 0$, ապա t -ն պետք է միշտ մեծ լինի $(-a \sin \theta / c)$ -ից և սկզբունքորեն կարող է ընդունել $+\infty$ -ից փոքր կամայական արժեք, եթե բյուրեղն ունի անվերջ մեծ հաստություն: Սկեռված t -ի համար դաշտը բյուրեղում գոյություն ունի խորությունների $\max[0, -a \sin 2\theta / 2 + ct \cos \theta] < z < a \sin 2\theta / 2 + ct \cos \theta$ տիրույթում: Քանի որ երբ $t > a \sin \theta / c$, $-a \sin 2\theta / 2 + ct \cos \theta > 0$, ապա այսպիսի ժամանակների համար $-a \sin 2\theta / 2 + ct \cos \theta < z < a \sin 2\theta / 2 + ct \cos \theta$: Սանշանակում է, որ իմպուլսի երկարությունը բյուրեղում z առանցքի ուղղությամբ $a \sin 2\theta$ է, երբ $t > a \sin \theta / c$ և $a \sin 2\theta / 2 + ct \cos \theta$ է, երբ $-a \sin \theta / c < t < a \sin \theta / c$: Ինչպես հետևում է (4.36)-ից, որևէ $x_t = \text{const}$ -ի համար $E_0(x_t)$ -ն չի փոփոխվում ժամանակն ու խորությունը համապատասխան չափով փոփոխելիս: Այսպիսով՝ x_t -ի սահմանման համաձայն, հաստատուն x_t -ի դեպքում $dz/dt = c \cos \theta$, և իմպուլսի տարածման արագությունը z առանցքի ուղղությամբ $c \cos \theta$ է: T հաստությամբ բյուրեղի համար, ինչպես հետևում է վերն արված վերլուծությունից, իմպուլսի հետին ճակատը դուրս է գալիս բյուրեղից $t_{\text{max}} = (T / \cos \theta + a \sin \theta) / c$ պահին: (4.36)-ում Գրինի ֆունկցիան գրոյից տարբեր է, երբ $|x - x_t| < z \tan \theta$: Արդյունքում, սկեռված խորությունում դաշտը որևէ (x, z) -ում գրոյից տարբեր է, երբ $x - z \tan \theta < x_t < x + z \tan \theta$, այսինքն, երբ $(x - z \tan \theta) \sin \theta / c + z / c \cos \theta < t < (x + z \tan \theta) \sin \theta / c + z / c \cos \theta$: Չափի առնելով այսպայմանը և վերն արված վերլուծությունը, գտնում ենք

$$\frac{\sin\theta}{c} \max(-a, x - z \operatorname{tg}\theta) + \frac{z}{c \cos\theta} < t < \frac{\sin\theta}{c} \min(a, x + z \operatorname{tg}\theta) + \frac{z}{c \cos\theta} : \quad (4.37)$$

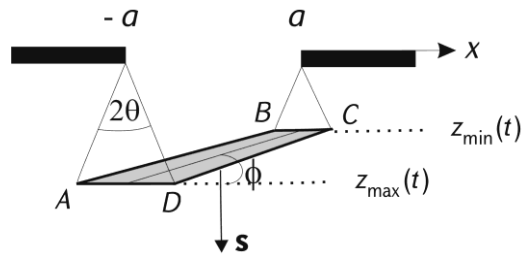
Այս պիստով, բյուրեղի (x, z) սևեռված կետում իմպուլսի տևողությունը կախված է այն բանից, թե որ տիրույթում է դիտման կետը (նկ.4.5): Այս տիրույթները, ինչպես գծային տեսությունում, ստացվում են ճեղքի եզրերով բնութագրիչների տանելով [233]: 1 տիրույթում էլեկտրական դաշտի լարվածության լայնությամբ զրո է ժամանակի բոլոր պահերին: (4.37)-ի համաձայն՝ 2 տիրույթում իմպուլսի տևողությունը սևեռված կետում $2z \operatorname{tg}\theta \sin\theta / c$ է: 3 տիրույթում սևեռված կետում իմպուլսի տևողությունը $(z \operatorname{tg}\theta + a) \sin\theta / c$ է: Եվ, վերջապես, 4 տիրույթի սևեռված կետում իմպուլսի տևողությունը $2a \sin\theta / c$ է: Միաժամանակ ունենք՝ $x_t - z \operatorname{tg}\theta < x < x_t + z \operatorname{tg}\theta$: Տրված z -ի և t -ի համար դաշտը զրոյից տարբեր է միեռանկյան ներսում, որի գագաթը մուտքի



Նկ.4.5. Ընկնող սահմանափակ պիքային ճակատով իմպուլսի դիֆրակտային տիրույթները բյուրեղի ներսում

մակերևույթի $-a \leq x_t(z, t) \leq a$ կետում է և ունի 2θ բացվածքի անկյուն: x_t -ի արտահայտությունը տեղադրելով այդ պայմանի մեջ, կստանանք $ct / \sin\theta - 2z(1 + \sin^2\theta) / \sin 2\theta < x < ct / \sin\theta - z \operatorname{ctg}\theta$: Լայնությունը x առանցքի ուղղությամբ $2z \operatorname{tg}\theta$ է: Իմպուլսի հետին ճակատում $z_{\min}(t) = -a \sin 2\theta / 2 + ct \cos\theta$ և $-ct \sin\theta + a(1 + \sin^2\theta) < x < ct \sin\theta + a \cos^2\theta$: Այսպիսով, իմպուլսի ետին ճակատում իմպուլսի կենտրոնի կոորդինատը՝ $x_c(z_{\min}) = a$: Իմպուլսի առաջնային ճակատում $z_{\max}(t) = ct \cos\theta + a \sin 2\theta / 2$, և $-ct \sin\theta - a(1 + \sin^2\theta) < x < ct \sin\theta - a \cos^2\theta$, ուստի

$x_c(z_{max}) = -a$: Այս պահի սովորաբար իմպուլսի առաջնային և հետին ճակատներում կենտրոնների կոորդինատները կախված չեն ժամանակից, և իմպուլսը շարժվում է z առանցքի ուղղությամբ $c \cos \theta$ արագությամբ:



Նկ.4.6. Դիֆրակցիայի իմպուլսի ABCD տեսքը բյուրեղի ներսում որևէ սկզբնական $t > a \sin \theta / c$ պահի համար ընկնող անվերջ կարճ իմպուլսի դեպքում: AD-ն և BC-ն զուգահեռ են x առանցքին: Ցույց է տրված x առանցքի նկատմամբ իմպուլսի թեքության ϕ անկյունը:

Իմպուլսի տարածական երկարությունն իր շարժման ուղղությամբ $a \sin 2\theta$ է, իսկ տևողությունը՝ $a \sin 2\theta / c \cos \theta = 2a \sin \theta / c$: Կենտրոնները միացնող գիծն x առանցքի հետկազմում է ϕ անկյուն, որը տրվում է

$$\tan \phi = \frac{z_{max}(t) - z_{min}(t)}{x_c(z_{min}) - x_c(z_{max})} = \frac{1}{2} \sin 2\theta \quad (4.38)$$

առնչությամբ: Վերն արված վերլուծությունը նաև ցույց է տալիս, որ z խորությունում դիֆրակցիայի տևողության ամբողջ ժամանակի համար դաշտը զրոյից տարբեր է $-a - z \tan \theta < x < a + z \tan \theta$ տիրույթում: Նկ.4.6-ում պատկերված է իմպուլսի ABCD տեսքը բյուրեղում սկզբնական $t > a \sin \theta / c$ պահին, որն ստացվել է վերն արված վերլուծության հիման վրա: Նկ.4.6-ում AD-ն զուգահեռ է BC-ին, $AD = 2z_{max} \tan \theta$ և $BC = 2z_{min} \tan \theta$, իսկ AB-ն զուգահեռ չէ CD-ին, քանի որ $AD > BC$: Ընկնող, անսահմանափակ ճակատով իմպուլսի թեքության անկյունը և ձևը դիտարկվել է [129,136] աշխատանքներում:

Այժմ դիտարկենք բյուրեղից դուրս՝ վակուումում, դիֆրակցիայի դաշտի իմպուլսի տարածումը, որն ուսումնասիրվել է [129,142] աշխատանքներում դաշտի ֆուրիե-վերլուծության հիման վրա:

Ստորև տրվում է դաշտի տարածման ուսումնասիրության այլ

եղանակ՝ որի հիմքում անցումն է իմպուլսի հետ կապված համակարգին, որտեղ իմպուլսի տարածման հավասարումը գրեթե ստացիոնար է [225]: (4.7)-ը տեղադրելով (3.2)-ի մեջ և աջ մասում բևեռացումը վերցնելով գրո, դիֆրակտված դաշտի դանդաղ փոփոխվող լայնույթի համար ստանում ենք հետևյալ տարածման հավասարումը.

$$\Delta \tilde{E}_h(x, y, z, t) + 2ik \frac{\partial \tilde{E}_h(x, y, z, t)}{\partial S_h} + 2ik \frac{\partial \tilde{E}_h(x, y, z, t)}{c \partial t} - \frac{\partial^2 \tilde{E}_h(x, y, z, t)}{c^2 \partial t^2} = 0: \quad (4.39)$$

Անցնելով $x, y, z, \tau = t - \zeta/c$ կոորդինատներին, որտեղ $\zeta = -x \sin \theta + (z - T) \cos \theta$, և $\tilde{E}_h(x, y, z, t) = E_{hs}(x, y, z, \tau)$ լայնույթներին, (4.39)-ից կստանանք՝

$$\frac{\partial^2 E_{hs}}{\partial y^2} + \frac{\partial^2 E_{hs}}{\partial x^2} + \frac{\partial^2 E_{hs}}{\partial z^2} + 2ik \frac{\partial \left(1 + \frac{i}{\omega_0} \frac{\partial}{\partial \tau} \right) E_{hs}}{\partial S_h} = 0: \quad (4.40)$$

Բյուրեղի ելքի մակերևույթին մոտ հեռավորություններում (4.40)-ը կարելի է ներկայացնել

$$\frac{\partial E_{hs}}{\partial S_h} = 0: \quad (4.41)$$

մոտավոր տեսքով: Այսպիսով՝ կարելի է օգտվել $\partial / \partial z \approx \tan \theta \partial / \partial x$ և $\partial^2 / \partial z^2 \approx \tan^2 \theta \partial^2 / \partial x^2$ մոտավորություններից: Դրանցից վերջինը տեղադրելով (4.40)-ի մեջ, կստանանք՝

$$\frac{\partial^2 E_{hs}}{\partial y^2} + \frac{1}{\cos^2 \theta} \frac{\partial^2 E_{hs}}{\partial x^2} + 2ik \frac{\partial \left(1 + \frac{i}{\omega_0} \frac{\partial}{\partial \tau} \right) E_{hs}}{\partial S_h} = 0: \quad (4.42)$$

Դիտարկենք դաշտի տարածումը բյուրեղի ելքի մակերևույթին մոտ տիրությունում: (4.41)-ի համաձայն՝ $E_{hs}(x, y, z, \tau) = E_{hs}(x + z \tan \theta, y, \tau)$: Օգտվելով բյուրեղի ելքի մակերևույթին դաշտի անընդհատություն պայմանից՝ կստանանք.

$$E_{hs}(x + z \tan \theta, y, \tau) = E_{hs}^{(e)}(x + (z - T) \tan \theta, y, T, \tau) = \tilde{E}_h^{(e)} \left(x + (z - T) \tan \theta, y, T, t - \frac{z - T}{c \cos \theta} \right), \quad (4.43)$$

$$\tilde{E}_h(x, y, z, t) = E_{hs}(x, y, z, \tau) = \tilde{E}_h^{(e)} \left(x + (z - T) \tan \theta, y, T, t - \frac{z - T}{c \cos \theta} \right), \quad (4.44)$$

որտեղ e ցուցիչը նշում է լայնույթը բյուրեղի ելքի մակերևույթին ((4.35) և (4.36) բանաձևեր): Եթե t' -ը բյուրեղի ելքի

մակերևույթին դիտման ժամանակի այն պահն է, որը համապատասխանում է բյուրեղից դուրս (x, z) կետում դիտման ժամանակի t պահին, ապա $t' = t - (z - T) / c \cos \theta$, որն էլ օգտագործվել է (4.44)-ում: (4.44)-ում անցնելով (ξ, ζ) կոորդինատներին՝

$$\xi = x \cos \theta + (z - T) \sin \theta, \zeta = -x \sin \theta + (z - T) \cos \theta, \quad (4.45)$$

կարող ենք գրել, որ

$$\tilde{E}_h(x, y, z, t) = \tilde{E}_h^{(e)}\left(\frac{\xi}{\cos \theta}, y, T, t - \frac{\xi \operatorname{tg} \theta}{c} - \frac{\zeta}{c}\right): \quad (4.46)$$

Նշենք, որ (4.46)-ում պետք է վերցվի (տես (4.35))

$$x_\tau = \frac{ct - \frac{T}{\cos \theta} - \xi \operatorname{tg} \theta - \zeta}{\sin \theta}: \quad (4.47)$$

Փորձում չափվում է (4.46)-ին համապատասխանող ուժգնությանը: Այսպիսով՝ կարևոր է դառնում (4.46)-ի ֆուրիե-սպեկտրը և դրա համեմատումն ընկնող իմպուլսի ֆուրիե-սպեկտրի հետ: Սահմանման համաձայն՝ (4.46)-ի ֆուրիե-սպեկտրը՝

$$F_h(\omega) = \exp\left[i\frac{\omega}{c}(\xi \operatorname{tg} \theta + \zeta)\right] \int_{-\infty}^{\infty} \tilde{E}_h^{(e)}\left(\frac{\xi}{\cos \theta}, y, T, t\right) \exp(i\omega t) dt: \quad (4.48)$$

Քննարկենք ընկնող անվերջ կարճ իմպուլսի դեպքը: Օգտվելով գերկարճ իմպուլսի դեպքում դիֆրակտված դաշտի լայնույթի (4.36) տեսքից $z = T$ -ում, կստանանք.

$$F_h(\omega) = \exp\left[i\frac{\omega}{c}(\xi \operatorname{tg} \theta + \zeta)\right] \int_{t_{\min}}^{t_{\max}} \tilde{E}_h^{(e)}\left(\frac{\xi}{\cos \theta}, y, T, t\right) \exp(i\omega t) dt, \quad (4.49)$$

որտեղ $t_{\min} = -a \sin \theta / c + T / c \cos \theta$, $t_{\max} = a \sin \theta / c + T / c \cos \theta$: (4.36) և (4.49)

արտահայտություններից ֆուրիե-սպեկտրը՝

$$F_h(\omega) = ik \chi_h^{(1)} \frac{\sqrt{\pi} \tau_0}{4 \sin \theta} \exp\left[i\frac{\omega}{c}\left(\left(1 + \frac{\chi_0^{(1)}}{2}\right) \frac{T}{\cos \theta} + \zeta\right)\right] \int_{a_{\min}}^{a_{\max}} J_0\left(\frac{\pi c t \operatorname{tg} \theta}{\Lambda} \sqrt{T^2 \operatorname{tg}^2 \theta - t^2}\right) \exp\left(i\omega t \frac{\sin \theta}{c}\right) dt \quad (4.50)$$

որտեղ $a_{\min} = \max(-a, -T \operatorname{tg} \theta)$, $a_{\max} = \min(a, T \operatorname{tg} \theta)$: Եթե $a \geq T \operatorname{tg} \theta$, ապա ինտեգրումը կատարվում է վերլուծականորեն, օգտագործելով համապատասխան աղյուսակային ինտեգրալ [235]՝

$$F_h(\omega) = ik \sqrt{\pi} \tau_0 \sqrt{\frac{\chi_h^{(1)}}{\chi_h^{(1)}}} \exp\left(ik \frac{\chi_0^{(1)} T}{2 \cos \theta}\right) \frac{\sin\left(\frac{\pi T}{\Lambda} \sqrt{1 + \Omega^2}\right)}{\sqrt{1 + \Omega^2}}, \quad (4.51)$$

որտեղ $\Omega = 2\omega \sin^2 \theta / \sqrt{\chi_h^{(1)} \chi_h^{(2)}} \omega_0$: Ինչ պես հետևում է (4.51)-ից, անդրադարձած դաշտի սպեկտրը հիմնականում գրոյից տարբեր է հաճախության նկատմամբ $|\Delta\omega / \omega_0| = \sqrt{\chi_h^{(1)} \chi_h^{(2)}} / \sin^2 \theta$ տիրույթում: Եթե $a < T \tan \theta$, ապա ինտեգրումը կատարվում է թվային եղանակով: Բայց եթե $a < \Lambda \tan \theta / \pi$, ապա Բեսելի ֆունկցիան կարելի է դուրս բերել ինտեգրալի նշանի տակից $t=0$ կետում, և այս դեպքում

$$F_h(\omega) \approx ika \chi_h^{(1)} \frac{\sqrt{\pi} \tau_0}{2 \sin \theta} \exp \left[i \frac{\omega}{c} \left(\left(1 + \frac{\chi_0^{(1)}}{2} \right) \frac{T}{\cos \theta} + \zeta \right) \right] J_0 \left(\frac{\pi T}{\Lambda} \right) \frac{\sin \Omega_1}{\Omega_1}, \quad (4.52)$$

որտեղ $\Omega_1 = \omega a \sin \theta / c$, իսկ հաճախության նկատմամբ տիրույթը որոշվում է

$$|\Delta\omega / \omega_0| = \frac{2\pi c}{\omega_0 a \sin \theta} = \frac{\lambda}{a \sin \theta} \quad (4.53)$$

առնչությունից: Իմպուլսի ձևի և տևողության վերլուծությունը կատարվում է նույն կերպ, ինչպես բյուրեղի ներսում: Քանի որ $-a < x_t < a$, ապա: Անհրաժեշտ է վերցնել $ct > ct_{\max} = T / \cos \theta + a \sin \theta$: $-a \sin 2\theta / 2 - T + ct \cos \theta < z - T < a \sin 2\theta / 2 - T + ct \cos \theta$, քանի որ $\xi \tan \theta + \zeta = (z - T) / \cos \theta$: Մյուս կողմից $x_t - T \tan \theta < \xi / \cos \theta < x_t + T \tan \theta$ կամ

$$\frac{ct}{\sin \theta} - \frac{2T}{\sin 2\theta} - 2 \frac{z - T}{\sin 2\theta} - T \tan \theta < x + (z - T) \tan \theta < \frac{ct}{\sin \theta} - \frac{2T}{\sin 2\theta} - 2 \frac{z - T}{\sin 2\theta} + T \tan \theta : (4.54)$$

Իմպուլսի հետին ճակատում այս պայմանը կարելի է գրել

$$a - T \tan \theta < x + (z - T) \tan \theta < a + T \tan \theta, \quad (4.55)$$

իսկ առաջնային ճակատում՝

$$-a - T \tan \theta < x + (z - T) \tan \theta < -a + T \tan \theta \quad (4.56)$$

տեսքով: Առաջնային և հետին ճակատների $x_c + (z - T) \tan \theta = \pm a$ կենտրոնները շարժվում են $-c \sin \theta$ արագությամբ x առանցքի ուղղությամբ և $c \cos \theta$ արագությամբ z առանցքի ուղղությամբ: Իմպուլսի թեքության անկյունը տրվում է (4.38) արտահայտությամբ, ինչ որ բյուրեղի ներսում: Ինչպես հետևում է (4.54)–(4.56) առնչություններից, իմպուլսի ձևը վակուումում նույնն է, ինչ որ բյուրեղի ներսում (նկ.4.7), բայց բյուրեղից դուրս $AD = BC = 2T \tan \theta$ և AD -ին զուգահեռ բոլոր գծերն իմպուլսի ներսում ունեն նույն՝ $2T \tan \theta$ լայնությունը: Այսպիսով՝ AB և CD գծերը բյուրեղից դուրս

զուգահեռ են միմ-յանց: Բյուրեղից դուրս իմպուլսի ձևը զուգահեռագիծ է: Այս զուգահեռագիծը շարժվում է դիֆրակտված ալիքի տարածման ուղղությամբ՝ առանց փոխելու իր ձևը:

Այժմ դիտարկենք **վերջավոր տևողության** իմպուլսի ժամանակային գծային դիֆրակցիան բյուրեղում: Ինչպես հետևում է (4.35)-ից, դիֆրակցիայի տիրույթը բյուրեղում կարելի է բաժանել չորս տիրույթի, ինչպես մեներանգ ալիքի դեպքում [233]: Այդ տիրույթները ցույց են տրված նկ.4.5-ում: 1 տիրույթում դաշտը զրո է: 2 տիրույթը համապատասխանում է անվերջ ճակատով ընկնող ալիքի դեպքին: 3 տիրույթում ունենք ճեղքի եզրերի պատկերը: Վերջապես, 4 տիրույթը համապատասխանում է վերջավոր սահմանափակ ճակատով ընկնող ալիքին (մասնավորապես $a \rightarrow 0$ դեպքում այս տիրույթը համապատասխանում է Կատոյի գնդային ալիքային դիֆրակցիայի դեպքին): Եթե $\sigma_0 / \sin\theta \ll a$, ապա իմպուլսի ձևը, թեքության անկյունը և տևողությանը կլիներ նույնը, ինչ որ գերկարճ տևողությամբ ընկնող իմպուլսի դեպքում: Երբ $a \rightarrow 0$ (միաժամանակ $\sigma_0 / \sin\theta \gg a$),

$$\tilde{E}_h(x, z, t) \approx 2a \exp\left[ik \frac{X_0 z}{2 \cos\theta}\right] G(x, z) \exp\left[-\frac{x^2 \sin^2 \theta}{c^2 \tau_0^2}\right]: \quad (4.57)$$

(4.35)-ի համաձայն: (4.57)-ի համաձայն, իմպուլսի թեքության անկյունը զրո է: Իմպուլսը տարածվում է շառանգքի ուղղությամբ $c \cos\theta$ արագությամբ: Սկեռված z -ի համար իմպուլսը լցնում է մի եռանկյուն, որն ունի 2θ բացվածքով անկյուն և որի գագաթը $(0,0)$ կետում է: Իմպուլսի տևողությունը $2\tau_0$ է, իսկ z առանցքի ուղղությամբ դրա երկարությունը՝ $2\tau_0 c \cos\theta$: Սա նաև իմպուլսի տևողությունն է որևէ սկեռված (x, z) կետում: Այսպիսով՝ բյուրեղի ներսում իմպուլսի թեքության անկյունը և տևողությունը ֆունկցիա են օգտագործվող ճեղքի լայնությանից:

§4.2.3. Տակագիի երրորդ կարգի ժամանակային ոչ-գծային հավասարումների լուծումը թվային եղանակով

Այժմ դիտարկենք երրորդ կարգի ոչ գծային ժամանակային դիֆրակցիայի դեպքը և երրորդ կարգի ոչ-գծային ժամանակային (4.25)

հավասարումները լուծենք, անցնելով (4.26) երրորդ կարգի ոչ գծային ստացիոնար հավասարումներին և օգտագործելով ձևափոխված կեսքայլային եղանակը: Օգտվենք դաշտի անընդհատությամբ (4.31) պայմանից բյուրեղի մուտքի մակերևույթին: Ընկնող իմպուլսի գառուսյան օրենքով ժամանակային կախման դեպքում թվային հաշվարկով ստացված գծային և ոչ գծային ժամանակային դիֆրակցիայի դեպքերի արդյունքները համեմատենք միմյանց հետ դինամիկական դիֆրակցիայի բոլոր տիրույթներում (նկ.4.7): Ժամանակն արտահայտենք Φ միավորով, x կոորդինատը՝ $\Lambda_x \theta$ միավորով, իսկ z կոորդինատը՝ Λ_x միավորով: Ուսումնասիրենք դիֆրակտված դաշտի անդրադարձման

$$R_h^t = \frac{|\tilde{E}_h(x_0, z_0, t)|^2}{I^i} \quad (4.58)$$

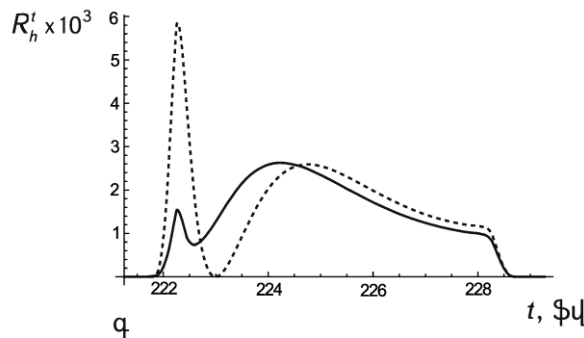
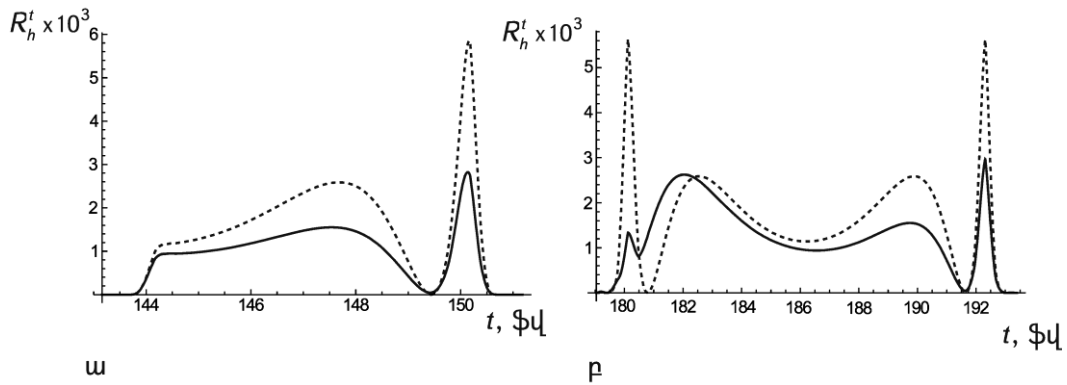
գործակիցը սկսելով (x_0, z_0) կետում՝ թվային եղանակով ինտեգրելով Տակագիի եր-րորդ կարգի ոչ գծային ստացիոնար (4.26) հավասարումները գծային և ոչ գծային դեպքերում:

Դիտարկենք կարճ ընկնող իմպուլսի դեպքը՝ $\tau_0 = 0,2 \Phi$ և սահմանափակող ճեղքի չափի $a = 10$ և $a = 1$ դեպքերը (սիճ20) անդրադարձման համար, ալիքի երկարությունը՝ $\lambda = 0,71 \text{ \AA}$, ընկնող իմպուլսի ու ժգնությունը՝ $I_i = 0,5$ ($I_{cr}/3$ -ի միավորով):

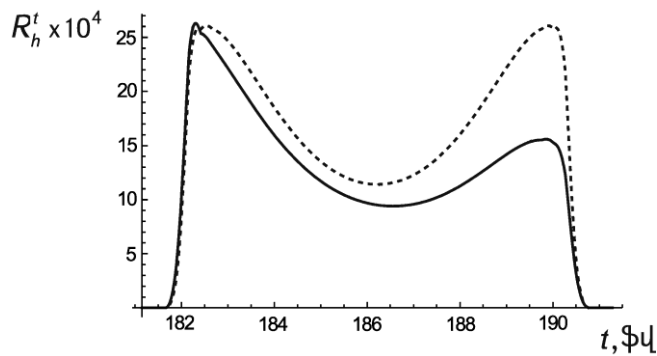
$a = 10$ (≈ 70 մկմ) դեպքում դիտարկենք երեք դիտման կետեր՝ $(-a; 1,5)$, $(0; 1,5)$ և $(a; 1,5)$: Դիտման առաջին և երրորդ կետերն ընկած են դիֆրակցիայի 3 տիրույթում, իսկ երկրորդը՝ 2 տիրույթում (նկ.4.5): Դիտման խորությունն այս դեպքի համար վերցված է $z_0 = 1,5 \Lambda_x \approx 55$ մկմ: Թվային հաշվարկով ստացված անդրադարձման (4.58) գործակցի կախումը ժամանակից այս դեպքի համար պատկերված է տրված նկ.4.7-ում: Նկ.4.7.ա-ում պատկերված է (4.58) անդրադարձման գործակցի կախումը ժամանակից $(-a; 1,5)$ դիտման կետում, նկ.4.7.բ-ում՝ $(0; 1,5)$ կետում, նկ.4.7.գ-ում՝ $(a; 1,5)$ կետում (կետագծով տրված են գծային, իսկ հոծ գծով՝ ոչ գծային դիֆրակցիային համապատասխանող կախումները): Ինչպես երևում է նկ.4.7.աից, անդրադարձման գործակցի կախումը ժամանակից և իմպուլսի

տևողությունը նույնն են գծային և ոչ գծային դեպքերում, սակայն ոչ գծային դեպքում անդրադարձման գործակցի արժեքն ավելի փոքր է: $(0;1,5)$ դիտման կետում (նկ.4.7.բ) գծային և ոչ գծային դեպքերում իմպուլսի տևողությունը նույնն է, բայց իմպուլսի ձևը տարբեր է: Ի տարբերություն նկ.4.7.ա-ի դեպքի, $(a;1,5)$ կետում (նկ.4.7.բ) գծային և ոչ գծային դեպքերին համապատասխանող իմպուլսի ձևերը նույնը չեն: Նկ.4.8-ում պատկերված է անդրադարձման գործակցի կախումը ժամանակից, երբ $a = 1$ (≈ 7 մկմ), իսկ դիտման կետի կոորդինատն է $(0;1,5)$: Դիտման այս կետը ճեղքի տրված լայնության դեպքում ընկած է դիֆրակցիայի 4 տիրույթում (նկ.4.5): Ինչպես երևում է նկ.4.8-ից, իմպուլսի ձևը գծային և ոչ գծային դեպքերում տարբեր է, իսկ տևողությունը՝ նույնը:

Ամփոփելով, կարելի է ասել, որ բյուրեղի վրա ընկնող կարճ իմպուլսի դեպքում դիֆրակցիայի բոլոր տիրույթներում իմպուլսի տևողությունը գծային և ոչ գծային դեպքերում նույնն է: Դիֆրակցիայի ձախակողմյան 3 տիրույթում (նկ.4.5) գծային և ոչ գծային դեպքերում իմպուլսի ձևը նույնն է, բայց անդրադարձման գործակցի արժեքը ոչ գծային դեպքում ավելի փոքր է: Դիֆրակցիայի մյուս բոլոր տիրույթներում գծային և ոչ գծային իմպուլսների ձևերը տարբեր են: Ոչ գծային դեպքում, որպես հետևանք ինքնամակաձված Բրեգի անկյուննից շեղման պարամետրի, փոխվում է իմպուլսի ձևը: Նկ.4.7.ա և բ-ում և նկ.4.8-ում դիտվում է իմպուլսի անդրադարձման գործակցի ժամանակային կախման ինքնաթեքվածացում (self steepening):



Նկ.4.7. Դիտման սևեռված կետում թվային հաշվարկով ստացված դիֆրակտված փնջի անդրադարձման R_h^t գործակցի կախումը ժամանակից, $a=10$, սևեռված կետի կոորդինատներն են $ա$. $(-a;1,5)$; $բ$. $(0;1,5)$; $գ$. $(a;1,5)$. Կետագիծ՝ գծային դիֆրակցիա, հոծ գիծ՝ ոչ գծային դիֆրակցիա: Ընկնող իմպուլսի ու ժգնությանը՝ $I_i = 0,5$:



Նկ.4.8. Դիտման սևեռված կետում դիֆրակտված փնջի անդրադարձման R_h^t գործակցի կախումը ժամանակից, $a=1$, սևեռված կետի կոորդինատն է $(0;1,5)$. Կետագիծ՝ գծային դիֆրակցիա, հոծ գիծ՝ ոչ գծային դիֆրակցիա: Ընկնող իմպուլսի ու ժգնությանը՝ $I_i = 0,5$ (թվային հաշվարկ):

Բևեռացել իության ոչ գծային իրական մասի ֆուրիե-գործակիցներն ստացվել են $\eta_{0r}^{(3)} = 3|\chi_{0r}^{(1)}|/I_{cr}$, $\eta_{hr}^{(3)} = 3|\chi_{hr}^{(1)}|/I_{cr}$ առնչություններից, իսկ կեղծ մասի ֆուրիե-գործակցի արժեքների համար վերցրել ենք $\eta_{0,hi}^{(3)}/\eta_{0,hr}^{(3)} = 0,01$ հարաբերությունը, ինչը

մոտավորապես նույնն է, ինչ գծային մասի համար:

ԵՃՐԱԿԱՑՈՒ ԹՅՈՒՆ ԱՏԵՆԱԽՈՍՈՒ ԹՅԱՆ ԱՌԱՋԻՆ ՄԱՍԻ

1. Վերլուծվել է ըստ դիֆրակցիայի հարթությանն ուղղահայաց ուղղությամբ կոորդինատի լայնությաների երկրորդ կարգի ածանցյալների դերը դինամիկական դիֆրակցիայի հավասարումներում: Այն հաշվի է առնում ընկնող ալիքի ալիքային ճակատի երկչափ կորությունը: Ստացվել է երկրորդ կարգի ածանցյալներ պարունակող դինամիկական դիֆրակցիայի հավասարումների Գրինի ֆունկցիայի հավասարումը և գտնվել է ուշա-ցող Գրինի ֆունկցիայի վերլուծական արտահայտություն կատարյալ բյուրեղում: Ան-ցած և դիֆրակտված դաշտերի լայնություները կատարյալ բյուրեղում ներկայացվել են ըստ բյուրեղի մակերևույթի ինտեգրալով (Ջյուլյգենս-Ֆրենելի դինամիկական դիֆրակտային սկզբունք):

2. Լատեի երկրաչափության դեպքում որոշվել են բյուրեղում վերջավոր չափերով քվադրմենտերանգ աղբյուրի լայնություները, հաշվի է առնվել նաև «աղբյուր-բյուրեղ» հեռավորությունը: Տարածական և ժամանակային կոհերենտության համար ստացվել են պայմաններ, որոնք բավարարվելու դեպքում աղբյուրի չափերը և ոչ մենտերանգությունը չեն ազդում դիֆրակտային պատկերի ուժգնության բաշխման վրա: Վերլուծվել է ընկնող տեղայնորեն հարթ, երկչափ ալիքային ճակատի կորությամբ ալիքի դեպքը, որի հիման վրա կառուցվել են ճոճման կորերը՝ կախված դիֆրակցիայի հարթության մեջ և այդ հարթությանն ուղղահայաց ուղղությամբ Բրեգի անկյուննից շեղման պարամետրերից:

3. Բրեգի երկրաչափության դեպքում գտնվել են երկչափ ալիքային ճակատի կորությամբ ալիքի դինամիկական դիֆրակցիայի հավասարումների Գրինի ֆունկցիան կատարյալ բյուրեղում, ալիքների լայնություններն արտահայտվել են ըստ բյուրեղի մակերևույթի ինտեգրալով: Որոշվել են վերջավոր չափերով քվադրմենտերանգ աղբյուրի լայնություները բյուրեղում և բյուրեղի մակերևույթին, հաշվի է առնվել նաև «աղբյուր-բյուրեղ» հեռավորությունը:

4. Բրեգի երկրաչափության դեպքում տարածական և ժամանակային կոհերենտության համար ստացվել են պայմաններ, որոնց բավարարվելու դեպքում աղբյուրի չափերը և ոչ մենտերանգությունը չեն ազդում դիֆրակտային պատկերի

ուժգնության բաշխման վրա: Վերլուծվել է ընկնող տեղայնորեն հարթ, երկչափ ալիքային ճակատի կորույթ ամբ ալիքի դեպքը, որի հիման վրա կառուցվել են ճոճման կորերը՝ կախված դիֆրակցիայի հարթության մեջ և այդ հարթությանն ուղղահայաց ուղղությամբ Բրեգի անկյունից շեղման պարամետրերից:

5. Դինամիկական դիֆրակցիայի էյկոնալային մոտավորությունը, որն արվում է դինամիկական դիֆրակցիայի հավասարումների համակարգից դիֆրակտված ալիքների լայնույթների համար գրված երկրորդ կարգի մասնակի դիֆերենցիալ հավասարումներին անցումով, հնարավորություն է տալիս բացահայտ տեսքով գրել ու լայնույթների ասիմպտոտական վերլուծության շարքի բոլոր անդամների տեղափոխման հավասարումները և տեղափոխման հավասարումը լրիվ լայնույթի համար:

6. Արտածվել է էյկոնալի հավասարումը դինամիկական դիֆրակցիայի հավասարումներից, որոնցում թողնվել են լայնույթների երկրորդ կարգի ածանցյալներն ըստ դիֆրակցիայի հարթությանն ուղղահայաց ուղղության կոորդինատի: Գտնվել են լրիվ ինտեգրալը և հետագծերը բյուրեղում և վակուումում: Լաուեի երկրաչափության դեպքում վերլուծվել է մուտքի և ելքի պարաբոլարդի տեսքով մակերևույթներով բյուրեղում և վակուումում ռենտգենյան ալիքի կիզակետման խնդիրը: Ստացվել են հետագծերի հավասարումները, սահմանային պայմաններին բավարարող էյկոնալը և կիզակետային հեռավորության, կիզակետի չափերի ու կիզակետի շուրջն ուժգնության բաշխման համար վերլուծական արտահայտություններ: Բրեգի երկրաչափության դեպքում նույն տեսությունը կիրառվել է մուտքի պարաբոլարդի տեսքով բյուրեղով կիզակետման խնդրում:

7. Չարգացվել է երրորդ կարգի ոչ գծային դինամիկական դիֆրակցիայի տեսություն: Արտածվել են երրորդ կարգի ոչ գծային դինամիկական դիֆրակցիայի հավասարումները: Գնահատվել է երրորդ կարգի ոչ գծային բևեռացվելիության արժեքը ռենտգենյան հաճախության տիրույթում, ցույց է տրվել, որ ներկայիս ռենտգենյան երրորդ սերնդի սինթրոտրոնային աղբյուրների և ազատ էլեկտրոնային լազերների հզորությունները բավարարեն ոչ գծային դինամիկական դիֆրակտային երևույթներ դիտելու համար: Լաուեի դեպքում ուսումնասիրվել են ոչ գծային հարթալիքային

երևույթները: Լաուեի և Բրեգի դեպքերում ստացվել են ճշգրիտ լուծումներ: Չայ տնաքերվել է ոչ գծային ճոճանակային երևույթը, գտնվել է ոչ գծային էքստինկցիոն երկարության կախումն ու ժգնություննից: Չայ տնաքերվել է նոր՝ ոչ գծային ճոճանակային երևույթ՝ սևեռված հաստությամբ բյուրեղում անցման և անդրադարձման գործակիցները պարբերական ֆունկցիաներ են ընկնող ալիքի ու ժգնություննից:

8. Արտածվել են դինամիկական դիֆրակցիայի երրորդ կարգի ոչ գծային ժամանակային հավասարումները: Տրվել է այդ հավասարումների լուծման արդյունավետ եղանակ՝ իմպուլսին կապված ստացիոնար համակարգին անցնելով: Ոչ գծային դեպքում հայ տնաքերվել է իմպուլսի ինքնաթեքման երևույթը:

**Մաս 2. ԴԻՆԱՄԻԿԱԿԱՆ ԴՖԻՐԱԿՏԱՅԻՆ ԿՈՐԵՐԵՆՏ
ՅՈՒՐԻՏ-ՌԵՍՏՐԱՍՏՐԱԿՏԱՎՈՐ ԹՅԱՆ ՏԵՍՈՒ ԹՅՈՒՆ**

**ԳԼՈՒԽ 5. ԴԻՆԱՄԻԿԱԿԱՆ ԴՖԻՐԱԿՏԱՅԻՆ ՄԵԿԲՅՈՒՐԵՂԱՅԻՆ
ՖՈՒՐԻԵ-ՅՈՒՐԻՏ**

§5.1. Դինամիկական դիֆրակցիաներ կողմ ճեղքի վրա Յուլսգի գծեր

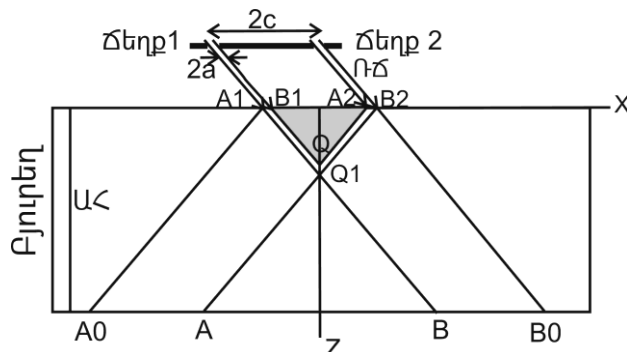
§5.1. 1. Հիմնական բանաձևեր

Ռենտգենյան ճառագայթների դինամիկական դիֆրակցիան բյուրեղում էապես կախված է ինչպես բյուրեղի կատարելության աստիճանից, այնպես էլ ընկնող փնջի պարամետրերից: Մեներանգ, տարածականորեն անհամասեռ փնջի դինամիկական դիֆրակցիան նկարագրվում է Տակագիի հավասարումներով [30], որոնց լուծման ընդհանուր եղանակը տրվել է [33,34,236]-ում: Դինամիկական դիֆրակցիայի հավասարումները կիրառելի են, երբ ալիքի երկարությունը շատ ավելի փոքր է, քան անհամասեռությունների փոփոխման բնութագրական չափը: ճեղքով սահմանափակված փնջի դինամիկական դիֆրակցիան տեսականորեն և փորձնականորեն ուսումնասիրվել է [10-14, 49, 150, 233, 237, 238] աշխատանքներում:

Երկու ճեղքով սահմանափակված ընկնող ալիքի դինամիկական դիֆրակցիայի ուսումնասիրումը բյուրեղում կարևոր է տեսության և կիրառության տեսանկյուններից: Ինտերֆերենցային այն գծերը, որոնք դիտվում են երկու ճեղքերի վրա դիֆրակցիայի հետևանքով, երբ ճեղքերի չափերը զգալիորեն փոքր են դրանց կենտրոնների միջև հեռավորությունից, իսկ դիտման հարթության հեռավորությունը զգալիորեն մեծ է ճեղքերի կենտրոնների միջև հեռավորությունից օպտիկայում կոչվում են Յուլսգի գծեր [239]: Ռենտգենյան հաճախությունների տիրույթում Յուլսգի դասական և վիրտուալ փորձերի վերաբերյալ ուսումնասիրություններ կատարվել են [147,240-243]-ում: Ստորև Գրինի ֆունկցիաների մեթոդով տեսականորեն ուսումնասիրվել է երկու ճեղքից Լաուեի համաչափ դինամիկական դիֆրակցիան կատարյալ բյուրեղում (նկ.5.1):

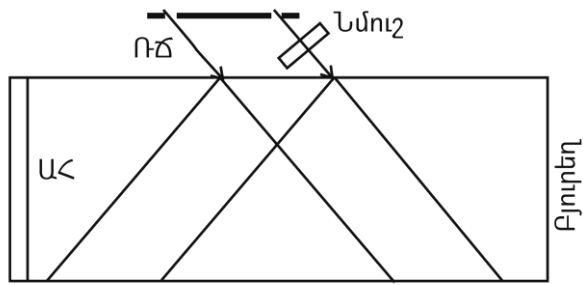
Յուլսգի է տրվել, որ բյուրեղի ելքի մակերևույթին ձևավորվում են օպտիկայից հայտնի Յուլսգի գծերի նմանությամբ ինտերֆերենցային գծեր, որոնց ուժգնության բաշխման համար ստացվել է մոտավոր վերլուծական արտահայտություն, որը համեմատվել է թվային հաշվարկի հիման վրա ստացված արդյունքի

հետ: Որոշվել է նաև Յուլիանի գծերի պարբերությունը: Տեսականորեն ուսումնասիրվել է ինտերֆերեն-



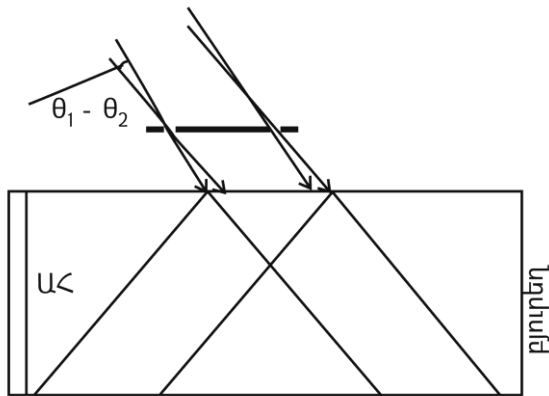
Նկ.5.1. Երկու ճեղքով ռենտգենյան ճառագայթների դիֆրակցիայի սխեման. $2c$ ՝ ճեղքերի կենտրոնների միջև հեռավորությունը, OXZ կոորդինատային համակարգի O սկզբնակետը երկու ճեղքերի միջնակետում է, OX առանցքը հակադրագահեռ է դիֆրակցիայի և վեկտորին, OZ -ն ուղղահայաց է մուտքի մակերևույթին, Φ ՝ ռենտգենյան ճառագայթներ, $ԱՅ$ ՝ անդրադարձնող հարթություններ:

ցային գծերի տեսանելիությունը, կախված ընկնող ալիքի մեներանգություն աստիճանից (ժամանակային կոհերենտություն) և աղբյուրի չափերից (տարածական կոհերենտություն), որոնք սովորաբար կախված են երկայնական և լայնական կոհերենտության աստիճաններից [244]), ճեղքերի չափերից, Բրեգի ճշգրիտ անկյունից շեղումից, «աղբյուր-բյուրեղ» հեռավորությունից և բևեռացման վիճակից: Նկ.5.1-ում պատկերված սխեմայում, Բորմանի եռանկյան ձևավորման հետևանքով, ինտերֆերենցային տիրույթի չափերն ավելի մեծ են, քան դասական ռենտգենյան երկու ճեղքի դիֆրակցիայի փորձերում: Այս սխեման կարելի է դիտարկել որպես ալիքային ճակատի բաժանումով ինտերֆերաչափ (Ռելեյի ինտերֆերաչափ): Եթե այդ ինտերֆերաչափի բազուկներից մեկում տեղադրվի ուսումնասիրվող նմուշը, ապա ինտերֆերենցային գծերի շեղման միջոցով կարելի է որոշել ուսումնասիրվող նմուշի բեկման ցուցիչը (նկ.5.2): Միաժամանակ, այս սխեմայի օգտագործումով կարելի է չափել երկու ոչ կոհերենտ ռենտ-



Նկ.5.2. Ռենտգենյան դիսամիկական դիֆրակտային Ռելեյի ինտերֆերաց ափի սխեման

Ճառագայթում երկու ոչ կոհերենտ ռենտգենյան աղբյուրներից



Նկ.5.3. Ռենտգենյան դիսամիկական դիֆրակտային (Մայքելսոնի աստղային) ինտերֆերաց ափի սխեման

գենյան աղբյուրների անկյունային հեռավորությունը, ինչպես դա արվում է օպտիկայում՝ Մայքելսոնի աստղային ինտերֆերաց ափով (նկ.5.3):

Ալիքի էլեկտրական դաշտի լարվածությունը կարելի է ներկայացնել $\mathbf{E}^i(\omega, \mathbf{r})e^{i\mathbf{k}\cdot\mathbf{r}}$ տեսքով, որտեղ $\mathbf{E}^i(\omega, \mathbf{r})$ -ը դանդաղ փոփոխվող լայնության է, ω -ն՝ հաճախությունը, \mathbf{k} -ն՝ ընկնող ալիքի կրող ալիքային վեկտորը, որի ուղղությունը կախված է ալիքի երկարությունից, և $k^2 = (2\pi/\lambda)^2$: \mathbf{k} -ի և մուտքի մակերևույթի միջև սահքի անկյունը $\pi/2 - \theta$ է, որտեղ θ -ն \mathbf{k} -ի և անդրադարձնող հարթությունների միջև կազմված անկյունն է (նկ.5.1): Ինչպես միշտ, երկալիքային մոտավորությամբ, դաշտը բյուրեղում կներկայացնենք

$$\mathbf{E} = \mathbf{E}_0 \exp(i\mathbf{K}_0 \cdot \mathbf{r}) + \mathbf{E}_n \exp(i\mathbf{K}_n \cdot \mathbf{r}) \quad (5.1)$$

տեսքով, որտեղ \mathbf{k}_0 -ն և $\mathbf{k}_h = \mathbf{k}_0 + \mathbf{h}$ -ն անցած և դիֆրակտված ալիքների ալիքային վեկտորներն են և բավարարում են Բրեգի ճշգրիտ պայմանին՝ $\mathbf{k}_0^2 = \mathbf{k}_h^2 = k^2 = (2\pi/\lambda)^2$, \mathbf{h} -ը դիֆրակցիայի վեկտորն է՝ $\mathbf{h} = -|\mathbf{h}|\mathbf{e}_x$, մինչդեռ $|\mathbf{h}| = 2k \sin\theta_0(\lambda)$, $k = 2\pi/\lambda$, $\theta_0(\lambda) \equiv \theta_0$ -ն Բրեգի ճշգրիտ անկյունն է λ ալիքի երկարության համար, \mathbf{e}_x -ը՝ x առանցքով ուղղված միավոր վեկտորը: \mathbf{E}_0 -ն և \mathbf{E}_h -ն անցած և դիֆրակտված ալիքների լայնույթներն են, որոնք բավարարում են Տակագիի (3.29) ոչ գծային հավասարումներին համապատասխանող գծային հավասարումներին [30] և բյուրեղի մուտքի մակերևույթի վրա ($z=0$) անընդհատության պայմաններին: Բևեռացման յուրաքանչյուր վիճակի համար մուտքի մակերևույթի վրա անընդհատության պայմանից հետևում է, որ $E^i(\omega, \mathbf{r})e^{i\mathbf{k}\cdot\mathbf{r}} = E_0(\omega, \mathbf{r})e^{i\mathbf{k}_0\cdot\mathbf{r}}$ և, հետևաբար, մուտքի մակերևույթի վրա

$$E_0 = E^i \exp(i\mathbf{k} \cos\theta_0 \Delta\theta x), \quad (5.2)$$

որտեղ $\Delta\theta = \theta - \theta_0$ Բրեգի անկյուննից շեղումն է տրված ալիքի երկարության համար: Դիֆրակտված դաշտի լայնույթը բյուրեղի ներսում որոշվում է (4.28) և (4.29) առնչություններով, որոնցում $\chi_{hr}^{(0)}$ -ը փոխարինված է χ_{hr} -ով, ինչպես նաև գրված է բևեռացման C գործակիցը (տե՛ս (1.1) բանաձևը), ուստի (4.29) Գրինի ֆունկցիան կբազմապատկվի այդ գործակցով, $\Lambda = \lambda \cos\theta_0 / C \sqrt{\chi_{hr}\chi_{hr}^*}$, $\Lambda_r = \text{Re}\Lambda \approx \lambda \cos\theta_0 / C |\chi_{hr}|$, էքստինկցիոն երկարությունն է և $\Lambda_i = \text{Im}\Lambda \approx \Lambda_r \chi_{hr} / |\chi_{hr}|$ -ն կապված է բյուրեղում կլանման հետ: Առանց խախտելու ընդհանրությունը դիտարկվել է կենտրոնահամաչափ բյուրեղի դեպքը՝ $\chi_{hr} = \chi_{hr}^*$, $\chi_{hr} = \chi_{hr}^- < 0$, $\chi_{hr} = \chi_{hr}^+ > 0$, $\chi_{hr} \ll |\chi_{hr}|$, $\chi_{hr} \approx \chi_{0i} > 0$:
Նկ.5.1-ի սխեմայում

$$E_h = \int_1 G(x-x', z) E^i(x') \exp(i\mathbf{k} \cos\theta_0 \Delta\theta x') dx' + \int_2 G(x-x', z) E^i(x') \exp(i\mathbf{k} \cos\theta_0 \Delta\theta x') dx', \quad (5.3)$$

որտեղ ինտեգրալների նշանների 1 և 2 ցուցիչները նշանակում են ինտեգրումը ստառաջին և երկրորդ ճեղքերի:

§5.1.2. Յուկայի գծերի ձևավորման դինամիկական դիֆրակտային

տեսություն

Դիտարկենք նկ.5.1-ում ներկայացված սխեման: Կետային աղբյուրից առաքված ռեսոնանսային ճառագայթները, անցնելով երկու ճեղքերով՝ ընկնում են Լատեի համաչափ երկրաչափությամբ բյուրեղի վրա Բրեգի ճշգրիտ անկյանը մոտ անկյան տակ: Դիֆրակցիայի հարթության մեջ յուրաքանչյուր ճեղքի լայնությունը բյուրեղի մուտքի մակերևույթին զուգահեռ ուղղությամբ $2a$ է: ճեղքերի կենտրոնների միջև հեռավորությունը $2c$ է, առաջին ճեղքի ձախեցրից մինչև երկրորդ ճեղքի աչեզր A_1B_2 հեռավորությունը $2(c+a)$:

Նկ.5.1-ում պատկերված տիրույթների սահմանները (A_1A_0, A_1B և այլն) բնութագրիչներն են [233], որոնք զուգահեռ են անցած և դիֆրակտված ալիքների տարածման ուղղություններին: (5.3)-ի համաձայն՝ դիֆրակտված դաշտը բյուրեղում ձևավորվում է $A_0B_0B_2A_1$ տիրույթում: Ստվերագծված B_1A_2Q տիրույթում դաշտերի լայնությունները գրո են: Երկու ճեղքերի ինտերֆերենցային դաշտը ձևավորվում է Q_1AB տիրույթում (որտեղ երկու ճեղքերն էլ դիֆրակտված դաշտի լայնությունում ներդրում են տալիս իրենց $2a$ լայնությամբ) և գրանցվում է բյուրեղի ելքի մակերևույթի AB տեղամասում: Պարաբոլական մոտավորությամբ ընկնող ալիքի լայնությամբ բևեռացման որևէ (σ - կամ π -) վիճակում և որևէ հաճախության համար տրվում է

$$E^i = A' \frac{\exp\left(ik \frac{x^2 \cos^2 \theta}{2L_s}\right)}{L_s} \equiv A \exp\left(ik \frac{x^2 \cos^2 \theta}{2L_s}\right) \quad (5.4)$$

առնչությամբ, որտեղ $A = A' / L_s$, L_s -ը «աղբյուր-բյուրեղ» հեռավորությունն է: E_h լայնությամբ կարելի է որոշել (5.3) և (5.4) բանաձևերից: Լայնությամբ արտահայտությունը երկու ճեղքերից ձևավորված E_{h1} (առաջին ճեղք) և E_{h2} (երկրորդ ճեղք) լայնությունների կոհերենտ գումարն է: Այսպիսով՝

$$E_h = E_{h1} + E_{h2}, \quad (5.4)$$

որտեղ

$$E_{h1} = A \int_{-c-a}^{-c+a} G(x-x', z) \exp \left[ik \left(\frac{x'^2 \cos^2 \theta}{2L_s} + \cos \theta_0 x' \Delta \theta \right) \right] dx', \quad (5.5)$$

$$E_{h2} = A \int_{c-a}^{c+a} G(x-x', z) \exp \left[ik \left(\frac{x'^2 \cos^2 \theta}{2L_s} + \cos \theta_0 x' \Delta \theta \right) \right] dx': \quad (5.6)$$

Յուկնգի դասական փորձում ճեղքերը դիտվում են որպես անվերջ նեղ և ենթադրվում է, որ $c \gg a$: Ռենտգենյան ճառագայթների դիսամիկական դիֆրակցիայի դեպքում ճեղքերը կարելի է համարել անվերջ նեղ, եթե $a \ll \lambda \operatorname{tg} \theta_0 / \pi$: Դա հետևում է (4.29), (5.5) և (5.6) արտահայտություններից: (5.5)-ում և (5.6)-ում Գրինի ֆունկցիան գրեթե հաստատուն է, եթե $a \ll \lambda \operatorname{tg} \theta_0 / \pi$: $\exp(ikx'^2 \cos^2 \theta / 2L_s)$ քառակուսային փուլի տարբերությունը երկրորդ ճեղքի կենտրոնում և B_2 աջ եզրում մոտավորապես $kac \cos^2 \theta / L_s$ է: Քառակուսային փուլը (5.6)-ում կարելի է համարել հաստատուն, եթե $kac \cos^2 \theta / L_s \ll 2\pi$, կամ

$$L_s \gg \frac{kac \cos^2 \theta}{2\pi}: \quad (5.7)$$

(5.6)-ում փուլը երրում գծային անդամի փոփոխությունն A_2 ձախ եզրից մինչև B_2 աջ եզրը $2ak \cos \theta_0 \Delta \theta$ է: Այս անդամը կարելի է համարել հաստատուն, եթե $|2ak \cos \theta_0 \Delta \theta| \ll 2\pi$ կամ

$$|\Delta \theta| \ll \frac{\lambda}{2a \cos \theta_0}: \quad (5.8)$$

(5.7) և (5.8) պայմանները և համապատասխան գնահատականները ճիշտ են նաև առաջին ճեղքի համար: Այսպիսով, ըստ (5.4)-(5.6) առնչությունների, դիֆրակտված դաշտի լայնության երկու անվերջ նեղ ճեղքերի դեպքում (երկու կոհերենտ կետային աղբյուրներ $-c$ և c կետերում) կունենան հետևյալ տեսքը.

$$E_h = 2aA [G(x+c, z) \exp(-ikc \cos \theta_0 \Delta \theta) + G(x-c, z) \exp(ikc \cos \theta_0 \Delta \theta)] \exp \left(ik \frac{c^2 \cos^2 \theta}{2L_s} \right): \quad (5.9)$$

AB տիրույթի $x=0$ կետի շրջակայքում, ուժգնության բաշխման համար կարելի է ստանալ մոտավոր վերլուծական արտահայտություն: Ենթադրենք՝

$$z \operatorname{tg} \theta_0 \gg |x \pm c|, \quad (5.10)$$

$$\frac{\pi z}{\Lambda_x} \gg 1: \quad (5.11)$$

Օգտագործելով (5.10), (5.11) պայմանները և $J_0(x)$ ֆունկցիայի ասիմպտոտական տեսքը

$$J_0(x) = \sqrt{\frac{2}{\pi x}} \cos\left(x - \frac{\pi}{4}\right) \quad (5.12)$$

$|x| \gg 1$ դեպքում, ինչպես նաև $\sqrt{z^2 \operatorname{tg}^2 \theta_0 - (x \pm c)^2} \approx z \operatorname{tg} \theta_0 [1 - (x \pm c)^2 / 2z^2 \operatorname{tg}^2 \theta_0]$ մոտավոր-րոնթյունը, (5.9)-ից կստանանք.

$$E_h = i\sigma_h C(a) A \sqrt{\frac{2\Lambda}{\pi^2 z}} \exp\left(ik \frac{\chi_0 z}{2 \cos \theta_0}\right) [\exp(i\Phi_0) \cos(\Phi_+) + \exp(-i\Phi_0) \cos(\Phi_-)] \exp\left(ik \frac{c^2 \cos^2 \theta}{2L_s}\right), \quad (5.13)$$

որտեղ $\Phi_0 = \pi z / \Lambda - [\pi(x^2 + c^2) / 2\Lambda z \operatorname{tg}^2 \theta_0] - \pi / 4$; $\Phi_{\pm} = \pi x c / \Lambda z \operatorname{tg}^2 \theta_0 \pm k c \cos \theta_0 \Delta \theta$,

$\sigma_h = k\chi_h / 4 \sin \theta_0$: Λ -ն, հետևաբար՝ նաև Φ_0 -ն և Φ_{\pm} -ը, կոմպլեքս են:

Կլանումն AB -ի կենտրոնին մոտ՝ $x=0$ -ից մինչև $|x| \geq c$,

$\exp(ik\chi_0 z / 2 \cos \theta_0)$ անդամում կապված է χ_{0i} -ի հետ, իսկ $\exp(\pm i\Phi_0)$

անդամում՝ Λ_i -ի հետ, ընդ որում, արված (5.10) և (5.11) մոտավոր-

րոնթյունների դեպքում այն իմաստ ունի հաշվի առնել միայն

$\exp(\pm i\pi z / \Lambda)$ անդամում: Արդյունքում կլանման գործոնի համար

կստանանք $\exp[-k\chi_{0i}(1 \mp C\chi_{hi} / \chi_{0i})z / \cos \theta_0]$: Այսպիսով՝ այս տիրույթում

արդյունաբար կլանման գործակիցը նույնն է, ինչ որ սովորական

հարթալիքային տեսությունում [8,9]՝ $\mu_e = \mu(1 \mp C\chi_{hi} / \chi_{0i})$, որտեղ $\mu = k\chi_{0i}$ -ն

նորմալ գծային կլանման գործակիցն է, իսկ \mp նշանները

համապատասխանում են $\exp(\pm i\pi z / \Lambda)$ -ի արգումենտի նշաններին:

Այսպիսով, (5.13)-ի առաջին անդամը համապատասխանում է թույլ

կլանվող ճյուղին՝ $\mu_e = \mu(1 - C\chi_{hi} / \chi_{0i}) < \mu$, իսկ երկրորդ անդամը՝ ուժեղ

կլանվող ճյուղին՝ $\mu_e = \mu(1 + C\chi_{hi} / \chi_{0i}) > \mu$: Մյուս կողմից, թույլ

կլանվող ճյուղի համար $\mu_{\text{տ}} = \mu(1 - \chi_{hi} / \chi_{0i}) < \mu_{\text{տ}} = \mu(1 - \cos 2\theta_0 \chi_{hi} / \chi_{0i})$: $\mu z \geq 1$

դեպքում կարելի է հաշվի առնել միայն երկու անկախ

բևեռացումների թույլ կլանվող ճյուղերը, իսկ բավականաչափ

մեծ՝ $\mu z \gg 1$ դեպքում՝ միայն σ -բևեռացման թույլ կլանվող

ճյուղը: Ըստ (5.13)-ի, ուժեղ և թույլ կլանվող ճյուղերի համար ուժգնությամբ անապեղ ազույն արժեքները որոշվում են

$$\left(\frac{\pi x c}{\Lambda_r z \operatorname{tg}^2 \theta_0} \right) \pm k c \cos \theta_0 \Delta \theta = n \pi, \quad n = 0, \pm 1, \pm 2 \dots \quad (5.14)$$

պայմաններից: Հավասարության ձախ մասում "+" նշանը համապատասխանում է թույլ կլանվող ճյուղին: (5.14)-ից հետևում է, որ երկու ճյուղերն ունեն նույն պարբերությունը

$$D = \frac{\Lambda_r z \operatorname{tg}^2 \theta_0}{c}, \quad (5.15)$$

մինչդեռ ինտերֆերենցային գծերի համակարգը $x=0$ կենտրոնից շեղված է

$$\Delta x = \mp \frac{k c D \cos \theta_0 \Delta \theta}{\pi} \quad (5.16)$$

չափով: Ստացված ինտերֆերենցային գծերն օպտիկայում հայտնի Յուկայի ինտերֆերենցային գծերի նմանակներն են:

§5.1.3. Բևեռացման, ոչ մեներանգություն և աղբյուրի չափերի ազդեցությունը Յուկայի գծերի վրա

(5.15) և (5.16) բանաձևերի համաձայն՝ Յուկայի գծերի D պարբերությունը և Δx տեղաշարժերը տարբեր են σ - և π -բևեռացումների համար, քանի որ $\Lambda_{\pi\sigma} = \lambda \cos \theta_0 / |\chi_{hr}|$ -ը տարբերվում է $\Lambda_{r\pi} = \Lambda_{r\sigma} / \cos 2\theta_0$ -ից: Ստորև, տարբեր բևեռացումներով ալիքների Յուկայի գծերի պարբերությունների համար այդ տարբերությունը նշելու համար օգտագործվել են $D_\sigma = \Lambda_{\pi\sigma} z \operatorname{tg}^2 \theta_0 / c$ և $D_\pi = D_\sigma / \cos 2\theta_0$ նշանակումները: Ընկնող չբևեռացված ալիքի դեպքում ուժգնություները երկու բևեռացումների ուժգնությունների գումարն է: Ուժեղ կլանվող ճյուղերի ուժգնությունները երկու բևեռացումների համար էլ կարող ենք անտեսել՝ $\mu z \geq 1$: Օգտագործելով (5.13) և (5.14) առնչությունները և հաշվի առնելով միայն թույլ կլանվող ճյուղերը, կստանանք.

$$I_n = I_{n\sigma} + I_{n\pi} \approx 2 (\rho a)^2 |A|^2 \frac{|\sigma_h|^2 |\Lambda_\sigma|}{\pi^2 z} \left[\cos^2 \left(k c \cos \theta_0 \Delta \theta + \frac{\pi x}{D_\sigma} \right) + \cos 2\theta_0 \cos^2 \left(k c \cos \theta_0 \Delta \theta + \frac{\pi x}{D_\pi} \right) \right] : \quad (5.17)$$

Կոսինուսների արգումենտներում կեղծ մասերը փոքր լինելու պատճառով անտեսվել են: (5.17)-ը կարելի է ներկայացնել հետևյալ տեսքով.

$$I_h = 4a^2 |A|^2 \frac{|\sigma_h|^2 |\Lambda_\sigma|}{\pi^2 z} \left[(1 + \cos 2\theta_0) + (1 + \cos 2\theta_0) \times \right. \\ \times \cos \left[2kc\Delta\theta \cos\theta_0 + \pi x \left(\frac{1}{D_\sigma} + \frac{1}{D_\pi} \right) \right] \cos \left[\pi x \left(\frac{1}{D_\sigma} - \frac{1}{D_\pi} \right) \right] - \\ \left. - (1 - \cos 2\theta_0) \sin \left[2kc\Delta\theta \cos\theta_0 + \pi x \left(\frac{1}{D_\sigma} + \frac{1}{D_\pi} \right) \right] \sin \left[\pi x \left(\frac{1}{D_\sigma} - \frac{1}{D_\pi} \right) \right] \right]: \quad (5.18)$$

(5.18)-ում միջակ փակագծերում առաջին գումարելին հաստատուն է, իսկ երրորդ գումարելին փոքր է, քանի որ $\cos 2\theta_0$ -ն մոտ է 1-ին, ուստի հիմնական անդամը երկ-րորդ գումարելին է: Երկրորդ անդամի պարբերությունը $\left[(1/D_\sigma + 1/D_\pi) / 2 \right]^{-1}$ է, որը տարբերվում է D_σ -ից և D_π -ից: Ուժգնությունը մոդուլվում է $\cos[\pi x(1/D_\sigma - 1/D_\pi)]$ ֆունկցիայով: Ինտերֆերենցային գծերը վերանում են, երբ $\cos[\pi x(1/D_\sigma - 1/D_\pi)] = 0$, այսինքն, երբ

$$(1 - \cos 2\theta_0) \frac{x}{D_\sigma} = \frac{2n + 1}{2}: \quad (5.19)$$

Երկու վերացումների միջև դիտվող ինտերֆերենցային գծերի քանակը՝

$$N = \frac{1 + \cos 2\theta_0}{2(1 - \cos 2\theta_0)}: \quad (5.20)$$

Ուսումնասիրենք ինտերֆերենցային գծերի վրա ընկնող ալիքի ոչ մեներանգուլ-թյան ազդեցությունը (ժամանակային կոհերենտություն): Ընկնող քվադրմենտրանգ ալիքի տարբեր ֆուրիե-բաղադրիչների լայնույթները հիմնականում ալիքի երկարությունների $\lambda \in (\lambda_m - \Delta\lambda_m, \lambda_m + \Delta\lambda_m)$ տիրույթում են, որտեղ $|\Delta\lambda / \lambda_m| \ll 1$: λ_m ալիքի երկարությունը համապատասխանում է առավելագույն լայնույթով ֆուրիե-բաղադրիչին: Բրեգի բանաձևից հետևում է, որ

$$\theta_0(\lambda) - \theta_0(\lambda_m) = \frac{\Delta\lambda}{\lambda} \operatorname{tg} \theta_0, \quad (5.21)$$

և, հետևաբար,

$$\Delta\theta(\lambda) = \theta - \theta_0(\lambda) = \theta - \theta_0(\lambda_m) + \theta_0(\lambda_m) - \theta_0(\lambda) = \Delta\theta(\lambda_m) - \frac{\Delta\lambda}{\lambda} \operatorname{tg}\theta_0 : \quad (5.22)$$

Առանց խախտել ու ընդհանրություն ունեն ընդունենք, որ $\Delta\theta(\lambda_m) = 0$, ուստի

$$\Delta\theta(\lambda) = -\frac{\Delta\lambda}{\lambda} \operatorname{tg}\theta_0 : \quad (5.23)$$

(5.8) և (5.23) առնչություններինց հետևում է, որ

$$\left| \frac{\Delta\lambda}{\lambda} \right| \ll \frac{\lambda}{2a \sin\theta_0} : \quad (5.24)$$

(5.16)-ով տրվող ինտերֆերենցային գծերի շեղումը՝

$$\Delta x(\lambda) = \pm \frac{1}{\pi} k c D \cos\theta_0 \operatorname{tg}\theta_0 \frac{\Delta\lambda}{\lambda} : \quad (5.25)$$

(5.15)-ից հետևում է, որ $D_{\sigma,\pi} = D_{\sigma,\pi}(\lambda)$: Օգտվելով (5.15)-ից և (5.21)-ից՝ կստանանք.

$$\Delta D_{\sigma}(\lambda) = D_{\sigma}(\lambda) \frac{1 + 2 \cos^2 \theta_0}{\cos^2 \theta_0} \frac{\Delta\lambda}{\lambda}, \quad (5.26)$$

$$\Delta D_{\pi}(\lambda) = D_{\pi}(\lambda) \frac{1 + 2 \cos 2\theta_0}{\cos^2 \theta_0 \cos 2\theta_0} \frac{\Delta\lambda}{\lambda} : \quad (5.27)$$

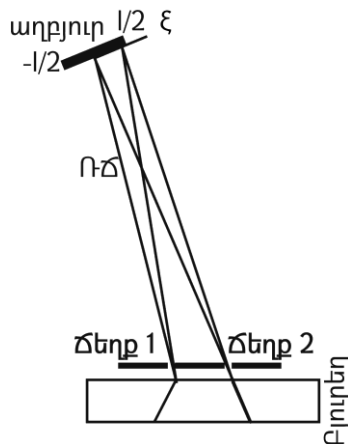
Քանի որ $|\Delta\lambda/\lambda| \ll 1$, ապա $|\Delta D_{\sigma,\pi}(\lambda)| \ll D_{\sigma,\pi}(\lambda)$: Յետևաբար՝ պարբերության կախումն ալիքի երկարությունից կարելի է անտեսել: Կարելի է հեշտությամբ ստանալ ոչ մեներանգության պատճառով ինտերֆերենցային գծերի վերանալու պայմանը: (5.16)-ի համաձայն՝ $\lambda_m - \Delta\lambda_m$ -ին և $\lambda_m + \Delta\lambda_m$ -ին համապատասխանող գծերը միմյանց նկատմամբ շեղված են $2kcD \cos\theta_0 \operatorname{tg}\theta_0 \Delta\lambda_m / \pi\lambda$ չափով: Եթե $\lambda_m + \Delta\lambda_m$ -ի առավելագույն արժեքի գրոյական կարգը համընկնում է $\lambda_m - \Delta\lambda_m$ -ի առավելագույն արժեքի առաջին կարգի հետ, այսինքն՝ $2kcD \cos\theta_0 \operatorname{tg}\theta_0 \Delta\lambda_m / \pi\lambda = D$, ապա գծերը վերանում են: Յետևաբար՝ ոչ մեներանգությունը չի ազդի ինտերֆերենցային գծերի ու ժգնության բաշխման վրա, եթե

$$\left| \frac{\Delta\lambda}{\lambda} \right| \ll \left| \frac{\Delta\lambda}{\lambda} \right|_{cr} = \frac{\pi}{2kc \sin\theta_0} = \frac{\lambda}{4c \sin\theta_0}, \quad (5.28)$$

որտեղ "cr" ցուցիչը նշում է $|\Delta\lambda/\lambda|$ -ի այն կրիտիկական արժեքը, որի դեպքում ինտերֆերենցային գծերը վերանում են:

Այժմ ուսումնասիրենք ինտերֆերենցային գծերի ու ժգնության բաշխման վրա աղբյուրի չափերի ազդեցությունը

(տարածական կոհերենտություն): Դիտարկենք l գծային չափով աղբյուր (նկ.5.4): Դիֆրակցիայի հարթության մեջ աղբյուրը փնջի տարածման ուղղությանն ուղղահայաց գիծ է: ξ կոորդինատը նշում է աղբյուրի երկայնքով բաշխված կետային աղբյուրների կոորդինատները՝ $-1/2 \leq \xi \leq 1/2$: ξ կոորդինատով կետային աղբյուրից առաքված ռենտգենյան ալիքի և անդրադարձնող հարթությունների միջև սահքի անկյունը՝ $\theta(\xi) = \theta - \xi/L_s$, ուստի Բրեգի ճշգրիտանկյուննից շեղումը՝



Նկ.5.4. Երկու ճեղքի դիսամիկական դիֆրակցիայի սխեման վերջավոր l գծային չափերով աղբյուրի դեպքում

$$\Delta\theta(\xi) = -\left(\frac{\Delta\lambda \tan\theta_0}{\lambda}\right) - \frac{\xi}{L_s} : \quad (5.29)$$

Ինչպես հետևում է (5.16)-ից և (5.29)-ից, սկենաված λ -ի դեպքում $\xi = -1/2$ և $\xi = 1/2$ կոորդինատներով ոչ կոհերենտ կետային աղբյուրներն առաջացնում են ինտերֆերենս-ցային գծերի երկու ցանց, որոնք մեկը մյուսի նկատմամբ շեղված են $kc \cos\theta_0 D / \pi L_s$ չափով: Ինտերֆերենսցային գծերը վերանում են, երբ $kc \cos\theta_0 D / \pi L_s = D$: Յետևաբար՝ աղբյուրի չափերը չեն ազդի ինտերֆերենսցային գծերի ու ժգնության բաշխման վրա, եթե

$$l \ll \frac{\pi L_s}{kc \cos\theta_0} : \quad (5.30)$$

Համաձայն Վան Տիտերտ-Տերնիկեի թեորեմի [239]՝ համասեռ միջավայրում «վակուում-ճեղքեր» և «ճեղքեր-վակուում» դեպքում

$$l \leq \frac{0,16\pi L_s}{kc \cos \theta_0} : \quad (5.31)$$

Վան Տիտերտ-Տերնիկեի թեորեմում օգտագործվում է համասեռ միջավայրի $\exp(ikR)/R$ Գրինի ֆունկցիան, որտեղ R -ը «վակուում-ճեղքեր» և «ճեղքեր-վակուում» կիսատարածություններում երկու կետերի հեռավորությունն է: Նշենք, որ (5.30) և (5.31) գնահատականները տարբերվում են շուրջ վեց անգամ, սակայն քննարկվող դեպքում «վակուում-ճեղքեր» և «ճեղքեր-բյուրեղ» միջավայրը համասեռ է: Վան Տիտերտ-Տերնիկեի թեորեմի համանման որևէ թեորեմի ձևակերպման համար «ճեղքեր-բյուրեղ» տարածության համար անհրաժեշտ է օգտագործել համապատասխան Գրինի ֆունկցիա:

§5.1.4. Ճեղքերի չափերի ազդեցությունը Յուկահի գծերի վրա

(5.5) և (5.6) արտահայտությունները կարելի է ներկայացնել հետևյալ տեսքով՝

$$E_{h_{12}} = A \int_{-a}^a G(x \pm c - x', z) \exp \left[ik \frac{1}{2L_s} (x' \mp c)^2 \cos^2 \theta_0 \right] \exp [ik \cos \theta_0 \Delta \theta (x' \mp c)] dx', \quad (5.32)$$

որտեղ վերին նշանը համապատասխանում է առաջին, իսկ ստորինը՝ երկրորդ ճեղքին: (5.32) ինտեգրալները հնարավոր է հաշվել վերլուծորեն, սակայն եթե տեղի ունի (5.11) պայմանը, ապա կարելի է կիրառել (5.12) ասիմպտոտական մոտավորությունը:

Թույլ կլանվող ճյուղի համար այդ կերպգտնում ենք, որ

$$E_{h_{12}} = F_{12}(x, z) \int_{-a}^a \exp \left[i\pi \frac{(x \pm c)x'}{\Lambda z \operatorname{tg}^2 \theta_0} \right] \exp \left(\mp ik \frac{x'c \cos^2 \theta_0}{L_s} \right) \exp (ik \cos \theta_0 \Delta \theta x') dx', \quad (5.33)$$

որտեղ

$$F_{12}(x, z) = iAC \frac{\sigma_h}{2} \sqrt{\frac{2\Lambda}{\pi^2 z}} \exp \left(ik \frac{\chi_0 z}{2 \cos \theta_0} + i\pi \frac{z}{\Lambda} - i\frac{\pi}{4} \right) \times \exp (\mp ikc \cos \theta_0 \Delta \theta) \exp \left[-i\pi \frac{x^2 + c^2}{2z\Lambda \operatorname{tg}^2 \theta_0} \right] \exp \left(\mp i\pi \frac{xc}{\Lambda z \operatorname{tg}^2 \theta_0} \right) \exp \left(ik \frac{c^2 \cos^2 \theta_0}{2L_s} \right) : \quad (5.34)$$

Ենթադրելով, որ արտահայտությունում անտեսվել են x'^2 -ուղքառակուսային կախված փոքր ($ka^2 \cos^2 \theta_0 / 2L_s \ll \pi$, $a^2 / 2|\Lambda| z \operatorname{tg}^2 \theta_0 \ll 1$):

Մնացած ինտեգրալները համապատասխանում են ճեղքերի վերջավոր չափերին: Ինտեգրումից հետո կստանանք.

$$E_{h1,2} = (2a)F_{1,2}(x, z) \frac{\sin Y_{1,2}}{Y_{1,2}}, \quad (5.35)$$

որտեղ

$$Y_{1,2} = ka \cos \theta_0 \left[\Delta \theta \mp \frac{c \cos \theta_0}{L_s} + \frac{\pi (x \pm c)}{k \Lambda z \tan^2 \theta_0 \cos \theta_0} \right]: \quad (5.36)$$

(5.36)-ում $Y_{1,2}$ -ի արտահայտության մեջ անտեսվել է $\cos \theta_0$ -ի և $\cos \theta$ -ի միջև տարբերությունը, և բևեռացվել իրության կեղծ մասի փոքր լինելու պատճառով կարելի է հաշվի առնել միայն Λ -ի իրական Λ_r մասը: (5.35)-ից և (5.36)-ից հետևում է, որ ճեղքերի վերջավոր չափը կարելի է անտեսել, եթե

$$ka \cos \theta_0 |\Delta \theta| \ll \pi, \quad ka \cos^2 \theta_0 \frac{c}{L_s} \ll \pi, \quad \pi (|x| + c) \frac{a}{cD} \ll \pi: \quad (5.37)$$

(5.37)-ի երրորդ անհավասարությունը տեղի կունենա բոլոր x -երի համար, եթե $\pi (|x_{\max}| + c) a / cD = \pi a / \Lambda_r \tan \theta_0 \ll \pi$, որտեղ $|x_{\max}| = AB / 2$ (նկ.5.1): Ուժգնության բաշխումը`

$$I_h = |E_{h1} + E_{h2}|^2: \quad (5.38)$$

(5.37) պայմաններն իրականանալու դեպքում ճեղքերը կարելի է համարել անվերջ նեղ: (5.37)-ի երրորդ պայմանը $|x| < c$ տիրույթում (մասնավորապես $x=0$ -ում) ընդունում է $a \ll D$ տեսքը: Սա նշանակում է, որ ինտերֆերենցային գծերի դիտման համար անհրաժեշտ է, որ ճեղքի կեստրոնի և այդ նույն ճեղքի եզրերի միջև փուլային $\pi a / D$ տարբերությունը շատ փոքր լինի π -ից:

Ընդհանուր դեպքում ինտերֆերենցային գծերի ցայտունությունը կախած է ճեղքերի չափերից: ճեղքերի վերջավոր չափերի ազդեցությունը ինտերֆերենցային գծերի ուժգնության բաշխման վրա կարելի է ուսումնասիրել, վերլուծելով $\sin Y_{1,2} / Y_{1,2}$ ֆունկցիաների վարքը, որոնցում կարելի է անտեսել կլանման ազդեցությունը: (5.36)-ի համաձայն` $\sin Y_{1,2} / Y_{1,2}$ ֆունկցիաները հասնում են իրենց առավելագույն արժեքներին

$$x_{\max 1,2} = \mp c - \frac{k c D \cos \theta_0 \Delta \theta}{\pi} \pm \frac{k c^2 \cos^2 \theta_0 D}{\pi L_s} \quad (5.39)$$

կոորդինատներով կետերում, որտեղ վերին նշանը

համապատասխանում է առաջին ճեղքին: Առաջին ճեղքի համար առաջին երկու գրոները

$$x_{01} = \pm \frac{cD}{a} - c - \frac{kcD \cos\theta_0 \Delta\theta}{\pi} + \frac{kc^2 \cos^2 \theta_0 D}{\pi L_s} \quad (5.40)$$

կոորդինատներով կետերում են, իսկ երկրորդ ճեղքի համար՝

$$x_{02} = \pm \frac{cD}{a} + c - \frac{kcD \cos\theta_0 \Delta\theta}{\pi} - \frac{kc^2 \cos^2 \theta_0 D}{\pi L_s} \quad (5.41)$$

կոորդինատներով կետերում, \pm նշանները համապատասխանում են $\gamma_{1,2} = \pm\pi$ արժեքներին: Երկու առավելագույն արժեքների կոորդինատների միջև եղած հեռավորությունը՝

$$\Delta x_{m \max} = x_{m \max 2} - x_{m \max 1} = 2c \left(1 - \frac{kc \cos^2 \theta_0 D}{\pi L_s} \right) \quad (5.42)$$

և կախված է $\Delta\theta$ -ից: Երբ $L_s = \infty$, $\Delta x_{m \max} = 2c$: L_s -ը նվազելիս $\Delta x_{m \max}$ -ը նվազում է և հավասարվում գրոյի, երբ

$$L_{s0} = \frac{kc \cos^2 \theta_0 D}{\pi} : \quad (5.43)$$

Այս դեպքում $x_{m \max 1,2} = 0$, երբ $\Delta\theta = 0$: L_s -ի հետագանվազմանը զուգընթաց $|\Delta x_{m \max}|$ -ն աճում է, բայց $\Delta x_{m \max} < 0$: Ինտերֆերենցային գծեր կդիտվեն, եթե երկու ճեղքերի ֆունկցիաներն ունենան վերադրման տիրույթ: Վերադրման տիրույթն ունի առավելագույն չափ, եթե տեղի ունի (5.43) առնչությունը: Ճեղքերի չափերը մեծացնելիս յուրաքանչյուր ճեղքի երկու առաջին գրոների միջև հեռավորությունը փոքրանում է և համապատասխանաբար փոքրանում է երկու տարբեր ճեղքերի լայնությունների վերադրման տիրույթը:

Կլանումը որոշ ուղղումներ է մտցնում (5.35) լայնությունների վարքի մեջ: Կլանումը և քառակուսային փուլերը, որոնք անտեսվել են (5.32)-ում, որոշ ազդեցություն ունեն AB-ի եզրերում: Թվային հաշվարկներից հետևում է, որ յուրաքանչյուր ճեղքի (5.35) ֆունկցիայի գրոներն ավելի մոտ են ստացվում, քան (5.40) և (5.41) բանաձևերով տրվող արժեքները:

Նկ.5.2-ում ցույց տրված սխեման կարելի է օգտագործել որևէ ճեղքից հետո դրված նմուշի δ դեկրեմենտը որոշելու համար, ինչպես դա արվում է Ռելեյի օպտիկական ինտերֆերաչափում:

Երկրորդ ճեղքից հետո տեղադրված նմուշի միջով անցած ալիքը ձեռք կբերի լրացուցիչ $-kt\delta$ փուլ, որտեղ t -ն նմուշի հաստության ընդհանուր է: Յետևաբար՝ թույլ կլանվող ճյուղի համար (5.16)-ի փոխարեն կունենանք $\Delta x = -kcD \cos\theta_0 \Delta\theta / \pi + ktD\delta / 2\pi$, և նմուշի առկայության դեպքում պայմանավորված $\Delta x(\delta)$ շեղման համար կստանանք՝

$$\Delta x(\delta) = \frac{ktD\delta}{2\pi}: \quad (5.44)$$

Փորձում չափելով $\Delta x(\delta)$ -ն՝ կարելի է որոշել նմուշի բեկման ցուցիչը:

Նկ.5.3-ի սխեմայի օգտագործումը հնարավորություն է տալիս որոշելու երկու ոչ կոհերենտ աղբյուրների անկյունային հեռավորությունը, ինչպես դա արվում է օպտիկայում Մայքելսոնի աստղային ինտերֆերաչափով:

Դիտարկենք երկու ոչ կոհերենտ աղբյուրներ, որոնց առաքած հարթ ալիքները ($L_s \rightarrow \infty$) բյուրեղի անդրադարձնող հարթությունների հետ կազմում են θ_1 և θ_2 անկյուններ: (5.13)-ի համաձայն, եթե հաշվի առնվեն միայն թույլ կլանվող ճյուղերը, և աղբյուրների ոչ կոհերենտությունը, ապա արդյունարար ուժգնությունը՝

$$I_h \sim 1 + \cos \left[\frac{2\pi x}{D} + k \cos\theta_0 (\Delta\theta_1 + \Delta\theta_2)c \right] \cos [k \cos\theta_0 (\Delta\theta_1 - \Delta\theta_2)c], \quad (5.45)$$

որտեղ $\Delta\theta_1 = \theta_1 - \theta_0$, $\Delta\theta_2 = \theta_2 - \theta_0$: Փոփոխելով c -ն՝ կարելի է հասնել գծերի վերացման, որի համար պետք է տեղի ունենա $k \cos\theta_0 |\theta_1 - \theta_2|c = \pi / 2$ պայմանը, որտեղից էլ կարելի է որոշել աղբյուրների անկյունային հեռավորությունը՝

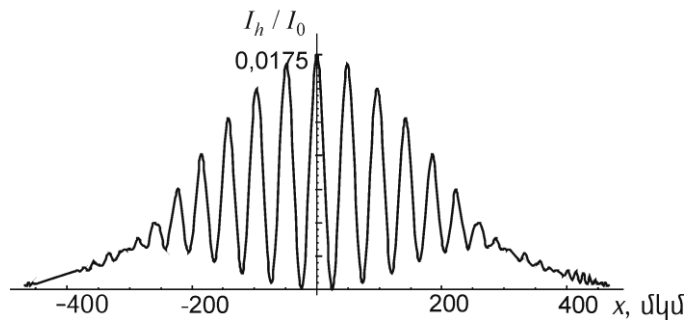
$$|\theta_1 - \theta_2| = \frac{\pi}{2k \cos\theta_0 c}: \quad (5.46)$$

§5.1.6. Օրինակի քննարկում

Ստացված արդյունքները լուսաբանելու նպատակով քննարկենք $\lambda \approx 0,71 \text{ \AA}$ ալիքի երկարությամբ ճառագայթման Si(220) անդրադարձման ($\theta_0 = 10,6^\circ$, $\Lambda_{220} = 36,6 \text{ մկմ}$) երկու ճեղքի վրա դիսամիկական դիֆրակցիան: Ճեղքերի համար ընտրվել են հետևյալ պարամետրերը՝ $2c = 160 \text{ մկմ}$, $2a = 10 \text{ մկմ}$, $z = 3 \text{ մմ}$: Ընտրված պարամետրերի դեպքում $\mu z = 4,4$ և, հետևաբար, կարելի է հաշվի առնել երկու բևեռացումների

միայն թույլ կլանվող ճյուղերը: Ստորև նկարներում պատկերված են ուժգնությունների բաշխումները բյուրեղի ելքի մակերևույթի AB տեղամասում (նկ.5.1): Որպես ուժգնության միավոր ընտրվել է ընկնող չբևեռացված փնջի բևեռացումներից մեկի $I_0 = I_0^i / 2 = |A|^2$ ուժգնությունը, որտեղ I_0^i -ն ընկնող փնջի ուժգնությունն է:

Անհրաժեշտ է քննարկել գծերի տեսանելիության բոլոր պայմանները: (5.8) պայմանը համանման է (5.37)-ի առաջին պայմանին, որից դիտարկվող օրինակի համար գնահատման համաձայն՝ անվերջ նեղ ճեղքերի դեպքում գծերը կդիտվեն, եթե բավարարվում է $|\Delta\theta| \ll 7,2 \cdot 10^{-6}$ պայմանը: Մյուս կողմից, ժամանակային կոհերենտության անհրաժեշտ պայմանը որոշվում է (5.24)-ով և (5.28)-ով: Սակայն եթե տեղի ունի (5.28) պայմանը, ապա (5.24)-ը տեղի կունենա ինքնըստինքյան: (5.28)-ից կստանանք հետևյալ գնահատականը՝ $|\Delta\lambda/\lambda| \ll 1,2 \cdot 10^{-6}$: (5.37)-ի երկրորդ պայմանից, որը որոշում է ընկնող փնջի՝ ճեղքերի վերջավոր չափերի հետ կապված կոլիմացիայի աստիճանը, հետևում է, որ $L_s \gg 22$ մ: (5.37)-ի երրորդ պայմանը չի բավարարվում AB -ի եզրերում, քանի որ $a/\Lambda_{\infty} \tan\theta_0 = 0,73$:



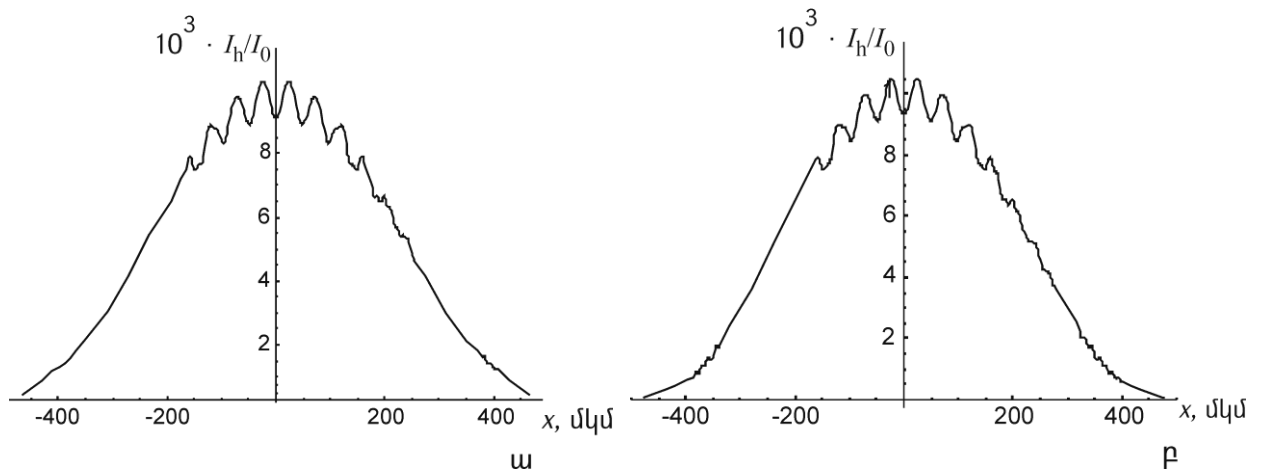
Նկ.5.5. Ընկնող հարթ, մեներանգ, չբևեռացված ալիքի ուժգնության բաշխումը ($I_h = |E_{h\sigma}|^2 + |E_{h\pi}|^2$, $L_s = \infty, \Delta\theta = 0$) (թվային հաշվարկը ստանում է (5.5), (5.6) և (5.38) բանաձևերի)

Անհրաժեշտ տարածական կոհերենտությունը, այսինքն՝ աղբյուրի չափերի ազդեցությունը, գնահատվում է (5.30)-ով: Եթե աղբյուրի չափը՝ $l = 30$ մկմ է, ապա $L_s \gg 70$ մ: Այսպիսով՝ փունջը պետք է կոլիմացվի այնպես, որ այդ կոլիմացիան համապատասխանի $L_s \gg 70$ մ-ին: Ըստ (5.20)-ի՝ բևեռացումներից եկող մոդուլման հետևանքով երկու հաջորդական վերացումների միջև դիտվող գծերի քանակը՝ $N = 14$: Պարբերությունը Φ ունկցիա է դիտման հարթության խորությունից: Երբ $z = 3$ մմ, երկու անկախ բևեռացումների պարբերությունների համար (5.15)-ից հետևում է, որ $D_\sigma = 48,3$ մկմ, $D_\pi = 51,8$ մկմ:

Նկ.5.5-ից ակնհայտ է, որ վերլուծաբար ստացված հիմնական

արդյունքները համընկնում են թվային հաշվարկով ստացված արդյունքի հետ: Նկ.5.5-ը ցույց է տալիս ան-կախ բևեռացումների ուժգնությունների գումարման հետևանքով առաջացած ինտերֆերենցային գծերի ուժգնության մոդուլումը: Թվային հաշվարկով ստացված այս արդյունքը լավագույնս համընկնում է վերլուծական եղանակով ստացված (5.15) արդյունքի հետ:

(5.28) բանաձևի համաձայն՝ գծերը վերանում են, երբ $|\Delta\lambda/\lambda| = |\Delta\lambda/\lambda|_{cr} = 1.2 \cdot 10^{-6}$: Թվային հաշվարկի հիման վրա ստացված ուժգնության բաշխումը (նկ.5.6.ա) համընկնում է այս վերլուծական եզրակացության հետ: Վերջավոր չափերով աղբյուրի



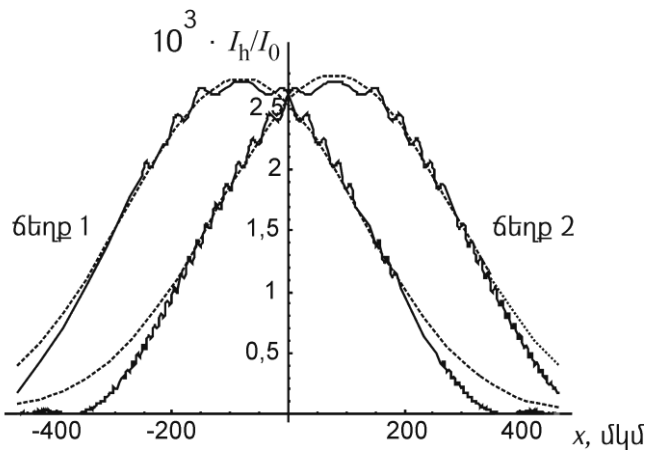
Նկ.5.6. Ուժգնության բաշխումը ω քվազիմենտրանգ ալիք $\Delta\lambda\Delta = (\Delta\lambda\Delta)_{cr} = 1.2 \cdot 10^{-6}$, կատարվել է ինտեգրում ըստ ալիքի երկարությունների և գումարում ըստ բևեռացումների. ρ . աղբյուրի չափը՝ $l = 30$ մկմ և $L_s = L_{scr} = 70$ մ: Կատարվել է ուժգնության ինտեգրում ըստ ոչ կոհերենտ աղբյուրների ξ կոորդինատների և գումարում ըստ բևեռացումների (թվային հաշվարկ ըստ (5.5), (5.6) և (5.38) բանաձևերի):

դեպքում, ըստ (5.30)-ի, գծերը վերանում են, երբ $L_{scr} = kc \cos\theta_0 l / \pi = 70$ մ: Նկ.5.6.բ-ի թվային հաշվարկի արդյունքները համընկնում են այս վերլուծական եզրակացության հետ:

Նկ.5.7-ից ակնհայտ է, որ առանձին ճեղքից (5.35) բանաձևով հաշվարկված ուժգնության բաշխումը համընկնում է թվային հաշվարկով ստացված արդյունքի հետ:

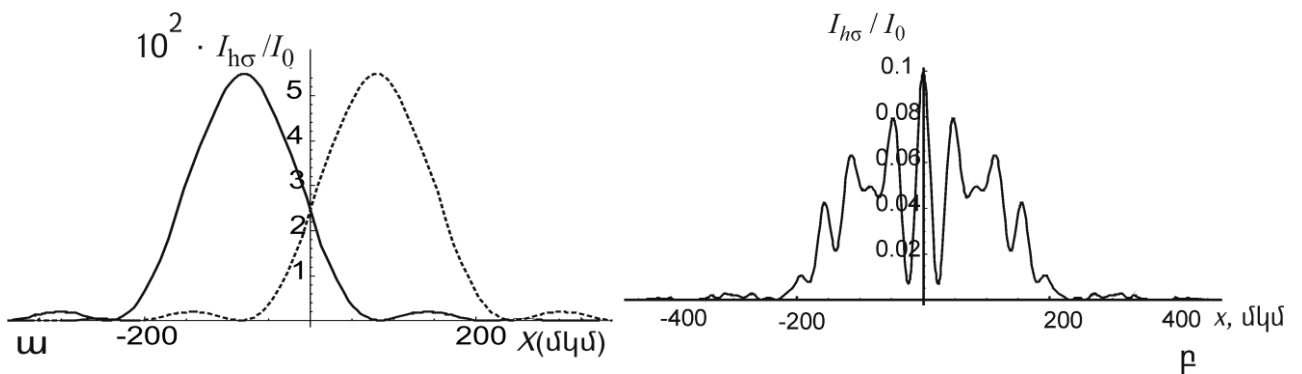
Ինտերֆերենցային գծերը, որոնք համապատասխանում են նկ.5.7 և նկ.5.8.աի դեպքի ճեղքերին, պատկերված են նկ.5.5-ում և նկ.5.8.բ-ում: Նկ.5.8.բ-ի և նկ.5.5-ի համեմատությունից բխում է, որ

իստերֆերենցային գծերը վերանում են լայն ճեղքերի դեպքում: Նկ.5.8. ա ու մ ճեղքերի ֆունկցիաների վերադրումը փոքր է: Նկ.5.9. ա ու մ ցույց է տրված, որ ճեղքի ֆունկցիաներն առավել ազույն չափով վերադրվում են, երբ $L_s = kc \cos^2 \theta_0 D / \pi$: Նկ.5.8. բ-ի և նկ.5.9. բ-ի համեմատությունը ևս ցույց է տալիս, որ այդ հեռավորության դեպքում իստերֆերենցային գծերը կրկին վերականգնվում են: Իստերֆերենցային գծերի թիվը նկ.5.9. բ-ում ավելի քիչ է, քան նկ.5.5-ում, որտեղ $2a = 10$ մկմ: Սա հետևանքն է այն բանի, որ նկ.5.9. բ-ում $2a = 45$ մկմ, և ճեղքի ֆունկցիաների կիսալայնությունն ավելի փոքր է:



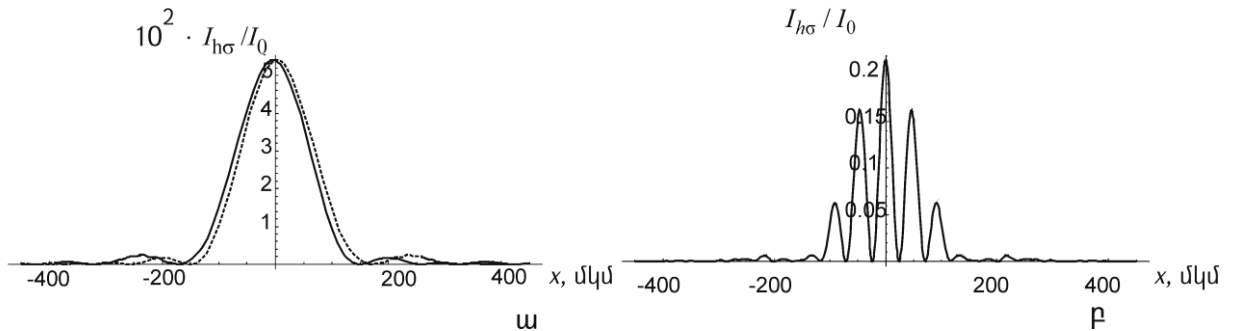
Նկ.5.7. Առանձին ճեղքերի ու ժգնությունների բաշխումների համեմատումը (հոծ գիծ՝ թվային հաշվարկ ըստ (5.32) բանաձևի, կետագիծ՝ ըստ (5.33) մոտավոր բանաձևի)

Գնահատենք նաև երկու ոչ կոհերենտ աղբյուրների անկյունային հեռավորությունը, որը կարելի է չափել Մայքելսոնի դիսամիկական դիֆրակտային աստղային իստերֆերաչափով: (5.46)-ի համաձայն՝ $|\theta_1 - \theta_2| = 0,05''$: c -ի մեծացման



Նկ.5.8. ա Ու ժգնության բաշխումն առանձին ճեղքերի համար. σ-

բւեռացում, հարթ մեներանգ ալիք, $\Delta\theta=0$, $2a=45$ մկմ (թվային հաշվարկ ըստ (5.32) բանաձևի, ճեղք 1՝ հոծ գիծ, ճեղք 2՝ կետագիծ). ρ . համապատասխան ինտերֆերենցային գծերի ուժգնության բաշխումը (թվային հաշվարկ ըստ (5.4) և (5.32) բանաձևերի):



Նկ.5.9. Ուժգնության բաշխումը. ω առանձին ճեղքերի համար (ճեղք 1՝ հոծ գիծ, ճեղք 2՝ կետագիծ), ρ . ստացված ինտերֆերենցային գծերի համար (σ -բւեռացում, գնդային մեներանգ ալիք, $L_s = L_{s0} = 105,5$ մ, $\Delta\theta=0$, $2a = 45$ մկմ, թվային հաշվարկ)

հետևանքնային հեռավորության չափման ճշտությունը մեծանում է:

(5.28) և (5.30) բանաձևերից հետևում է, որ մեներանգության և աղբյուրի չափերի նկատմամբ պահանջներն ավելի հեշտ է իրագործել սինքրոտրոնային աղբյուրների կամ ազատ էլեկտրոնային ռենտգենյան լազերների միջոցով, քան լաբորատոր ռենտ-գենյան աղբյուրներով: Ընկնող փնջի ձևավորման հնարավոր փորձարարական սխեմաներից մեկը կարող է լինել [148]-ում ներկայացված սխեման, որն ունի հետևյալ բաղադրիչները՝ «երկբյուրեղային մեներանգիչ + անհամաչափ կոլիմատոր», ընդ որում կոլիմատորի անհամաչափության գործոնը կարող է փոխվել 1/50-ից մինչև 1/10: Երկու ճեղքի վրա դինամիկական դիֆրակցիա իրականացնելու համար անհրաժեշտ է [148]-ի եռաթիթեղ ինտերֆերաչափը փոխարինել «երկու ճեղք+բյուրեղ» համակարգով:

Չավանաբար համապատասխան կոլիմատորի օգնությամբ հնարավոր է իրականացնել երկու ճեղքի վրա դինամիկական դիֆրակցիա նաև լաբորատոր ռենտգենյան աղբյուրների օգնությամբ:

§5.2. Ռենտգենյան բյուրեղ-դիֆրակտային ֆուրիե-հոլոգրաֆիա

§5.2. 1. Բյուրեղ-դիֆրակտային ֆուրիե-հոլոգրամի գրառումը

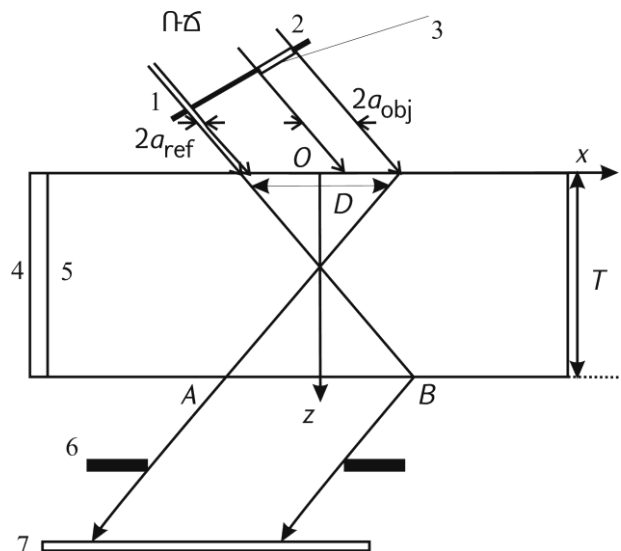
Պատմականորեն հոլոգրաֆիան սկզբնավորվել է որպես

երկաստիճան պրոցես՝ ռենտգենյան ճառագայթներով կամ էլեկտրոնային ալիքներով առարկայի դիֆրակտային պատկերի՝ հոլոգրամի, գրառում և լույսով առարկայի պատկերի վերականգնում: Սակայն հետագայում, կապված էլեկտրոնային և ռենտգենյան օպտիկայի դժվարու-թյունների հետ, այդ եղանակը զարգացել է որպես օպտիկական եղանակ [203,204]: Օպտիկայում գոյություն ունեն հոլոգրամի գրառման և առարկայի պատկերի վերականգնման մի քանի հիմնական եղանակներ. ֆրենելյան հոլոգրաֆիա՝ առանցքային (Գաբորի) և ոչ առանցքային հոլոգրաֆիա, ֆրաունհոֆերյան հոլոգրաֆիա, ֆուրիե-հոլոգրաֆիա, ինտերֆերաչափային հոլոգրաֆիա: [194]-ում նշվել է, որ ռենտգենյան հոլոգրաֆիան կարելի է զարգացնել ռենտգենյան դիֆրակտային եղանակների կիրառմամբ: Գրեթե միաժամանակ [205]-ում առաջարկվել է ռենտգենադիֆրակտային ինտերֆերաչափական հոլոգրաֆիայի եղանակ, որը զարգացվել է [206,207]-ում: Այս եղանակին մոտ կարելի է համարել նաև Մոմոզի մեթոդը [180], որտեղ օգտագործվում է եռաթիթեղ ռենտգենյան ինտերֆերաչափ, որի բազուկներից մեկում տեղադրվում է հետազոտվող առարկան: Երրորդ կամ չորրորդ թիթեղից հետո ստացված և գրանցված ինտերֆերենցային դաշտն առարկայի հոլոգրամն է: [208]-ում առաջարկվել է բյուրեղին մոտ ռենտգենյան ալիքների աղբյուրի պատկերի վերականգնման դինամիկական դիֆրակտային եղանակ: Կինեմատիկական բրեգյան դիֆրակցիայի օգտագործմամբ ռենտգենյան հոլոգրաֆիական եղանակ է առաջարկվել [215]-ում:

Շնորհիվ երրորդ սերնդի ռենտգենյան սինքրոտրոնային աղբյուրների և ռենտգենյան ազատ էլեկտրոնային լազերների, հնարավոր է դարձել նաև ռենտգենյան հոլոգրաֆիայի զարգացումն առանց բրեգյան դիֆրակցիայի կիրառման [209-214]:

Այսպիսով՝ ռենտգենյան հոլոգրաֆիան կարելի է զարգացնել ինչպես ռենտգենյան դինամիկական կամ կինեմատիկական դիֆրակցիայի կիրառմամբ, այն-պես էլ առանց դրա: Համեմատելով այդ երկու եղանակները, պետք է նշել, որ առանց դիֆրակցիայի կիրառման եղանակներն ունեն ավելի բարձր լուծունակություն, սակայն բյուրեղ-դիֆրակտային եղանակների օգտագործումը փոքրացնում է եղանակի լուծունակությունը: Մյուս կողմից, բյուրեղ-դիֆրակտային եղանակների օգտագործումը

հնարավորություն է տալիս առանց դժվարության ստանալու մեծ չափերի (միլիմետրի կարգի և ավելի մեծ) հոլոգրամներ, քանի որ առարկայական և հենային ալիքներն առաջացնում են մի քանի տասնյակ աստիճանի բացվածքով Բորմանի եռանկյուններ, սակայն վակուումում նման չափի հոլոգրամներ ստանալու համար փունջը պետք է անցնի մի քանի տասնյակ կամ հարյուր մետր: Այս եղանակներից յուրաքանչյուրը կարող է ունենալ իր կիրառության ոլորտը, քանի որ հետաքրքրություն են ներկայացնում



Նկ.5.10. Ռենտգենյան բյուրեղ-դիֆրակտային ֆուրիե-հոլոգրամի գրառման սխեման: Ռճ՝ ռենտգենյան ճառագայթներ, 1՝ նեղ ճեղք (կետային աղբյուր), 2՝ ճեղք, որում տեղադրվում է հետազոտվող առարկան, 3՝ առարկա, 4՝ բյուրեղական թիթեղ, 5՝ անդ-րադարձնող հարթություն, 6՝ ճեղք, 7՝ բյուրեղ-դիֆրակտային հոլոգրամ: Պատկերված է նաև xz կոորդինատային հարթությունը, որը համընկնում է դիֆրակցիայի հարթության հետ:

և՛ այն առարկաները, որոնք ունեն միկրոնի և միկրոնից փոքր անհամասեռություններ, և՛ այն առարկաները, որոնց անհամասեռությունը միկրոնից մինչև տասնյակ միկրոններ-ի կարգի է:

§5.1-ում Յուսզի դինամիկական դիֆրակտային գծերի ստացման եղանակը, ինչպես և օպտիկայում Յուսզի եղանակը, ֆուրիե-հոլոգրաֆիայի պարզագույն դեպքն է (առարկայի դեր է խաղում ճեղքերից որևէ մեկը), այնպես որ այդ եղանակը կարող է դինամիկական դիֆրակտային ֆուրիե-հոլոգրաֆիայի զարգացման հիմք ծառայել: Ստորև առաջարկվել և տեսականորեն հետազոտվել է

միաբյուրեղային դիսամիկական դիֆրակտային ֆուրիե-հոլոգրաֆիայի եղանակը:

Բյուրեղ-դիֆրակտային ֆուրիե-հոլոգրամի գրառման սխեման պատկերված է նկ.5.10-ում: Դիտարկվում է երկալիքային համաչափ երկրաչափությամբ Լատե դիֆրակցիա կատարյալ բյուրեղում: Բյուրեղի առջև դրվել է երկու ճեղք: Ճեղքերից մեկը նեղ է և ձևավորում է նեղ փունջ (կետային աղբյուր), իսկ մյուսում դրվում է առարկան: Չարթ գուգահեռ, միավոր լայնությամբ փունջն ընկնում է բյուրեղի վրա: Ճեղքերով անցած փնջերը բյուրեղի ելքի մակերևույթին ձևավորում են ինտերֆերենցային դաշտ: Նեղ ճեղքով անցած փունջը (կետային աղբյուր) հենային ալիքն է, իսկ մյուս ճեղքով անցած փունջը՝ առարկայականը: Նշանակելով համապատասխան դիֆրակտված ալիքների լայնությունները E_{href} -ով և E_{hobj} -ով, դիֆրակտված դաշտի լայնությունը կարելի է ներկայացնել հետևյալ տեսքով՝

$$E_h = E_{href} + E_{hobj} \quad (5.47)$$

(5.47)-ի համաձայն՝ բյուրեղի ելքի մակերևույթին դիֆրակտված դաշտի ուժգնությունը՝

$$I_h = |E_{href}|^2 + E_{href} E_{hobj}^* + E_{href}^* E_{hobj} + |E_{hobj}|^2 \quad (5.48)$$

Ուսումնասիրենք $T/\Lambda \gg 1$ և $\mu T \gg 1$ դեպքը, որտեղ T -ն բյուրեղի հաստությունն է, Λ -ն՝ էքստինկցիոն երկարությունը, μ -ն՝ բյուրեղի գծային կլանման գործակիցը, երբ կարելի է դիտարկել միայն σ -բևեռացման թույլ կլանվող ճյուղը: Դիֆրակտված դաշտի լայնության որոշման համար օգտվենք (4.28) և (4.29) բանաձևերից, որոնցում $\chi_h^{(0)}$ -ի փոխարեն կօգտագործենք χ_h , և կատարենք հետևյալ մոտավորություններ: Նախ՝ օգտվենք Գրինի ֆունկցիայի (5.12) ասիմպտոտական մոտավորությունից, նրանում թողնելով միայն σ -բևեռացման թույլ կլանվող ճյուղը: Առարկայական ալիքի լայնությունը կստացվի ըստ առարկայական ճեղքի ինտեգրումով, իսկ հենային ալիքինը՝ ըստ նեղ ճեղքի ինտեգրումով: Նշված ինտեգրումները կատարելիս Գրինի ֆունկցիայի արգումենտը կվերածենք թեյլորի շարքի $x = x_{obj}$ առարկայի կենտրոնի կոորդինատի շուրջը և $x = x_{ref}$ նեղ ճեղքի կենտրոնի կոորդինատի շուրջը: Առարկայի տիրույթում փուլում կթողնենք մինչև $x - x_{obj}$ գծային

անդամները ներառյալ ($x' - \rho$ փաթույթի ինտեգրման փոփոխականն է), իսկ նեղ ճեղքի տիրույթում կկիրառենք կետային աղբյուրի մոտավորությունը, այսինքն՝ կանտեսենք նաև ըստ ($x' - x_{ref}$)-ի գծային անդամները: Ընդ որում, հաշվի կառնենք բևեռացվելիության ֆուրիե-գործակից-ների կոմպլեքսությունը, ինչպես նաև այն, որ բևեռացվելիության կեղծ մասի ֆուրիե-գործակիցները բացարձակ արժեքով շատ անգամ փոքր են իրական մասի ֆուրիե-գործակիցների բացարձակ արժեքներից: Դրան համաձայն, վերլուծության համապատասխան անդամներում, որոնք պարունակում են կեղծ մասերի ֆուրիե գործակիցները, փոփոխում կանտեսենք նաև ($x' - x_{obj}$)-ին և ($x' - x_{ref}$)-ին համապատասխանող անդամները: Այդ կերպ գտնում ենք

$$E_{href} = 2a_{ref} Q \exp [i\Phi_{ref}(x) + \Psi_{ref}(x)], \quad (5.49)$$

$$E_{hobj} = Q \exp [i\Phi_{obj}(x) + \Psi_{obj}(x)] \tilde{t}(x, y), \quad (5.50)$$

$$\tilde{t}(x, y) = \int_{-a_{obj}}^{a_{obj}} t(x + x_{obj}, y) \exp \left[ik_0 (x - x_{obj}) \frac{x'}{F} \right] \exp (ik \cos \theta \Delta \theta x') dx' \quad (5.51)$$

արտահայտությունները, որոնցում $2a_{ref}$ -ը նեղ ճեղքի, իսկ $2a_{obj}$ -ը՝ առարկայի չափերն են դիֆրակցիայի հարթության մեջ, $Q = -\sqrt{8T\Lambda}^{-1/2} \text{ctg} \theta \exp (i\Phi_0 - \mu_d T / 2 \cos \theta)$, Φ_0 -ն հաստատուն փուլ է, $\mu_d = \mu (1 - \chi_{hi} / \chi_{oi}), \chi_{hi} > 0, \chi_{oi} > 0$ ՝ բյուրեղի բևեռացվելիության կեղծ մասի ֆուրիե-գործակիցներն են, θ -ն՝ Բրեգի անկյունը, $\Delta \theta$ -ն՝ Բրեգի անկյունից շեղումը,

$$\Phi_{refobj}(x) = k_0 \left(\frac{xx_{refobj}}{F} - \frac{x_{refobj}^2}{2F} \right) + k \cos \theta \Delta \theta x_{refobj}, \quad (5.52)$$

$$\Psi_{refobj}(x) = -k_0 \eta \frac{(x - x_{refobj})^2}{2F}, \quad (5.53)$$

$\eta = \chi_{hi} / |\chi_{hr}| \ll 1$, χ_{hr} -ը բևեռացվելիության իրական մասի ֆուրիե-գործակիցն է, $k_0 = 2\pi / \lambda_0$ ՝ ալիքային թիվը, իսկ λ_0 -ն՝ լույսի ալիքի երկարությունը, որն օգտագործվում է հոլոգրամից առարկայի պատկերը վերականգնելիս, $F = T\Lambda \text{ctg}^2 \theta k_0 / \pi$ (F/k_0 -ն կախված է k_0 -ից, որն օգտագործվում է հետագայում պատկերի վերականգնման հաշվարկների հարմարության համար), $t(x, y)$ -ն առարկայի լայնության անցման կոմպլեքս գործակիցն է, կոորդինատային

համակարգի սկզբնակետը երկճեղք համակարգի կենտրոնում է: Այստեղ և հետագա շարադրանքում դիտարկվում է կենտրոնահամաչափ բյուրեղի դեպքը: Գլխավոր եզրակացությունը, որ կարելի է անել (5.50) և (5.51) արտահայտություններից, նույնն է, ինչ որ օպտիկայում՝ առարկայական ալիքի լայնությամբ համեմատական է առարկայի լայնությանին անցման կոմպլեքս գործակցի ֆուրիե-պատկերին: Վերականգնման ժամանակ կատարվում է հակադարձ ֆուրիե-ձևափոխություն, և վերականգնվում է առարկայի լայնությանին անցման կոմպլեքս գործակիցը: Գրառելով (5.48) ուժգնության բաշխումը՝ ստանում ենք առարկայի հոլո-գրամը: Հոլոգրամի գրանցման AB տիրույթը ցույց է տրված նկ.5.10-ում:

Կատարված հաշվարկներում դիտարկվել է մեներանգ ալիք և անտեսվել են աղբյուրի չափերը: Իրական ալիքները մեներանգ չեն, իսկ իրական աղբյուրներն ունեն չափեր: Համառոտակի քննարկենք տարածական (աղբյուրի չափերի հետ կապված լայնական կոհերենտություն) և ժամանակային (ոչ մեներանգության հետ կապված կոհերենտություն) կոհերենտություններին ներկայացվող պահանջները: Գնահատումները, որոնք կատարվում են նույն կերպ, ինչպես [146]-ում և §5.1-ում, հանգեցնում են հետևյալ պահանջներին, որոնց բավարարվելու դեպքում աղբյուրի չափերը և ոչ մենե-րանգությունը չեն ազդի հոլոգրամի ուժգնության բաշխման վրա. տարածական կոհերենտության համար անհրաժեշտ է որ $D \cos\theta l \ll \lambda L_s$, իսկ ժամանակային կոհերենտության համար՝ $D \cos\theta \tau \ll \lambda^2 / (2\Delta\lambda) = l_c$, D -ն երկճեղք համակարգի ընդհանուր չափն է x առանցքի ուղղությամբ (նկ.5.10), l -ը՝ աղբյուրի չափը դիֆրակցիայի հարթության մեջ ընկնող փնջի տարածման ուղղությանն ուղղահայաց ուղղությամբ, L_s -ը՝ «աղբյուր-բյուրեղ» միջին հեռավորությունը, $2\Delta\lambda$ -ն՝ միջին ալիքի երկարության շուրջ ալիքի երկարությունների տիրույթը, l_c -ն՝ կոհերենտության երկայնական չափը:

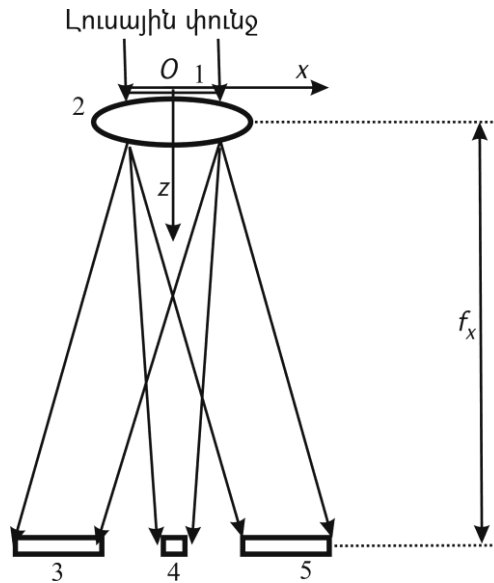
§5.2.2. Վերականգնումը լույսով

Առարկայի պատկերի վերականգնման նպատակով հոլոգրամը տեղադրվում է տեսանելի տիրույթի լույսի տարածման ճանապարհին: Ենթադրվում է, որ հոլոգրամի մակերևույթին

ուղղահայաց ընկնում է միավոր լայնությամբ հարթ լուսային ալիք: Յուր-գրամն անցնելուց հետո դաշտի տարածումը նկարագրվում է համապատասխան Գրի-նի ֆունկցիայի պարաբոլական մոտավորությամբ՝ Կիրիսիոֆի $P(x,y,z)$ պրոպագատորով [245]՝

$$P(x,y,z) = -\frac{ik_0}{2\pi z} \exp\left(ik_0 \frac{x^2 + y^2}{2z}\right): \quad (5.54)$$

Կոորդինատային առանցքները զուգահեռ են բյուրեղում դիֆրակցիան նկարագրելիս



Նկ.5.11. Միաչափ առարկայի պատկերի վերականգնումը: 1՝ ռենտգենադիֆրակտային ֆունկցիոնալ գրամ, 2՝ f_x ֆոկուսային հեռավորությամբ գլանային ոսպնյակ, 3, 4, 5՝ համալուծ պատկեր, ուղիղ փունջ ու հալոն իրական պատկեր համապատասխանաբար:

օգտագործված կոորդինատային առանցքներին, սակայն z առանցքի սկիզբն այժմ համընկնում է հոլոգրամի մակերևույթին: Միաչափ $t(x)$ և երկչափ $t(x,y)$ դեպքերում անհրաժեշտ է կիրառել վերականգնման երկու տարբեր եղանակներ:

Միաչափ դեպք: Յուր-գրամն ամփոփապես տեղադրվում է f_x կիզակետային հեռավորությամբ ոսպնյակից առաջ կամ հետո (նկ.5.11): Գլանի առանցքն ուղղահայաց է (x,z) հարթությանը: Յուր-գրամն-ֆրենելի սկզբունքի համաձայն՝ ալիքային դաշտի լայնությամբ $z=f_x$ հարթության մեջ (ոսպնյակի կիզակետային հարթություն)՝ հոլոգրամը և ոսպնյակն անցնելուց հետո, որոշվում է

$$E_{rec} = \int_{-\infty}^{+\infty} P(x-x', y-y', f_x) \exp\left(-ik_0 \frac{x'^2}{2f_x}\right) I_n(x') dx' dy' \quad (5.55)$$

վարթույթով, որտեղ ինտեգրումը կատարվում է ըստ հոլոգրամի մակերևույթի: Ոսպնյակի կիզակետային հարթության մեջ տեղի է ունենում հակադարձ ֆուրիե-ձևափոխություն և վերականգնվում է առարկայի պատկերը: (5.48)-ը տեղադրելով (5.55)-ի մեջ, օգտվելով (5.49), (5.50) լայնույթների մոտավոր տեսքերից և կատարելով ինտեգրում՝ վերականգնված լայնույթների համար ստանում ենք՝

$$E_{rec1} = A_1 \exp\left[ik_0 \frac{(x-x_{ref})^2}{2f_x}\right] \exp\left[-\frac{k_0 x_{ref}^2 F}{4f_x^2 \eta}\right], \quad (5.56)$$

որտեղ

$$A_1 = \frac{k_0}{4\pi} a_{ref}^2 \sqrt{\frac{2}{Ff_x \eta}} \exp\left(-\frac{\mu_d T}{\cos\theta} - ik_0 \frac{x_{ref}^2}{2f_x}\right), \quad (5.57)$$

$$E_{rec2} = A_2 \exp\left[ik_0 \frac{(x-x_{obj})^2}{2f_x}\right] \exp\left(ik \cos\theta \Delta\theta \frac{x_{ref}}{f_x}\right) t^*\left(x_{ref} - \frac{x_{ref}}{f_x}\right), \quad (5.58)$$

որտեղ

$$A_2 = \frac{1}{2} a_{ref} \exp\left(-\frac{\mu_d T}{\cos\theta} - k_0 \frac{\eta x_{ro}^2}{4F} - i\frac{\pi}{4}\right) \sqrt{\frac{k_0}{2\pi f_x}} \times \exp\left[-ik_0 \left(\frac{x_{obj}^2}{2f_x} + \frac{x_{ro}^2}{2F}\right) - k_0 \left(\frac{k \cos\theta \Delta\theta}{k_0} + \frac{x_{ro}}{2F}\right)^2 \eta F\right], \quad (5.59)$$

իսկ $x_{ro} = x_{ref} - x_{obj}$,

$$E_{rec3} = A_3 \exp\left[ik_0 \frac{(x-x_{obj})^2}{2f_x}\right] \exp\left(ik \cos\theta \Delta\theta \frac{x_{ref}}{f_x}\right) t\left(x_{ref} + \frac{x_{ref}}{f_x}\right), \quad A_3 = A_2 \exp\left(i\frac{k_0 x_{ro}^2}{F}\right), \quad (5.60)$$

$$E_{rec4} = A_4 \exp\left[ik_0 \frac{(x-x_{obj})^2}{2f_x}\right] \exp\left(ik \cos\theta \Delta\theta \frac{x_{ref}}{f_x}\right) \int_{-\infty}^{+\infty} t\left(x + x_{obj} + \frac{x_{ref}}{f_x}\right) t^*(x + x_{obj}) dx', \quad (5.61)$$

$$A_4 = \frac{1}{4} \exp\left(-\frac{\mu_d T}{\cos\theta} - \frac{i\pi}{4}\right) \sqrt{\frac{k_0}{2\pi f_x}} \exp\left[-ik_0 \frac{x_{obj}^2}{2f_x} - k_0 \left(\frac{k \cos\theta \Delta\theta}{k_0} - \frac{x_{obj}}{F}\right)^2 \eta F\right]: \quad (5.62)$$

(5.56)-(5.62) լայնույթներից յուրաքանչյուրը համապատասխանում է (5.48) ուժգնության բաշխման մեջ չորս գումարելիներից յուրաքանչյուրի վերականգնված անդամին: E_{rec1} -ը համապատասխանում է վերականգնված հենային պիքին և

կենտրոնացված է $x = 0$ կետի շուրջը: E_{rec4} -ն այդ կետի շուրջը հալո է առաջացնում [204]: E_{rec2} -ը և E_{rec3} -ը համապատասխանում են առարկայի համալուծ և իրական պատկերներին: Չամալուծ պատկերը պտտված է 180° -ով, խոշորացված է

$$M = \frac{f_x}{F} \quad (5.63)$$

գործակցով և կենտրոնից x առանցքով շեղված է $x_{ref}f_x / F$ չափով: Իրական պատկերը խոշորացված է նույն գործակցով և կենտրոնից շեղված է $-x_{ref}f_x / F$ չափով: Այսպիսով՝ ընտրելով համապատասխան x_{ref} , կարելի է միմյանցից բաժանել իրական և կեղծ պատկերները: Իրական և համալուծ պատկերները կենտրոնական փնջի հակադիր կողմերում են: Նշենք նաև, որ քանի որ հալոն ունի նույն չափերը, ինչ որ առարկայի խոշորացված պատկերը, ապա այն չի ծածկի առարկայի պատկերը, եթե $|x_{ref}|$ -ն ընտրվի այնպես, որ իրական պատկերի ձախեգրը չվերադրվի հալոյի հետ՝ $|x_{ref}|f_x / F - Ma_{obj} > Ma_{obj}$, այսինքն՝ $|x_{ref}|f_x / F > 2Ma_{obj}$, կամ ըստ (5.63)-ի՝

$$|x_{ref}| > 2a_{obj} \quad (5.64)$$

Նշենք նաև, որ եղանակի լուծունակության համար ստացվել է $\Delta_{res} \sim 4(\eta F / k_0)^{1/2}$ գնահատականը:

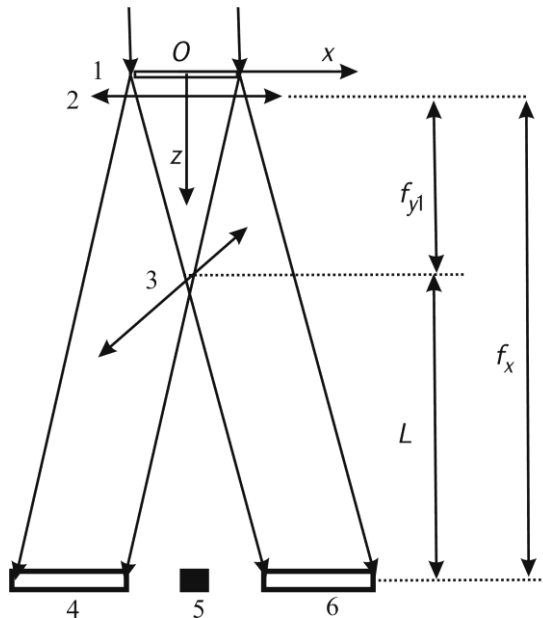
Երկչափ դեպք: Երկչափ դեպքում, երբ առարկայի լայնության անցման կոմպլեքս գործակիցը կախված է x և y կոորդինատներից, անհրաժեշտ է կատարել նախնական ֆուրիե-ձևափոխություն ըստ y կոորդինատի: Այդ դեպքի համար նկ.5.12-ում ցույց է տրված վերականգնման հնարավոր սխեմաներից մեկը: Չոլոգրամը տեղադրվում է f_x և f_{y1} կիզակետային հեռավորություններով ոսպնյակից անմիջապես առաջ կամ հետո (դրափոխարեն կարելի է օգտագործել երկու խաչված ոսպնյակներ՝ f_x և f_{y1} կիզակետային հեռավորություններով): Եթե հոլոգրամը լուսավորենք լույսով, ապա կկատարվի ըստ y -ի ֆուրիե-ձևափոխություն $z = f_{y1}$ հարթության մեջ: Այդ նույն կիզակետային հարթության մեջ տեղադրվում է (y, z) հարթությունում f_{y2} կիզակետային հեռավորությամբ գլանային ոսպնյակ (գլանի առանցքն ընկած է (x, z) հարթության մեջ): Այդ ոսպնյակի հարթությունից հաշված L հեռավորությունում ոսպնյակն «իրականացնում» է ըստ y -ի հակադարձ ֆուրիե-ձևափոխություն: L հեռավորությունը բավարարում է

$$\frac{1}{L} + \frac{1}{f_{y1}} = \frac{1}{f_{y2}} \quad (5.65)$$

առնչությունը: Այդ նույն հարթության մեջ անհրաժեշտ է ստանալ հակադարձ ֆուրիե-ձևափոխությունը ըստ x -ի: Յետևաբար՝ f_x կիզակետային հեռավորությունը պետք է բավարարի

$$L + f_{y1} = f_x \quad (5.66)$$

առնչությունը: Այս դեպքում Յյուլյգենս-Ֆրենելի սկզբունքը՝ (5.55) բանաձևը, պետք է կիրառել երկու փուլով: Առաջին փուլում հոլոգրամի հարթությունից մինչև $z = f_{y1}$ հարթությունը, իսկ երկրորդ փուլում՝ այդ հարթությունից մինչև $z = f_x$ հարթությունը: Առաջին փուլում (5.55)-ում $\exp[-ik_0x^2/2f_x]$ -ի փոխարեն պետք է վերցնել



Նկ.5.12. Երկչափ առարկայի պատկերի վերականգնումը: 1՝ ռենտգենադիֆրակտային ֆուրիե-հոլոգրամ, 2՝ (x,z) հարթությունում f_x , իսկ (y,z) հարթությունում՝ f_{y1} կիզակետային հեռավորություններով ուսանյակ, 3՝ (y,z) հարթությունում f_{y2} կիզակետային հեռավորությամբ գլանային ուսանյակ, 4 համալուծ պատկեր, 5՝ ուղիղ փունջ ու հալո, 6՝ իրական պատկեր:

$\exp[-ik_0x^2/2f_x - ik_0y^2/2f_{y1}]$: Երկրորդ փուլում $\exp[-ik_0x^2/2f_x]$ -ի փոխարեն պետք է վերցնել $\exp[-ik_0y^2/2f_{y2}]$, իսկ $I_h(x')$ -ի փոխարեն՝ լայնության համապատասխան տեսքը $z=f_{y1}$ -ում: Կատարելով համապատասխան ինտեգրումները՝ հանգում ենք նույնափսի արտահայտությանը, ինչ որ միաչափ դեպքում, ընդ որում,

վերականգնված լայնույթները կարելի է ստանալ (5.56)-(5.62)-ից, A_i ($i = 1, \dots, 4$) գործակիցների փոխարինմամբ A'_i ($i = 1, \dots, 4$) գործակիցներով, իսկ $t(x)$ -ը և $t^*(x)$ -ը՝ $t(x, -y f_{y1}/L)$ -ով և $t^*(x, -y f_{y1}/L)$ -ով (x -ի նույն արժեքների դեպքում): $i = 1, 2, 3$ -ի դեպքում հին և նոր գործակիցների կապերը տրվում են

$$A'_1 = -A_1 \exp\left(\frac{i\pi}{4}\right) \sqrt{\frac{f_{y1}}{f_{y2}} - 1} \exp\left(ik_0 \frac{Y^2}{2L}\right), \quad (5.67)$$

$$A'_{2,3} = -A_{2,3} \exp\left(\frac{i\pi}{2}\right) \sqrt{\frac{f_{y1}}{f_{y2}} - 1} \exp\left(ik_0 \frac{Y^2}{2L}\right), \quad (5.68)$$

առնչություններով, իսկ

$$A'_4 = -\frac{1}{4} \exp\left[-\frac{\mu_d T}{\cos\theta} + \frac{i\pi}{4}\right] \sqrt{\frac{k_0}{2\pi f_x} \left(\frac{f_{y1}}{f_{y2}} - 1\right)} \times \exp\left[-i \frac{k_0 x_{obj}^2}{2f_x} - k_0 \left(\frac{k \cos\theta \Delta\theta}{k_0}\right)^2 \eta F\right] \exp\left(ik_0 \frac{Y^2}{2L}\right): \quad (5.69)$$

ինչպես հետևում է (5.67)-(5.69) արտահայտություններից, հիմնական եզրակացությունները նույնն են, ինչ որ միաչափ դեպքում, բայց երկչափ դեպքում երկու պատկերներն էլ պտտված են ըստ y -ի: Ըստ y -ի խոշորացումը որոշվում է

$$M_1 = \frac{L}{f_{y1}} \quad (5.70)$$

առնչությամբ: Օգտագործվող ոսպնյակների պարամետրերը որոշելու համար բավարար են (5.65) և (5.66) բանաձևերը: Մյուս կողմից, ոսպնյակների պարամետրերը կարելի է ընտրել այնպես, որ $M = M_1$: Միասին դիտարկելով (5.63), (5.65), (5.66) և (5.69) բանաձևերը և $M = M_1$ պայմանը՝ կարելի է ստանալ ոսպնյակների հետևյալ պարամետրերը.

$$F > f_{y2}, \quad f_{y1} = \sqrt{F f_{y2}}, \quad f_x = \frac{f_{y1}}{1 - \frac{f_{y2}}{f_{y1}}}, \quad L = \frac{f_{y2} f_x}{f_{y1}}: \quad (5.71)$$

Այսպես, եթե վերցնենք $F = 20$ մմ և $f_{y2} = 10$ մմ, ապա (5.70)-ից կհետևի, որ $f_{y1} = 14$ մմ, $f_x = 49$ մմ, $L = 35$ մմ և $M = M_1 = 2,5$:

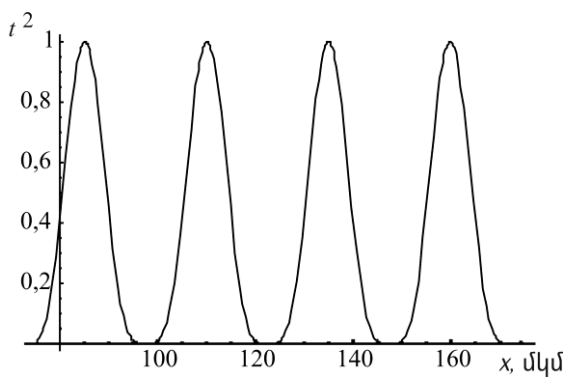
§5.2. 4. Օրինակի քննարկում

Դասական օրինակներից է կոսինուսարձային դիֆրակտային ցանցը [203], որի լայնության անցման գործակիցը տրվում է

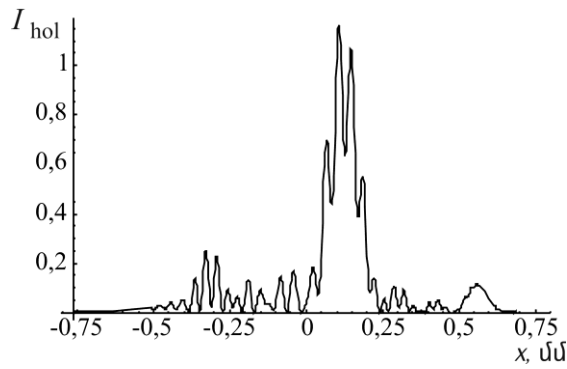
$$t(x) = t_0 + t_1 \cos\left(\frac{2\pi x}{q} + \varphi_0\right) \tag{5.72}$$

առնչությամբ, որտեղ t_0 -ն, t_1 -ը, q -ն և φ_0 -ն հաստատուններ են: Ենթադրենք՝ $t_0 = t_1 = 0,5$,

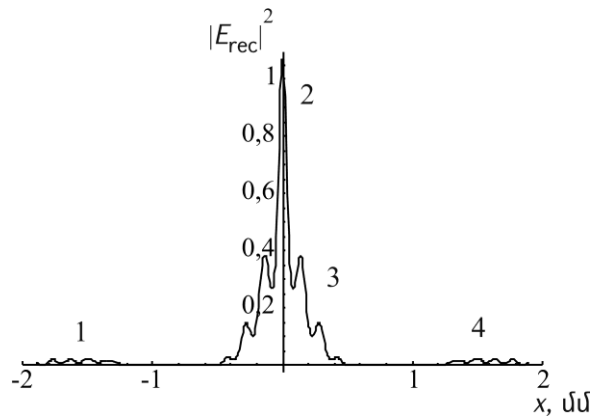
$q = 25$ մկմ, $\varphi_0 = 3,2\pi$ և դիտարկենք $\lambda = 0,71 \text{ \AA}$ ճառագայթման Si(220) անդրադարձումը, $T = 5$ մմ, $2a_{\text{ref}} = 10$ մկմ, $x_{\text{ref}} = -170$ մկմ, $x_{\text{obj}} = 125$ մկմ, առարկայի չափը՝ $2a_{\text{obj}} = 100$ մկմ, երկճեղք համակարգի չափը՝ $D=350$ մկմ: Նկ.5.13-ում պատկերված է $t^2(x)$ ֆունկցիայի գրաֆիկը, նկ.5.14-ում՝ թվային հաշվարկով ստացված (5.48) ուժգնության բաշխումը հոլոգրամի վրա, իսկ նկ.5.15-ում՝ վերականգնված դաշտի (5.55) ուժգնության բաշխումը հոլոգրամից $z = f_x = 100$ մմ հեռավորությունում: Ինչպես երևում է նկ.5.15-ից, կենտրոնում վերականգնված հենային ալիքի ուժգնության բաշխումն է և հալոն ((5.56) և (5.61)-ին համապատասխանող ուժգնությունները): Համալուծ պատկերն ստացվել է կենտրոնից ձախ՝ բացասական x -երի տիրույթում, իսկ իրական պատկերը՝ կենտրոնից աջ՝ դրական x -երի տիրույթում: Քանի որ այս դեպքում $F = 20$ մմ, ապա $M = 5$: Այս օրինակում անվերջ չափի հոլոգրամին համապատասխանող լուծունակությունը՝ $\Delta_{\text{res}} \sim 4(\eta F/k_0)^{1/2} \approx 16 - 17$ մկմ է: Ստացված իրական պատկերի որակը գնահատելու նպատակով նկ.5.16-ում առանձին ցույց է տրված ուժգնության բաշխումն իրական պատկերի տիրույթում:



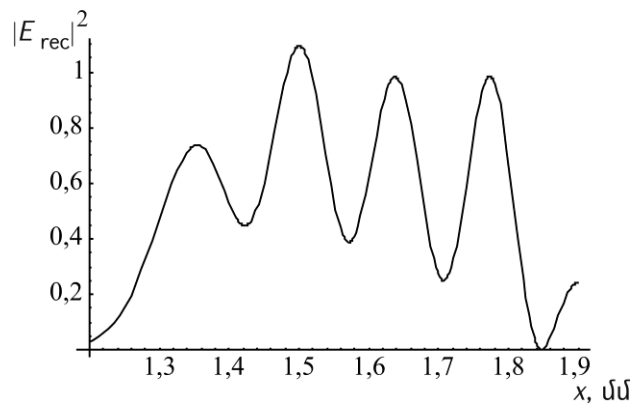
Նկ.5.13. Առարկայի լայնության անցման գործակիցի քառակուսու գրաֆիկը



Նկ.5.14. Ռենտգենյան դիֆրակցիայի հոլոգրամի վրա ուժգնությամբ բաշխումը (կամայական միավորներով)



Նկ.5.15. Վերականգնված դաշտի (թվային հաշվարկ) ուժգնությամբ բաշխումը $z = f_x$ պատկերի հարթության վրա. 1՝ համալուծ պատկեր, 2՝ ուղիղ անցած փունջ, 3՝ հալոս և 4՝ իրական պատկեր (կամայական միավորներով):



Նկ.5.16. Ուժգնությամբ բաշխումը վերականգնված իրական պատկերի տիրույթում (կամայական միավորներով):

Եզրափակելով՝ հարկ է նշել, որ ուժգնությամբ թվային հաշվարկով ստացված բաշխումները, խոշորացումը, պատկերների շեղումը, համալուծ պատկերի պտույտը համապատասխանում են տեսական կանխատեսումներին:

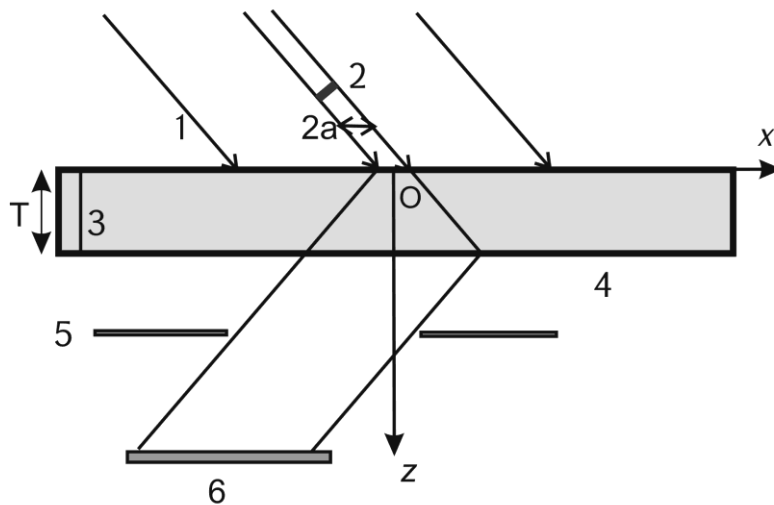
ԳԼՈՒԽ 6. ԴԻՆԱՄԻԿԱԿԱՆ ԴԻՖՐԱԿՏԱՅԻՆ ՄԵԿԲՅՈՒՐ ԵՂԱՅԻՆ ՖՐԱՄԻՆՆՈՑԵՐՅԱՆ ՀՈԼՈԳՐԱՖԻԱ

§6.1. Ռեևտգենյան դինամիկական դիֆրակտային ֆրաունհոֆերյան հոլոգրաֆիա

§6.1.1. Ռեևտգենյան ֆրաունհոֆերյան հոլոգրամ

Օպտիկայում հայտնի է ֆրաունհոֆերյան հոլոգրաֆիական եղանակը [203, 204], երբ հոլոգրամի գրառումն ընդհանուր դեպքում կարելի է իրականացնել որոշակի ալիքի երկարությամբ ճառագայթումով, իսկ պատկերի վերականգնումն իրականացնել ուրիշ ալիքի երկարությամբ ճառագայթումով:

Ստորև առաջարկվել և տեսականորեն հետազոտվել է դինամիկական դիֆրակտային ֆրաունհոֆերյան հոլոգրաֆիայի եղանակ, երբ հոլոգրամի գրառումը կատարվում է բյուրեղում, երկալիքային դինամիկական դիֆրակցիայի պայմաններում, իսկ վերականգնումը կատարվում է լույսով:



Նկ.6.1. Ֆրաունհոֆերյան դինամիկական դիֆրակտային հոլոգրամի գրանցման սխեման: 1՝ ռեևտգենյան ճառագայթներ, 2՝ առարկա, 3՝ անդրադարձնող հարթություներ, 4՝ բյուրեղ, 5՝ ճեղք, 6՝ հոլոգրամ:

Ֆրաունհոֆերյան դինամիկական դիֆրակտային հոլոգրաֆիական սխեման պատկերված է նկ.6.1-ում: Առարկան դրվում է ընկնող հենային հարթ ալիքի ճանապարհին: Կատարյալ բյուրեղում, երկալիքային համաչափ Լաուեի երկրաչափությամբ դինամիկական դիֆրակցիայի պայմաններում, հենային և առարկայական ալիքների վերադրման հետևանքով բյուրեղի ելքի մակերևույթին առաջանում

Ե ինտերֆերենս-ցայիս դաշտ: Գրանցելով այդ ինտերֆերենսցայիս դաշտի ուժգնությունը դիֆրակտված փնջում՝ ստանում են առարկայի հոլոգրամը: Առարկայի պատկերը կարելի է վերականգնել հոլոգրամը լուսավորելով լույսով ինչպես նաև թվային եղանակով:

Ներկայացված սխեմայում դիֆրակտված դաշտի լայնությունը բյուրեղի ներսում՝

$$E_h = \int_{-\infty}^{+\infty} G(x-x', z) E^i(x', y) (1-S(x', y)) \exp(ik \cos\theta_0 \Delta\theta x') dx', \quad (6.1)$$

որտեղ

$$G(x, z) = \frac{ik\chi_h C}{4 \sin\theta_0} J_0\left(\frac{\pi}{\Lambda} \text{ctg}\theta_0 \sqrt{z^2 \text{tg}^2\theta_0 - x^2}\right) \exp\left(ik \frac{\chi_0 z}{2 \cos\theta_0}\right) H(z \text{tg}\theta_0 - |x|) \quad (6.2)$$

Գրիսի ֆունկցիան է, $E^i(x', y)$ -ը՝ ընկնող ալիքի լայնությունը, $S(x, y) = 1 - t(x, y)$ -ը՝ առարկայի ցրման լայնությունը, $\Lambda = \lambda \cos\theta_0 / C \sqrt{\chi_h \chi_{\bar{h}}}$, θ_0 (λ)-ն Բրեգի անկյունն է λ ալիքի երկարության համար: Նկ.6.1-ում $Oxyz$ կոորդինատային համակարգի Oy առանցքն ուղղահայաց է դիֆրակցիայի հարթությանը, դիֆրակցիայի քվեկտորը հակադրագահեռ է x առանցքին, θ -ն ընկնող ալիքի տարածման ուղղության և անդրադարձնող հարթությունների միջև կազմված անկյունն է, $\Delta\theta = \theta - \theta_0$ (λ)-ն՝ տրված ալիքի երկարության համար Բրեգի անկյուննից շեղումը: $S(x, y)$ -ը որոշված է $x \in (-\infty, \infty), y \in (-\infty, \infty)$ տիրույթում և գրո է առարկայի տիրույթից դուրս՝ $x \notin (-a, a)$: (6.1)-ը կարելի է ներկայացնել երկու գումարելիների տեսքով, որոնցից առաջինը դիֆրակտված դաշտի լայնություն է առարկայի բացակայությամբ՝ E_{href} (հենային ալիք), իսկ երկրորդն առարկայի առկայությամբ պայմանավորված դաշտն է՝ E_{hobj} (առարկայական ալիք): Այսպիսով՝ դիֆրակտված դաշտի լայնությունը տրվում է (5.47)-ով, իսկ բյուրեղի ելքի ($z=T$) մակերևույթին ուժգնությունը՝ (5.48)-ով: Գրանցելով (5.48) ուժգնությունը՝ կստանանք առարկայի դի-նամիկական դիֆրակտային ֆրաունհոֆերի հոլոգրամը:

Ռեկոնստրուկցիոն հենային ալիքը: (6.1) և (5.47)-ի համաձայն՝

$$E_{href} = iE_0^i \chi_{hi} \exp\left(ik \frac{\chi_{0r} T}{2 \cos \theta_0}\right) \exp(ik \cos \theta_0 \Delta \theta x) \frac{\sin\left(kT \frac{\sqrt{\chi_{hr} \chi_{hr}^- + \Delta \theta^2 \sin^2 2\theta}}{2 \cos \theta_0}\right)}{\sqrt{\chi_{hr} \chi_{hr}^- + \Delta \theta^2 \sin^2 2\theta}}, \quad (6.3)$$

որտեղ E_0^i -ն ընկնող հարթ ալիքի լայնույթն է, T -ն՝ բյուրեղի հաստությունը: Յետագաշարադրանքում ենթադրվում է, որ $E_0^i = 1$:

Առանց խախտելու ընդհանրությունը կդիտարկենք կենտրոնահամաչափ բյուրեղ: Ենթադրվում է նաև, որ $\chi_{0r} < 0$, $\chi_{hr} = \chi_{hr}^- < 0$, $\chi_{hi} = \chi_{hi}^- > 0$, $\chi_{hi} \ll |\chi_{hr}|$, $\chi_{hi} \approx \chi_{0i} > 0$: $\mu T \gg 1$ դեպքում, որտեղ $\mu = k\chi_{0i}$ -ն բյուրեղի նորմալ գծային կլանման գործակիցն է, կարելի է դիտարկել միայն σ -բևեռացման թույլ կլանվող ճյուղը:

Այսպիսով՝ հենային ալիքի լայնույթը կարելի է ներկայացնել հետևյալ տեսքով.

$$E_{href} = -\exp\left[ik \frac{\chi_{0r} T}{2 \cos \theta_0}\right] \exp\left(-\frac{\mu_d(p)T}{2 \cos \theta_0}\right) \exp(ik \cos \theta_0 \Delta \theta x) \frac{\exp\left(\frac{i\pi T}{\Lambda_r} \sqrt{1+p^2}\right)}{2\sqrt{1+p^2}}, \quad (6.4)$$

որտեղ $\mu_d(p) = \mu(1 - \chi_{hi}/\chi_{0i})/\sqrt{1+p^2}$ -ն բյուրեղի դիֆրակտային գծային կլանման գործակիցն է թույլ կլանվող ճյուղի համար, $\Lambda_r = \text{Re}\Lambda$ -ն՝ էքստինկցիոն երկարությունը, $p = \Delta \theta \sin 2\theta / |\chi_{hr}|$:

Կետային առարկայի դինամիկական դիֆրակտային ֆրաունհոֆերյան հոլոգրամը: (6.1) և (5.47)-ի համաձայն՝

$$E_{hobj} = -\int_{-\infty}^{\infty} G(x-x', T) S(x', y) \exp(ik \cos \theta_0 \Delta \theta x') dx': \quad (6.5)$$

Դինամիկական դիֆրակցիայի պայմաններում առարկան կարելի է դիտարկել որպես կետային, եթե $a \ll |\Lambda| \tan \theta_0 / \pi$ [233]: Այս դեպքում, ըստ (6.5)-ի՝

$$E_{hobj} = -2a \tilde{S}(y) G(x, T), \quad (6.6)$$

որտեղ

$$\tilde{S}(y) = \frac{1}{2a} \int_{-\infty}^{\infty} S(x', y) \exp(ik \cos \theta_0 \Delta \theta x') dx': \quad (6.7)$$

Երբ $k \cos \theta_0 \Delta \theta a \ll \pi$, (6.7)-ի փոխարեն կունենանք՝

$$\tilde{S}(y) = \frac{1}{2a} \int_{-\infty}^{\infty} S(x', y) dx' \quad (6.8)$$

Օպտիկայում առավել դյուրին ուսումնասիրվող առարկաներից մեկը բացարձակ կլանող և արև է՝ $S(x, y) = 1$ երբ $x \in (-a, a)$ և $S(x, y) = 0$ երբ $x \notin (-a, a)$ [246]:

Դիտարկելով հաստ կլանող բյուրեղի դեպքը՝ $\pi T / |\Lambda| \gg 1$, նորից կօգտվենք (5.12) ասիմպտոտիկայից և նույն մոտավորություներով, ինչ որ §5.1-ում: Հաշվի առնելով միայն σ -բևեռացման թույլ կլանվող ճյուղը՝ (6.5)-ից կստանանք.

$$E_{hobj} \approx a \sqrt{\frac{1}{2T\Lambda_r}} \exp\left(\frac{i\pi}{4}\right) ctg\theta_0 \tilde{S}(y) \exp\left(\frac{i\pi T}{\Lambda_r}\right) \exp\left(\frac{ik\chi_{0r}T}{2\cos\theta_0}\right) \exp\left(-\frac{\mu_d(0)T}{2\cos\theta_0}\right) \times \exp\left(-\frac{i\pi x^2}{2T\Lambda_r tg^2\theta_0}\right) \exp\left(-\frac{\pi x^2 \eta}{2T\Lambda_r tg^2\theta_0}\right) H(Ttg\theta_0 - |x|), \quad (6.9)$$

որտեղ $\eta = \chi_{hi} / |\chi_{hr}|$: (6.4)-ի և (6.9)-ի համաձայն՝ հոլոգրամի վրա (5.48) ու ժգնության բաշխումը՝

$$I_h(p, x, y) = A(p) \left(1 - 2aU^*(p) \tilde{S}^*(y) \exp(i\Phi_+) - 2aU(p) \tilde{S}(y) \exp(i\Phi_-) + 4a^2 \Gamma(p) \tilde{S}^*(y) \tilde{S}(y) \exp\left(-\frac{\pi x^2 \eta}{T\Lambda_r tg^2\theta_0}\right) \right), \quad (6.10)$$

որտեղ $A(p) = \exp[-\mu_d(p)T \cos^{-1}\theta_0] [4(1+p^2)]^{-1}$, $U(p) = \Gamma^{1/2}(p) e^{i\pi/4} \exp[-i\pi T u(p) \Lambda_r^{-1}]$,

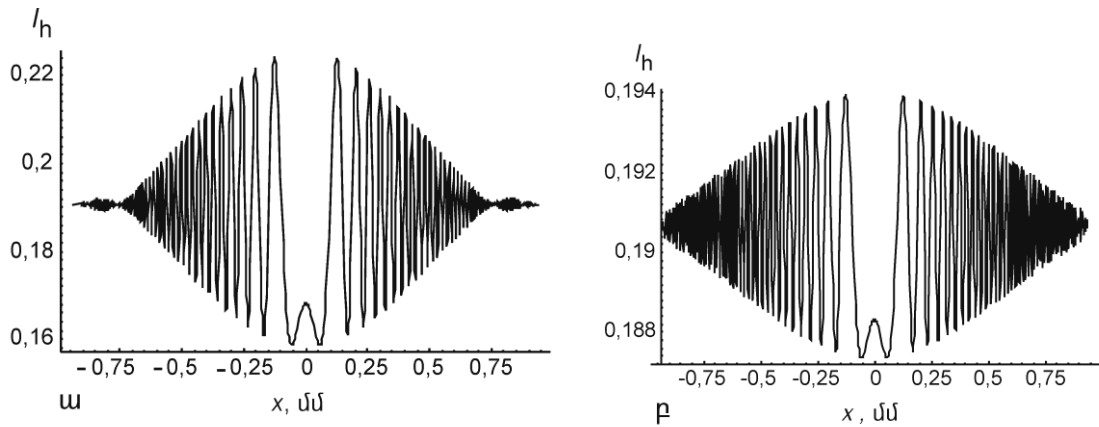
$u(p) = \sqrt{1+p^2} - 1$, $\Phi_{\pm} = \pm \pi x^2 (1 \pm \eta) [2T\Lambda_r tg^2\theta_0]^{-1} \pm k \cos\theta_0 \Delta\theta x$, $\delta_d(p) = \mu_d(0) - \mu_d(p)$,

$\Gamma(p) = (1+p^2) \exp(-\delta_d(p)T \cos^{-1}\theta_0) ctg^2\theta_0 [2T\Lambda_r]^{-1}$: Հոլոգրամը գրանցվում է

եկի մակերևույթի $|x| < Ttg\theta_0$ տիրույթում: Նկ.6.2.ում,

օգտագործելով (6.3)-ը և (6.5)-ը, ներկայացված է դիֆրակցիայի հարթությանն ուղղահայաց առանցքով բացարձակ կլանող և արևի (5.48) ու ժգնության բաշխումը, որն ստացված է թվային հաշվարկով:

Վերցված է $\lambda = 0,71\text{Å}$ ակիքի երկարությամբ ճառագայթման Si(20) անդրադարձում, $\Delta\theta = 0$,



Նկ.6.2. Ուժգնություն ան բաշխումը բացարձակ կլանող լարի դինամիկական դիֆրակտային Ֆրաունհոֆերի հոլոգրամի վրա ա. լարի տրամագիծը $2a = 10$ մկմ. բ. լարի տրամագիծը $2a = 1$ մկմ (թվային հաշվարկ):

$a = 5$ մկմ, σ -բևեռացում, $\mu T = 7,3$: Նկ.6.2.բ-ում պատկերված է նույն դեպքին համապատասխանող ուժգնությունը, երբ $2a = 1$ մկմ: Նկարի ցայտունությունն ավելի վատ է, քանի որ $2a = 1$ մկմ լարի ցրման լայնությունն ավելի փոքր է, քան $2a = 10$ մկմ լարի դեպքում:

Վերջավոր առարկայի դինամիկական դիֆրակտային Ֆրաունհոֆերյան

հոլոգրամը: Եթե կետային առարկայի $a \ll |\Lambda| \operatorname{tg} \theta_0 / \pi$ պայմանը տեղի չունի, ապա (6.5)-ում

$\sqrt{T^2 \operatorname{tg}^2 \theta_0 - (x - x')^2} \approx T \operatorname{tg} \theta_0 [1 - x^2 / (2T^2 \operatorname{tg}^2 \theta_0) + xx' / (T^2 \operatorname{tg}^2 \theta_0) - x'^2 / (2T^2 \operatorname{tg}^2 \theta_0)]$: Ըստ x' -ի գծային անդամը կարելի է անտեսել, եթե $\pi a^2 / (2T \Lambda_r \operatorname{tg}^2 \theta_0) \ll \pi$: Այս մոտավորությունը համարժեք է օպտիկայում Ֆրաունհոֆերի տիրույթի մոտավորությանը: Օգտվելով այս մոտավորությունից, ինչպես և (6.9)-ում, կստանանք.

$$E_{\text{hobj}} \approx \frac{1}{4} \sqrt{\frac{2}{T \Lambda_r}} \exp\left(\frac{i\pi}{4}\right) \operatorname{ctg} \theta_0 \tilde{S}(x, y) \exp\left(\frac{i\pi T}{\Lambda_r}\right) \exp\left(\frac{ik \chi_{0r} T}{2 \cos \theta_0}\right) \exp\left(-\frac{\mu_d(0)T}{2 \cos \theta_0}\right) \times \exp\left(-\frac{i\pi x^2}{2T \Lambda_r \operatorname{tg}^2 \theta_0}\right) \exp\left(-\frac{\pi x^2 \eta}{2T \Lambda_r \operatorname{tg}^2 \theta_0}\right) H(T \operatorname{tg} \theta_0 - a - |x|), \quad (6.11)$$

որտեղ $\tilde{S}(x, y) = \int_{-a}^a S(x', y) \exp[i\pi x x' / (T \Lambda_r \operatorname{tg}^2 \theta_0)] \exp(ik \cos \theta_0 \Delta \theta x') dx'$, այսինքն,

ինչպես և օպտիկայում, $\tilde{S}(x, y)$ -ն $S(x, y)$ -ի ֆուրիե-պատկերն է: (6.4)-ը և (6.11)-ը տեղադրելով հոլոգրամի վրա (5.48) ուժգնության բաշխման արտահայտության մեջ, կստանանք

$$I_h(p, x, y) = A(p) \left(1 - U^*(p) \tilde{S}^*(x, y) \exp(i\Phi_+) - U(p) \tilde{S}(x, y) \exp(i\Phi_-) + \Gamma(p) \tilde{S}^*(x, y) \tilde{S}(x, y) \exp\left(-\frac{\pi x^2 \eta}{T \Lambda_x \text{tg}^2 \theta_0}\right) \right) \quad (6.12)$$

Յուրաքանչյուր գրանցվում է ելքի մակերևույթի $|x| < T \text{tg} \theta_0 - a$ տիրույթում: Այս բանաձևը օպտիկայում Ֆրաունհոֆերի հոլոգրամի վրա ուժգնության բաշխման բանաձևի նմանակն է [246]:

Կոհերենտությանը ներկայացվող պահանջները: Ստացված բանաձևերը գրված են կետային մեներանգ աղբյուրի համար: Իրական ընկնող ալիքները մեներանգ չեն, իսկ աղբյուրներն ունեն վերջավոր չափեր: Ինչպես և §5.2.2-ում, ֆուրիե-հոլոգրաֆիայի դեպքում, օգտվելով [146]-ում ներկայացված եղանակից, գնահատենք աղբյուրի տարածական և ժամանակային կոհերենտության նկատմամբ պահանջները, որոնց բավարարվելու դեպքում հոլոգրամի վրա ուժգնության բաշխումը էապես չի փոխվի ոչ մեներանգության կամ աղբյուրի վերջավոր չափեր ունենալու հետևանքով: Գնահատականները հանգում են հետևյալին. ժամանակային կոհերենտության համար անհրաժեշտ է

$$2T \text{tg} \theta_0 \sin \theta_0 \ll \lambda^2 / (\varrho \Delta \lambda_m) = l_c, \quad (6.13)$$

պայմանը, իսկ տարածական կոհերենտության համար՝

$$2T \sin \theta_0 l \ll \lambda L_s \quad (6.14)$$

պայմանը, որտեղ l_c -ն կոհերենտության երկայնական երկարությունն է, $\lambda_m - \Delta \lambda_m < \lambda < \lambda_m + \Delta \lambda_m$, l -ը դիֆրակցիայի հարթության մեջ աղբյուրի չափն է ընկնող փնջի տարածման ուղղահայաց ուղղությամբ, իսկ L_s -ը՝ «աղբյուր-բյուրեղ» միջին հեռավորությունը:

§6.1.2. Ռեկտանգուլյար ֆրաունհոֆերյան հոլոգրամից առարկայի պատկերի վերականգնումը լույսով

Վերականգնման նպատակով հոլոգրամը տեղադրվում է լույսի ճանապարհին: Ենթադրվում է, որ հոլոգրամը գրանցված է ֆոտոթիթեղի գծային գրանցման տիրույթում, և հոլոգրամի լայնության անցման գործակիցը գծային ֆունկցիա է հոլոգրամի վրա գրանցված ուժգնություններից [204]: Յուրաքանչյուր միջով անցած լույսը, դիֆրակտելով վակուումում, կարող է առաջացնել

առարկայի իրական և կեղծ պատկերներ: Օպտիկայում հոլոգրամից որոշակի հեռավորություներում (5.48)-ի երկրորդ անդամը համապատասխանում է առարկայի ուղիղ իրական պատկերին առանց որևէ ոսպնյակ օգտագործելու, մինչդեռ երրորդ անդամը համապատասխանում է առարկայի կեղծ պատկերին և վերականգնում է առարկայական ալիքի իր փուլով և լայնությամբ: Պատկերի այս մասը կարող է դիտվել աչքով կամ գրանցվել ոսպնյակի օգնությամբ: Ռենտգենյան ալիքի դեպքում, երբ հաշվի է առնվում միայն σ -բևեռացման թույլ կլանվող ճյուղը, իրական պատկերը ձևավորվում է (5.48)-ի երրորդ անդամով: Այս եզրակացությունը հետևում է (6.10)–(6.12) առնչություններից: Այս ենթապարագրաֆում x, y, z կոորդինատները նույնն են, ինչ բյուրեղի հետ կապված համապատասխան կոորդինատները, բայց z -ը հաշվվում է հոլոգրամի հարթությունից ($z=0$): Կհամարենք, որ հոլոգրամի վրա ընկնող ալիքի լայնությունն ունի $\exp\left[ik_0(x^2 + y^2)/2L_0\right]/L_0$ տեսքը (բևեռացումն էական չէ), որտեղ L_0 -ն «աղբյուր-հոլոգրամ» հեռավորությունն է: Ալիքը տարածվում է Oz առանցքի ուղղությամբ՝ ուղղահայաց հոլոգրամի մակերևույթին: Հոլոգրամով անցած ալիքի լայնությամբ արտահայտությունը հոլոգրամից $z=L$ հեռավորությունում որոշվում է Հյույգենս-Ֆրենելի (5.54), (5.55) սկզբունքից՝

$$E_{rec} = \frac{1}{L_0} \int_{-\infty}^{+\infty} P(x-x', y-y', L) \exp\left[ik_0 \frac{x'^2 + y'^2}{2L_0}\right] I_h(x', y') dx' dy', \quad (6.15)$$

որտեղ ինտեգրումը կատարվում է ըստ հոլոգրամի հարթության (ընկնող ալիքի հաս-տատուն լայնությամբ համարվում է հավասար միավորի):

Կետային առարկայի պատկերի վերականգնումը: Օգտվելով հոլոգրամի վրա ուժգնության բաշխման (6.10) բանաձևից և (6.10)-ի առաջին անդամը տեղադրելով (6.15)-ի մեջ՝ կստանանք վերականգնված հենային ալիքի լայնությամբ արտահայտությունը՝

$$E_{rec1} = \frac{A(p)}{L + L_0} \exp\left[ik_0 \frac{x^2 + y^2}{2(L + L_0)}\right], \quad (6.16)$$

որտեղ 1 ցուցիչով նշված է (6.10)-ի առաջին անդամից վերականգնված դաշտը: (6.10)-ի երրորդ անդամից վերականգնված դաշտի լայնությամբ համար նույն կերպ կստանանք.

$$E_{rec3} = - \frac{2aA(p)U(p)\bar{S}_3(y,L)\exp\left(ik_0\frac{x^2}{2L}\right)}{\sqrt{L_0}\sqrt{1-\frac{L}{L_f}+i\frac{\eta L}{F}}}\exp\left[-ik_0\frac{\left(x+Lk\cos\theta_0\frac{\Delta\theta}{k_0}\right)^2}{2L\left(1-\frac{L}{L_f}+i\frac{\eta L}{F}\right)}\right], \quad (6.17)$$

որտեղ

$$\bar{S}_3(y,L) = \frac{1}{2a}\exp\left(-\frac{i\pi}{4}\right)\sqrt{\frac{k_0}{2\pi LL_0}}\int_{-a}^{+a}\int_{-a}^a S(x',y')\exp\left[ik_0\left(\frac{(y-y')^2}{2L}+\frac{y'^2}{2L_0}\right)\right]dx'dy', \quad (6.18)$$

$$F = \frac{2Ttg^2\theta_0\cos\theta_0}{|\chi_{hr}|}\frac{\lambda}{\lambda_0}, \quad (6.19)$$

$$\frac{1}{L_0} + \frac{1}{L_f} = \frac{1}{F}: \quad (6.20)$$

Եթե $S(x,y)$ -ն ըստ y -ի դանդաղ փոփոխվող ֆունկցիա է, ապա ըստ y' -ի ինտեգրումը կարելի է կատարել ստացիոնար փոփոխության եղանակով և վերջնականապես ստանալ

$$\bar{S}_3(y,L) = \frac{1}{2a\sqrt{L+L_0}}\exp\left[ik_0\frac{y^2}{2(L+L_0)}\right]\int_{-a}^a S\left(x',\frac{yL_0}{L+L_0}\right)dx': \quad (6.21)$$

(6.17)-ը համապատասխանում է առարկայի ուղիղ իրական պատկերին: Իրական պատկերը երկրաչափորեն կիզակետվում է (6.20)-ով որոշվող հեռավորության ունում: Կիզակետված պատկերի x_f կոորդինատը կիզակետման հարթության վրա որոշվում է

$$x_f = -\frac{\lambda_0}{\lambda}L_f\cos\theta_0\Delta\theta \quad (6.22)$$

առնչությունը: Ըստ (6.17)-ի երկրաչափական կիզակետման հարթության վրա կիզակետ-տի չափը՝

$$\Delta x_f = \frac{L_f}{F}\sqrt{\frac{\eta F}{k_0}}: \quad (6.23)$$

Կիզակետող նվազագույն չափեր ունի

$$L_f' = \frac{L_f}{1+\eta^2\left(\frac{L_f}{F}\right)^2} \quad (6.24)$$

հեռավորության ունում, և L_f' -ը մոտավորապես հավասար է L_f -ի, երբ $(L_f/F)^2 \ll 1/\eta^2$: Քանի որ $\eta \sim 10^{-2}$, ապա $L_f \geq 10^2 F$ արժեքների դեպքում այդ երկու հեռավորությունները կարող են զգալիորեն տարբերվել:

Կիզակետի L_f' հեռավորության դեպքում՝

$$\Delta x_f' = \frac{L_f}{F \sqrt{1 + \eta^2 \left(\frac{L_f}{F}\right)^2}} \sqrt{\eta F} k_0 : \quad (6.25)$$

Եթե որևէ մեկ այլ կետային առարկա O_x առանցքի ուղղությամբ առաջինի նկատմամբ տեղաշարժված է Δ_x -ով, ապա նրա կիզակետի կոորդինատը կլինի

$$x_{f1} = -\frac{\lambda_0}{\lambda} L_f \cos \theta_0 \Delta \theta + \frac{L_f \Delta_x}{F} : \quad (6.26)$$

Այսպիսով, այդ երկու ուղիղ պատկերների միջև հեռավորությունը՝ $x_{f1} - x_f = L_f \Delta_x / F$, իսկ խոշորացումը՝

$$M = \frac{x_{f1} - x_f}{\Delta_x} = \frac{L_f}{F} : \quad (6.27)$$

Ինչպես երևում է (6.17)-ից, իրական պատկերի կենտրոնը տեղաշարժվում է O_z առանցքի նկատմամբ

$$\psi = -\frac{\lambda_0}{\lambda} \cos \theta_0 \Delta \theta \quad (6.28)$$

չափով: Եթե $\Delta \theta \neq 0$, ապա իրական պատկերը և վերականգնված հենային ալիքը բաժանվում են միմյանցից:

Նման ձևով, (6.9)-ի երկրորդ անդամից հանգում ենք հետևյալ լայնության:

$$E_{rec2} = -\frac{2aA(\rho)U^*(\rho)\bar{S}_2(y,L)\exp\left(ik_0\frac{x^2}{2L}\right)}{\sqrt{L_0}\sqrt{1-\frac{L}{L_{f2}}+i\eta\frac{L}{F}}}\exp\left[-ik_0\frac{\left(x-Lk\cos\theta_0\frac{\Delta\theta}{k_0}\right)^2}{2L\left(1-\frac{L}{L_{f2}}+i\eta\frac{L}{F}\right)}\right], \quad (6.29)$$

որտեղ

$$\frac{1}{L_0} + \frac{1}{L_{f2}} = -\frac{1}{F} \quad (6.30)$$

և

$$\bar{S}_2(y,L) = \frac{1}{2a\sqrt{L+L_0}} \exp\left[ik_0\frac{y^2}{2(L+L_0)}\right] \int_{-a}^a S^*\left(x',\frac{yL_0}{L+L_0}\right) dx' : \quad (6.31)$$

L_{f2} -ը վերականգնված կեղծ պատկերի հեռավորությունն է հոլոգրամից, և $L_{f2} < 0$: Կեղծ պատկերի կոորդինատը որոշվում է

$$x_{F2} = \frac{\lambda_0}{\lambda} L_{F2} \cos \theta_0 \Delta \theta \quad (6.32)$$

ամսչ ու թյ ու նից: (6.32)-ի համաձայն՝ վերականգնված կեղծ պատկերի կենտրոնը տեղաշարժվում է Oz առանցքի նկատմամբ $-\psi$ անկյան տակ: Այսպիսով՝ իրական և կեղծ պատկերների կենտրոնները միմյանց նկատմամբ տեղաշարժվում են $2|\psi|$ անկյունով: Սանշանակում է, որ $\Delta \theta \neq 0$ դեպքում առաջարկված սխեման ոչ առանցքային հոլոգրաֆիական սխեմա է: Քանի որ կիզակետի (6.23) չափը և (6.27) խոշորացումը համեմատական են L_F / F -ին, ապա առաջարկված սխեմայի լուծունակությունն անվերջ չափերի հոլոգրամի դեպքում կարելի է գնահատել որպես

$$\Delta_{res} \sim 2 \sqrt{\frac{\eta F}{k_0}}: \quad (6.33)$$

(6.9)-ի չորրորդ անդամի վերականգնումը հանգեցնում է $4a^2$ -ուն համեմատական լայնության, և այն բացարձակ արժեքով փոքր է առաջին երեք անդամներից (երկրորդ և երրորդ անդամների համապատասխան վերականգնված լայնություները համեմատական են $2a$ -ին): Վերականգնված դաշտի այս անդամն ունի գաղսյան տեսք, որի կիսալայնությունն L -ի աճմանը զուգընթաց մեծանում է, իսկ լայնությունը՝ նվազում: Օպտիկայում վերականգնված դաշտի այս անդամն այսպես կոչված ինքնակոռելյացիոն անդամն է, որը փոքրության պատճառով հետագայում չի դիտարկվում:

Եթե §6.1.1-ում դիտարկված օրինակում վերցնենք $\lambda_0 = 0,65$ մկմ, ապա (6.19)-ից կստացվի՝ $F = 19,8$ մմ: Քանի որ F -ը բավականաչափ փոքր է, կարելի է հասնել նկատելի խոշորացումների: (6.33) լուծունակության համար ստանում ենք $\Delta_{res} \sim 8$ մկմ արժեքը: Նկ.6.2.ա-ի և բ-ի հոլոգրամներին համապատասխանող վերականգնված դաշտերի (6.15) ուժգնությունների՝ թվային հաշվարկով ստացված բաշխումը կիզակետման $z = F$ հարթության մեջ պատկերված է նկ.6.3.ա-ում և բ-ում: Չափարկները կատարվել են վերականգնող հարթալիքի համար: Ինչպես երևում է այդ նկարներից, լարի պատկերը լիովին վերականգնվել է: Եթե 6.2 և 6.3 նկարները համեմատենք օպտիկայից հայտնի համապատասխան նկարների հետ [246], ապա կհամոզվենք արդյունքների լիակատար համապատասխանության մեջ:

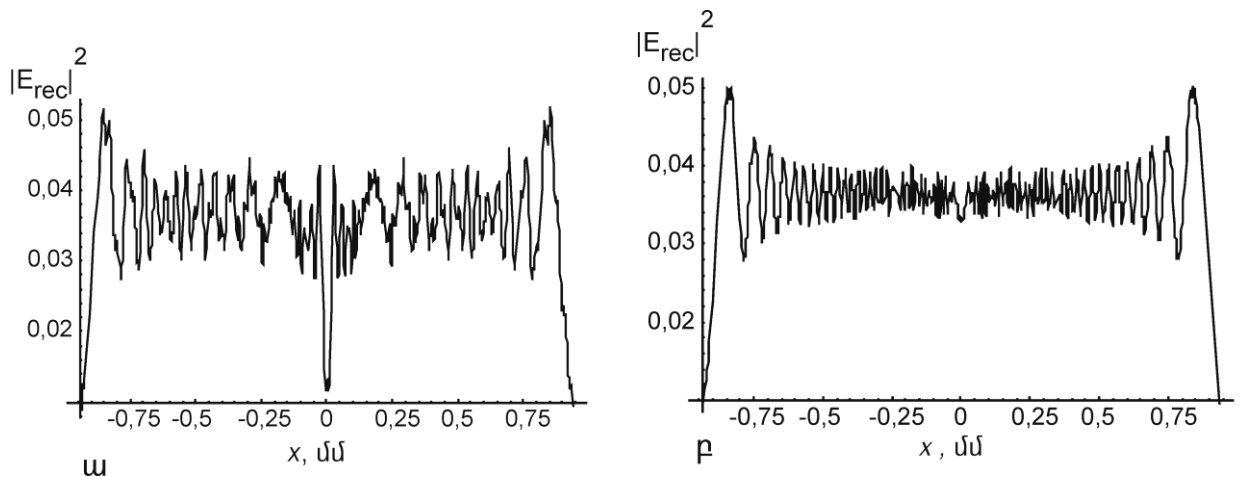
Պարկերի վերականգնումը Տրաուսհոֆերի ռեկտեյնյան հոլոգրամից: Այս դեպքում, օգտվելով (6.12)-ից, կստանանք.

$$E_{rec3} = - \frac{A(p)U(p)\bar{S}(x,y,L)\exp\left(ik_0\frac{x^2}{2L}\right)}{\sqrt{L_0}\sqrt{1-\frac{L}{L_f}+i\eta\frac{L}{F}}}, \quad (6.34)$$

որտեղ

$$\begin{aligned} \bar{S}(x,y,L) = & \frac{\exp\left[ik_0\frac{y^2}{2(L+L_0)}\right]}{\sqrt{L+L_0}} \int_{-a}^a S\left(x',\frac{yL_0}{L+L_0}\right) \times \\ & \times \exp(ik\cos\theta_0\Delta\theta x') \exp\left[-ik_0\frac{\left(x+L\cos\theta_0\Delta\theta\frac{k}{k_0}-x'\frac{L}{F}\right)^2}{2L\left(1-\frac{L}{L_f}+i\eta\frac{L}{F}\right)}\right] dx' : \end{aligned} \quad (6.35)$$

Ըստ x' -ի ինտեգրումը (6.35)-ում կարելի է կատարել $S(x',y')$ -ի արժեքը դուրս հանելով ինտեգրալի նշանի տակից $x' = (x + Lk\cos\theta_0\Delta\theta/k_0)F/L$ կետում, որից հետո E_{rec3} -ի



Նկ.6.3. Ուժգնությունն բաշխումը վերականգնված լույսով և արհի իրական պատկերի կիզակետման հարթության վրա. ա. և արհի տրամագիծը՝ $2a = 10$ մկմ, բ. և արհի տրամագիծը՝ $2a = 1$ մկմ (թվային հաշվարկ):

համար կստանանք.

$$E_{rec3} = - \sqrt{\frac{2\pi L}{k_0 L_0}} \frac{F}{L} A(p)U(p)\exp\left(-i\frac{\pi}{4}\right)\exp\left(ik_0\frac{x^2}{2L}\right)S_3(x,y,L), \quad (6.36)$$

որտեղ

$$\begin{aligned}
S_3(x, y, L) = & \frac{\exp\left[ik_0 \frac{y^2}{2(L+L_0)}\right]}{\sqrt{L+L_0}} \exp\left[ik \cos\theta_0 \Delta\theta \frac{F\left(x + L \cos\theta_0 \Delta\theta \frac{k}{k_0}\right)}{L}\right] \times \\
& \times \exp\left[ik_0 \frac{\left(1 - \frac{L}{L_f}\right) \left(F \cos\theta_0 \Delta\theta \frac{k}{k_0}\right)^2}{2L}\right] \exp\left[-\frac{(\Delta_{res} k \cos\theta_0 \Delta\theta)^2}{2}\right] \times \\
& \times S\left(\left(x + L \cos\theta_0 \Delta\theta \frac{k}{k_0}\right) \frac{F}{L}, \frac{yL_0}{L+L_0}\right):
\end{aligned} \quad (6.37)$$

Վերջին երկու բանաձևերը ճիշտ են, երբ $L \approx L_f$: Իրական պատկերի կենտրոնը տեղաշարժվում է $x = -Lk \cos\theta_0 \Delta\theta / k_0 = L\psi$ գծի երկայնքով:

Նույն կերպարելի է որոշել

$$E_{rec2} = -\sqrt{\frac{2\pi L}{k_0 L_0}} \frac{F}{L} A(p) U^*(p) \exp\left(-i\frac{\pi}{4}\right) \exp\left(ik_0 \frac{x^2}{2L}\right) S_2(x, y, L), \quad (6.38)$$

դաշտը, որտեղ

$$\begin{aligned}
S_2(x, y, L) = & \frac{\exp\left[ik_0 \frac{y^2}{2(L+L_0)}\right]}{\sqrt{L+L_0}} \times \\
& \times \exp\left[ik \cos\theta_0 \Delta\theta \frac{F\left(x - Lk \cos\theta_0 \Delta\theta / k_0\right)}{L}\right] \exp\left[ik_0 \frac{\left(1 - \frac{L}{L_{f2}}\right) \left(F \cos\theta_0 \Delta\theta \frac{k}{k_0}\right)^2}{2L}\right] \times \\
& \times \exp\left[-\frac{(\Delta_{res} k \cos\theta_0 \Delta\theta)^2}{2}\right] S^*\left(-F \frac{x - L \cos\theta_0 \Delta\theta \frac{k}{k_0}}{L}, \frac{yL_0}{L+L_0}\right):
\end{aligned} \quad (6.39)$$

Կեղծ պատկերը տեղաշարժվում է $x = L \cos\theta_0 \Delta\theta k / k_0 = -L\psi$ գծի երկայնքով: Այս սխեման ոչ առանցքային է, քանի որ $\Delta\theta \neq 0$ դեպքում իրական և կեղծ պատկերները բաժանվում են միմյանցից: (6.38) և (6.39) բանաձևերը ճիշտ են կեղծ պատկերի L_{f2} հեռավորությանը մոտ հեռավորությունների դեպքում: Այլ հեռավորություններում այդ դաշտը տարածվում է Յյուլ գենս-Ֆրենելի սկզբունքի համաձայն:

Վերականգնումը կարելի է կատարել նաև թվային եղանակով:

Այս հոլոգրաֆիական սխեման կարող է օգտագործվել ռենտգենյան մանրադիտակում: Փորձնականորեն այն կարելի է իրականացնել՝ օգտագործելով ռենտգենյան ճառագայթման սինքրոտրոնային աղբյուր կամ ազատ էկտրոնային ռենտգենյան լազեր:

§6.2. Առարկայի պատկերի վերականգնումը դինամիկական դիֆրակտային Ֆրաունհոֆերյան հոլոգրամից

§6.2. 1. Առարկայի պատկերի վերականգնումը թվային եղանակով

§6.1-ում առաջարկված դինամիկական դիֆրակտային Ֆրաունհոֆերի հոլոգրամից (նկ.6.1) վերականգնումն իրականացվում է լույսի միջոցով: Սակայն փուլային առարկաների պատկերի վերականգնումը հնարավոր է միայն թվային եղանակով [180,209]: Ստորև տեսականորեն ուսումնասիրվել է առարկայի պատկերի վերականգնումը Ֆրաունհոֆերի դինամիկական դիֆրակտային հոլոգրամից թվային եղանակով: Որպես օրինակ դիտարկվել է բերիլիումե գլանային լարի կոմպլեքս անցման գործակցի վերականգնումը Ֆրաունհոֆերի դինամիկական դիֆրակտային հոլոգրամից:

Ֆրաունհոֆերյան հոլոգրաֆիական սխեմայի՝ §6.1-ում առաջարկված վերլուծության հիմնարկը պարզ է, որ եթե (5.48) հոլոգրամի վրա ուժգնության բաշխումը բազմապատկվի $\exp[i\pi(p-x)^2/2D]$ -ով (p -ն պարամետր է, $D = \Lambda_x T t \theta_0^2$) և հոլոգրամի հարթության միջով անցնող x -ի, ապա կարելի է կատարել առարկայի պատկերի վերականգնումը թվային եղանակով: Կհամարենք, որ I_h -ի արժեքները հայտնի են փորձից: Ինտեգրումից հետո կարելի է գրել .

$$E_{rec} = \sum_{j=1}^4 E_{recj}, \quad (6.40)$$

որտեղ

$$E_{rec} = \int_{x_1}^{x_2} I_h(x, y) \exp\left[i\pi \frac{(p-x)^2}{2D}\right] dx, \quad (6.41)$$

$$E_{rec1} = \int_{x_1}^{x_2} |E_{href}|^2 \exp\left[i\pi \frac{(p-x)^2}{2D}\right] dx, \quad E_{rec2} = \int_{x_1}^{x_2} E_{href} E_{hobj}^* \exp\left[i\pi \frac{(p-x)^2}{2D}\right] dx, \quad (6.42)$$

$$E_{rec3} = \int_{x_1}^{x_2} E_{href}^* E_{hobj} \exp \left[i\pi \frac{(p-x)^2}{2D} \right] dx, \quad E_{rec4} = \int_{x_1}^{x_2} |E_{hobj}|^2 \exp \left[i\pi \frac{(p-x)^2}{2D} \right] dx \quad (6.43)$$

(6.41-6.43) առնչ ու թյ ու ն ներ ու մ $x_2 = (T \tan \theta - a_{obj})$ -ը և $x_1 = -x_2$ -ը դիֆրակցիայի հարթու-թյ ան մեջ հոլոգրամի սահմանների կոորդինատներն են, a_{obj} -ը դիֆրակցիայի հարթու-թյ ան մեջ առարկայի չափի կեսն է Ox առանցքի ուղղությամբ: Մեր նպատակն է՝ հոլո-գրամի օգնությամբ վերականգնել առարկայի լայնության անցման կոմպլեքս $t(x,y)$ գործակիցը: Նշենք, որ E_{rec} -ը, E_{rec1} -ը հայտնի են, իսկ $E_{rec2,3,4}$ -ը՝ անհայտ: $t(x,y)$ -ի համար ունենք (6.40) ինտեգրալային հավասարումը:

Վերլուծական մոտավորություն: Այս մաթեմատիկական ընթացակարգը համարժեք է լույսով իրական պատկերի վերականգնմանը կիզակետային հարթության մեջ, որտեղ $E_{rec2,4}$ -ը կարելի է անտեսել: Այս մոտավորությամբ, (6.11), (6.16) և (6.40) առնչ ու թյ ու ն ներ-ի համաձայն՝

$$t \left(p + \frac{k \cos \theta \Delta \theta D}{\pi}, y \right) \approx \frac{E_{rec}(p, y)}{E_{rec \infty}} \quad (6.44)$$

Չամարվում է, որ $\Delta \theta$ -ն այնպիսին է, որ նրա ազդեցությունը լայնության վրակարելի է անտեսել: Նշենք նաև, որ

$$E_{rec \infty} = \int_{-\infty}^{+\infty} |E_{href}|^2 \exp \left[i\pi \frac{(p-x)^2}{2D} \right] dx = \left(\frac{D}{8} \right)^{1/2} \exp \left(-\frac{\mu_a T}{2 \cos \theta} + i\frac{\pi}{4} \right), \quad (6.45)$$

∞ ցուցիչը նշում է, որ $x_2 = -x_1 = \infty$, p պարամետրը, (6.44)-ի համաձայն՝ փոխվում է $-a_{obj} - k \cos \theta \Delta \theta D / \pi \leq p \leq a_{obj} - k \cos \theta \Delta \theta D / \pi$ տիրույթում: Այսպիսով՝ (6.44)-ից հետևում է, որ

$$t(x, y) \approx \frac{E_{rec} \left(x - \frac{k \cos \theta \Delta \theta D}{\pi}, y \right)}{E_{rec \infty}}, \quad (6.46)$$

իսկ x -ը փոխվում է $-a_{obj} \leq x \leq a_{obj}$ տիրույթում: Ստորև կդիտարկվի կոնկրետ վերլուծական վերականգնման դեպք:

Պատկերի վերականգնումն իտերացիաների թվային եղանակով: Ավելի մանրամասն և ճշգրիտ վերականգնման համար անհրաժեշտ է օգտվել հաջորդական մոտավորություններից՝ իտերացիաներից:

E_{hobj} -ի արտահայտումը տրվում է (6.5)-ով: Չրո կարգի մոտավորումը (6.40)-ում անտեսելով $E_{rec2,A}$ -ը և (6.5) արտահայտումն մեջ ինտեգրալի նշանի տակ $S(x',y) = 1 - t(x',y)$ ֆունկցիան վերածելով թեյլորի շարքի $x_0(p) = p + k \cos \theta \Delta \theta D / \pi$ կետի շուրջը: Վերցնելով վերլուծության միայն առաջին անդամը՝ $S(x',y) = S^{(0)}(x_0(p), y)$ -ը, (6.43)-ում E_{rec3} ինտեգրալում $S^{(0)}(x_0(p), y)$ -ը դուրս հանելով ինտեգրալի նշանի տակից և օգտվելով (6.40)-ից, կստանանք՝

$$t^{(0)}(x, y) = 1 - \frac{E_{rec} \left(x - \frac{k \cos \theta \Delta \theta D}{\pi}, y \right) - E_{rec1}}{E_{rec3abs} \left(x - \frac{k \cos \theta \Delta \theta D}{\pi}, y \right)}, \quad (6.47)$$

որտեղ $E_{rec3abs}$ -ը E_{rec3} -ն է հետագոտվող առարկայի չափերով բացարձակ կլանող առարկայի համար՝ $t(x, y) = 0$: (6.47)-ի աջ մասի անդամներում բոլոր ինտեգրումները կատարվում են x_1, x_2 վերջավոր սահմաններում:

Առաջին կարգի մոտավորումը (6.5) արտահայտումն մեջ $S(x',y)$ -ը վերածելով թեյլորի շարքի $x_0(p)$ -ի շուրջը, թողնելով նաև գծային անդամները, այսինքն՝ $S(x',y) = S^{(0)}(x_0(p)) + S^{(1)}(x_0(p))(x' - x_0(p))$, որտեղ $S^{(1)}(x_0(p))$ -ը $S(x',y)$ -ի՝ ըստ x' -ի ածանցյալի մոտավոր արժեքն է $x' = x_0(p)$ կետում: Օգտվելով (6.40)-ից և (6.43)-ում (E_{rec3} ինտեգրալում) $S^{(0)}(x_0(p))$ -ն դուրս հանելով ինտեգրալի նշանի տակից, կստանանք՝

$$t^{(1)}(x, y) = t^{(0)}(x, y) - \frac{t^{(0)}(x, y) E_{rec}^{(1)} \left(x - \frac{k \cos \theta \Delta \theta D}{\pi}, y \right)}{E_{rec3abs} \left(x - \frac{k \cos \theta \Delta \theta D}{\pi}, y \right)}, \quad (6.48)$$

որտեղ $E_{rec3}^{(1)}(x - k \cos \theta \Delta \theta D / \pi, y)$ -ը ստացվում է $E_{rec3}(x - k \cos \theta \Delta \theta D / \pi, y)$ -ի արտահայտումն մեջ $S(x',y)$ -ը փոխարինելով $S(x',y) = x' - x_0(p)$ -ով:

Երկրորդ կարգի մոտավորումը (6.5) արտահայտումն մեջ $S(x',y)$ -ը վերածում ենք թեյլորի շարքի $x_0(p)$ կետի շուրջը՝ պահելով նաև քառակուսային անդամները՝ $S(x',y) = S^{(2)}(x_0(p)) + S^{(1)}(x_0(p))(x' - x_0(p)) + S^{(2)}(x_0(p))(x' - x_0(p))^2 / 2$: Կրկին օգտ-

վելով (6.40)-ից և (6.43)-ում $S^{(2)}(x_0(p))$ -ն դուրս հանելով ինտեգրալի նշանի տակից՝ կստանանք.

$$t^{(2)}(x, y) = t^{(0)}(x, y) - t^{(1)'}(x, y) \frac{E_{rec3}^{(1)} \left(x - k \cos \theta \Delta \theta \frac{D}{\pi}, y \right)}{E_{rec3abs} \left(x - k \cos \theta \Delta \theta \frac{D}{\pi}, y \right)} -$$

$$- t^{(1)''}(x, y) \frac{E_{rec3}^{(2)} \left(x - k \cos \theta \Delta \theta \frac{D}{\pi}, y \right)}{2E_{rec3abs} \left(x - k \cos \theta \Delta \theta \frac{D}{\pi}, y \right)}, \quad (6.49)$$

որտեղ $E_{rec3}^{(2)} \left(x - k \cos \theta \Delta \theta \frac{D}{\pi}, y \right)$ -ը ստացվում է $E_{rec3} \left(x - k \cos \theta \Delta \theta \frac{D}{\pi}, y \right)$ -ի

արտահայտությունից նրանում վերցնելով $S(x', y) = (x' - x_0(p))^2$:
 Չափորդական մոտավորությունների այս գործընթացը կարելի է շարունակել:

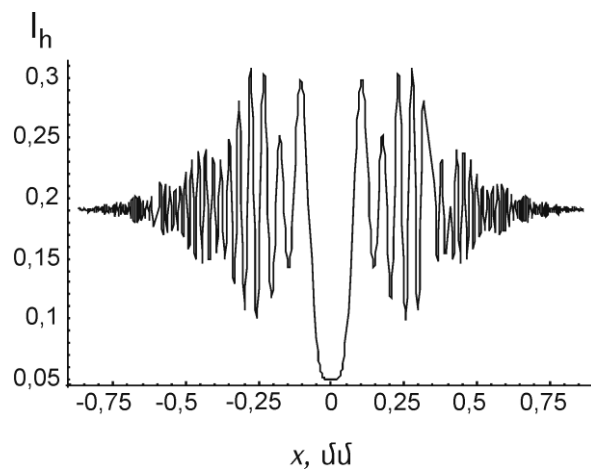
§6.2.2. Օբյեկտի քննարկում

Դիտարկենք $\lambda = 0,71 \text{ \AA}$ ալիքի երկարությամբ σ -բևեռացմամբ ճառագայթման Si(220) անդրադարձում, $\Delta\theta = 0$, $T = 5 \text{ մմ}$, $\mu T = 7,3$: Որպես հետազոտվող առարկա վերցնենք շրջանային գլանաձև բերիլիումեյլար, որի առանցքն ուղղահայաց է դիֆրակցիայի հարթությանը, իսկ շառավիղը՝ $R_{obj} = a_{obj} / \cos \theta = 30 \text{ մկմ}$: Բեկման ցուցիչը՝ $n = 1 - \delta + i\beta$, որտեղ $\delta > 0$ -ով որոշվում է բեկումը, իսկ $\beta > 0$ -ով՝ կլանումը: Բերիլիումի համար $\delta = 1,118 \cdot 10^{-6}$, $\beta = 2,69 \cdot 10^{-10}$ [220]: Լայնության անցման կոմպլեքս գործակիցը՝

$$t(x) = \exp[-2ik(\delta - i\beta)\sqrt{R_{ob}^2 - x^2 \cos^2 \theta}]: \quad (6.50)$$

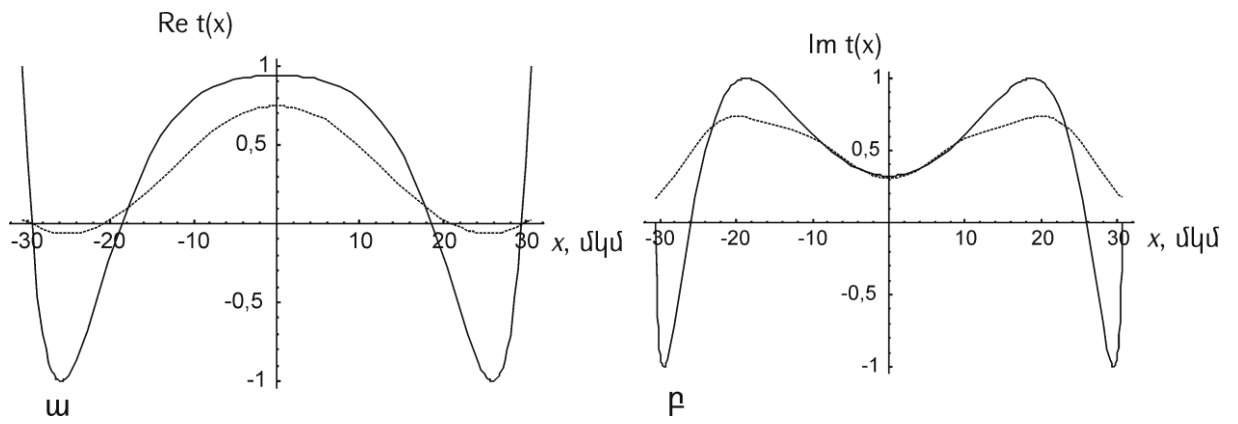
Վերականգնենք (6.50)-ը՝ օգտվելով վերը նկարագրված թվային եղանակից: Օգտագործելով (6.50)-ը՝ կարելի է հաշվել ուժգնության բաշխումը հետազոտվող առարկայի ֆրաունհոֆերյան հոլոգրամի վրա (նկ.6.4): Չափարկված ուժգնության արժեքները կհամարենք փորձում չափված հայտնի արժեքներ: Օգտվելով (6.46)-ից և այդ հաշվարկված արժեքներից, կարող ենք հաշվել վերականգնված $t(x)$ -ի մոտավոր արժեքները: Նկ.6.5-ում հաշվարկների արդյունքները համեմատված են (6.50) ճշգրիտ արժեքների իրական և կեղծ մասերի հետ: (6.33)-ի

համաձայն՝ լուծու-նակու թյան արժեքը՝ $\Delta_{res} = 8$ մկմ: Սա նշանակում է, որ գտնված մոտավոր արժեք-ները սխեմայի լուծու-նակու թյան սահմաններում համընկնում են իրական արժեք-ների հետ: Եզրերում լուծու-նակու թյունը բավարար չէ վերականգնման համար: Օգ-տագործելով վերը նկարագրված հաջորդական մոտավորու թյունների եղանակը՝ կարելի է բարելավել վերականգնված արժեքները նաև առարկայի եզրերում: 6.6, 6.7 և 6.8 նկարներում (6.47)–(6.49) բանաձևերի հիման վրա հաշվարկված գրո, առաջին և երկրորդ կարգի հաջորդական մոտավորու թյուններով ստացված $t(x)$ -ի իրական և կեղծ մասերը համեմատվել են համապատասխան ճշգրիտ արժեքների հետ:

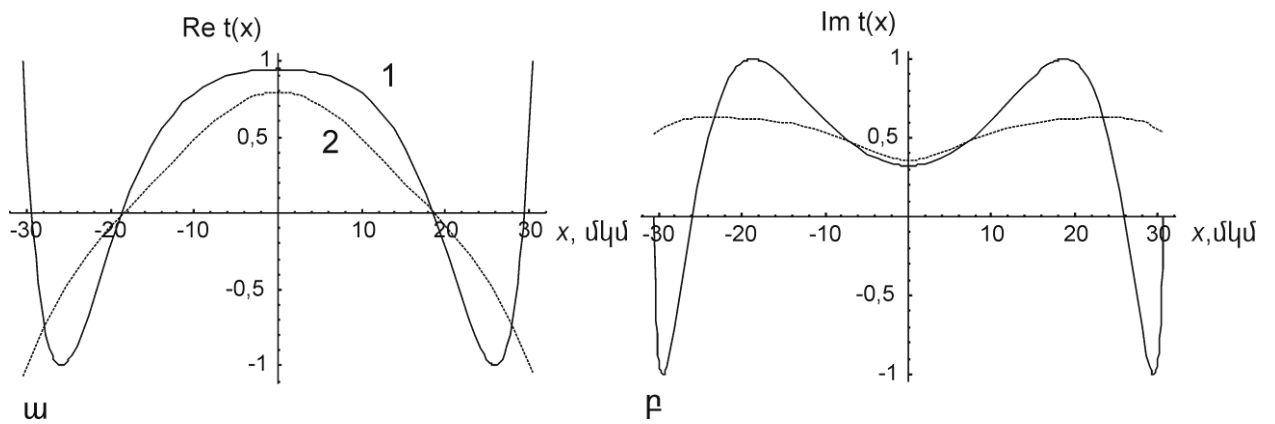


Նկ.6.4. Ուժգնու թյան բաշխումը բերիլիումե լարի ֆրաունհոֆերյան հոլոգրամի վրա

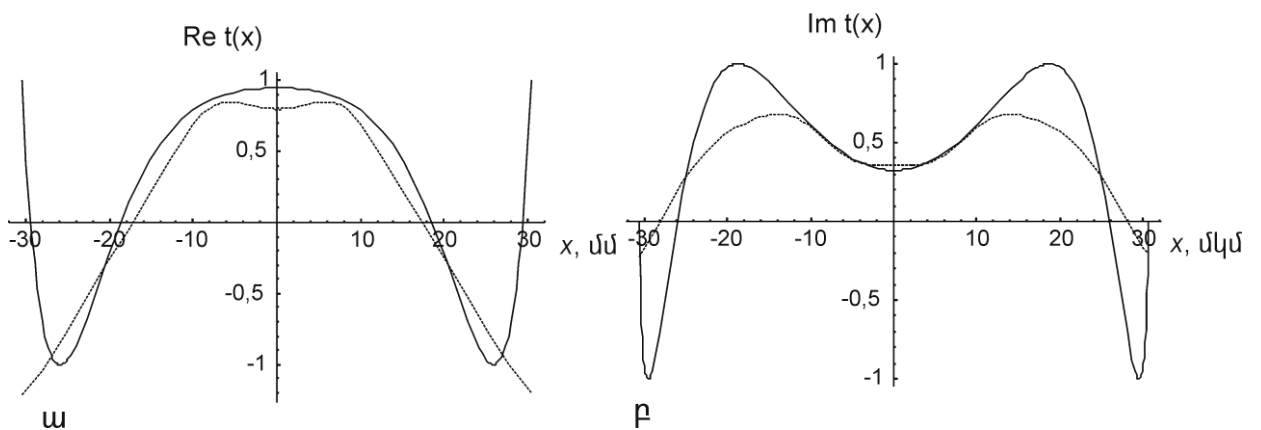
Երկրորդ կարգի հաջորդական մոտավորու թյամբ ստացված արժեքները ցուցաբերում են ոչ ֆիզիկական բնույթի տատանումներ: Սա մասնակիորեն կարելի է վերացնել, վերցնելով $t^{(2)}(x)$ -ի և $t^{(1)}(x)$ -ի միջին արժեքը՝ $\bar{t}^{(2)}(x) = (t^{(2)}(x) + t^{(1)}(x)) / 2$ նկ.6.8-ում պատկերված են $\bar{t}^{(2)}(x)$ -ին համապատասխանող արժեքները: Ինչպես երևում է նկ.6.6–6.8-ից, առարկայի կոմպլեքս լայնության անցման արժեքները վերականգնվում են նաև առարկայի եզրերում: Երկրորդ կարգի մոտավորու թյան ոչ ֆիզիկական տատանումները կարելի է վերացնել միջինացման միջոցով: Այս եղանակը կարելի է օգտագործել ինչպես լայնության, այնպես էլ փուլային առարկաների լայնության անցման գործակցի որոշման համար: Եղանակը կարելի է օգտագործել ռենտգենյան մանրադիտակում:



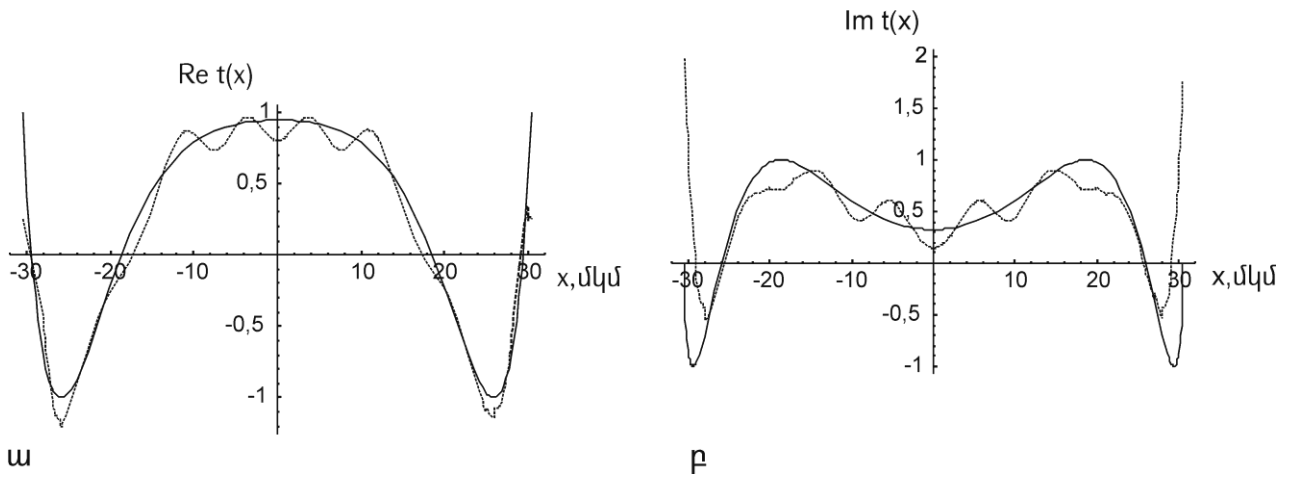
Նկ.6.5. Բերիլի հոլմե լարի լայնուլթային անցման գործակցի համեմատումը ճշգրիտ արժեքների հետ. ա. իրական մաս. բ. կեղծ մաս (հոծ գիծ՝ ճշգրիտ արժեք, կետագիծ՝ վերլուծական մոտավորություն)



Նկ.6.6. Բերիլի հոլմե լարի զրո կարգի մոտավորությամբ ստացված լայնուլթային անցման գործակցի համեմատումը ճշգրիտ արժեքների հետ. ա. իրական մաս. բ. կեղծ մաս (հոծ գիծ՝ ճշգրիտ արժեք, կետագիծ՝ զրո կարգի մոտավորություն)



Նկ.6.7. Բերիլի հոլմե լարի առաջին կարգի մոտավորությամբ ստացված լայնուլթային անցման գործակցի համեմատումը ճշգրիտ արժեքների հետ. ա. իրական մաս. բ. կեղծ մաս (հոծ գիծ՝ ճշգրիտ արժեք, կետագիծ՝ առաջին կարգի մոտավորություն)



Նկ.6.8. Բերիլիումե լարի երկրորդ կարգի մոտավորությամբ ստացված լայնության ին անցման գործակցի համեմատումը ճշգրիտ արժեքների հետ. ա. իրական մաս. բ. կեղծ մաս (հոծ գիծ՝ ճշգրիտ արժեք, կետագիծ՝ երկրորդ կարգի մոտավորություն)

§6.3. Առարկայի ֆրաունհոֆերյան հոլոգրամից վերականգնված պատկերի ճշգրտումը թվային եղանակով

§6.3. 1. Թվային եղանակով վերականգնված առարկայի պատկերի ֆոնային ճշգրտումը

Ստորև հաշվի կառնենք թվային եղանակով առարկայի լայնության ին անցման կոմպլեքս գործակցի որոշման ժամանակ անտեսված ֆոնային ուղղումները: Բացի այդ, ֆուրիե-եղանակով կարելի է վերացնել ոչ ֆիզիկական բնույթի տատանումները, որոնք առաջանում են երկրորդ կարգի մոտավորության ժամանակ: Կոնկրետ օրինակի վրա ցույց կտրվի վերականգնված պատկերի բարելավումն այդ ուղղումներից հետո:

Հաշվի առնելով (6.40)-ը և (6.48)-ը, ինչպես նաև ֆոնային ուղղումները, ճշգրտված լայնության ին անցման կոմպլեքս գործակցը կարելի է ներկայացնել

$$t_{cr}^{(1)}(x, y) = t^{(1)}(x, y) + \frac{E_{rec2}^{(0)}(\varphi, y) + E_{rec4}^{(0)}(\varphi, y)}{E_{rec3abs}(\varphi, y)} \quad (6.51)$$

տեսքով, որտեղ անհայտ $S(x, y) = 1 - t(x, y)$ ֆունկցիայի փոխարեն $E_{rec2}^{(0)}(\varphi, y)$ և $E_{rec4}^{(0)}(\varphi, y)$ ֆոնային անդամներում օգտագործվել են $S^{(0)}(x, y) = 1 - t^{(0)}(x, y)$ գրոյական մոտավորության արժեքները, $t^{(1)}(x, y)$ -ն առաջին կարգի մոտավորությունն է՝ առանց ֆոնային ճշգրտման: Երկրորդ կարգի մոտավորության համար, հաշվի առնելով ֆոնային ուղղումները, կստանանք՝

$$t_{cr}^{(2)}(x, y) = t^{(2)}(x, y) + \frac{E_{rec2}^{(1)}(\varphi, y) + E_{rec4}^{(1)}(\varphi, y)}{E_{rec3abs}(\varphi, y)}, \quad (6.52)$$

որտեղ φ նային $E_{rec2}^{(1)}(\varphi, y)$ և $E_{rec4}^{(1)}(\varphi, y)$ անդամներում անհայտ $S(x, y)$ -ի փոխարեն վերցվել են առաջին մոտավորությամբ ստացված $S^{(1)}(x, y)$ -ի արժեքները, իսկ $t^{(2)}(x, y)$ -ը երկրորդ կարգի մոտավորությունն է՝ առանց φ նային ուղղումների:

§6.3.2. Վերականգնված լայնության անցման գործակցի φ ներհիվերլուծություն

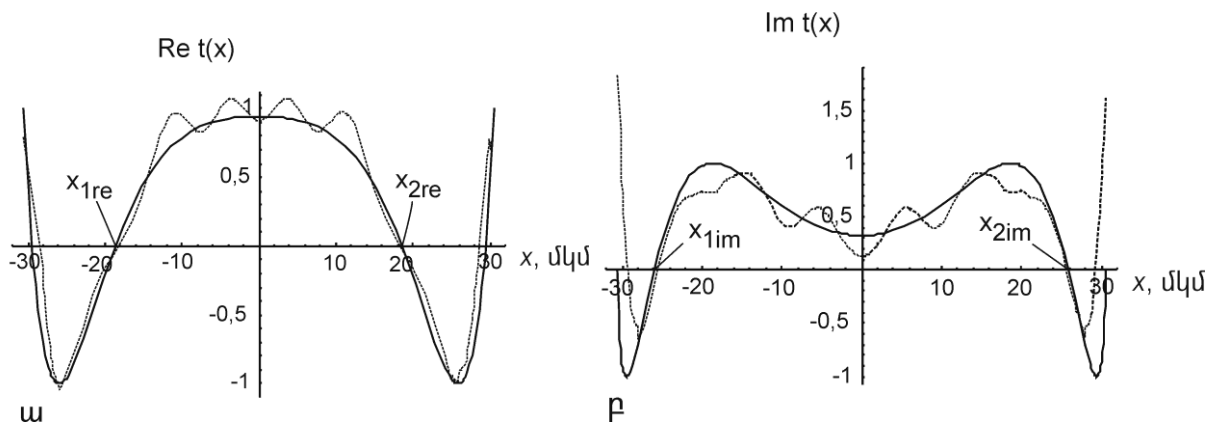
Չափորդական մոտավորությունները հանգեցնում են վերականգնված լայնության անցման գործակցի արժեքների ոչ φ զիջական բնույթի տատանումների, որոնք ազդում են լայնության անցման գործակցի բարձր կարգի φ ներհիվերլուծակիցների վրա: Եթե «զտնք» ձևափոխված բարձր կարգի φ ներհիվերլուծակիցները և կատարենք հակադարձ φ ներհիվերլուծափոխություն, կստանանք սահուն փոփոխվող լայնության անցման գործակց:

Այսպիսով՝ նախաշվեք φ ներհիվերլուծակիցները.

$$F[\text{Re } t_{cr}^{(2)}(x, y)] = \int_{x_{1re}}^{x_{2re}} \exp(iqx) \text{Re } t_{cr}^{(2)}(x, y) dx, \quad (6.53)$$

$$F[\text{Im } t_{cr}^{(2)}(x, y)] = \int_{x_{1in}}^{x_{2in}} \exp(iqx) \text{Im } t_{cr}^{(2)}(x, y) dx, \quad (6.54)$$

որտեղ x_{1re} -ը (x_{1in} -ը) և x_{2re} -ը (x_{2in} -ը) այն կոորդինատներն են, որոնց միջև ընկած են անցման գործակցի իրական (կեղծ) մասի ոչ φ զիջական բնույթի տատանումները: «Չտնվով» $F[\text{Re } t_{cr}^{(2)}(x, y)]$ և $F[\text{Im } t_{cr}^{(2)}(x, y)]$ φ նկցիաները համապատասխան տեղե-րում, ապա կատարելով հակադարձ φ ներհիվերլուծափոխություն, կստանանք սահուն փո-



Նկ.6.9. Բերիլիումե լարի՝ երկրորդ կարգի մոտավորությամբ ստացված լայնության ին անցման գործակցի համեմատումը ճշգրիտ արժեքների հետ ֆոնային ճշգրտման հաշվառմամբ. ա. իրական մաս. բ. կեղծ մաս (հոծ գիծ՝ ճշգրիտ արժեք, կետագիծ՝ երկրորդ կարգի մոտավորություն)

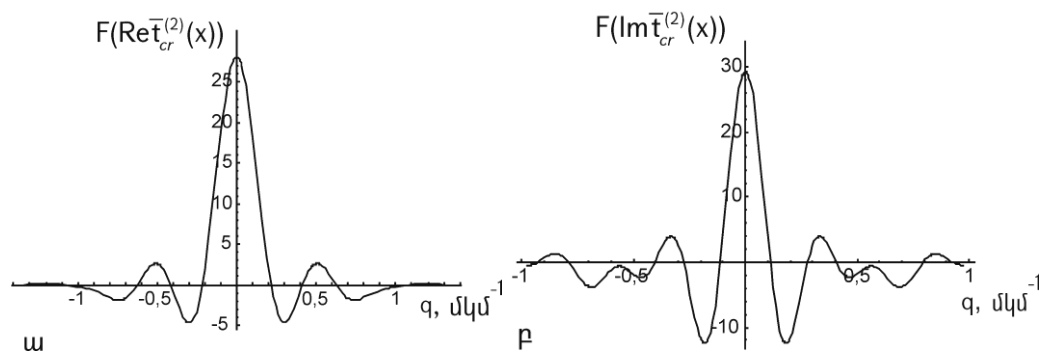
փոխվող լայնության ին անցման գործակից:

§6.3.3. Օրինակի քննարկում

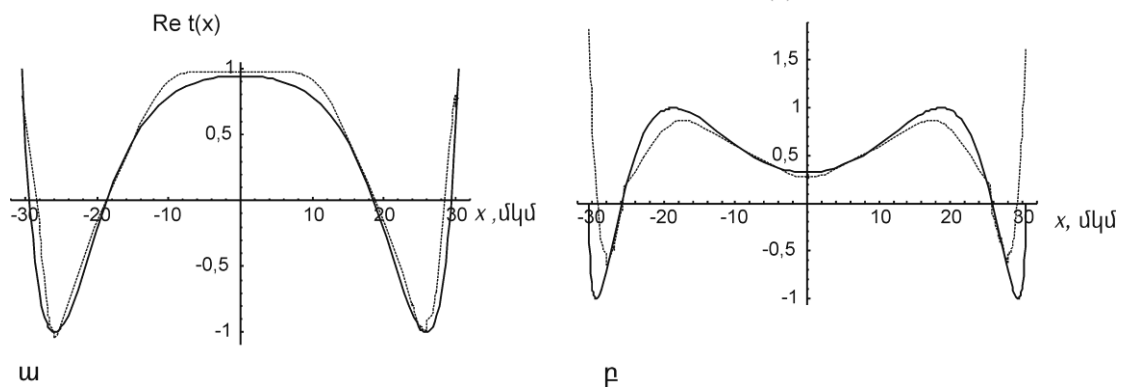
Դիտարկենք $\lambda = 0,71\text{Å}$ ալիքի երկարությամբ σ -բևեռացմամբ ճառագայթման Si(20) անդրադարձումը, $\Delta\theta = 0$, $T = 5\text{մմ}$, $\mu T = 7,3$ և որպես հետազոտվող առարկա վերցնենք $R_{obj} = a_{obj} / \cos\theta = 30\text{մկմ}$ շառավղով բերիլիումե լար, որի առանցքն ուղղահայաց է դիֆրակցիայի հարթությանը: Օգտագործելով (6.51)–(6.52) բանաձևերը՝ կարելի է հաշվել վերականգնված լայնության ին անցման գործակիցը ֆոնի հաշվառմամբ: Նկ.6.9-ում պատկերված են բերիլիումե լարի՝ երկրորդ կարգի մոտավորությամբ ստացված և ֆոնային ուղղմամբ ճշգրտված վերականգնված լայնության ին անցման գործակիցների իրական և կեղծ մասերը և դրանց ճշգրիտ արժեքները: Տատանումների մասնակի վերացման նպատակով ներկայացված են $\bar{t}_{cr}^{(2)}(x) = (t_{cr}^{(2)}(x) + t_{cr}^{(1)}(x)) / 2$ -ի միջինացված արժեքները: Համեմատենք նկ.6.9-ին նկ.6.8-ի չճշգրտված արժեքների հետ: Ճշգրտումից հետո $-30\text{մկմ} \leq x \leq -20\text{մկմ}$ և $20\text{մկմ} \leq x \leq 30\text{մկմ}$ տիրույթներում ընկած միևնույնները մեծ ճշտությամբ համընկնում են ճշգրիտ արժեքների հետ: Բացի եզրային ($20\text{մկմ} \leq x \leq 30\text{մկմ}$) արժեքներից, ճշգրտված արժեքները համարյա հավասար են 1-ի (ճշգրիտ արժեք), մինչդեռ չճշգրտված արժեքները փոքր են 0,5-ից: Ֆոնային ուղղումները հանգեցնում են համարյա ճշգրիտ արժեքների: Համեմատենք նկ.6.9-ին և նկ.6.8-ին: Ճշգրտման հետևանքով

-30 մկմ $\leq x \leq -20$ մկմ և 20 մկմ $\leq x \leq 30$ մկմ տիրույթներում ընկած միևնույն մասերն աճել են և ավելի մոտեցել ճշգրիտ արժեքներին: Եզրերում՝ $x = -30$ մկմ և $x = 30$ մկմ, ճշգրտված արժեքները նույն-պես աճել են և ավելի մոտ են ճշգրիտ արժեքներին: Ճշգրտումը բարելավում է վերականգնված կեղծ մասի արժեքները:

Ոչ ֆիզիկական բնույթի տատանումները կարելի է վերացնել՝ կիրառելով ֆուրիե-վերլուծության վերը նշված եղանակը: Նկ.6.9.ա-ում և բ-ում $x_{1re} = -18,7$ մկմ, $x_{2re} = 18,7$ մկմ և $x_{1in} = -25,7$ մկմ, $x_{2in} = 25,7$ մկմ: Նկ.6.10-ում պատկերված են $F[\text{Re} \bar{t}_{cr}^{(2)}(x, y)]$ և $F[\text{Im} \bar{t}_{cr}^{(2)}(x, y)]$ ֆուլկցիաների իրական մասերը (կեղծ մասերը փոքր են և կարող են անտեսվել): Նշված ֆուլկցիաները միայն $-0,5$ մկմ⁻¹ $\leq q \leq 0,5$ մկմ⁻¹ միջակայքում վերցնելով, և կատարելով հակադարձ ֆուրիե-ձևափոխություն՝ կգտնենք լայնության անցման գործակցի սահուն փոփոխվող իրական մասը $-18,7$ մկմ $\leq x \leq 18,7$ մկմ միջակայքում և սահուն փոփոխվող կեղծ մասը $-25,7$ մկմ $\leq x \leq 25,7$ մկմ միջակայքում (այս միջակայքերից դուրս վերցնում ենք $\bar{t}_{cr}^{(2)}(x)$ -ի արժեքները):



Նկ.6.10. $\bar{t}_{cr}^{(2)}(x)$ -ի ա. իրական մասի և բ. կեղծ մասի ֆուրիե-պատկերները



Նկ.6.11. Սահուն փոփոխվող $\bar{t}_{cr}^{(2)}(x)$ -ի ա. իրական և բ. կեղծ մասերի համեմատումը $t(x)$ -ի ճշգրիտ արժեքների հետ (հոծ գիծ՝ ճշգրիտ արժեք,

կետագիծ՝ վերականգնված արժեք)

Արդյունքները պատկերված են .6.11.ա-ում և բ-ում:

**ԳԼՈՒԽ 7. ԻՆՏԵՐՖԵՐԱԶԱՓԱԿԱՆ ԿՈՐԵՐԵՆՏ ԴԻՆԱՄԻԿԱԿԱՆ
ԴԻՖՐԱԿՏԱՅԻՆ ՀՈԼՈԳՐԱՖԻԱ**

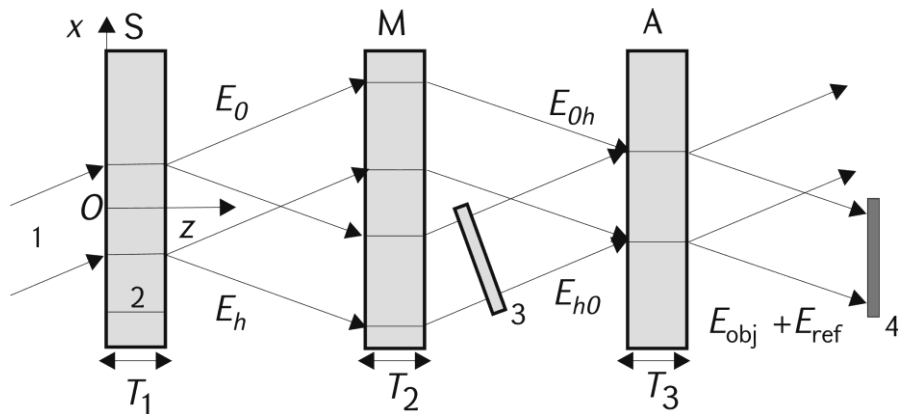
§7.1. Ռենտգենյան ինտերֆերաչափական ֆրենելյան հոլոգրաֆիա

§7.1.1. Ռենտգենյան ֆրենելյան ինտերֆերաչափական հոլոգրամի գրանցումը

Ռենտգենյան ինտերֆերաչափական հոլոգրաֆիան առաջարկվել և տեսակա-նորեն ուսումնասիրվել է [205-207] աշխատանքներում: Եղանակի էությունը ռենտգենյան եռաթիթեղ կամ քառաթիթեղ ինտերֆերաչափի օգտագործումն է առարկայի հոլո-գրամը գրանցելու համար: Առարկան տեղադրվում է ինտերֆերաչափի բազուկներից մեկում, մինչդեռ մյուս բազուկով անցած ալիքը խաղում է հենային ալիքի դեր: Նշենք, որ նշված աշխատանքներում դիտարկվում է ոչ կոհերենտ հոլոգրամի գրանցման դեպքը: Փուլային ցայտունության Մոմոզի եղանակը եռաթիթեղ ինտերֆերաչափով առաջարկվել է [180]-ում, որտեղ նույնպես հետազոտվող առարկան տեղադրվում է ինտերֆերաչափի բազուկներից մեկում:

Ստորև առաջարկվել և տեսականորեն հետազոտվել է ռենտգենյան կոհերենտ ինտերֆերաչափական հոլոգրաֆիայի եղանակը, որը հնարավոր է իրագործել շնորհիվ ներկայում գործող երրորդ սերնդի ռենտգենյան սինթրոտրոնային աղբյուրների և ռենտգենյան ազատելեկտրոնային լազերների առկայությունը:

Ռենտգենյան կոհերենտ ինտերֆերաչափական հոլոգրամի գրանցման հնարավոր սխեմաները պատկերված են նկ.7.1-7.4-ում: Նկ.7.1-ը ինտերֆերաչափական հոլո-գրամի գրանցման ընդհանուր սխեման է: Դիտարկվում է երկալիքային Լատեի

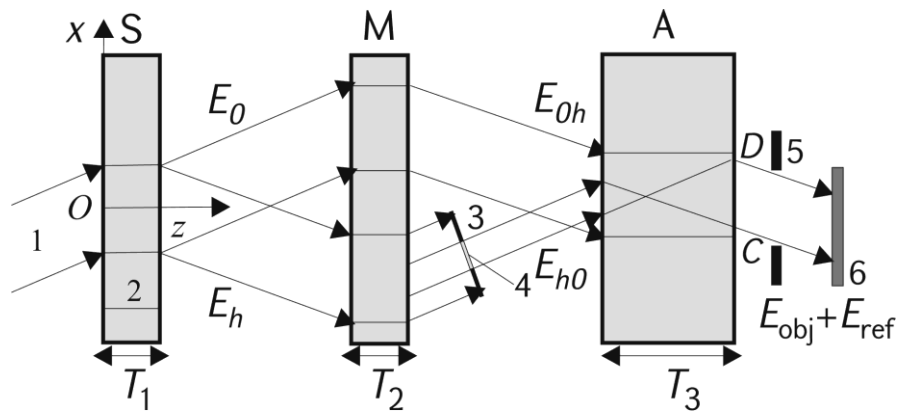


Նկ.7.1. Ռենտգենյան կոհերենտ ինտերֆերաչափական հոլոգրամի

գրանցման ընդհանուր սխեման առարկայի ազդեցության հարթալիքային տիրույթում: S ` պառակտիչ, M ` հայելային, A ` վերլուծիչ թիթեղներ, 1` ռենտգենյան ճառագայթներ, 2` անդրադարձնող հարթություններ, 3` հետազոտվող առարկա, 4` հոլոգրամ:

համաչափ երկրաչափությամբ դիսամիկական դիֆրակցիա: Եռաթիթեղը առուելան ռենտգենյան ինտերֆերաչափի վրա Բրեգի ճշգրիտանկյան տակ ընկնում է մեներանգ, լայն, հարթզուգահեռ ռենտգենյան փունջ, այնպես որ իրականանում են հարթալիքային մոտավորության պայմանները: Ինտերֆերաչափի բազուկներից մեկում, հայելային թիթեղից հետո տեղադրվում է $t(x,y)$ լայնության անցման կոմպլեքս գործակցով հետազոտվող առարկան:

Ալիքն առարկայի միջով անցնելուց հետո (առարկայական ալիք) վերլուծիչում ինտերֆերում է ինտերֆերաչափի մյուս բազուկով անցած ալիքի հետ (հենային ալիք): Բյուրեղում առարկայի հարթալիքային ազդեցության տիրույթ կանվանենք անմիջապես բյուրեղի մուտքին առարկայի տակ ընկած տիրույթի եզրերով անցնող բնութագրիչ-ներով (դրանք ուղիղ գծեր են, որոնք զուգահեռ են անցած և դիֆրակտված ալիքների տարածման ուղղություններին` նկ.7.1) մինչև այդ բնութագրիչների հատման կետն ընկած տիրույթը (նկ.7.1): Առարկայի հոլոգրամը կարելի է գրանցել` առարկայական և հենային փնջերը վերադրելով ինչպես առարկայի հարթալիքային ազդեցության տիրույթում (նկ.7.1), այնպես էլ առարկայական ալիքի հարթալիքային տիրույթից ցած ընկած տիրույթում (բնութագրիչների հատման կետից մինչև բյուրեղի ելքի մակերևույթ ընկած տիրույթը): Այս տիրույթում ներդրում են տալիս առարկայի բոլոր կետերը: Այս տեսակետից շատ կարևոր է դիֆրակցիայի հարթության մեջ առարկայի չափերի հարաբերությունը վերլուծիչ բյուրեղի հաստությանը: Նկ.7.2-7.4-ում ցույց տրված սխեմաներում վերլուծիչ թիթեղի հաստությունն ընտրվում է այնպես, որ բորմանյան անց-



Նկ.7.2. Ռենտգենյան կոհերենտ ինտերֆերաչափական ֆրենելյան հոլոգրամի գրանցման ընդհանուր սխեման ազդեցության հարթալիքային տիրույթից ցած տիրույթում: E_{h0} առարկայական ալիքը սահմանափակված է ճեղքով: 3, 5՝ ճեղքեր, 4՝ առարկա, 6՝ հոլոգրամ, CD՝ հոլոգրամի գրանցման տիրույթը վերլուծիչի ելքում

ման պայմաններում ստացվի վերադրվող ալիքների հնարավոր մեծ չափերով տիրույթ:

Առաջին՝ պառակտիչ թիթեղից դուրս եկած փնջերի լայնույթները նշանակվել են E_h -ով և E_0 -ով, երկրորդ՝ հայելային թիթեղից դուրս եկած փնջերի լայնույթները՝ E_{h0} -ով և E_{0h} -ով, իսկ երրորդ՝ վերլուծիչ թիթեղից դիֆրակտված ալիքի ուղղությամբ դուրս եկած փնջերի լայնույթները՝ E_{h0h} -ով և E_{0hh} -ով: Ինտերֆերենցային դաշտը վերլուծիչից հետո դիտվում է դիֆրակտված ալիքի ուղղությամբ, չնայած նույն կերպայն կարելի է դիտել անցած ալիքի ուղղությամբ: Յետագոտվող առարկան տեղադրվել է հայելային թիթեղից հետո կրկնակի դիֆրակտված E_{h0} փնջում:

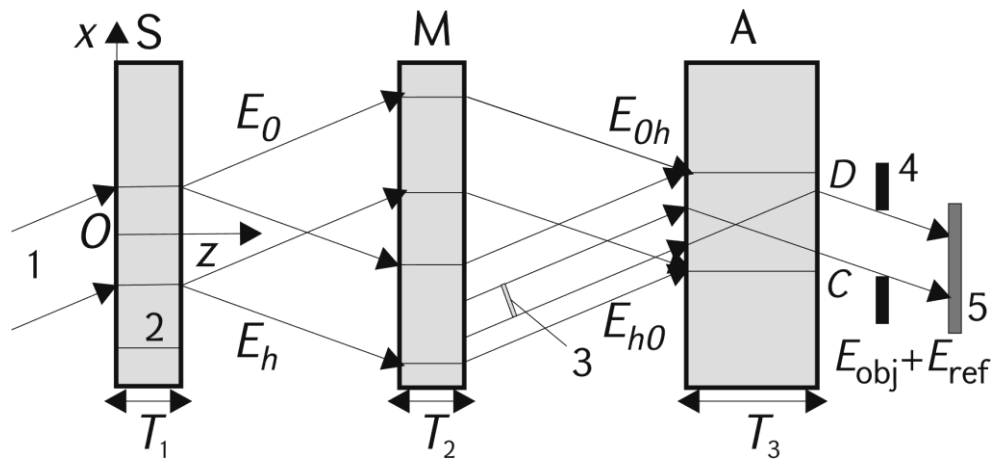
Դիտարկենք վերլուծիչ թիթեղում վերադրված ալիքների $E_{h0h} + E_{0hh}$ լայնույթն ըստ նկ.7.2-ի: Վերլուծիչում դաշտը դիտարկվում է առարկայի հարթալիքային տիրույթից ցած ընկած տիրույթում: Առարկայական ալիքի E_{h0h} լայնույթը վերանշանակենք E_{obj} -ով, իսկ E_{0hh} հենային ալիքինը՝ E_{ref} -ով: Վերլուծիչից դուրս եկած փնջում E_{hol} ամպլիտուդը, ինչպես (5.47)-ում, կարելի է ներկայացնել

$$E_{hol} = E_{ref} + E_{obj} \quad (7.1)$$

տեսքով, իսկ ուժգնությունը՝ (5.48) տեսքով:

Դիտարկենք այն դեպքը, երբ $T_3/\lambda_r \gg 1$ և $\mu T_3 \gg 1$, որտեղ T_3 -ը վերլուծիչ թիթեղի հաստությունն է: Այս դեպքում կարելի է դիտարկել միայն σ -բևեռացման թույլ կլանվող ճյուղը: Ինտերֆերաչափի առաջին երկու թիթեղները կարելի է վերցնել

ավելի



Նկ.7.3. Ռենտգենյան կոհերենտ ինտերֆերաց ախական ֆրաունհոֆերյան հոլոգրամի գրանցման ընդհանուր սխեման ազդեցության հարթ ալիքային տիրույթից ցած տիրույթում, երբ E_{h0} առարկայական ալիքը սահմանափակված է ճեղքով: 3՝ առարկա, 4՝ ճեղք, 5՝ հոլոգրամ:

փոքր հաստությամբ՝ $T_1=T_2 < T_3$, բայց այնպես, որ $\mu T_{1,2} \gg 1$, այնպես որ վերջնական հաշվարկներում կարելի է թողնել միայն σ -բևեռացման թույլ կլանվող ճյուղը: Ինչպես և §5.2-ում և §6.1-ում, հոլոգրամի (5.48) ուժգնությունը հաշվելու համար նորից կօգտվենք դինամիկական դիֆրակտային խնդրի Գրինի եղանակից, որի միջոցով ստանում ենք.

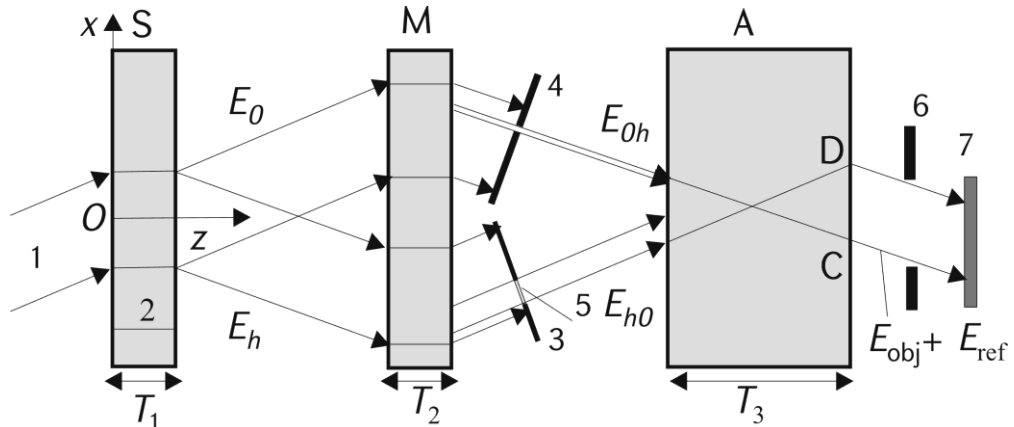
$$E_{ref} = -\frac{1}{8} \exp(i\sigma_0 T), \quad (7.2)$$

$$E_{obj} = \frac{1}{4} \exp(2i\sigma_0 T_1) \int_{-\infty}^{\infty} G(x-x', T_3) t(x', y) dx', \quad (7.3)$$

որտեղ $\sigma_0 = (k\chi_0/2\cos\theta) + \pi/\Lambda$, $T = 2T_1 + T_3$ ինտերֆերաց ալի թիթեղների գումարային հաստությունն է, θ -ն՝ Բրեգի անկյունը, և դիտարկվում է կենտրոնահամաչ ախբյուրերի դեպքը:

Նկ.7.2-ում դիտարկվող սխեմայի դեպքում ինտեգրումն ըստ էության կատարվում է $(-a_{obj}, a_{obj})$ տիրույթում, որտեղ $2a_{obj}$ -ն x առանցքի ուղղությամբ առարկայի չափն է դիֆրակցիայի հարթության մեջ: Քանի որ դիտարկում ենք հաստ կլանող բյուրեղներ ($\mu T_{1,2} \gg 1$), ապա Գրինի ֆունկցիայի համար օգտագործելով (5.12) ասիմպտոտական վերլուծությունը և դրան հաջորդող պարաբոլական մոտավորությունը, (7.3)-ից կստանանք՝

$$E_{obj} = Q \int_{-a_{obj}}^{a_{obj}} \exp \left[-i\pi \frac{(x-x')^2}{2\Lambda T_3 \operatorname{tg}^2 \theta} \right] t(x', y) dx' \quad (7.4)$$



Նկ.7.4. Ռենտգենյան կոհերենտ ինտերֆերաչափական ֆուրիե-հոլոգրամի գրանցման ընդհանուր սխեման ազդեցության հարթալիքային տիրույթից ցած տիրույթում, երբ առարկայական E_{h0} ալիքը և հենային E_{0h} ալիքը սահմանափակված են ճեղքով, E_{0h} -ի համար օգտագործվում է նեղ ճեղք (կետային աղբյուր): 3, 4, 6՝ ճեղքեր, 5՝ առարկա, 7՝ հոլոգրամ:

որտեղ $Q = -\exp(i\sigma_0 T + i\pi/4) \operatorname{ctg} \theta (8\Lambda_r T_3)^{-1/2}/4$:

Կետային առարկայի դեպքում, (7.4)-ի ենթահստագրալ արտահայտության էքսպոնենտի փոփոխում կարելի է անտեսել x' -ը, ուստի՝

$$E_{obj} = 2a_{obj} Q \exp \left[-i\pi \frac{x^2}{2\Lambda T_3 \operatorname{tg}^2 \theta} \right] \bar{t}(y), \quad \bar{t}(y) = \int_{-a_{obj}}^{a_{obj}} t(x', y) dx' / 2a_{obj} \quad (7.5)$$

Վերջավոր չափերով առարկայի դեպքում (7.4)-ից կստանանք՝

$$E_{obj} = Q \exp \left[-i\pi \frac{x^2}{2\Lambda T_3 \operatorname{tg}^2 \theta} \right] \int_{-a_{obj}}^{a_{obj}} \exp [i\Phi(x, x')] t(x', y) dx', \quad (7.6)$$

որտեղ $\Phi(x, x') = \pi [-x'^2 / (2\Lambda T_3 \operatorname{tg}^2 \theta) + xx' / (\Lambda T_3 \operatorname{tg}^2 \theta)]$: Ինչպես երևում է վերջին, ինչպես նաև (7.5) և (7.6) արտահայտություններին, առարկայական ալիքի լայնությունը (բյուրեղում կլանման հաշվառմամբ) տրվում է օպտիկայից հայտնի ֆրենելյան հոլոգրաֆիայում առարկայական ալիքի լայնության արտահայտությամբ [246], ուստի ներկայացված եղանակը կարելի է անվանել ֆրենելյան ինտերֆերաչափական հոլոգրաֆիական եղանակ: Սակայն առարկայական ալիքը զուգամիտող է, մինչդեռ օպտիկայում այն տարամիտող է: Եթե (7.6)-ի ենթահստագրալ արտահայտության էքսպոնենտի փոփոխում անտեսենք ըստ x' -ի քառակուսային անդամները, ապա E_{obj} -ը համեմատական կլինի

առարկայի լայնության հանցման կոմպլեքս գործակցի ֆունկցիոնալներին: Այդ դեպքում, բացի ներկայացված սխեմայից, կարելի է դիտարկել նաև մեկ այլ սխեմա, որտեղ նաև հենարանի ալիքն է սահմանափակված նեղ ճեղքով, որը խաղում է կետային աղբյուրի դեր (նկ.7.4): Այս սխեման նման է ֆունկցիոնալ ոգրաֆիայի եղանակին [246] և կարող է անվանվել ռենտգենախնտերֆերաչ ափսական ֆունկցիոնալ ոգրաֆիայի եղանակ:

Հոլոգրամի գրանցման այն դեպքում (նկ.7.3), երբ առարկայական ալիքը սահմանափակված չէ ճեղքով, (7.4)-ից կստանանք՝

$$E_{obj} = -\frac{1}{8} \exp(i\sigma_0 T) - \frac{1}{4} \exp(2i\sigma_0 T_1) \int_{-a_{obj}}^{a_{obj}} G(x-x', T_3) S(x', y) dx', \quad (7.7)$$

որտեղ $S(x, y) = 1-t(x, y)$ ֆունկցիան առարկայի լայնության ցրման գործակցն է: Փաստորեն (7.7)-ի աջ մասում առաջին գումարելին նույնպես խաղում է հենարանի ալիքի դեր, ինչպես և E_{ref} -ը, մինչդեռ առարկայական ալիքը երկրորդ գումարելին է, որի համար, նորից օգտվելով Գրինի ֆունկցիայի ասիմպտոտական վարքից, կստանանք (7.4)-(7.6) տեսքի արտահայտություններ, որոնցում $t(x, y)$ -ը փոխարինված կլինի $-S(x, y)$ -ով: Այս դեպքում ստացված արտահայտությունները նման են ֆրաունհոֆերյան հոլոգրաֆիական սխեմայի արտահայտություններին, ուստի այն կարելի է անվանել ռենտգենախնտերֆերաչ ափսական հոլոգրաֆիական եղանակ:

Նկ.7.2-7.4-ում ցույց տրված հոլոգրամի գրանցման CD տիրույթում կարևոր է ոչ միայն առարկայի լայնության հանցման գործակցի, այլ նաև Գրինի ֆունկցիայի վարքը: Դա երևում է (7.4) և (7.7) առարկայական ալիքի լայնությաների տեսքից:

Քանի որ իրական աղբյուրներն ունեն չափեր, իսկ ալիքները մեներանգ չեն, ապա հարկ է դիտարկել տարածական և ժամանակային կոհերենտություններին ներկայացվող պահանջները: Համապատասխան գնահատականներ կարելի է անել նույն կերպ, ինչ 5-րդ և 6-րդ գլուխներում: Այս դեպքում մեկ բյուրեղի փոխարեն պետք է վերցնել ինտերֆերաչ ափս երեք թիթեղների գումարային հաստությունը, հետևաբար՝ կհանգենք աղբյուրի չափերի և ոչ մեներանգության այն պահանջներին, որոնց բավարարման դեպքում հոլոգրամի վրա ուժգնության բաշխումը չի փոփոխվի: Դրանք են՝

$2a_s(2T_1 + T_3) < \lambda L_s / 2 \sin \theta$ տարածական կոհերենտության համար և $(2T_1 + T_3) \sin 2\theta \tan \theta < l_c \cos \theta$ ժամանակային կոհերենտության համար, որտեղ $2a_s$ -ն աղբյուրի չափերն են դիֆրակցիայի հարթության մեջ:

§7.1.2. Առարկայի պատկերի վերականգնումը լույսով

Առարկայի պատկերի վերականգնման համար հոլոգրամը տեղադրվում է լուսային ալիքի տարածման ճանապարհին: Ենթադրվում է, որ L_0 հեռավորությամբ կե-տային աղբյուրից հոլոգրամի հարթությանն ուղղահայաց ընկնում է գնդային սկալյար ալիք (բևեռացումը դեր չի խաղում): Ենթադրվում է նաև, որ գրանցումը կատարվել է այնպես, որ հոլոգրամի լայնության անցման գործակիցը համեմատական է գրանցված ուժգնությանը: Հոլոգրամն անցնելուց հետո ալիքի տարածումը նկարագրվում է Հյույ-գենս-Ֆրենելի (5.54), (6.15) սկզբունքով: Հոլոգրամի վրա ընկնող ալիքի լայնությամբ կարելի է ներկայացնել $E^i(x, y) = \exp\left[ik_0(x^2 + y^2)/2L_0\right]/L_0$ տեսքով: Միաչափ $t(x)$ և երկչափ $t(x, y)$ դեպքերի համար անհրաժեշտ է տարբերել երկու վերականգնման սխեմաներ:

Միաչափ դեպք: Այս դեպքում հոլոգրամը լուսավորվում է լուսային ալիքով՝ առանց ոսպնյակի օգտագործման: (5.48)-ի առաջին անդամը տեղադրելով (6.15)-ի մեջ և կատարելով ինտեգրում, վերականգնված հենային ալիքի լայնությի համար հոլոգրամի մակերևույթից $z = L$ հեռավորությունում կստանանք՝

$$E_{\text{rec1}} = \frac{\exp\left(-\frac{\mu_a T}{\cos \theta}\right)}{64(L + L_0)} \exp\left[ik_0 \frac{x^2 + y^2}{2(L + L_0)}\right], \quad (7.8)$$

որտեղ $\mu_a = \mu(1 - \chi_{\text{ph}}/\chi_{0i})$ -ն բյուրեղի դիֆրակտային, իսկ μ -ն՝ գծային կլանման գործակիցն է, 1 ցուցիչը նշում է (5.48)-ի առաջին անդամին համապատասխանող վերականգնված անդամը:

Ուսումնասիրենք (5.48)-ի երկրորդ և երրորդ անդամներին համապատասխանող վերականգնված անդամները: Ի տարբերություն օպտիկայի, որտեղ առարկայի իրական պատկերը վերականգնվում է երկրորդ անդամից, այս եղանակում այն վերականգնվում է երրորդ անդամից, մինչդեռ երկրորդ անդամից վերականգնվում է կեղծ

պատկերը:

Կետային առարկայի պատկերի վերականգնումը: Օգտվելով (7.5)-ից և (5.48)-ի երրորդ անդամը տեղադրելով (6.15)-ի մեջ, կարելի է համոզվել, որ իրական պատկերը ձևավորվում է մի հարթության մեջ, որի L_f հեռավորությունը հունգրամի հարթությունն ից բավարարում է

$$\frac{1}{L_0} + \frac{1}{L_f} = \frac{1}{F}, \quad (7.9)$$

հավասարմանը, որտեղ

$$F = \frac{1}{\pi} T_3 \Lambda_r \operatorname{tg}^2 \theta k_0 = \frac{2T_3 \operatorname{tg}^2 \theta \cos \theta}{|\chi_{hr}|} \frac{\lambda}{\lambda_0}: \quad (7.10)$$

$z = L_f$ պատկերի հարթության մեջ իրական պատկերին համապատասխանող լայնությանը՝

$$E_{\text{rec3}} = A_3 \exp \left[ik_0 \left(\frac{x^2}{2L_f} + \frac{y^2}{2(L_f + L_0)} \right) \right] \exp \left(-\frac{k_0 F x^2}{2\eta L_f^2} \right) \bar{t}(y), \quad (7.11)$$

որտեղ $A_3 = 2a_{\text{obj}} [k_0 / (2\pi\eta F)]^{1/2} [64(L_f + L_0)]^{-1} \exp(-\mu_d T / \cos \theta)$, $\eta = \chi_{hi} / |\chi_{hr}|$: Ինչպես հետևում է (7.11)-ից, իրական պատկերի կոորդինատը՝

$$x_c = 0: \quad (7.12)$$

(7.11)-ի համաձայն՝ պատկերի վրա ուժգնության բաշխման կիսալայնությունը՝

$$\Delta = 2L_f \sqrt{\frac{\eta}{k_0 F}}: \quad (7.13)$$

Վերականգնող հարթալիքի դեպքում

$$\Delta = 2 \sqrt{\frac{\eta F}{k_0}}: \quad (7.14)$$

Վերջին երկու արտահայտություններից, ինչպես նաև 5-րդ և 6-րդ գլուխներում արված վերլուծություններից հետևում է, որ կիսալայնության խոչորացումը և, հետևաբար, երկու կետային առարկաներից կազմված համակարգի խոչորացումը՝

$$M_x = \frac{L_f}{F}: \quad (7.15)$$

Մյուս կողմից, լուծունակությունը, այսինքն՝ երկու ամենամոտ կետերի միջև հեռավորությունը, որոնց դեռ կարելի է գանազանել

պատկերի վրա, որոշվում է (7.14)-ից, քանի որ երկու կետերի պատկերների հեռավորությունը և պատկերի կիսալայնությունն ունեն նույն M_x խոշորացումը:

Կետային առարկայի դեպքում, օգտագործելով (7.5)-ը և (5.48)-ի երկրորդ անդամը տեղադրելով (6.15)-ի մեջ, կարելի է համոզվել, որ կեղծ պատկերը ձևավորվում է մի հարթության մեջ, որի L_{f1} հեռավորությունը հոլոգրամի հարթությունից բավարարում է

$$\frac{1}{L_0} + \frac{1}{L_{f1}} = -\frac{1}{F} \quad (7.16)$$

հավասարմանը: Այս դեպքում ճառագայթները «կիզակետվում» են մինչև հոլոգրամը (դրանց շարունակությունները հատվում են մինչև հոլոգրամը), հոլոգրամի հարթություն-նից $L_{f1} < 0$ հեռավորությունում: Վերականգնված պատկերի կոորդինատը՝

$$x_{c1} = 0: \quad (7.17)$$

Ինչ վերաբերվում է (5.48)-ի չորրորդ գումարելուն, ապա դրան համապատասխանող վերականգնված անդամը կենտրոնացված է կենտրոնում, ապակիզակետված է, համեմատական է առարկայի չափերի քառակուսուն և փոքր է: Յետագայում այս անդամը չի դիտարկվում:

Վերջավոր առարկայի պատկերի վերականգնումը: Օգտվելով (7.6)-ից և (5.48)-ի երրորդ անդամը տեղադրելով (6.15)-ի մեջ, վերականգնված իրական ուղիղ պատկերի լայնության համար երկրաչափական կիզակետման $z = L_f$ հարթության մեջ ստացվում է

$$E_{rec3} = A_3' \exp \left[ik_0 \frac{x^2 + y^2}{2(L_f + L_0)} \right] t \left(\frac{Fx}{L_f} \right) \quad (7.18)$$

արտահայտությունը, որտեղ $A_3' = [64(L_f + L_0)]^{-1} \exp(-\mu_d T / \cos\theta)$: (7.18)-ից հետևում է, որ պատկերի կենտրոնի կոորդինատը որոշվում է (7.12), իսկ խոշորացումը՝ (7.15) բանաձևերից:

Երկու նույն կերպ, օգտագործելով (7.6)-ը և (5.48)-ի երկրորդ անդամը տեղադրելով (6.15)-ի մեջ, կստանանք, որ կեղծ պատկերը ձևավորվում է մինչև հոլոգրամը՝ (7.16)-ից որոշվող $L_{f1} < 0$ հեռավորությամբ և կիզակետման հարթության վրա որոշվում է $F(-Fx/L_{f1})$ ֆունկցիայով: Այստեղից հետևում է, որ կեղծ պատկերի կենտրոնի կոորդինատը որոշվում է (7.17), իսկ խոշորացումը՝ (7.15) բանաձևերով:

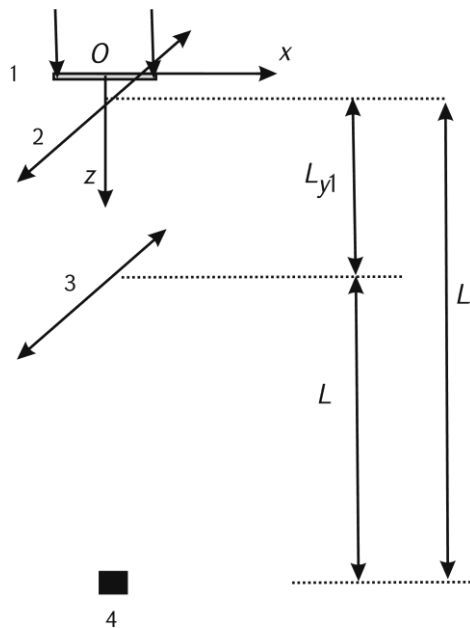
Երկչափ դեպք: Այս դեպքում անհրաժեշտ է կատարել նախնական ֆուրիե-ձևափոխությունը ըստ y կոորդինատի: Նկ.7.5-ում պատկերված է վերականգնման հնարավոր սխեմաներից մեկը: Հոլոգրամը տեղադրվում է մինչև կամ անմիջապես (y,z) հարթության մեջ f_{y1} կիզակետային հեռավորությամբ գլանային ոսպնյակից հետո (գլանի առանցքն ընկած է (x,z) հարթության մեջ): Եթե հոլոգրամը լուսավորենք լուսային ալիքով, ապա հոլոգրամի հարթությունից L_{y1} հեռավորությունում կիրադործվի ֆուրիե-ձևափոխությունը ըստ y -ի, ընդ որում

$$\frac{1}{L_0} + \frac{1}{L_{y1}} = \frac{1}{f_{y1}}: \quad (7.19)$$

Այդ նույն հարթության մեջ տեղադրվում է (y,z) հարթության մեջ f_{y2} կիզակետային հեռավորությամբ գլանային ոսպնյակ (գլանի առանցքը կրկին ընկած է (x,z) հարթության մեջ), որի հարթությունից L հեռավորությունում կիրադործվի հակադարձ ֆուրիե-ձևափոխությունը ըստ y -ի, ընդ որում

$$\frac{1}{L} + \frac{1}{L_{y1}} = \frac{1}{f_{y2}}: \quad (7.20)$$

Այդ նույն հարթության մեջ պետք է ձևավորվի առարկայի վերականգնված պատկերը, հետևաբար՝ պետք է տեղի ունենա հետևյալ պայմանը



Նկ.7.5. Երկչափ առարկայի պատկերի վերականգնման սխեման՝ օպտիկական տարրերի և 1 հոլոգրամի վրա ընկնող ալիքի փոխադարձ դասավորությամբ. 2, 3՝ գլանային ոսպնյակներ,

4՝ առարկայի վերականգնված իրական կիզակետված պատկերը

$$L + L_{y1} = L_f: \quad (7.21)$$

Վերականգնման քննարկվող սխեմայում (6.15)-ը պետք է կիրառել երկու հաջորդաբան փուլերով. առաջին փուլում՝ հոլոգրամի հարթությունն ից մինչև $z = L_{y1}$ հարթությունը, իսկ երկրորդ փուլում՝ այդ հարթությունն ից մինչև $z = L_f$ հարթությունը: Ոսպնյակների ազդեցությունը հաշվի առնելու նպատակով առաջին փուլում (6.15)-ի ենթափնտեգրալ արտահայտության մեջ պետք է ավելացնել $\exp[-ik_0 y^2/2f_{y1}]$ բազմապատկիչը, իսկ երկրորդ փուլում՝ $\exp[-ik_0 y^2/2f_{y2}]$ -ը: Այս կերպ վերականգնված հենային ալիքի լայնությանը $z = L_f$ կիզակետային հարթության վրա՝

$$E_{\text{rec1}} = \frac{\exp\left(-\frac{\mu_d T}{\cos\theta}\right)}{64LL_0} \sqrt{f_{y2} F} \exp\left[ik_0 \frac{x^2 + y^2}{2(L_f + L_0)}\right] \exp\left(ik_0 \frac{y^2}{2L}\right): \quad (7.22)$$

Դիտարկենք $z = L_f$ հարթության վրա իրական պատկերի լայնությանը կետային առարկայի դեպքում՝

$$E_{\text{rec3}} = A_3'' \exp\left[ik_0 \left(\frac{x^2}{2L_f} + \frac{y^2}{2L}\right)\right] \exp\left[-\frac{k_0 F}{2\eta} \left(\frac{x}{L_f}\right)^2\right] t\left(-y \frac{L_{y1}}{L}\right), \quad (7.23)$$

որտեղ $A_3'' = -i(2a_{\text{obj}}) [k_0 f_{y2} / (2\pi\eta)]^{1/2} (64LL_0)^{-1} \exp(-\mu_d T / \cos\theta)$: (7.23)-ը միաչափ դեպքի (7.11) արտահայտությունն ից տարբերվում է նրանով, որ ոսպնյակների կիրառման հետևանքով պատկերը շրջված է ըստ y -ի, իսկ այդ բանաձևից հետևող մնացած եզրափակությունները նույնն են, ինչ միաչափ դեպքում: Խոշորացումն ըստ y -ի

$$M_y = \frac{L}{L_{y1}}: \quad (7.24)$$

Ճիշտ նույն կերպ, վերջավոր չափերով առարկայի դեպքում՝

$$E_{\text{rec3}} = A_3''' \exp\left[ik_0 \frac{x^2}{2(L_f + L_0)}\right] \exp\left(ik_0 \frac{y^2}{2L}\right) t\left(\frac{Fx}{L_f}, -\frac{yL_{y1}}{L}\right), \quad (7.25)$$

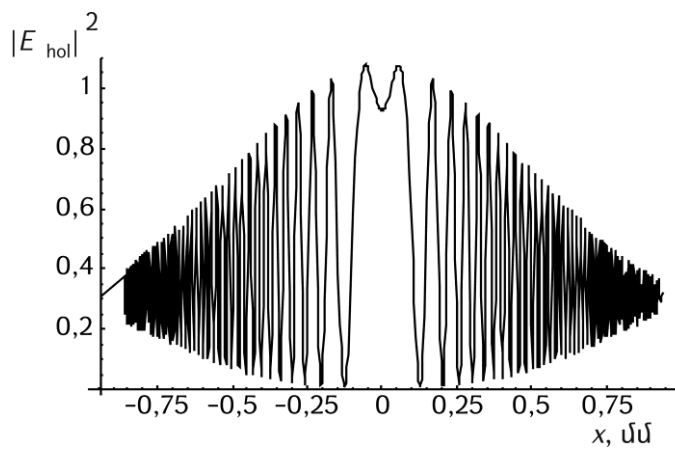
որտեղ $A_3''' = -i(f_{y2} F)^{1/2} (64LL_0)^{-1} \exp(-\mu_d T / \cos\theta)$:

§7.1.3. Օրինակի քննարկում

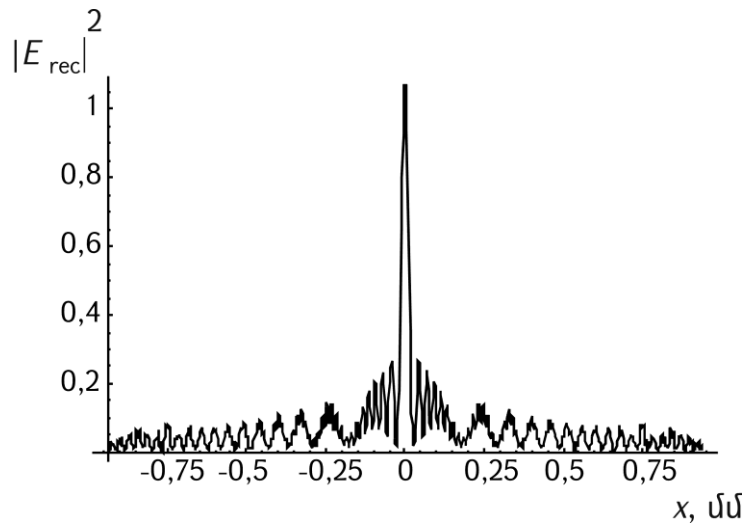
Քննարկենք նկ.7.2 ֆրենելյան ինտերֆերաչ ախական հոլոգրաֆիայի եղանակով պարզագույն առարկայի՝ $2a_{obj}$ չափերով ճեղքի հոլոգրամի գրանցումը և լուսային հարթալիքով պատկերի վերականգնումը: Այս դեպքում առարկայի տիրույթում $t(x) = 1$:

Դիտարկենք $\lambda = 0,71 \text{ \AA}$ ճառագայթման Si(220) անդրադարձումը, $T_1 = T_2 = 1$ մմ և $T_3 = 5$ մմ: ճեղքի չափերը՝ $2a_{obj} = 1$ մկմ, $\lambda_0 = 0,65$ մկմ և $F = 19,8$ մմ:

Նկ.7.6-ում պատկերված է ուժգնության (5.48) բաշխումը հոլոգրամի վրա, որն ստացվել է դինամիկական դիֆրակտային խնդրի Գրինի ֆունկցիայի օգնությամբ թվային հաշվարկով: Յենային ալիքի լայնության համար օգտագործվել է (7.2)-ը, իսկ առարկայական ալիքի լայնության համար՝ (7.3)-ը: Ցայտունության բարելավման նպատակով հենային ալիքի լայնությունը համարվում է 100 անգամ փոքրացված համապատասխան հաստությամբ կլանիչով: Նկ.7.7-ում պատկերված է թվային հաշվարկով ստացված (6.15) վերականգնված դաշտի լայնությունը $z = F$ պատկերի հարթության մեջ: Այս օրինակում լուծունակությունն անվերջ չափերով հոլոգրամի դեպքում կազմում է $\Delta \sim 2(\eta F/k_0)^{1/2} \approx 8$ մկմ: Ինչպես երևում է թվային հաշվարկի արդյունքներից, ճեղքի պատկերը լիովին վերականգնվում է: Թվային և տեսական հաշվարկների արդյունքները լիովին համընկնում են:



Նկ.7.6. Ուժգնության բաշխումը $2a_{obj} = 1$ մկմ լայնությամբ ճեղքի ռենտգենյան ինտերֆերաչ ախական ֆրենելյան հոլոգրամի վրա (կամայական միավորներ, թվային հաշվարկ)



Նկ.7.7. $z = F$ պատկերի հարթության վրա ճեղքի իրական վերականգնված պատկերի ու ժգնության բաշխումը (կամայական միավորներ, թվային հաշվարկ):

§7.2. Ռենտգենյան ինտերֆերաչափական ֆուրիե-հոլոգրաֆիա

§7.2.1. Ռենտգենյան ինտերֆերաչափական ֆուրիե-հոլոգրաֆի գրանցումը

Շարունակելով ռենտգենյան ինտերֆերաչափական կոհերենտ հոլոգրաֆիական սխեմաների տեսական ուսումնասիրությունը՝ դիտարկենք նկ.7.4-ում ներկայացված ինտերֆերաչափական ֆուրիե-հոլոգրաֆիայի եղանակը, որը նույնպես կարելի է իրականացնել երրորդ սերնդի սինքրոտրոնային աղբյուրներով կամ ռենտգենյան ազատ էլեկտրոնային լազերներով: Այն կարելի է օգտագործել ռենտգենյան մանրադիտակում:

Այս եղանակում առարկայական ալիքը սահմանափակված է առարկայի չափերով ճեղքով, իսկ հենային ալիքը կազմավորվում է նեղ ճեղքով, որը խաղում է կետային աղբյուրի դեր (նկ.7.4): Առարկան և հենային ալիքի ճեղքը տեղադրվում են ինտերֆերաչափի երկրորդ՝ հայելային թիթեղից հետո: Վերլուծիչ թիթեղից դիֆրակտված ալիքի ուղղությամբ դուրս եկած փնջում լայնությամբ կարելի է ներկայացնել (7.1) տեսքով, իսկ համապատասխան ուժգնությունը՝ (6.15)-ով:

Ինչպես և նախորդ պարագրաֆում ենթադրվում է, որ $T_3/\Lambda_r \gg 1$, $\mu T_3 \gg 1$, $T_1 = T_2 < T_3$, $\mu T_{1,2} > 1$ և կարելի է հաշվի առնել միայն σ -բևեռացման թույլ կլանվող ճյուղը: Դի-նամիկական տեսության համաձայն՝

$$E_{\text{obj}} = \frac{1}{4} \exp(i\sigma_0 T_1) \int_{x_{\text{obj1}}}^{x_{\text{obj2}}} G_{h0}(x - x', T_3) t(x', y) dx', \quad (7.26)$$

$$E_{\text{ref}} = -\frac{1}{4} \exp(2i\sigma_0 T_1) \int_{x_{\text{ref}1}}^{x_{\text{ref}2}} G_{hh}(x-x'; T_3) dx', \quad (7.27)$$

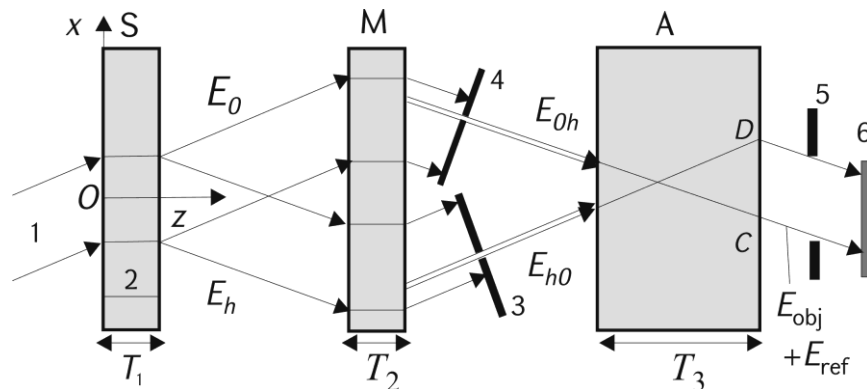
որտեղ $x_{\text{ref}1}$ -ը $x_{\text{ref}2}$ -ը, $x_{\text{obj}1}$ -ը, $x_{\text{obj}2}$ -ը վերլուծիչի մուտքի մակերևույթին հենային և առարկայական ալիքների լուսավորված տիրույթների ձախն աջ եզրերի կոորդինատներն են, Գրինի G_{h0} և G_{hh} ֆունկցիաների տեսքը տրված է [8,9,247]-ում, ընդ որում այստեղ օգտագործվող Գրինի ֆունկցիաներն ստացվում են [247]-ի Գրինի ֆունկցիաները բազմապատկելով $\exp(ik\chi_0 T_3/2\cos\theta)$ -ով: G_{hh} -ում որպես գումարելի մասնակցում է Դիրակի դելտա-ֆունկցիան, բայց այն կարելի է անտեսել, քանի որ դիտարկվում է հաստ կլանող բյուրեղ: Բացի այդ, հենային ալիքի ճեղքը համարվում է նեղ: Արված մոտավորությունների արդյունքում (7.27)-ի փոխարեն կստանանք՝

$$E_{\text{ref}} = -\frac{1}{4} \exp(2i\sigma_0 T_1) \rho a_{\text{ref}} G_{hh}(x-x_{\text{ref}}; T_3), \quad (7.28)$$

որտեղ x_{ref} -ը հենային ալիքի կենտրոնի կոորդինատն է վերլուծիչի մուտքի մակերևույթին, $2a_{\text{ref}}$ -ը հենային ալիքի ճեղքի չափի արոյեկցիան է վերլուծիչի մուտքի մակերևույթին: Այսպիսով՝ ինտերֆերենցային դաշտը վերլուծիչի ելքի մակերևույթի հոլոգրամի գրանցման CD տեղամասում ձևավորվում է որպես կետային աղբյուրի ֆունկցիայի և առարկայական ալիքի լայնության գումար:

§7.2.2. Յուրաքանչյուր նեղացված ինտերֆերաչափական գծեր

Դիտարկվող սխեմայի պարզագույն դեպքում որպես առարկա վերցվում է նույն լայնության ճեղք, ինչ որ հենային ալիքի ճեղքն է (նկ.7.8): Առարկայական



Նկ.7.8. Յուրաքանչյուր նեղացված ինտերֆերաչափական փորձի սխեման: 3,4՝ նեղ, նույն լայնության ամբ ճեղքեր, 5՝ ճեղք, 6՝

հոլոգրամ

ալիքի ճեղքի կենտրոնի կոորդինատը վերլուծիչի մուտքի մակերևույթին նշանակենք x_{obj} -ով: Այդ դեպքում (7.26)–ի փոխարեն կարելի է գրել հետևյալ մոտավոր արտայտությունը

$$E_{obj} = \frac{1}{4} \exp(i\sigma_0 T_1) Q a_{ref} G_{h0}(x - x_{obj}, T_3); \quad (7.29)$$

(7.28)–ի և (7.29)–ի համաձայն՝ ինտերֆերենցային դաշտը ձևավորվում է երկու կետային աղբյուրների ֆունկցիաների գումարով, ուստի այս սխեման Յունգի ռենտգենյան ինտերֆերաչափական փորձի սխեմա է: Վերլուծիչի ելքի մակերևույթին կձևավորվեն Յունգի ռենտգենյան ինտերֆերաչափական դիսամիկական դիֆրակտային գծեր: Գուլ-մարային դաշտի լայնույթի համար վերլուծիչի ելքի մակերևույթին կստանանք՝

$$E_{hol} = \frac{1}{4} \exp(i\sigma_0 T_1) Q a_{ref} [G_{h0}(x - x_{obj}, T_3) - G_{hh}(x - x_{ref}, T_3)], \quad (7.30)$$

որտեղ ենթադրվել է, որ $x_{obj} = -x_{ref}$ և $x_{ref} > 0$: Քանի որ դիտարկվում է հաստ կլանող բյուրեղ, ապա Գրինի G_{h0} և G_{hh} ֆունկցիաների համար կարելի է օգտվել (5.12) ասիմպտոտական վերլուծությունից և պարաբոլական մոտավորությունից: Արդյունքում (7.28)–ից և (7.29)–ից կստանանք՝

$$E_{objref} = Q \exp\left[-i\pi \frac{(x \pm x_{ref})^2}{2\Lambda_r T_3 t g^2 \theta}\right] \exp\left[-\pi i \eta \frac{(x \pm x_{ref})^2}{2\Lambda_r T_3 t g^2 \theta}\right], \quad (7.31)$$

որտեղ $Q = -\exp(i\sigma_0 T + i\pi/4) (2a_{obj}) (\delta \Lambda_r T_3 t g^2 \theta)^{-1/2} / 4$, $\eta = \chi_{hi} / |\chi_{hr}|$, վերին նշանը համապատասխանում է առարկայական իսկ ստորին նշանը՝ հետային ալիքին, $T = 2T_1 + T_3$: Այսպիսով, ուժգնության համար կստանանք՝

$$I_{hol} = |E_{hol}|^2 = |Q|^2 \left\{ \exp\left[-\pi \eta \frac{(x + x_{ref})^2}{D x_{ref}}\right] + \exp\left[-\pi \eta \frac{(x - x_{ref})^2}{D x_{ref}}\right] + 2 \exp\left(-\pi \eta \frac{x^2 + x_{ref}^2}{D x_{ref}}\right) \cos\left(2\pi \frac{x}{D}\right) \right\}, \quad (7.32)$$

որտեղ $D = T_3 \Lambda_r t g^2 \theta / x_{ref}$: (7.32)–ից եզրակացնում ենք, որ ուժգնության բաշխումն իրեն-նից ներկայացնում է հավասարահեռ մաքսիմումների խումբ, որոնց մեծությունները կլանման պատճառով եզրերում նվազում են: Այս մաքսիմումներն իրենցից ներկայացնում են

Յուևգի ռենտգենախնտերֆերաչ ախական գծեր, որոնց պարբերությունը D է:

Ինչպես և §7.1-ում, կարելի է համոզվել, որ բավարարվում են տարածական և ժամանակային կոհերենտություններին ներկայացվող պահանջները:

§7.2.3. Ճեղքի պատկերի վերականգնումը ֆուրիե-ձևափոխության եղանակով

Ճեղքի պատկերի վերականգնումը կարելի է իրականացնել՝ հոլոգրամը լուսավոր-րելով լուսային ալիքով: Սակայն հետաքրքրություն են ներկայացնում, հատկապես փուլ-լային առարկաների համար [209], առարկայի պատկերի վերականգնման թվային եղանակները: Ստորև կդիտարկենք ճեղքի պատկերի վերականգնման թվային մի եղանակ՝ ֆուրիե-ձևափոխության եղանակը:

Բազմապատկենք (7.32)-ը $\exp(2\pi ipx/D)$ -ով և ինտեգրենք ըստ x -ի հոլոգրամի հարթության մեջ, անտեսելով հոլոգրամի չափերը՝

$$E_{\text{rec}} = \int_{-\infty}^{+\infty} \exp\left(2\pi ip \frac{x}{D}\right) I_h(x) dx: \quad (7.33)$$

(7.32) և (7.33) բանաձևերից ինտեգրման արդյունքում կստանանք՝

$$E_{\text{rec}} = |Q|^2 \sqrt{\frac{D X_{\text{ref}}}{\eta}} \left\{ 2 \exp\left(-\pi p^2 \frac{X_{\text{ref}}}{D \eta}\right) \cos\left(2\pi p \frac{X_{\text{ref}}}{D}\right) + \exp\left(-\pi \eta \frac{X_{\text{ref}}}{D}\right) \exp\left[-\pi (p+1)^2 \frac{X_{\text{ref}}}{D \eta}\right] + \exp\left(-\pi \eta \frac{X_{\text{ref}}}{D}\right) \exp\left[-\pi (p-1)^2 \frac{X_{\text{ref}}}{D \eta}\right] \right\}: \quad (7.34)$$

(7.34)-ի առաջին անդամը կենտրոնացված է $p = 0$ -ի շուրջը և ունի մաքսիմումի

$$\Delta_0 = 2 \sqrt{\frac{D \eta}{\pi X_{\text{ref}}}} \quad (7.35)$$

կիսալայնություն: Երկրորդ և երրորդ անդամները կենտրոնացված են $p = \pm 1$ կետերի շուրջը և համապատասխանում են ճեղքի երկու վերականգնված պատկերներին: Յե-տևաբար, գործնականում (6.15)-ը պետք է բազմապատկել $\exp(2\pi ipx/D)$ -ով, և թվային եղանակով հաշվել (7.33)-ը հոլոգրամի վերջավոր չափերին համապատասխանող վեր-ջավոր սահմաններով: Թվային ինտեգրման արդյունքում ստացվում է ըստ p -ի երեք մաքսիմում՝ $p = 0, \pm 1$: $p = \pm 1$ արժեքներին համապատասխանում

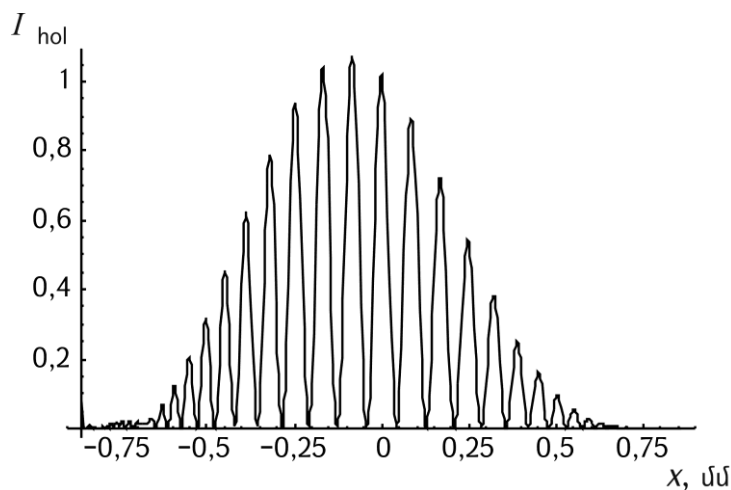
են ճեղքի երկու վերականգնված պատկերները:

§7.2.4. Ճեղքի պատկերի վերականգնման օրինակի քննարկում

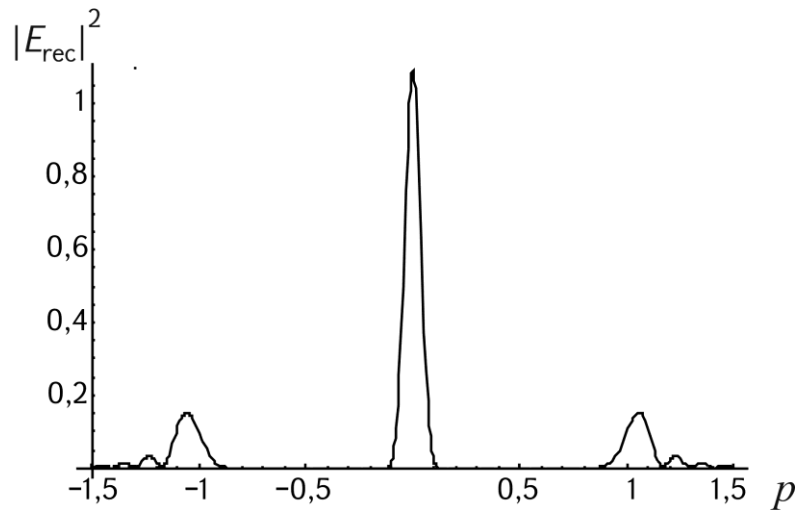
Դիտարկենք Յունգի ռենտգենյան ինտերֆերաչ ախական գծերի և ֆուրիե-ձևափոխության դեղքի պատկերի վերականգնման մի օրինակ: Երկու ճեղքերի լայնությունները դիֆրակցիայի հարթության մեջ Ox առանցքի ուղղությամբ վերցնենք $2a_{ref} = 10$ մկմ, $x_{ref} = 75$ մկմ, $x_{obj} = -x_{ref}$ և դիտարկենք $\lambda = 0,71 \text{ \AA}$ ճառագայթման $Si(220)$ անդրադարձումը, $T_1 = T_2 = 1$ մմ, $T_3 = 5$ մմ: Պարբերության համար կստանանք՝ $D=86$ մկմ:

Նկ.7.9-ում պատկերված է թվային եղանակով ստացված դինամիկական դիֆ-րակցիայի՝ (5.48) ուժգնությունների բաշխումը Յունգի գծերի համար: Հենային ալիքի լայնության համար օգտագործվել է (7.27)-ը, իսկ առարկայական ալիքի լայնության համար՝ (7.26)-ը: Ինչպես երևում է նկարից, պատկերի միջնակետը շեղված է կենտրոնից, ինչը բացատրվում է G_{hh} ֆունկցիայի անհամաչափությամբ:

Նկ.7.10-ում պատկերված է (7.33) ուժգնությունների թվային հաշվարկով ստացված բաշխումը վերականգնված պատկերի վրա: Վերջին երկու նկարներում թվային հաշ-



Նկ.7.9. Ռենտգենյան ինտերֆերաչ ախական Յունգի գծերի ուժգնությունների բաշխումը (կամայական միավորներ) (թվային հաշվարկ):



Նկ.7.10. Ուժգնությունը բաշխումը ֆուրիե-ձևափոխության մեջ ճեղքի վերականգնված պատկերի վրա (կամայական միավորներ) (թվային հաշվարկ)

վարկներում հաշվի են առնված ինչպես ճեղքերի, այնպես էլ հոլոգրամի վերջավոր չափերը: Ինչպես երևում է նկ.7.10-ից, ճեղքի պատկերը լիովին վերականգնվում է: Պատկերի լայնացումը բացատրվում է ճեղքերի և հոլոգրամի վերջավոր չափերով: Թվային և տեսական հաշվարկների արդյունքները լիովին համընկնում են:

§7.2.5. Առարկայի պատկերի վերականգնումը ֆուրիե-ձևափոխության մեջ

Դիտարկենք ռենտգենյան ինտերֆերաչափական ֆուրիե-հոլոգրաֆիայի՝ նկ 7.4-ում ներկայացված սխեման: (7.26)-ից ունենք հետևյալ մոտավոր արտահայտությունը՝

$$E_{obj} = Q \exp\left[-i\pi \frac{(x - x_{obj})^2}{2D}\right] \exp\left[-i\pi \eta \frac{(x - x_{obj})^2}{2D}\right] \int_{-a_{obj}}^{a_{obj}} \exp\left[i\pi \frac{(x - x_{obj})x'}{D}\right] t(x + x_{obj}, y) dx' : (7.36)$$

Այստեղ $D = T_3 \Lambda t g^2 \theta$: Ենթադրվել է, որ առարկան ունի այնպիսի չափեր, որ ենթահետքրալային արտահայտության մեջ կարելի է օգտվել $\exp[-i\pi x'^2 / 2D] \approx 1$ մոտավորությունից, որի հետևանքով առարկայական ալիքի լայնության դարձել է համեմատական առարկայի լայնության անցման գործակցի ֆուրիե-պատկերին:

(5.48)-ը բազմապատկելով $\exp(-2\pi i p x / D_1)$ մեծությամբ, որտեղ $D_1 = T_3 \Lambda t g^2 \theta / x_{ref}$, p -ն պարամետր է, և ինտեգրելով ըստ x -ի հոլոգրամի հարթության մեջ, կստանանք՝

$$E_{rec} = \int_{-\infty}^{+\infty} \exp\left(-2\pi i p \frac{x}{D_1}\right) I_h(x, y) dx: \quad (7.37)$$

Վերլուծական եղանակ: Անտեսելով հոլոգրամի չափերը՝ ինտեգրումը կատարենք անվերջ սահմաններով տիրույթում: (7.28)-ը և (7.36)-ը տեղադրելով (5.48)-ի, իսկ (5.48)-ը՝ (7.37)-ի մեջ, կստանանք՝

$$E_{rec} = E_{rec1} + E_{rec2} + E_{rec3} + E_{rec4}, \quad (7.38)$$

որտեղ աջ մասի յուրաքանչյուր գումարելի համապատասխանում է (5.48)-ի համապատասխան գումարելուն: (7.37)-ից հետևում է, որ

$$E_{rec1} = |Q|^2 \varrho a_{ref}^2 \sqrt{\frac{D}{\eta}} \exp\left(-2\pi i p \frac{x_{ref}}{D_1}\right) \exp\left(-\pi p^2 \frac{x_{ref}}{D_1 \eta}\right), \quad (7.39)$$

$$E_{rec2} = 2 \varrho a_{ref} |Q|^2 D t^*(x_{ref} - 2px_{ref}, y), \quad (7.40)$$

$$E_{rec3} = 2 \varrho a_{ref} |Q|^2 D t(x_{ref} + 2px_{ref}, y), \quad (7.41)$$

$$E_{rec4} = 2 |Q|^2 D \int t^*(x - 2px_{ref} - x_{ref}, y) t(x - x_{ref}, y) dx: \quad (7.42)$$

Ինչպես երևում է (7.39) և (7.42) արտահայտումներին, E_{rec1} -ը կենտրոնացված է $p=0$ արժեքի շուրջը $\Delta_0 = 2[D_1\eta/(\pi x_{ref})]^{1/2}$ կիսալայնությամբ բաշխումով, իսկ E_{rec4} -ը նույն-պես կենտրոնացված է $p=0$ -ի շուրջը և առաջացնում է հալո:

(7.40)-ի համաձայն՝ E_{rec2} -ը համեմատական է լայնությամբ ինանցման գործակցի կոմպլեքս համալուծին, այդ պատճառով այս անդամն անվանում են համալուծ պատկեր. այն կենտրոնացած է $p = 1$ արժեքի շուրջը, ուստի p -ի փոփոխման տիրույթն ընկած է $1 - a_{obj}/2x_{ref} \leq p \leq 1 + a_{obj}/2x_{ref}$ միջակայքում, ընդ որում, պատկերը պտտված է 180° -ով: (7.41)-ում E_{rec3} -ը համեմատական է լայնությամբ ինանցման գործակցին (առարկայի ուղիղ իրական պատկեր), կենտրոնացված է $p = -1$ արժեքի շուրջը, իսկ p -ն փոփոխվում է $-1 - a_{obj}/2x_{ref} \leq p \leq -1 + a_{obj}/2x_{ref}$ տիրույթում: Փորձից որոշելով h_{ol} -ը և հաշվի առնելով հոլոգրամի չափերը, թվային եղանակով հաշվենք (7.37) ինտեգրալը: Նկատի ունենալով, որ պատկերի տիրույթում այն մոտավորապես հավասար է E_{rec3} -ին, (7.41)-ից կստանանք լայնությամբ ինանցման գործակցի արժեքները, եթե (7.41) բանաձևում $t(x_{ref} + 2px_{ref}, y)$ -ն արտահայտենք E_{rec3} -ով:

(7.37) ինտեգրալը հաշվելիս պարզվում է, որ եղանակի

լ ու ծ ու ն ա կ ու թ յ ու ն ը տրվում է

$$\Delta_0 = 4\sqrt{\frac{D \eta}{\pi}} \quad (7.43)$$

արտահայտությամբ, որը կետային առարկայի պատկերի ու ժգնության բաշխման կի-սալայնությունն է:

§7.2.6 Հաջորդական մոտավորությունների (իտերացիաների) եղանակ

Գործնականում առարկայի պատկերի վերականգնման համար անհրաժեշտ է չափել հոլոգրամի վրա ու ժգնության (5.48) արժեքները, դրանք բազմապատկել $\exp(-2\pi ipx/D_1)$ արժեքներով, թվային եղանակով հաշվել (7.37) ինտեգրալը վերջավոր սահմաններով՝ նկատի ունենալով հոլոգրամի վերջավոր չափերը: Հաշվարկների արդյունքում ստացվում են $p = 0, \pm 1$ -ի շուրջը կենտրոնացված արժեքներ: $p = 1$ -ի շուրջը կենտրոնացված է համալուծ պատկերը՝ պտտված 180° -ով: $p = -1$ -ի շուրջը կենտրոնացված է իրական ուղիղ պատկերը: Վերլուծական ուսումնասիրությունը ցույց է տալիս ((7.39)-(7.42) բանաձևեր), որ առարկայի լայնության անցման գործակիցը կարելի է որոշել հետևյալ

$$t(x, y) = t_0(x, y) = \frac{E_{rec}(p)}{E_{rec3,s}(p)} \quad (7.44)$$

արտահայտությամբ, որտեղ $E_{rec3,s}(p)$ -ն ստացվում է $E_{rec3}(p)$ -ից, երբ $t(x, y)$ -ը փոխարինվում է միավորով՝ $t(x, y) = 1$: $E_{rec3,s}(p)$ -ն հաշվվում է (7.36)-ով, ընդունելով, որ $t(x, y) = 1$: p -ի և x -ի կապը տրվում է $p = x/2x_{ref} - 1/2$ առնչությամբ, ընդ որում x -ի արժեքները վերցվում են $-x_{ref} - a_{obj} \leq x \leq -x_{ref} + a_{obj}$ միջակայքից, որոնց համապատասխանում են p -ի արժեքները $-1 - a_{obj}/(2x_{ref}) \leq p \leq -1 + a_{obj}/(2x_{ref})$ միջակայքից: (7.44)-ից ստացված $t(x, y)$ -ը գրոյական մոտավորությունն է, նշանակված $t_0(x, y)$ -ով և նախնա-կան պատկերացում է տալիս որոնվող ֆունկցիայի մասին: Հաջորդ մոտավորությունը կարելի է ստանալ, եթե $E_{rec3}(p)$ -ն հաշվարկելիս $t(x', y)$ -ը վերածենք թեյլորի շարքի $x'_0 = 2px_{ref} + x_{ref}$ կետի շուրջը, պահպանելով գծային անդամները, իսկ x'_0 կետում արժեքի համար օգտվենք գրոյական մոտավորությունից: Այս կերպ ստանում ենք՝

$$t(x, y) = t_1(x, y) = t_0(x, y) - \frac{E_{rec3}^{(1)}(p)}{E_{rec3,s}(p)}, \quad (7.45)$$

որտեղ $E_{rec3}^{(1)}(p)$ -ն ստացվում է $E_{rec3}(p)$ -ից, երբ $t(x', y)$ -ը փոխարինում ենք $t_0'(x_0', y)(x' - x_0')$ -ով, որտեղ $t_0'(x_0', y)$ -ը գրոյական $t_0(x, y)$ մոտավորության ածանցյալն է $x'_0 = 2px_{ref} + x_{ref}$ կետում: Չաջորդական մոտավորությունները կարելի է շարունակել:

§7.2.7 Քայլային թվային եղանակ

Չաջորդական մոտավորությունների եղանակի փոխարեն կարելի է կիրառել մեկ այլ, մեր կարծիքով, ավելի պարզ եղանակ: Այդ եղանակում առարկայական ճեղքը նույնպես նեղ է վերցվում, պարզության համար՝ նույն լայնության, ինչ հենային ալիքի ճեղքը: Սկզբում առարկան իր աջ (կամ ձախ) եզրով դրվում է առարկայական ճեղքի ձախ (կամ աջ) եզրին: Առարկան մեկ քայլ տեղաշարժելուց հետո (հավասար կամ ոչ առարկայական ճեղքի լայնությանը) գրանցվում է առարկայի այդ տեղամասի հոլոգրամը, որից հետո այդ ընթացակարգը կրկնվում է $N = a_{obj}/a_{ref}$ անգամ, և ամեն քայլում գրանցվում է առարկայի համապատասխան տեղամասի հոլոգրամը, այնպես որ բոլոր տեղաշարժերից հետո կստացվի N հոլոգրամ (պարզության համար քայլը վերցնում ենք առարկայական ճեղքի չափով): Յուրաքանչյուր հոլոգրամի համար հայտնի է ուժգնության համապատասխան բաշխումը, ուստի, եթե ճեղքի չափը բավականաչափ փոքր է, կարելի է $t_i(x, y)$ -ը ($i = 1...N$) համարել հաստատուն և որոշել

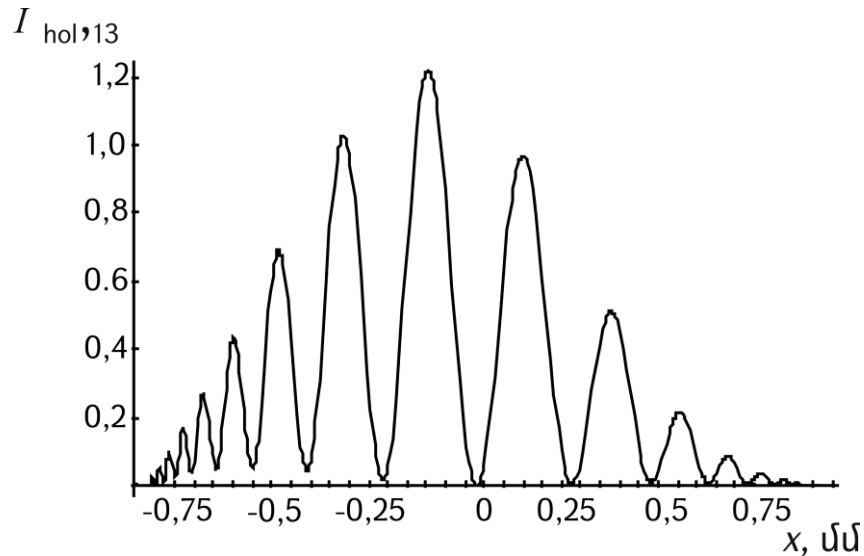
$$t_i(-x_{ref}, y) = \frac{E_{reci}(-1)}{E_{rec3,i,s}(-1)} \tag{7.46}$$

արտահայտությունից, որտեղ $E_{reci}(-1)$ և $E_{rec3,i,s}(-1)$ մեծություններն ունեն նույն իմաստը, ինչ (7.44)-ում, բայց i -րդ քայլի համար: Այսպիսով՝ առարկայի լայնության անցման գործակիցը կառուցվում է N հատ $t_i(-x_{ref}, y)$ ($i = 1...N$) արժեքներով, այդ արժեքներից յուրաքանչյուրի որոշման համար ստանալով հոլոգրամ $p = -1$ կետում: Ստացված N արժեքների միջոցով ներմոտարկումն ավարտում է $t(x, y)$ -ի որոշման խնդիրը:

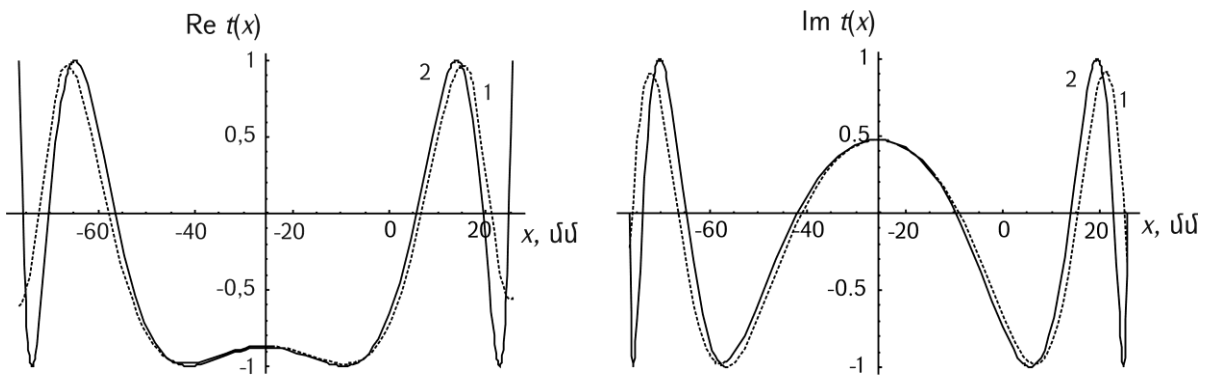
§7.2.8. Առարկայի պարկերի վերականգնման օրինակի քննարկում

Քննարկենք $R_{ob} = 50$ մկմ շառավղով գլանային բերիլիումե լարի

$t(x, y)$ -ի որոշման օրի-նակ: Գլանի առանցքն ուղղահայաց է դիֆրակցիայի հարթությանը: Դիտարկվում է $\lambda = 0,71 \text{ \AA}$ ճառագայթման Si(220) անդրադարձումը, $T_1=T_2=1\text{մմ}$ և $T_3=5\text{մմ}$: Օգտվենք §6.2.2-ում բերված իրումի լարի համար գրված (6.50) արտահայտությանը՝ x -ը փոխարինելով $(x + x_{\text{ref}})$ -ով: Առարկայի լայնության անցման գործակիցը որոշենք վերը նկարագրված



Նկ.7.11. Բերված իրումե գլանային լարի հոլոգրամի վրա ուժգնությամբ բաշխումը $i=13$ քայլում (կամայական միավորներ, թվային հաշվարկ)



Նկ.7.12. Գլանային բերված իրումե լարի՝ քայլային եղանակով վերականգնված լայնության անցման $t(x)$ գործակցի ա. իրական և բ. կեղծ մասերի համեմատումը ճշգրիտ արժեքների հետ. 1՝ վերականգնված արժեք, 2՝ ճշգրիտ արժեք:

քայլային եղանակով: Առարկայական ճեղքը վերցվում է հավասար հեռային ալիքի ճեղքին՝ 4մմ , $x_{\text{ref}} = 25/\cos\theta$ մկմ, $x_{\text{obj}} = -x_{\text{ref}}$: $N = 25$ -ի

համար, օգտվելով (7.47)-ից, (5.48), (7.26) և (7.27) բանաձևերով որոշելով բոլոր $l_{hol}(x)$, $i = 1, \dots, 25$ արժեքները և համարելով այդ արժեքները փորձով տրված, (7.46) բանաձևով որոշենք որոնելի t_i -ի արժեքները և դրանցով կառուցենք համապատասխան ներմոտարկման ֆունկցիան: Նկ.7.11-ում պատկերված է ուժգնուլթյան բաշխումը Լարի ռենտգենահետերֆերաչափական հոլոգրամի վրա $i=13$ քայլում (այս քայլում առարկայի կենտրոնը համընկնում է առարկայական ճեղքի կենտրոնի հետ): Նկ.7.12-ում այս եղանակով կառուցված Լարի Լայնութային անցման գործակցի իրական և կեղծ մասերը համեմատվում են ճշգրիտ արժեքների հետ: Ակնհայտ է վերականգնված արժեքների համընկնումն իրական արժեքների հետ: Ներկայացված եղանակը կարելի է օգտագործել ռենտգենյան մանրադիտակում նյութերի ուսումնասիրության համար:

ԳԼՈՒԽ 8. ԻՆՏԵՐՖԵՐԱԶԱՓՈՒԹՅԱՆ ԵՅԿՈՆԱԿԱԿԱՆ ՍՅՈՒՄՆԵՐԻ ԵՆԿՆՈՒԹՅՈՒՆ

§8.1. Էյ կոնալ ի մոտավորությունը ու նրա ռենտգենայան ինտերֆերաչ ախու թյ ու նու մ

§8.1.1. Թույլ դեֆորմացված բյուրեղների էյ կոնալ ալ ի ն մոտավորություն հիմնական հավասարումները

Ներկայում, բացի եռաթիթեղ ինտերֆերաչ ախից [154], առաջարկվել են ռենտգենայան նոր տեսակի ինտերֆերաչ ախներ [168-172] և շարունակվել են բյուրեղային արատների փորձարարական ուսումնասիրությունները եռաթիթեղ ռենտգենայան ինտերֆերաչ ախով [173,174]: Փորձերը ցույց են տալիս, որ եռաթիթեղ ինտերֆերաչ ախի զգայնությունը կախված է այն բանից, թե որ թիթեղն է պարունակում արատներ: Ստացված ինտերֆերենցային գծերի բացատրության բարդությամբ պայմանավորված, հաճախ օգտվում են պարզեցված օպտիկական նմանակությունից [8], որի համաձայն ինտերֆերենցային պատկերն իրենից ներկայացնում է թիթեղների հարաբերական շեղման ֆունկցիայի հաստատուն արժեքների գծերի հավաքածու: Սակայն ռենտգենայան մուարը պայմանավորված է դինամիկական դիֆրակցիայով (հետաքրքրություն է ներկայացնում թույլ դեֆորմացիաների դեպքը), ուստի օպտիկական նմանակությունը հաճախ կիրառելի չէ:

Ստորև, թույլ դեֆորմացված բյուրեղներում ռենտգենայան ճառագայթների դինամիկական դիֆրակցիայի էյ կոնալ ալ ի ն մոտավորությամբ, տեսականորեն հետազոտվել է ռենտգենայան եռաթիթեղ ինտերֆերաչ ախում մուարի գծերի առաջացման մեխանիզմը, երբ արատներն առկա են ինտերֆերաչ ախի երեք թիթեղներում: Արդյունքում հայտնաբերվել է յուրաքանչյուր թիթեղի ներդրման առանձնահատկությունն առաջացած ինտերֆերենցային պատկերում: Ստացված արդյունքներից եզրակացություն է արվել օպտիկական նմանակության կիրառման պայմանների վերաբերյալ:

Դինամիկական դիֆրակցիայի հավասարումների էյ կոնալ մոտավորությունը հայտնի է վաղուց [247] և արդեն մասամբ քննարկվել է այս աշխատանքում, սակայն նպատակահարմար է համառոտակի ներկայացնել այդ մոտավորության հիմնական հավասար-

րու մները և կիրառու թյուղ թույլ դեֆորմացված բյուրեղներում՝ դրանք օգտագործելով ռենտգենյան ինտերֆերաչափում մուարի գծերի առաջացման մեխանիզմի բացատրության համար:

Երկալիքային դինամիկական դիֆրակցիայի պայմաններում, երբ առկա են երկու ուժեղ փոխադրող ալիքներ, կապված հակադարձ ցանցի O և h հանգույցների հետ, էյկոնալային մոտավորությանը ալիքային դաշտը ներկայացվում է հետևյալ տեսքով՝

$$E = (E_0 e^{i\mathbf{K}_0 \mathbf{r}} + E_h e^{i\mathbf{K}_h \mathbf{r}} e^{-i\mathbf{h} \cdot \mathbf{u}}) e^{i\Phi} \exp\left(i k \frac{\chi_0 z}{2 \cos \theta}\right), \quad (8.1)$$

ընդ որում, կարելի է սահմանափակվել միայն σ -բևեռացված ալիքներով, քանի որ ինտերֆերաչափի թիթեղները համարվում են հաստ և գրեթե լրիվ կլանում են π -բևեռացված ալիքները: Φ -ն կոչվում է էյկոնալ, E_0 -ն և E_h -ը դանդաղ փոփոխվող լայնույթներն են, α -ն առումի տեղային շեղումն է կատարյալ բյուրեղում իր հավասարակշռության դիրքից, \mathbf{K}_0 -ն՝ անցած, $\mathbf{K}_h = \mathbf{K}_0 + \mathbf{h}$ -ը՝ դիֆրակտված ալիքների ալիքային վեկտորներն են և բավարարում են Բրեգի ճշգրիտ պայմանին, OZ առանցքն ուղղած է անդրադարձնող հարթության ներքո դեպի բյուրեղի խորքը, OX առանցքն ուղղահայաց է OZ -ին և ուղղված է հակադրահեռ դիֆրակցիայի h վեկտորին, OY առանցքն ուղղահայաց է դիֆրակցիայի հարթությանը:

Օգտվելով Տակագիի հավասարումներից [29], անհայտ E_0 , E_h և Φ Ֆունկցիաների համար կստանանք.

$$\begin{aligned} \frac{2i}{k} \frac{\partial E_0}{\partial s_0} - \frac{2}{k} E_0 \frac{\partial \Phi}{\partial s_0} + \chi_h E_h &= 0 \\ \frac{2i}{k} \frac{\partial E_h}{\partial s_h} - \alpha E_h - \frac{2}{k} E_h \frac{\partial \Phi}{\partial s_h} + \chi_h E_0 &= 0 : \end{aligned} \quad (8.2)$$

(8.2)-ում $\alpha = -\partial(\mathbf{h} \cdot \mathbf{u}) / \partial s_h$ մեծությունը Բրեգի պայմանից տեղային շեղման պարամետրն է: Ըստ էյկոնալային մոտավորության ենթադրության՝ (8.2)-ում լայնույթների ածանցյալներով անդամներն ավելի փոքր են, քան փոլի ածանցյալներով պայմանավորված անդամները: Ֆիզիկորեն դա նշանակում է, որ լայնույթների փոփոխման l բնութագրական հեռավորությունն ավելի մեծ է, քան փոլի փոփոխման բնութագրական հե-

ռավորությունը՝ էքստինկցիոն երկարությունը՝

$$I^1 \gg \frac{k|\chi_h|}{2} \quad (8.3)$$

(8.2) համակարգից անցնելով առանձին լայնությունների համար հավասարումներին՝ հեշտ է ցույց տալ, որ (8.3)-ը համարժեք է հետևյալ պայմանին

$$\left| \frac{\partial^2 \mathbf{h}\mathbf{u}}{\partial s_0 \partial s_h} \right| \ll |\sigma^2| \quad (8.4)$$

որտեղ $\sigma^2 = k^2 \chi_h \chi_h^* / 4$: Թույլ դեֆորմացված բյուրեղների դեպքում դրվում է նաև

$$|\alpha| \ll |\chi_h| \quad (8.5)$$

պայմանը: Այդ մոտավորության շրջանակներում (8.2)-ում $\propto E_h$ անդամը համարվում է շատ ավելի փոքր, քան փուլի ածանցյալներով անդամները: (8.2)-ում անտեսելով փոքր անդամները և լայնությունների համար պահանջելով ոչ զրոյական լուծում, հանգում ենք թույլ դեֆորմացված բյուրեղների էյկոնալի հավասարմանը.

$$\frac{\partial \Phi}{\partial s_0} \frac{\partial \Phi}{\partial s_h} = \sigma^2 \quad (8.6)$$

Այնուհետև E_0 , E_h լայնությունները փնտրում ենք ասիմպտոտական շարքի տեսքով և ինչ-պես զրոյական, այնպես էլ ավելի բարձր կարգի անդամների համար ստանում համապատասխան տեղափոխման հավասարումներ (§2.1.3 և §2.1.4):

Լաուեի համաչափ երկրաչափությունամբ կատարյալ բյուրեղի վրա ճիշտ Բրեգի անկյան տակ ընկնող հարթալիքի դեպքում որպես (8.6) հավասարման լուծում վերցվում է

$$\Phi^{(1,2)} = \pm \frac{\sigma Z}{\cos \theta} \quad (8.7)$$

զույգը, որտեղ 1 և 2 թվերը նշանակում են դիսպերսային մակերևույթի երկու ճյուղերը, ընդ որում, «+» նշանը համապատասխանում է թույլ կլանվող 1 ճյուղին: Այս դեպքում լայնությունների տեղափոխման հավասարումները զրոյական մոտավորությամբ ընդունում են հետևյալ տեսքը՝

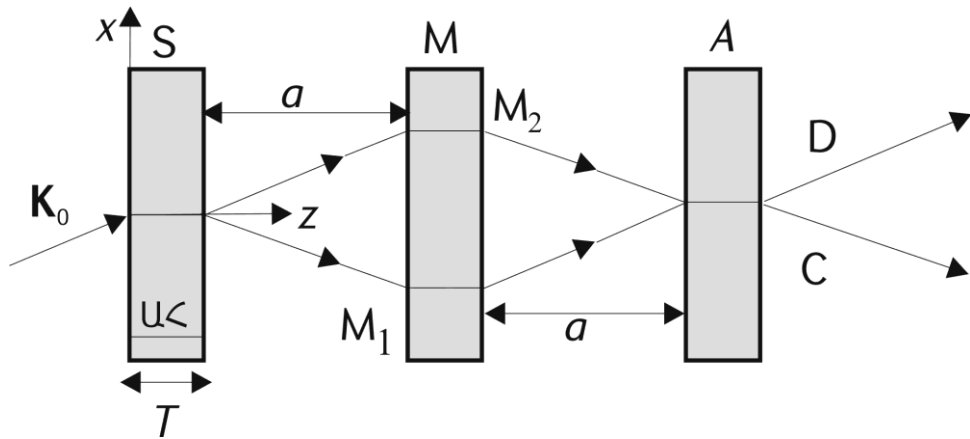
$$\frac{\partial E_0}{\partial s_0} + i \frac{k\alpha}{4 \cos \theta} E_0 = 0,$$

$$\frac{\partial E_h}{\partial s_h} + i \frac{k\alpha}{4 \cos \theta} E_h = 0 :$$
(8.8)

(8.8)-ի լուծումները տրվում են

$$E_{0,h} = f_{0,h} \exp \left[-i \frac{k}{4 \cos \theta} \int_{z_1}^z \alpha dz' \right]$$
(8.9)

բանաձևով, որտեղ ենթադրվում է, որ լայնույթի արժեքները տրված են $z = z_1$ -ում, իսկ



Նկ.8.1. Ռենտգենյան եռաթիթեղի ինտերֆերացիա. K_0 ՝ ընկնող ալիքի ալիքային վեկտոր, ԱՅ՝ անդրադարձնող հարթության ուղևոր, T թիթեղների հաստություն, x, z ՝ կոորդինատներ, S ՝ պառակտիչ, M ՝ հայելային (M_1 և M_2 տեղամասերով), A ՝ վերլուծիչ թիթեղներ, a թիթեղների միջև հեռավորությունը, C և D ՝ ինտերֆերացիոն դիրսեկցիաներ:

f_0 -ն և f_h -ը կախված չեն z -ից:

§8.1.2. Էյկոնալային մոտավորության կիրառությունը եռաթիթեղի ինտերֆերացիոն սեսուռային ուղևորում

Ներկայացված հավասարումները կիրառենք եռաթիթեղի LLL ինտերֆերացիոն ռենտգենյան մուարի առաջացման մեխանիզմը բացատրելու նպատակով: Ինտերֆերենցիոն ճառագայթների ընթացքը պատկերված է նկ.8.1-ում: Համարվում է, որ առաջին՝ S պառակտիչ թիթեղում շեղման վեկտորը α_1 է, երկրորդ՝ հայելային թիթեղի M_1 տեղամասում՝ α_2 , M_2 տեղամասում՝ α_3 , իսկ երրորդ A վերլուծիչ թիթեղում՝ α_4 , բոլոր երեք թիթեղներն ունեն նույն T

հաստությունը $\mu^T \ll 1$, այնպես որ յուրաքանչյուր թիթեղով անցնում է միայն σ -բևեռացման թույլ կլանվող ճյուղը («+» նշանը (8.7)-ում):

Դաջտերն առաջին (S) թիթեղում: Օգտվելով առաջին պարակտիչ բյուրեղի մուտքի մակերևույթին Լաուեի դեպի սահմանային պայմաններից [8,9] կստանանք.

$$\begin{aligned} f_0^{(1)} + f_0^{(2)} &= E_0^i \\ f_h^{(1)} + f_h^{(2)} &= 0, \end{aligned} \quad (8.10)$$

որտեղ E_0^i -ն ինտերֆերացափի վրա կատարյալ բյուրեղի ճշգրիտ Բրեգի անկյան տակ ընկնող հարթ ալիքի լայնության է: (8.2) համակարգում փոքր անդամներն անտեսելուց հետո կստանանք՝

$$f_0^{(1)} = \frac{2\sigma}{k\chi_h} f_h^{(1)}, f_0^{(2)} = -\frac{2\sigma}{k\chi_h} f_h^{(2)} : \quad (8.11)$$

Օգտվելով (8.11) կապերից և լուծելով (8.10)-ը՝ կստանանք.

$$f_0^{(1)} = f_0^{(2)} = \frac{E_0^i}{2}, f_h^{(1)} = \frac{k\chi_h}{2\sigma} \frac{E_0^i}{2}, f_h^{(2)} = -f_h^{(1)} : \quad (8.12)$$

Այսպիսով, (8.7)-ի և (8.9)-ի համաձայն՝ թույլ կլանվող ((1) ցուցիչով) դաջտի լրիվ լայնությաների համար առաջին թիթեղի ելքի մակերևույթին կստանանք՝

$$\begin{aligned} E_0^s &= \frac{E_0^i}{2} \exp \left[i \left(\frac{\sigma + \sigma_0}{\cos\theta} T - \frac{k}{4 \cos\theta} \int_0^T \alpha_1 dz' \right) \right], \\ E_h^s &= \frac{k\chi_h}{2\sigma} \frac{E_0^i}{2} \exp \left[i \left(\frac{\sigma + \sigma_0}{\cos\theta} T - \mathbf{h}\mathbf{u}_1^e - \frac{k}{4 \cos\theta} \int_0^T \alpha_1 dz' \right) \right], \end{aligned} \quad (8.13)$$

որտեղ $\sigma_0 = k\chi_0 / 2$, իսկ $\mathbf{u}_1^e(x, y) = \mathbf{u}_1(x, y, T)$ -ը շեղման վեկտորն է առաջին թիթեղի ելքի մակերևույթին:

Դաջտերը երկրորդ թիթեղի M_1 տեղամասում: Դաջտերը երկրորդ հայելային թիթեղի M_1 տեղամասում որոշելու համար նորից օգտվում ենք (8.11) կապերից և սահմանային պայմաններից: Ըստ z -ի S թիթեղի ելքի և M թիթեղի մուտքի միջև հեռավորությունը, ինչպես նաև M թիթեղի ելքի և A թիթեղի մուտքի միջև հեռավորությունը նշանակենք a -ով: M թիթեղի մուտքին M_1 տեղամասում սահմանային պայմաններն ունեն հետևյալ տեսքը.

$$\begin{aligned}
& f_0^{(1)} \exp\left(i \frac{\sigma}{\cos\theta} (T+a)\right) + f_0^{(2)} \exp\left(-i \frac{\sigma}{\cos\theta} (T+a)\right) = 0, \\
& \left[f_h^{(1)} \exp\left(i \frac{\sigma}{\cos\theta} (T+a)\right) + f_h^{(2)} \exp\left(-i \frac{\sigma}{\cos\theta} (T+a)\right) \right] \times \\
& \times \exp\left[i \left(\frac{\sigma_0}{\cos\theta} (T+a) - \mathbf{h}\mathbf{u}_2^i \right)\right] = \frac{k\chi_h}{2\sigma} \frac{E_0^i}{2} \exp\left[i \left(\frac{\sigma+\sigma_0}{\cos\theta} T + \bar{\psi}_1 \right)\right],
\end{aligned} \tag{8.14}$$

որտեղ $\mathbf{u}_2^i(x, y) = \mathbf{u}_2(x, y, T+a)$ ՝ շեղման վեկտորն է M_1 տեղամասի մուտքի մակերևույթին,

$$\bar{\psi}_1(x, y) = \psi_1(x + atg\theta, y), \psi_1(x, y) = -\mathbf{h}\mathbf{u}_1^e - \frac{k}{4 \cos\theta} \int_0^T \alpha_1 dz' : \tag{8.15}$$

(8.14) համակարգի լուծման արդյունքում ստանում ենք դաշտերի արժեքներն M թիթեղի ելքի մակերևույթի M_1 տեղամասում: Մեզ հետաքրքրում է դաշտն անցած ալիքի ուղղությամբ, որի լրիվ լայնույթը՝

$$E_0^{M_1} = \frac{E_0^i}{4} \exp\left[i \left(2T \frac{\sigma + \sigma_0}{\cos\theta} + \bar{\psi}_1 + \mathbf{h}\mathbf{u}_2^i - \frac{k}{4 \cos\theta} \int_{T+a}^{2T+a} \alpha_2 dz' \right)\right] : \tag{8.16}$$

Դաշտերը երկրորդ թիթեղի M_2 տեղամասում: ճիշտ նույն կերպ գրելով սահմանային պայմանները տվյալ տեղամասում, դիֆրակտված ալիքի ուղղությամբ դաշտի լրիվ լայնույթի համար ստանում ենք

$$E_h^{M_2} = \frac{k\chi_h}{2\sigma} \frac{E_0^i}{4} \exp\left[i \left(2T \frac{\sigma + \sigma_0}{\cos\theta} + \bar{\psi}_2 - \mathbf{h}\mathbf{u}_3^e - \frac{k}{4 \cos\theta} \int_{T+a}^{2T+a} \alpha_3 dz' \right)\right], \tag{8.17}$$

որտեղ

$$\bar{\psi}_2(x, y) = \psi_2(x - atg\theta, y), \psi_2(x, y) = -\frac{k}{4 \cos\theta} \int_0^T \alpha_1 dz', \tag{8.18}$$

իսկ $\mathbf{u}_3^e(x, y) = \mathbf{u}_3(x, y, 2T+a)$ -ն շեղման վեկտորն է M_2 տեղամասի ելքի մակերևույթին:

Դաշտերն A թիթեղում: Երրորդ թիթեղի վրա ընկնում են երկու դաշտերը, որոնց ինտերֆերենցն A թիթեղից դուրս եկած երկու՝ C և D փնջերում ձևավորում է մուտքի ինտերֆերենցային գծերը:

C-ի համար անընդհատության պայմանները և համապատասխան հանրահաշվական համակարգի լուծումը հանգեցնում են հետևյալ արտահայտություններին.

$$E_h^{M_1C} = \frac{k\chi_h E_0^i}{2\sigma} \exp \left[i \left(3T \frac{\sigma + \sigma_0}{\cos\theta} + \bar{\psi}_3 - \mathbf{hu}_4^e - \frac{k}{4 \cos\theta} \int_{2(T+a)}^{3T+2a} \alpha_4 dz' \right) \right], \quad (8.19)$$

$$E_h^{M_2C} = \frac{k\chi_h E_0^i}{2\sigma} \exp \left[i \left(3T \frac{\sigma + \sigma_0}{\cos\theta} + \bar{\psi}_4 + \mathbf{hu}_4^i - \mathbf{hu}_4^e - \frac{k}{4 \cos\theta} \int_{2(T+a)}^{3T+2a} \alpha_4 dz' \right) \right],$$

որտեղ կատարված են հետևյալ նշանակումները

$$\bar{\psi}_3(x, y) = \psi_3(x - atg\theta, y), \quad \psi_3(x, y) = \bar{\psi}_1 + \mathbf{hu}_2^i - \frac{k}{4 \cos\theta} \int_{T+a}^{2T+a} \alpha_2 dz', \quad (8.20)$$

$$\bar{\psi}_4(x, y) = \psi_4(x + atg\theta, y), \quad \psi_4(x, y) = \bar{\psi}_2 - \mathbf{hu}_3^e - \frac{k}{4 \cos\theta} \int_{T+a}^{2T+a} \alpha_3 dz': \quad (8.21)$$

ճիշտ նույն կերպ պիքների լայնությունների համար D փնջում ստանում ենք.

$$E_0^{M_1D} = \frac{E_0^i}{8} \exp \left[i \left(3T \frac{\sigma + \sigma_0}{\cos\theta} + \bar{\psi}_5 - \frac{k}{4 \cos\theta} \int_{2(T+a)}^{3T+2a} \alpha_4 dz' \right) \right], \quad (8.22)$$

$$E_0^{M_2D} = \frac{E_0^i}{8} \exp \left[i \left(3T \frac{\sigma + \sigma_0}{\cos\theta} + \bar{\psi}_6 + \mathbf{hu}_4^i - \frac{k}{4 \cos\theta} \int_{2(T+a)}^{3T+2a} \alpha_4 dz' \right) \right],$$

որտեղ

$$\bar{\psi}_5(x, y) = \psi_5(x - atg\theta, y), \quad \psi_5(x, y) = \bar{\psi}_1 + \mathbf{hu}_2^i - \frac{k}{4 \cos\theta} \int_{T+a}^{2T+a} \alpha_2 dz', \quad (8.23)$$

$$\bar{\psi}_6(x, y) = \psi_6(x + atg\theta, y), \quad \psi_6(x, y) = \bar{\psi}_2 - \mathbf{hu}_3^e - \frac{k}{4 \cos\theta} \int_{T+a}^{2T+a} \alpha_3 dz': \quad (8.24)$$

§8.1.3. Ինտերֆերենցային դաշտը վերլուծիչի ելքի մակերևույթին

Ինտերֆերենցային դաշտը վերլուծիչի ելքի մակերևույթին ձևավորվում է C փնջում $E_h^{M_1C}, E_h^{M_2C}$ լայնություններով և D փնջում՝ $E_0^{M_1D}, E_0^{M_2D}$ լայնություններով: Ուժգնություն արտահայտությունը երկու փնջերում էլ նույնն է և ունի հետևյալ տեսքը՝

$$I = \frac{E_0^{(i)2}}{32} \exp \left[-\frac{3\mu T}{\cos\theta} \left(1 - \frac{\chi_{hi}}{\chi_{0i}} \right) \right] (1 + \cos\beta), \quad (8.25)$$

որտեղ $\mu = 2\sigma_{0i}$ -ն գծային կլանման գործակիցն է, $\sigma_{0i} = k\chi_{0i}/2$ -ն σ_0 -ի կեղծ մասն է, χ_{0i} -ն, χ_{hi} -ն բևեռացելիության կեղծ մասի ֆունկցիոնալ ադրիչներն են: Դիֆրակտային կլանման գործակցի արտահայտությունը բերված է կենտրոնահամաչափ բյուրեղի համար: (8.25)-ում փոփոխության ունի հետևյալ տեսքը.

$$\beta = -\mathbf{hu}_1^e + \frac{1}{2} [\mathbf{hu}_2^i(x - atg\theta) + \mathbf{hu}_2^e(x - atg\theta)] + \frac{1}{2} [\mathbf{hu}_3^i(x + atg\theta) + \mathbf{hu}_3^e(x + atg\theta)] - \mathbf{hu}_4^i - \frac{1}{2} tg\theta \frac{\partial}{\partial x} \int_{T+a}^{2T+a} \mathbf{hu}_2 dz' \Big|_{x \rightarrow x - atg\theta} + \frac{1}{2} tg\theta \frac{\partial}{\partial x} \int_{T+a}^{2T+a} \mathbf{hu}_3 dz' \Big|_{x \rightarrow x + atg\theta}, \quad (8.26)$$

ընդ որում, α պարունակող փուլերում հաշվի առնելով, որ $\partial / \partial s_n = \cos\theta \partial / \partial z' - \sin\theta \partial / \partial x$, նախորոք կատարվել է $\partial / \partial z'$ -ով առաջին անգամի ինտեգրում ըստ dz' -ի:

Փորձում, օրինակ երբ հայելային թիթեղում ստեղծում են ջերմաստիճանային գրադի-ենտ, երբեմն ավելի հարմար է օգտագործել նկ.8.2-ում ցույց տրված ինտեգրերաչափը: Համարվում է, որ $a_1 + a_2 = a_3 + a_4 = 2a$: Առանց այստեղ արտածումները ներկայացնելու, որոնք բացարձակապես նման են $a_1 = a_2 = a_3 = a_4 = a$ դեպքում արված արտածումներին, նշենք, որ ուժգնության (8.25) արտահայտությունը մնում է նույնը երկու՝ C, D փնջերում, ընդ որում, այս դեպքում

$$\beta = -\mathbf{hu}_1^e + \frac{1}{2} [\mathbf{hu}_2^i(x - a_2 tg\theta) + \mathbf{hu}_2^e(x - a_2 tg\theta)] + \frac{1}{2} [\mathbf{hu}_3^i(x + a_4 tg\theta) + \mathbf{hu}_3^e(x + a_4 tg\theta)] - \mathbf{hu}_4^i - \frac{1}{2} tg\theta \frac{\partial}{\partial x} \int_{T+a_2}^{2T+a_2} \mathbf{hu}_2 dz' \Big|_{x \rightarrow x - a_2 tg\theta} + \frac{1}{2} tg\theta \frac{\partial}{\partial x} \int_{T+a_3}^{2T+a_3} \mathbf{hu}_3 dz' \Big|_{x \rightarrow x + a_4 tg\theta}: \quad (8.27)$$

§8.1.4. Արդյունքների քննարկում

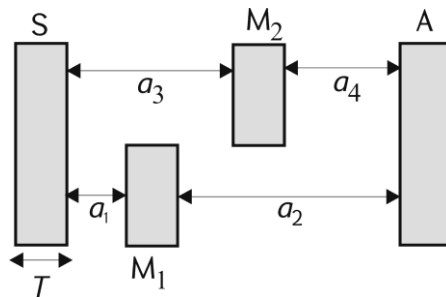
(8.25)-(8.27) արտահայտություններից կարելի է եզրակացնել, թե ինչ ներդրում ունի ինտեգրերաչափի յուրաքանչյուր թիթեղ մուտքի գծերի առաջացման մեջ: Պառակտիչ և վերլուծիչ թիթեղները նման են այն բանով, որ ներդրում են տալիս այդ թիթեղների միայն շեղման վեկտորները: Բայց պառակտիչից ներդրում է տալիս ելքի մակերևույթի շեղման վեկտորը, իսկ վերլուծիչից՝ մուտքի: Պառակտիչի և վերլուծիչի համար կիրառելի է օպտիկական նմանակությունը, բայց այն տարբերությամբ, որ շեղման վեկտորներն ունեն նույն նշանները, այսինքն՝ երկու թիթեղները գործում են որպես մեկ թիթեղ՝ գումարային շեղման վեկտորով, այն դեպքում, երբ օպտիկական նմանակությունը կիրառելիս պետք է վերցնել երկու ցանցերի շեղման վեկտորների տարբերությունը, այսինքն՝ հարաբերական շեղումը:

Հայելային թիթեղը ներդրում է տալիս ինչպես ելքի, այնպես էլ

մուտքի մակերևույթի շեղման վեկտորներով: Հայելային թիթեղն առանձնահատուկ է նաև նրանով, որ ներ-դրում են տալիս նաև դեֆորմացիաները, այնպես որ օպտիկական նմանակությունը հայելային թիթեղի համար կիրառելի է, երբ շեղման վեկտորը կախված չէ x -ից կամ էլ x -ի գծային ֆունկցիա է, որը համարժեք է հաստատուն դիլատացիայի (միջհարթություն-նային հեռավորության փոփոխության), ընդ որում, կախումները z և y կոորդինատներից կարող են լինել կամայական: Նշենք, որ հայելային թիթեղի շեղման վեկտորը ինտերֆերենցող փնջերի փուլերի տարբերության մեջ ունի պառակտիչ և վերլուծիչ թիթեղների շեղման վեկտորներին հակառակ նշան:

Քննարկենք մեկ օրինակ: Դիտարկենք նկ.8.2-ում պատկերված ինտերֆերաչափը: Ենթադրենք՝ M_2 տեղամասում ստեղծված է ջերմաստիճանային գրադիենտ: Այս դեպքում [9,27,247]

$$u_{3x} = \frac{x^2 - \left(z - a_3 - \frac{3T}{2}\right)^2 - y^2}{2R}, \quad (8.28)$$



Նկ.8.2. Ռեևոզենյան ոչ հավասար բազուկներով ինտերֆերաչափ

որտեղ $R = 1/\gamma a_t$ մեծությունը անդրադարձնող հարթությունների կորության շառավիղն է, γ -ն՝ բյուրեղի գծային ջերմային ընդարձակման գործակիցը, a_t -ն՝ հաստատուն ջերմաստիճանային գրադիենտը: Եթե վերջինս ուղղված է x -երի դրական առանցքով, ապա $R < 0$: Թույլ դեֆորմացիաների (8.5) պայմանից հետևում է, որ

$$4 \sin^2 \theta \frac{|x|}{R} \ll |\chi_x|: \quad (8.29)$$

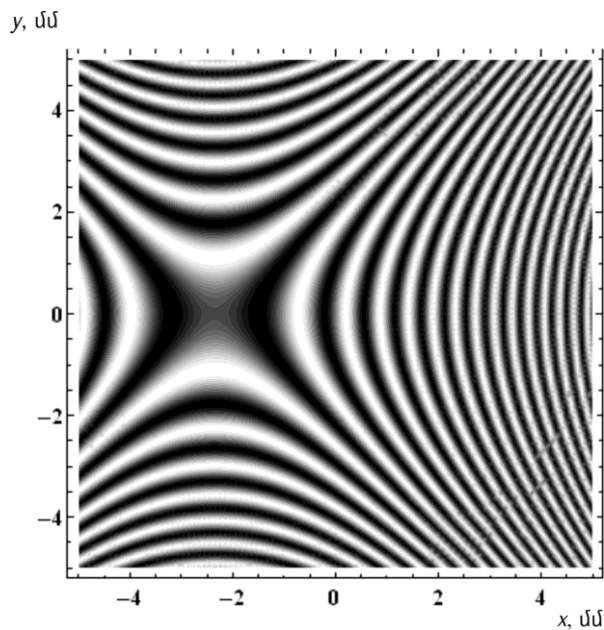
Եթե $|x| \approx 1$ սմ, $|\chi| \approx 10^{-6}$, $\sin \theta \approx 1/6$, ապա (8.29)-ից ստանում ենք՝ $R \gg 10^5$ սմ-ից: Տի համար $\gamma = 2,7 \cdot 10^{-6} (\text{K}^{-1})$: Սա նշանակում է, որ $a_t \ll 34$ սմ: Վերլուծիչի ելքում փուլերի (8.27) տարբերության համար

կստանանք՝

$$\beta = -\frac{h}{2R} \left(x^2 - y^2 + x \varrho a_4 + T \right) \operatorname{tg} \theta + (T + a_4) a_4 \operatorname{tg}^2 \theta - \frac{T^2}{4}, \quad (8.30)$$

որտեղ $h = 2k \sin \theta$: Դիտարկենք $\lambda = 0,71\text{Å}$ ճառագայթման Si(220) անդրադարձումը, $T = 5\text{մմ}$, $a_1 = a_4 = 1\text{սմ}$, $a_2 = a_3 = 2\text{սմ}$, $R = 10^6\text{սմ}$, $a_4 = 0,374/\text{սմ}$, $\mu T = 7,3$: Ինչպես երևում է (8.30)-ից և (8.25)-ից, ուժգնությամբ բաշխումն արված մոտավորությամբ ունենի սահմաններում կախված չէ կիրառված գրադիենտի ուղղությամբ: Այս դեպքին համապատասխանող (8.25) բանաձևով որոշվող մուարի գծերի ուժգնությամբ բաշխումը պատկերված է նկ.8.3-ում:

Թույլ դեֆորմացված բյուրեղներում էյկոնալի տեսությունը հաջողությամբ կարող է կիրառվել նաև էլեկտրոնային ինտերֆերաչափում ինտերֆերենցային գծերի առաջացման մեխանիզմը բացատրելու համար: Չափի առնելով էլեկտրոնային դիֆ-



Նկ.8.3. Եռաթիթեղ ռենտգենյան ինտերֆերաչափում հայելային թիթեղում հաստատուն շերտաստիճանային գրադիենտով պայմանավորված մուարի գծերը:

րակցիայի տեսությամբ կարևորությամբ, ստորև կդիտարկենք էլեկտրոնային դիֆրակցիային վերաբերվող էյկոնալային տեսությունը:

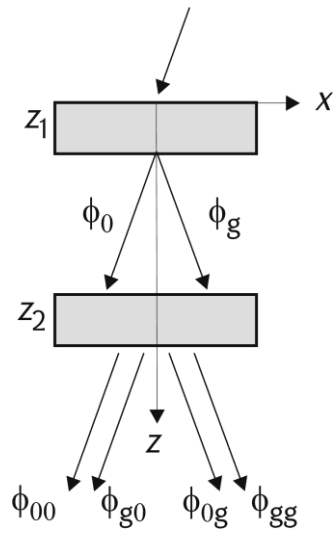
§8.2. Թույլ դեֆորմացված բյուրեղների էլեկտրոնամանրադիտակային մուարի պատկերների առաջացման

տեսական բացատրություն

§8.2.1. Ընդհանուր քանակներ

Հայտնի է, որ տարբեր միջհարթություննային հեռավորությամբ կամ միմյանց նկատմամբ պտտված բյուրեղական ցանցերով բյուրեղների էլեկտրոնամանրադիտակային պատկերներն իրենցից մուար է ներկայացնում: Մուարի պատկերների տեսությունն շարադրված է [248]-ում, որտեղ էլեկտրոնների երկալիքային դինամիկական տեսության հիման վրա քննարկվում է մուարի պատկերների երկրաչափությունը և հաշվարկված են շերտերի ու ժգնությունների բաշխումները:

Միաժամանակ, ստացված տեսական արդյունքները կիրառելի են միայն երկու կատարյալ կամ համասեռ դեֆորմացված բյուրեղների համար: Սակայն շատ դեպքերում բյուրեղները պարունակում են դեֆորմացիայի գրադիենտ պարունակող կառուցվածքային անկատարելություններ, որոնք էապես ազդում են մուարի գծերի ձևի վրա: Ոչ կատարյալ բյուրեղների դեպքում մուարի պատկերների քանակական վերլուծություն կատարվել է այն դեպքի համար, երբ ատոմների հավասարակշռության դիրքից α շեղման ֆունկցիան անփոփոխ էլեկտրոնային փնջի տարածման ուղղու-



Նկ.8.4. Երկբյուրեղ համակարգում էլեկտրոնների դիֆրակցիայի սխեման

թյամբ: Ընդ որում, ինտերֆերենցող ալիքների միջև փուլերի տարբերությունը $2\pi g\alpha$ է, որտեղ g -ն անդրադարձնող հարթությունների համապատասխանող հակադարձ ցանցի վեկտորն է, և մուարի շերտերը կարելի է կառուցել օպտիկական նմանակության

եղանակով [249]: Այդ կերպ [249]-ում, օրինակ, ստացվել են բյուրեղի մակերևույթին ուղղահայաց դիսլոկացիաների պատկերները: Ընդհանուր դեպքում դաշտերի որոշումը զգալի դժվարությունների է հանդիպում դեֆորմացիաների և բյուրեղում ալիքների փուլերի միջև կապի բացահայտման բարդություններից:

Էլեկտրոնների դիֆրակցիայի նկարագրությունն էապես դյուրին է թույլ դեֆորմացված բյուրեղների դեպքում, երբ ալիքների տարածումն ունի քվադրիասական բնույթ [250]: Այդ դեպքում դիսպերսային մակերևույթի նույն ճյուղի անցած և դիֆրակտված ալիքների փուլերը տարբերվում են $\sigma(\epsilon - \alpha)$ գումարելիով, որը սկզբունքորեն կարող է հնարավորություն տալ ըստ ինտերֆերենցային պատկերի որոշել ու դեֆորմացիաները:

Ստորև դիտարկվում է ինտերֆերենցային էլեկտրոնամանրադիտակային պատկերի դինամիկական տեսությունը, երբ բյուրեղն ունի ըստ խորության դանդաղ փոփոխվող դեֆորմացիաներ: Ցույց է տրվել, որ բավական հաստ բյուրեղի դեպքում, երբ ուժեղ կլանվող ճյուղը բյուրեղում ճնշված է, ինտերֆերենցային դաշտը երկու դեֆորմացված բյուրեղների դեպքում հնարավորություն է տալիս վերականգնել առմաների շեղման ֆունկցիաները:

Դիտարկենք էլեկտրոնների հաջորդական դիֆրակցիան երկու՝ z_1 և z_2 հաստություններով բյուրեղներում (նկ.8.4): Ենթադրենք՝ դեֆորմացիաները բյուրեղում թույլ են, այնպես որ դեֆորմացիայի փոփոխման բնութագրական երկարությունն ըստ խորության մեծ է, քան էքստինկցիոն ξ_g երկարությունը: Թույլ դեֆորմացիայի պայմանն ունի հետևյալ տեսքը՝

$$\frac{\pi}{\xi_g^2} \gg 2 \left| \frac{d\beta_g'}{dz} \right|, \quad (8.31)$$

որտեղ $\beta_g' = (1/2\pi)\alpha\alpha' / dz$, $\alpha = 2\pi g a$: Այս դեպքում էլեկտրոնների ցրումը կրում է քվադրիասական բնույթ, և անցած ու դիֆրակտված ալիքների $\Phi_0(\epsilon)$ և $\Phi_g(\epsilon)$ լայնույթները կարելի է որոշել, օգտվելով Յոլի-Ուելանի հավասարումների լուծման ասիմպտոտական եղանակից [250]: Այդ մոտավորությամբ լայնույթները հետևյալ տեսքի

լ ու ծ ու մ-ների գծային համակցություններ են.

$$\begin{aligned}\Phi_0(\mathbf{r}) &= \left(\frac{dP}{dz}\right)^{-1/2} \exp\left[\frac{i}{2}f(z) - i\frac{\pi z}{\xi_0}\right] \left\{C_0^1 \exp[iP(z)] + C_0^2 \exp[-iP(z)]\right\}, \\ \Phi_g(\mathbf{r}) &= \left(\frac{dP}{dz}\right)^{-1/2} \exp\left[-\frac{i}{2}f(z) - i\frac{\pi z}{\xi_0}\right] \left\{C_g^1 \exp[iP(z)] + C_g^2 \exp[-iP(z)]\right\},\end{aligned}\quad (8.32)$$

որտեղ $f(z) = \alpha(z) - \alpha(z_0)$, z_0 -ն դիտարկվող բյուրեղի մուտքի մակերևույթի կոորդինատն է: (8.32)-ում էյկոնալային $P(z)$ ինտեգրալն որոշվում է հետևյալ արտահայտությամբ՝

$$P(z) = \frac{\pi}{\xi_g} \int_{z_0}^z dz \sqrt{1 + \xi_g^2 \beta_g^2}: \quad (8.33)$$

(8.32) լ ու ծ ու մներում ընկնող ալիքի՝ Բրեգի անկյունից շեղումը որոշող վեկտորը՝ $\mathbf{s} = 0$, քանի որ բյուրեղի պտույտներն y առանցքի շուրջը կարելի է հաշվի առնել ըստ z -ի գծային ֆունկցիայով: Տարբեր բյուրեղների դեպքը ոչ հավասար միջհարթություննային հեռավորություններով կարելի է հաշվի առնել նրանցից որևէ մեկի համասեռ դեֆորմացիայով, ընդ որում, ատոմների շեղման վեկտորն այդ դեպքում՝ $u_x = x(\Delta d/d)$:

C_0^i և C_g^i հաստատունները որոշվում են բյուրեղի մուտքի $z = z_0$ մակերևույթի վրասահմանային պայմաններով

$$\begin{aligned}C_0^1 + C_0^2 &= \Phi_0^{(in)}, \\ C_g^1 + C_g^2 &= \Phi_g^{(in)}, \\ \left(\frac{dP}{dz}\right)^{-1/2} \left[C_0^1 \left(\frac{dP}{dz} - \frac{1}{2} \frac{df}{dz}\right) - C_0^2 \left(\frac{dP}{dz} + \frac{1}{2} \frac{df}{dz}\right) \right] &= -\frac{\pi}{\xi_g} \Phi_g^{(in)} \exp(i\alpha), \\ \left(\frac{dP}{dz}\right)^{-1/2} \left[C_g^1 \left(\frac{dP}{dz} + \frac{1}{2} \frac{df}{dz}\right) - C_g^2 \left(\frac{dP}{dz} - \frac{1}{2} \frac{df}{dz}\right) \right] &= -\frac{\pi}{\xi_g} \Phi_0^{(in)} \exp(-i\alpha): \end{aligned}\quad (8.34)$$

$\Phi_0^{(in)}$ -ն և $\Phi_g^{(in)}$ -ն անցած և դիֆրակտված ալիքների ուղղությամբ ընկած ալիքների լայնություններն են բյուրեղի մուտքի մակերևույթին:

Առաջին բյուրեղի համար ընկնող ալիքների լայնությունը՝ $\Phi_0^{(in)} = 1$ և $\Phi_g^{(in)} = 0$, և (8.34) համակարգի լ ու ծ ու մներն ունեն հետևյալ տեսքը.

$$C_0^{1,2} = \frac{1}{2} \left(\frac{dP_1(0)}{dz} \right)^{-1/2} \left[\frac{dP_1(0)}{dz} \pm \frac{1}{2} \frac{df_1(0)}{dz} \right],$$

$$C_g^{1,2} = \pm \frac{\pi}{\xi_g} \left(\frac{dP_1(0)}{dz} \right)^{-1/2} \exp[-i\alpha_1(0)].$$
(8.35)

$\Phi_0(z_1)$ և $\Phi_g(z_1)$ լայնույթներով ալիքներն ընկնում են երկրորդ բյուրեղի վրա և այնտեղ դիֆրակտվում: Այդ ալիքներից յուրաքանչյուրը երկրորդ բյուրեղում առաջացնում է երկուական ալիք՝ Φ_{00}, Φ_{0g} անցած և Φ_{g0}, Φ_{gg} դիֆրակտված ալիքների ուղղություներով: Այդ լայնույթների C_{00}^i, C_{0g}^i և C_{g0}^i, C_{gg}^i հաստատունները նույնպես որոշվում են (8.34)-ից, բայց երկրորդ բյուրեղի մուտքի մակերևույթին ընկնող ալիքների Φ_{00}, Φ_{0g} լայնույթներն այս դեպքում տրվում են

$$\Phi_{00}^{(in)}(z_1) = \Phi_0(z_1),$$

$$\Phi_{0g}^{(in)} = 0,$$
(8.36)

սահմանային պայմաններով և Φ_{g0}, Φ_{gg} -ի համար՝

$$\Phi_{g0}^{(in)} = 0,$$

$$\Phi_{gg}^{(in)} = \Phi_g(z_1):$$
(8.37)

(8.36) և (8.37) առնչություները տեղադրելով (8.34)-ի մեջ՝ որոնվող $C_{00}^i, C_{0g}^i, C_{g0}^i, C_{gg}^i$ հաստատունների համար ստանում ենք հետևյալ արտահայտությունները.

$$\begin{aligned}
C_{00}^1 &= \frac{1}{2} \left[\frac{dP_2(z_1)}{dz} \right]^{-1/2} \left[\frac{dP_2(z_1)}{dz} + \frac{1}{2} \frac{df_2(z_1)}{dz} \right] \Phi_0(z_1), \\
C_{00}^2 &= \frac{1}{2} \left[\frac{dP_2(z_1)}{dz} \right]^{-1/2} \left[\frac{dP_2(z_1)}{dz} - \frac{1}{2} \frac{df_2(z_1)}{dz} \right] \Phi_0(z_1), \\
C_{0g}^1 &= -C_{0g}^2 = -\frac{\pi}{2\xi_g} \left[\frac{dP_2(z_1)}{dz} \right]^{-1/2} \exp[-i\alpha_2(z_1)] \Phi_0(z_1), \\
C_{gg}^1 &= \frac{1}{2} \left[\frac{dP_2(z_1)}{dz} \right]^{-1/2} \left[\frac{dP_2(z_1)}{dz} + \frac{1}{2} \frac{df_2(z_1)}{dz} \right] \Phi_g(z_1), \\
C_{gg}^2 &= \frac{1}{2} \left[\frac{dP_2(z_1)}{dz} \right]^{-1/2} \left[\frac{dP_2(z_1)}{dz} - \frac{1}{2} \frac{df_2(z_1)}{dz} \right] \Phi_g(z_1), \\
C_{g0}^1 &= -C_{g0}^2 = \frac{\pi}{2\xi_g} \left[\frac{dP_2(z_1)}{dz} \right]^{-1/2} \exp[i\alpha_2(z_1)] \Phi_g(z_1) :
\end{aligned} \tag{8.38}$$

(8.32) և (8.38) բանաձևերը լիովին որոշում են ալիքային դաշտը երկրորդ բյուրեղի ելքի մակերևույթին: Մուտքի պատկերներն առաջանում են անցած ալիքի ուղղությամբ Φ_{00} և Φ_{g0} լայնույթների վերադրմամբ և դիֆրակտված ալիքի ուղղությամբ Φ_{0g} և Φ_{gg} լայնույթների վերադրմամբ և գրացվում են այդ փնջերը բաժանվելուց հետո:

Այսպիսով՝ մուտքի պատկերներից յուրաքանչյուրը ձևավորվում է առաջին բյուրեղից դուրս եկած երկու փնջերով երկրորդ բյուրեղում գրգռված ալիքների վերադրումով:

Ընդհանուր դեպքում այդ ալիքներից յուրաքանչյուրն ունի 4 գումարելի $\pm P_1(z_1) \pm P_2(z_1)$ փուլներով, և մուտքի պատկերներն ունեն բավականաչափ բարդ տեսք: Սահմանափակվենք հաստ բյուրեղի դեպքով՝

$$\frac{\pi Z}{\text{Im } \xi_g} \gg 1, \tag{8.39}$$

երբ երկու բյուրեղներում էլ ուժեղ կլանվող ճյուղերը վերանում են: Այդ դեպքում երկրորդ բյուրեղի ելքի մակերևույթին ալիքների փուլներն ունեն պարզ տեսք, և անցած ու դիֆրակտված ալիքների ուժգնությունները տրվում են հետևյալ առնչություններով՝

$$I_0(x, y, z_1 + z_2) = C_0 \left| \exp \left[-i \frac{\pi (z_1 + z_2)}{\xi_0} - iP_1(z_1) - iP_2(z_1 + z_2) \right] \right|^2 \times$$

$$\times \left| \left[\frac{dP_1(0)}{dz} - \frac{1}{2} \frac{df_1(0)}{dz} \right] \left[\frac{dP_2(z_1)}{dz} - \frac{1}{2} \frac{df_2(z_1)}{dz} \right] \exp [i\alpha_1(z_1)] - \frac{\pi^2}{\xi_g^2} \exp [i\alpha_2(z_1)] \right|^2, \quad (8.40)$$

$$I_g(x, y, z_1 + z_2) = C_g \left| \exp \left[-i \frac{\pi (z_1 + z_2)}{\xi_0} - iP_1(z_1) - iP_2(z_1 + z_2) \right] \right|^2 \times$$

$$\times \left| \left[\frac{dP_2(z_1)}{dz} - \frac{1}{2} \frac{df_2(z_1)}{dz} \right] \exp [-i\alpha_1(z_1)] + \left[\frac{dP_1(0)}{dz} - \frac{1}{2} \frac{df_1(0)}{dz} \right] \exp [-i\alpha_2(z_1)] \right|^2,$$

որտեղ

$$C_0 = \left| \frac{dP_1(0)}{dz} \frac{dP_1(z_1)}{dz} \frac{dP_2(z_1)}{dz} \frac{dP_2(z_1 + z_2)}{dz} \right|^2, \quad C_g = \frac{|\xi_g|}{\pi} C_0 : \quad (8.41)$$

(8.40) և (8.41) բանաձևերը ելակետային են թույլ դեֆորմացված բյուրեղների մուարի պատկերների տեսքի հաշվարկի համար:

§8.2.2. Մուարի շերտերի տեսքը

Բյուրեղի՝ (8.40), (8.41) բանաձևերով որոշվող ելեկտրոնամանրադիատակային պատկերն իրենից ներկայացնում է ինտերֆերենցային պատկեր ու ժգնություն

$$I(x, y, z_1 + z_2) = I_1 + I_2 + 2\sqrt{I_1 I_2} \cos[\alpha_1(z_1) - \alpha_2(z_1)]: \quad (8.42)$$

բաշխումով: (8.42)-ից անմիջապես հետևում է, որ հաստկլանող թույլ դեֆորմացված բյուրեղների դիտարկվող դեպքում ինտերֆերենցային դաշտը որոշվում է բյուրեղների սահմանային մակերևույթների իրական ցանցերի վերադրումով, այնպես որ մուարի պատկերների օպտիկական նմանակությունը ճիշտ է ոչ միայն ըստ բյուրեղի հաստության անփոփոխ առումների շեղման ֆունկցիաների, այլ նաև կամայական դեֆորմացիաների դեպքում, որոնք բավարարում են (8.31), (8.39) պայմաններին: Ակնհայտ է նաև, որ այն արատները, որոնք սահմանով անընդհատորեն շարունակվում են մի բյուրեղից մյուսը, չեն երևա մուարի պատկերի վրա, քանի որ այդ դեպքում $\alpha_1(z_1) = \alpha_2(z_1)$: Այն դեպքում, երբ շեղման դաշտի $\alpha_1(z_1)$, $\alpha_2(z_1)$ ֆունկցիաներն ունեն ըստ x -ի և y -ի գծային անդամներ, ինտերֆերենցային պատկերը կազմված է դիլատացիոն, պտտական կամ խառը մուարի շերտերից: Դա դժվար չէ ցույց տալ, քանի որ այդ դեպքում $P_1(z)$ և $P_2(z)$ (8.33) էյկոնալային ֆունկցիաներն ունեն պարզ

տեսք՝

$$P_1(z) = P_2(z) = \frac{\pi z}{\xi_g}, \quad (8.43)$$

այնպես որ (8.40)-ը և (8.41)-ը հանգում են միմյանց նկատմամբ պտտված և տարբեր միջհարթություննային հեռավորություններով բյուրեղներով անցած և դիֆրակտված ալիքների ուժգնությունների արտահայտություններին [248]: Նշենք, որ զուգահեռ շերտերով պատկեր կարող է առաջանալ ոչ միայն նշված դեպքերում, այլ նաև ճկված բյուրեղներից: Այսպես, օրինակ, եթե բյուրեղը ճկված է y առանցքի շուրջը, ապա շեղման ֆունկցիայի բաղադրիչը դիֆրակցիայի վեկտորի ուղղությամբ՝

$$u_x = \frac{xz}{r_x}, \quad (8.44)$$

որտեղ r_x -ը ճկման շառավիղն է և, ինչպես հետևում է (8.42)-ից, մուարի պատկերը կազմված է $x = const$ գծերից, որոնց պարբերությունը որոշվում է

$$\Lambda_m = \frac{r_x d}{z} \quad (8.45)$$

արտահայտությամբ, որտեղ d -ն միջհարթություննային հեռավորությունն է:

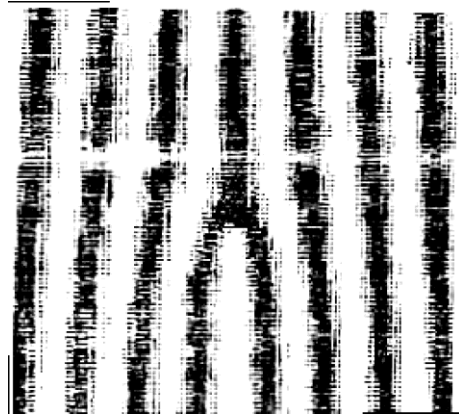
Ընդհանուր դեպքում ինտերֆերենցային պատկերը կարող է ունենալ ոչ միայն բնութագրական շերտավոր տեսք, այլ նաև բավական կամայական δ : Կամայական $\alpha_1(z_1)$ և $\alpha_2(z_1)$ շեղման դաշտերի դեպքում մուարի շերտերի δ -ը որոշվում է

$$\alpha_1(z_1) - \alpha_2(z_1) = 2\pi m, \quad m = 0, \pm 1, \pm 2, \dots \quad (8.46)$$

արտահայտությամբ: Այսպիսով, ինչպես հետևում է (8.46)-ից, երկու թույլ դեֆորմացված բյուրեղների մուարի պատկերն այդ բյուրեղների սահմանի առումների հարաբերական շեղման $u_{1x}(z_1) - u_{2x}(z_1)$ ֆունկցիայի հաստատուն արժեքների գծերի համախումբն է:

Այն դեպքում, երբ բյուրեղներից մեկն ունի կատարյալ կառուցվածք, մուարի պատկերը որոշվում է դեֆորմացված բյուրեղի մուտքի մակերևույթի առումների շեղման ֆունկցիայի հաստատուն արժեքների գծերով, եթե կատարյալ է առաջին բյուրեղը, և դեֆորմացված բյուրեղի ելքի մակերևույթի՝ եթե կատարյալ է երկրորդ բյուրեղը:

Էական է այն, որ մուարի պատկերի ուժգնության բաշխման թվային արժեքներով ոչ էական հաստատունի ճշտությամբ կարելի է որոշել երկու բյուրեղների մակերևույթների ատոմների շեղման ֆունկցիաները: Այսպիսով, ստացված արդյունքները ցույց են տալիս, որ ըստ հաստատության դանդաղ փոփոխվող դեֆորմացիաներով



Նկ.8.5. Բյուրեղի մակերևույթին ուղղահայաց եզրային դիսլոկացիայի մուարի պատկերը (թվային հաշվարկ)

բավական հաստ բյուրեղները ձևավորում են ինտերֆերենցային պատկեր, որը հնարավորություն է տալիս անմիջականորեն, առանց նախնական տիպարավորման, վերականգնել ու նմուշի մակերևույթի կառուցվածքը:

Նկ.8.5-ում ներկայացված է երկբյուրեղ համակարգի բյուրեղներից մեկում մուտքի մակերևույթին ուղղահայաց եզրային դիսլոկացիայով ինտերֆերաչափում հաշվարկային մուարի պատկերը: Բյուրեղներն ունեն տարբեր միջհարթությունային հեռավորություններ: Նկարի վրա երևում են շերտերի կորացումը և ընդհանուր դիֆրակցիոն մուարի պատկերի վրա դիսլոկացիայով պայմանավորված լրացուցիչ շերտի առաջացումը:

§8.3. Էլեկտրոնամանրադիտակային ցանցային շերտերի մեկնաբանումը

Էլեկտրոնամանրադիտակային հիմնական եղանակներից մեկը երկու կոհե-րենստ՝ օրինակ՝ անցած և դիֆրակտված, փնջերով ձևավորված փուլային ցայտունության պատկերների ստացումն է [249,251]: Բյուրեղի կատարյալ ցանցով տեղամասից ստացված այդպիսի պատկերներն իրենցից ներկայացնում են զուգահեռ

ցանցային շերտերի համակարգ միջհարթությունային d հեռավորությանը հավասար պարբերություններ: Այս իմաստով այդ պատկերները կոչվում են բյուրեղական ցանցի ուղիղ պատկեր: Միաժամանակ բյուրեղի դեֆորմացված տեղամասերից ստացված պատկերներն ունեն բավական բարդ տեսք և միշտ է, որ դրանք կարող են դեֆորմացված տեղամասի պատկերը լինել [251]: Այդ իսկ պատճառով այդ պատկերներն արդյունավետ օգտագործվում են արատներով բյուրեղների թռիչքածև փոփոխվող միջհարթությունային հեռավորությամբ տեղամասերի ուսումնասիրության համար:

Ստորև ուսումնասիրվել են ըստ խորության դանդաղ փոփոխվող դեֆորմացիաներով բյուրեղների փուլային ցայտունության պատկերները: Նման դեֆորմացիաներով բյուրեղներում էլեկտրոնների դինամիկական դիֆրակցիան նկարագրվում է քվադրասական մոտավորությամբ [250]: Քվադրասական մոտավորության ընդհանուր բանաձևերի հիման վրացույց է տրվել, որ բավական հաստ բյուրեղում էլեկտրոնների ցրման դեպքում անցած և դիֆրակտված փնջերի վերադրումը ձևավորում է դեֆորմացված ցանցի ուղիղ պատկերը: Դա հնարավորություն է տալիս անմիջականորեն վերականգնել ու ատոմի հավասարակշռության դիրքից շեղման ֆունկցիան:

Երկալիքային դինամիկական դիֆրակցիայի պայմաններում էլեկտրոնի լրիվ ալիքային ֆունկցիան ունի հետևյալ տեսքը՝

$$\Psi(\mathbf{r}) = \varphi_0(z) \exp[2\pi i \mathbf{K} \mathbf{r}] + \varphi_g(z) \exp[2\pi i \mathbf{K} + \mathbf{g} + \mathbf{s} \mathbf{r}], \quad (8.47)$$

որտեղ $\varphi_0(z)$ -ը և φ_g -ն անցած և դիֆրակտված ալիքների լայնություններն են, \mathbf{K} -ն էլեկտրոնի ալիքային վեկտորն է վակուումում, \mathbf{g} -ն՝ հակադարձ ցանցի վեկտորը, \mathbf{s} -ը՝ ընկնող փնջի բրեգյան ճշգրիտ պայմանից շեղումը որոշող վեկտորը:

Դիտարկենք բյուրեղի թույլ դեֆորմացված տեղամասերը, որտեղ ըստ խորության դեֆորմացիայի փոփոխման բնութագրական երկարությունը մեծ է ξ_g էքստինկցիոն երկարությունից: Էլեկտրոնների ցրումն այս դեպքում կրում է քվադրասական բնույթ, երբ տարածվում են երկու դիսպերսային ճյուղերին պատկանող ալիքներ՝ առանց միջճյուղային ցրման: Բացահայտ

տեսքով քվադրոնային պայմանը տրվում է (8.31)-ով: Այդ պայմանի իրականացման դեպքում էլեկտրոնների դինամիկական դիֆրակցիայի Յոզի-Ուելանի հավասարումների լուծումներն են՝ [250]

$$\begin{aligned}\varphi_0(z) &= \exp\left[i\left(\pi sz + \frac{\pi z}{\xi_0} + \frac{\alpha(z) - \alpha(0)}{2}\right)\right] \left[\varphi_0^{(1)} \exp(iP) + \varphi_0^{(2)} \exp(-iP)\right], \\ \varphi_g(z) &= \exp\left[i\left(-\pi sz + \frac{\pi z}{\xi_0} - \frac{\alpha(z) + \alpha(0)}{2}\right)\right] \left[\varphi_g^{(1)} \exp(iP) + \varphi_g^{(2)} \exp(-iP)\right],\end{aligned}\quad (8.48)$$

որտեղ էյկոնալային $P(z) = \text{Re} P(z) + i \text{Im} P(z)$ ֆունկցիան ընդհանուր դեպքում առաջին մոտավորությամբ որոշվում է հետևյալ

$$P(z) = \frac{\pi}{\xi_g} \int_0^z dz' [1 + \bar{w}^2(z')]^{1/2} + \frac{i\pi}{\xi'_g} \int_0^z dz' [1 + \bar{w}^2(z')]^{-1/2} \quad (8.49)$$

առնչությունից, որտեղ $\bar{w}(z) = w + \xi_g \beta'_g(z)$, $w = s\xi_g$, ξ'_g -ն էքստինկցիոն երկարության կլանումով պայմանավորված կեղծ մասն է, ξ_0 -ն և ξ'_0 -ը որոշվում են ներբյուրեղային պոտենցիալի զրոյական ֆունկցիոնալադրիչով [249]: $\varphi_0^{(1,2)}$, $\varphi_g^{(1,2)}$ լայնույթները տրվում են հետևյալ բանաձևերով.

$$\begin{aligned}\varphi_0^{(1,2)} &= \frac{1}{2} \left[\frac{dP(0)}{dz} \mp \frac{\pi \bar{w}(0)}{\xi_g} \right] \left[\frac{dP(0)}{dz} \frac{dP(z)}{dz} \right]^{1/2}, \\ \varphi_g^{(1,2)} &= \pm \frac{\pi}{2\xi'_g} \left[\frac{dP(0)}{dz} \frac{dP(z)}{dz} \right]^{1/2}:\end{aligned}\quad (8.50)$$

Ընդհանուր դեպքում էլեկտրոնային դաշտը բյուրեղում ունի չորս գումարելի, որոնց վերադրումն առաջացնում է բավական բարդ ինտերֆերենցային պատկեր: Սակայն, եթե բյուրեղի հաստությունն այնպիսին է, որ տեղի ունի հաստ բյուրեղի (8.39) պայմանը և ուժեղ կլանվող ճյուղը ճնշված է, ապա ինտերֆերենցային պատկերն էապես պարզենում է: (8.48)-ը և (8.49)-ը տեղադրելով (8.47)-ի մեջ և հաշվի առնելով, որ $\exp[-\text{Im} P(z)] \ll 1$, բյուրեղի $z = t$ ելքի մակերևույթին $s = 0$ դեպքում ուժգնության համար կստանանք՝

$$I = \Psi \Psi^* = \exp\left[-\frac{2\pi t}{\xi'_0} + 2 \text{Im} P(t)\right] \left\{ \left| \varphi_0^{(2)} \right|^2 + \left| \varphi_g^{(2)} \right|^2 + 2 \text{Re} \left[\varphi_0^{(2)} \varphi_g^{(2)*} \exp[2\pi i g(t - u)] \right] \right\}: \quad (8.51)$$

Ուժգնություն արտահայտություն մեջ $\text{Im } P(x, y, t), \varphi_0^{(2)}(x, y, t), \varphi_g^{(2)}(x, y, t)$ մեծությունները միջատոմական հեռավորությունների դեպքում դանդաղ են փոփոխվում: Այստեղից հետևում է, որ պատկերի յուրաքանչյուր 10 \AA չափով տեղամասում այդ մեծությունները կարելի է համարել հաստատուն $\exp[2\pi i g(x-u)]$ արագ փոփոխվող ֆունկցիայի համեմատությամբ և, հետևաբար, շերտերի մաքսիմումները որոշվում են

$$x = nd + u_x(x, y, t), \quad (n\text{-ն ամբողջ թիվ է}) \quad (8.52)$$

հավասարումից, որը համապատասխանում է բյուրեղի էլիքի մակերևույթի անդրադարձ-նող հարթությունների ուղղակի պատկերին:

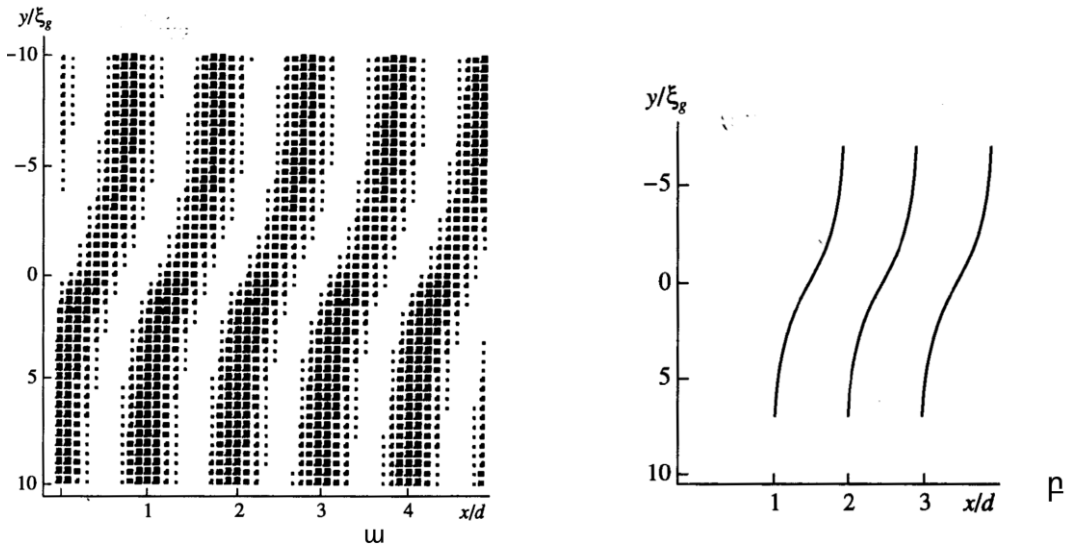
Այսպիսով՝ կարելի է եզրակացնել, որ էլեկտրոնամանրադիտակային փուլային ցայ-տունության պատկերներն $\text{Im } P(x, y, t), \varphi_0^{(2)}(x, y, t), \varphi_g^{(2)}(x, y, t)$ ֆունկցիաների փոփոխման պատճառով չլինելով հաստատուն ուժգնության գծեր, միաժամանակ ուղիղ պատկերն են բյուրեղի անդրադարձնող հարթությունների այն տիրույթների, որտեղ տեղի ունեն (8.31) և (8.39) պայմանները: Դեֆորմացված ցանցի ուղիղ պատկերի ստացումը պայմանավորված է էլեկտրոնների ցրման քվազիդասականությամբ, երբ միջճյուղային ցրման բացակայության պայմաններում դիսպերսային մակերևույթի նույն ճյուղին պատկանող ալիքների փուլերի տարբերությունը $2\pi g(x-u)$ է:

Ինտերֆերենցային պատկերի տեսանելիությունը, ինչպես հայտնի է, պայմանավորված է վերադրվող ալիքների ուժգնությունների հավասարությամբ: (8.50)-ից հետևում է, որ դեֆորմացված ցանցի ուղղակի պատկերի տեսանելիությունը կախված է մուտքի մակերևույթի դեֆորմացիայից և որոշվում է հետևյալ պայմանից՝

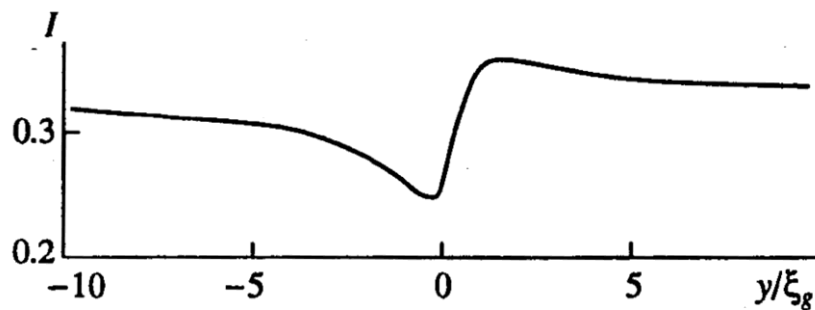
$$\frac{dP(0)}{dz} + \frac{\pi \bar{w}(0)}{\xi_g} \approx \frac{\pi}{\xi_g}: \quad (8.53)$$

Թույլ ՝ $|g\beta'_g(0)| \ll 1$ դեֆորմացիաների դեպքում $\varphi_0^{(2)}$ և $\varphi_g^{(2)}$ լայնություններին համապատասխանող ուժգնություններն ակնհայտորեն հավասար են:

Ստացված արդյունքների լուսաբանման նպատակով նկ.8.6.ա-ում պատկերված է պտուտակային դիսլոկացիայի փուլային ցայտունության պատկերն ըստ (8.51)-ի, իսկ նկ.8.6.բ-ում՝ անդրադարձնող հարթության նների հետքերը բյուրեղի էլիմակերևույթին



Նկ. 8.6. ա. Փուլային ցայտունության հաշվարկային պատկերը. բ. անդրադարձնող հարթության նների հետքը էլիմակերևույթին. (պտուտակային դիսլոկացիա պարունակող Δu բյուրեղ, (200) անդրադարձում, $t/\xi_g = 4$, $z_0/\xi_g = 1$, $g_b = 2$):



Նկ. 8.7. Ուժգնության փոփոխությունը (8.52)-ով որոշվող առանձին վերցված ցանցային գծերկայնքով:

ըստ (8.52)-ի: Դիսլոկացիան գուգահեռ է հակադարձ ցանցի ցվեկտորին և ընկած է z_0 խորության ունում: Նկ.8.7-ում պատկերված է ուժգնության բաշխումն առանձին վերցված ինտերֆերենցային գծի վրա: Երևում է, որ թեև նկ.8.6 ա-ի ցանցային ինտերֆերենցային գծերը հաստատուն ուժգնության գծեր չեն, սակայն երկրաչափորեն դրանք լիովին համընկնում են անդրադարձնող հարթության նների հետքերի հետ:

ԵՉՐԱԿԱՏՈՒ ԹՅՈՒՆ ԱՏԵՆԱԿՈՍՈՒ ԹՅԱՆ ԵՐԿՐՈՐԴ ՄԱՍԻ

1. Առաջարկվել և տեսականորեն հետազոտվել է ՅուՆԿԻՄԵՆՏԵՆԱՊԻՖՐԱԿՏԱՅ ԻՆ ՍԽԵՄԱՆ: Ուսումնասիրվել է ինտերֆերենցային գծերի տեսանելիությունը՝ կախված ընկնող ալիքի մեներանգության աստիճանից, աղբյուրի չափերից, ճեղքերի չափերից, Բրեգի ճշգրիտ անկյուններից շեղումից, «աղբյուր-բյուրեղ» հեռավորությունից և բևեռացման վիճակից:
2. Առաջարկվել և տեսականորեն հետազոտվել է մեկբյուրեղային կոհերենտ դինամիկական դիֆրակտային ֆուրիե-հոլոգրաֆիան: ՅուՆԿԵՍՏԵՆՆԱՊԻՖԵՆՆԱՅ ԻՆ ԱՆԳՄԱՆ ԳՈՐԾԱԿԻԳՆԸ ԿԱՐԵԼԻ ԵՎ ԵՐԱԿԱՆՁՆԵԼ՝ ԳՐԱՆԳՎԱԾ ԻՈՒՆԳՐԱՄԸ ԼՈՍԱՎՈՐԵԼ ՈՎ ԼՈՆԿՍՈՎ:
3. Առաջարկվել են միաչափ և երկչափ առարկաների պատկերների վերականգնման երկու տարբեր սխեմաներ: Որպես օրինակ դիտարկվել է կոսինուսարդային ցանցի հոլոգրամի գրանցումը և Լայնոթային անցման գործակցի վերականգնումը: Ապացուցվել է, որ վերականգնված Լայնոթային անցման գործակցից համընկնում է առարկայի իրական Լայնոթային անցման գործակցի հետ:
4. Առաջարկվել և տեսականորեն ուսումնասիրվել է մեկբյուրեղային կոհերենտ դինամիկական դիֆրակտային ֆրաունհոֆերյան հոլոգրաֆիայի եղանակը: Դինամիկական դիֆրակցիայի տեսության հիման վրա հաստ կլանող բյուրեղի դեպքում ապացուցվել է, որ բյուրեղի կլանման հաշվառմամբ հոլոգրամի վրա ուժգնության բաշխման արտահայտությունը օպտիկայից հայտնի արտահայտության նմանակն է: Դիտարկվել է բացարձակ կլանող Լարի հոլոգրամի գրանցման և ԼՈՆԿՍՈՎ վերականգնման օրինակը: Չարգացվել է վերականգնման իտերացիոն թվային եղանակ, որը հաշվի է առնում նաև ֆոնային անդամների ուղղումները: Բերիլիումե Լարի համար թվային եղանակով վերականգնվել է Լայնոթային անցման գործակցից:
5. Առաջարկվել և տեսականորեն հետազոտվել են կոհերենտ ինտերֆերաչափական հոլոգրաֆիայի ֆրենելյան և ֆուրիե-ինտերֆերաչափական հոլոգրաֆիական սխեմաներ:
6. Ռենտգենյան ինտերֆերաչափական ֆրենելյան հոլոգրաֆիայի եղանակի տեսական վերլուծությունը ցույց է տվել, որ հոլոգրամի ուժգնության բաշխման արտահայտությունն ինտերֆերաչափի թիթեղներում կլանման հաշվառմամբ համընկնում է օպտիկայից

հայ տնի ֆրենելյան հոլոգրամի ուժգնության բաշխման արտահայտության հետ: Որպես օրինակ դիտարկվել է ճեղքի հոլոգրամի գրանցումը և ճեղքի պատկերի վերականգնումը, որը հիմնավորում է լայնությանին անցման գործակցի միջոցով առարկայի պատկերը վերականգնելու հնարավորությունը:

7. Չարգացվել է ռենտգենյան ինտերֆերաչափական ֆուրիե-հոլոգրաֆիայի եղանակի տեսությունը, ըստ որի գրանցված հոլոգրամի ուժգնության թվային եղանակով հակադարձ ֆուրիե-ձևափոխությամբ հնարավոր է վերականգնել առարկայի լայնությանին անցման գործակիցը: Առաջարկվել են թվային եղանակով վերականգնման մոտավոր, իտերացիոն և քայլային եղանակներ: Քայլային եղանակով վերականգնվել է բերիլիումե լարի լայնությանին անցման գործակիցը, որը համընկնում է առարկայի լայնությանին անցման գործակցի հետ:

8. Առաջարկված բոլոր հոլոգրաֆիական սխեմաներում գնահատվել են փորձարարական բնորոշ պայմաններում լուծունակության արժեքները:

9. Չարգացվել է ռենտգենյան ինտերֆերաչափության էյկոնալային տեսությունը: Եռաթիթեղ ինտերֆերաչափի բոլոր թիթեղներում թույլ դեֆորմացիաների առկայությանամբ ստացվել են ինտերֆերաչափից դուրս եկած փնջերի ուժգնությունների արտահայտությունները: Վերլուծվել է յուրաքանչյուր թիթեղի դերը մուարի պատկերը ձևավորվելիս: Որոշվել են օպտիկական նմանակության կիրառելիության սահմանները: Ստացվել է արտահայտություն մուարի գծերի տեղային պարբերությունների համար: Հաշվարկվել են հայելային թիթեղում ջերմաստիճանային գրադիենտի հետևանքով առաջացած մուարի գծերի ուժգնությունը, երկրաչափական տեսքը, տեղային պարբերությունը, կապ է հաստատվել ջերմաստիճանային գրադիենտի արժեքի և տեղային պարբերության միջև:

10. Չարգացվել է երկբյուրեղ էլեկտրոնամանրադիտակային մուարի պատկերների առաջացման էյկոնալային տեսությունը և ստացվել է վերլուծական արտահայտություն փնջերի ուժգնության համար: Մուարի գծերը երկու բյուրեղների սահմանի շեղման վեկտորների տարբերության հաստատուն գծերն են, որն ապացուցվել է դիսլոկացիա պարունակող թիթեղով

ինտերֆերացիայի միջոցով ձևավորված մուսիկայի պատկերի օրինակով:

11. Էլեկտրոնամանրադիտակային ցանցային շերտերի մեկնաբանման համար զարգացվել է Էյկոնալի տեսությունը և ցույց է տրվել, որ բավականաչափ հաստ բյուրեղում անցած և դիֆրակտված փնջերի վերադարձումը ձևավորում է դեֆորմացված ցանցի ուղիղ պատկերը, որն իր հերթին հնարավորություն է տալիս անմիջականորեն վերականգնել ու ատոմի՝ հավասարակշռության դիրքից շեղման ֆունկցիան: Ցանցային ինտերֆերենցային գծերը հաստատուն ու ժգնության գծեր չեն, սակայն երկ-րաչափորեն դրանք լիովին համընկնում են անդրադարձնող հարթությունների հետքերի հետ:

Իմ առանձնահատուկ շնորհակալությունը և խորին երախտագիտությունն եմ հայտնում ՀՀ ԳԱԱ թղթակից անդամ, \$իզ.մաթ.գիտ. դոկտոր, պրոֆեսոր Ա.Ա.Կիրակոսյանին՝ աշխատանքի ընթացքում ցուցաբերած մշտական աջակցության, ուշադրության և արժեքավոր խորհուրդների համար:

Իմ խորին շնորհակալությունն եմ հայտնում \$իզ.մաթ.գիտ. դոկտոր Լ.Վ.Լևոնյանին՝ գիտական արժեքավոր քննարկումների, խորհուրդների և մշտական աջակցության համար:

ՅԱՎԵԼՎԱԾ. Էյ կոնալ ը և հետագծերը մուտքի ոչ հարթ մակերևույթով բյուրեղում

Օգտվելով (2.28), (2.35), (2.38) բանաձևերից, (2.30) պայմաններից, ինչպես նաև $|x_0/R_{x1}| \ll 1, |y_0/R_{y1}| \ll 1$ մոտավորություներից, C_1, C_2, C_3 հաստատունները որոշելու համար ստանում ենք հետևյալ համակարգը.

$$\frac{k}{2L_s} (x_0^2 \cos^2 \theta + y_0^2) - \frac{k\chi_0}{4 \cos \theta} \left(\frac{x_0^2}{R_{x1}} + \frac{y_0^2}{R_{y1}} \right) = C_1 x_0 + C_2 y_0 + \frac{1}{2 \cos \theta} \left(\frac{x_0^2}{R_{x1}} + \frac{y_0^2}{R_{y1}} \right) \left(\sigma + \frac{C_1^2 \sin^2 \theta}{2\sigma} - \frac{C_2^2}{2k} \right) + C_3, \quad (3.1)$$

$$\frac{k}{L_s} x_0 \cos^2 \theta - \frac{k\chi_0}{2 \cos \theta} \frac{x_0}{R_{x1}} = C_1 + \frac{\sigma x_0}{R_{x1} \cos \theta},$$

$$\frac{k}{L_s} y_0 - \frac{k\chi_0}{2 \cos \theta} \frac{y_0}{R_{y1}} = C_2 + \frac{\sigma y_0}{R_{y1} \cos \theta},$$

որտեղից, հաշվի առնելով (2.41)-ը, գտնում ենք հաստատունները.

$$C_1 = \frac{\sigma \cos \theta}{z_{x1} \sin^2 \theta} x_0, \quad C_2 = -\frac{k \cos \theta}{z_{y1}} y_0, \quad C_3 = -\frac{\sigma \cos \theta}{2 z_{x1} \sin^2 \theta} x_0^2 + \frac{k \cos \theta}{2 z_{y1}} y_0^2 : \quad (3.2)$$

(3.2)-ը տեղադրելով էյ կոնալի (2.28) արտահայտության մեջ՝ ստանում ենք ընդհանուր ինտեգրալը: Յետագծերի որոշման համար կազմում ենք (2.31) համակարգը՝

$$\begin{aligned} \Phi_{x_0}(x, y, z, C_1(x_0, y_0), C_2(x_0, y_0), C_3(x_0, y_0)) &= 0, \\ \Phi_{y_0}(x, y, z, C_1(x_0, y_0), C_2(x_0, y_0), C_3(x_0, y_0)) &= 0, \end{aligned} \quad (3.3)$$

որի բացահայտ տեսքը հետագծերի հավասարումն է՝

$$x - x_0 \left(1 - \frac{z}{z_{x1}} \right) = 0, \quad y - y_0 \left(1 - \frac{z}{z_{y1}} \right) = 0 : \quad (3.4)$$

x_0 -ն և y_0 -ն արտահայտելով x -ով և y -ով և տեղադրելով (2.28) արտահայտության մեջ, որտեղ արդեն C_1, C_2, C_3 -ը հաստատուններն արտահայտված են x_0 -ով և y_0 -ով (ընդհանուր ինտեգրալ), ստանում ենք սահմանային պայմանների հավասարող էյ կոնալ բյուրեղում՝

$$\Phi = \frac{\sigma z}{\cos \theta} - \frac{\sigma \cos \theta}{2 \sin^2 \theta} \frac{x^2}{z - z_{x1}} + \frac{k \cos \theta y^2}{2(z - z_{y1})} : \quad (3.5)$$

ԳՐԱԿԱՆՈՒԹՅՈՒՆ

1. Darvin C.G., The theory of X-ray reflection. *Phil. Mag.* **27**, 315–333 (1914).
2. Evald P.P., Zur begründung der Kristalloptik. Teil III. Die Kristalloptik der Roöntgenstrahlen. *Annalen der physik. Vierte Folge.* **54**, N23, 519-556. **54**, N24, 557–597 (1917).
3. Laue M.V., Die dynamische theorie der röntgenstrahlinterferenzen in neuer form. *Ergebnisse exakt. Naturwis.*, **10**, 133–158 (1931).
4. Laue M.V., Röntgenstrahl - Interferenzen. Frankfurt am Main, Akademische Verlagsgesellschaft, 1960, 476 p.
5. Zachariasen W.H., Theory of X-ray diffraction in crystals. Dover publications, INC. New York, 1967, 249 p.
6. James R.W., The dynamical theory of X-ray diffraction. *Solid State Phys.*, **15**, 53–220 (1963).
7. Джеймс Р., Оптические принципы диффракции рентгеновских лучей. Иноздат, М., 1950, 572с.
8. Пинскер З.Г., Рентгеновская кристаллооптика. Наука, М., 1982, 392с.
9. Authier A., Dynamical theory of X-ray diffraction. University press, Oxford, 2001, 661p.
10. Kato N., Lang A.R., A study of Pendellösung fringes in X-ray diffraction. *Acta Cryst.*, **12**, 787–794 (1959).
11. Kato N., A theoretical study of Pendellösung fringes. Part 1. General considerations. *Acta Cryst.*, **14**, 526–532 (1961).
12. Kato N., A theoretical study of Pendellösung fringes. Part 2. Detailed discussion based upon a spherical-wave theory. *Acta Cryst.*, **14**, 627–636 (1961).
13. Kato N., Spherical-wave theory of dynamical X-ray diffraction for absorbing perfect crystals. I. The crystal wave-fields. *J. Appl. Phys.*, **39**, 2225-2230 (1968).
14. Kato N., Spherical-wave theory of dynamical X-ray diffraction for absorbing perfect crystals. II. Integrated reflection power. *J. Appl. Phys.*, **39**, 2231–2237 (1968).
15. Tamasaku K., Ishikawa T., Quantitative determination of the spatial coherence from the visibility of equal-thickness fringes. *Acta Cryst.*, **A57**, 197–200 (2001).
16. Афанасьев А.М., Кон В.Г., Динамическая теория дифракции сферической рентгеновской волны. *Общий формализм. ФТТ*, **19**, N6, 1775–1783 (1977).
17. Левонян Л.В., О дифракционной фокусировке рентгеновских лучей. *Письма в ЖТФ*, **7**, N5, 269–272 (1981).
18. Levonian L.V., Interference fringes of intrabranсh scattering for X-ray spherical-wave

- diffraction in a perfect crystal. *Phys. stat. sol. (a)*, **68**, K199–K202 (1981).
19. Kohn V.G., Snigireva I., Snigirev A., Theory of imaging of a perfect crystal under the conditions of spherical wave dynamical diffraction. *Phys. stat. sol. (b)*, **222**, 407–423 (2000).
 20. Труни К.Г., Варданян Д.М., Безирганян А.П., Приближение сферических рентгеновских волн в случае Брэгга. *Изв. АН Арм. ССР, Физика*, **8**, 118–124 (1973).
 21. Арутюнян Л.А., Труни К.Г., Дифракция сферической рентгеновской волны на кристаллической пластинке (брэгговская геометрия). *Металлофизика*, **7**, N1, 15–22 (1985).
 22. Kohn V.G., On the theory of the Bragg reflection in the case of multiple X-ray diffraction. *Phys. stat. sol. (a)*, **54**, N1, 375–384 (1979).
 23. Тонеян А.Г., Кон В.Г., Кузьмин Р.Н., Шестиволновая дифракция рентгеновских лучей в случае смещанной Брэгг-Лауэ геометрии. *Кристаллография*, **29**, вып. 2, 203–209 (1984).
 24. Bezirganyan P.A., Gabrielyan R.T., Kohn V.G., Toneyan A.H., Six-beam X-ray diffraction in Ge single crystals. *Phys. stat. sol. (a)*, **85**, N2, 349–358 (1984).
 25. Kohn V.G., Toneyan A.H., On the theory of six-beam X-ray spherical wave diffraction. *Acta Cryst.*, **A42**, N6, 441–449 (1986).
 26. Кон В.Г., О фокусировке сферической рентгеновской волны совершенным кристаллом в условиях многоволновой дифракции. *Металлофизика*, **10**, вып. 2, 78–85 (1988).
 27. Penning P., Polder D., Anomalous transmission of X-ray in elastically deformed crystals. *Phillips Res. Repts.*, **16**, N2, 419–440 (1961).
 28. Kato N., Ando Y., Contraction of pendellösung fringes in distorted crystals. *J. Phys. Soc. Japan*, **21**, 964–968 (1966).
 29. Takagi S., Dynamical theory of diffraction applicable to crystals with any kind of small distortion. *Acta Cryst.*, **15**, 1311–1312 (1962).
 30. Takagi S., A dynamical theory of diffraction for a distorted crystal. *J. Phys. Soc. Jpn.*, **26**, 1239–1253 (1969).
 31. Владимиров В.С., Уравнения математической физики. Наука, М., 1982, 512с.
 32. Слободецкий И.Ш., Чуховский Ф.Н., Инденбом В.Л., Дифракция рентгеновских лучей в условиях пространственно-неоднородной задачи. *Письма в ЖЭТФ*, **8**, N2, 90–94 (1968).
 33. Authier A., Simon D., Application la theorie de S.Takagi au contrast d'un default plan

- en topographic par rayons X. I. Fault depilement. *Acta Cryst.*, **A24**, 517–526 (1968).
34. Uragami T.S., Pendellösung fringes of X-rays in Bragg case. *J. Phys. Soc. Jpn.*, **27**, 147–154 (1969).
 35. Afanas'ev A.M., Kohn V.G., Dynamical diffraction of X-rays diffraction in crystals with defects. *Acta Cryst.*, **A27**, 421–430 (1971).
 36. Чуховский Ф.Н., Динамическое рассеяние рентгеновских лучей в кристалле, изогнутом в плоскости волнового фронта. *Кристаллография*, **19**, 482–488 (1974).
 37. Katagawa T., Kato N., The exact dynamical wave fields for a crystal with a constant strain gradient on the basis of Takagi-Taupin equations. *Acta Cryst.*, **A30**, 830–836 (1974).
 38. Litsman O., Janacek Z., The exact solution of Takagi's equations for the dynamical X-ray diffraction in an elastically bent crystal. *Phys. stat. sol. (a)*, **50**, 285–291 (1974).
 39. Чуховский Ф.Н., Петрашень П.В., Эффект диффракционной фокусировки рентгеновских лучей в упруго-изогнутом кристалле. *Письма в ЖЭТФ*, **69**, 477–487 (1975).
 40. Петрашень П.В., Чуховский Ф.Н., Динамическое рассеяние рентгеновских лучей в кристалле с постоянным градиентом деформации. *ЖЭТФ*, **69**, 477–487 (1975).
 41. Чуховский Ф.Н., Петрашень П.В., Динамическая диффракционная фокусировка рентгеновских лучей упруго-изогнутым кристаллом. *Докл. АН СССР*, **228**, 1087–1090 (1976).
 42. Janacek Z., Kubena J., Holy V., X-ray Laue diffraction from a bent crystal. Integrated intensity. *Phys. stat. sol. (a)*, **50**, 285–291 (1978).
 43. Чуховский Ф. Н., Габриелян К.Т., Петрашень П.В., Точное решение задачи динамической брэгговской дифракции рентгеновских лучей в упруго-изогнутом кристалле. *Докл. АН СССР*, **38**, 81–84 (1978).
 44. Chukhovskii F.N., Gabrielyan K.T., Petrashen P.V., The dynamical theory of X-ray Bragg diffraction from a crystal with a uniform strain gradient. The Green-Riemann functions. *Acta Cryst.*, **A34**, 610–621 (1978).
 45. Chukhovskii F.N., Shtol'berg A.A., Dynamic scattering of X-rays by dislocations. *Sov. Phys. JETP*, **37**, 525–529 (1973).
 46. Кон В.Г., Метод траекторий в теории Лауэ дифракции рентгеновских лучей в кристалле. I. Общие формулы и оценка точности. *Кристаллография*, **52**, 625–630 (2007).
 47. Кон В.Г., Метод траекторий в теории Лауэ дифракции рентгеновских лучей в кристалле. II. Эффект полного отражения при изгибной деформации.

- Кристалло-графия, **53**, 203–209 (2008).
48. Солимено С., Крозиньяни Б., Ди Порто П., Дифракция и волноводное распространение оптического излучения. Мир, М., 1989, 662с.
 49. Authier A., Malgrange C., Tournarie M., Etude theorique de la propagation des rayons X dans un crystal parfait ou legerement deforme. Acta Cryst. **A24**, 126–136 (1968).
 50. Epeboin Y., Problems in the numerical calculation of the contrast of defects in X-ray traverse topographs. Acta Cryst., **A33**, 758–767 (1977).
 51. Epeboin Y., A varying-step algorithm for numerical integration of Takagi-Taupin equations. Acta Cryst., **A39**, 761–767 (1983).
 52. Арутюнян Л.А., Оганесян Г.М., Труни К.Г., Моделирование дифракции рентгеновской волны в системах кристалл-вакуум. Известия НАН Армении, Физика, **37**, 335–341 (2002).
 53. Кривоглаз М.А., Дифракция рентгеновских лучей и нейтронов в неидеальных кристаллах. Наукова думка, Киев, 1983, 407с.
 54. Dedericsh P.H., Effect of defect clustering on anomalous X-ray transmission. Phys. Rev. B, **1**, 1306–1317 (1970).
 55. Kato N., Statistical dynamical theory of crystal diffraction. I. General formulation. Acta Cryst., **A36**, 763–769 (1980).
 56. Kato N., Statistical dynamical theory of crystal diffraction. II. Intensity distribution and integrated intensity in the Laue cases. Acta Cryst., **A36**, 770–778 (1980).
 57. Holy V., X-ray reflection curves of crystals with randomly distributed microdefects in the Bragg case. Acta Cryst., **A39**, 642–646 (1983).
 58. Holy V., Dynamical X-ray diffraction from crystals with precipitates. I. Theory of the Bragg case. Acta Cryst., **A40**, 675–679 (1984).
 59. Holy V., Gabrielyan K., Dyson and Bethe-Salpeter equations for dynamical X-ray diffraction in crystals with randomly placed defects. Phys. Stat. sol. (b), **140**, 39–50 (1987).
 60. Polyakov A.M., Chukhovskii F.N., Piskunov D.I., Dynamic scattering of X-rays in distorted crystals: statistical theory. Sov. Phys. JETP, **72**, 330–340 (1991).
 61. Hartwig J., X-ray diffraction in the extremely asymmetric Laue case with a small angle between the crystal surface and the incident beam. Phys. stat. sol. (a), **42**, 495–500 (1977).
 62. Brummer O., Höche H.R., Nieber J., Some remarks on extremely asymmetric X-ray diffraction in the Laue case of grazing incidence. Phys. stat. sol. (a), **46**, K131–K133

- (1978).
63. Kishino S., Kohra K., Theoretical considerations on Bragg-case diffraction of X-rays at a small glancing angle. *Jap. J. Appl.Phys.*, **10**, 551–557 (1971).
 64. Rustichelli F., On the deviation from the Bragg law and the widths of diffraction patterns in perfect crystals. *Phyl. Mag.*, **31**, 1–12 (1975).
 65. Kishino S., Noda A., Kohra K., Anomalous enhancement of transmitted intensity in asymmetric diffraction of X-rays from a single crystal. *J. Phys. Soc. Jap.*, **33**, 158–166 (1972).
 66. Bedynska T., X-ray diffraction in the range of two diffracted beams for extremely asymmetric case. *Phys. stat. sol. (a)*, **25**, 405–411 (1974).
 67. Härtwig J., X-ray diffraction in an extremely asymmetric Laue case. *Phys. stat. sol. (a)*, **37**, 417–425 (1976).
 68. Kishino S., Anomalous transmission in Bragg-case diffraction of X-rays. *J. Phys. Soc. Jap.*, **31**, 1168–1173 (1971).
 69. Bedynska T., On X-ray diffraction in an extremely asymmetric case. *Phys. stat. sol. (a)*, **19**, 365–372 (1973).
 70. Härtwig J., On the integrated reflectivity of perfect crystals in extremely asymmetric Bragg cases of X-ray diffraction. *Acta Cryst.*, **A37**, 802–804 (1981).
 71. Afanas'ev A.M., Melkonyan M.K., X-ray diffraction under specular reflection conditions. Ideal crystals. *Acta Cryst.*, **A39**, 207–210 (1983).
 72. Aleksandrov P.A., Afanasiev A.M., Stepanov S.A., Bragg-Laue diffraction in inclined geometry. *Phys. stat. sol. (a)*, **86**, 143–154 (1984).
 73. Bezirganyan P.H., Aivazyan A.P., Application of the invariance principle for the diffraction of X-rays in real crystals. *Phys. stat. sol. (a)*, **100**, 389–400 (1987).
 74. Амбарцумян В.А., Научные труды, в трех томах, Издательство АН Арм. ССР, Ере-ван, т.1 и т.2, 1960, т.3, 1988.
 75. Балян М.К., Левонян Л.В., Усовершенствованная теория дифракции рентгеновских волн в условиях зеркального отражения. *Известия НАН Армении, Физика*, **35**, 309–319 (2000).
 76. Khachaturyan G., Levonyan L., Kocharyan V., Crystal relief investigation under the X-ray diffraction on surface acoustic wave in Bragg-Laue grazing geometry. *Acta Cryst.*, **A61**, C435 (2005).
 77. Левонян Л.В., Кочарян В.Р., Рентгеновская френелевская топография кристалла с вогнутой поверхностью в скользящей геометрии при наличии поверхностной акустической волны. *Нано- и микросистемная техника*, **7**, 12–16

- (2005).
78. Mkrtchyan A.R., Kocharyan V.R., Levonyan L.V., Khachatryan G.K., Study of X-ray diffraction from a surface acoustic wave in the grazing geometry with allowance for the curvature of the unperturbed crystal surface. *Cryst. Reports*, **51**, S44–S54 (2006).
 79. Kohra K., Matsushita T., Some characteristics of dynamical diffraction at a Bragg angle of about $\pi/2$. *Z.Naturforsch*, **A27**, 484–487 (1972).
 80. Bruümmer O., Höche H.R., Nieber J., X-ray diffraction in the Bragg case at Bragg angles of about $\pi/2$. *Phys. stat. sol.*, **A53**, 565–570 (1979).
 81. Caticha A., Caticha-Ellis S., Dynamical theory of X-ray diffraction at Bragg angles near $\pi/2$. *Phys. Rev.*, **B25**, 971–984 (1982).
 82. Bezirganyan A.P., Bezirganyan P.A., Solution of the two-dimensional stationary Schrödinger equation with cosine-like coefficient (in view of X-ray diffraction). *Phys. stat. sol. (a)*, **105**, 345–355 (1988).
 83. Bezirganyan A.P., X-ray reflection from and transmission through a plane-parallel dielectric plate with cosine-like polarizability (symmetrical Laue case; (θ close on $\pi/2$)). *Phys. stat. sol. (a)*, **109**, 101–110 (1988).
 84. Bezirganyan A.P., Bezirganyan H.A. (Jr.), Bezirganyan S.E., Bezirganyan (Jr.) P.A., Specular beam suppression and enhancement phenomena in the case of grazing-angle incidence X-rays backdiffraction by the crystal with stacking fault. *Opt. Comm.*, **238**, 13–28 (2004).
 85. Kohn V.G., Kohn I.V., Manykin E.A., Diffraction of X-rays at a Bragg angle of $\pi/2$ (back reflection) with consideration of multywave effects. *JETP*, **89**, 500–507 (1999).
 86. Köhler R., Möhling W., Peibst H., Influence of acoustic lattice vibrations on dynamical X-ray diffraction. *Phys. stat. sol. (b)*, **61**, 173–180 (1974).
 87. Энтин И.Р., Эффект резонансного подавления ультразвуком аномального прохождения рентгеновских лучей. *Письма в ЖЭТФ*, **26**, 392–394 (1977).
 88. Энтин И.Р., Суворов Э.В., Кобелев Э.П., Соيفер Я.М., Рентгеноакустический резонанс в совершенном кристалле кремния. *ФТТ*, **20**, 1311–1315 (1978).
 89. Энтин И.Р., О динамической дифракции рентгеновских лучей на кристалле с периодическим полем смещений. *ЖЭТФ*, **77**, 214–222 (1979).
 90. Мкртчян А.Р., Навасардян М.А., Габриэлян Р.Г., Кочарян Л.А., Галоян К.Г., Асланян Л.А., Полное зеркальное отражение излучения ангстремных длин волн на ультразвуковой сверхрешетке в случае Лауэ геометрии. *Письма в ЖТФ*, **9**, 1181–1184 (1983).

91. Мкртчян А.Р., Навасардян М.А., Мирзоян В.К., Полная переброска рентгеновского излучения, дифрагированного монокристаллом от направления прохождения в направление отражения под действием температурного градиента. Письма в ЖТФ, **8**, 677–680 (1982).
92. Gabrielyan R.G., Mkrтчyan A.R., Aslanyan H.A., Kotandyan Kh.V., On the theory of X-ray diffraction on oscillating piezocrystals. Phys. stat. sol. (a), **92**, 361–368 (1985).
93. Благоев А.Е., Особенности дифракции рентгеновских волн на кристаллах, промодулированных низкочастотным ультразвуком. Диссертация на соискание ученой степени кандидата физико-математических наук, Москва, 2006, 136с.
94. Иржак Д.В., Брэгговская дифракция рентгеновского излучения на кристаллах, промодулированных поверхностными акустическими волнами. Диссертация на соискание ученой степени кандидата физико-математических наук, Черноголовка, 2002, 144с.
95. Хапачев Ю.П., Колпаков А.В., Кузнецов Г.Ф., Кузьмин Р.Н., Кинематическая и динамическая дифракция рентгеновых лучей на одномерной сверхрешетке. Крис-таллография, **24**, 430–438 (1979).
96. Хапачев Ю.П., Кузнецов Г.Ф., Динамическая дифракция рентгеновского излучения в гармонической сверхрешетке. Кристаллография, **28**, 27–31 (1983).
97. Vardanyan D.M., Manoukyan H.M., Petrosyan H.M., The dynamic theory of X-ray diffraction on the one-dimensional ideal superlattice. I. Diffraction on the arbitrary super-lattice. Acta Cryst., **A41**, 212–217 (1985).
98. Vardanyan D.M., Manoukyan H.M., Petrosyan H.M., The dynamic theory of X-ray diffraction on the one-dimensional ideal superlattice. II. Calculation of structure factors for some superlattices. Acta Cryst., **A41**, 218–222 (1985).
99. Левонян Л.В., Манукян А.М., Динамическая дифракция сферической рентгеновской волны на сверхрешетке. Известия НАН РА, Физика, **51**, 95–101 (2016).
100. Носик В.Л., Теория дифракции рентгеновских лучей и нейтронов на идеальных и деформированных сверхрешетках. Диссертация на соискание ученой степени кандидата физико-математических наук, Москва, 1993, 185с.
101. Пунегов В.И., Дифракция рентгеновских лучей в многослойных и градиентных кристаллах со статистически распределенными микродефектами. Диссертация на соискание ученой степени доктора физико-математических наук, Сыктывкар, 1996, 396с.
102. Дышеков А.А., Теория динамической рентгеновской дифракции в кристаллах с

- переменным градиентом деформации и ее применение для анализа гетеро-структур и сверхрешеток. Диссертация на соискание ученой степени доктора фи-зикоматематических наук, Нальчик, 2000, 241с.
103. Левонян Л.В., Когерентные дифракционные явления при рассеянии сферической рентгеновской волны на плоских кристаллах. Диссертация на соискание ученой степени кандидата физико-математических наук, Ереван, 1984, 130с.
 104. Левонян Л.В., Когерентные явления в рентгеновской френелевской кристалло-оптике. Диссертация на соискание ученой степени доктора физико-математичес-ких наук, Ереван, 2007, 271с.
 105. Габриелян К.Т., Брэгговская трехмерная дифракция рентгеновских лучей на иде-альном кристалле. Межвузовский сборник научных трудов, Физика, **вып.1**, 19–25 (1992).
 106. Hrdy J., X-ray inclined lens. *J. Synchrotron Rad.*, **5**, 1206–1210 (1998).
 107. Hrdy J., Siddons D.P., X-ray focusing using an inclined Bragg-reflection lens. *J. Synch-rottron Rad.*, **6**, 973–978 (1999).
 108. Hrdy J., Hrda J., Meridional focusing of X-rays diffracted onto a single crystal with a transversal groove (Bragg-diffraction asymmetric lens). *J. Synchrotron Rad.*, **7**, 78–80 (2000).
 109. Hrdy J., Artemiev N., Freund A., Quintana J., Diffractive-refractive optics for focusing hard x-ray beams. *Proc. SPIE*, **4501**, 88–98 (2001).
 110. Hrdy J., Ziegler E., Artemiev N., Franc F., Hrda J., Begault T., Freund A.K., First observation of meridional focusing of an X-ray beam using diffraction by a crystal with a transverse groove. *J. Synchrotron Rad.*, **8**, 1203–1206 (2001).
 111. Artemiev N., Hrdy J., Peredkov S., Artemev A., Freund A., Ticoulou R., Sagittal focusing of synchrotron radiation diffracted on the walls of a longitudinal hole drilled into a single-crystal monochromator. *J. Synchrotron Rad.*, **8**, 1207–1213 (2001).
 112. Hrdy J., Hozzovska J., Mocuta C., Artemiev N., Freund A., Diffractive refractive optics: the possibility of sagittal focusing in Laue-case diffraction. *J. Synchrotron Rad.*, **10**, 233–235 (2003).
 113. Moliere G., Quantenmechanische theorie der röntgenstrahlinterferenzen in kristallen. I. Ableitung und algemine diskussion der dymamischen grundgleichungen. *Ann. Phys. (Leipzig)*, **35**, 272–296 (1939).
 114. Moliere G., Quantenmechanische theorie der röntgenstrahlinterferenzen in kristallen. II. Dinamische theorie der brechung, reflexion und absorption von röntgenstrahlen.

- Ann. Phys. (Leipzig), **35**, 297–313 (1939).
115. Moliere G., Ausbau der quantenmechanischen dispersionstheorie im sinne eines von M. von Laue stammenden verfahrens. Ann. Phys. (Leipzig), **36**, 265–274 (1939).
 116. Ashkin M., Kuriyama M., Quantum theory of X-ray diffraction by a crystal. J. Phys. Soc. Jpn., **21**, 1549–1558 (1966).
 117. Ohtsuki Y.H., Yanagawa S., Dynamical theory of diffraction. I. Electron diffraction. J. Phys. Soc. Jpn., **21**, 326–334 (1966).
 118. Ohtsuki Y.H., Yanagawa S., Dynamical theory of diffraction. II. X-ray diffraction. J. Phys. Soc. Jpn., **21**, 502–506 (1966).
 119. Kuriyama M., Theory of X-ray diffraction by a distorted crystal. J. Phys. Soc. Jpn., **23**, 1369–1379 (1967).
 120. Kuriyama M., Theory of X-ray diffraction by a distorted crystal. II. Scattering amplitude for a wave packet of finite size. J. Phys. Soc. Jpn., **25**, 846–855 (1968).
 121. Luh Sh.-W., Chang Sh.-L., A quantum approach to X-ray multiple diffraction. Acta Cryst., **A44**, 662–667 (1988).
 122. Nazarkin A., Podorov S., Uschmann I., Förster E., Sauerbrey R., Nonlinear optics in the angstrom regime: Hard-x-ray frequency doubling in perfect crystals. Phys. Rev., **A67**, 041804(4) (2003).
 123. Tamasaku K., Ishikawa K., Interference between Compton Scattering and X-Ray Para-metric Down-Conversion. Phys. Rev. Lett., **98**, 244801(4) (2007).
 124. Tamasaku K., Ishikawa K., Idler energy dependence of nonlinear diffraction in X → X + EUV parametric down-conversion. Acta Cryst., **A63**, 437–438 (2007).
 125. Conti C., Fratlocchi A., Ruocco G., Sette F., Nonlinear optics in the X-ray regime: non-linear waves and self-action effects. Opt. Express, **16**, 8324–8331 (2008).
 126. Tamasaku K., Shigemasa E., Yuichi I. et. al., X-ray two-photon absorption competing against single and sequential multiphoton processes. Nature Photon Lett., **8**, 313–316 (2014).
 127. Doumi G., Roedig C., Son S.-K. et. al., Nonlinear atomic response to intense ultra-short X-rays. Phys. Rev. Lett., **106**, 083002(4) (2011).
 128. Son S.-K., Chapman H.N., Santra R., Multiwavelength anomalous diffraction at high X-ray intensity. Phys. Rev. Lett., **107**, 218102 (5) (2011).
 129. Bushuev V.A., Diffraction of X-ray free electron laser femtosecond pulses on single crystals in the Bragg and Laue geometry. J. Synchrotron Rad., **15**, 495–505 (2008).
 130. Левонян Л.В., Труни К.Г., Динамическая теория рассеяния в кристаллах рентгеновского излучения с конечной длительностью цуга. Изв. АН Арм. ССР,

- Физика, **13**, 108–113 (1978).
131. Левонян Л.В., Труни К.Г., К вопросу дифракции рентгеновского излучения с конечной длительностью цуга в совершенных кристаллах. Изв. АН Арм. ССР, Физика, **14**, 253–260 (1979).
 132. Chukhovskii F.N., Förster E., Time dependent X-ray Bragg diffraction. Acta Cryst., **A51**, 668–672 (1995).
 133. Wark J.S., Lee R.V., Simulations of femtosecond X-ray diffraction from unperturbed and rapidly heated single crystals. J. Appl. Cryst., **32**, 692–703 (1999).
 134. Misalla T., Uschmann I., Förster E., Jenke J., von der Linde D., Monochromatic focusing of subpicosecond X-ray pulses in the keV range. Rev. Sci. Instrum., **70**, 1288–1299 (1999).
 135. Shastri S.D., Zambianchi P., Mills D.M., Dynamical diffraction of ultrashort X-ray free electron laser pulses. J. Synchrotron Rad., **8**, 1131–1135 (2001).
 136. Graeff W., Short X-ray pulses in a Laue-case crystal. J. Synchrotron Rad., **9**, 82–85 (2002).
 137. Graeff W., Tailoring the time response of a Bragg reflection to short X-ray pulses. J. Synchrotron Rad., **11**, 261–265 (2004).
 138. Bushuev V.A., Change in the spatial coherence function at Bragg reflection of an X-ray beam. Bulletin of the Russian academy of sciences, Physics, **73**, 52–56 (2009).
 139. Bushuev V.A., Effect of the thermal heating of a crystal on the diffraction of pulses of a free electron X-ray laser. Bulletin of the Russian academy of sciences, Physics, **77**, 15–20 (2013).
 140. Bushuev V.A., Samoylova V., Influence of diffraction in crystals on the coherence properties of X-ray free electron laser pulses. Crystallography Reports, **56**, 876–885 (2011).
 141. Bushuev V., Samoylova L., Sin H., Tschentscher Th., Temporal and coherence properties of hard X-ray FEL radiation following Bragg diffraction by crystals. Proc. of SPIE, **8141**, 81410T-1-81410T-14 (2011).
 142. Kohn V.G., Focusing femtosecond X-ray free-electron laser pulses by refractive lenses. J. Synchrotron Rad., **19**, 84–92 (2012).
 143. Азизян С.Л., Безирганян П.А., Динамическая теория интерференции рентгеновских лучей с учетом затухания первичной волны. ЖТФ, **41**, 2186–2190 (1971).
 144. Инденбом В.Л., Интерференционная спектроскопия рентгеновского излучения. Кристаллография, **21**, 479–483 (1976).

145. Holy V., Coherence properties of dynamically diffracted X-rays. *Phys. Stat. Sol. (b)*, **101**, 575–583 (1980).
146. Mocella V., Epelboin Y., Guigay P., X-ray dynamical diffraction: the concept of a locally plane wave. *Acta Cryst.*, **A56**, 308–316 (2000).
147. Yamazaki H., Ishikawa T., Propagation of X-ray coherence for diffraction of perfect crystals. *J. Appl. Cryst.*, **35**, 314–318 (2002).
148. Yamazaki H., Ishikawa T., X-ray interferometer using wavefront division. *J. Appl. Cryst.*, **36**, 213–219 (2003).
149. Инденбом В.Л., Слободетский И.Ш., Труни К.Г., Рентгеновский интерферометр с узким пучком. *ЖЭТФ*, **66**, 1110–1120 (1974).
150. Milne A.D., Hart M., Direct observation of plane wave and spherical wave pendellösung fringes. *Phys. Stat. sol.*, **26**, 185-189 (1968).
151. Алумян К.В., Багдасарян Р.И., Балян М.К., Влияние кристаллических искажений на образование и вид маятниковых полос. I. Кристаллография, **28**, 1024–1025 (1983).
152. Алумян К.В., Багдасарян Р.И., Балян М.К., Влияние кристаллических искажений на образование и вид маятниковых полос. II. Кристаллография, **28**, 1026–1027 (1983).
153. Алумян К.В., Багдасарян Р.И., Эйрамджян Ф.О., Экспериментальное исследование маятниковых полос при наличии дилатаций и относительных поворотов отражающих плоскостей. *Изв. АН Арм. ССР, Физика*, **6**, 343-345 (1984).
154. Bonse U., Hart M., An X-ray interferometer. *Appl. Phys. Lett.*, **6**, 155–156 (1965).
155. Hart M., A complete determination of dislocation Burger's vector. *Phyl. Mag.*, **26**, 821–831 (1972).
156. Багдасарян Р.И., Балян М.К., Эйрамджян Т.О., Эйрамджян Ф.О., К вопросу о рас-шифровке рентгеноинтерферометрических муаровых картин. *Известия вузов, Фи-зика*, **4**, 8–12 (1984).
157. Багдасарян Р.И., Мнацаканян Т.С., Эйрамджян Ф.О., Применение рентгеновского муара для исследования механических напряжений вокруг дефектов в монокристаллах Si. *Известия вузов, Физика*, **5**, 106–108 (1986).
158. Раранский Н.Д., Маятниковые и муаровые полосы в реальных кристаллах. Диссертация на соискание ученой степени доктора физ.-мат. Наук, Черновцы, 1987, 446с.
159. Ростомян А.Г., Нариманян С.М., Месропян М.А., Рентгеновский “жесткий” интерферометр, обеспечивающий идеальность геометрии. *Межвузовский сб. Науч.*

- Трудов, Физика, **4**, 31–34 (1985).
160. Simon D., Authier A., Application de la theorie dynamique de S.Takagi au contraste d'un defect plan en topographic par rayon X. II. Franges de moire. Acta Cryst., **24**, 527–537 (1968).
 161. Tanemura S., Lang A.R., Spherical wave theory of moire fringes produced under conditions of Borrmann transmission by two crystals separated by a gap. Z. Naturforsch, **28A**, 668–676 (1973).
 162. Bezirganyan P.H., Haroutyunyan V.S., On the interference effect arising in the bicrystal X-ray interferometer with wedge-shaped gap. Part I. Plane wave theory. Phys. stat. sol. (a), **99**, 37–46 (1987).
 163. Bezirganyan P.H., Haroutyunyan V.S., On the interference effect arising in the bicrystal X-ray interferometer with wedge-shaped gap. Part II. Spherical wave theory. Phys. stat. sol. (a), **99**, 329–338 (1987).
 164. Арутюнян В.С., Исследование некоторых эффектов динамического рассеяния рентгеновских лучей в интерферометрах. Диссертация на соискание ученой степени кандидата физико-математических наук, 1988, 188с.
 165. Yoshimura J-ichi, Theoretical study of the properties of X-ray diffraction moire fringes. I. Acta Cryst., **A71**, 368–381 (2015).
 166. Лидер В.В., Рентгеновские кристаллические интерферометры. УФН, **184**, 1217–1236 (2014).
 167. Trouni K.G., Arutyunyan L.A., "Billet and Meslin Bi-lenses" in two-beam X-ray interferometry. Phys. Stat. sol. (a), **92**, 369–378 (1985).
 168. Appel A., Bonse U., Michelson interferometer for X-rays and thermal neutrons. Phys. Rev. Lett., **67**, 1673–1676 (1991).
 169. Bonse U., Beckmann F., Multiple beam X-ray interferometry for phase-contrast tomography. J. Synchrotron Rad., **8**, 1–5 (2001).
 170. Nusshardt M., Bonse U., A Michelson interferometer for X-rays capable of high-order measurement. J.Appl. Cryst., **36**, 269–279 (2003).
 171. Sutter J.P., Ishikawa T., Kuetgens U., Materlik G., Nishino Y., Rostomyan A., Tamasaku K., Yabashi M., An X-ray BBB Michelson interferometer. J. Synchrotron Rad., **11**, 378–385 (2004).
 172. Hirano K., Fukamachi T., Kanematsu Y., Jonsukwat S., Negishi R., Kirano D.Ju.K., Kawamura T., Moire pattern from a multiple Bragg-Laue interferometer. J. Synchrotron Rad., **19**, 101–105 (2012).
 173. Алумян К.В., Багдасарян Р.И., Мнацаканян Т.С., Эйрамджян Ф.О., К вопросу о

- со-поставлении линий механических изонапряжений и рентгеноинтерферометрического муара. Изв. Вузов, Физика, **8**, 45–48 (2002).
174. Drmeyan H.R., X-ray interferometric method for investigation of deformation fields caused in interferometer blocks by implanted ions. *J. Appl. Cryst.*, **37**, 585–588 (2004).
 175. Hart M., Ten years of X-ray interferometry. *Proc. R. Soc. Lond.*, **A346**, 1–22 (1975).
 176. Haroutunyan L.A., Trouni K.G., On the problem of computerized X-ray interferometric tomography of weak deformed deformations of crystals. *Optic Communications*, **90**, 173–181 (1992).
 177. Kawai J., Absorption techniques in X-ray spectrometry. *Encyclopedia of analytical chemistry*, R.A.Meyers (Ed.), Chester, John Wiley&Suns Ltd, 13288–13315 (2000).
 178. Moran C.J., Pierret A., Stewenson W., X-ray absorption and phase contrast imaging to study the interplay between plant roots and soil structure. *Plants and soil*, **223**, 99–115 (2000).
 179. Zoofan B., Kim J.-Y., Rokhlin S.I., Frankel G.S., Phase contrast X-ray imaging for non-destructive evaluation of materials. *J.Appl.Phys.*, **100**, 014502(7) (2006).
 180. Momose A., Demonstration of phase-contrast X-ray computed tomography using an X-ray interferometer. *Nucl. Instr. And Meth. In Phys. Res.*, **A352**, 622–628 (1995).
 181. Momose A., Takeda T., Itai Y., Biological imaging based on X-ray phase measurement – toward applications in cancer diagnosis. *Hitachi Review*, **48**, 110–115 (1999).
 182. Левонян Л.В., Азизян С.Л., Формирование фазового контраста в трехблочном ЛЛЛ-интерферометре. *Нано- и микросистемная техника*, **11**, 31–35 (2005).
 183. Levonyan L., The formation of the X-ray phase contrast under the diffraction focusing of the spherical wave. *Acta Cryst.*, **A62**, 254 (2006).
 184. Ingal V.L., Beliaevskaya E.A., X-ray plane-wave topography observation of the phase contrast from non-crystalline object. *J. Phys. D: Appl. Phys.*, **28**, 2314–2317 (1995).
 185. Davis T.J., Gureyev T.E., Gao D., Stewenson A.W., Wilkins S.W., X-ray image contrast from a simple phase object. *Phys. Rev. Lett.*, **74**, 3173–3177 (1995).
 186. Davis T.J., Gao D., Gureyev T.E., Stewenson A.W., Wilkins S.W., Phase contrast imaging of weakly absorbing materials using hard X-rays. *Nature (London)*, **373**, 595–597 (1995).
 187. Bushuev V.A., Beliaevskaya E.A., Ingal V.N., Wave-optical description of X-ray phase contrast images of weakly absorbing non-crystalline objects. *Il Nuovo Cimento*, **19D**, 513–520 (1997).

188. Kohn V.G., X-ray imaging of inhomogeneous object by coherent wave (phase contrast), in Hamburg lectures. "<http://xray-optics.ucoz.ru>" (1998).
189. Левонян Л.В., Формирование рентгеновского фазового контраста в условиях дифракционной фокусировки сферической волны. Нано и микросистемная техника, **9**, 18–21 (2005).
190. Левонян Л.В., Рентгенотопографический способ исследования фазовых объектов. Известия НАН Армении, Физика, **36**, 332–337 (2001).
191. Wilkins S.W., Gureev T.E., Gao D., Pogany A., Stewenson A.W., Phase contrast imaging using polychromatic hard X-rays. Nature (London), **384**, 335–337 (1996).
192. Сенин Р.А., Микротомография биологических объектов с использованием лабораторных рентгеновских источников. Диссертация на соискание ученой степени кандидата физико-математических наук, 2005, 142с.
193. Haroutunyan L., Phase contrast imaging by amplitude-division type Fresnel zone plate interferometer. Conference paper, Abstract book, DOM 2015, International symposium and young scientist school on disordered and ordered materials analysis and characterization, Yerevan, 2015, 57–58.
194. Aristov V.V., Ivanova J.A., On the possibility of utilizing holographic schemes in X-ray microscopy. J. Appl. Cryst., **12**, 19–24 (1979).
195. Szöke A., Use of statistical information in X-ray crystallography with application to the holographic method. Acta Cryst., **A54**, 543–562 (1998).
196. Anduleit K., Materlik G., A holographic approach to point defect structure determination in inorganic crystals: Er-doped Sc₂O₃. Acta Cryst., **A59**, 138–142 (2003).
197. Hau-Riege S.P., Szöke H., Chapman H.N., Szöke A., Marchesini S., Noy A., He H., Howels M., Weierstall U., Spence J.C.H., SPEDEN: reconstructing single particles from their diffraction patterns. Acta Cryst. **A60**, 294–305 (2004).
198. Novikov D.V., Adams B., Hiort T., Kossel E., Materlik G., Menk R., Walenta A., X-ray holography for structural imaging. J. Synchrotron Rad., **5**, 315–319 (1998).
199. Chukhovskii F.N., Poliakov A.M., Ab initio crystal structure determination using X-ray fluorescence holography for different noise levels: numerical simulation and analysis. Acta Cryst., **A60**, 82–88 (2004).
200. Korecki P., Novikov D.V., Tolkiein M., Materlik G., Extinction effects in X-ray holographic imaging with internal reference. Phys. Rev. B, **69**, 184103 (2004).
201. Kopecky M., X-ray diffuse scattering holography. J. Appl. Cryst., **37**, 711–715 (2004).
202. Nygard K., Bunk O., Perret E., David S., van der Veen J.F., Diffraction gratings as small angle X-ray scattering calibration standards. J. Appl. Cryst., **43**, 350–351

- (2010).
203. Кольер Р., Беркхарт К., Лин Л., Оптическая голография. Мир, М., 1973, 686с.
 204. Hariharan P., Basics of holography. Cambridge University Press, New York, 2002, 161p.
 205. Егиазарян А.М., Безирганян П.А., О возможности записи рентгеновской коротковолновой голограммы. Изв. АН Арм ССР, **15**, 35–43 (1980).
 206. Егиазарян А.М., Новые перспективы развития рентгеновской коротковолновой голографии. Письма в ЖТФ, **24**, 55–59 (1998).
 207. Егиазарян А.М., Труни К.Г., Мкртчян А.Р., Рентгеновская интерферометрическая коротковолновая голография с дифракционной фокусировкой. Письма в ЖЭТФ, **68**, 681–684 (1998).
 208. Габриелян К.Т., Использование кристалл-дифракционной картины для получения видимого изображения источника рентгеновских лучей. Письма в ЖТФ, **16**, 5–9 (1990).
 209. Snigirev A., Snigireva I., Kohn V., Kuznetsov S., Schelokov I., On the possibilities of X-ray phase contrast microimaging by coherent high-energy synchrotron radiation. Rev. Sci. Instrum., **66**, 5486–5492 (1995).
 210. Nugent K.A., Gureyev T.E., Cookson D.F., Paganin D., Barnea Z., Quantitative phase imaging using hard X-rays. Phys. Rev. Letters, **77**, 2961–2964(1996).
 211. Watanabe N., Yokosuka H., Ohogashi T., Takano H., Takeuchi A., Suzuki Y., Aoki S., Optical holography in the hard X-ray domain. J. Phys. IV France, **104**, 551-556 (2003).
 212. Аристов В.В., Куюмчян А.В., Суворов А.Ю, Ишикава Т., Исоян А.А., Труни К.Т., Саркисян Е., Восстановление Фурье-голограммы с помощью фазовой зонной пластинки для рентгеновского излучения. Микросистемная техника, **11**, 26–29 (2004).
 213. Leitenberger W., Snigirev A., Microscopic imaging with high energy X-rays by Fourier transform holography. J. Appl. Phys., **90**, 538–544 (2001).
 214. Iwamoto H., Yagi N., Hard X-ray Fourier transform holography from an array of oriented referenced objects. J. Synchrotron Rad., **18**, 564–568 (2011).
 215. Chamard V., Stangle J., Carbone G., Diaz A., Chen G., Alfonso C., Mocuta C., Metzger T.H., Three dimensional X-ray Fourier transform holography: the Bragg case. Phys. Rev. Letters, **104**, 165501(4) (2010).
 216. Лидер В.В., Рентгеновская голография. УФН, **185**, 393–413 (2015).
 217. Габриелян К.Т., Чуховский Ф.Н., Пискунов Д.Н., Дифракционная фокусировка

- рентгеновских лучей при брэгговском отражении от двухосно изогнутого идеального кристалла. ЖЭТФ, **96**, 834–846 (1989).
218. Levonyan L.V., Balyan M.K., Two-dimensional diffraction focusing of X-ray radiation in Laue geometry. Phys. stat. sol. (a), **140**, 247–255 (1993).
219. А.А.Соколов, И.М.Тернов, Релятивистский электрон. Наука, М., 1983, 392с..
220. Grigoryan A.H., Balyan M.K., Toneyan A.H., X-ray focusing by the system of refractive lens(es) placed inside asymmetric channel-cut crystals. J. Synchrotron Rad., **17**, 332–347 (2010).
221. Смирнов В.И., Курс высшей математики, т. 4, часть вторая. Наука, М., 1981, 551с.
222. Григорян А.Г., Балян М.К., Гаспарян Л.Г., Агасян М.М., О возможности создания новой дифракционно-рефракционной линзы для жесткого рентгеновского излучения. Известия НАН РА, Физика, **39**, 262–264 (2004).
223. Kohn V.G., Chumakov A.I., Ruffer R., Wave theory of focusing monochromator of synchrotron radiation. J.Synchrotron Rad., **16**, 635–641 (2009).
224. Мишет А., Оптика мягкого рентгеновского излучения. Мир, М., 1989, 351с.:
225. Boyd R., Nonlinear optics. Academic press, New York, 2003, 613р.
226. Ландау Л.Д., Лифшиц Е.М., Теоретическая физика, т.VIII: Электродинамика сплошных сред. Физматлит, М., 2005, 652с.
227. Nonlinear optics, quantum optics, and ultrafast phenomena with X-rays: physics with X-rays free electron lasers, Ed. Adams B.W. Springer Science + Business Media, New York, 2003. 330 p.
228. Ohtsuki Y.H., Temperature dependence of X-ray absorption by crystals. I. Photoelectric absorption. J. Phys. Soc. Jpn., **19**, 2285–2292 (1964).
229. Chang Sh.-L. Multiple diffraction of X-rays in crystals. Heidelberg: Springer-Verlag, Berlin, 1984, 302 p.
230. Корн Г., Корн Т. Справочник по математике для научных работников и инженеров. Наука, М., 1973. 832 с.
231. Прудников А.П., Брычков Ю.А., Маричев О.И., Интегралы и ряды, в 3 т., т.1, Элементарные функции. Физматлит, М., 2002, 632с.
232. Кунин С., Вычислительная физика. Мир, М., 1992, 513с.
233. Слободецкий И.Ш., Чуховский Ф.Н., К динамической теории дифракции пространственно-неоднородного пучка рентгеновских лучей в идеальном кристалле. Кристаллография, **15**, 1101–1107 (1970).
234. Шуберт М., Вильгельми Б., Введение в нелинейную оптику, в 2 т., т.1,

- Классическое рассмотрение. Мир, М., 1973, 244с.
235. Прудников А.П., Брычков Ю.А., Маричев О.И., Интегралы и ряды, в 3 т., т.2, Специальные функции. Физматлит, М., 2003, 664с.
236. Slobodetskii I.Sh., Chukhovskii F.N., Indenbom V.L., X-ray diffraction under conditions of the spatially-inhomogeneous dynamic problem. ZhETF Pis. Red., **8**, 90–94 (1968).
237. Homma Sh., Ando Y., Kato N., Absolute positions of pendellösung fringes in X-ray cases. J. Phys. Soc. Jpn., **21**, 1160–1165 (1966).
238. Kohra K., Kikuta S., A method of obtaining an extremely asymmetric parallel X-ray beam by successive asymmetric diffractions and its applications. Acta Cryst, **A24**, 200–205 (1968).
239. Борн М., Вольф Э., Основы оптики, Наука, М., 1970, 856с.
240. Leitenberger W., Kuznetsov S.M., Snigirev A., Interferometric measurements with hard X-rays using a double slit. Optics communications, **191**, 91–96 (2001).
241. Leitenberger W., Wendrock H., Bischoff L., Weitkamp T., Pinhole interferometry with coherent hard X-rays. J. Synchrotron Rad., **11**, 190–197 (2004).
242. Leitenberger W., Pietch U., A monolithic Fresnel bimirror for hard X-rays and its application for coherence measurements. J. Synchrotron Rad., **14**, 196–203 (2007).
243. Isakovich A.F., Stein A., Warren J.B., Sandy A.R., Narayanan S., Sprung M., Ablett J.M., Siddons D.P., Metzler M., Evans-Luderodt K., A bi-prism interferometer for hard X-ray photons. J. Synchrotron Rad., **17**, 451–455 (2010).
244. Als-Nielsen J., McMorrow D., Elements of modern X-ray physics. J.Wiley&Sons Ltd, Chichester, 2001, 318p.
245. Paganin D.M., Coherent X-ray optics. Oxford University Press, Oxford, 2006, 411p.
246. Оптическая голография. Под. ред. Г.Колфилда, в 2 т., т.1, Мир, М., 1982, 375с.
247. Инденбом В.Л., Чуховский Ф.Н., Проблема изображения в рентгеновской оптике. УФН, **107**, 229–265 (1972).
248. Geverse R., Moiré pattern for a crystal containing a stacking fault. Phys. stat. Sol (b), **3**, 1214–1237 (1963).
249. Хирш П., Хови А., Николсон Р., Пэшли Д., Уэлан М., Электронная микроскопия тонких кристаллов. Мир, М., 1968, 575с.
250. Chukhovskii F.N., Arustamyan A.M., A dynamical analytical theory of the dislocation image contrast in electron transmission microscopy. Phys. stat. sol. (a), **54**, 45–54 (1979).
251. Каули Дж.М., Физика дифракции. Мир, М., 1979, 431с.

252. Арустамян А.М., Балян М.К., Габриелян К.Т., Интерпретация электронномикроскопических решеточных полос. Кристаллография, **40**, 18–20 (1995).
253. Балян М.К., Габриелян К.Т., Электронно-микроскопические картины муара слабо-деформированных кристаллов. Известия НАН РА, **29**, 82–89 (1994).
254. Балян М.К., Габриелян К.Т., Рентгеновский муар слабодеформированных кристаллов. Известия НАН РА, **29**, 118–125 (1994).
255. Balyan M.K., Double-slit dynamical diffraction of X-rays in ideal crystals (Laue case). Acta Cryst. **A66**, 660–668 (2010).
256. Балян М.К., Эйкональное приближение в теории рентгеновского интерферометра. Известия НАН Армении, Физика, **47**, 366–374 (2012).
257. Балян М.К., Транспортные уравнения амплитуд в эйкональном приближении уравнений динамической дифракции. Известия НАН Армении, Физика, **48**, 68–74 (2013).
258. Балян М.К., Эйкональное приближение уравнений динамической дифракции рентгеновских пучков с двумерной кривизной волнового фронта. I. Основные формулы. Известия НАН Армении, Физика, **48**, 216–220 (2013).
259. Балян М.К., Эйкональное приближение уравнений динамической дифракции рентгеновских пучков с двумерной кривизной волнового фронта. II. Фокусировка рентгеновского пучка кристаллом с неплоскими входной и выходной поверхностями. Симметричный случай Лауэ. Известия НАН Армении, Физика, **48**, 363–370 (2013).
260. Balyan M.K., X-ray dynamical diffraction Fraunhofer holography, J.Synchrotron Rad., **20**, 749–755 (2013).
261. Balyan M.K., Numerical reconstruction of an object image using an X-ray dynamical diffraction Fraunhofer hologram. J.Synchrotron Rad., **21**, 449–451 (2014).
262. Balyan M.K., Object image correction using an X-ray dynamical diffraction Fraunhofer hologram. J.Synchrotron Rad., **21**, 127–130 (2014).
263. Балян М.К., Роль вторых производных амплитуд в уравнениях динамической дифракции рентгеновских пучков. Известия НАН Армении, Физика, **49**, 62–66 (2014).
264. Балян М.К., Рентгеновская Лауэ дифракция с учетом вторых производных амплитуд в уравнениях динамической дифракции. Известия НАН Армении, Физика, **49**, 130–141 (2014).

265. Балян М.К., Рентгеновская брэгговская дифракция с учетом вторых производных амплитуд в уравнениях динамической дифракции. Известия НАН Армении, Физика, **49**, 284–294 (2014).
266. Balyan M.K., Theoretical consideration of an X-ray Bragg-reflection lens using the eikonal approximation. J.Synchrotron Rad., **21**, 700–707 (2014).
267. Балян М.К., Рентгеновская Лауэ дифракция с учетом двумерной кривизны волнового фронта: концепция локально плоской волны. Известия НАН Армении, Физика, **49**, 446–450 (2014).
268. Балян М.К., Рентгеновская брэгговская дифракция сферической волны с учетом двумерной кривизны волнового фронта. Известия НАН Армении, Физика, **50**, 134–143 (2015).
269. Balyan M.K., X-ray third-order nonlinear plane-wave Bragg-case dynamical diffraction effects in a perfect crystal. J.Synchrotron Rad., **22**, 1410–1418 (2015)
270. Балян М.К., Рентгеновская кристалл-диффракционная Фурье-голография. Известия НАН Армении, Физика, **50**, 529–541 (2015).
271. Balyan M.K., X-ray third-order nonlinear dynamical diffraction in a crystal. Crystallography Reports, **60**, 993–1000 (2015).
272. Балян М.К., Рентгеновская интерферометрическая френелевская голография. Известия НАН Армении, Физика, **51**, 102–115 (2016).
273. Балян М.К., Рентгеновская интерферометрическая фурье-голография, Известия НАН Армении, Физика, **51**, 388–401 (2016):
274. Balyan M.K., Third-order nonlinear and linear time-dependent dynamical diffraction of X-rays in crystals, J.Synchrotron Rad., **23**, 919–928 (2016):
275. Balyan M.K., X-ray third-order nonlinear plane-wave Bragg case dynamical diffraction effects in a perfect crystal. Erratum, J.Synchrotron Rad., **23**, 1272–1272 (2016):
276. Балян М.К., Дифракция рентгеновского пространственно-неоднородного пучка в кристалле с кубической нелинейностью, Известия НАН Армении, Физика, **51**, 523–532 (2016):
277. Balyan M.K., X-ray plane wave dynamical diffraction effects in a crystal with third-order nonlinearity, Crystallography Reports, **61**, 1039–1046 (2016):
278. Balyan M.K., Mathematical Reconstruction of an Object Image Using X-Ray Interferometric Fourier Holography Method, Conference Paper, ICXRNO 2016 : 18th International Conference on X-Ray and Neutron Optics Bali, Indonesia October 13 – 14, 2016, World Academy of Science, Engineering and Technology, International Journal of Mathematical, Computational, Physical, Electrical and Computer Engineering, **10**

- (10), 447–451 (2016), Available from <http://waset.org/Publication/mathematical-reconstruction-of-an-object-image-using-x-ray-interferometric-fourier-holography-method/10005585>.
279. Balyan M.K., X-ray nonlinear Bragg diffraction, Journal of Nanophoton., **11**, 016003-1 - 016003-7 (2017).
280. Балян М.К., Кривые качания в геометрии Лауэ в зависимости от отклонения падающей плоской рентгеновской волны от условия Брэгга в плоскости дифракции и в перпендикулярном к плоскости дифракции направлении, Изв. НАН Армении, Физика, **52**, 102-109 (2017).
281. Balyan M.K., X-ray third order nonlinear Renninger effect and rocking curves, Proceedings YSU, Phys. and Math. Sciences, **51**, 85-88 (2017).
282. Балян М.К., Рентгеновские интерферометрические муаровые полосы при наличии температурного градиента в рамках эйконального приближения, Изв. НАН Армении, Физика, **52**, 220-226 (2017).